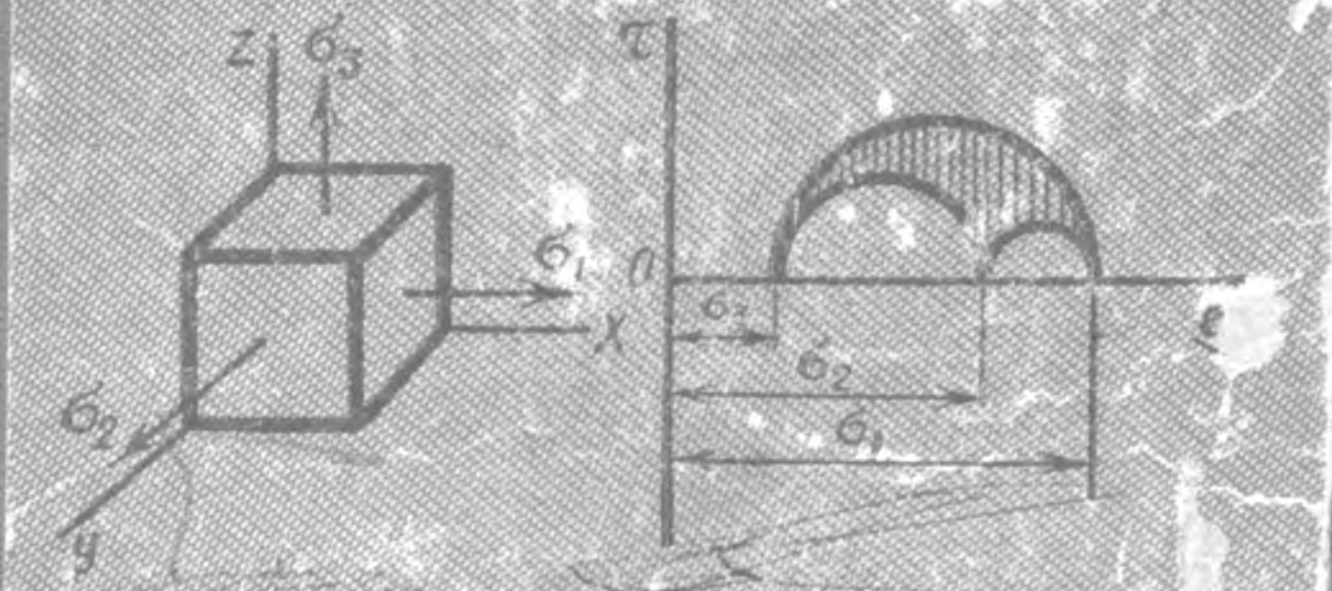


Б. А. ОБОДОВСКИЙ  
С. Е. ХАНИН

БИОТЕХНОЛОГИЯ  
КАРДИОМЕДИАЦИИ  
ВИСОЛ  
ВА НАСАЛАТАР



Б. А. ОБОДОВСКИЙ, С. Е. ХАНИН

# МАТЕРИАЛЛАР ҚАРШИЛИГИДАН МИСОЛ ВА МАСАЛАЛАР

*Русча учинчи нашридан таржима*

Олният техника ўқув юртлари студентлари  
учун ўқув құлланмасы



ТОШКЕНТ—**ЎҚИТУВЧИ**—1980

Китобда „Материаллар қаршилигн“ курси бўйича типавий масалаларни ечиш усуллари ва методлари жуда кўп мисолларда кўрсатилган. Китобнинг дар бир боби ҳисоблаш формулалари ва ҳисоблаш методикасига оид қисқача кўрсатмалар билан бошланади. Ҳамма бобларда мустақил ечиш учун масалалар берилган.

Китоб олий техника ўкув юртларининг барча ихтиёсликда ўқийдиган студентлари учун ўкув қўлланима сифатида тавсия қилинади.

Физика-математика фанлари кандидати, доц.  
Сайдакмал Насридинов таржимаси.

*На узбекском языке*

**БОРИС АРНОЛЬДОВИЧ ОБОДОВСКИЙ,  
СОЛОМОН ЕФИМОВИЧ ХАНИН**

**СОПРОТИВЛЕНИЕ МАТЕРИАЛОВ  
В ПРИМЕРАХ И ЗАДАЧАХ**

**Учебное пособие для технических ВУЗов**

*Ташкент — „Ўқитувчи“ — 1980*

Махсус мұхаррир Т. Қодиров  
Нашриёт мұхаррiri O. Foғurova  
Бадний мұхаррир Ф. Некқадамбетев  
Техн. мұхаррир T. Сикиба  
Корректор Д. Абдуллаева

**ИБ № 1464**

Терешка берилди 21.12. 1979. й. Босишка руҳсат этилди 1.08. 1980 й. Формати 60×90<sup>1/16</sup>.  
Гип. қоғози № 3. Кегли 10 шапсиз. „Литературная“ гарнитура. Юкори босма усуллари бос-  
сиди. Шартли б. л. 25, о п. л. 24, б. Гиражи 7000. Зак. № 7265. Баҳоси 95 т.

„Ўқитувчи“ нашриёти. Гошкент, Навоий кўчаси, 30. Шартинома 33-79.

Нашриётлар, полиграфия ва китоб салоси ишлари бўйича облест башқармасининг  
Морозов иомли босмахонаси. Самарқанд, У. Турсунов кўчаси, 82. 1980 й.

Типография имени Морозова областного управления по делам издательства, полиграфии  
и книжной торговли. Самарканд, ул. У. Турсунова, 82.

© „Ўқитувчи“ нашриёти, русчадан таржима, 1980

O  $\frac{30106-210}{353(04)-80}$  156 - 80 2105000000

## РУСЧА НАШРИГА СҮЗ БОШИ

Материаллар қаршилиги курсидан дарс берувчи ўқытувчиларга курсни ўрганиш процессида студентлар, биринчи навбатда, сиртдан ўқиідиган студентлар дуч келадиган қийинчиліктер жуда яхши маълумдир. Булар асосан конструкция элементларининг мустаҳкамлигини, бикрлигини ва устиворлигини, инженерлик нұқтаи назаридан ҳисоблашларни бажаришнинг амалдай методлари ва усуулларини әгаллашга боғлиқ. Бу китоб, муаллифларнинг фикрича, сиртдан ўқиідиган студентларга материаллар қаршилигидан типавий масалаларни ечиш методини мустақил ўрганишга ёрдам беради. Китобнинг тузилиши ва материалнинг баён этилиш услугини ана шу мақсадни күзлаб танланган.

Құлланма олий техника ўқув юртларидеги материаллар қаршилиги бүйіча қабул қилингандай программа материалини ўз ичига олади.

Курснинг ұлттық темасы бүйіча назариядан қисқа маълумоттар көлтирилген, бу эса студентге кам вақт сарф қилиб дарслікден ўтган материаларини әслашга ёрдам беради. Құлланманинг асосий қисмі

типовий масалаларни ечишга ажратилган ва батафсил баён қилингандык, бунда студенттинг үқитувчи ёрдамисиз масалалан ечиш методини мустақил тушуниб олишиңа имкон беради.

Құлланманинг ҳар бир бобида мустақил ечиш учун көлтирилған масалалар студенттеги курснинг шу темаси бүйінчә масалалар ечиш методларини қанчалик үзлаشتырып олғанлыгын текшириб күришга имкон беради.

Ечиб күрсатылған масалалар, мисол да мустақил ечиш учун тавсия қилингандык масалалар ушбу құлланма учун маңсус түзилгандык, улардан баъзи бирлари ўқув адабиетларидан олингандык (китоб охирдагы рўйхатта қаранг). Авторлар бошқа адабиётдан олингандык масалалар тематикаси ва ҳисоблаш схемаларини құлланмада қабул қилингандык методик принциплар да усулларга мослаб қайтадан тузишиди.

Құлланманинг иловасида баъзи бир справка материаллари, чунонча, прокат пүлаглар профилига оид ГОСТ жадваллари көлтирилғандык.

Китобда құш номерлаш қабул қилингандык булиб, биринчи рақам бобнинг номерини, иккинчи рақам айни бобдаги мисол, масала да расмнинг тартиб номерини ифодалайды.

Авторлар құлланманинг иккинчи нашарини тайёрлашда (ушбу учинчи нашар стереотип тарзда чиқарылаетибдү) үқитувчилар да студентлар томонидан айттылған мурлоҳаза да истакларни назарга олдилар.

Мазкур нашарнинг I, III – V, XVII бобларини С. Е. Ханин, VI – IX, XIV – XVI бобларини эса Б. А. Ободовский ёзғандык. Бундан ташқары құлланмани тайёрлашда О. П. Оржеховская (X – XII бобларнинг

автори) ва Г. М. Ицкович (II бобни, С. Е. Ханин билан биргаликда XVIII бобни ва Б. А. Ободоаский билан биргаликда XIII бобни ёзган, шунингдек, 5.5, 7.4, 7.5, 8.8, 12.4, 15.5, 15.7, 15.9, 15.10, 17.1-мисолларни тузган) уртоқлар иштирок этдилар.

Иккинчи нашрдаги мисолларни тузногда Жданов номидаги металлургия институти материаллар қаршилиги кафедрасининг ходимлари В. В. Сушев, Г. В. Артюх, А. П. Жуковец, В. Г. Кулиш, В. А. Любов иштирок этдилар. Қўлламани ишлашда катта лаборантлар Н. В. Шебаниц ва Л. Л. Профатиловаларнинг хизматини ҳам алоҳида эътиборга оламиз.

Иккинчи нашрни тайёрлашда тақризчилар — техника фанлари доктори, проф. Н. В. Барановский ва Н. Н. Коптев катта ёрдам бердилар.

Авторлар ушбу китобни тайёрлашда ёрдамлашган барча уртоқларга узларининг самимий миннатдорчиликларини изҳор этадилар.

Китоб ва унинг таржимаси ҳақидағи барча танқидий мулоҳаза ва таклифларни ушбу адресга юборишингизни илтимос қиласиз: Тошкент, 700129 Навоий, 30. „Ўқи-түвчи“ нашриёти.

## АВТОРЛАРДАН ЎЗБЕКЧА НАШРИГА СЎЗ БОШИ

Мен „Сопротивление материалов в примерах и задачах“ номли китобимизнинг ўзбек тилида нашр этилишини билиб бениҳоят хурсанд бўлдим (С. Е. Ханин 1971 йилда вафот этди).

Биз учинчи русча нашридаги сўз бошида айтганимиздек, бу китобнинг мақсади студентларга материаллар қаршилиги курсидан типавий масалаларни ечиш усулларини ўрганишда ёрдам беришдир. Китобнинг ҳар қайси бобида ҳисоблаш формулалари ва ҳисоблаш бўйича қисқача курсатмалар берилди. Ҳамма бобларда мустакил ечиш учун масалалар келтирилди.

Ниҳоят, китобни ўзбек тилига таржима қилишдаги улкан хизматлари учун доцент Сайдакмал Насриддиновга катта миннатдорчиллик изҳор этишни ўзимнинг бурчим деб ҳисоблайман.

Б. А. Ободовский

## ХАЛҚАРО ҮЛЧОВ БИРЛИКЛАР СИСТЕМАСИ ВА УНИНГ МАТЕРИАЛЛАР ҚАРШИЛИГИГА ТАТБИҚИ

1960 йилнинг октябрида Парижда үлчов ва тарози бўйича XI Биш конференция Халқаро үлчов бирликлари системасини қабул қилди. СССР Министрлар Советининг стандарт, үлчов ва үлчов асбоблари Комитети техника ва саноатнинг ҳамма соҳаларида ва ўқитнишда татбиқ этиладиган Халқаро бирликлар системасини ишлатишни мақбул деб топди (ГОСТ 9867—61). Бу система рус алфавитида СИ, латинчада эса *SI* ҳарфлари билан белгиланади.

СИ бошқа ҳар қандай үлчов бирликлари системаси каби икки группага: асосий ва ҳосилавий бирликларга бўлинади. Ҳосилавий бирликлар физикавий қонуиларни ифодаловчи формулялар асосида ҳосил қилинади.

СИ системасининг механикавий катталикларни үлчаш учун кўп қўлланиладиган МКГСС системасидан принципиал фарқи шундаки, МКГСС системасида куч бирлиги асосий үлчов бирлик бўлиб, масса бирлиги ҳосилавийдир. СИ системасида эса, масса бирлиги асосий бирлик, куч эса ҳосилавий бирлиkdir.

Материаллар қаршилигига қўлланиладиган СИ системасининг баъзи бир асосий ва ҳосилавий бирликларини кўриб чиқамиз.

### 9867—61 ГОСТ га кўра Халқаро үлчов бирликлар системаси СИ

Катталикларнинг номи	Үлчов бирликлари	Қисқача белгиланиши	
		ўзбекча	латинча
<b>Асосий бирликлар</b>			
Узунлик	метр	<i>m</i>	<i>m</i>
Масса	килограмм	<i>kg</i>	<i>kg</i>
Вакт	секунд	<i>сек</i>	<i>s</i>
<b>Кўшимча бирликлар</b>			
Ясси бурчак	радиан	<i>рад</i>	<i>rad</i>

Катталиктарнинг номи	Ўлчов бирликлари	Қисқача белгиланиши	
		Ўзбекча	латинча
<b>Ҳосилавий бирликлар</b>			
Юз	квадрат метр	$m^2$	$m^2$
Хажм	куб метр	$m^3$	$m^3$
Статик момент ва текисликдаги кесимнинг қаршилик моменти	куб метр	$m^3$	$m^3$
Текисликдаги кесимнинг инерция моменти	тўртнинчи даражали метр	$m^4$	$m^4$
Зичлик	килограмм бўлинган куб метр	$kg/m^3$	$kg/m^3$
Тезлик	метр бўлинган секунд	$m/\text{сек}$	$m/s$
Бурчак тезлик	радиан бўлинган секунд	$rad/\text{сек}$	$rad/s$
Тезланиш	метр бўлинган секунд квадрат	$m/\text{сек}^2$	$m/s^2$
Бурчак тезланиш	радиан бўлинган секунд квадрат	$rad/\text{сек}^2$	$rad/s^2$
Куч	ньютон	$N$	$N$
Куч моменти	ньютон·метр	$N\cdot m$	$N\cdot m$
Кучланиш (механик вий босим)	ньютон бўлинган метр квадрат	$N/m^2$	$N/m^2$
Иш, энергия	жоуль	$J$	$J$
Кувват	ватт	$W$	$W$
Солиштирма оғирлик	ньютон бўлинган метр куб	$N/m^3$	$N/m^3$
Инерция моменти (динамикавий)	килограмм·метр квадрат	$kg\cdot m^2$	$kg\cdot m^2$
Частота	герц	$Hz$	$Hz$

Каттароқ ёки кичикроқ (каррали ёки улушли) ўлчов бирликлари асосий ёки ҳосилавий бирликлари ўннинг мусбат ёки манфий даражасига кўпайтириш билан ҳосил қилинади.

Каррали ёки улушли бирликларнинг номи дастлабки бирликлар номига олд қўшимча қўшиш орқали ҳосил қилинади. Энг кўп ишлатиладиган олд қўшимчалар қўйдагилардир:

Олд қўшимчалар	Қисқача белгиланиши	Кўпайтувчи	Олд қўшимчалар	Қисқача белгиланиши	Кўпайтувчи
Мега	$M$	$10^6$	Деци	$d$	$10^{-1}$
Кило	$k$	$10^3$	Санти	$s$	$10^{-2}$
Гекто	$g$	$10^2$	Милли	$m$	$10^{-3}$
Дека	$da$	10	Макро	$mk$	$10^{-6}$

Оддий бирлик номига иккита олд қўшимча қўшиш мумкин эмас (масалан, мегакилоньютон). Каррали ёки улушли бирликларни ифодаловчи бирликларнинг номига (масалан, тоннага, центнерга) ҳам олд қўшимча қўшиш мумкин эмас.

Айрим ҳолларда үнли құшимчани ҳосилавий бирликнинг маҳражидаги бирлик номига құллаш мумкин. Масалан, күчлашиның үлчашда  $n/m^2$  бирликни татбиқ этиш мумкин, чунки  $1 n/m^2 = 1 Mn/m^2$  эканлигини осонгина аниқлаш мумкин.

СИ, МКГСС, СГС бирліклар системаларында ҳамда системаға кирмаган бирлікларда ифодаланған механикавий бирліклар орасидаги үзаро боғланишлар қуйидаги жадвалда берилген.

МКГСС әз СГС бирліклар системалари үз системаға кирмаган бирліклар	СИ бирліклар системасы	МКГСС әз СГС бирліклар системалары үз системаға кирмаган бирліклэр	СИ бирліклар системасы
<b>Юз бирлігін</b>		<b>Күч моменти, жуфт күч моменти бирліклари</b>	
$1 \text{ cm}^2$	$  10^{-4} \text{ m}^2$	1 килограмм·күч метр ( $\text{kG}\cdot\text{m}$ )	$9,81 \text{ N}\cdot\text{m} \approx 10 \text{ N}\cdot\text{m}$
<b>Қаршилик моменти үз текис кесим стаптк моменти бирлігін</b>		1 килограмм·күч – сантиметр ( $\text{kG}\cdot\text{cm}$ )	$0,0981 \text{ N}\cdot\text{m} \approx 10^{-1} \text{ N}\cdot\text{m}$
$1 \text{ cm}^3$	$  10^{-6} \text{ m}^3$		
<b>Текис кесим инерция моменти бирлігі</b>		<b>Солиштирма оғырлық бирліклари</b>	
$1 \text{ cm}^4$	$  10^{-8} \text{ m}^4$	1 $T/m^3$ ; 1 $G/cm^3$ ;	$9,81 \cdot 10^3 \text{ N/m}^3 \approx 10^4 \text{ N/m}^3$
<b>Масса бирліклары</b>		$1 \text{ тк}/\text{м}^3$	$9,81 \cdot 10^4 \text{ N/m}^3 \approx 10^5 \text{ N/m}^3$
1 тонна ( $t$ )	$  10^3 \text{ кг}$		
1 центнер ( $ц$ )	$  10^2 \text{ кг}$		
<b>Бурчак тезлік бирліклары</b>		<b>Иш ва энергия бирліклари</b>	
1 минутта айланыш (айл./мин)	$  \frac{\pi}{30} \text{ рад/сек}$	1 килограмм·метр ( $\text{kG}\cdot\text{м}$ )	$9,81 \approx 10 \text{ ж}$
1 айл./сек	$  2\pi \text{ рад/сек}$	1 квт·соат	$3,6 \cdot 10^6 \text{ ж}$
<b>Күч бирліклары</b>		1 эрг	$10^{-7} \text{ ж}$
1 тонна·күч ( $t, \text{ тк}$ )	$  9,81 \cdot 10^3 \approx 10^4 \text{ Н}$	<b>Күвват бирліклари</b>	
1 килограмм·күч ( $\text{kG}, \text{ кг-к}$ )	$  9,81 \approx 10 \text{ Н}$	1 килограмм·метр бүлинганса секунд ( $\text{kG}\cdot\text{м}/\text{сек}$ )	$9,81 \approx 10 \text{ вт}$
1 дина (динса)	$  10^{-5} \text{ Н}$	1 от күчи (о. к.)	$735,5 \text{ вт}$
<b>Хажи бирлігі</b>		1 эрг/сек	$10^{-7} \text{ вт}$
$1 \text{ cm}^3$	$  10^{-6} \text{ m}^3$	<b>Босым (механикавий күчланиш) бирліклари</b>	
		1 бар (бар)	$10^6 \text{ Н/m}^2$
		1 $\text{kG}/\text{cm}^2 = 1 \text{ atm}$	$9,81 \cdot 10^4 \approx 10^5 \text{ Н/m}^2$
		1 $\text{kG}/\text{m}^2$	$9,81 \approx 10 \text{ Н/m}^2$

## БИРИНЧИ ҚИСМ

### 1 бөб

#### ЧҮЗИЛИШ ВА СИҚИЛИШ

##### 1.1-§. АСОСИЙ ТУШУНЧА ВА БОГЛАНИШЛАР

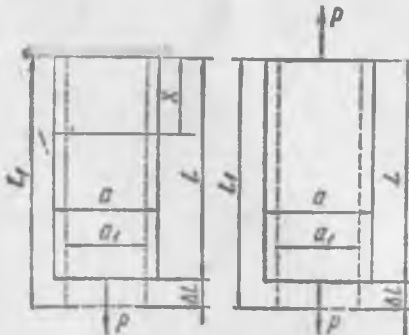
1.1-расмда бруснинг чўзилиши, 1.2-расмда эса сиқилишининг энг оддий ҳоллари кўрсатилган. Чўзилиш-сиқилишда брус кундаланг кесимида ҳосил бўладиган ички эластик кучлар биргина ички куч факторига — бўйлама (нормал) кучга келтирилади ва  $N_x$  (ёки  $N$ ) билан белгиланади.

Бўйлама куч  $N_x$  кесимлар усули билан аниқланади: у сон жиҳетдан хаёлан утказилган кесимнинг (1.3-расм) бир томонида жойлашган барча ташки кучларнинг брус бўйлама ўқи ( $Ox$ ) га проекцияларининг алгебраик йигиндисига тенг. Чўзилишда  $N_x > 0$ , сиқилишда эса  $N_x < 0$  деб ҳисоблаш қабул қилинган.

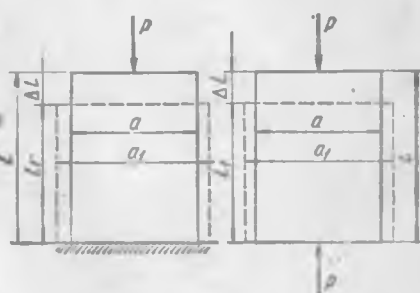
Чўзилиш — сиқилишда бруснинг кундаланг кесимида фақат нормал кучланиш ҳосил бўлади ва у ушбу формула ёрдамида ҳисобланади:

$$\sigma = \frac{N_x}{F},$$

бу ерда  $F$  — брус кундаланг кесимининг юзаси.



1. 1-расм.



1. 2-расм.

$N_x$  учун ишоралар қоидаси қандаң татбиқ этилса, оған шундай татбиқ этилади. Күчланиш нинг ўлчами: күч/узунлик<sup>2</sup> бўлиб, мос ўлчов бирликлари  $kG/cm^2$  ёки  $kG/mm^2$ .

Халқаро ўлчов бирликлар системасидан фойдаланилганда асосий бирлик –  $n/m^2$ , шунингдек, мос каррали ва улушли бирликлар  $kn/m^2$ ,  $Mn/m^2$ ,  $n/mm^2$ ,  $n/cm^2$  бўлади.

Бруснинг чўзилишда нисбий узайниши (ёки сиқилишда нисбий қисқариши) 1.1-расм (ёки 1.2) дан аниқланади:

$$\epsilon = \frac{\Delta l}{l},$$

бу ерда  $\Delta l = (l_1 - l)$  – бруснинг абсолют узайниши (ёки абсолют қисқариши);

$l$  – бруснинг дастлабки узунлиги.

Брус кўндаланг ўлчамининг нисбий ўзгариши:

$$\epsilon' = \frac{\Delta a}{a},$$

бу ерда:  $\Delta a = a_1 - a$ .

Чўзилишда  $\epsilon > 0$  деб ҳисобланади, бинобарин  $\epsilon' < 0$ , сиқилишда эса, аксинча.

$\epsilon$  ва  $\epsilon'$  катталиклар чизиқли деформациялар ҳам деб аталади.

$\epsilon'$  нинг  $\epsilon$  га нисбатининг абсолют катталиги кўндаланг деформация коэффициенти ёки Пуассон коэффициенти дейилади.

$$\mu = \left| \frac{\epsilon'}{\epsilon} \right|.$$

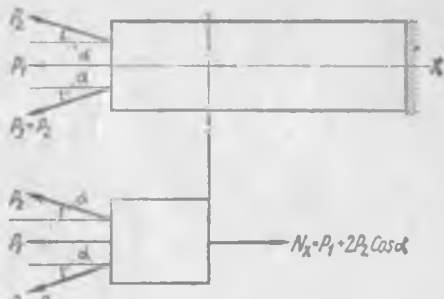
Барча изотроп материаллар учун Пуассон коэффициентининг катталиги

$$0 < \mu < 0,5.$$

Нисбий узайиш билан нормал күчланиш орасида қўйидаги боғланиш мавжуддир:

$$\sigma = E\epsilon.$$

Бу муносабат чизиқли күчланиш ҳолатида Гук қонунининг аналитик ифодасидир.



1. 3-расм.

Бу ерда  $E$  — бўйлама эластиклик модули ёки биринчи тур эластиклик модули;  $E$  нинг ўлчами худди кучланишники ка-бидир.

Бруснинг абсолют узайиниши (қисқариши)  $F = \text{const}$  ва  $N_x = \text{const}$  бўлганда қўйидаги формула аниқланади:

$$\Delta l = \frac{N_x t}{E F}.$$

$N_x$  ва  $F$  ўзгарувчан (ёки, улардан бири ўзгарувчи) бўлганда ёса,

$$\Delta l = \int \frac{N_x dx}{E F}.$$

Умумий ҳолда, яъни  $N_x$  ва  $F$  нинг ўзгариш қонуни бруснинг алоҳида участкаси учун турлича бўлганда

$$\Delta l = \sum_{i=1}^{l=k} \int_{l_i}^{l_{i+1}} \frac{N_x dx}{E F}.$$

Бундан хусусий ҳол сифатида қўйидаги формула ҳосил бўлади:

$$\Delta l = \sum_{i=1}^{l=k} \frac{N_x l_i}{E_i F_i}.$$

Бу формула бўйлама куч ва кесим юзи бруснинг алоҳида участкаси оралиғида ўзгармас деб ҳисобланганда ишлатилади (1.1- мисолга қаранг).

Бруснинг қандайдир икки кўндаланг кесимининг ўзаро силжиши унинг шу кесимлар орасидаги қисмининг узайиниши (қисқариши) га teng бўлади.

Мустаҳкамлик шарти:

$$\sigma = \frac{N_x}{F} \leq [\sigma],$$

бу ерда  $\sigma$ ,  $N_x$  — хавфли кўндаланг кесим (яъни энг катта кучланиш ҳосил бўладиган кесим) даги нормал кучланиш ва бўйлама куч;

$F$  — хавфли кесим юзи;

$[\sigma]$  — рухсат этилган кучланиш.

Кўндаланг кесимининг керакли юзи қўйидаги формула ёрдамида аниқланади:

$$F > \frac{N_x}{[\sigma]}.$$

Бўйлама кучнинг рухсат этилиши мумкин бўлган (хавфсиз) катталигини аниқлаш формуласи:

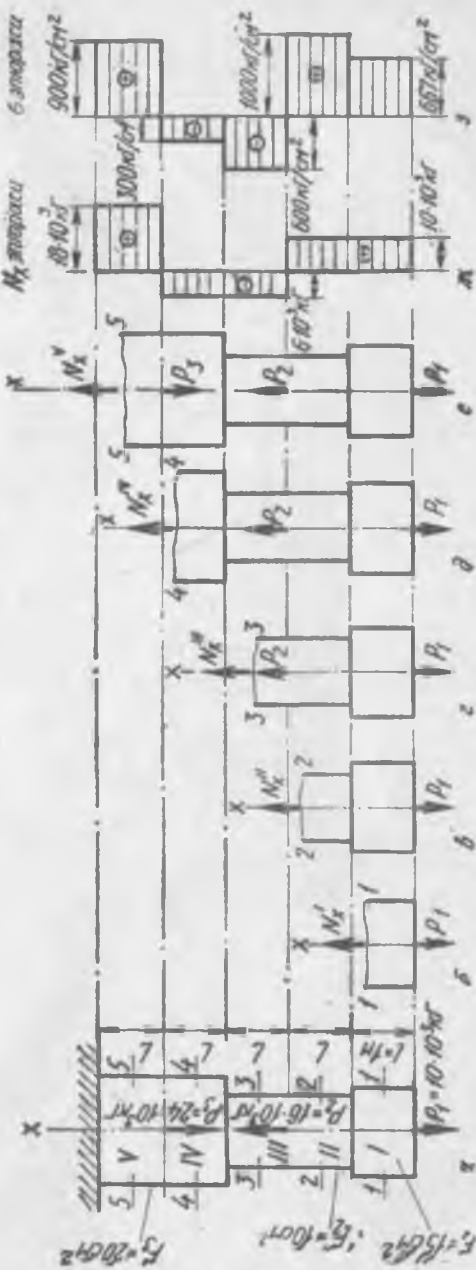
$$[N_x] = F [\sigma].$$

Кесимлар усули асосида топилган  $[N_x]$  нинг қиймати бўйича (статик аниқмас системалар учун кўшимча силжишлар тенгламалири тузилади) ташкин кучларнинг рухсат этиши мумкин бўлган миқдори аниқланади.

## 12-§. ЧЎЗИЛИШ — ОИҚИЛИШНИНГ СТАТИК АНИҚ ХОЛЛАРИ

**1.1-мисол.** Берил-  
ган брус (1.4-расм,  
*а*) учун бүйлама куч  
ва нормал күчләниш  
эпюралары қурил-  
син.

Ечиш. Бруси эркин учидан бошлаб, бешта алоҳида участкаларга бўла-миз; участкаларнинг чегаралари сифатида ташқи кучлар қўйилган кесимлар ҳамда кўндаланг кесим ўлчамлари ўзгарган жой олинади (бу участкалар 1.4-расм, *а* да рим рақамлари билан белгиланган). / участкада ихтиёрий кесим 1—1 ни ўтказамиз ва бруснинг юқори қисмини олиб ташлаб, қолдирилган (остки) қисмининг мувозанат шартини қараймиз. У 1.4-расм, б



1, 4-pacM.

да алоҳида тасвиранган. Қолдирилган қисмга  $P_1$ , куч ва изла-наётган  $N_x^I$  кучланиш таъсир қилади. Бу қисмга таъсир этувчи кучларни  $x$  ўқига проекциялаб қўйидагиларни топамиз:

$$N_x^I - P_1 = 0; \quad N_x^I = P_1 = 10 \cdot 10^8 \text{ кГ}.$$

Бўйлама куч  $N_x^I$  плюс ишора билан ҳосил бўлди, демак, у ҳақиқатан ҳам, олдиндан қабул қилганимиздек (1.4-расм, б) кесимдан ташқарига томон йўналган. Шундай қилиб, бруслинг биринчи участкаси чўзилиш таъсирида бўлади.

1.4-расм, б ва 1.4-расм, в ларни солишириб, қўйидаги холосага келамиз:

$$N_x^{II} - N_x^I = P_1 = 10 \cdot 10^8 \text{ кГ}.$$

III участкада ихтиёрий 3 – 3 кесимни ўтказамиз, бруслинг юқори қисмини олиб ташлаб, (1.4-расм, г да алоҳида тасвиранган) қолган остики қисмининг мувозанатини қараймиз. Қолдирилган қисмга  $P_1$ ,  $P_2$  кучлар ва изланавётган  $N_x^{III}$  кучланиш таъсир қилади. Бу кучларни  $x$  ўқига проекциялаб қўйидагиларни топамиз:

$$N_x^{III} - P_1 + P_2 = 0,$$

$$N_x^{III} = -P_2 + P_1 = -16 \cdot 10^8 + 10 \cdot 10^8 = -6 \cdot 10^8 \text{ кГ}.$$

Минус ишора  $N_x^{III}$  кучининг ҳақиқатда олдиндан тавсия қилингандек кесимдан ташқарига эмас, аксинча кесим томон йўналганини кўрсатади (1.4-расм, г га қаранг). Демак, III участка сиқилиш таъсирида бўлади.

4 – 4 (1.4-расм, д) ва 5 – 5 (1.4 расм, е) кесимлардаги бўйлама кучларнинг топилган қийматлари ҳам худди шу усулда топилади.

Бўйлама кучнинг брус узунлиги бўйича ўзгариш графигини (эпюрасини) қурамиз. Графикнинг абсцисса ўқини брус ўқига параллел қилиб ўтказамиз, ордината ўқи бўйлаб ихтиёрий олинган масштабда бўйлама кучнинг топилган қийматларини жойлаштирамиз.

Бўйлама куч мусбат қийматларини эпюра ўқидан ўнгга, машиниларини эса чапга жойлаштирамиз (1.4-расм, ж). Нормал кучланиш қиймати  $N_x$  ни бруслинг мос кўндаланг кесим юзларига бўлиб, нормал кучланиш эпюрасини ҳосил қиласиз (1.4-расм, з).

1.2-мисол. Пўлат брус учун (1.5-расм, а) кўндаланг кесимнинг кўчиш эпюраси қурилсин

$$E = 2 \cdot 10^8 \text{ кГ/см}^2.$$

Брус оғирлиги ҳисобга олинмасин.

Ечиш. Күчиш эпюрасини маҳкамланган учдан бошлаб қуриш керак. Бруснинг пастки қисмига тегишли бўлган ихтиёрий  $I - I$  кесимнинг кўчиши

$$\Delta_x = \frac{P_x}{E F}$$

яъни, кўчиш чизиқли қонун билан (кесим маҳкамланган учдан узоқлашган сари) ўсади.

$C - C$  кесимнинг кўчиши нолга teng, чунки у маҳкамланган жойга тегишли.  $a - a$  кесимнинг кўчиши

$$\Delta_{a-a} = \frac{P l_2}{E F} = \frac{40 \cdot 10^3 \cdot 10^3}{2 \cdot 10^8 \cdot 25} = 0,08 \text{ см} = 0,8 \text{ мм.}$$

Бруснинг юқори қисми ( $a - a$  кесимдан юқори) кўндаланг кесимининг кўчиши бир хил бўлиб,  $\Delta_{a-a}$  га teng (чунки бруснинг бу қисми деформацияланмайди). Кўчиш эпюраси 1.5-расм,  $b$  да курсатилган.

1.3-мисол. Кесик конус шаклидаги пулат брус (1.6-расм,  $a$ ) учун нормал кучланиш эпюраси қурилсин ва эркин учининг кўчиши ҳисоблансин. Брус оғирлиги ҳисобга олинмасин.

$$E = 2,0 \cdot 10^8 \text{ кГ/см}^2.$$

Ечиш. Бўйлама куч исталган кўндаланг кесимда бир хил:

$$N_x = P = 4 \cdot 10^8 \text{ кГ.}$$

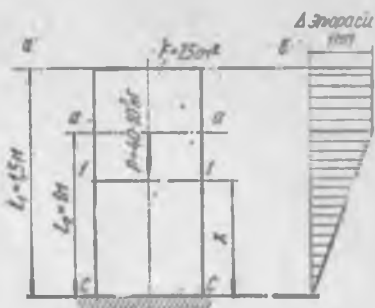
Ихтиёрий кўндаланг кесим юзи (1.6-расм,  $a$  га қаранг)

$$F_x = \frac{\pi}{4} \left( d_0 + \frac{d - d_0}{l} x \right)^2.$$

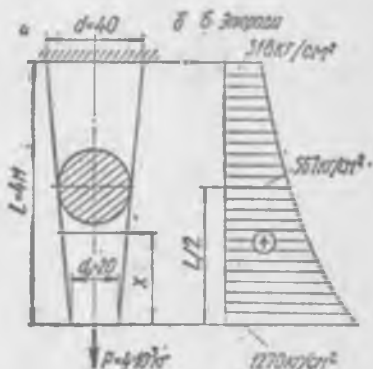
Нормал кучланиш (ихтиёрий кўндаланг кесимда)

$$\sigma_x = \frac{N_x}{F_x} = \frac{P}{\frac{\pi}{4} \left( d_0 + \frac{d - d_0}{l} x \right)^2}$$

яъни  $\sigma_x$  бруснинг узунлиги гиперболик қонун бўйича ўзгаради.



1. 5-расм.



1. 6-расм.

$\sigma_x$  эпюрасини қуриш учун унинг учта хусусий қийматини ҳисоблаб топамиз:

$$\sigma_{x=0} = \frac{P}{\frac{\pi}{4} d_0^2} = \frac{4000}{\frac{\pi}{4} 2^2} = 1270 \text{ кГ/см}^2;$$

$$\sigma_{x=\frac{l}{2}} = \frac{P}{\frac{\pi}{4} \left( \frac{d_0 + d}{2} \right)^2} = \frac{4000}{\frac{\pi}{4} \left( \frac{2+4}{2} \right)^2} = 567 \text{ кГ/см}^2;$$

$$\sigma_{x=l} = \frac{P}{\frac{\pi}{4} d^2} = \frac{4000}{\frac{\pi}{4} \cdot 4^2} = 318 \text{ кГ/см}^2.$$

$\sigma$  эпюраси 1.6-расм, б да көлтирилган. Бу мисолда брус күндалант кесим юзи бүйлама күч үзгармас булишига қаралмасдан унинг баландлыги бүйича узлуксиз үзгәради. Бруснинг чўзилишини аниқлаш учун умумий формулани қўллаш керак:

$$\Delta l = \int_0^l \frac{N_x dx}{E F_x} = \frac{P}{E} \int_0^l \frac{dx}{\frac{\pi}{4} \left( d_0 + \frac{d - d_0}{l} x \right)^2} = \frac{4Pl}{E\pi(d-d_0)} \left( \frac{1}{d_0} - \frac{1}{d} \right) = \\ = \frac{4 \cdot 4 \cdot 10^3 \cdot 400}{2 \cdot 10^4 \pi (4-2)} \left( \frac{1}{2} - \frac{1}{4} \right) = 0,127 \text{ см.}$$

1.4-мисол. Пўлат брус учун (1.7-расм, а) бўйлама күч, нормал кучланиш эпюралари қурилсин, агар  $E = 2 \cdot 10^5 \text{ МН/м}^2$  бўлса, бруснинг абсолют чўзилиши аниқлансан.

Бруснинг юқори қисмига унинг узунлиги бўйича текис тақсимланган ва интенсивлиги  $q = 10 \text{ кН/м}$  бўлган ўқ бўйича нагоруза таъсир этади.

Ечиш. Кесимлар усулини татбиқ этиб, бўйлама кучни брус ҳар бир участкасининг узунлиги бўйича ўзгариш қонунини топамиз. Биринчи участкада (1.7-расм, б)

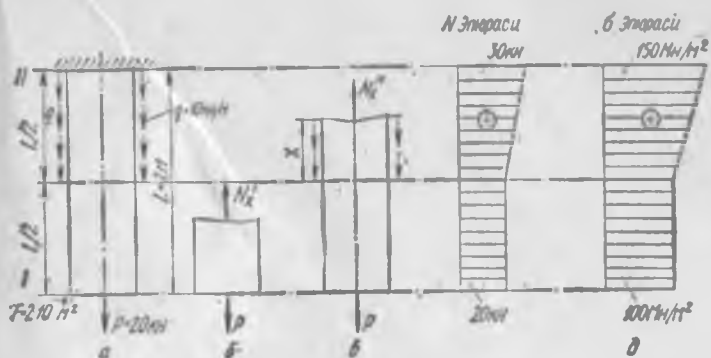
$$N_x^I = P = 20 \text{ кн.}$$

Иккинчи участкада (1.7-расм, в)

$$N_x^{II} = P + qx.$$

Бу участкада бўйлама күч чизиқли қонун бўйича ўзгараади. Участканинг бошида  $N_{x=0}^{II} = P = 20 \text{ кн}$ , охирида —  $N_{x=0.5l}^{II} = P + q \frac{l}{2} = 20 + 10 \cdot 1 = 30 \text{ кн}$ . Бўйлама кучлар эпюраси 1.7-расм, г да кўрсатилган.

Нормал кучланишни аниқлаймиз.



1. 7-расм.

Биринчи участка ва иккинчи участка бошида ( $x = 0$  бүлгандан)

$$\sigma^I = \frac{N_x^I}{F} = \frac{20 \cdot 10^3}{2 \cdot 10^{-4}} = 10 \cdot 10^7 \text{ кН/м}^2 = 100 \text{ МН/м}^2.$$

Иккинчи участка охирида

$$\sigma^{II} = \frac{N_x^{II}}{F} = \frac{30 \cdot 10^3}{2 \cdot 10^{-4}} = 150 \text{ МН/м}^2.$$

$\sigma$  эпюраси 1.7-расмда,  $\delta$  да келтирилген.

Бруснинг абсолют чўзилиши

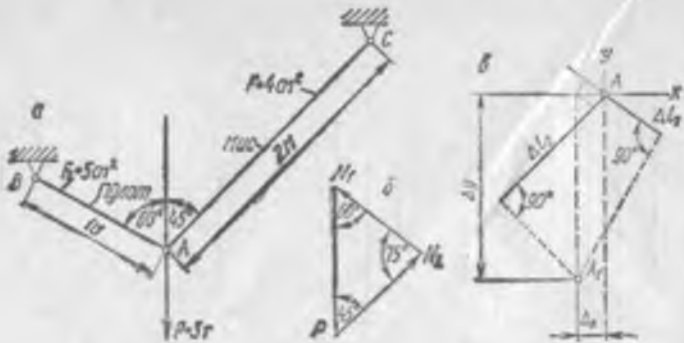
$$\begin{aligned} \Delta l &= \frac{N_x^I \cdot \frac{1}{2}}{EF} + \int_{\frac{l}{2}}^{\frac{l}{2}} \frac{N_x^{II} dx}{EF} = \frac{Pl}{2EF} + \int_{\frac{l}{2}}^{\frac{l}{2}} \frac{(P + qx) dx}{EF} = \frac{Pl}{EF} + \frac{qI^2}{8EF} = \\ &= \frac{20 \cdot 10^3 \cdot 2}{2 \cdot 10^{11} \cdot 2 \cdot 10^{-4}} + \frac{10 \cdot 10^3 \cdot 2^2}{8 \cdot 2 \cdot 10^{11} \cdot 2 \cdot 10^{-4}} = \\ &= 1,125 \cdot 10^{-3} \text{ м} \approx 0,113 \text{ см}. \end{aligned}$$

1.5-мисол. Стерженли система (1.8-расм, а) А тугунининг кўчиши  $E_a = 2 \cdot 10^6 \text{ кГ/см}^2$ ;  $E_m = 1 \cdot 10^6 \text{ кГ/см}^2$  аниқлансанн.

Ечиш. А тугунга таъсири этувчи берилган  $P$  нагрузка ва стерженилардаги номаътум  $N_1$  ва  $N_2$  зўриқишиларнинг мувозанат шартидан куч учбурчагини ясаймиз (1.8-расм, б). Синуслар теоремасидан қўйидагиларни аниқлаймиз:

$$N_1 = \frac{P \sin 45^\circ}{\sin 75^\circ} = \frac{3000 \cdot 0,707}{0,966} = 2200 \text{ кГ};$$

$$N_2 = \frac{P \sin 60^\circ}{\sin 75^\circ} = \frac{3000 \cdot 0,866}{0,966} = 2690 \text{ кГ}.$$



1. 8-расм.

Стерженларнинг абсолют чўзилиши:

$$\Delta l_1 = \frac{N_1 l_1}{E_n F_1} = \frac{2200 \cdot 100}{2 \cdot 10^8 \cdot 5} = 0,022 \text{ см} = 0,22 \text{ мм};$$

$$\Delta l_2 = \frac{N_2 l_2}{E_m F_2} = \frac{2690 \cdot 200}{1 \cdot 10^8 \cdot 4} = 0,1345 \text{ см} = 1,345 \text{ мм}.$$

А шарнирнинг деформациядан кейинги ҳолати ( $A$ , нуқта) ни аниқлаш учун  $B$  ва  $C$  нуқталардан  $l_1 + \Delta l_1$  ва  $l_2 + \Delta l_2$  радиусли ёйларни кесиштириш етарли бўлар эди, лекин деформациялаш кучи кичик булганлиги сабабли ҳар стерженинг давомига уз чўзилишларини жойлаштириб, ёйлар ўтказиш ўрнига, ҳосил қилинган нуқталардан стержень йўналишларига перпендикуляр ўтказиш билан аниқласа бўлади.

Шундай қилиб, ҳосил қилинган геометрик ясаш (1.8-расм,  $a$ ) кўчиш диаграммаси дейилади. Бу диаграммадан,  $\Delta l_1$  А шарнирнинг горизонтал  $\Delta_x$  ва вертикаль  $\Delta_y$  кўчишларининг 1-стержень йўналишига бўлган проекцияларининг алгебраик йигиндисига тенг эканлиги ва  $\Delta l_2$  эса,  $\Delta_x$  ва  $\Delta_y$  ларнинг 2-стержень йўналишига бўлган проекцияларининг йигиндисига тенг эканлиги кўринади, яъни

$$\Delta l_1 = \Delta_y \sin 30^\circ - \Delta_x \cos 30^\circ;$$

$$\Delta l_2 = \Delta_y \sin 45^\circ + \Delta_x \cos 45^\circ,$$

ёки

$$0,5\Delta_y - 0,866\Delta_x = 0,22 \text{ мм}$$

$$0,707\Delta_y + 0,707\Delta_x = 1,345 \text{ мм},$$

бундан

$$\Delta_x = 0,53 \text{ мм}; \quad \Delta_y = 1,36 \text{ мм}.$$

1. 6-мисол. Стерженли системадаги (1.9-расм,  $a$ ) стерженлар кўндаланг кесими диаметрлари ( $d_1$  ва  $d_2$ ) нинг керак-

ли кагталиклари мустаҳкамлик шартидан фойдаланиб аниқлансии. Стержень Ст. З.  $[σ] = 1600 \text{ кГ/см}^2$  пўлатидан тайёрланади.

Ечиш  $BC$  ва  $EF$  стерженларни кесиб, олиб ташланган қисмнинг системанинг қолган қисмига таъсирини  $N_1$  ва  $N_2$  бўйлама кучлар билан алмаштириб, 1.9-расм, б да кўрсатилган ҳисоблаш системаини ҳосил қиласиз.  $AB$  балка учун мувозанат тенгламасини тузамиш.

$$\sum m_A = 0; N_1 \cdot 3,75 - P \cdot 3 = 0,$$

бундан

$$N_1 - \frac{3P}{3,75} = \frac{3 \cdot 4 \cdot 10^3}{3,75} = 3,2 \cdot 10^3 \text{ кГ}.$$

$BC$  стержень кесимининг зарурий юзи

$$F_1 > \frac{N_1}{[σ]} = \frac{3200}{1600} = 2 \text{ см}^2,$$

$BC$  стерженинг керакли диаметри эса,

$$d_1 = \sqrt{\frac{4F_1}{π}} = \sqrt{\frac{4 \cdot 2}{3,14}} \approx 1,6 \text{ см.}$$

$CD$  балка учун мувозанат тенгламасини тузамиш:

$$\sum m_D = 0; N_1 \cdot 3,8 - N_2 \cdot 3,2 \sin 30^\circ = 0,$$

бундан

$$N_2 = \frac{N_1 \cdot 3,8}{3,2 \sin 30^\circ} = \frac{3,2 \cdot 10^3 \cdot 3,8}{3,2 \cdot 0,5} = 7,6 \cdot 10^3 \text{ кГ}.$$

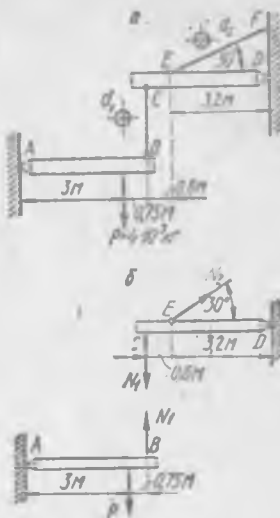
$EF$  стержень кесимининг зарурий юзи

$$F_2 > \frac{N_2}{[σ]} = \frac{7600}{1600} = 4,75 \text{ см}^2,$$

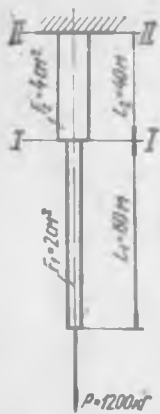
$EF$  стерженинг керакли диаметри эса,

$$d_2 = \sqrt{\frac{4F_2}{π}} = \sqrt{\frac{4 \cdot 4,75}{3,14}} \approx 2,5 \text{ см.}$$

1.7-мисол. Икки поғонали брусларниг (1.10-расм) ҳар бир участкаси учун хавфли кесимларидаги кучланишлар ва унинг тўла чўзилиши бруслоригини ҳисобга олган ҳолда аниқлансан. Бунда  $τ = 7,85 \text{ Г/см}^3$ ,  $E = 2 \cdot 10^6 \text{ кГ/см}^2$ .



1.9-расм.



Ечиш. I—I ва II—II хавфли кесимлардир.

I—I кесимдаги бүйлама күч

$$\max N_x^I = P + \gamma F_1 l_1 = 1200 + 7,85 \cdot 10^{-3} \cdot 2 \cdot 80 \cdot 10^2 = 1326 \text{ кГ.}$$

I—I кесимдаги нормал күчланиш

$$\max \sigma_I = \frac{\max N_x^I}{F_1} = \frac{1326}{2} = 663 \text{ кГ/см}^2.$$

II—II кесимдаги бүйлама күч

$$\max N_x^{II} = P + \gamma F_1 l_1 + \gamma F_2 l_2 = 1200 + 7,85 \cdot 10^{-3} \cdot 2 \cdot 80 \cdot 10^2 + 7,85 \cdot 10^{-3} \cdot 4 \cdot 40 \cdot 10^2 = 1452 \text{ кГ.}$$

1. 10-расм.

II—II кесимдаги нормал күчланиш

$$\max \sigma_{II} = \frac{\max N_x^{II}}{F_2} = \frac{1452}{4} = 363 \text{ кГ/см}^2.$$

Бруснинг тўла чўзилиши

$$\Delta l = \frac{P l_1}{E F_1} + \frac{\gamma F_1 l_1 l_1}{2 E F_1} + \frac{P l_2}{E F_2} + \frac{\gamma F_1 l_1 l_2}{E F_2} + \frac{\gamma F_2 l_2 l_2}{2 E F_2},$$

Бу ерда  $\frac{P l_1}{E F_1}$  — брус ости қисмининг  $P$  күч таъсирида чўзилиши;

$\frac{\gamma F_1 l_1 l_1}{2 E F_1}$  — брус ости қисмининг ўз оғирлиги таъсирида чўзилиши\*;

$\frac{P l_2}{E F_2}$  — брус устки қисмининг  $P$  күч таъсирида чўзилиши;

$\frac{\gamma F_1 l_1 l_2}{E F_2}$  — брус устки қисмининг ости қисми оғирлиги таъсирида чўзилиши, бу оғирлик устки қисм учун тўпланган күч бўлади;

$\frac{\gamma F_2 l_2 l_2}{2 E F_2}$  — брус устки қисмининг ўз оғирлиги таъсирида чўзилиши.

Сон қийматларни қўйиб,  $\Delta l = 3,22 \text{ см}$  эканлигинн топамиз.

1.8-мисол. Сикилишга тенг қаршиликли брус шаклида тошдан ишланган устуннинг (1.11-расм): 1) устки кесими юзи  $F_0$ :

\*Бу ерда ўзгармас кўндаланг кесими брус (брус участкаси) инг ўз оғирлиги таъсирида чўзилиши унинг эркин учига қўйилган ва ўз оғирлиги тенг бўлган тўпланган күч таъсирида чўзилишига қараганда икки марта кичик бўлишини вслатиш

2) ости кесимнинг юзи  $F_{\max}$ ; 3) терманинг оғирлиги  $Q$  аниқлансан. Терманинг сиқи-лишга рухсат этилган кучланиши  $[\sigma_c] = 10 \text{ кГ/см}^2$ ; терманинг ҳажмий оғирлиги  $\gamma = 2,5 \text{ Т/м}^3$ .

Ечиш. 1) устки кесимнинг керакли юзи

$$F_0 = \frac{P}{[\sigma]} = \frac{300000}{10} = 30000 \text{ см}^2 = 3 \text{ м}^2.$$

2) Ости кесимнинг керакли юзи  $F_{\max}$  ни қуйядаги формуладан топамиз:

$$F_{\max} = F_0 e^{\frac{1f}{[\sigma]}} = 3 \cdot 2,72^{\frac{2,5 \cdot 15}{100}} = 4,37 \text{ м}^3,$$

Бу ерда  $[\sigma] = 10 \text{ кГ/см}^2 = 100 \text{ Т/м}^2$ .

3) Терманинг оғирлиги

$$Q = F_{\max} [\sigma] - P = 4,37 \cdot 100 - 300 = 137 \text{ Т.}$$

Терманинг ҳажми

$$V = \frac{Q}{\gamma} = \frac{137}{2,5} = 53,8 \text{ м}^3.$$

### Мустақил ечиш учун масалалар

1.1. Бруска таъсири этувчи (1.12- расм) бўйлама куч ва нормал кучланишнинг эпюралари қурилсан ва бруск узунлигининг тўла ўзгариши аниқлансан. Бунда  $E = 2 \cdot 10^5 \text{ МН/м}^2$

Жавоби:  $|\max N_x| = 20 \text{ кН}$ ,  $|\max \sigma| = 100 \text{ МН/м}^2$ ,  $\Delta l = 0,015 \text{ см}$ .

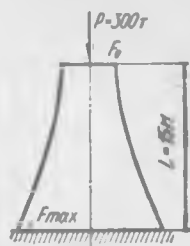
1.2. Погонали брус (1.13- расм) учун бўйлама куч, нормал кучланиш эпюралари қурилсан ва унинг тўла узайиши аниқлансан. Масалани ечишда  $E_{\text{ел}} = 0,7 \cdot 10^6 \text{ МН/м}^2$ ,  $E_u = 1 \cdot 10^6 \text{ МН/м}^2$ ,  $E_n = 2 \cdot 10^5 \text{ МН/м}^2$  деб олинсан.

Жавоби.  $\Delta l = 0,318 \text{ см}$ .

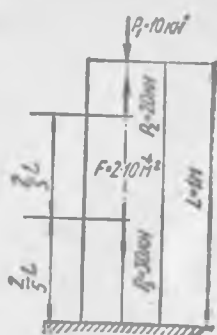
1.3. Кесим юзи  $F = 5 \text{ см}^2$  бўлган  $AB$  пўлат тортқи  $CD$  балкани тортиб туради (1.14- расм). Тортқидаги кучланиш ҳамда унинг абсолют чўзилиши аниқлансан ва  $CD$  балка учун бўйлама куч эпюраси қурилсан.

Жавоби.  $\sigma_{AB} = 1540 \text{ кГ/см}^2$ ;  $\Delta l_{AB} = 0,148 \text{ см}$ .

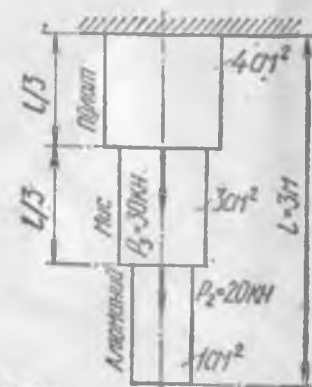
1.4. Қалинлиги ўзгармас ва эни ўзгарувчан пўлат полосанинг чўзилиши аниқлансан (1.15- расм),  $E = 2 \cdot 10^5 \text{ кГ/см}^2$ .



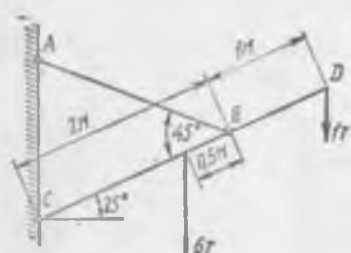
1. 11- расм.



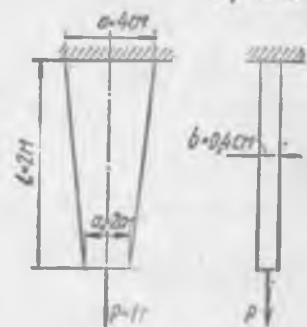
1. 12-расм.



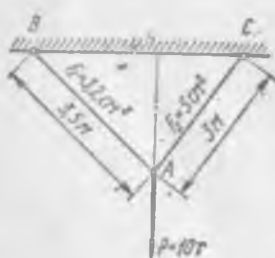
1. 13-расм.



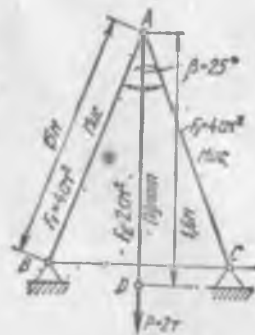
1. 14-расм.



1. 15-расм.



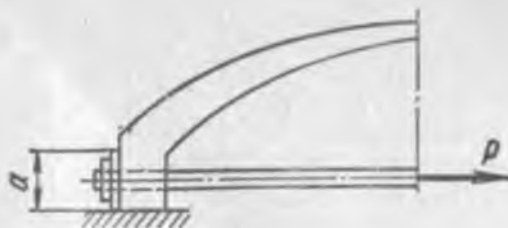
1. 16-расм.



1. 17-расм.



1. 18-расм.



1. 19- расм.

Полоса оғирлиги назарга олинмасин.

Жавоби.  $\Delta l = 0,87 \text{ мм}$ .

1.5. А шарнирнинг тула кўчиши ҳисоблансин (1.16- расм), бунда  $E = 2,1 \cdot 10^6 \text{ кГ/см}^2$ .

Кўрсатма. Масалани график усулда ечиш тавсия қилинади, яъни кўчиш диаграммасини ясаб, сўнгра излангаётган катталиклар диаграмманинг мос кесмаларини ўлчаш үйли билан аниқланади.

Жавоби.  $\Delta_A = 0,295 \text{ см}$ .

1.6. Стерженли система D нуқтасининг кўчиши аниқлансин (1.17- расм),  $E_n = 2 \cdot 10^6 \text{ кГ/см}^2$ ,  $E_u = 1 \cdot 10^6 \text{ кГ/см}^2$ .

Жавоби.  $\Delta_D = 0,126 \text{ см}$ .

1.7. Труба деворининг қалинлиги аниқлансин (1.18- расм),  $[\sigma_n] = 900 \text{ кГ/см}^2$ .

Жавоби.  $t \approx 1,0 \text{ см}$ .

1.8. Арка тортқисининг диаметри  $d = 30 \text{ мм}$  булиб,  $P = 12 \text{ т}$  куч билан тортилади (1.19- расм). Квадрат шайбанинг аркага булган босими  $80 \text{ кГ/см}^2$  дан ошмаслик шартидан фойдаланиб, а томонининг узунлиги аниқлансин.

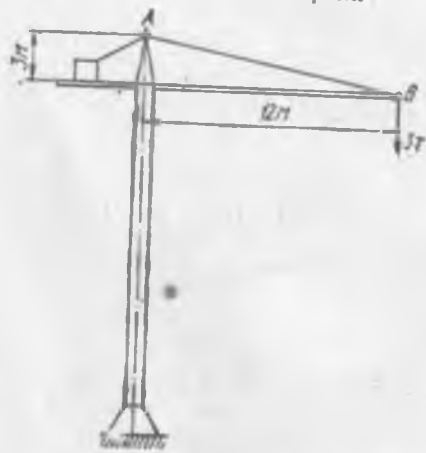
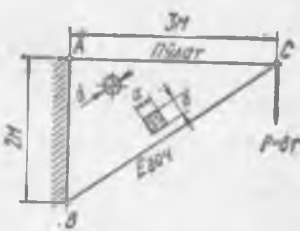
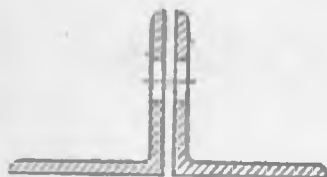
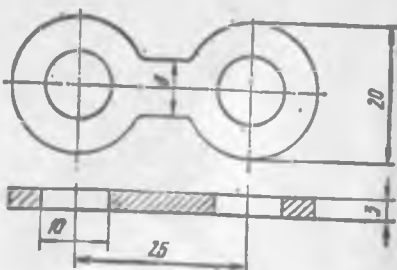
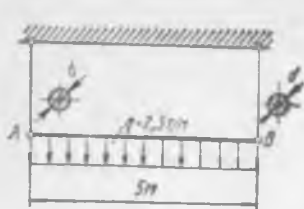
Жавоби.  $a = 12,5 \text{ см}$ .

1.9. Агар тортқилар (1.20- расм) материалнинг оқувчанлик чегараси  $\sigma_o = 30 \text{ кГ/мм}^2$ , берилган (керакли) эҳтиёт коэффициенти  $[n_k] = 2$  бўлса, унинг талаб этилган диаметри аниқлансин.

Жавоби.  $d = 2,35 \text{ см}$ .

1.10. Юк кўтариғиган пластинкали занжир чузувчи зўриқиш  $P = 600 \text{ кГ}$  таъсирида. Занжирнинг ҳар бир звеноси ўлчамлари 1.21- расмда кўрсатилган икки пластинкадан таркиб топган. Пластинканинг хавфли кесимидаги зўриқиш аниқлансин.

Жавоби.  $1250 \text{ кГ/см}^2$ .



**1.11.**  $32 t$  зўриқиши билан чўзиладиган, рухсат этилган кучланиши  $[\sigma] = 1800 \text{ кГ/см}^2$  бўлган метал ферма стерженлари учун 8509—57 ГОСТ бўйича иккита тенг ёнли бурчаклик танланг. Бунда стерженнинг кесими диаметри  $20 \text{ мм}$  бўлган парчин мих тешиги билан заифлаштирилганлигини назарга олинг (1.22-расм).

*Жавоби.*  $75 \times 75 \times 7$  (ута кучланиши  $\approx 2,2\%$  бўлганда).

**1.12.** Кронштейн стерженлари кўндаланг кесимларининг керакли ўлчамлари аниқлансан (1.23-расм), пўлат учун  $[\sigma]_n = 1400 \text{ кГ/см}^2$ , ёғоч учун  $[\sigma]_e = 50 \text{ кГ/см}^2$ .

*Жавоби.*  $d = 3,6 \text{ см}$ ,  $a = 17 \text{ см}$ .

**1.13.** Минорали краннинг (1.24-расм)  $AB$  тросидаги  $S$  чўзувчи зўриқиши ва трос тўкиш учун керак бўлган  $d = 2 \text{ мм}$  диаметрли пўлат сим (канат) ларнинг сони аниқлансан. Канат симининг ҳисобий мустаҳкамлик чегараси  $120 \text{ кГ/мм}^2$ . Канат етти марта мустаҳкамлик билан ишлаши керак.

*Жавоби.*  $S = 12400 \text{ кГ}$ ; 240 та сим.

**1.14.** Денгиз чуқурлигини ўлчаш учун диаметри  $d = 1,5 \text{ мм}$  симга, ҳажми  $V = 2400 \text{ см}^3$  асбоб боғлаб туширилади. Асбоб оғирлиги  $G = 17 \text{ кГ}$ . Агар симнинг мустаҳкамлик чегараси  $[\sigma_s] = 6500 \text{ кГ/см}^2$  ва ҳажмий оғирлиги  $\gamma = 7,8 \text{ Г/см}^3$  бўлса, сувга туширишнинг сим узиладиган чегаравий чуқурлиги  $h$  аниқлансан. Денгиз сувининг ҳажмий оғирлиги  $1 \text{ Г/см}^3$  га тенг.

*Жавоби.*  $h \approx 9550 \text{ м}$ .

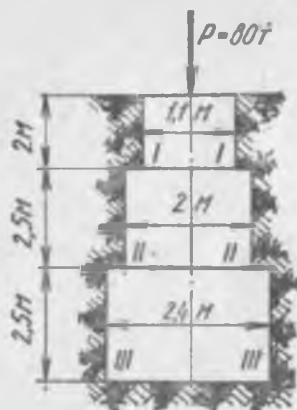
**1.15.** Агар  $\gamma = 2,4 \text{ Т/м}^3$  бўлса, кесими квадрат бўлган поғонали фундаментнинг (1.25-расм) I—I, II—II ва III—III кесимларида ҳосил бўладиган кучланишлар аниқлансан. Фундаментни ўраб турган тупроқнинг таъсири ҳисобга олинмасин.

*Жавоби.*  $\sigma_{I-I} = 7,09 \text{ кГ/см}^2$ ;  $\sigma_{II-II} = 2,75 \text{ кГ/см}^2$ ;  $\sigma_{III-III} = 2,51 \text{ кГ/см}^2$ .

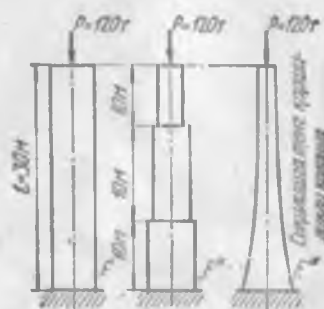
**1.16.** Агар  $\sigma_n = 10 \text{ кГ/см}^2$ ,  $\gamma = 2,5 \text{ Т/м}^3$  бўлса, учта колона (1.26-расм) асосларининг юзлари ва ҳажмлари (кубатуралари) солиштирилсин.

*Жавоби.*  $F_I = 4,8 \text{ м}^2$ ;  $V_I = 144 \text{ м}^3$ ;  
 $F_{II} = 2,82 \text{ м}^2$ ;  $V_{II} = 65,5 \text{ м}^3$ ;  
 $F_{III} = 2,54 \text{ м}^2$ ;  $V_{III} = 53,6 \text{ м}^3$ .

**1.17.** Диаметри  $8 \text{ мм}$  ва узунлиги  $12 \text{ см}$ , кўндаланг кесими доиравий шаклдаги иккি резинкадан ясалган рогаткадан тош отиш учун резинкаларнинг ҳар бири  $10 \text{ см}$  узантисирилади.



1. 25-расм.



1. 26-расм.

Тошнинг оғирлиги  $0,1 \text{ кГ}$ . Агар рогатканинг фик, яъни эластик деформация энергиясидан фойдаланиш улуши  $0,5$  бўлса тошнинг отилиш пайтидаги бошланғич тезлиги аниқлансин. Резинканинг бўйлама эластиклик модули  $E = 10 \text{ кГ/см}$  (Кесимининг торайни назарга олинмасин).

Жавоби.  $v = 6,4 \text{ м/сек.}$

### 1.3-§. ЧЎЗИЛИШ-СИҚИЛИШНИНГ СТАТИК АНИҚМАС ҲОЛЛАРИ

1.9-мисол. Икки учи маҳкам биринкирилган бруслар (1.27- расм, а) учун боғланишлар реакциялари аниқлансин, бўйлама куч ва нормал кучланиш эпюоралари қурилсин.  $E_n = 2 \cdot 10^6 \text{ кГ/см}^2$ ,  $E_m = 1 \cdot 10^6 \text{ кГ/см}^2$ .

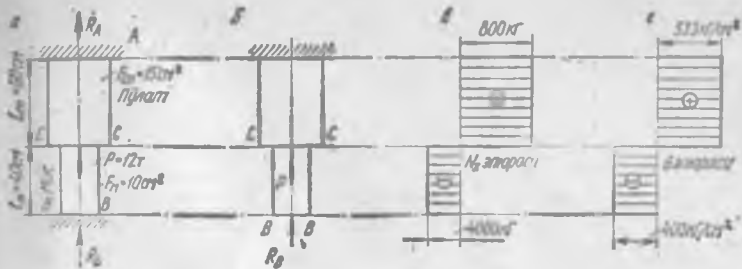
Ечиш. Куриб чиқиладиган масала статик аниқмас масалалар категориясига таалуқлидир, чунки ички зўриқишилар қийматини биргина статик тенгламалари ёрдамида аниқлаб бўлмайди, уларни аниқлаш учун қўшимча кўчишлар тенгламарини (мазкур ҳолда битта) тузиш керак.

Ташки куч таъсирида  $R_A$  ва  $R_B$  таянч реакциялари ҳосил булади.

Статикадан икки номаълумли битта тенгламани оламиз:

$$R_A + R_B = P.$$

Бруслар деформацилари шартидан,  $A$  ва  $B$  кесимларининг кўчишлилари (улар маҳкамланган бўлгани учун) нолга тенг эканлигин яққол кўринади. Пастки боғланишини олиб ташлаймиз ва унинг таъсиринин ҳозирча номаълум бўлган  $R_B$  реакция билан алмаш-



1. 27- расм.

тирамиз. Шундай қилиб,  $P$  ва  $R_B$  күчлар билан юкленган статик аниқ брусни ҳосил қиласыз (1.27-расм, б).

$B$  кесимнинг маълум ташки  $P$  күч таъсирида кўчишини аниқлаймиз:

$$\Delta_{BP} = \frac{P l_n}{E_u F_u}.$$

$B$  кесимнинг номаълум  $R_B$  күч таъсирида кўчишини аниқлаш учун қўйидаги ифодани тузамиз:

$$\Delta_{BR_B} = -\frac{R_B l_u}{E_u F_u} - \frac{R_B l_n}{E_n F_n}.$$

$B$  кесимнинг  $P$ ,  $R_B$  күчларнинг биргаликдаги таъсирида (куч таъсирининг боғлиқсизлиги принципига асосан) берилган ва изланадетган күчлар таъсирида олган кўчишларининг алгебраик йигиндинсига тенг:

$$\Delta_B = \Delta_{BP} + \Delta_{BR_B}.$$

Лекин  $B$  кесимнинг кўчиши нолга тенг:

$$\Delta_{BP} + \Delta_{BR_B} = 0,$$

ёки

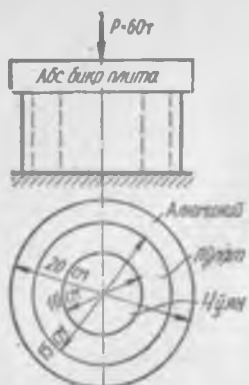
$$\frac{P l_n}{E_u F_u} - \frac{R_B l_u}{E_u F_u} - \frac{R_B l_n}{E_n F_n} = 0,$$

бундан

$$R_B = \frac{P}{1 + \frac{l_u E_u F_u}{l_n E_n F_n}}.$$

Сон қийматларни қўйиб, қўйидагиларни тодамиз:

$$R_B = \frac{12 \cdot 10^3}{1 + \frac{40 \cdot 2 \cdot 10^6 \cdot 15}{60 \cdot 10^6 \cdot 10}} = 4000 \text{ кН.}$$



1. 28-расм.

Мұвозанат тенгламасидан қўйидаги натижани оламиз:

$$R_A = P - R_B = 12000 - 4000 = 8000 \text{ кГ}.$$

Бўйлама куч эпюраси 1.27-расм, өда, нормал кучланиш эпюраси эса, 1.27-расм, ғ да кўрсатилган.

1.10-мисол. Катта чўян брус, пўлат трубка ичига эркин қўйилган, пўлат трубка эса ўз навбатида алюминий трубка ичига киритиб қўйилган (1.28-расм). Агар

$$E_n = 2 \cdot 10^6 \text{ кГ/см}^2; E_{q_{y_{\text{ин}}}} = 1,2 \cdot 10^6 \text{ кГ/см}^2;$$

$$E_{a_{\text{ал}}} = 0,7 \cdot 10^6 \text{ кГс/м}^2$$

бўлса, брус ва трубкалар кўндаланг кесимидағи кучланишлар аниқлансин

Ечиш.  $P$  куч таъсирида брус ва трубкаларда  $N_{q_{y_{\text{ин}}}}$ ;  $N_n$ ;  $N_{a_{\text{ал}}}$  зўриқишилар ҳосил бўлади. Статикадан уч номаълумли битта тенглама тузамиз:  $N_{q_{y_{\text{ин}}}} + N_n + N_{a_{\text{ал}}} = P$ . Демак, масала иккни маротаба статик аниқмасдир. Мисолда зўриқишиларни эмас, балки кучланишларни аниқлаш талаб этилаётгани учун уларни кўндаланг кесим юзи ва кучланишлар орқали ифодалаш қулайдир:

$$N_{q_{y_{\text{ин}}}} = F_{q_{y_{\text{ин}}}} \sigma_{q_{y_{\text{ин}}}};$$

$$N_n = F_n \sigma_n;$$

$$N_{a_{\text{ал}}} = F_{a_{\text{ал}}} \sigma_{a_{\text{ал}}}.$$

Брус ва трубкаларнинг кесим юзларини ҳисоблаймиз:

$$F_{q_{y_{\text{ин}}}} = \frac{\pi \cdot 10^4}{4} = 78,5 \text{ см}^2;$$

$$F_n = \frac{\pi}{4} (15^2 - 10^2) = 98,2 \text{ см}^2;$$

$$F_{a_{\text{ал}}} = \frac{\pi}{4} (20^2 - 15^2) = 137,2 \text{ см}^2.$$

У вақтда

$$78,5 \sigma_{q_{y_{\text{ин}}}} + 98,2 \sigma_n + 137,2 \sigma_{a_{\text{ал}}} = 60 \cdot 10^3.$$

Маълумки, системанинг ҳамма элементлари бир хилда қисқаради, яъни  $\Delta l_{q_{y_{\text{ин}}}} = \Delta l_n = \Delta l_{a_{\text{ал}}}$ , ёки  $l_{q_{y_{\text{ин}}}} = l_n = l_{a_{\text{ал}}}$  эканлигини ҳисобга олиб,

$$\epsilon_{q_{y_{\text{ин}}}} = \epsilon_n = \epsilon_{a_{\text{ал}}}.$$

Бүйлама деформацияни Гук қонунига күра  $\sigma$  ва  $E$  орқали ифодалаб, қуйидагини топамиз:

$$\frac{\sigma_{\text{чүзи}}}{E_{\text{чүзи}}} = \frac{\sigma_n}{E_n} = \frac{\sigma_{al}}{E_{al}}$$

$\sigma_n$  ва  $\sigma_{al}$  ларни  $\sigma_{\text{чүзи}}$  орқали ифодалаймиз:

$$\sigma_n = \sigma_{\text{чүзи}} \cdot \frac{E_n}{E_{\text{чүзи}}}$$

$$\sigma_{al} = \sigma_{\text{чүзи}} \cdot \frac{E_{al}}{E_{\text{чүзи}}}$$

У вақтда

$$78,5 \sigma_{\text{чүзи}} + 98,2 \sigma_{\text{чүзи}} \frac{E_n}{E_{\text{чүзи}}} + 137,2 \sigma_{\text{чүзи}} \frac{E_{al}}{E_{\text{чүзи}}} = 60 \cdot 10^3.$$

Соний қийматларни қўйсак,

$$\sigma_{\text{чүзи}} = 186 \text{ кГ/см}^2,$$

$$\sigma_n = 186 \cdot \frac{2 \cdot 10^6}{1,2 \cdot 10^6} = 310 \text{ кГ/см}^2,$$

$$\sigma_{al} = 186 \cdot \frac{0,7 \cdot 10^6}{1,2 \cdot 10^6} = 109 \text{ кГ/см}^2.$$

1. 11- мисол. Агар  $E_n = 2E_m = 2 \cdot 10^6 \text{ кГ/см}^2$  бўлса, кундаланг кесим юзлари бир хил бўлган стерженлардаги зўриқишилар аниқлансин (1.29-расм, а)

Е чи ш. Кесимлар усулини татбиқ этиб, берилган  $P$  нагоруза ҳамда изланадиган  $N_1, N_2, N_3$  кучлар ва ҳ. к. стерженлардаги зўриқишилар таъсирида  $A$  тутуннинг мувозанатидан (1.29-шакл, б), қуйидагиларни топамиз:

$$2N_2 \cos \beta + 2N_3 \cos \alpha + N_1 = P. \quad (1)$$

Мувозанат тенгламасини тузишда, симметрик жойлашган ён стерженлардаги зўриқишиларнинг ўзаро тенглиги ҳисобга олинганинлигига эътибор бериш керак ( $N_1 = N_4, N_2 = N_5$ ).



1. 29-расм.

Күрсатылган зўриқишишларнинг тенглиги системанинг симметрик клигидан келиб чиқади. Ён стерженлар системанинг симметрия ўқига бир хил бурчак ҳосил қилиб оғган ва бундан ташқари, симметрик жойлашган стерженларнинг бикрлиги бир хилдадир. Умуман айтганда, берилган система уч маротаба статик аниқмасдир: бешта номаълум қиймат ва иккита статика тенгламаси (текисликда кесишувчи кучлар системаси). Конструкция симметрик бўлганлиги учун, битта статика тенгламаси ва битта кўчиш тенгламаси оғзаки ечилади (улар ёзилмаган ҳам) ва  $N_1 = N_4$ ,  $N_2 = N_3$  эканлигини беради. Шундай қилиб, икки кўчиш тенгламаларини тузиш керак, холос.

Кўчиш диаграммаси (1.29-расм, 6) дан қўйидагиларни топамиз:

$$\Delta l_1 = \Delta l_3 \cos \alpha \text{ ёки } \frac{N_1 l}{E_m F \cos \alpha} = \frac{N_3 l}{E_n F} \cos \alpha.$$

$E_n = 2E_m$  эканлигини ҳисобга олиб, қўйидаги зўриқишини топамиз:

$$N_1 = \frac{N_3 \cos^2 \alpha}{2}. \quad (2)$$

Шунингдек, кўчиш диаграммасидан

$$\Delta l_3 = l_3 \cos \beta,$$

ёки

$$\frac{N_3 l}{E_n F \cos \beta} = \frac{N_3 l}{E_n F} \cos \beta,$$

бундан

$$N_3 = N_3 \cos^2 \beta. \quad (3)$$

$N_1$  ва  $N_3$  ларнинг қийматлари (2) ва (3) ни (1) тенгламага қўйсанак:

$$N_3 = \frac{P}{1 + \cos^2 \alpha + 2 \cos^2 \beta}.$$

$N_3$  нинг топилган қийматини (2) ва (3) ифодаларга қўйиб, қўйидагиларни ҳосил қиласиз:

$$N_1 = \frac{P \cos^2 \alpha}{2(1 + \cos^2 \alpha + 2 \cos^2 \beta)} = \frac{N_3}{2} \cos^2 \alpha;$$

$$N_3 = \frac{P \cos^2 \beta}{1 + \cos^2 \alpha + 2 \cos^2 \beta} = N_3 \cos^2 \beta.$$

Сон қийматларини қўйсанак:

$$N_3 = \frac{30 \cdot 10^3}{1 + 0,744 + 0,376} = 14,1 \cdot 10^3 \text{ кГ};$$

$$N_1 = \frac{14,1 \cdot 10^3}{2} \cos^2 25^\circ = 5,81 \cdot 10^3 \text{ кГ};$$

$$N_3 = 14,1 \cdot 10^3 \cos^2 55^\circ = 4,66 \cdot 10^3 \text{ кГ}.$$

Берилган системада стерженларнинг юкланиши бир хилда эмаслиги диққатни ўзига жалб қиласи: ўртадаги стержень энг кўп кучланган ва чеккадаги стерженлар эса энг кам кучланган. Чеккадаги стерженда чўзувчи зўриқиши ўртадаги стерженда ҳосил бўладиган зўриқишининг атиги 33% ини ташкил қиласи.

**1.12-мисол.** А шарнирли таянчнинг  $P_A$  реакцияси ва абсолют бикр ҳисобланган балкани ушлаб турадиган стерженлардаги зўриқишилар аниқлансин (1. 30-расм.а). Стерженлар бир хил материалдан тайёрланади.

Ечиш. Балкага таъсир этувчи кучлар системаси 1. 30-расм.б да кўрсатилган. Бундай кучлар системаси учун статика иккита мувозанат тенгламасини беради, номаълумлар учун уча:  $N_1$ ,  $N_2$ ,  $R_A$ . Демак, система бир маротаба статик аниқмасдири.

Мувозанат тенгламаларини тузамиз:

$$\sum V = 0; \quad -4 - N_1 + R_A + N_2 = 0, \quad (1)$$

$$\sum m_A = 0; \quad 4 \cdot 0,8 - N_2 \cdot 0,5 - N_1 \cdot 1 - 0,8 = 0. \quad (2)$$

1. 30-расм. б да системанинг деформацияланган схематик ҳолати кўрсатилган. Чизмадан қўйидагиларни топамиз:

$$\frac{\Delta l_1}{\Delta l_2} = \frac{CA}{AD} \quad \text{ёки} \quad \frac{\Delta l_1}{\Delta l_2} = \frac{1}{0,5} = 2.$$

Стерженнинг абсолют чўзилишини Гук формуласига мувофиқ ифодалаймиз:

$$\Delta l_1 = \frac{N_1 h}{E F_1}; \quad \Delta l_2 = \frac{N_2 h}{E F_2}.$$

У вактда

$$\frac{N_1 h}{E F_1} : \frac{N_2 h}{E F_2} = 2,$$

$F_1$  ва  $F_2$  ларнинг сон қийматларини қўйсанак

$$N_1 = 1,25 N_2. \quad (3)$$

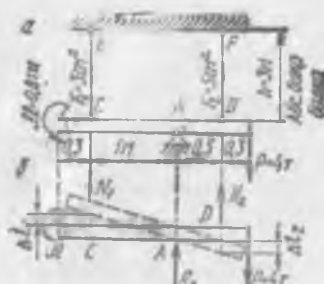
(3) муносабатни (2) тенгламага қўйиб, қўйидаги натижани топамиз.

$$N_1 = 1,41 \text{ т.}$$

$$N_2 = 1,7 \text{ т.}$$

(1) дан қўйидагиларни топамиз:

$$R_A = 4 + N_1 - N_2 = 4 + 1,41 - 1,7 = 3,71 \text{ т.}$$



1. 30-расм.

## Температура күчланишлар

1. 13-мисол. Икки учи құзғолмас таяңч билан маңкамланган пұлат брус (1.31-расм) маңкамланиш ҳолатидаги температурасыдан  $40^\circ$  га қнэдрилган. Брусни қиздириш натижасыда унинг күндаланг кесимларида ҳосил бўладиган күчланишлар ҳисоблансан,  $E = 2 \cdot 10^6$  кГ/см<sup>2</sup>;  $\alpha_a = 12 \cdot 10^{-6}$ .

Е ч и ш. Брусни қиздириш натижасыда унинг маңкамланган жойларida  $R_A$  ва  $R_D$  реакциялар ҳосил бўлади (улар расмда кўрсатилмаган), уларни аниқлаш учун статика фақат биттаги-на тенгламани беради:  $\sum X = 0$ ;  $R_A - R_D = 0$ ;  $R_A = R_D$ . Демак, масала статик аниқмасдир.

Мисол ечишнинг давоми 1.9-мисолнинг ечимиға ухшайди: ўнг томондаги боғланишни олиб ташлаб унинг бруса таъсирини изланаётган  $R_D$  реакция кучи билан алмаштирамиз.

Қизитиш натижасыда (олиб ташланган боғланишда)  $D$  кесимнинг кўчиши

$$\Delta l_i = \alpha_a (2a + b) \Delta t.$$

$R_D$  куч таъсиридан бруснинг қисқариши:

$$\Delta l_{R_D} = -\frac{R_D 2a}{E F_2} - \frac{R_D \cdot b}{E F_1}.$$

У вақтда

$$\alpha_a \Delta t (2a + b) = \frac{2R_D \cdot a}{E F_2} + \frac{R_D \cdot b}{E F_1},$$

бундан

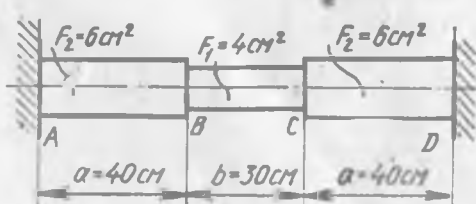
$$R_D = \frac{\alpha_a \Delta t (2a + b) E F_1 F_2}{2a F_1 + b F_2} = \frac{12 \cdot 10^{-6} \cdot 40 (2 \cdot 40 + 30) 2 \cdot 10^6 \cdot 4 \cdot 6}{2 \cdot 40 \cdot 4 + 30 \cdot 6} = 5080 \text{ кГ.}$$

Стержень ўрта қисмининг күндаланг кесимидағи зўриқиши

$$\sigma_{BC} = -\frac{R_D}{F_1} = -\frac{5080}{4} = -1270 \text{ кГ/см}^2.$$

Стержень чекка қисмининг күндаланг кесимларидаги зўриқишилар

$$\sigma_{AB} = \sigma_{CD} = -\frac{R_D}{F_2} = -\frac{5080}{6} = -847 \text{ кГ/см}^2.$$



1. 31-расм.

Күчланиш сиқувчан бўлгани учун минус ишораси қўйилди.

1.14- мисол. Абсолют бикр (қаттиқ) балкани (1.32-расм, a) ушлаб турадиган ўртадаги стержень (мисдан ишлангани)

$\Delta t = 50^\circ$  га қиздирилганда, унинг кўндаланг кесимларида ҳосил бўладиган зўриқишиш аниқлансан  $E_m = 16,5 \cdot 10^{-6}$ ,  $E_n = -2E_m = -2 \cdot 10^6 \text{ кГ/см}^2$  қабул қилинсин.

Ечиш ўртадаги стержень қизиганида узаяди, иккала чекка стержень эса бунга қаршилик кўрсатади. Шунинг учун ўртадаги стерженда  $N_2$  сиқувчи зўриқишиш, чекка даги стерженларда эса,  $N_1$  ва  $N_3$  чузувчи зўриқишиш ҳосил бўлади (1.32-расм, б).

Конструкция симметрик бўлгани учун  $N_1 = N_3$ .

Мувозанат тенгламаси  $\sum Y = 0$  ни тузиб қўйидагиларни топамиз.

$$2N_1 - N_2 = 0; \quad N_2 = 2N_1.$$

Система бир марта статик аниқмас — учта номаълум қийматли иккита статик тенгламалар (улардан биттаси оғзаки ечилиган) дан иборат.

Равшанки, балка горизонтал ҳолатда пастга тушади, яъни кўчиш тенгламаси қўйидаги кўринишда бўлади:

$$\Delta l_1 = \Delta l_2 = \Delta l_3$$

бу ерда

$$\Delta l_1 = \frac{N_1 l}{E_n F_n},$$

$$\Delta l_2 = \alpha_m l \Delta t - \frac{N_2 l}{E_m F_m} = \alpha_m l \Delta t - \frac{2N_1 l}{E_m F_m}.$$

У вақтда

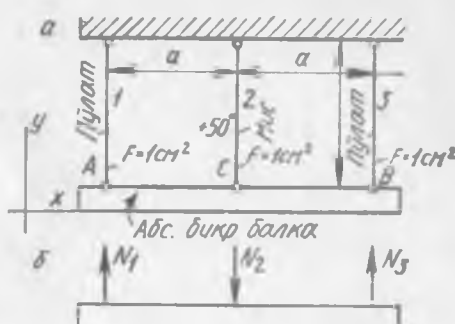
$$\frac{N_1 l}{E_n F_n} = \alpha_m l \Delta t - \frac{2N_1 l}{E_m F_m}.$$

(Иккинчи стержендаги зўриқишиш сиқувчи деб олингани учун иккинчи қўшилувчи олдига минус ишораси қўйилади).

$$N_1 = \frac{\alpha_m \Delta t}{\frac{1}{E_n F_n} + \frac{2}{E_m F_m}}.$$

Сон қийматларини қўйиб, қўйидагиларни топамиз:

$$N_1 = \frac{16,5 \cdot 10^{-6} \cdot 50}{\frac{1}{2,0 \cdot 10^6 \cdot 1} + \frac{2}{1,0 \cdot 10^6 \cdot 1}} = 330 \text{ кН};$$



1. 32-расм.

$$\sigma_n = \frac{N_1}{F_n} = \frac{330}{1} = 330 \text{ кГ/см}^2;$$

$$N_2 = 2 V_1 = 660 \text{ кГ};$$

$$\sigma_M = \frac{N_2}{F_M} = \frac{660}{1} = 660 \text{ кГ/см}^2.$$

Зўриқишиш (кучланиш) ларнинг мусбат қийматлари илгари қабул қилинган йуналишларнинг ҳақиқий йуналишларга мос эканлигини кўрсатади (1.32-расм, б га қаранг).

### Бошлангич ва монтаж кучланишлари

1.15-мисол. 1.33-расм, а да кўрсатилган пўлат стерженлар системасида ўттадаги стержень талаб этилгандан  $\delta = -0,6 \text{ мм}$  қисқароқ қилиб тайёрланган. Агар  $E_n = 2 \cdot 10^6 \text{ кГ/см}^2$  бўлса, система йиғилгандан кейин стерженларнинг кундаланг кесимларида ҳосил бўладиган кучланиш аниқлансин.

Е чи ш. Йиғилгандан кейин ўттадаги стерженда чузувчи, чекка стерженларда эса сиқувчи зўриқишлиар ҳосил бўлади.

1. 33-расм, б да А тугунга таъсир этувчи кучланишлар кўрсатилган. Бундай кучлар системаси учун статика иккита мувозанат тенгламасини беради. Демак, масала статик аниқмас. А тугун учун мувозанат тенгламаларини тузамиш:

$$\sum X = 0; \quad N_1 \sin \alpha - N_2 \sin \alpha = 0; \\ N_1 = N_2$$

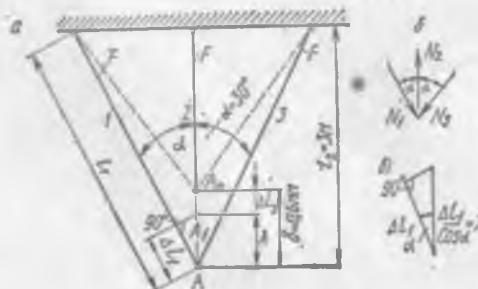
$$\sum Y = 0; \quad -N_1 \cos \alpha + N_2 - N_3 \cos \alpha = 0; \\ N_3 = 2 N_1 \cos \alpha = 2 N_1 \cos 30^\circ$$

ёки

$$N_2 = 1,73 N_1.$$

Кесимларнинг юзлари бир хил булгани учун

$$\sigma_2 = 1,73 \sigma_1.$$

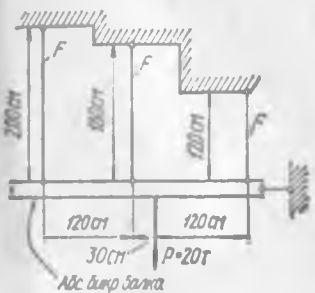


1. 33-расм.

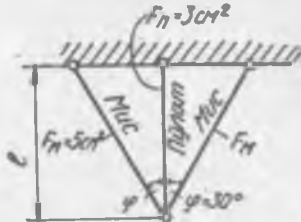
Учинчи тенгламани системанинг деформация шартидан ҳосил қилиш мумкин. А шарнир йиғилгандан кейин А ва  $A_0$  орасидаги бирор оралиқ  $A$ , ҳолатни олади.

1.33-расм, в лардан яққол кўринадики,

$$\delta = \Delta l_2 + \frac{\Delta l_1}{\cos \alpha}.$$



1. 34- расм.



1. 35- расм.

бу ерда

$$\Delta l_2 = \frac{\sigma_2 l_2}{E}; \quad \Delta l_1 = \frac{\sigma_1 l_1}{E}.$$

Лекин

$$l_1 = \frac{l_2}{\cos \alpha},$$

у вактда

$$\delta = \frac{\sigma_2 l_2}{E} + \frac{\sigma_1 l_2}{E \cos^2 \alpha}.$$

$\sigma_2 = 1,73 \sigma_1$  әкәнлигини назарга олиб, қүйндагини топамиз:

$$\delta = \frac{1,73 \sigma_1 l_2}{E} + \frac{\sigma_1 l_2}{E \cos^2 \alpha},$$

бундан

$$\sigma_1 = \frac{\delta E}{l_2 \left( 1,73 + \frac{1}{\cos^2 \alpha} \right)} = \frac{0,06 \cdot 2 \cdot 10^6}{300 \left[ 1,73 + \left( \frac{1}{0,866} \right)^2 \right]} = 130 \text{ кГ/см}^2;$$

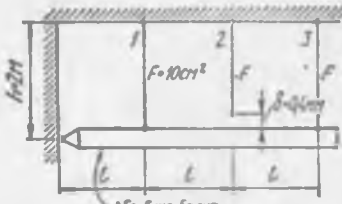
$$\sigma_2 = 1,73 \sigma_1 = 1,73 \cdot 130 = 225 \text{ кГ/см}^2.$$

### Мустақил ечиш учун масалалар

1.18. Абсолют қаттық балкани ушлаб турадиган стержен-ларнинг керакли күндаланг кесим юзлари аниқлансын (1.34-расм). Ҳамма стерженлар бир хил материалдан тайёрганланган ва тенг кесимларга эга,  $[\sigma] = 1600 \text{ кГ/см}^2$ .

Жағоби.  $F = 5,30 \text{ см}^2$ .

\* Гүк қонуның бүйнчы  $\Delta l = \frac{Nl}{EF} = \frac{N}{E} \cdot \frac{l}{E} = \frac{l\sigma}{E}$ .



1. 36- расм.

1.19. Агар 1.35-расмда тасвирланган система йиғилгандан кейин стерженлар  $\Delta t = 40^\circ$  га қиздирилган бўлса, у вақтда стерженларда ҳосил бўладиган кучланишлар ҳисоблансин.

Жавоби.  $\sigma_1 = +354 \text{ кГ/см}^2$ ;  $\sigma_2 = -122 \text{ кГ/см}^2$ .

1.20. Система йиғилгандан кейин пўлат стерженларда ҳосил бўладиган кучланиш ҳисоблансин (1. 36-расм). 2-стержень талаб этилгандан  $\delta = 0,4 \text{ мм}$  қисқа тайёрланган.

Жавоби.  $\sigma_1 = -57 \text{ кГ/см}^2$ ;  $\sigma_2 = 258 \text{ кГ/см}^2$ ;  $\sigma_3 = -171 \text{ кГ/см}^2$ .

## II бөб

### КУЧЛАНИШ ВА ДЕФОРМАЦИЯЛАНИШ ХОЛАТИНИНГ НАЗАРИЯЛАРИ

#### 2. 1-§. НАЗАРИЯДАН АСОСИЙ МАЪЛУМОТЛАР

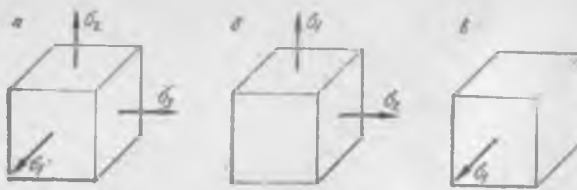
Умумий ҳолда жисм юкланганда унинг берилган нуқтасидан ўтувчи турли хилда жойлашган юзларида ҳосил буладиган кучланишлар турлича ҳосил булади. Берилган нуқтадан ўтувчи чексиз кўп сондаги юзаларнинг ҳаммасида ҳосил буладиган нормал ва уринма кучланишларнинг тўплами берилган нуқтадаги *кучланиш ҳолатини* характерлайди.

Берилган нуқта атрофида ҳамма вақт шундай элементар параллелепипед ажратиш мумкинки, унинг ёқларида уринма кучланишлар бўлмайди. Бошқача қилиб айтганда, нуқта орқали ўзаро перпендикуляр бўлган учга юзларни ўтказиш мумкинки, уларда уринма кучланишлар ҳосил булмайди (баъзи бир хусусий ҳолларда бундай юзларни чексиз кўп ўтказиш мумкин). Бундай юзалар бош юзалар дейилади. Уларда ҳосил буладиган нормал кучланишлар бош кучланишлар дейилади. Бош кучланишлар  $\sigma_1$ ,  $\sigma_2$  ва  $\sigma_3$  лар билан белгиланади. Индекслар  $\sigma_1 > \sigma_2 > \sigma_3$  тенгсизлиги бажариладиган қилиб қўйилади (тенгсизлик алгебраик бўлиб, сиқилиш кучланиши манфий ҳисобланади), яъни аввал ҳамма бош кучланишларни аниқлаш, сўнгра индексларни қўйиш керак.

Берилган нуқта учун  $\sigma_1$  энг катта,  $\sigma_3$  эса энг кичик кучланиш бўлади.

Агар учала бош кучланишлар нолдан фарқ қиласа, у вақтда кучланиш ҳолати ҳажмий ёки уч ўқли дейилади (2.1-расм, а). Агар фақат икки бош кучланиш нолдан фарқ қиласа, у вақтда кучланиш ҳолати текис ёки икки ўқли дейилади (2.1-расм, б). Агар бош кучланишлардан фақат биттаси нолдан фарқ қиласа, у вақтда кучланиш ҳолати чизифий ёки бир ўқли дейилади (2.1-расм, в).

Биргина тўғри чизиққа параллел бўлган (элементар параллелепипеддинг биргина ёғига перпендикуляр) чексиз кўп юзачаларнинг тўпламига юзачалар оиласи ёки серияси дейилади. Бош кучланишлардан биронтасига параллел бўлган юзачалар сериясига тегишли юзачадаги кучланишлар ўша



2. 1-расм.

бosh күчланишга боғлиқ бўлмайди. Масалан,  $\sigma_3$  га параллел ва нормали  $\sigma_1$ , йўналиши билан  $\alpha$  бурчак ташкил қиладиган юзачадаги нормал ва уринма күчланишлар (2.2-расм) куйидаги формулалардан аниқланади:

$$\sigma_s = \frac{\sigma_1 + \sigma_3}{2} + \frac{\sigma_1 - \sigma_3}{2} \cos 2\alpha; \quad (2.1)$$

$$\tau_{\alpha} = \frac{\sigma_1 - \sigma_3}{2} \sin 2\alpha. \quad (2.2)$$

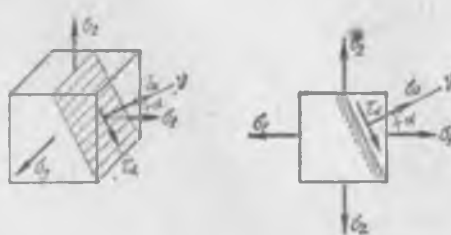
Куриб чиқлаётган юзачалар серияси учун энг катта уринма күчланиш бosh юзларга нисбатан биссектриса бўлган юзачада ҳосил бўлади ва қўйидаги формула билан аниқланади:

$$\tau_{12} = \frac{\sigma_1 - \sigma_3}{2}. \quad (2.3)$$

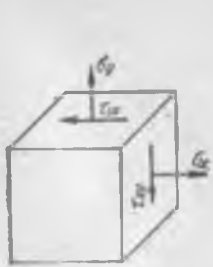
Бу уринма күчланиш мазкур нуқта учун максимал эмас. Максимал уринма күчланиш  $\sigma_s$  га параллел ва  $\sigma_1$ ,  $\sigma_3$  таъсир юзачаларининг биссектриса юзачасида ҳосил бўлади; унинг миқдори қўйидаги формуладан аниқланади:

$$\tau_{max} = \tau_{13} = \frac{\sigma_1 - \sigma_3}{2}. \quad (2.4)$$

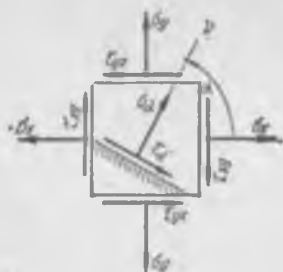
$\sigma_s$  ва  $\tau_{\alpha}$  ларни аналитик аниқлаш ўрнига берилган юзачалар серияси учун ясалган *Мор доираси* ёрдамнда графо аналитик усулда аниқласа ҳам бўлади. Мор доираси шундай нуқталарнинг геометрик ўрники, уларнинг абсцисса ва ординаталари мос равишда берилган серия юзчаларида ҳосил бўладиган нормал ва уринма күчланишларга teng бўлади.  $\sigma_s$  ва  $\tau_{\alpha}$



2. 2-расм.



2. 3- расм.



2. 4- расм.

ларни аниқлаш учун Мор доираси усулини табиқ этиш 2.2-мисолда келтирилган.

(2.1), (2.2) формулалардан хусусий ҳол сифатида бир ўқли чўзилиш ( $\sigma_1 > 0, \sigma_2 = \sigma_3 = 0$ ) учун қўйидаги муносабатлар ҳосил бўлади:

$$\sigma_z = \frac{\sigma_1}{2} (1 + \cos 2\alpha) = \sigma_1 \cos^2 \alpha; \quad (2.5)$$

$$\tau_z = \frac{1}{2} \sigma_1 \sin 2\alpha. \quad (2.6)$$

Бир ўқли сиқилиш ( $\sigma_1 = \sigma_2 = 0; \sigma_3 < 0$ ) бўлган ҳолда (2.5) ва (2.6) формулалардаги  $\sigma_1$  ўрнига  $\sigma_3$  қўйиш керак ва ҳисоблашларда  $\sigma_3$  катталикининг манфиий эканлигини назарга олиш керак.

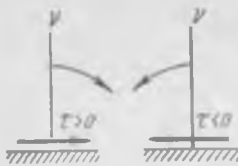
Кучланиш ҳолатини текшириш түғрисида юқорида келтирилган маълумотлар берилган (бошлангич) миқдорлар бош кучланишлардан иборат бўлган ҳол учун тўғри келади. Бундан ташқари, текширишлар бош кучланишларга параллел бўлган юзлар серияси билан чекланди; кўрсатилган серияларга кирмайдиган юзлардаги кучланишларни аниқлаш ўқув программаси ҳажмидан ташқарига чиқади.

Текис кучланиш ҳолатида текширилаётган нуқта атрофилда олинадиган элементар параллелепипедни икки қарама-қарши ёғини кучланишлардан ҳоли бўладиган қилиб ажратиб олиш мумкин (2.3- расм).

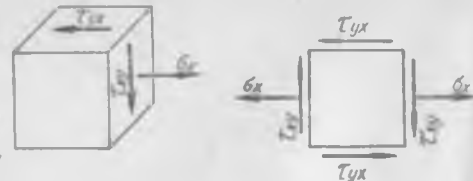
Кучланишларни текширишни элементнинг кучланишлардан ҳоли ёқларига перпендикуляр бўлган юзлар сериясини таҳлил этиш билан чегаралаб, қўйидаги боғлиқликларни топамиз (2.4- расм):

$$\sigma_z = \frac{\sigma_x + \sigma_y}{2} + \frac{\sigma_x - \sigma_y}{2} \cos 2\alpha - \tau_{xy} \sin 2\alpha; \quad (2.7)$$

$$\tau_z = \frac{\sigma_x - \sigma_y}{2} \sin 2\alpha + \tau_{xy} \cos 2\alpha. \quad (2.8)$$



2. 5-расм.



2. 6-расм.

Текширилаётган серия юзалари ичиде үзаро перпендикуляр иккита бош юза бор; уларнинг ҳолатлари  $\sigma_1$  ва  $\sigma_2$  бурчаклар билан аниқланади, қийматлари эса қуйидаги ифодадан топилади:

$$\operatorname{tg} 2\alpha_0 = - \frac{2\tau_{xy}}{\sigma_x - \sigma_y} \quad (2.9)$$

Бош кучланишларнинг қийматлари ушбу формуладан топилади:

$$\sigma_{\text{бош}} = \frac{\sigma_x + \sigma_y}{2} \pm \frac{1}{2} \sqrt{(\sigma_x - \sigma_y)^2 + 4\tau_{xy}^2}. \quad (2.10)$$

Бош кучланишлардаги индекслар кучланишларнинг қиймати ҳисоблаб топилгандан кейин қўйилади. (2.7) – (2.9) формулалардан фойдаланилганда уринма кучланишнинг ишораси 2.5 расмга мос равншда олинади.

Текис кучланиш ҳолатининг характерли хусусий ҳоллари:

а) Соддалаштирилган текис кучланиш ҳолати деб аталаувчи ҳол, бунинг учун  $\sigma_1 > 0$ ;  $\sigma_2 = 0$ .  $\sigma_3 < 0$ . Бунда элементар параллелепипедни шундай ажратиш мумкинки, бошлангич нормал кучланишлардан бири нолга teng булади (2.6-расм). Бу ҳол учун (2.9), (2.10) формулалар уринга қуйидаги формулалар ҳосил булади:

$$\operatorname{tg} 2\alpha_0 = - \frac{2\tau_{xy}}{\sigma_x}; \quad (2.11)$$

$$\left. \begin{array}{l} \sigma_1 = \frac{\sigma_x}{2} + \frac{1}{2} \sqrt{\sigma_x^2 + 4\tau_{xy}^2}; \\ \sigma_2 = 0 \\ \sigma_3 = \frac{\sigma_x}{2} - \frac{1}{2} \sqrt{\sigma_x^2 + 4\tau_{xy}^2}. \end{array} \right\} \quad (2.12)$$

б) Соғ силжиш, бунинг учун  $\sigma_1 = -\sigma_3$ ;  $\sigma_2 = 0$ . Бу ҳолда элементар параллелепипедни шундай танлаш имконияти буладики, унинг тўрг ёғида фақат модуль жиҳатидан teng булган уринма кучланишлар бўлиб, қолган икки ёғи кучланишдан ҳоли булади (2.7-расм). Бу ҳол учун кўрсатилган уринма кучланишлар экстремаль бўлиб, бош кучланишлар билан қуийдаги муносабатлар орқали боғлангандир:

$$\sigma_1 = -\sigma_3 = \tau_{\max} = \tau_{xy}. \quad (2.13)$$

Бош юзлар экстремаль уринма күчланишлар таъсир юзлари билан  $45^\circ$  ли бурчак ташкил қилади.

Берилган юзлар бош юзлар бўлмаган ҳол учун Мор доираси ёрдамида текис күчланиш ҳолатини текшириш 2.4, 2.5-мисолларда кўрсатилган.

Жисмнинг берилган нуқтаси орқали ўзаро перпендикуляр бўлган учта ўқни ўтказиш мумкин, улар орасидаги бурчаклар деформациядан кейин ҳам тўғрилигича қолади. Булар деформацияни инг бош ўқлари деб аталади; уларнинг йўналишларни бош күчланишларнинг йўналишлари билан устма-уст тушади. Бош ўқлар бўйича йўналган чизиқли деформациялар бош деформациялар деб аталади: уларнинг катталиклари мос равишда бош күчланишлар билан умумлашган Гук қонуни орқали боғланган:

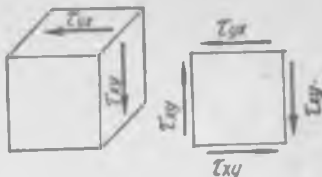
$$\left. \begin{aligned} \varepsilon_1 &= \frac{1}{E} [\sigma_1 - \mu(\sigma_2 + \sigma_3)]; \\ \varepsilon_2 &= \frac{1}{E} [\sigma_2 - \mu(\sigma_1 + \sigma_3)]; \\ \varepsilon_3 &= \frac{1}{E} [\sigma_3 - \mu(\sigma_1 + \sigma_2)]. \end{aligned} \right| \quad (2.14)$$

Агар нуқта атрофида бош юзлари бўлмаган элемент ажратилса (элемент ёқларида нормал күчланишлар ҳам, уринма күчланишлар ҳам бўлади), у вақтда нормал күчланишлардан (бош күчланишлар эмас!) ҳар бири бўйлаб йўналган чизиқли деформациялар учун (2.14) формулавалар ўз кучида қолади, фақат индексларини ўзгартириш керак холос:

$$\left. \begin{aligned} \varepsilon_x &= \frac{1}{E} [\sigma_x - \mu(\sigma_y + \sigma_z)]; \\ \varepsilon_y &= \frac{1}{E} [\sigma_y - \mu(\sigma_x + \sigma_z)]; \\ \varepsilon_z &= \frac{1}{E} [\sigma_z - \mu(\sigma_x + \sigma_y)]. \end{aligned} \right| \quad (2.14a)$$

Жисмнинг берилган нуқтаси атрофида ҳажмнинг нисбий ўзгариши қўйидаги формуладан аниқланади:

$$\Theta = \varepsilon_x + \varepsilon_y + \varepsilon_z = \frac{1-2\mu}{E} (\sigma_x + \sigma_y + \sigma_z). \quad (2.15)$$



2. 7-расм.

Жисмнинг берилган нуқгаси учун деформациянинг солиштирма потенциал энергияси бош кучланишлар билан қўйидаги муносабат орқали боғлангандир:

$$u = \frac{1}{2E} [\sigma_1^2 + \sigma_2^2 + \sigma_3^2 - 2\mu (\sigma_1\sigma_2 + \sigma_2\sigma_3 + \sigma_3\sigma_1)]. \quad (2.16)$$

Деформациянинг тұла солиштирма потенциал энергиясини элемент ҳажмининг ўзгариши билан боғлиқ бўлган

$$u_x = \frac{1-2\mu}{6E} (\sigma_1 + \sigma_2 + \sigma_3)^2 \quad (2.17)$$

ва элемент шаклининг ўзгариши билан боғлиқ бўлган

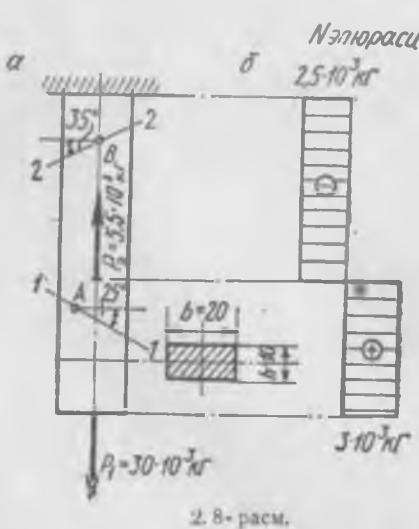
$$u_w = \frac{1+\mu}{6E} [(\sigma_1 - \sigma_2)^2 + (\sigma_2 - \sigma_3)^2 + (\sigma_3 - \sigma_1)^2] \quad (2.18)$$

солиштирма энергияларга ажратиш мумкин.

## 2.2 §. КУЧЛАНИШ ҲОЛАТИНИ АНАЛИТИК ВА ГРАФО-АНАЛИТИК УСУЛДА ТЕКШИРИШ

**2.1-мисол.** 2.8-расм, а да кўрсатилган бруснинг 1-1 кесимидағи A ва 2-2 кесимидағи B нуқталарда нормал ва уринма кучланишлар аналитик усулда ва Мор донраси ёрдамида аниқлансан. Шу нуқталарда ҳосил бўладиган максимал уринма кучланишлар ҳисоблансан.

Ечиш. A нуқтадан утувчи кўндаланг кесим учун



42

$$N_A = P_1 = 3 \cdot 10^3 \text{ kГ}$$

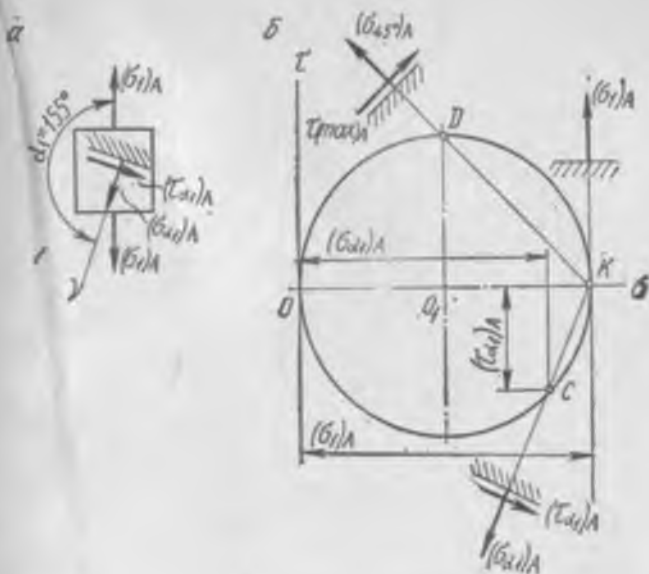
ва A нуқта учун бош кучланиш бўладиган ўша кўндаланг кесимдаги мос нормал кучланиш

$$\begin{aligned} (\sigma_x)_A &= (\sigma_y)_A = \frac{N_A}{F} = \\ &= \frac{3 \cdot 10^3}{2 \cdot 1} = 1500 \text{ kГ/cm}^2. \end{aligned}$$

Худди шунингдек, B нуқта учун

$$N_B = P_1 - P_2 = 3 \cdot 10^3 - 5,5 \cdot 10^3 = -2,5 \cdot 10^3 \text{ kГ.}$$

Бўйлама кучларнинг эпюралари 2.8-расм, б



2. 9-расм.

да күрсатылған. В нүктадан ўтувчи күндаланг кесимдаги күчланиш

$$(\sigma_x)_B = (\sigma_3)_B = \frac{N_B}{F} = -\frac{2.5 \cdot 10^9}{2 \cdot 1} = -1250 \text{ кГ/см}^2.$$

2.9-расм, а да (чизма текислигидеги проекцияси) А нүкта атрофида күндаланг ва бүйлама кесимлар билан ажратылған элемент күрсатылған; шу расмда күрсатылған 1—1 кесимга параллел бұлған юздаги күчланишни анықлаш керак.

(2.5), (2.6) формулалардан қындағиларни топамыз:

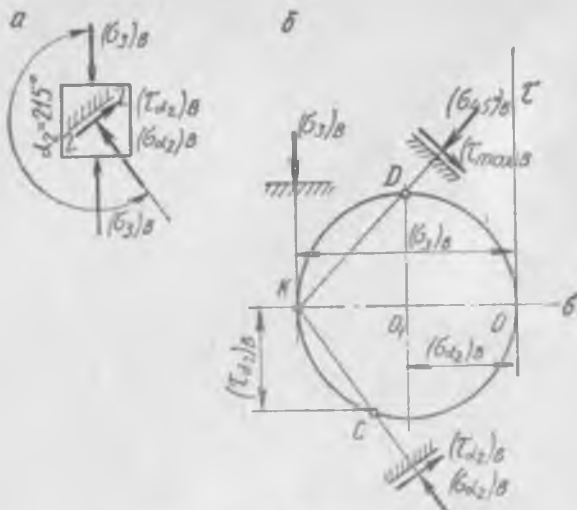
$$(\sigma_{\alpha_1})_A = (\sigma_1)_A \cos^2 \alpha_1 = 1500 \cos^2 155^\circ = 1230 \text{ кГ/см}^2;$$

$$(\tau_{\alpha_1})_A = \frac{1}{2} (\sigma_1)_A \sin 2\alpha_1 = \frac{1}{2} 1500 \sin 310^\circ = -575 \text{ кГ/см}^2.$$

А нүктадаги максимал уринма күчланиш

$$(\tau_{\max})_A = \frac{(\tau_1)_A}{2} = \frac{1500}{2} = 750 \text{ кГ/см}^2.$$

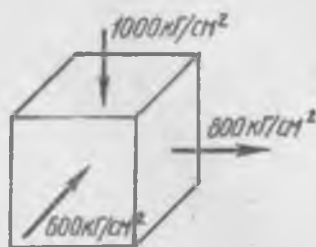
Чизма текислигиге перпендикуляр бұлған юзлар сериясы үчүн Мор доирасини ясайды (2.9-расм, б). Абсцисса ўқи бүйлаб, координата бошидан бошлаб тәнлаб олинған масштаб да  $(\sigma_1)_A$  қийматтаң бұлған ОК кесмәні жойлаштирамыз



2. 10-расм.

$K$  нүқта бош кучланиш  $(\sigma_1)_A$  га таъсир этувчи юзни,  $O$  нүқта эса олдингига перпендикуляр булган юзни (нолинчи бош юзни) тасвирлайди.  $OK$  масоғани тенг иккига булиб, Мор доирасининг маркази  $O_1$ , нүқтани ҳосил қиласиз ва айланада чизамиз.  $O$  ва  $K$  нүқталар билан тасвирланувчи юзларнинг нормаллари га шу нүқталардан параллел чизиқлар ўтказамиз. Бу чизиқлар (нурлар)  $K$  нүқтада кесишади, демак, у Мор доирасининг қутби (бош ёки махсус нүқтаси) бўлади. Кутбни қўйидаги хоссага эга эканлигини таъкидлаш керак, яъни унда берилган сериядаги барча юзларнинг нормалларига параллел булган нурлар кесишади.

1—1 кесимни ифодалайдиган нүқтани топиш учун  $K$  нүқтадан 1—1 кесим нормалига параллел нур ўтказамиз ва унинг айланада билан кесишиш нүқтасида изланадиган  $C$  нүқтани ҳосил қиласиз. Унинг абсцисса ва ординаталари қабул қилинган масштабда мос равища 1—1 кесимда ҳосил бўладиган нормал ва уринма кучланишларни беради. Равшанки, максимал уринма кучланиш таъсир юзи  $D$  нүқта билан тасвирланади, у айлананинг ўз вертикал диаметри билан кесишиш нүқтасидир. Кўриб чиқилаётган юзнинг ҳолатини



2. 11-расм.

Аниқлаш учун  $D$  нүктаны қатып билан туташтирамыз,  $DK$  чизик ( $\tau_{\max}$ )<sub>A</sub> таъсир юзининг нормалнга параллел бўлади. Бу юздаги нормал кучланиш миндори  $D$  нүктаининг абсциссанаси билан аниқланади.  $K$ ,  $C$  ва  $D$  нүктааб билан тасвирланадиган юзлардаги кучланишлар 2.9-расм, б да курсатилган. Нормал кучланишларнинг ҳаммаси ҳам мусбат ишораидир (чузилиш кучланиши).  $C$  нүкта билан тасвирланувчи юздаги уринма кучланиш манфий ишорали (нүкта абсцисса ўқи остида), шунинг учун ( $\tau_a$ )<sub>A</sub>

йўналишини ҳосил қилмоқ учун юзга ўтказилган ташки нормални соат стрелкасига тескари йўналишда  $90^\circ$  га айлантириш кифоядир (2.9-расм, б).

2-2 кесимдаги  $B$  нүкта учун элемент 2.10-расм, а да курсатилган. Нормал ва уринма кучланишларни (2, 5), (2, 6) формулалардаги ( $\sigma_1$ )<sub>A</sub> ни ( $\sigma_1$ )<sub>B</sub> билан алмаштириб ва бу кучланишнинг манфий эканлигини назарга олиб топамиз:

$$(\sigma_{a_3})_B - (\sigma_3)_B \cos^2 \alpha_2 = -1250 \cos^2 215^\circ = -837 \text{ кГ/см}^2;$$

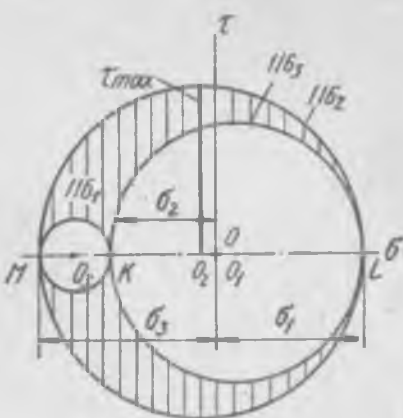
$$\begin{aligned} (\tau_{a_3})_B &= \frac{1}{2} (\sigma_3)_B \sin 2\alpha_2 - 0,5 (-1250 \sin 430^\circ) = \\ &= -587 \text{ кГ/см}^2. \end{aligned}$$

$B$  нүкта учун максимал уринма кучланиш

$$(\tau_{\max})_B = \frac{-(\sigma_3)_B}{2} = \frac{1250}{2} = 625 \text{ кГ/см}^2.$$

$B$  нүкта учун Мор доираси 2.10-расм, б да қурилган. Унн қуриш  $A$  нүкта учун бажаришдан тубдан фарқ қилмаганилиги сабабли тақрорлаб ўтирамаймиз, фақат бунда доира координата бошидан чапда жойлашган булишини [ $(\sigma_3)_B < 0$ ] ва, демак,  $B$  нүкта орқали ўтувчи ихтиёрий юздаги нормал кучланиш манфий ишорали (сиқилиш кучланиши) булишини таъкидлаб ўтамиз.

**2. 2- мисол.** Берилган кучланиш ҳолати учун (2.11-расм) ҳар бир бош кучланишларга параллел бўлган юзлар серияси учун Мор доираси қурилсин. Максимал уринма кучланиш аниқ-



2. 12-расм.

лансин. Нормали  $\sigma_1$ , йұналиши билан  $\alpha = 30^\circ$  ли бурчак ташыл этувчи ва  $\sigma_3$  векторига перпендикуляр бўлган юздаги нормал ва уринма кучланишлар аниқлансанн.

Ечиш. Бош кучланишлар берилган: уларнинг ҳаммаси нолдан фарқ қиласи, яъни берилган кучланиш ҳолати ҳажмий (уч ўқли) ҳолатидир. Энг катта кучланиш (алгебраик маънода)  $800 \text{ kG/cm}^2$  га тенг кучланишдир, демак, уни  $\sigma_1$ , билан белгилаш керак. Энг кичик кучланиш эса  $1000 \text{ kG/cm}^2$  га тенг (сиқилиш кучланиши), уни  $\sigma_3$  билан белгилаш керак. Шундай қилиб,  $\sigma_1 = 800 \text{ kG/cm}^2$ ,  $\sigma_3 = -600 \text{ kG/cm}^2$ ,  $\sigma_2 = -1000 \text{ kG/cm}^2$ .

Мор доираларини ясаш учун координата бошидан унга  $\sigma_1$  га мос келувчи  $OL$  кесмани, чапга эса  $\sigma_3$ , ва  $\sigma_2$  ларга мос келувчи  $OK$  ва  $OM$  кесмаларни жойлаштирамиз (2.12-расм).  $KL$ ,  $KM$ ,  $LM$  кесмаларни тенг иккига бўлиб,  $O_1$ ,  $O_2$ ,  $O_3$  нуқталарни — Мор доираларининг марказларини ҳосил қиласи, уларнинг ҳар бири бош кучланишлардан бирига параллел юзлар серияси учун ясалган бўлади.

Максимал уринма кучланиш энг катта Мор доирасининг радиусига (баъзан, уни бош ёки аниқловчи дейилади) тенг бўлади (масштабни назарга олган ҳолда), яъни  $\sigma_2$  га параллел юзлар серияси учун ясалган доира радиусига тенг бўлади. Шундай қилиб,

$$\tau_{\max} = \frac{\sigma_1 - \sigma_3}{2} = \frac{800 - (-1000)}{2} = 900 \text{ kG/cm}^2.$$

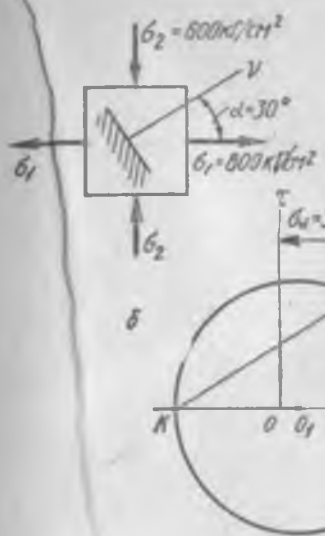
Масаланинг шартига кўра нормал ва уринма кучланишлари аниқланадиган  $\sigma_2$  га параллел, юзлар сериясига киради. Бу юз 2.13-расм,  $a$  да кўрсатилган, бу ерда берилган элемент  $\sigma_3$  га перпендикуляр текисликдаги проекция куринишида тасвирланган. Қаралаётган юзлар серияси учун Мор доираси алоҳида яна бир марта тасвирланган (2.13-расм, б).  $L$  нуқта орқали  $\sigma_1$  га параллел,  $K$  нуқта орқали  $\sigma_3$  га параллел нурлар ўтказиб,  $K$  нуқта берилган Мор доирасининг қутби эканлигини аниқлайдиз.  $K$  нуқтадан бизни қизиқтираётган оғма юз нормалига параллел нур ўтказамиз. Кўрсатилган юзга мос келувчи  $C$  нуқтанинг абсциссаси ва ординатасини улчаб, қўйидагиларни топамиз:

$$\sigma_{\alpha=30^\circ} = 450 \text{ kG/cm}^2; \quad \tau_{\alpha=30^\circ} = 606 \text{ kG/cm}^2.$$

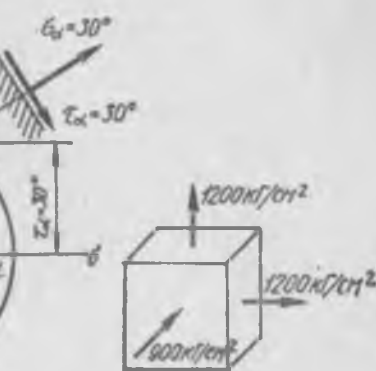
Бу натижаларни (2.1), (2.2) формулалар ёрдамида олиш ҳам мумкин.

2.3- мисол. Берилган кучланиш ҳолати учун Мор доираси ясалсин (2.14-расм).

Ечиш. Берилганлар, олдинги мисолга ухшаш, бош кучланишлардир:  $\sigma_1 = \sigma_2 = 1200 \text{ kG/cm}^2$ ,  $\sigma_3 = -900 \text{ kG/cm}^2$ . Ушбу кучланиш ҳолатининг мұжим томони шундан иборатки, унда иккита бош кучланиш ўзаро тенгdir. Мор доирасини ясашда



2. 13-pacM.

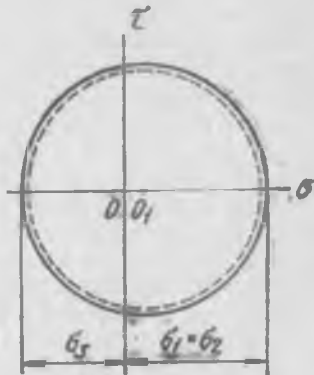


2. 14-pacm.

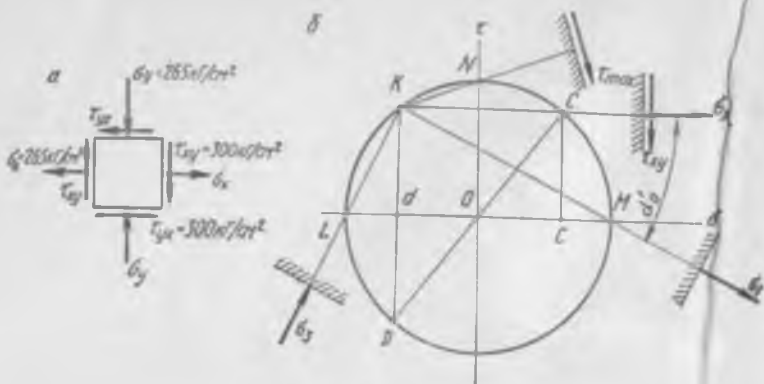
(2.15-расм) улардан бири,  $\sigma_3$  га параллел бүлган юзлар се-  
риясига мос келгани, нүктага айланиб қолишини (ноль радиусга  
эга бўлишини) аниқлаймиз. Бу эса  $\sigma_3$  га параллел бүлган ҳар  
қандай юзда уринма кучланиш бўлмаслигини ифодалайди,  
яъни бу юзларнинг ҳаммаси бош юзлардир (бош юзлар чексиз  
куп бўлган ҳол).  $\sigma_1$  ва  $\sigma_2$  ларга параллел бўлган юзлар серия-  
сига мос келувчи доиралар устма-уст тушиб, битта доирага  
айланиб қолади, 2.15-расмда бу ҳолатни алоҳида таъкидламоқ  
учун доиралардан бири озгина кичиклаштирилган ва штрих  
чизиқ билан тасвирланган.

2.4- мисол. Берилган күчланиш ҳолати учун бош күчланишлар өз максимал уринма күчланиш аниқланын (2.16- расм, а).

Ечиш. Берилган юзлардан бири кучланишлардан ҳоли, шунинг учун берилган элемент аксонометрияда тасвирланмасдан, таъкидланган юзга параллел текисликка проекция сифатида тасвирланган. Кучланишдан ҳоли юз борлиги берилган кучланиш ҳолатининг учукли эмаслигини кўрсатади. Берилганлар бош юзлар бўлмаган ҳол учун Мор доирасиниң қўйидагича



### 2. 15-расм-



2. 16-расм.

ясағымыз: танлаб олинган координата бошидан үнг томонга  $\sigma_x$  га тенг (қабул қилинган масштабда) Ос кесмани жойлаштирамиз, с нүктадан абсцисса үқига перпендикуляр үтказиб. унда  $\tau_{xy}$  га мос келувчи кесмани юқори томонга жойлаштирамиз (2.16-расм, б). Шундай қилиб, ҳосил қилинган С нүкта берилган вертикаль юзни тасвирлайды;  $\sigma_x$  ва  $\tau_{xy}$  ларни мусбат эканлыгини таъкидлаш керак. Худди шундай йүл билан, берилган горизонтал юзни тасвирловчи D нүктаны топамиз (бу ерда  $\sigma_y$  ва  $\tau_{xy}$  лар манфийдир). С ва D нүкталарни туташтириб, CD түгри чизикни абсцисса үки билан кесишгандык нүктасыда Мор доирасининг марказини ҳосил қиласыз.

Мана шу хусусий ҳолда, Мор доирасининг маркази координата боши билан устма-уст түшиб қолди. Ҳосил булган марказдан С ва D нүкталар орқали үтүвчи айлана чизамиз. Шу нүкталардан уларга мос келувчи юзларнинг нормаллари параллел бўлган нурлар үтказамиз. Бу нурларнинг кесишиш нүктаси Мор доирасининг қутби (К нүкта) бўлади. Бинобарин, абсцисса үқида ётган, айланага тегишли L ва M нүкталар бош юзларга мос келади. Бу нүкталарнинг абсциссалари катталик жиҳатидан тенг ва қарама-қарши ишорали бўлиб, улар ҳам бош кучланишларга түгри келади.

Бош кучланишлари модули жиҳатидан нолдан фарқ қиласыз ва бир-бираига тенг ҳамда ишоралари қарама-қарши бўлган текис кучланиш ҳолатининг бундай хусусий ҳолига соғ сиљинш дейилади. Чизмадан, OL (ёки OM) кесмани улчаб,  $\sigma_1 = -\sigma_2 = 400 \text{ kG/cm}^2$  ни топамиз. Нолга тенг бўлган бош кучланиш  $\sigma_2$  билан белgilаниши керак, чунки у нолга тенг бўлмаган бош кучланишлар орасидаги катталикдир. N нүкта максимал уринма кучланиш ҳосил бўладиган юзни тасвирлайди; бу кучланишнинг катталигиги  $\sigma_{max} = \sigma_1 = -\sigma_2 = 400 \text{ kG/cm}^2$ .

Бош юзлар ва  $\tau_{\max}$  ҳосил бұладыган юз ҳолатлари 2.16-расм, да күрсатылған.

Шу масалани аналитик усулда ечамиз. (2.10) формуладан құндызиларни топамиз:

$$\sigma_{\text{бөш}} = \frac{\sigma_x + \sigma_y}{2} \pm \frac{1}{2} \sqrt{(\sigma_x - \sigma_y)^2 + 4\tau_{xy}^2} = \\ \frac{265 - 265}{2} \pm \frac{1}{2} \sqrt{(265 + 265)^2 + 4 \cdot 300^2} = \pm 400 \text{ кГ/см}^2.$$

Бош юзларнинг берилгенга нисбатан оғишини аниқлаш үчүн (2.9) формулани құллаймиз:

$$\lg 2z_0 = - \frac{2\tau_{xy}}{\sigma_x - \sigma_y} = \frac{2 \cdot 300}{265 - (-265)} = -1,13,$$

бундан иккита бурчак ҳосил қиласы:  $\alpha'_x = -24^\circ 15'$  ва  $\alpha'_y = -114^\circ 15'$ . Бу бурчаклардан кичиги биринчи бош юз нормалининг йұналишини беради (2.16-расм, б) га қаранг).

2.5-мисол. Берилген кучланиш ҳолати үчүн (2.17-расм, а) бош кучланишлар ва максимал уринма кучланиш аниқлансын.

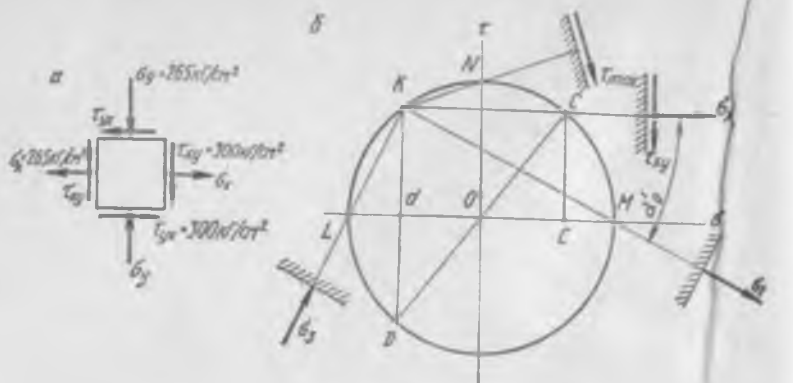
Е ч и ш. Мор доирасини ясаш (2.17-расм, б) олдинги масалада күрсатылғанга үхшашидир. Берилген кучланишлар бүйіча  $C$  ( $\sigma_x$  абсцисса ва  $\tau_{xy}$  ординатали) ва  $D$  ( $\sigma_y$  абсцисса ва  $\tau_{xy}$  ординатали) нүкталарни топамиз. Бу нүкталарні бирлаштириб, доира марказы ( $O$ , нүкта) ни ҳосил қиласы; бу марказдан  $C$  ва  $D$  нүкталар орқали утывчи айлана чизамиз. Бу айлана координата бошидан үтады, демек, бош кучланишлардан (чизма текислигі) перпендикуляр юзлар серияси үчүн, 2.17-расм, а) бири нолга тенгdir. Шундай қилиб, берилген кучланиш ҳолати үчүн кучланишлардан фақат биттаси нолдан фарқ қиласы; бу кучланиш манфийдір, демек, бир үқли сиқилиш ҳолатини ҳосил қиласы:  $\sigma_1 = \sigma_2 = 0$ ,  $\sigma_3 = -600 \text{ кГ/см}^2$  ( $\sigma_3$  катталиги чизмадан аниқланды).

(2.10) формуланы құллаб, худди үша нағижаны ҳосил қиласы:

$$\sigma_{\text{бөш}} = \frac{\sigma_x + \sigma_y}{2} \pm \frac{1}{2} \sqrt{(\sigma_x - \sigma_y)^2 + 4\tau_{xy}^2} = \\ = \frac{-445 - 155}{2} \pm \frac{1}{2} \sqrt{(-445 + 155)^2 + 4 \cdot 263^2} = -300 \pm 300; \\ \sigma_1 = 0; \\ \sigma_3 = -600 \text{ кГ/см}^2.$$

(2.4) формуладан максимал уринма кучланишни топамиз (2.17-расм, б) га ҳам қаранг):

$$\tau_{\max} = \frac{\sigma_1 - \sigma_3}{2} = \frac{-(600)}{2} = 300 \text{ кГ/см}^2$$



2. 16-расм.

ясайди: танлаб олинган координатада бошидан ўнг томонга  $\sigma_x$  га тенг (қабул қылинган масштабда). Ос кесмани жойлаштирамиз, с нүктадан абсцисса ўқига перпендикуляр үтказиб. унда  $\tau_{xy}$  га мос келувчи кесмани юқори томонга жойлаштирамиз (2.16-расм, б). Шундай қилиб, ҳосил қылинган С нүкта берилган вертикаль юзни тасвирлайди;  $\sigma_x$  ва  $\tau_{xy}$  ларни мусбат эканлигини таъкидлаш керак. Худди шундай йўл билан, берилган горизонтал юзни тасвирловчи D нүктани топамиз (бу ерда  $\sigma_y$  ва  $\tau_{xy}$  лар манфиийдир). С ва D нүкталарни туташтириб, CD түғри чизиқни абсцисса ўқи билан кесишган нүктасида Мор доирасининг марказини ҳосил қиласиз.

Мана шу хусусий ҳолда, Мор доирасининг маркази координатада боши билан устма-уст тушив қолди. Ҳосил бўлган марказдан С ва D нүкталар орқали ўтувчи айланага чизамиз. Шу нүкталардан уларга мос келувчи юзларнинг нормалларира параллель бўлган нурлар үтказамиз. Бу нурларнинг кесишиш нүктаси Мор доирасининг қутби (К нүкта) бўлади. Бинобарин, абсцисса ўқида ётган, айланага тегишли L ва M нүкталар бош юзларга мос келади. Бу нүкталарнинг абсциссалари катталик жиҳатидан тенг ва қарама-қарши ишорали бўлиб, улар ҳам бош кучланишларга тўғри келади.

Бош кучланишлари модули жиҳатидан нолдан фарқ қила-диган ва бир-бираiga тенг ҳамда ишоралари қарама-қарши бўлган текис кучланиш ҳолатининг бундай хусусий ҳолига соғ си лиши дейилади. Чизмадан, OL (ёки OM) кесмани улчаб,  $\sigma_1 = -\sigma_3 = 400 \text{ kG/cm}^2$  ни топамиз. Нолга тенг бўлган бош кучланиш  $\sigma_2$  билан белгиланиши керак, чунки у нолга тенг бўлмаган бош кучланишлар орасидаги катталилардир. N нүкта максимал уринма кучланиш ҳосил бўладиган юзни тасвирлайди; бу кучланишнинг катталиги  $\tau_{max} = \sigma_1 = -\sigma_3 = 400 \text{ kG/cm}^2$ .

Бош юзлар ва  $\tau_{\max}$  ҳосил бўладиган юз ҳолатлари 2.16-расм, о да кўрсатилган.

Шу масалани аналитик усулда ечамиз. (2.10) формуладан кунидагиларни топамиз:

$$\sigma_{\text{ном}} = \frac{\sigma_x + \sigma_y}{2} \pm \frac{1}{2} \sqrt{(\sigma_x - \sigma_y)^2 + 4\tau_{xy}^2} = \\ = \frac{265 - 265}{2} \pm \frac{1}{2} \sqrt{(265 + 265)^2 + 4 \cdot 300^2} = \pm 400 \text{ kG/cm}^2.$$

Бош юзларнинг берилганга нисбатан оғишини аниқлаш учун (2.9) формулани қўллаймиз:

$$\operatorname{tg} 2\alpha_0 = - \frac{2\tau_{xy}}{\sigma_x - \sigma_y} = \frac{2 \cdot 300}{265 - (-265)} = -1,13,$$

бундан иккита бурчак ҳосил қиласиз:  $\alpha'_0 = -24^\circ 15'$  ва  $\alpha''_0 = -114^\circ 15'$ . Бу бурчаклардан кичиги биринчи бош юз нормалининг йўналишини беради (2.16-расм, б га қаранг).

**2.5- мисол.** Берилган кучланиш ҳолати учун (2.17-расм, а) бош кучланишлар ва максимал уринма кучланиш аниқлансин.

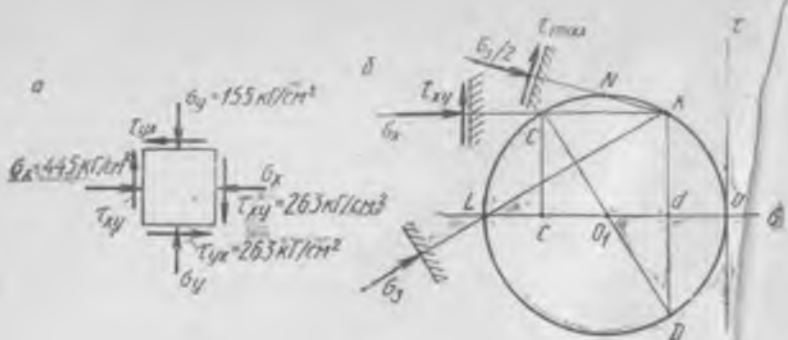
Ечиш. Мор доирасини ясаш (2.17-расм, б) олдинги масалада кўрсатилганга ўхшашdir. Берилган кучланишлар буйича  $C$  ( $\sigma_x$  абсцисса ва  $\tau_{xy}$  ординатали) ва  $D$  ( $\sigma_y$  абсцисса ва  $\tau_{xy}$  ординатали) нуқталарни топамиз. Бу нуқталарни бирлаштириб, доира маркази ( $O$ , нуқта) ни ҳосил қиласиз; бу марказдан  $C$  ва  $D$  нуқталар орқали ўтувчи айлана чизамиз. Бу айлана координатада бошидан ўтади, демак, бош кучланишлардан (чизма текислигига перпендикуляр юзлар серияси учун, 2.17-расм, а) бири нолга тенгdir. Шундай қилиб, берилган кучланиш ҳолати учун кучланишлардан фақат биттаси нолдан фарқ қиласи; бу кучланиш манфиийdir, демак, бир ўқли сиқнилиш ҳолатини ҳосил қиласиз:  $\sigma_1 = \sigma_2 = 0$ ,  $\sigma_3 = -600 \text{ kG/cm}^2$  ( $\sigma_3$  катталиги чизмадан аниқланди).

(2.10) формулани қўллаб, худди ўша натижани ҳосил қиласиз:

$$\sigma_{\text{ном}} = \frac{\sigma_x + \sigma_y}{2} \pm \frac{1}{2} \sqrt{(\sigma_x - \sigma_y)^2 + 4\tau_{xy}^2} = \\ = \frac{-445 - 155}{2} \pm \frac{1}{2} \sqrt{(-445 + 155)^2 + 4 \cdot 263^2} = -300 \pm 300; \\ \sigma_1 = 0; \\ \sigma_3 = -600 \text{ kG/cm}^2.$$

(2.4) формуладан максимал уринма кучланишни топамиз (2.17-расм, б га ҳам қаранг):

$$\tau_{\max} = \frac{\sigma_1 - \sigma_3}{2} = \frac{-(-600)}{2} = 300 \text{ kG/cm}^2$$



2. 17-расм.

Мустақил ечиш учун масалала р

2.1. 2.18-расмда тасвирлансган брус 1—1 кесимининг  $A$  нүқтасидаги нормал кучланиш  $650 \text{ kG}/\text{cm}^2$  га тенг бўлса,  $P$  кучнинг катталиги аниқлансин.

Жавоби.  $735 \text{ kG}$ .

2.2 Сиқилган бруснинг юзлардан биридаги кучланишлар  $\sigma_a = 75 \text{ Mn}/\text{m}^2$ ,  $\tau_a = 43 \text{ Mn}/\text{m}^2$  га тенг. Брусада ҳосил буладиган максимал, нормал ва уринма кучланишлар ҳамда  $P$  кучнинг қиймаги аниқлансин.

Жавоби.  $\sigma_a = -99,4 \text{ Mn}/\text{m}^2$ ;  $\tau_{\max} = 49,7 \text{ Mn}/\text{m}^2$ ;  $P = 9940 \text{ N}$ .

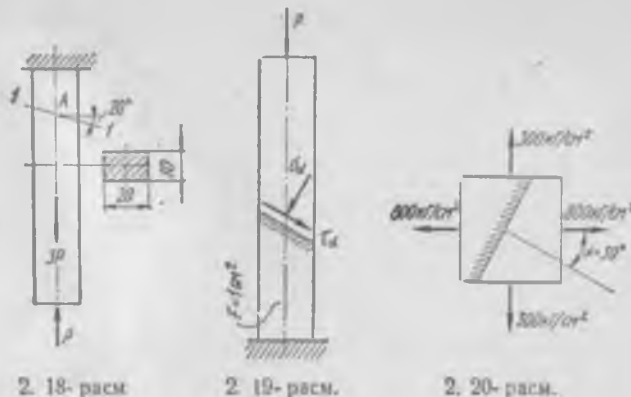
2.3. Берилган кучланиш ҳолати учун (2.20-расм) чизмада белгилансган юздаги нормал ва уринма кучланишлар аналитик ва графоаналитик усуслда (Мор доираси ёрдамида) аниқлансин.

Жавоби.  $\sigma_a = 675 \text{ kG}/\text{cm}^2$ ;  $\tau_a = 217 \text{ kG}/\text{cm}^2$ .

2.4. Берилган кучланиш ҳолати учун (2.21-расм, а, б, в, г) бош кучланишларнинг ҳар бирига параллел бўлган юзлар серияси учун Мор доираси қурилсин ва максимал уринма кучланишлар аниқлансин.

Жавоби. а)  $1200 \text{ kG}/\text{cm}^2$ ; б) 0; в)  $250 \text{ kG}/\text{cm}^2$ ; г)  $1100 \text{ kG}/\text{cm}^2$ .

2.5. Параллелепипеднинг кучланишдан ҳоли бўлган ёғига перпендикуляр бўлган юзлар серияси учун Мор доираси ясал-



син (2.22-расм). Бөш күчланишлар ва максимал уринма күчланиш аниқлансın.

**Жаһаби.**  $\sigma_1 = 240 \text{ кГ/см}^2$ ;  $\sigma_2 = 0$ ;  $\sigma_3 = -1040 \text{ кГ/см}^2$ ,  
 $\tau_{\max} = 640 \text{ кГ/см}^2$ .

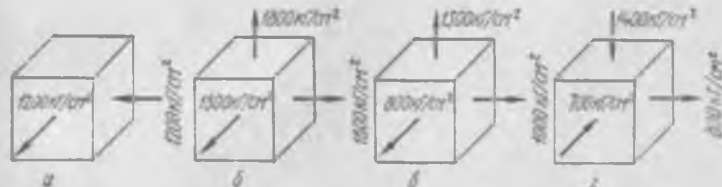
**2.6.** Берилған күчланиш ҳолати учун (2.23-расм) бөш күчланишлар аниқлансın. Учта Мор доирасы ясалсın ва максимал уринма күчланиш топилсın.

Күрсатма.  $\sigma_z$  га параллел юзлар серияси учун күчланиш  $\sigma_z$  га бөглиқ бұлмайды, яғни тақидланған серия учун текшириш текис күчланиш долаттін текшириш каби олиб борилади.

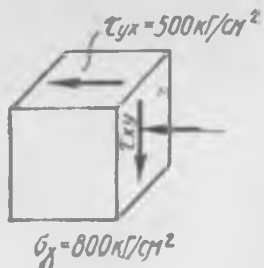
**Жаһаби.**  $\sigma_1 = 1200 \text{ кГ/см}^2$ ;  
 $\sigma_2 = 722 \text{ кГ/см}^2$ ;  
 $\sigma_3 = -222 \text{ кГ/см}^2$ ;  
 $\tau_{\max} = 711 \text{ кГ/см}^2$ .

### 2.3-§. УМУМЛАШГАН ГҮК ҚОНУНИНИ ТАТБИҚ ЭТИШ

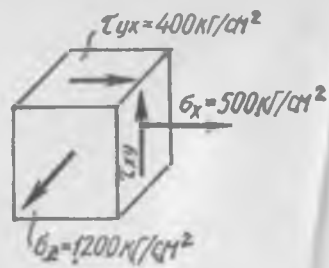
**2.6- мисол.** Алюминийдан ишланған кичик куб оғир (деформацияланмайдыган) деталь үйінің түркішсіз (зич әркін құйилған) ва  $P = 180 \text{ кН}$  күч билан сиқылған (2.24-расм). Куб-



2. 21-расм.



2. 22-расм.



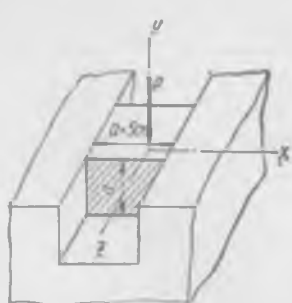
2. 23-расм.

нинг ихтиёрий нүқтаси учун баш кучланишлар ва баш деформациялар аниқлансан. Кубнинг нисбий ва абсолют ҳажмий ўзгаришлари ҳисоблансан. Деформациянинг солиштирма потенциал энергияси (тўла, ҳажмий ва шаклий ўзгарниши билан боғлиқ бўлган) аниқлансан.  $E = 0,7 \cdot 10^5 \text{ Mn/m}^2$ ;  $\mu = 0,36$  деб қабул қилинсан.

Ечиш. Куб бир жинсли кучланиш ҳолатида (унинг барча нүқталари учун бир хил), шунинг учун унга умумлашган Гук қонунини тўлалигича татбиқ этиш мумкин. Кубнинг очик томони (2.24-расмда штрихланган) кучланишдан ҳоли, яъни  $\sigma_z = 0$ . Кубнинг усткни ва остики ёқларидаги кучланиш ( $P$  куч усткни ёки текис тақсимланган деб фараз қилинади):

$$\sigma_y = -\frac{P}{a^2} = -\frac{180 \cdot 10^3}{5^2 \cdot 10^{-4}} = -7,2 \cdot 10^7 \text{ N/m}^2.$$

$x$  уқи бўйича деформациянинг нолга тенглик шартидан фойдаланиб  $\sigma_x$  кучланишни аниқлаймиз, яъни қўйилган деталь абсолют ҳаттиқ деб қабул қилингани учун  $\sigma_z = 0$  булади. Умумлашган Гук қонунини татбиқ этиб, қўйидаги тенгликни ҳосил қиласиз:



2. 24-расм.

$$\sigma_x = \frac{1}{E} [\sigma_x - \mu (\sigma_y + \sigma_z)] = 0,$$

бундан

$$\sigma_x = \mu \sigma_y = 0,36 (-7,2 \cdot 10^7) = -259 \cdot 10^5 \text{ N/m}^2.$$

Пировардига қўйидагини топамиш:  $\sigma_1 = \sigma_2 = 0$ ;  $\sigma_3 = \sigma_x = -259 \times 10^5 \text{ N/m}^2 = 25,9 \text{ Mn/m}^2$ ;  $\sigma_3 = -\sigma_1 = -720 \cdot 10^5 \text{ N/m}^2 = -72 \text{ Mn/m}^2$ .

Баш деформацияларнинг миқдорини ҳисоблаймиз:

$$\epsilon_1 = \epsilon_x = 0;$$

$$\epsilon_x = \epsilon_y = \frac{1}{E} [\sigma_y - \mu (\sigma_x + \sigma_z)] = \frac{1}{0,7 \cdot 10^3} (-72 + 0,36 \cdot 25,9) = -8,96 \cdot 10^{-4}$$

$$\epsilon_x = \epsilon_z = \frac{1}{E} [\sigma_z - \mu (\sigma_x + \sigma_y)] = \frac{1}{0,7 \cdot 10^3} [-0,36 (-25,9 - 72)] = 5,03 \cdot 10^{-4}.$$

Ҳажмнинг нисбий ўзгариши:

$$\Theta = \epsilon_x + \epsilon_y + \epsilon_z = -8,96 \cdot 10^{-4} + 5,03 \cdot 10^{-4} = -3,93 \cdot 10^{-4}.$$

Ҳажмнинг абсолют ўзгариши:

$$\Delta V = \Theta V = \Theta a^3 = -3,93 \cdot 10^{-4} \cdot 5^3 = -0,0491 \text{ см}^3 = -4,91 \cdot 10^{-8} \text{ м}^3.$$

Деформациянинг тұла солишири ма потенциал энергияси:

$$u = \frac{\sigma_1 \epsilon_1}{2} + \frac{\sigma_2 \epsilon_2}{2} + \frac{\sigma_3 \epsilon_3}{2} = \frac{-720 \cdot 10^6 (-8,96 \cdot 10^{-4})}{2} = 322 \cdot 10^2 \text{ Н} \cdot \text{м}/\text{м}^3.$$

Деформациянинг ҳажмий ўзгариши билан бөглиқ бүлган солишири ма потенциал энергияси:

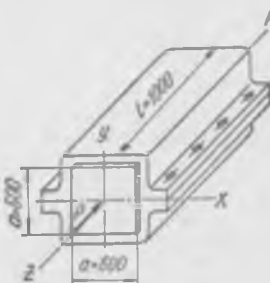
$$u_x = \frac{1+2\mu}{6E} (\sigma_1 + \sigma_2 + \sigma_3)^2 = \frac{1+2 \cdot 0,36}{6 \cdot 0,7 \cdot 10^{11}} [(-259 \cdot 10^5) + (-720 \times 10^5)]^2 = 64 \cdot 10^2 \text{ Н} \cdot \text{м}/\text{м}^3.$$

Деформациянинг шаклий ўзгариши билан бөглиқ бүлган солишири ма потенциал энергияси

$$u_{\text{ш}} = \frac{1+2\mu}{6E} [(\sigma_1 - \sigma_2)^2 + (\sigma_2 - \sigma_3)^2 + (\sigma_3 - \sigma_1)^2] = \frac{1+0,36}{6 \cdot 0,7 \cdot 10^{11}} [259^2 + (-259 + 720)^2 + 720^2] 10^{10} = 258 \cdot 10^2 \text{ Н} \cdot \text{м}/\text{м}^3$$

**2.7-мисол.** Қаттың қоплама иккита ярим бұлакдан тәркиб топған ва сакқыста болт билан тортилған (2.25-расм). Қоплама пластмассали призмани сиқиб туради. Пластмасса призманың Пуассон коэффициенті  $\mu=0,4$  га тең, призмани қоплама-нинг үқи бүйлаб жүналған  $P = 10 \cdot 10^3 \text{ кГ}$  күч сиқиб туради. Болтлар деформациясими ва тортишдағы буралышнинг таъсирини назарга олмасдан болттарнинг кераклы диаметри аниқлансын. Болтлар учун  $[\sigma_u] = 1000 \text{ кГ}/\text{см}^2$ .

Е чи ш. Пластмассали призма (брұс) сиқиленгенде унинг күндаланған кесими үлчамлары кагталашиши керак, лекин қоплама де-



2.25-расм,

ворлари бунга йул бермайди. Натижада, пластмасса бруса қоплама деворларининг сиртлари орасида ўзаро таъсир кучлари ҳосил бўлади. Бруслар жинсли кучланиш ҳолатида бўлади. Масала шартига кура қоплама абсолют қаттиқлигини ва болтлар деформацияларини назарга олинмаслигини ҳисобга олсан, брусларнинг  $x$  ва у ўқлари буйича деформациялари нолга тенг, деган холосага келамиз. Симметрия шартига кура  $\sigma_x = \sigma_y$ , эканлигини назарга олиб ва умумлашган Гук қонунини татбиқ этиб қўйидагини топамиз:

$$\epsilon_x = \epsilon_y = -\frac{1}{E} [\sigma_x - \mu (\sigma_z + \sigma_y)] = 0,$$

бундан

$$\sigma_x (1 - \mu) = \mu \sigma_z,$$

$$\sigma_x = \frac{\mu \sigma_z}{1 - \mu},$$

бу ерда

$$\sigma_z = -\frac{P}{a^2} = -\frac{10 \cdot 10^3}{60^2} = -2,78 \text{ кГ/см}^2$$

ва

$$\sigma_x = \frac{-0,4 \cdot 2,78}{1 - 0,4} = -1,85 \text{ кГ/см}^2.$$

Болтларга таъсир этувчи тўла кучланиш

$$Q = aL [\sigma_x] = 60 \cdot 100 \cdot 1,85 = 11100 \text{ кГ.}$$

Битта болтга тўғри келадиган кучланиш

$$Q_i = \frac{Q}{t} = \frac{11100}{8} = 1390 \text{ кГ.}$$

Мустаҳкамлик шартига кўра талаб этиладиган болт кесими (резьбанинг ички диаметри бўйича)

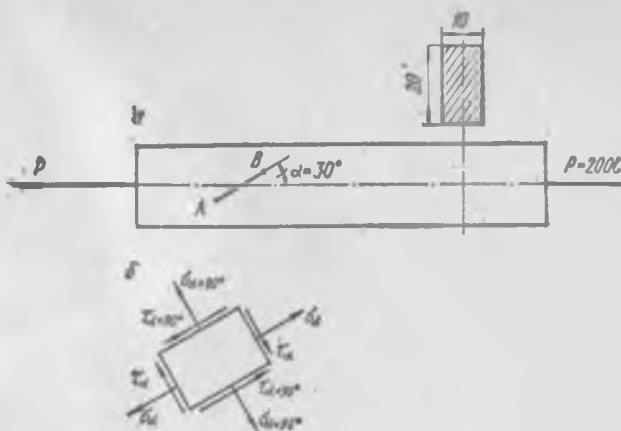
$$\frac{\pi d_i^2}{4} > \frac{Q_i}{[\sigma_u]}; d_i > \sqrt{\frac{4 Q_i}{\pi [\sigma_u]}} = \sqrt{\frac{4 \cdot 1390}{3,14 \cdot 1000}} = 1,33 \text{ см.}$$

9150-59 ГОСТ дан M16×2 резьбасининг ички диаметри  $d_i = 13,83 \text{ мм}$  бўлган болтни танлаб оламиз.

**2 8-мисол.** Чўзилувчи намунага AB тензометр 2.26-расм,  $a$  да тасвирлангандек, ўрнатилган. Тензометрининг базаси  $c = 20 \text{ мм}$ , кагталашиб коэффициенти  $k = 1000$ , берилган нагруззка таъсирида тензометрининг курсатиши  $\Delta_c = 6,5 \text{ мм}$  га тенг. Агар  $E = 2,1 \times 10^6 \text{ кГ/см}^2$  эканлиги маълум бўлса, намуна материяли учун Пуассон коэффициенти аниқлансин.

**Е чи ш.** Бруслар тензометр базасига параллел ва унга перпендикуляр текисликлар билан элемент ажратамиз (2.26-расм. б). Бруслар кундаланг кесимидағи кучланиш маълум, яъни

$$\sigma_x = \sigma_y = \frac{P}{F} = \frac{2000}{2} = 1000 \text{ кГ/см}^2.$$



2. 26-расм.

Энди ажратилган элемент өқларида ҳосил бўладиган нормал кучланишларни топамиз:

$$\sigma_s = \sigma_1 \cos^2 \alpha = 1000 \cos^2 30^\circ = 750 \text{ кГ/см}^2;$$

$$\sigma_{s+90^\circ} = \sigma_1 \cos^2(\alpha + 90^\circ) = \sigma_1 \sin^2 \alpha = 1000 \sin^2 30^\circ = 250 \text{ кГ/см}^2.$$

Тензометр базаси йўналиши бўйича чизиқли деформацияни аниқлаш учун қўйидаги ифодани тузамиз:

$$\epsilon_s = \frac{1}{E} (\sigma_s - \mu \sigma_{s+90^\circ}).$$

Масаланинг шартидан шу деформациянинг сон қийматини аниқлаш мумкин:

$$\epsilon_s = \frac{\Delta_s}{ek} = \frac{6,5}{20 \cdot 1000} = 3,25 \cdot 10^{-4}.$$

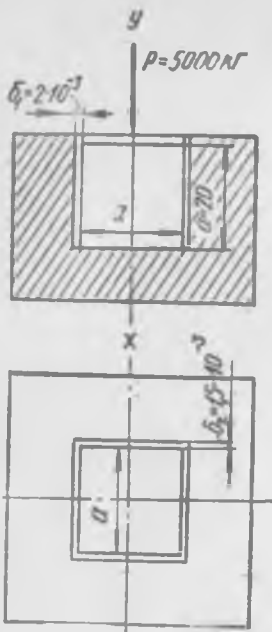
Шундай қилиб,

$$\epsilon_s = \frac{1}{E} (\sigma_s - \mu \sigma_{s+90^\circ}) = \frac{1}{2,1 \cdot 10^9} (750 - 250 \mu) = 3,25 \cdot 10^{-4},$$

бундан

$$750 - 682 = 250 \mu;$$

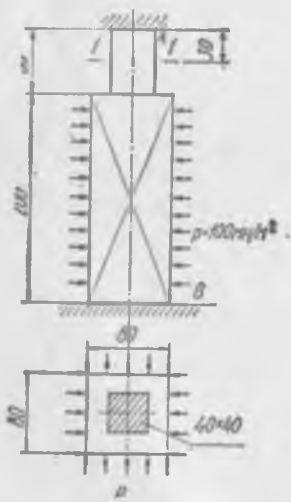
$$\mu = \frac{750 - 682}{250} = 0,272.$$



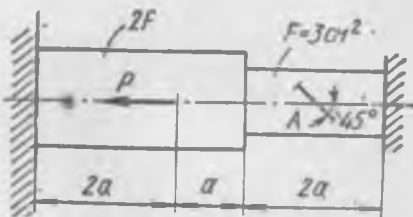
2. 27- расм.



2. 28- расм.



2. 29- расм.



2. 30- расм.

## Мустақил ечиш учун масалалар

2.7. Қирраси  $a = 20 \text{ mm}$  булған куб деформацияламайдыган деб ҳисобланса бұладыган оғир плитадан қилингандың уяға құйылған. Кубнинг устки ёғига юзи бүйіча текис тақсимланған сиқувчы күч  $P = 5 \cdot 10^8 \text{ kG}$  құйылған.  $P$  күч құйылмасдан аввал уяниң қирраси план текислигіда куб қиррасидан  $2\delta_1 = 4 \cdot 10^{-3} \text{ mm}$  ва  $2\delta_2 = 3 \cdot 10^{-3} \text{ mm}$  каттароқ (2.27-расм). Кубнинг ихтиёрий нұқтасынан учун бөш күчланишлар да деформациялар аниқлансын.  $E = 0,7 \cdot 10^6 \text{ kG/cm}^2$ ;  $\mu = 0,36$  деб қабул қилинсін.

Жағоби.  $\sigma_1 = \sigma_2 = -498 \text{ kG/cm}^2$ ;  $\sigma_3 = \sigma_x = -524 \text{ kG/cm}^2$ ;  $\sigma_y = -1250 \text{ kG/cm}^2$ ;  $\epsilon_3 = \epsilon_y = -126 \cdot 10^{-5}$ .

2.8. Күндаланған кесими квадрат шаклидегі пұлат бруслықкала учидан маңқам бириктириб құйылған (2.28-расм). Уяниң  $b$  узунлікдегі қисмінде текис тақсимланған  $P = 1500 \text{ kG/cm}^2$  босым таъсир этади. I—I кесимнинг силжиши аниқлансын.  $E = 2 \cdot 10^6 \text{ kG/cm}^2$ ,  $\mu = 0,30$  деб қабул қилинсін.

Жағоби.  $3,86 \cdot 10^{-4} \text{ см}$ .

2.9 Погонали пұлат бруслың остки қисмінде ұшамма томондан  $P$  босым таъсир қиласы (2.29-расм). Бруслықтарнан дегі реакциялар, күндаланған кесимиңдегі күчланишлар да I—I кесимнинг силжиши аниқлансын.  $E = 2 \cdot 10^5 \text{ N/mm}^2$ ;  $\mu = 0,30$  деб қабул қилинсін.

Жағоби.  $R_A = R_B = 174,5 \text{ кн}$ ;  $\sigma_A = 109 \text{ N/mm}^2$ ;  $\sigma_B = 27,3 \text{ N/mm}^2$ ;

$$\Delta_{I-I} = 1,64 \cdot 10^{-2} \text{ mm}.$$

2.10. Пұлат бруслың тензодатчик A ёпиширилған (2.30-расм), уяниң базасы бруслықтың үкі биленде  $45^\circ$  ли бурчак ташкил қиласы.

Бруслық  $P$  күч таъсир этганида датчик базасы йұналишида деформация  $\epsilon_a = 1,05 \cdot 10^{-4}$  ҳосил болады. Агар бруслық материалынан  $E = 2,0 \cdot 10^6 \text{ kG/cm}^2$ ,  $\mu = 0,3$  болса,  $P$  күчнің катталғы аниқлансын.

Жағоби.  $6300 \text{ kG}$ .

### III бөл

## КЕСИЛИШ ВА ЭЗИЛИШГА ОИД АМАЛИЙ ХИСОБЛАШЛАР

### 3.1-§. АСОСИЙ ТУШУНЧАЛАР ВА ХИСОБЛАШ ФОРМУЛАЛАРИ

Ти кесимда (3.1-расм) ҳосил бўладиган уринма кучланишлар (силиши ёки кесилиш кучланиши) қўйидаги формула билан ҳисобланади:

$$\tau_{\text{кес}} = \frac{Q}{F_{\text{кес}}}.$$

Бу ерда  $Q$ —ички куч фактори булиб, кундаланг куч деб атади. Берилган ҳолда  $Q = P$ .

Кесилишда мустаҳкамлик шарти

$$\tau_{\text{кес}} = \frac{Q}{F_{\text{кес}}} < [\tau_{\text{кес}}].$$

Статик нагрузка  $\tau_{\text{кес}} = (0,6 \div 0,8)[\sigma_u]$ , бу ерда  $[\sigma_u]$  материал учун чўзилишда рухсат этилган кучланиш.

Эзилиш кучланиши  $\sigma_{\text{эз}}$  бирютирувчи элементларнин сиртлари билан тешиклар орасидаги контакт юзларда ҳосил бўлади.

Эзилишда мустаҳкамлик шарти

$$\sigma_{\text{эз}} = \frac{P}{lF_{\text{эз}}} < [\sigma_{\text{эз}}],$$

бу ерда  $\frac{P}{l}$  — битта бирютирувчи деталга тўғри келадиган кучланиш;  $[\sigma_{\text{эз}}]$  — эзилишда рухсат этилган кучланиш;

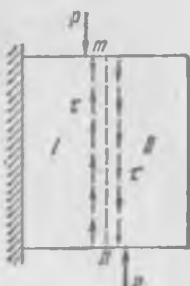
$$[\sigma_{\text{эз}}] = (1,7 \div 2)[\sigma_u];$$

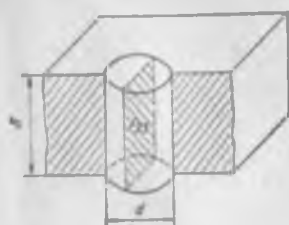
$F_{\text{эз}}$  — эзилишда ҳисоблаш юзи.

Цилиндрик сирт (ярим цилиндрик) бўйича контактда  $F_{\text{эз}}$  шартли равиша kontakt цилиндрик сиртининг днаметрал текислигидаги проекцияси юзига тенг (3.2-расм):

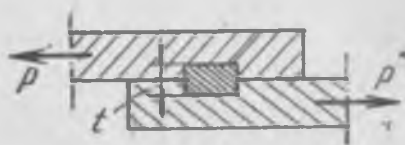
$$F_{\text{эз}} = d\delta.$$

3.1-расм.





3. 2- расм.



3. 3- расм.

Текислик бүйича контактта (3.3-расм):

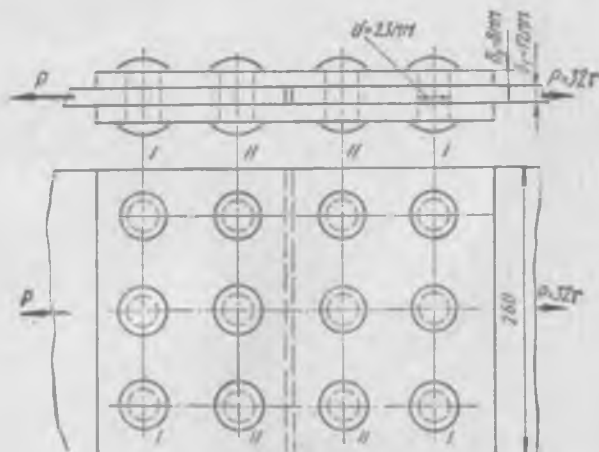
$$F_{\text{бр}} = tb,$$

бу ерда  $b$ —шпонканинг чизма текислигига перпендикуляр жүйе налишдаги үлчами.

Бириктіріладыган деталлар ұар хил қалинлікта бүлгандықтап көріндегі формулаға  $\delta_{\min}$  әки  $t_{\min}$  күйилади.

### 3.2-§. ПАРЧИН МИХЛИ БИРИКМАЛАРНИ ҲИСОБЛАШ

3.1-мисол. Парчин михли бирикманинг мустаҳкамлігі текширилсін (3.4-расм), берилғанлар:  $[\sigma_u] = 1400 \text{ кГ/см}^2$ ,  $[\tau_{\text{рез}}] = 1000 \text{ кГ/см}^2$ ,  $[\sigma_{\text{бр}}] = 240 \text{ кГ/см}^2$ .



3. 4- расм.

Ечиш. 1. I—I заифлаштирилган кесим бүйича листдаги күчланишни ҳисоблаймиз. Аввал нетто кесим юзини аниқладаймиз:

$$F_{\text{нетто}} = 26 \cdot 1,2 - 2,3 \cdot 3 \cdot 1,2 = 22,9 \text{ см}^2;$$

$$\sigma_q = \frac{P}{F_{\text{нетто}}} = \frac{32 \cdot 10^3}{22,9} = 1400 \text{ кГ/см}^2 = [\sigma_q].$$

2. Парчин михларни кесилишга мустаҳкамлигини текширамиз, бунда парчин мих икки кесимли ( $k=2$ ) эканлигини на-варга оламиз:

$$\tau_{\text{вес}} = \frac{P}{kl \frac{\pi d^2}{4}} = \frac{32 \cdot 10^3 \cdot 4}{2 \cdot 6 \cdot \pi \cdot 2,3^2} = 640 \text{ кГ/см}^2 < [\tau_k].$$

Бу ерда  $l$ —чокнинг бир томонидаги парчин михлар сони.

3. Парчин михли бирикманинг эзилишга мустаҳкамлигини текширамиз ( $2d_2 > \delta_1$  эканлигини ҳисобга оламиз);

$$\sigma_{ss} = \frac{P}{ld\delta_1} = \frac{32 \cdot 10^3}{6 \cdot 2,3 \cdot 1,2} = 1930 \text{ кГ/см}^2 < [\sigma_{ss}].$$

Шундай қилиб, бирикманинг мустаҳкамлиги таъмин этилади.

3.2-мисол. Иккита тенг ёнли бурчакликдан таркиб топган стержень  $P = 30 \text{ Т}$  куч билан чўзилган булиб, қалинлиги  $\delta = 12 \text{ мм}$  бўлган шаклдор листга диаметри  $d = 20 \text{ мм}$  бўлган парчин михлар билан бириктирилган (3.5-расм). Ст. 2 маркали пулатдан тайёрланади.

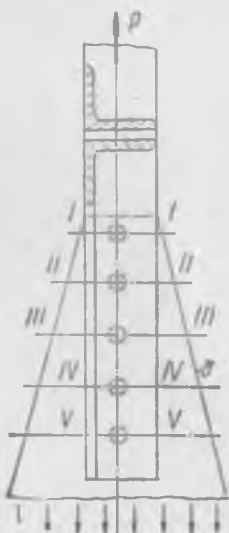
Бурчакликларнинг профили танлансанн ва бирикмадаги керакли парчин михларнинг сони аниқлансан,  $[\sigma_q] = 1400 \text{ кГ/см}^2$ ,  $[\tau_{ss}] = 1000 \text{ кГ/см}^2$ ,  $[\sigma_{ss}] = 2800 \text{ кГ/см}^2$ .

Ечиш. 1. Стержень кесимини танлаш. Бурчаклик хавфли I—I кесимида тешниклар билан заифлаштирилгац. Шуннинг учун ҳисоблашни  $F_{\text{нетто}}$  ни аниқлашдан бошлаймиз.

Бурчаклик кесимининг зарурий иш юзи (нетто)

$$F_{\text{нетто}} = \frac{P}{[\sigma_q]} = \frac{30 \cdot 10^3}{1400} = 21,4 \text{ см}^2.$$

Бурчаклик кесимининг  $F_{\text{брuttoюзи}}$  бир оз каттароқ бўлади. Сортамент жадвалидан фойдаланиб,  $80 \times 80 \times 8$  бурчакликни танлаб оламиз.



3.5-расм.

Унда

$$F_{\delta p} = 12,3 \cdot 2 = 24,6 \text{ см}^2.$$

Стерженнинг 1—1 кесимидаги кучланишни текширамиз:

$$\sigma = \frac{P}{F_{\text{кесте}}} = \frac{30 \cdot 10^3}{24,6 - 2 \cdot 2,0 \cdot 0,8} = 1400 \text{ кГ/см}^2.$$

2. Кесилиш ва ээлишда мустаҳкамлик шартидан фойдаланиб, парчин михлар сонини аниқлаш:

а) кесилишда мустаҳкамлик шарти бўйича битта парчин михга тўғри келадиган рухсат этилган зўриқиш (парчин мих икки кесимли  $k = 2$ ):

$$[Q_{\text{кес}}] = [\tau_{\text{кес}}] k \frac{\pi d^2}{4} = 1000 \cdot 2 \frac{3,14 \cdot 2^2}{4} = 6280 \text{ кГ};$$

б) ээлишда мустаҳкамлик шарти бўйича битта парчин михга тўғри келадиган рухсаг этилган зўриқиш:

$$[Q_{\text{з}}] = [\tau_{\text{з}}] F_{\text{з}} = 2800 \cdot 2,4 = 6730 \text{ кГ};$$

бу ерда  $F_{\text{з}} = \pi d = 1,2 \cdot 2 = 2,4 \text{ см}^2$  (бурчаклик косинкасининг қалинлиги токчасининг иккапланган қалинлигидан кичик, шунинг учун ээлишнинг ҳисоблаш юзи косинканинг қалинлиги бўйича аниқланади).

Кесилишда мустаҳкамлик шартидан фойдаланиб, парчин михларнинг керакли сонини аниқлашимиз.

$$[Q_{\text{кес}}] < [Q_{\text{з}}]$$

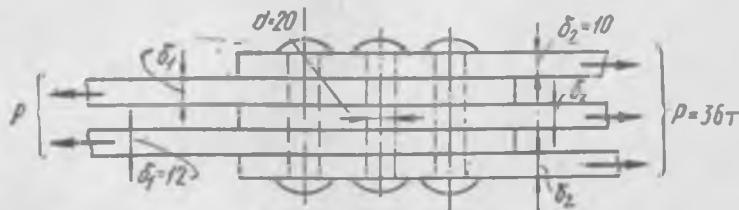
$$\text{бўлгани учун } l = \frac{P}{[Q_{\text{кес}}]} = \frac{30 \cdot 10^3}{6280} = 4,78;$$

демак,  $i = 5$  деб қабул қиласиз.

Мустақил рчиш учун масалалар

3.1. Бирикмада керак бўладиган парчин михлар сони аниқланисин (8.6-расм). Бунда  $[\tau_{\text{кес}}] = 1000 \text{ кГ/см}^2$  ва  $[\sigma_{\text{з}}] = 2800 \text{ кГ/см}^2$ .

Жавоби. Учта парчин мих.



3. 6- расм.

**3.2.** Тенг ёни булмаган икки бурчакликдан иборат шаклдор листга бириктирилган ва  $P=36$  Т чўзувчи куч таъсиридаги стерженинг кесими танлансин ҳамда керакли парчин михлар сони аниқлансин. Бунда  $[\sigma_y] = 1400 \text{ кГ/см}^2$ ; парчин михнинг диаметри  $d=20 \text{ мм}$ ;  $[\tau_{\text{rec}}]=1000 \text{ кГ/см}^2$ ;  $[\tau_{\text{ss}}]=2800 \text{ кГ/см}^2$ , шаклдор лист (косинка) нинг қалинлиги  $\delta=12 \text{ мм}$ .

Жавоби.  $100 \times 75 \times 8$  бурчакликлар (8510-57 ГОСТ бўйича); 6 та парчин мих.

### 3.3. §. ПАЙВАНД БИРИКМАЛАРНИНГ ҲИСОБИ

Чўзувчи ёки сиқувчи куч таъсиридаги тўғри чокли пайванд бирикма, бирикувчи листлар (3.7-расм) четининг бириктиришга қандай тайёрланганидан қатъи назар, чўзишишга (ёки сиқилишга) қўйидаги формула билан ҳисобланади:

$$\sigma_s = \frac{P}{\delta b} \leq [\sigma_s].$$

Пайванд чок учун рухсат этилган кучланиш  $[\sigma_s]$  (чўзишида  $[\sigma_s]_c$  ва сиқилишда  $[\sigma_s]_c$ ) пайвандланадиган деталлар учун рухсат этилган кучланишларга, пайванд усулига ҳамда электрод маркасига боғлиқ бўлади

Валиксимон (бурчак кўрнишидаги) чокли бирикмалар кесилишга ҳисобланади. Масалан, 3.8-расм, а да кўрсатилган кундаланг валиксимон чокли бирикмалар учун мустаҳкамлик шарти қўйидаги кўрнишда бўлади:

$$\tau_s = \frac{P}{2 \cdot 0,7 k l_d} \leq [\tau_s].$$

Чокнинг хавфли емирилиши, биссектор кесим бўйича содир бўлади, деб фараз қилингандা, барча валиксимон чоклар учун чокнинг ҳисоб қалинлиги  $t=0,7 \text{ км}$  бўлади (3.8-расм, б). Пайванд чок учун кесилишда рухсат этилган  $[\tau_s]$  кучланиш худди  $[\sigma_s]$  каби факторларга боғлиқ бўлади.

Бўйлама ёнбосх чок (3.9-расм) учун мустаҳкамлик шарти



3. 7-расм.

Валиксимон кундаланг, бўйлама ёнбосх ва

қийшик чокларнинг комбинациясидан нборат бўлган бирималар учун (3.10-расм) мустаҳкамлик шарти

$$\tau_s = \frac{P}{0,7 \cdot \kappa L} \leq [\tau_s],$$

бу ерда  $L$  — валиксимон чокларнинг умумий периметри.

**3.3- мисол.** Бурчакликни шаклдор лист билан биритиравчи бўйлама ёнбуш чокларнинг талаб этилган узунлиги аниқлансан (3.11-расм). Чокнинг қалинлиги (катети) обушка ва перо томонида бир хил бўлиб, у бурчаклик точкасининг қалинлигига teng:  $k = 10 \text{ мм}$ , кесилишда чок учун рухсаг этилган кучланиш  $[\tau_s] = 100 \text{ МН/м}^2$ .

Ечиш. Қаралаётган масалада чоклар обушка томонида ҳам, перо томонида ҳам бир хилда юкланмар, чок обушка томонидан кўпроқ юкланганилиги яқъол кўриниб турибди.

Мувозанат шартидан фойдаланиб, чокка перо ва обушка томонлардан таъсир этувчи  $P_n$  ва  $P_{ob}$  кучларни осонгина топамиз:

$$P_n = P \frac{a_1}{a}; \quad P_{ob} = P \frac{a_2}{a}.$$

Чокларнинг ұалинлиги бир хил бўлганлиги учун уларнинг узунлукларининг нисбати шу чокларга тўғри келадиган зўри-қишилар нисбати каби бўлади, яъни:

$$l_n = L \frac{a_1}{a}; \quad l_{ob} = L \frac{a_2}{a},$$

бу ерда  $L$  — иккала чокнинг умумий узунлиги.

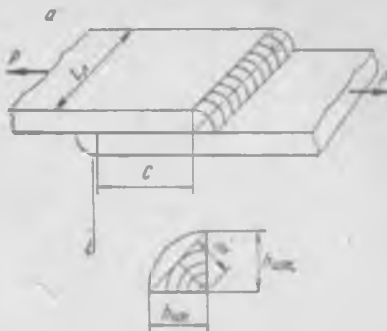
Мустаҳкамлик шартидан

$$L > \frac{P}{0,7 \cdot \kappa [\tau_s]} = \frac{160 \cdot 10^3}{0,7 \cdot 1,0 \cdot 10^{-3} \cdot 100 \cdot 10^6} \approx 230 \cdot 10^{-3} \text{ м} = 230 \text{ мм};$$

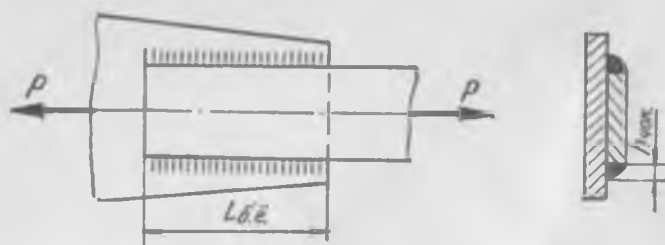
$$l_n = 230 \cdot \frac{34,5}{125} \approx 64 \text{ мм};$$

$$l_{ob} = 230 \cdot \frac{90,5}{125} \approx 167 \text{ мм.}$$

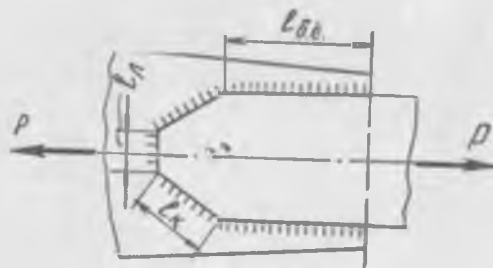
Обушкадан профил оғирлик марказигача бўлган масофа  $a$ , нинг ўлчами 8509—57 ГОСТ жадвалидан олинган; у ерда бу масофа  $z_0$  билан белгиланган.



3. 8-расм.

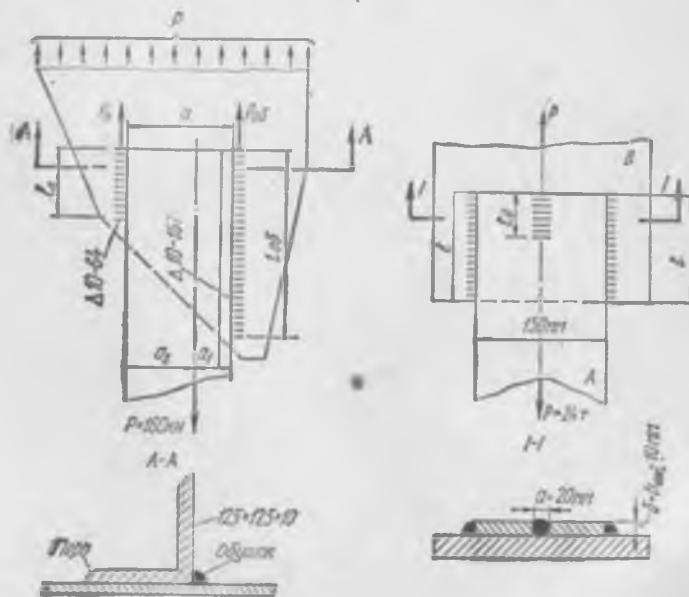


3. 9- расм.



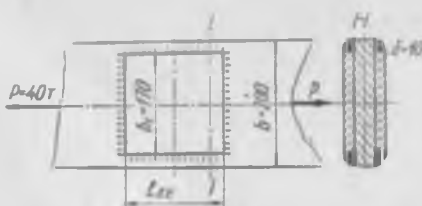
$$L = L_{BE} + 2L_{\gamma} + 2L_{\delta\epsilon}$$

3. 10- расм.



3. 11- расм.

3. 12- расм.



3. 13-расм.

**3.4-мисол.** А пұлат полоса В листта бүйлама ёнбош чоклар ва ўйық чок билан пайвандланған (3.12-расм). Агар  $|\tau_s| = 1000 \text{ кГ/см}^2$ ,  $l = 100 \text{ мм}$  бўлса, ўйық чок узунлиги ёнилсансин.

Ечиш. Бүйлама ёнбош чокларга түғри келадиган зуриқиши аниқланасин:

$$P_{\text{б.е.}} = 2l \cdot 0,7 \cdot [\tau_s] = 2 \cdot 10 \cdot 0,7 \cdot 1 \cdot 1000 = 14000 \text{ кГ.}$$

Ўйық чокка түғри келадиган зуриқиши

$$P_y = P - P_{\text{б.е.}} = 24000 - 14000 = 10000 \text{ кГ.}$$

Ўйық чок узунлигиги

$$l_y = \frac{P_y}{a[\tau_s]} = \frac{10000}{2 \cdot 1000} = 5 \text{ см} = 50 \text{ мм.}$$

### Мустақил ечиш учун масалалар

**3.3.** Листларнинг бирикиш жойи иккита тахтакач билан қопланған, тахтакачлар эса листларга қалинлиги  $k = 10 \text{ мм}$  бўлган пайванд чок билан периметри бўйича пайвадлаб биректирилган (3.13 расм).  $[\tau_s] = 800 \text{ кГ/см}^2$  бўлганда бүйлама ёнбош чок узунлиги  $l_{\text{б.е.}}$  аниқлансанин.

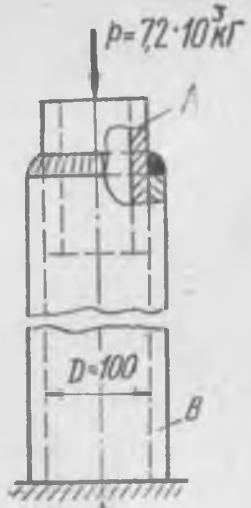
Жавоби.  $l_{\text{б.е.}} = 170 \text{ мм.}$

**3.4.** А труба бир учи билан В трубага зинч киргизилган ва унга қалинлиги  $k = 8 \text{ мм}$  бўлган пайванд чок билан периметри бўйича пайвандланған (3.14-расм).

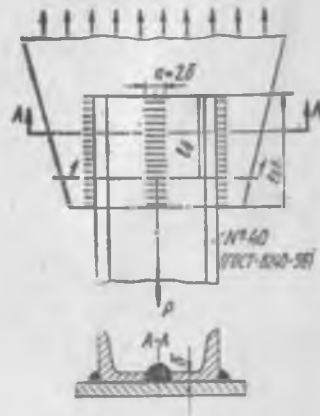
Пайванд чок учун ҳисоблаш кучланиши аниқлансанин.

Жавоби.  $\tau_s = 410 \text{ кГ/см}^2$ .

**3.5.** Швеллер листта иккита бүйлама ёнбош ва битта ўйық чоклар билан пайвандланған (3.15-расм). Бүйлама ёнбош чок қалинлиги швеллер девори с қалинлигига teng.



3. 14-расм.



3. 15-расм.

Агар  $[\tau_b] = 960 \text{ кГ/см}^2$  ва швеллер учун чўзилишда рухсат этилган кучланиш  $[\sigma] = 1600 \text{ кГ/см}^2$  бўлса, бўйлама ёнбош ва ўйик чокларнинг узунликлари  $l_{\text{б.е.}}$  ва  $l_y$  аниқлансин.

Кўрсатма. Ҳисоб пайванд чок билан пайвандланувчи швелларнинг мустаҳкамликлари тенглиги шартидан фойдаланиб бажарилсин. Швеллернинг чўзилишга мустаҳкамлик шартидан фойдаланиб, рухсат этилган Ркучни аниқлашдан бошлансин. Сўнгра швеллернинг  $I-I$  заифлаштирилган кесимига мустаҳкамлик рухсат этидиган зўрнишнинг таъсир этиши шартидан фойдаланиб  $l_{\text{б.е.}} - l_y$  аниқлансин.

Жавоби.  $l_{\text{б.е.}} = 385 \text{ мм}, l_y = 369 \text{ мм.}$

## IV бөл

### ТЕКИС КЕСИМЛАРНИНГ ГЕОМЕТРИК ХАРАКТЕРИСТИКАЛАРИ

#### 4.1-§. АСОСИЙ ТУШУНЧА ВА МУНОСАБАТЛАР

Брус күндаланг кесимнинг геометрик характеристикалари: юз, үқиі таңбайы инерция моментлари, үқий таңбайы қаршылык моментлари ҳамда кесимнинг статик моментлари ва марказдан қочирма инерция моментлардан иборатдир.

##### 1) Текис кесимнинг статик моментлари.

Кесимнинг  $z$  таңбасындағы үқиінегіндең инерция моментлари деб, қуындагы интегралларга айтилади (4.1-расм):

$$S_z = \int y dF = Fy_c,$$

$$S_y = \int z dF = Fz_c,$$

бу ерда  $y_c$  таңбасындағы оғирлик марказидан мос  $Oy$  таңбасындағы үқиінегіндең инерция моментлары.

Текис кесимнинг ихтиёрий марказий үққа нисбатан статик моменти нолға тең.

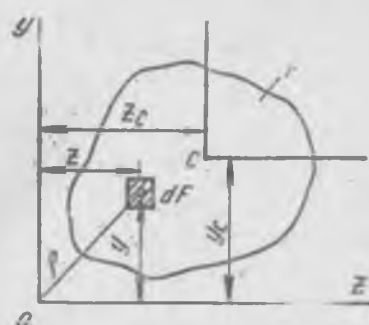
2) Үқиіт (экваториал), қутбий таңбасындағы үқиінегіндең инерция моментлари.

а) Ушбу куриниңдеги интегралларга

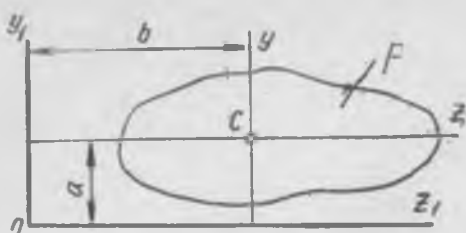
$$J_z = \int y^2 dF,$$

$$J_y = \int z^2 dF,$$

кесимнинг  $z$  таңбасындағы үқиінегіндең инерция моментлари деңгеледі (4.1-расмга қаранг).



4. 1-расм.



4. 2-расм.

б) Ушбу күринишдаги интегралга

$$J_p = \int_F p^2 dF$$

кесимнинг  $O$  нуқтага нисбатан қутбий инерция моменти дейилади (4.1-расмга қаранг).

в) Ушбу күринишдаги интегралга

$$J_{xy} = \int_F z y dF$$

кесимнинг марказдан қочирма инерция моменти дейилади.

3) Инерция моментларининг баъзи бир хоссалари.

а) Кесимнинг икки координата ўқларига нисбатан ўқий инерция моментларининг йигиндиси координата бошига нисбатан қутбий инерция моментига тенг бўлади:

$$J_p = J_z + J_y.$$

б) Мураккаб (турлича булаклардан таркиб топган) кесимнинг инерция моменти уни ташкил этувчи булакларнинг инерция моментларининг алгебраик йигиндисига тенг бўлади.

в) Кесимнинг ўқий ва қутбий инерция моментлари доимо мусбат катталиклардир; марказдан қочирма инерция моменти эса мусбат, манфий ва баъзи бир ўқлар учун нолга ҳам тенг бўлиши мумкин.

г) Агар кесим симметрия ўқига эга бўлса у вактда шу ўққа ва унга перпендикуляр бўлган ўққа нисбатан марказдан қочирма инерция моментлари нолга тенг бўлади.

4) Ўқларни параллел кўчиринш.

Кесимнинг марказий ўққа параллел қилиб ўтказилган ихтиёрий ўққа нисбатан инерция моменти унинг шу марказий ўққа нисбатан инерция моменти билан кесим юзини ўқлар орасидаги масофа квадратига кўпайтмасининг йигиндисига тенг бўлади (4.2-расм).

$$J_{z_1} = J_z + a^2 F.$$

Худди шунга ўхшаш

$$J_{y_1} = J_y + b^2 F.$$

Марказдан қочирма инерция моменти учун:

$$J_{x_1,y_1} = J_{xy} + abF.$$

*a* ва *b* катталиклар эски координатасида янги ўқлар системасининг координатасида бошини ифодалагани учун уз ишораси билан олиниши керак.

5) Координатада ўқларини буриш.

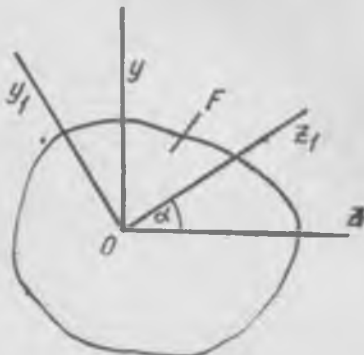
Агар кесимнинг  $O_x$  ва  $O_y$  ўқларга нисбатан инерция моментлари  $J_z$ ,  $J_y$ ,  $J_{zy}$  маълум бўлса, у вақтда берилган ўқларга нисбатан  $\alpha$  бурчакка бурилган  $Oz_1$  ва  $Oy_1$  ўқларга нисбатан инерция моментлари қўйидаги формулалардан аниқланади (4.3-расм):

$$J_{z_1} = J_z \cos^2 \alpha + J_y \sin^2 \alpha - J_{zy} \sin 2\alpha;$$

$$J_{y_1} = J_z \sin^2 \alpha + J_y \cos^2 \alpha + J_{zy} \sin 2\alpha;$$

$$J_{z_{1,y}} = \frac{J_z - J_y}{2} \sin 2\alpha + J_{zy} \cos 2\alpha.$$

4. 3-расм.



6) Бош инерция ўқлари. Боц инерция моментлари.

Бош инерция ўқлари (қисқача бош ўқлар) деб, ўзаро перпендикуляр бўлган шундай икки ўқча айтиладики, шу ўқларга нисбатан марказдан қочирма инерция моменти нолга тенг булади, ўқий моментлар эса узининг экстремал (max ва min) қийматларига ՚еришади.

Агар бош ўқлар шаклнинг оғирлик маркази орқали ўтса, у вақтда бундай ўқларга марказий бош инерция ўқлари дейилади.

Бош инерция моментлари қўйидаги формула ёрдамида ҳисобланади:

$$J_{1,2} = J_{\min} = \frac{J_z + J_y}{2} \pm \frac{1}{2} \sqrt{(J_z - J_y)^2 + 4J_{zy}^2}.$$

Бош инерция ўқларининг ҳолати қўйидаги муносабатлардан топилади:

$$\lg z_1 = \frac{J_{zy}}{J_y - J_{\max}};$$

$$\lg z_2 = \frac{J_{zy}}{J_y - J_{\min}}.$$

Шуннингдек, қуйидаги формуладан фойдаланилса ҳам бўлади:

$$\operatorname{tg} 2\alpha_{1,2} = \frac{2J_{xy}}{J_y - J_x}.$$

$\alpha_1$  ва  $\alpha_2$  бурчаклари  $z$  ўқининг мусбаг йўналишидан бошлаб ҳисобланилади, шу билан бирга  $\alpha_{1,2} > 0$  бўлганда бурчак соат стрелкаси ҳаракатига тескари йўналишда олинади,  $\alpha_{1,2} < 0$  бўлганда эса соат стрелкаси ҳаракати бўйича олинади.

Бунда

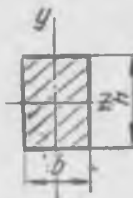
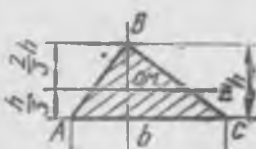
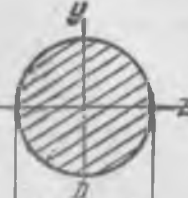
$$|\alpha_1 - \alpha_2| = 90^\circ$$

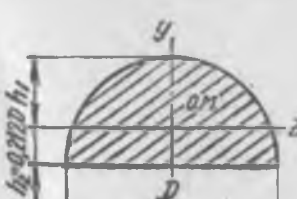
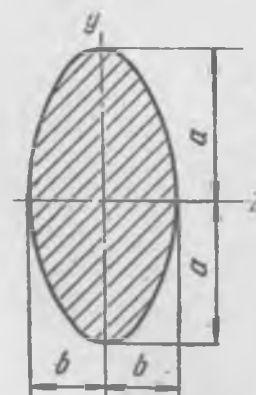
эканлигини назарда тутиш керак.

Куийда тез-тез учраб турадиган баъзи кесимларнинг инерция моментлари қўйматларининг жадвалини келтирамиз.

#### 4. 1- жадвал

Энг кўп ишлатиладиган кесимларнинг марказий ўқларга нисбатан инерция моментларининг қўйматлари

Кесим (шакл) турлари ва номлари	Инерция моментлари		
	$J_z$	$J_y$	
Тўғри тўртбурчак		$\frac{bh^3}{12}$	$\frac{bh^3}{12}$
Учбурчак		$\frac{bh^3}{36}$	-
Денра		$\frac{\pi}{64} D^4 \approx 0,05 D^4$	

Кесим (шакли) турлари ва номлари	Инерция моментлари	
	$J_x$	$J_y$
Ярим донра		0,00686 $D^4$ $\approx \frac{\pi}{128} D^4 \approx 0,0245 D^4$
Халда		$\frac{\pi}{64} (D^4 - d^4) \approx 0,05(D^4 - d^4)$
Эллипс		$\frac{\pi a^3 b}{4} \approx 0,785 a^3 b \frac{\pi b^3 a}{4} \approx 0,785 b^3 a$

#### 4.2-§. ТЕКИС КЕСИМНИНГ ГЕОМЕТРИК ХАРАКТЕРИСТИКАЛАРИНИ ҲИСОБЛАШ

4.1-мисол. Кесимнинг марказий бош үқларининг ҳолати аниқлансаны ва марказий бош инерция моментлари ҳисобланын (4.4-расм).

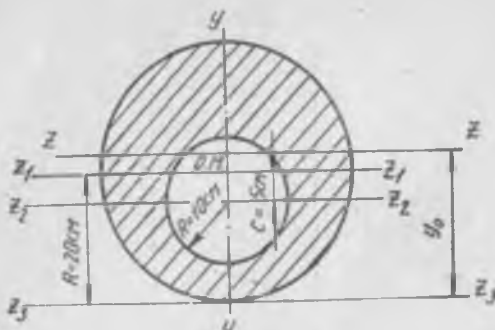
Ечиш.  $z - z$  кесим марказий ўқининг ҳолатини топамиз. Ўкоордината ҳисобини ёрдамчи  $z_3 - z_3$  ўқидан бошлаймиз:

$$y_0 = \frac{S_{z_1}}{F_3} =$$

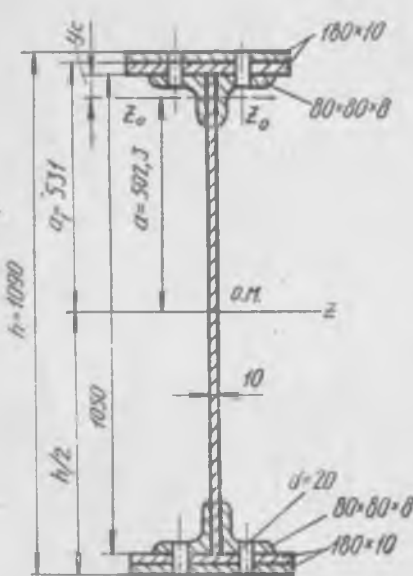
$$= \frac{\pi R^2 R - \pi r^2(R - c)}{\pi R^2 - \pi r^2} =$$

$$= \frac{R^3 - r^2(R - c)}{R^3 - r^2} =$$

$$= \frac{20^3 - 10^2 \cdot 15}{20^3 - 10^2} = 21,7 \text{ см.}$$



4-4-расм.



4-5-расм.

Шаклнинг  $z - z$  ва  $y - y$  ўқиларга нисбатан инерция моментларини катта ва кичик доираларнинг инерция моментларининг айрмаси каби топамиз. Катта доиранинг уз марказий ўқи  $z_1 \dots z_1$  га нисбатан инерция моменти

$$J_{z_1}^l = \frac{\pi D^4}{64} = \frac{\pi R^4}{4},$$

$z - z$  ўқига нисбатан ёса

$$J_z^l = \frac{\pi}{4} R^4 + \pi R^2 (y_0 - R)^2.$$

Худди шунингдек, кичик доиранинг  $z - z$  ўқига нисбатан инерция моментини топамиз:

$$J_z^{ll} = \frac{\pi}{4} r^4 + \pi r^2 [c + y_0 - R]^2;$$

$$J_z = J_z^l - J_z^{ll} = \frac{\pi}{4} \cdot 20^4 + \pi \cdot 20^2 (21,7 - 20)^2 - \frac{\pi}{4} 10^4 - \pi 10^2 (5 + 21,7 - 20)^2 = 107,4 \cdot 10^4 \text{ см}^4;$$

$$J_y = \frac{\pi}{4} R^4 - \frac{\pi}{4} r^4 = \frac{\pi}{4} (20^4 - 10^4) = 117,8 \cdot 10^4 \text{ см}^4.$$

**4.2-мисол.** Кесимнинг  $z$  марказий бош ўққа нисбатан инерция моменти ҳисоблансин (4.5-расм).

Ечиш. Аввал  $J_z$  брутто инерция моментини, яъни кесимнинг парчин мих тешиклари билан занфлашишини назарга олмай топамиз.

Сортамент жадвалидан қуйидагиларни топамиз:  $80 \times 80 \times 8 \text{ см}$  бурчакликнинг юзи  $F_{\text{бур}} = 12,3 \text{ см}^2$ ; бу бурчакликнинг кесим оғирлик маркази орқали ўтувчи ва токчага параллел бўлган  $z_0 - z_0$  ўқига нисбатан инерция моменти (расмнинг юқори қисмига қаранг)  $J_{z_0} = 73,4 \text{ см}^4$ ; бурчакликнинг оғирлик марказидан токча қиррасигача бўлган масофа  $y_c = 2,27 \text{ см}$ . Бурчакликнинг оғирлик марказидан горизонтал бош  $z - z$  ўқигача бўлган ма-софа  $a = \frac{105}{2} - 2,27 = 50,23 \text{ см}$ .

Вертикаль деворнинг  $z - z$  ўқига нисбатан инерция моменти

$$J_{z \text{ девор}} = \frac{1 \cdot 105^3}{12} = 96,5 \cdot 10^3 \text{ см}^4.$$

Ўша ўққа нисбатан тўртта белбоғ бурчакликларининг инерция моменти

$$J_{z \text{ бурчакликлар}} = 4 \cdot [73,4 + 12,3 \cdot 50,23^2] = 124,4 \cdot 10^3 \text{ см}^4.$$

Ўша ўққа нисбатан икки жуфт белбоғ листларнинг инерция моменти (ҳар бир жуфт листни битта тўғри тўртбурчак деб қараймиз):

$$J_{z \text{ листлар}} = 2 \left[ \frac{18 \cdot 2^3}{12} + 18 \cdot 2 \cdot 53,5^2 \right] = 206 \cdot 10^3 \text{ см}^4;$$

$$J_{z \text{ брутто}} = [96,5 + 124,4 + 206] \cdot 10^3 = 426,9 \cdot 10^3 \text{ см}^4.$$

$J_{z \text{ нетто}}$  ни ҳосил қилмоқ учун  $J_{z \text{ брутто}}$  дан парчин мих тешикларини тасвирловчи тўғри тўртбурчакликларнинг инерция моментларини айриш керак. Тўргта тўғри тўртбурчакликнинг (лисглардаги ва бурчакликларнинг горизонтал токчаларида-ги вертикаль тешиклар) инерция моменти

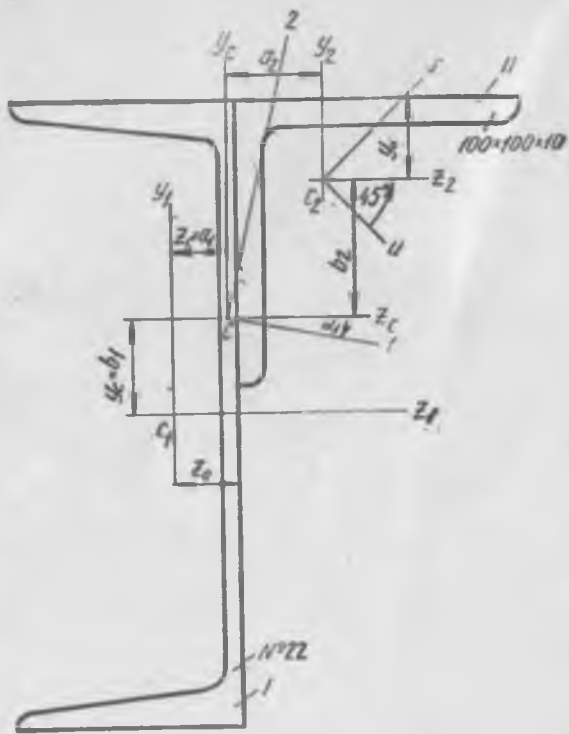
$$J_{z \text{ тешиклар}} = 4 \left( \frac{2 \cdot 2,8^3}{12} + 2 \cdot 2,8 \cdot 53,1^2 \right) = 63,2 \cdot 10^3 \text{ см}^4;$$

$$J_{z \text{ нетто}} = J_{z \text{ брутто}} - J_{z \text{ тешиклар}} = (426,9 - 63,2) \cdot 10^3 = 363,7 \cdot 10^3 \text{ см}^4.$$

**4.3-мисол.** Кесимнинг марказий бош ўқларининг ҳолати гопилсии ва марказий бош инерция моменти ҳисоблансин (4.6 расм).

Ечиш. Сортамент жадвалидан юзни, инерция моментини ва ҳар бир элементнинг оғирлик маркази координаталарини топамиз. 22а номерли швеллер учун:  $F_w = 28,8 \text{ см}^2$ ;  $z_0 = 2,46 \text{ см}$ ;  $J_{z_0} = 2330 \text{ см}^4$ ;  $J_y = 187 \text{ см}^4$ .

$100 \times 100 \times 10$  бурчаклик учун:  $F_{\text{бур}} = 19,2 \text{ см}^2$ ;  $y_0 = 2,83 \text{ см}$  (сортамент бўйича  $- z_0$ );  $J_{\text{ max}} = J_z = 284 \text{ см}^4$ ;  $J_{\text{ min}} = J_{z_0} = 74,1 \text{ см}^4$ ;  $J_{z_0} = J_{y_0} = 179 \text{ см}^4$ .



4. б-расм.

Шакл оғирлик марказининг ҳолатини топиш учун ёрдамчи восита сифатида швеллернинг  $z_1$  ва  $y_1$  марказий ўқларини танлаб оламиз. Швеллернинг бу ўқларга нисбатан статик моментлари нолга teng ва демак, кесимнинг оғирлик маркази координаталарини ҳисоблаш соддалашади.

Кесимнинг  $z_1$  ва  $y_1$  ўқларга нисбатан статик моментлари

$$S_{x_1} = F_{\delta_{yp}} y_2 = 19,2 \left( \frac{h}{2} - y_0 \right) = 19,2(11 - 2,83) = 157 \text{ см}^3;$$

$$S_{y_1} = F_{\delta_{yp}} z_2 = 19,2(z_0 + y_0) = 19,2(2,46 + 2,83) = 102 \text{ см}^3.$$

Мураккаб кесимнинг юзи

$$F = F_{\delta_{yp}} + F_w = 19,2 + 28,8 = 48,0 \text{ см}^4.$$

$z_c$ ,  $y_c$  ўқларга нисбатан мураккаб кесим оғирлик маркази-  
нинг координаталари

$$y_c = \frac{S_{x_1}}{F} = \frac{157}{48,0} = 3,28 \text{ см};$$

$$z_c = \frac{S_{y_1}}{F} = \frac{102}{48,0} = 2,13 \text{ см}.$$

Мураккаб кесимнинг  $z_c$  ва  $y_c$  марказий ўқларга нисбатан  
ўқ ва марказдан қочирма инерция моментларини аниқлаймиз.  
 $z_c$  ва  $y_c$  ўқларда кесим бўлаклари оғирлик марказининг коор-  
динаталарини топамиз.

Швеллер учун:  $a_1 = z_c = -2,13 \text{ см}$ ;  $b_1 = y_c = -3,28 \text{ см}$ .  
Бурчаклик учун:

$$a_2 = 3,17 \text{ см};$$

$$b_2 = 4,89 \text{ см}.$$

$z_c$  ўқка нисбатан ўқий инерция моментлари; швеллер учун

$$J_{z_c}^I = J_{z_1}^I + b_1^2 F_w = 2330 + 3,28^2 \cdot 28,8 = 2628 \text{ см}^4;$$

бурчаклик учун

$$J_{z_c}^{II} = J_{z_1}^{II} + b_2^2 F_{w_{yp}} = 179 + 4,89^2 \cdot 19,2 = 640 \text{ см}^4;$$

бутун кесим учун

$$J_{z_c} = J_{z_c}^I + J_{z_c}^{II} = 2628 + 640 = 3268 \text{ см}^4.$$

$y_c$  ўқка нисбатан ўқий инерция моментлари:  
швеллер учун

$$J_{y_c}^I = J_{y_1}^I + a_1^2 F_w = 187 + 2,13^2 \cdot 28,6 = 316 \text{ см}^4;$$

бурчаклик учун

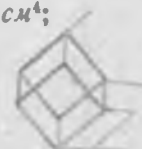
$$J_{y_c}^{II} = J_{y_1}^{II} + a_2^2 F_{w_{yp}} = 179 + 3,17^2 \cdot 19,2 = 371 \text{ см}^4;$$

бутун кесим учун

$$J_{y_c} = J_{y_c}^I + J_{y_c}^{II} = 316 + 371 = 687 \text{ см}^4.$$

$z_c$ ,  $y_c$  ўқларга нисбатан марказдан қочирма инерция мо-  
ментини ҳисоблаймиз:  
швеллер учун

$$J_{z_c, y_c}^I = a_1 b_1 F_w = (-2,13) \cdot (-3,28) \cdot 28,8 = 200 \text{ см}^4;$$



бурчаклик учун

$$J_{z_c y_c}^{II} = J_{z_c y_c} + a_2 b_2 F_{\text{бүр}} = \frac{J_{\max} - J_{\min}}{2} + a_2 b_2 F_{\text{бүр}} = \\ = \frac{284 - 74,1}{2} + 3,17 \cdot 4,89 \cdot 19,2 = 402,5 \text{ см}^4;$$

бутун кесим учун

$$J_{z_c y_c} = J_{z_c y_c}^I + J_{z_c y_c}^{II} = 200 + 402,5 = 602,5 \text{ см}^4.$$

Эслатма. Марказдан қочирма инерция моментини аниқлашга тазлуклы бұлған құшина тушунтиришлар көлтирамыз.

Бурчаклик учун уннинг токчаларига параллел бұлған  $z_2$  ва  $y_2$  ўқлар бош ўқлар бұлмайды.  $J_{z_c y_c}$  ни топиш учун марказдан қочирма инерция моменті  $\bar{\omega}_2$  айлантиришда үзгаришини ифодаловчи формуладан фойдаланылған (69-бетта қаранг); бунда берилгандар сифатында бурчаклинкинг марказий бош ўқлар олинған (4.6-расмдагы  $\alpha$  ва  $\beta$  ўқлар). Бұлдан ташқары  $\alpha$  ва  $\beta$  ўқларидан түзилған бурчак  $45^\circ$  га tengligи  $\alpha = 0$  эканлығы назарға олинған. Марказдан қочирма инерция моментиниң ҳисоблашының назарда тутиб, марказдан қочирма инерция моментининг ишорасини текшириш керак.

Қаралаётган ҳолда  $J_{z_c y_c} > 0$  эканлығы үз-үзидан равшандыр. Ҳақиқатан ҳам кесимнинг катта қисмы I ва III квадраттарда жоғлашған, бу квадраттардагы нүкталар (юзлар) учун координаталар күпайтмаси ( $z_2 v_2$ ) мусбатдир. Шундай қылыш  $z_2 y_2 dF$  кattaliklарни кесимнинг бутун юзи бүйнча күшганды мусбат күшилүвчилар йүгіндиси модул жиһатдаған манфий қүшилүвчилар йүгіндиси модулидан кattароқ кattаликни берады.

Кесимнинг марказий бош инерция ўқларининг ҳолатини аниқтаймиз:

$$\operatorname{tg} 2\alpha_{1,2} = \frac{2J_{z_c y_c}}{J_{y_c} - J_{z_c}} = \frac{2 \cdot 602,5}{687 - 3268} = -0,465; \quad 2\alpha_1 = -25^\circ;$$

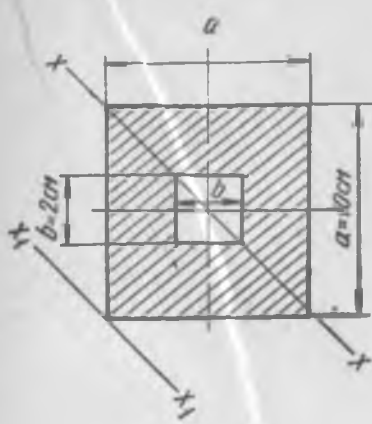
$$\alpha_1 = -12^\circ 30'; \quad \alpha_2 = -102^\circ 30'.$$

$C_1$  ва  $C_2$  марказий бош ўқлар 4.6-расмда күрсатылған.  
Марказий бош инерция моменитларини ҳисоблаймиз:

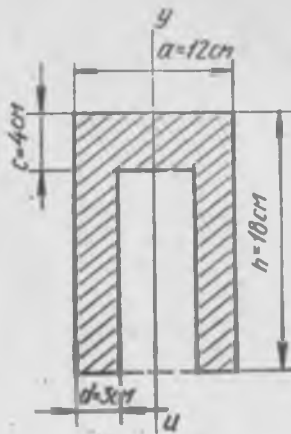
$$J_{1,2} = \frac{J_{z_c} + J_{y_c}}{2} \pm \frac{1}{2} \sqrt{(J_{z_c} - J_{y_c})^2 + 4J_{z_c y_c}^2};$$

$$J_1 = J_{\max} = \frac{3268 + 687}{2} + \frac{1}{2} \sqrt{(3268 - 687)^2 + 4(602,5)^2} = 3407,5 \text{ см}^4;$$

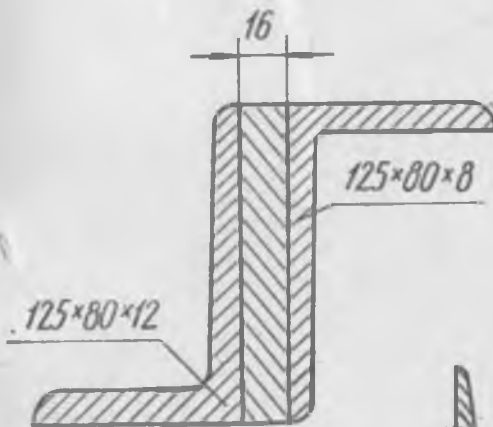
$$J_2 = J_{\min} = \frac{3268 + 687}{2} - \frac{1}{2} \sqrt{(3268 - 687)^2 + 4(602,5)^2} = 547,5 \text{ см}^4.$$



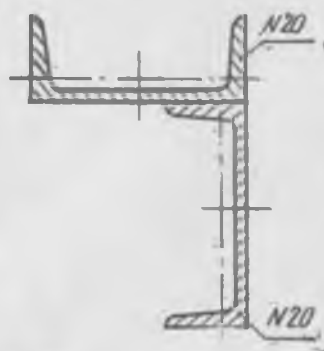
4.7- расм.



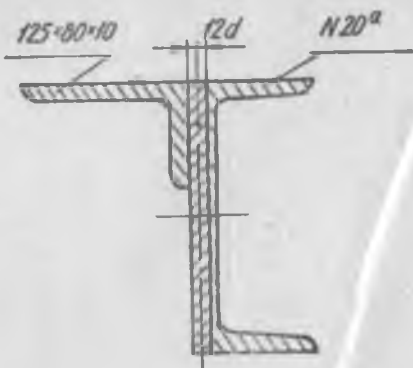
4.8- расм.



4.9- расм.



4. 10- расм.



4. 11- расм.

### Мустақил ечиш учун масалалар

4.1. Кесимининг  $x - x$  ва  $x_1 - x$ , ўқларга нисбатан инерция моментлари ҳисоблансин.

Жағоби.  $J_x = 832 \text{ см}^4$ ;  $J_{x_1} = 5632 \text{ см}^4$ .

4.2. Кесим оғирлик марказининг ҳолати (4.8- расм) аниқлансин ва марказий бош инерция моментлари ҳисоблансин.

Жағоби.  $J_{\max} = 3915 \text{ см}^4$ ;  $J_{\min} = 2341 \text{ см}^4$ .

4.3. Кесим марказий бош ўқларининг ҳолати (4.9- расм) топилсии ва марказий бош инерция моментлари ҳисоблансин.

Жағоби.  $\alpha = 31^\circ 30'$ ;  $J_{\max} = 1224 \text{ см}^4$ ;  $J_{\min} = 288 \text{ см}^4$ .

4.4. Кесим (4.10- расм) бош марказий ўқларининг ҳолати топилсии ва марказий бош инерция моментлари ҳисоблансин.

Жағоби.  $\alpha_1 = 33^\circ 15'$ ;  $J_{\max} = 4074 \text{ см}^4$ ;  $J_{\min} = 1634 \text{ см}^4$ .

4.5. Кесим (4.11- расм), марказий бош ўқларининг ҳолати топилсии ва марказий бош инерция моментлари ҳисоблансин.

Жағоби.  $\alpha_1 = 17^\circ$ ;  $J_{\max} = 3735 \text{ см}^4$ ;  $J_{\min} = 854 \text{ см}^4$ .

## V бөб БУРАЛИШ

### 5.1-§. АСОСИЙ ТУШУНЧА ВА МУНОСАБАТЛАР

Брус буралишга ишлаганида унинг кўндаланг кесимларида фақат биргина ички куч фактори — буровчи момент  $M_b$  ҳосил бўлади.

Бруснинг ихтиёрий кўндаланг кесимида буровчи момент сон жиҳатидан шу кесимга бир томондан таъсир этувчи ташқи буровчи моментларнинг алгебраик йигиндинсига teng.

Доиравий (яхлит ёки ҳалқа) кўндаланг кесимли бруснинг буралишдаги мустаҳкамлик шарти қўйидаги куринишда бўлади:

$$\tau_{\max} = \frac{M_b}{W_p} < [\tau],$$

бу ерда  $\tau_{\max}$  — бруснинг хавфли кесимида ҳосил буладиган энг катта уринма кучланиш;

$M_b$  — бруснинг хавфли кесимида буровчи момент;

$[\tau]$  — буралишда рухсат этиладиган кучланиш;

$W_p$  — кесимнинг кутбий қаршилик моменти;

$W_p = \frac{\pi d^3}{16} \approx 0,2d^3$  — яхлит доиравий кесим учун;

$W_p = \frac{\pi D^3}{16} (1 - c^4) \approx 0,2D^3(1 - c^4)$  — ҳалқа кесим учун.

Бунда  $d$  — яхлит кесимнинг диаметри;

$D$  ва  $d_0$  — ҳалқанинг ташқи ва ички диаметрлари;

$$c = \frac{d_0}{D}.$$

Бир кесимнинг иккинчисига нисбатан айланиш бурчаги шу кесимлар орасидаги брус қисмининг буралиш бурчаги дейинлади.

Бруснинг (брус қисмининг) буралиш бурчаги қўйидаги формула бўйича аниқланади:

$$\varphi = \int \frac{M_b dx}{GJ_p} [радиан].$$

Бу ерда  $GJ_p$  — буралишда кесимнинг бикрлиги;  
 $G$  — силжиш модули;  
 $J_p$  — кесимнинг қутбий инерция моменти.  
Доира учун

$$J_p = \frac{\pi d^4}{32} \approx 0,1d^4.$$

Халқа учун

$$J_p = \frac{\pi D^4}{32} (1 - \epsilon^4) \approx 0,1D^4(1 - \epsilon^4),$$

$M_b = \text{const}$  ва  $J_p = \text{const}$  бўлганда  $l$  узунликдаги участканинг буралиш бурчаги ушбу формуладан аниқланади:

$$\varphi = \frac{M_b l}{GJ_p}.$$

Буралишда бикрлик қўйидаги кўринишда бўлади:

$$\max \varphi_0 = \frac{M_b}{GJ_p} < [\varphi_0]$$

ёки

$$\max \varphi_0 = \frac{180}{\pi} \cdot \frac{M_b \cdot 100}{GJ_p} < [\varphi_0].$$

Келтирилган формулалардан биринчисидаги максимал нисбий буралиш бурчаги  $\max \varphi_0$  ва рухсат этилган нисбий буралиш бурчаги  $[\varphi_0]$  рад/м;  $M_b$  н·м;  $G$  н/м<sup>2</sup>;  $J_p$  м<sup>4</sup> ларда ўлчанади.

Иккинчи формулада эса:  $\max \varphi_0$  ва  $[\varphi_0]$  град/м;  $M_b$  кГ·см;  $G$  кГ/см<sup>2</sup> ва  $J_p$  см<sup>4</sup> ларда ўлчанади.

Мустаҳкамлик ва бикрлик шартларидан вал диаметрини аниқлашда топилган диаметрнинг икки қийматидан каттаси танлаб олинади.

Кўрсатма. Ҳисоблаш натижасида ҳосил қилинган диаметрларнинг қийматларини 0, 2, 5 ёки 8 (мм) билан тугайдиган сонлар билан яхлитлашкерак.

Валлар ҳисоблашда кўпинча узатиладиган қувват  $N$  (вт ёки квт, ёхуд о.к.) ва бурчак тезлик  $\omega$  (рад/сек) ёки  $n$  (айл/мин) берилган бўлади. Бунда вал томонидан узатиладиган буровчи момент қўйидаги формулаларни биро билан аниқланади:

$$\mathcal{M} = \frac{N}{\omega},$$

бунда  $\mathcal{M}$  н·м,  $N$  вт ва  $\omega$  рад/сек ларда ўлчанади;  
ёки

$$\mathcal{M} = 71620 \frac{N}{n},$$

бунда  $M$  кГ·см,  $N$  о.к. ва  $n$  айл/мин ҳисобида үлчанади; ёки

$$M = 97380 \frac{N}{n},$$

бунда  $M$  — кГ·см,  $N$  — квт ва  $n$  айл/мин ҳисобида үлчанади.

## 5.2- §. ДОИРАВИЙ КҮНДАЛАНГ КЕСИМЛИ БРУСНИ БУРАЛИШДА МУСТАҲКАМЛИККА ВА БИКРЛИККА ҲИСОБЛАШ

5.1- мисол. Юқлаш схемаси 5.1-расм, а да курсатилган брус күндаланг кесими учун буровчи момент ва буралиш бурчаги ( $M_b$  ва  $\varphi$ ) эпюралари қурилсин.

Ениш. 1.  $M_b$  эпюрасини қуриш.

Бруси иккى  $CB$  ва  $BA$  участкага буламиз.

$CB$  участка ( $0 < x_1 < 1,5l$ ). Координата бошини  $C$  нүктага жойлаштирамиз.

$M_b$  ни күриб чиқлаётган участканинг ихтиёрий күндаланг кесимидан чапга қўйилган ташқи моментларнинг йигиндиси каби аниқлаймиз:

$M_b - M + ml = 2ml$  — эпюра ўқига параллел түғри чизиқ тенгламаси.

$BA$  участка ( $0 < x_2 < l$ ). Координата бошини  $B$  нүктага жойлаштирамиз.

Буровчи моментни кесимдан чапга қўйилган моментларнинг йигиндиси каби ифодалаймиз:  $M_b^{II} = m(l - x_2)$  — түғри чизиқ тенгламаси. Түғри чизиқнинг иккى нүқтасини топамиз:

$$M_{b,x_1=0}^{II} = ml;$$

$$M_{b,x_2=l}^{II} = 0.$$

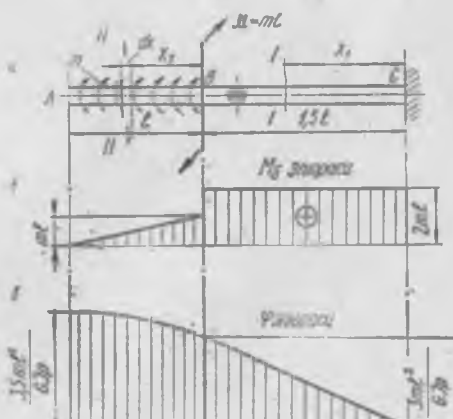
$M_b$  эпюраси 5.1-расм, б да тасвирланган.

2.  $\varphi$  эпюрасини қуриш.

$CB$  участка  $x_1$  координатали ихтиёрий кесимнинг буралиш бурчагини аниқлаймиз:

$$\varphi^I = \frac{M_b x_1}{GJ_p} = \frac{2mlx_1}{GJ_p} -$$

түғри чизиқ тенгламаси.



5. 1- расм.

Участканинг чекка кесимларида

$$\varphi_C = \varphi_{x_1=0} = 0 \text{ (маҳкамланган учидан);}$$

$$\varphi_B = \varphi_{x_1=l} = \frac{3ml^4}{GJ_p}.$$

*ВА* участка Иккинчи участка ихтиёрий кесимининг буралиш бурчаги *B* кесимнинг буралиш бурчаги  $\varphi_B$  билан куриб чиқилаётган кесимнинг *B* кесимга нисбатан буралиш бурчаги йигиндиси каби аниқланади.

$$\varphi^{II} = \varphi_B + \int_0^l \frac{m x_2 dx_2}{GJ_p} = \varphi_B + \frac{mx_2^2}{2GJ_p} \quad (\text{квадрат парабола эпюраси}).$$

Участканинг чекка кесимларида

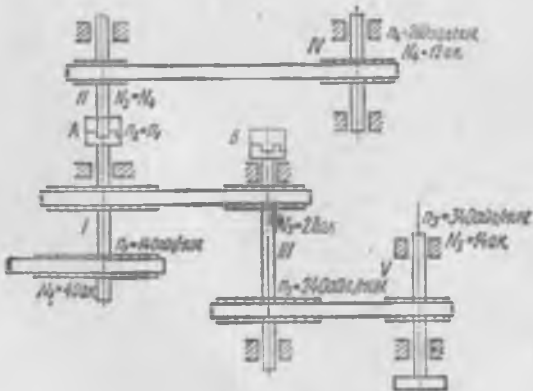
$$\varphi_B = \varphi_{x_1=0}^{II} = \frac{3ml^3}{GJ_p},$$

$$\varphi_A - \varphi_{x_1=l}^{II} = \varphi_B + \frac{ml^3}{2GJ_p} = \frac{3,5ml^3}{GJ_p}.$$

$\varphi$  эпюраси 5.1-расм,  $\sigma$  да тасвириланган.

5.2-мисол. Двигателдан  $N_1 = 40 \text{ о. к.}$  қувват олувчи I вал II вал билан *A* муфта орқали боғланган (5.2-расм), у III валга  $N_3 = 28 \text{ о. к.}$  ва IV валга  $N_4 = 12 \text{ о. к.}$  қувват узатади. III вал ўз навбатиди V валга  $N_5 = 14 \text{ о. к.}$  қувват узатади ва бу валнинг қолган қуввати *B* муфта орқали расмда кўрсатилмаган валга узатилиди.

Валларнинг диаметрлари мустаҳкамликка ва бикрликка ҳисоблаш формулалари ёрдамида аниқлансин.  $[t] = 600 \text{ кГ/см}^2$ .  $|\varphi_0| = 0,3 \text{ град/м}$ , силжиш модули  $G = 8 \cdot 10^5 \text{ кГ/см}^2$ .



5. 2-расм.

Тасмали узатмалардаги ва подшипниклардаги энергия йүқөлиши ҳисобга олинмасин.

Ечиш. I вал  $N_1 = 40$  о. к.;  $n_1 = 140$  айл/мин.

Бу валинг күндаланг кесимидағы буровчи момент вал тоғондан узатиладынган айлантирувчи моментта тенг болады:

$$M_{61} = \text{дұл.} = 71620 \frac{N_1}{n_1} = 71620 \frac{40}{140} = 20400 \text{ кГ·см.}$$

Валинг (шкивлар орасидаги участкасы) талаб этилган диаметрин мустаҳкамлик шартидан қойылады формуланы құллаб топамиз:

$$W_{p1} \approx 0,2d_1^3 > \frac{M_{61}}{[\tau]},$$

бундан

$$d_1 \geq \sqrt[3]{\frac{M_{61}}{0,2[\tau]}} = \sqrt[3]{\frac{20400}{0,2 \cdot 600}} = 5,53 \text{ см.}$$

Шунингдек, бикрлик шартидан

$$J_{p1} \approx 0,1d_1^4 > \frac{180 M_{61} \cdot 100}{\pi G [\varphi_0]},$$

бундан

$$d_1 \geq \sqrt[4]{\frac{180 M_{61} \cdot 100}{0,1 \pi G [\varphi_0]}} = \sqrt[4]{\frac{180 \cdot 20400 \cdot 100}{0,1 \cdot 3,14 \cdot 8,0 \cdot 10^5 \cdot 0,3}} = 8,3 \text{ см.}$$

$d_1 = 85$  мм деб қабул қиласыз.

II вал.  $N_2 = 12$  о. к.;  $n_2 = 140$  айл/мин;  $M_{62} = 71620 \frac{N_2}{n_2} = 71620 \frac{12}{140} = 6110$  кГ·см.

Мустаҳкамлик шартидан

$$d_2 \geq \sqrt[3]{\frac{6110}{0,2 \cdot 600}} = 3,7 \text{ см.}$$

Бикрлик шартидан

$$d_2 \geq \sqrt[4]{\frac{180 \cdot 6110 \cdot 100}{0,1 \cdot 3,14 \cdot 8,0 \cdot 10^5 \cdot 0,3}} = 6,18 \text{ см.}$$

$d_2 = 62$  мм деб қабул қиласыз.

III валинг (шкивлар орасидаги участкасы) күндаланг кесимида  $N_3 = 14$  о. к. құвваттаға ва  $n_3 = 240$  айл/мин мос келувчи буровчи момент ҳосил болады; у вақтда

$$M_{63} = 71620 \frac{14}{240} = 4170 \text{ кГ·см.}$$

Мустаҳкамлик шартидан

$$d_3 \geq \sqrt[3]{\frac{4170}{0,2 \cdot 600}} = 3,25 \text{ см.}$$

Бикрлик шартидан

$$d_3 \geq \sqrt[4]{\frac{180 \cdot 4170 \cdot 100}{0,1 \cdot 3,14 \cdot 8,0 \cdot 10^3 \cdot 0,3}} = 5,62 \text{ см.}$$

$d_3 = 58 \text{ мм}$  деб қабул қиласыз.

IV вал.  $N_4 = 12 \text{ о.к.}; n_4 = 260 \text{ айл/мин};$

$$M_{64} = 71620 \frac{12}{260} = 3300 \text{ кГ·см.}$$

Худли олдинги ҳоллардаги каби бажарыладыган мустағаммилк ва бикрликка ҳисоблаш натижаларига күра  $d_4 = 55 \text{ мм}$  ни ҳосил қиласыз.

V вал.  $N_5 = 14 \text{ о.к.}; n_5 = 340 \text{ айл/мин};$

$$M_{65} = 71620 \frac{14}{340} = 2950 \text{ кГ·см.}$$

Ҳисоблаш натижаларини көлтиремасдан  $d_6 = 52 \text{ мм}$  охирги нағижаны көлтирамыз.

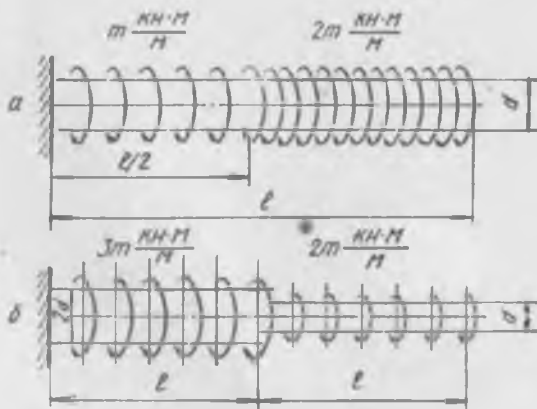
IV ва V валлар учун ҳисоблашларни мустақил бажарышни гавсия қиласыз.

### Мустақил ечиш учун масалалар

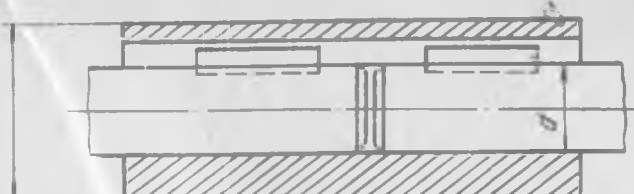
5.1. Тақсимланған айлантирувчи моментлар билан юқланған брус учун күндаланғ кесимдеги буровчи момент ва буралиш бурчагы эпюралари ясалсın (5.3- расм).

Жаһоби. а)  $\max M_6 = \frac{3ml}{2}; \quad \tau_{\max} = \frac{28}{\pi G d^4} ml^3;$

б)  $\max M_6 = 5ml; \quad \tau_{\max} = \frac{39}{\pi G d^4} ml^3;$



5. 3- расм.



5. 4- расм.

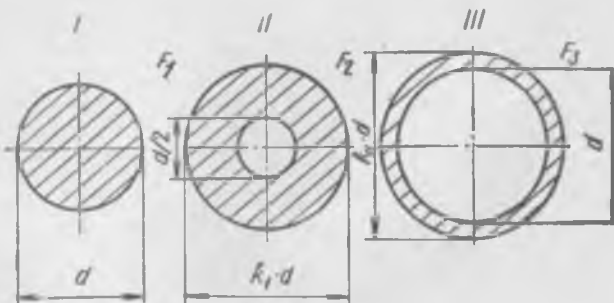
5.2. Диаметри 90 мм бўлган яхлит вални ички диаметри ташқи диаметридан 10% га кичик бўлган ҳалқа кесимли вал билан алмаштирилади. Аввалги мустаҳкамликдаги эҳтиётлик коэффициентини сақлаб қолган ҳолда труба валнинг ташқи  $d$  ва ички  $d_0$  диаметрлари аниқлансан. Яхлит ва труба валларнинг оғирликлари солишиширлансин.

Жавоби  $d = 128 \text{ mm}$ ;  $d_0 = 115 \text{ mm}$ ; оғирликларнинг нисбати 2,58.

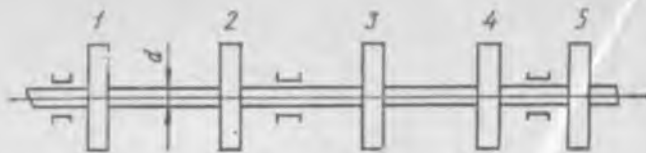
5.3. Валнинг икки участкаси втулкали муфта билан бирлаштирилган (5.4-расм). Вал ва муфтанинг шпонка ариқаси билан зандиганини назарга олмасдан, буралншда тенг мустаҳкамлик шартидан фойдаланиб, муфтанинг ташқи диаметри ( $D$ ) нинг вал диаметри ( $d$ ) га нисбати аниқлансан, вал материалы учун  $\tau_{ok} = 20 \text{ N/mm}^2$ , муфта материали учун эса  $\tau_{ok} = 172 \text{ N/mm}^2$ . [ $n$ ] миқдорни вал ва муфта учун бир хилда қабул қилинсин

/ Жавоби.  $\sim 1,25$ .

5.4. Кўндаланг кесим юзлари тенідош бўлган учга I, II, III валлар (5.5-расм),  $M_I$ ,  $M_{II}$  ва  $M_{III}$  моментлар билан буралади. Агар ҳар бир валнинг кўндаланг кесимида ҳосил бўладиган ёнг катта уринма кучланишлар бир хилда бўлса, у вақтда



5. 5- расм.



5. 6-расм.

$M_1$ ,  $M_2$  ва  $M_3$  миқдорлар аниқлансан. Барча кесмалар учун уринма күчләнишлар эпюралари қурилсанын. Ҳалқа кесим ички конгурити нұқталаридаги уринма күчләнишлар аниқлансанын.

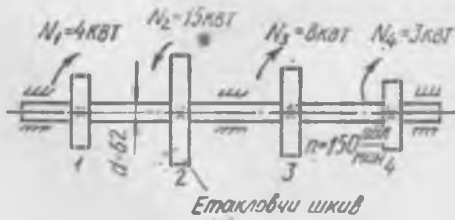
$$\begin{aligned} \text{Жағоби. } k_1 &= 1,12 & k_{II} &= 1,41; \\ W_{pI} &= 0,2d^3, & W_{pII} &= 0,27d^3; & W_{pIII} &= 0,43d^3 \\ M_I &= \tau \cdot 0,2d^3; & M_{II} &= \tau \cdot 0,27d^3; & M_{III} &= \tau \cdot 0,43d^3. \end{aligned}$$

5.5. Валга электр двигателдан етакловчи шкив орқали  $n = 300$  айл/мин бурчак тезлик билан  $N = 60$  о.к. кувват берилади. Қолган түртта шкив ишчи машиналарга  $N$ , кувват узатади, улар мос равища 20 о.к., 18 о.к., 12 о.к., 10 о.к. га тенг (5.6-расм). Валнинг талаб этилган диаметри энг кичик бўлиши учун етакловчи шкивни қаерга жойлаштириш керак (номери кўрсатилисан) ва станокнинг истеъмол қиладиган қувватини шкивлар бўйича қапдай тақсимлаш керак? Буровчи моменгининг эпюраси қурилсан. Валнинг диаметрини бутун узунлиги бўйича ўзгармас деб ҳисоблаб, унинг керакли диаметри  $d$  аниқлансанын,  $[\tau] = 300 \text{ кГ/см}^2$ .

Жағоби  $d = 50 \text{ мм}$ .

5.6. Ўзгармас кесимли валнинг мустаҳкамлиги ва бикрлиги текширилсан (5.7-расм).  $[\tau] = 200 \text{ кГ/см}^2$ .  $[\varphi_0] = 0,4 \text{ град/м}$ ,  $G = 8 \cdot 10^5 \text{ кГ/см}^2$ .

Жағоби.  $\tau_{\max} = 153 \text{ кГ/см}^2$ ;  $\varphi_0 = 0,35 \text{ град/м}$



5. 7-расм.

### 5.3-§. Буралышда статик аниқмас масалалар

5.3- мисол. Мустаҳкамлук ва бикрлик шартидан фойдаланыб бруснинг керакли диаметри аниқлансан (5.8-расм, а).

Ечиш. В буралышни олиб ташлаб, уни  $M_B$  момент билан алмаштирамиз (5.8-расм, б). В маҳкам буралышдаги кесим бурашмагани учун

$$\varphi_B = -\frac{M_1 \cdot 0,5}{GJ_p} + \frac{M_2 \cdot 1,25}{GJ_p} - \frac{M_B \cdot 2,5}{GJ_p} = 0,$$

бундан

$$M_B = \frac{-40 \cdot 0,5 + 60 \cdot 1,25}{2,5} = 22 \text{ кГ·м};$$

$$M_A = M_1 + M_B - M_2 = 40 + 22 - 60 = 2 \text{ кГ·м}.$$

Буровчи момент эпюрасини қурамиз (5.8-расм, в). Эпюрандан максимал буровчи момент ўрта участканинг кўндаланг кесимида ҳосил бўлиши яққол кўринади:

$$M_{\max} = 3800 \text{ кГ·см}.$$

Мустаҳкамлук шартидан бруслардиң диаметри:

$$d > \sqrt[3]{\frac{M_{\max}}{0,2[\tau]}} = \sqrt[3]{\frac{3800}{0,2 \cdot 400}} = 3,62 \text{ см.}$$

Бикрлик шартидан бруслардиң диаметри:

$$d > \sqrt[4]{\frac{180 \cdot M_2 \cdot 100}{G \cdot [\varphi_0] \cdot \pi \cdot 0,1}} = \sqrt[4]{\frac{3800 \cdot 100 \cdot 180}{8 \cdot 10^3 \cdot 0,25 \cdot \pi \cdot 0,1}} = \sqrt[4]{1090} = 5,75 \text{ см.}$$

Диаметрнинг энг катта қийматини (яхлитлаш билан) қабул қиласиз:

$$d = 58 \text{ мм.}$$

5.4- мисол. Ўзгармас кесимли бруслар учун реактив моментлар аниқлансан ва буровчи момент эпюраси қурилсан (5.9-расм, а).

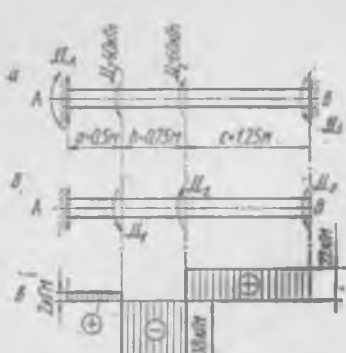
Ечиш. Статика бигта мувозанат тенгламасини беради:

$$\sum M_x = 0;$$

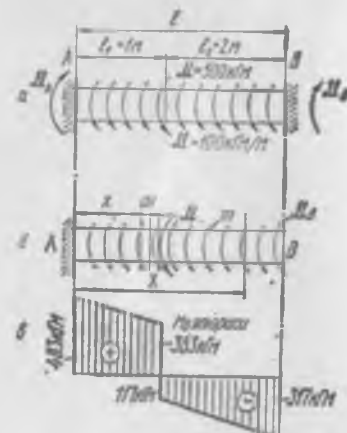
$$M_A + M_B = M + ml.$$

Иккинчи тенглама (сплжишлар тенгламаси) ни тузиш учун хаёлан битта буралышни, масалан, ўнг томондагисини ташлаб юбориб, унинг таъсирини  $M_B$  момент билан алмаштирамиз, у излангаётган реактив моментга тенглайдир (5.9-расм, б):

$$\varphi_B = \varphi_{B(M)} + \varphi_{B(ml)} + \varphi_{B(M_B)} = 0,$$



5. 8- расм.



5. 9- расм.

бұ у ерда

$$\varphi_{B(\mathcal{M})} = \frac{\mathcal{M}l_1}{GJ_p}; \varphi_{B(ml)} = \int_{0}^{l} \frac{mx dx}{GJ_p} = \frac{ml^2}{2GJ_p};$$

$$\varphi_{B(\mathcal{M}_B)} = -\frac{\mathcal{M}_B l}{GJ_p}.$$

У вақтда

$$\frac{\mathcal{M}l_1}{GJ_p} + \frac{ml^2}{2GJ_p} - \frac{\mathcal{M}_B l}{GJ_p} = 0,$$

бундан

$$\mathcal{M}_B = \frac{ml}{2} + \frac{\mathcal{M}l_1}{l} = \frac{100 \cdot 3}{2} + \frac{500 \cdot 1,0}{3} = 317 \text{ кГ·м.}$$

Мувозанат тенгламасидан қойыдагини топамиз:

$$\mathcal{M}_A = 488 \text{ кГ·м.}$$

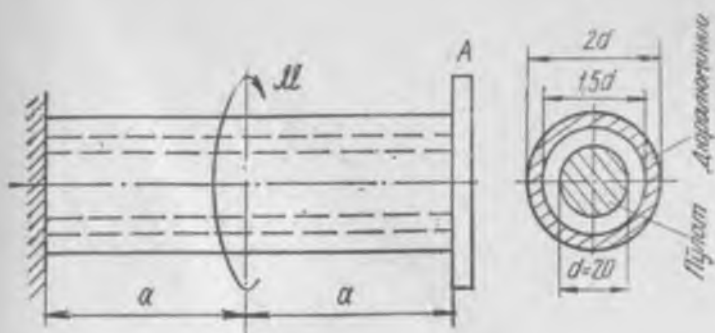
$M_0$  әпюрасини қурамиз.

Чап участкада ( $0 < x < l_1$ )

$$M_0 = \mathcal{M}_A - mx;$$

$$M_{0|x=0} - \mathcal{M}_A = 483 \text{ кГ·м;} \\ M_{0|x=l_1} = \mathcal{M}_A - ml_1 = 383 \text{ кГ·м.}$$

$$M_{0|x=l_1} = \mathcal{M}_A - ml_1 = 383 \text{ кГ·м.}$$



5. 10-расм.

Үнг участкада ( $l_1 < x < l$ )

$$M_b = M_A - mx - M;$$

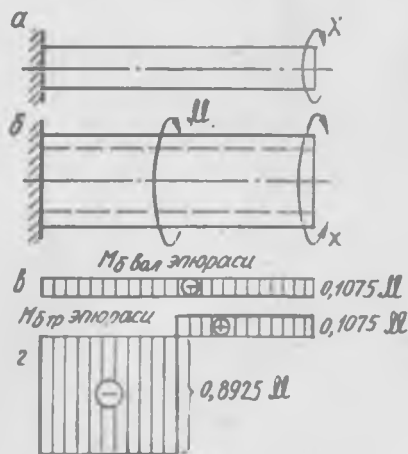
$$M_{\delta \rightarrow l_1}^{\text{нр}} = -117 \text{ кГ·м},$$

$$M_{\delta \rightarrow l} = -317 \text{ кГ·м} = -M_B.$$

Буровчи момент эпюраси 5.9-расм, ө да келтирилган.

5.5-мисол. Дюралюминий трубка ва пӯлат валик бир учи билан қаттик маҳкамланган, иккинчи учи билан эса үзаро А диск ёрдамида биринтирилган (5.10-расм). Трубканинг ургасига қўйилган  $M$  моментнинг рухсат этилган қиймати аниқлансин. Пӯлат учун  $[\tau]_n = 900 \text{ кГ/см}^2$ ; дюралюминий учун  $[\tau]_A = -600 \text{ кГ/см}^2$ ;  $G_n = 3 G_A = 8,1 \cdot 10^5 \text{ кГ/см}^2$  қабул қилинсин.

Ечиш. А диск ва валик орасидаги үзаро таъсир кучлари буровчи момент  $\tau$  га келтирилади; трубканинг үнг учига ҳам миқдор жиҳатидан шундай, йўналиши қараш-қарши бўлган моменг таъсир қиласди. Валик ва трубканинг юкланиши схемаси 5.11-расм, а, б ларда кўрсатилган. Валик ва трубканинг үнг учларидаги буралиш бурчакларининг тенглик шартини



5. 11-расм.

ифодаловчи силжишлар тенгламасидан  $x$  моменттинг миқдори аниқланади:

$$\frac{X2a}{G_x J_{p,ax}} = \frac{\mathcal{M}a}{G_x J_{p,Tp}} - \frac{X2a}{G_x J_{p,Tp}},$$

$$\frac{\Phi_{Ax,ax}}{\Phi_{ATp}} = \frac{\Phi_{Ax}}{\Phi_{ATp}};$$

Бу ерда

$$J_{p,ax} = \frac{\pi d^3}{32}; \quad J_{p,Tp} = \frac{\pi(2d)^4}{32} \left[ 1 - \left( \frac{3}{2} \frac{d}{2d} \right)^4 \right] = \frac{175}{512} \pi d^4;$$

$$\frac{J_{p,Tp}}{J_{p,ax}} = \frac{175}{16}.$$

Үрнига қўйганимиздан кейин, қуйидагиларни ҳосил қиласиз:

$$\frac{2X}{3G_x J_{p,ax}} = \frac{2X}{G_x \frac{175}{16} J_{p,ax}} = \frac{2X}{G_x \frac{175}{16} J_{p,ax}}.$$

Бундан

$$X = \frac{24}{223} \mathcal{M} = 0,1075 \mathcal{M}.$$

Валик ва трубка учун буровчи момент эпюралари 5.11-расм  $\sigma$ ,  $t$  ларда кўрсатилган.

Валикнинг мустаҳкамлик шарти

$$\tau_{ax} = \frac{M_{b,ax}}{W_{p,ax}} = \frac{0,1075 \mathcal{M}}{\frac{\pi d^3}{16}} < [\tau]_n.$$

Бундан

$$[\mathcal{M}]_{ax} = \frac{\pi d^3}{16} \cdot \frac{[\tau]_n}{0,1075} = \frac{3,14 \cdot 2^3}{16} \cdot \frac{900}{0,1075} = 13120 \text{ кГ см.}$$

Трубка учун хавфли кесим унинг чап участкаси кўндаланг кесими бўлади; мустаҳкамлик шарти ( $W_{p,Tp} = \frac{J_{p,Tp}}{d} = \frac{175}{512} \pi d^3$  бўлгандада)

$$\tau_{Tp} = \frac{\max M_{b,Tp}}{W_{p,Tp}} = \frac{0,8925 \mathcal{M}}{\frac{175}{512} \pi d^3} < [\tau]_s.$$

Бундан

$$[\mathcal{M}]_{Tp} = \frac{175}{512} \pi d^3 \cdot \frac{[\tau]_s}{0,8925} = \frac{175 \cdot 3,14 \cdot 2^3 \cdot 600}{512 \cdot 0,8925} = 5760 \text{ кГ см.}$$

Шундай қилиб, ташқи моменттинг рухсат эгилган миқдори  $[\mathcal{M}] = [\mathcal{M}]_{Tp} = 5760 \text{ кГ см}$  трубканинг мустаҳкамлиги билан аниқланади. Конструкция рухсат этилган момента тенг монади.

мент билан юкландында валик тұла юкландын бүлмайды—әнд катта күчланиш унинг күндаланг кесимларыда ҳосил булып, у рухсат этилгандан  $\frac{13120 - 5760}{13120} \cdot 100\% = 56\%$  га кам булады.

Бундан валик диаметрини кичиклаштириш керак, деган холоса чиқмайды. Ҳақиқатан, агар  $d$  (валик бикрлигі) кичиклаштырылса, у вақтда трубка ташқы моменттінг кайта улушини қабул қылады ( $X$  кичик булады) ва натижада  $[\mathcal{M}]$  миқдори кичик булып қолады.

### Мустақил ечиш учун масалалар

5. 7. Пұлат брус I—I кесимининг буралыш бурчагы аниқ лансин (5. 12-расм),  $G = 8 \cdot 10^5 \text{ кГ/см}^2$ .

Жағоби.  $\tau_{I-I} \approx 36 \cdot 10^{-7} \text{ rad}$ .

5. 8. Пұлат ва мисдан ясалған иккита трубқаның үзлары үзаро қаттық биректирилған. Трубка 5. 13-расмда күрсатылғандек буровчи моментлар билан юкланды. Трубканың күндаланг кесимларыда ҳосил буладыған әнд катта уринма күчланишлар аниқлансын.  $G_a = 2G_m$  қабул қилинсін.

Жағоби.  $\tau_m = 60 \text{ кГ/см}^2$ ;  $\tau_a = 131 \text{ кГ/см}^2$ .

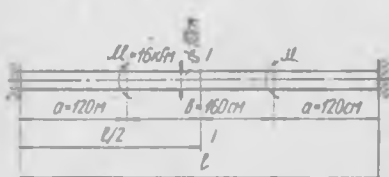
5. 9. Иккала учи билан қаттық мақкамланған ва  $\mathcal{M}$  буровчи момент билан юкланды брус деформациясының потенциал энергиясы аниқлансын (5. 14-расм).

Жағоби.  $U = 0,32 \frac{\mathcal{M}^2}{Gd^4}$ .

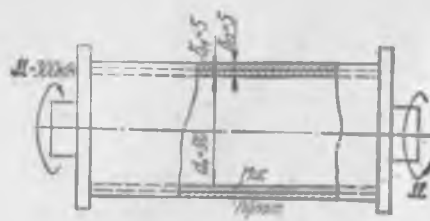
5. 10. Бруснинг  $C$  кесимиге құйылған  $\mathcal{M}$  моменттінг максимал рұхсат этилған миқдори топилсін (5. 15-расм),  $[\tau] = 900 \text{ кГ/см}^2$ .

Жағоби.  $\mathcal{M} \approx 52 \cdot 10^3 \text{ кГ·см}$ .

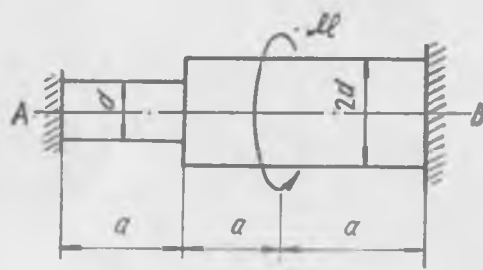
5. 11. Бир учи мақкамланған ва иккінчи томоннан полоса күринишидаги иккі тортың (үзлары шарнирлар билан мақкамланған) билан уштаб туриладыған брус иккі  $\mathcal{M}$  момент билан буралатын (5. 16-расм). Төргөзинің күйделінг ке-



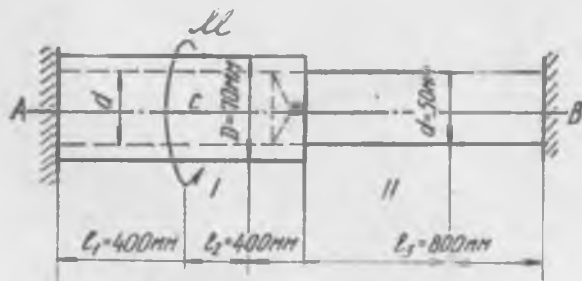
5. 12- расм.



5. 13- расм.



5. 14- расм



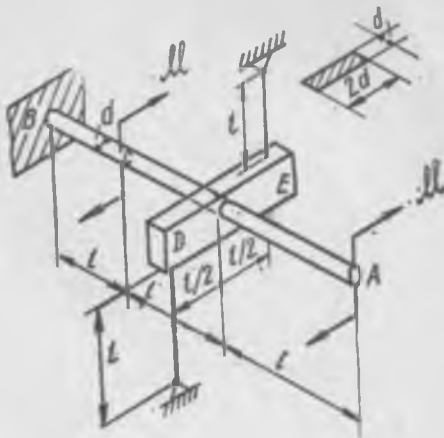
5. 15- расм.

симидағи күчланиш  $\sigma$  ва брус күндаланг кесими-даги эңг катта күчланиш  $\tau_{\max}$  аниқлансын. Тортқи-лар брусга қаттық бирктирилгандык абсолют қаттық  $DE$  күндаланг жисмега мағкамланған.  $E = 2,5G$ ;  $l = 10d$  деб қабул қилин-син.

*Жағоби.* Тортқилардаги зерткішлар  $N = \frac{0,15M}{d}$ ;

$$\sigma = \frac{0,15M}{d \cdot d \cdot 2d} = \frac{0,15M}{2d^3};$$

$$\tau_{\max} = \frac{M}{0,2d^3}.$$



б. 16- расм.

#### 5.4-§. КҮНДАЛАНГ КЕСИМИ ДОИРАВИЙ ВҰЛМАГАН ТҮФРИ БРУСНИНГ БУРАЛИШИ

Түфри түртбурчак кесимли бруснинг буралишда, буралиш бурчаги ва эңг катта уринма күчланиши құйидаги формула билан ҳисобланади:

$$\tau = \frac{M_0 I}{G J_0};$$

$$\tau_{\max} = \frac{M_0}{W_0},$$

бу ерда  $\tau_{\max}$ —түфри түртбурчак катта томонининг үртаси бүйіча күчланиш.

$J_0$  ва  $W_0$  қийматлари ушбу формуладан аниқланади:

$$J_0 = a b^3 h;$$

$$W_0 = \beta b^2 h.$$

Бу ерда  $b$ —түфри түртбурчак кічине томонининг,  $h$ —катта томонининг үлчами. Түфри түртбурчак кічине томони үртаси бүйіча уринма күчланиш құйидаги формула билан аниқланади:

$$\tau_1 = T \tau_{\max}.$$

$a$ ,  $\beta$  ва  $T$  коэффициентлар томонларнинг нисбатига бөлік булади, уларнинг қиймати 5. 1-жадвалда көлтирилген.

## 5. 1-жадвал

$\frac{h}{D}$	1	1,5	2,0	3,0	4,0	5,0	8,0	10,0	∞
$\alpha$	0,141	0,196	0,229	0,263	0,281	0,291	0,307	0,313	0,333
$\beta$	0,208	0,231	0,246	0,267	0,282	0,291	0,307	0,313	0,333
$T$	1,0	0,859	0,795	0,753	0,745	0,743	0,742	0,742	0,740

Кундаланг кесими бурчаклик, тавр, құштавр, щвеллер ვа  
х. к. куринишида бұлған бруслар буралишга ҳисобланғанда  
түғри түртбұрчак кесимли брусни ҳисоблаш формулаларидан  
фондаланилади. Бунда  $J_6$  бикрлікнинг геометрик характеристикаси қойылады;

$$J_3 = \eta \frac{1}{3} \sum h \delta^3,$$

бу ерда δ ва *h*-кесимни ташкил этувчи ҳар бир түғри турт-бүрчакнинг мос равишида кичик ва катта томонлари.

тә коэффициенти кесимнинг шаклига боғлиқ булиб, уз:

бүрчаклик кесим учун  $\eta = 1,00$

Құштаврли кссим учун  $\eta = 1,20$

таври кесим үүн  $\eta = 1,15$

швэллерли кесим учун  $\frac{1}{2}$  - 1,12 тенг бўлади.

Мустаҳкамликнинг геометрик характеристигиси (буралишда қаршилик моменти)  $W_6$  күйиндаги формула билан аниқланади:

$$W_6 = \frac{\frac{1}{3} \sum h^3}{\delta_{\max}} = \frac{J_6}{\eta \delta_{\max}},$$

бу ерда  $\delta_{\max}$  — кесимни ташкил этувчи түғри түртбұрчаклардан әнг жағтасынинг калинлиги.

Юқа деворли ёпик профилли брусларни буралишга ҳисоблашда уринма күчланиш деворининг қалинлиги буйича бир текисда тақсимланган деб фараз қилинади. Максимал уринма күчланиш қүйидаги формуладан топилади:

$$\tau_{\max} = \frac{M_0}{2F_B},$$

Бу ерда  $F_0$  – профилнинг ўрта чизиги билан чегараланган юз;  $\sigma_{\min}$  – деворнинг минимум қалинлиги.

Бруснинг узунаси бўйича ўзгармас буровчи момент таъсир этганда буралыш бурчаги ушбу формуладан топилади:

$$\varphi = \frac{M_0 l}{4\pi F_{\perp}^2} \int \frac{ds}{z},$$

бу ерда  $\delta s$  — профил ўрта чизигининг элементи. Интеграллаш профил ўрта чизиги узунлиги бўйича олинади. Хусусий ҳолда, девор қалнилиги ўзгармас бўлган профил учун олдинги формуладан қўйидагини топамиз:

$$\Phi = \frac{M_\delta l s}{4G F_0^2},$$

бу ерда  $s$  — профил ўрта чизигининг узунлиги.

Юпқа деворли доиравий ҳалқа учун (девор қалнилиги  $\delta$  нинг ҳалқа ўртача диаметри  $D_{\text{ср}}$  га нисбати  $\frac{D_{\text{ср}}}{D_{\text{ш}} < 0,1}$  бўлгандага)

$$F_0 = \frac{\pi D_{\text{ср}}^2}{4};$$

$$s = \pi D_{\text{ш}}.$$

**5.6-мисол.** Узунлиги  $l = 1 \text{ м}$  ва кўндаланг кесими ўлчамларини  $2 \times 6 \text{ см}$  бўлган тўғри тўртбурчакдан иборат пўлат стерженинг учларига  $M = 30 \text{ кГ} \cdot \text{м}$  буровчи момент қўйилган

1) катта томоннинг ўртасига таъсир этувчи уринма кучланиш катталиги ( $\tau_{\text{max}}$ ); 2) кичик томоннинг ўртасига таъсир этувчи уринма кучланиш катталиги ( $\tau_1$ ) ва 3) серженнинг буралиш бурчаги аниқлансин.

Ечиш. Тўғри тўртбурчак томонларининг нисбати  $\frac{h}{b} = \frac{6}{2} = 3$ .

Жадвалдан  $\alpha$ ,  $\beta$  ва  $\gamma$  коэффициентларнинг қийматларини кўчирдикмиз:  $\alpha = 0,263$ ;  $\beta = 0,267$ ;  $\gamma = 0,753$  ҳамда бикрлик ва мустаҳкамлик геометрик характеристикаларини аниқлаймиз:

$$J_b = ab^3 h = 0,263 \cdot 2^3 \cdot 6 = 12,64 \text{ см}^4;$$

$$W_b = \beta b^3 h = 0,267 \cdot 2^3 \cdot 6 = 6,41 \text{ см}^3.$$

Максимал уринма кучланиш (узун томоннинг ўртасига таъсир этувчи)

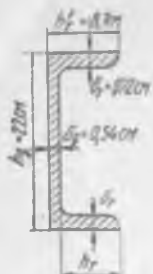
$$\tau_{\text{max}} = \frac{M_b}{W_b} = \frac{3000}{6,41} = 468 \text{ кГ/см}^2,$$

бунда  $M_b = M$ . Қисқа томоннинг ўртасига таъсир этувчи уринма кучланиш

$$\tau_1 = \gamma \tau_{\text{max}} = 0,753 \cdot 468 = 352 \text{ кГ/см}^2.$$

Серженнинг буралиш бурчаги

$$\varphi = \frac{M_\delta l}{J_b G} = \frac{3000 \cdot 100}{12,64 \cdot 8 \cdot 10^3} = 0,0295 \text{ радиан} = 1,7^\circ.$$



5. 17-расм.

Максимал уринма кучланиш (94-бетда көлтирилген маълумотларга асосан,  $\eta = 1,12$  ни қабул қилиб):

$$J_6 = \eta \frac{1}{3} \sum h \delta^3 = 1,12 \cdot \frac{1}{3} (220 \cdot 5,4^3 + 2 \cdot 81,6 \cdot 10,2^3) = \\ = 77,4 \cdot 10^4 \text{ мм}^4 = 77,4 \cdot 10^{-9} \text{ м}^4.$$

Мустаҳкамликнинг геометрик характеристикаси

$$W_6 = \frac{J_6}{\tau_{b_{\max}}} = \frac{77,4 \cdot 10^{-9}}{1,12 \cdot 10,2 \cdot 10^{-3}} = 6,79 \cdot 10^{-6} \text{ м}^3.$$

Максимал уринма кучланиш (энг қалин түғри түртбурчак, яъни берилган ҳолда токча узун томонларининг ўргасида жойлашган нуқталарда ҳосил бўлади):

$$\tau_{\max} = \frac{M_6}{W_6} = \frac{600}{6,79 \cdot 10^{-6}} = 88,4 \cdot 10^6 \text{ Н/м}^2 = 88,4 \text{ МН/м}^2.$$

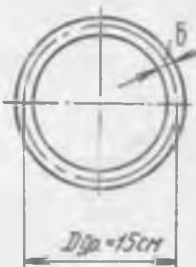
Бу ерда  $M_6 - M$  деб олинган.

5. 8-мисол. Ўртача диаметри  $D_{\text{ср}} = 15 \text{ см}$  бўлган юпқа деворли трубанинг кўндаланг кесимида  $M_6 = 50 \cdot 10^3 \text{ кГ}\cdot\text{см}$  буровчи момент ҳосил бўлади (5. 18-расм). Труба кўндаланг кесимида вужудга келадиган уричма кучланиши  $[\tau] = 600 \text{ кГ/см}^2$  дан ошмаслиги учун деворининг қалинлиги  $\delta$  қандай бўлиши керак?

Агар  $G = 8 \cdot 10^5 \text{ кГ/см}^2$  бўлса,  $l = 1 \text{ м}$  узунликда буралиш бурчаги топилсин.

Е чиши. Мустаҳкамлик шартидан

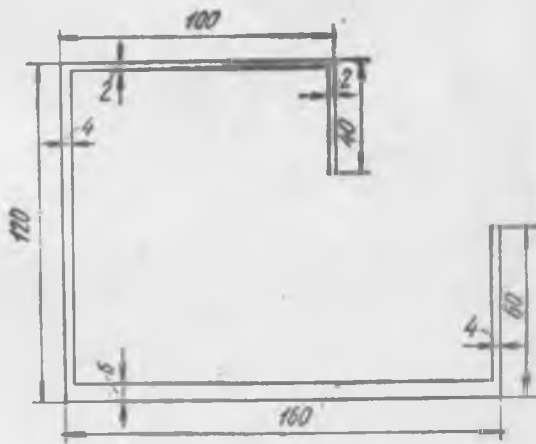
$$\tau_{\max} = \frac{M_6}{2F_0 \delta} < [\tau].$$



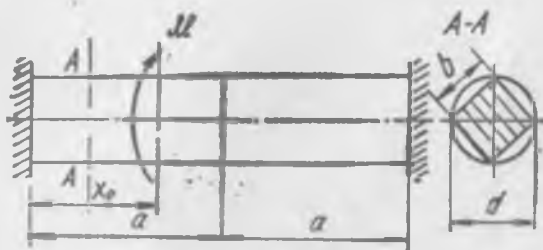
5. 18-расм.



5. 19-расм.



5. 20-расм.



5. 21-расм.

изланаётган труба деворининг қалинлигини аниқлаймиз:

$$\delta > \frac{M_0}{2F(\bar{x})},$$

Будерда  $F_0 = \frac{\pi D_{yp}^2}{4}$  – ўртака диаметри  $D_{yp}$  бўлган доира юзи.

$$\text{Демак, } \delta = \frac{50 \cdot 10^{-4}}{2 \cdot 1 \cdot 15 \cdot 600} = 0,236 \text{ см.}$$

Яхлитгаб,  $\delta = 2.5$  мм деб қабул қиласиз.

Буралиш бурчагини 95-бетда келтирилгандай формула бүйінча аниқлаш мүмкін:

$$\varphi = \frac{M_s \cdot l s}{4 G F_b^2} = \frac{50 \cdot 10^3 \cdot 100 \cdot 3,14 \cdot 15}{4 \cdot 8 \cdot 10^9 \left( \frac{3,14}{4} \right)^2 \cdot 15^4 \cdot 0,25} = 0,00942 \text{ pad.}$$

## Мустакил ечиш учун масалалар

5. 12. Вал үнг қисмнинг кўндалинг кесими квадрат шаклида (5.19-расм). Вал бу қисмнинг мустаҳкамлиги кўндаланг кесими доира шаклидаги чап қисмнинг мустаҳкамлигидан қанча (процентларда) кам бўлади?

Жівоби, 62,4%

5. 13. Күндаланг кесими түгри түртбұрчак булған буралуви  
чи брус кесими юзасининг түгри түртбұрчак томонларининг  
нисбати  $h:b$  га бөглиқ бұлған графиги мустақамлық шартыга  
күра буровчи моменттің рухсат этилған миқдори үзгармас  
хол учун ясалсın.

Күрсатма.  $h = 6$  га 1 15; 2,0 3,0; 4,0; 6,0; 8,0; 10,0 қийматлар берілбіттіктердегі көмекшілікке жауаптастырылады.

Жасоби.  $F_{\max}, F_{\min} = 1,63$ .

5. 14.  $h : b$  нисбат учун брус бикрлиги тент деб қабул қилиб, олдинги масалада күрсатылған график ясалсın. Олдинги масалага оид күрсатмaga қаранг.

Жасоби.  $F_{\text{мал}} : F_{\text{млг}} = 2,12$ .

5. 15. Агар бруснинг кўндаланг кесимида  $M_d = 120 \text{ кГ} \cdot \text{м}$  буровчи момент ҳосил бўлса, мустаҳкамлик ва бикрлик шартларидан фойдаланиб, брус квадрат кўндаланг кесими томонининг улчами аниқлансин. Рухсат этилган кучланиш  $[\tau] = 600 \text{ кГ}/\text{см}^2$ ; рухсат этилган буралиш бурчаги  $[\varphi_0] = 1.0 \text{ град}/\text{м}; G = 8.0 \cdot 10^3 \text{ кГ}/\text{см}^4$ .

Жасорын 50 мк.

5. 16. Буралувчи бруслнинг 5. 20-расмда курсатилган күндаланг кесимидағи ЭНГ катта уринма күчләнниш ва бруслнинг

нисбий буралиш бурчаги аниқлансан,  $M_i = 11 \text{ кГ} \cdot \text{м}$ ,  $G = 2,7 \cdot 10^5 \text{ кГ}/\text{см}^2$ ,  $\eta = 1,0$  деб қабул қилинсан.

**Жаоби.**  $\tau_{\max} = 435 \text{ кГ}/\text{см}^2$ ,  $\varphi_0 = 2,68 \cdot 10^{-3} \text{ радиан}$ .

**5. 17.** Иккала учи билан қаттиқ маҳкамланган брус биринчи ярмининг күндаланг кесими квадрат, иккинчи ярминики эса донрадир (5.21-расм). Маҳкамланган кесимларда ҳосил бўладиган реактив моментларнинг бир хилда бўлишилик шартидан фойдаланиб,  $x_0$  масофа аниқлансан.

**Жаоби.** 0,678 а.

### 5.5- §. ЎҚ БЎЙЛАБ ЮКЛАНГАН КИЧИК ҚАДАМЛИ ВИНТ-СИМОН ЦИЛИНДРИК ПРУЖИНАЛАРНИ ҲИСОБЛАШ

Донравий кесимли симдан ўралган пружинанинг чўзилиш ёки сиқилишга мустаҳкамлик шарти қўйидаги кўринишда бўлади:

$$\tau_{\max} = k \frac{8PD}{\pi d^3} < [\tau],$$

бу ерда  $P$ —пружинанинг ўқи бўйлаб таъсир этувчи нагрузка;

$D$ —пружинанинг ўртача диаметри;

$d$ —пружина ўрамининг диаметри;

$k$ —ўрам эргилиги ва күндаланг куч таъсирини ифодаловчи тузатиш коэффициенти. Унинг миқдори асосан пружинанинг индексига боғлиқ

$$C_n = \frac{D}{d}$$

ва уни қўйидаги берилганлар бўйича қабул қилиш мумкин:

$c_n$	4	5	7	8	10	12
$k$	1,37	1,29	1,24	1,17	1,14	1,11

Пружина баландлигининг ўзгариши  $\lambda$  (чўзилишда узайнishi, ёки сиқилишда кичрайиши-чўкиши) қўйидаги формуладан аниқланади:

$$\lambda = \frac{8PD^3n}{Gd^4},$$

бу ерда  $n$ —пружина ишчи ўрамларининг сони;

$G$ —силжиш модули.

Квадрат кесимли симдан ўралган пружинанинг мустаҳкамлик шарти:

$$\tau_{\max} = k_i \frac{PD}{253} \leq [\tau],$$

бу ерда  $k_1$ —пружина диаметри ( $D$ ) ни ўрам кесимининг томони ( $b$ ) га нисбатига боғлиқ равишда қўйидаги берилганларга кўра аниқланадиган тузатниш коэффициенти:

$\frac{D}{b}$	4	6	8	10	12
$k_1$	1,33	1,26	1,21	1,16	1,13

Коэффициент  $\beta = 0,208$  (5.1- жадвалга қаранг).  
Пружина баландлигининг ўзгариши

$$k = \frac{PD^3\kappa\mu}{4Gb^4},$$

бу ерда  $\alpha = 0,141$  (5. 1-жадвал).

5. 9-мисол. Бир хил  $D$  ўртача диаметрли икки цилиндрик винтсимон пружинанинг бирин иккинчисидан шу билан фарқ қиласиди, биринчиси доиравий кесимли, иккичиси эса квадрат кесимли симдан тайёрланган. Пружиналарда миқдори бир хил максимал уринма кучланишлар ҳосил бўлади. Бу икки пружинанинг оғирлиги ва узайниши солиширилсин.  $k$  коэффициент иккала пружина учун бир хил деб ҳисоблансан.

Е чи ш. Пружиналар оғирликлари симларнинг кўндаланг кесим юзлари ўлчамига пропорционал бўлади. Шунинг учун ҳар бир пружина симларининг кўндаланг кесим юзларини аниқлаш керак.

Доиравий кесимли симдан ясалган пружина учун

$$\tau_{max} = k \frac{8PD}{\pi d^3}.$$

Квадрат кесимли симдан ясалган пружина учун

$$\tau_{max} = k \frac{PD}{28b^3} = k \frac{PD}{2 \cdot 0,208b^3}.$$

Тенгламаларнинг чап томонлари ( $\tau_{max}$ ) шартга кўра teng бўлгани учун

$$\frac{\pi d^3}{8} = 2 \cdot 0,208b^3$$

бўлади. Бундан

$$b = d \sqrt[3]{\frac{\pi}{16 \cdot 0,208}} = 0,981 d.$$

Кесим юзаларининг нисбати

$$\frac{F_{\text{донар}}}{F_{\text{квадр}}} = \frac{\frac{\pi d^3}{4}}{b^2} = \frac{\frac{\pi d^2}{4}}{0,981^2 d^2} = 0,816.$$

Доиравий кесимли симдан тайёрланган пружина квадрат кесимли симдан тайёрланган пружинадан таҳминан 19% га енгилроқ.

Доиравий кесимли симдан тайёрланган пружинанинг узайиши

$$\lambda_1 = \frac{8PD^3n}{Gd^4}.$$

Квадрат кесимли симдан тайёрланган пружинанинг узайиши

$$\lambda_2 = \frac{PD^3n}{4Gb^4}.$$

Узайишларнинг нисбати

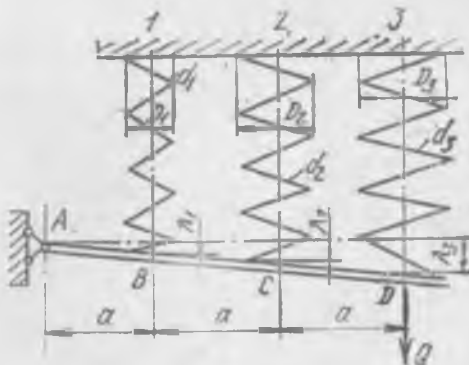
$$\frac{\lambda_1}{\lambda_2} = \frac{32ab^4}{\pi d^4} = \frac{32 \cdot 0,141b^4}{\pi d^4} = \frac{32 \cdot 0,14(0,981)^4}{3,14} = 1,31.$$

**5.10-мисол.** Ўрамлар сони бир хил бўлган учта пружинага осилган бикр (қаттиқ)  $AD$  ричагга  $Q = 400 \text{ кГ}$  куч қўйилган (5. 22-расм). Ҳар бир пружина учун шундай диаметрли сим танлаш керакки, натижада улардаги кучланиш бир хил ва [ $\epsilon$ ] = = 5000  $\text{kГ}/\text{с.м}^2$  га teng бўлсин. Пружиналар ўрамларининг ўртасида диаметрлари:  $D_1 = 6 \text{ см}$ ;  $D_2 = 8 \text{ см}$ ;  $D_3 = 10 \text{ см}$ . Барча пружиналар учун тузатиш коэффициенти  $k$  ни бирга teng деб олиниг.

Ечиш. Масала икки марта статик аниқмас: шарнирда вертикал реакция ҳосил бўлади; бундан ташқари балкага пружиналар томонидан учта вертикал реактив куч таъсир этади, демак, номаълумларнинг умумий сони тўртга teng, статика эса, текисликдаги параллел кучлар системаси учун иккита мувоззнат тенгламасини беради.

Уларнинг биттасидан фойдаланамиз, чунки шарнирдаги реакцияни аниқлашнинг жохати йўқ:

$$\begin{aligned}\sum m_A &= 0; Q \cdot 3a = \\ &= P_1a + P_22a + P_33a,\end{aligned}$$



5. 22-расм

еки

$$P_1 + 2P_2 + 3P_3 = 3Q = 1200 \text{ кГ}. \quad (1)$$

Иккита силжишлар тенгламасини эса, биргаликда құйидаги күриниша өзинш қулайды:

$$\lambda_1 : \lambda_2 : \lambda_3 = a : 2a : 3a = 1 : 2 : 3,$$

еки

$$\frac{8P_1D_1^3n}{Gd_1^4} : \frac{8P_2D_2^3n}{Gd_2^4} : \frac{8P_3D_3^3n}{Gd_3^4} = 1 : 2 : 3,$$

бундан

$$\frac{2P_1}{d_1^4} = \frac{64P_2}{2d_2^4} = \frac{125P_3}{3d_3^4}. \quad (2)$$

Пружиналарда ҳосил бўладиган кучланишларнинг ўзаро тенглик шартидан ҳам фойдаланамиз:<sup>\*</sup>

$$\tau_{1\max} = \tau_{2\max} = \tau_{3\max} = [\tau],$$

еки

$$\frac{8P_1D_1}{\pi d_1^3} = \frac{8P_2D_2}{\pi d_2^3} = \frac{8P_3D_3}{\pi d_3^3},$$

бундан

$$\frac{3P_1}{d_1^3} = \frac{4P_2}{d_2^3} = \frac{5P_3}{d_3^3}. \quad (3)$$

(1), (2), (3) тенгламалар системасини ечиб құйидагиларни топамиз:

$$P_1 = 1,9 \cdot P_2 = 2,1 \cdot P_3$$

ва

$$P_1 = 345 \text{ кГ}.$$

У вақтда

$$d_1 = \sqrt[3]{\frac{8P_1D_1}{\pi[\tau]}} = \sqrt[3]{\frac{345 \cdot 8 \cdot 6}{\pi \cdot 5000}} = 1,02 \text{ см};$$

$$d_2 = \frac{8}{9} d_1 = 0,907 \text{ см}; \quad d_3 = \frac{25}{27} d_1 = 0,944 \text{ см}.$$

Шунки таъкидлаш керакки, агар пружина диаметрлари ях-литланса (аслинин алғанда, технологик муроҳазаларга кўра бу зарурдир), у вақтда пружиналар мустаҳкамлигининг тенглиги шарти бажарилмайди; уларда ҳосил бўладиган зўриқишилар, табииятки, юқорида топилганлардан фарқ қиласи. Агар  $d_1 = 10 \text{ мм}$ ;  $d_2 = 9 \text{ мм}$ ;  $d_3 = 9,5 \text{ мм}$  деб қабул қилинса, у вақтда

\* Пружиналардаги зўриқишиларни аниқлаш учун уларнинг бикрликлари иисбати маълум булиши керак. Кўриб чиқилаётган масалани ўзига хослиги шундаки, кўрсатилган иисбат ошкор формада берилмаган (пружина таъёрлаған сим диаметри ном тълум), лекин уни пружиналарнинг мустаҳкамлигининг тенглик шарти алмаштиради.

зўриқишиш ва кучланишларнинг қиймати ( $k = 1,0$  булганда) қанчалик ўзгаришини аниқлаш бирмунча қизиқарлидири. Буни ҳисоблаб кўришни ўқувчиларга тавсия қиласиз.

5.11- мисол. Диаметри  $a = 20 \text{ mm}$  ли кўндаланг кесими доиравий симдан тайёрланган, диаметри  $D = 200 \text{ mm}$  бўлган цилиндрик винтсизон пружина иккала учи билан маҳкамалаб қўйилган. Унинг  $C$  нуқтасига  $P = 400 \text{ kG}$  куч қўйилган (5.23-расм,  $a$ ). Агар  $G = 8 \cdot 10 \text{ kG/cm}^2$  бўлса, у ҳолда пружинадаги энг катта уринма кучланиш ва  $C$  нуқтанинг силжиши аниқлансин.

Ечиш. Масалани ечиш учун пружинага маҳкамланган  $A$  ва  $B$  нуқталарда ҳосил бўладиган реактив кучларни аниқлаш зарур. Статика фақат бигта мувозанат тенгламасини ёзишга имконият беради:

$$R_A + R_B = P.$$

Шунлай қилиб, масала бир марта статик аниқлас. Иккеничи (етишмайдиган) тенгламани тузиш учун деформация шартини қараймиз.

Пружинанинг болнанишларнинг биридан (масалан, пастгидан) қутқаррамиз ва унинг таъсирини  $R_A$  куч билан алмаштирамиз, яъни 5.23-расм,  $b$  да тасвирланган кучлар таъсирининг схемасини ҳосил қиласиз.

Пружинанинг пастки учи  $P$  куч таъсирида пастга силжиши ( $\lambda_P$ )  $R_B$  куч таъсирида эса, юқорига силжиши ( $\lambda_{R_B}$ ) керак.

Ҳақиқатда эса, пружинанинг  $B$  учини маҳкамланганлиги сабабли, у юқорига ҳам, пастга ҳам силжий олмайди, демак,

$$|\lambda_P| = |\lambda_{R_B}| \quad (\text{силжиш тенгламаси}),$$

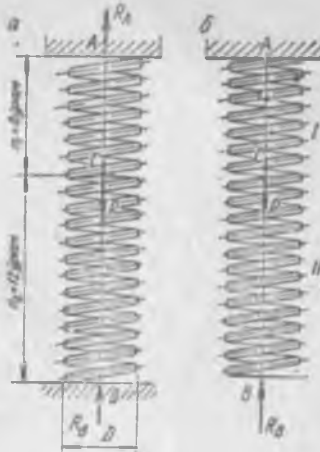
бу ерда

$$\lambda_P = \frac{8PD^3n_1}{Gd^4};$$

$$\lambda_{R_B} = \frac{8R_B D^3(n_1 + n_2)}{Gd^4}.$$

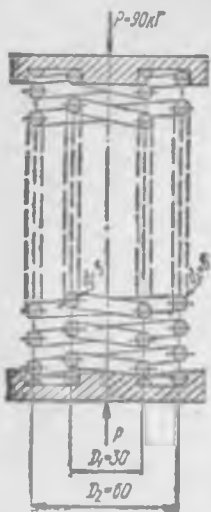
Ўрнига қўйгандан кейин қўйидагини топамиз:

$$\frac{8PD^3n_1}{Gd^4} = \frac{8R_B D^3(n_1 + n_2)}{Gd^4}$$



5. 23-расм.

бундан



б 24- расм.

ши ( $\lambda_c$ ) пружина юкори  $CA$  қисмининг узайишига тенг бўлади:

$$\lambda_c = \frac{8R_A D^3 \cdot n_1}{Gd^4} = \frac{8 \cdot 240 \cdot 20^3 \cdot 8}{8 \cdot 10^5 \cdot 2^3} = 9,6 \text{ см.}$$

Равшанки, шу натижани  $\lambda_c$  силжиш қиймати пружина пастки  $CB$  қисмининг қисқаришига тенг эканлигини назарга олиб ҳам ҳосил қилиш мумкин эди.

**Мустақил ечиш учун масалалар.**

**5.18.** Кундаланг кесими доиравий симдан ўралган цилиндрик винтсимон пружинанинг ўртача диаметри  $D = 40 \text{ мм}$ . Агар энг катта сиқувчи куч  $P = 100 \text{ кГ}$  ва бунда пружинанинг қисқариши—чўкиши  $\lambda = 30 \text{ мм}$  бўлса, симминг диаметри  $d$  ва ўрамлар сони  $n$  топилсин. Рухсат этилган кучланиш  $[\tau] = 4800 \text{ кГ/см}^2$ . Силжиш модули  $G = 8 \cdot 10^5 \text{ кГ/м}^2$ .  $k = 1,0$  деб қабул қилинсин.

**Жавоби.**  $d = 6 \text{ мм}$ ,  $n = 6$ .

**5.19.**  $15 \times 15 \text{ мм}$  квадрат кесимли пўлат симдан таъёрланган винтсимон пружина 16 ўрамга ва  $D = 12 \text{ см}$  ўртача диаметрга эга. Агар  $[\tau] = 3000 \text{ кГ/см}^2$  бўлса, ўқий нагруззакининг рухсат этилган қиймати  $|P|$  аниқлансан. Пружина рухсат этилган кучга тенг куч билан юқланганда унинг чўкиши ҳисоблансан.  $G = 8 \cdot 10^5 \text{ кГ/см}^2$ .

**Жавоби.**  $|P| = 303 \text{ кГ}$ ;  $\lambda = 11,6 \text{ см.}$

5.20. Бир хил баландликка ва бир хил үрамлар сонига  $n_1 = n_2 = 10$  эга бўлган икки пружинанинг бири иккинчлисининг ичига қўйилган (концентрик пружина). Пружиналар 5.24-расмда кўрсантилганидек,  $P=90 \text{ кГ}$  куч билан сиқилади. Агар  $\tau = 5000 \text{ кГ/см}^2$  бўлса, пружинанинг мустаҳкамлиги текширилсин.  $G = 8,1 \cdot 10^5 \text{ кГ/см}^2$  деб қабул қилиб, пружинанинг чўкиши аниқлансанн.

Жавоби.  $\tau_{\max} = 5480 \text{ кГ/см}^2$  (пружина 9,6% ортиқча юкланган);

$\tau_{\max} = 1420 \text{ кГ/см}^2; \lambda = 30,9 \text{ м.м.}$

## VІ бөб

### БАЛКА ВА РАМАЛАР УЧУН ИЧКИ КУЧ ФАКТОРЛАРИНИГ ЭПЮРАЛАРИНИ ҚУРИШ

#### 6.1-§. УМУМИЙ ТУШУНЧАЛАР. СТАТИК АНИҚ БАЛКАЛАР УЧУН КЕСУВЧИ КУЧ Q ВА ЭГУВЧИ МОМЕНТ M ЭПЮРАЛАРИНИ АНАЛИТИК ҮСУЛДА ҚУРИШ

Агар балкага таъсир этувчи нагрузкалар (түпланган куч, ёйилган нагрузка, жуфт куч) бош инерция текисликларидан бирида жойлашган ва шу билан бирга кучлар балканинг бўйлама ўқига перпендикуляр бўлса, у ҳолда балка туғри кўндаланг эгилишда бўлади (6.1-расм). Балканинг кўндаланг кесимидаги иккита ички куч фактори ҳосил бўлади: *эгувчи момент ва кесувчи куч*.

Хусусий ҳолда кесувчи куч нолга teng бўлиши мумкин, у ҳолда бундай эгилиш соф эгилиш дейилади. Ихтиёрий кўндаланг кесимдаги кўндаланг ёки кесувчи куч  $Q$  сон жиҳатдан шу кесимнинг бир томонида таъсир этувчи барча ташки кучларнинг<sup>\*</sup> алгебраик йигиндисига teng бўлади. Берилган кесимдаги кесувчи кучни аниқлашда кесимдан чапда жойлашган ташки кучларни, агар улар юқорига йўналган бўлса, мусбат ишора билан, агар улар пастга йўналган бўлса манфий ишора билан оламиз. (Кесимнинг ўнг томонидаги қисм учун – аксинча.)

Балканинг ихтиёрий кўндаланг кесимидаги  $M$  эгувчи момент сон жиҳатдан кесимдан бир томонда таъсир этувчи барча ташки кучларнинг шу кесимнинг юклаш текислигига перпендикуляр бўлган марказий бош ўқига нисбатан моментларнинг алгебраик йигиндисига teng бўлади. Агар кесимдан чапда жойлашган ташки кучларнинг моментлари балканинг қирқилган қисмини берилган кесимга нисбатан соат стрелкаси ҳаракати бўйича айлантиришига Янтилса, у моментларни мусбат деб ҳисоблаймиз (кесимнинг ўнг томонидаги қисм учун – аксинча).

$M$  нинг ишорасини балка қирқилган қисми деформациясининг характеристи билан боғлаш мумкин: агар балканинг қирқил-

\* Ташки кучларни балканинг бўйлама ўқига перпендикуляр эканлигини алоҳида таъкидлаймиз. Умумий ҳолда ташки кучларнинг улар таъсир этувчи текисликлар жойлашган марказий бош ўқдаги проекцияларининг алгебраик йигиндисини олиш керак.

ган қисми қабариқлиги би-  
лан пастга әзилған бұлса  
яғни сиқылған толалар юқо-  
рида жойлашған бұлса, ке-  
сімдегі әгувчи момент  
мусбат ҳисобланады (бунда  
балканинг қирқілған қис-  
мини қаралаётған кесимга  
хаёлан бириктирамиз).

Одатда  $M$  әпюрасининг ординатаси эластик чизиқнинг бо-  
тиқ томоннға, яғни сиқылған тола томонига қараб жойлашти-  
рилади, шу сабабы  $M$  учун бундай ишора қоидаси, сиқылған  
тола қоидаси деб аталади (6. 2-расм).

Балкага құйылған әгувчи момент, кесувчи күч ва ёйилған  
момент нагружка интенсивлигі орасыда қуядығы дифференци-  
ал муносабат мавжуддир:

$$\frac{dM}{dx} = Q + m,$$

бу ерда  $m \left[ \frac{\kappa I \cdot x}{M} \right]$  ташқи ёйилған моментларнинг интенсивлигі  
(момент—ёйилған нагрузка, 6.1-расмға қаранды).  $m = 0$  бұл-  
ганды,  $\frac{dM}{dx} = Q$ .

Әгувчи моментдан  $x$  координата бүйіча олинған иккінчи  
тартибли ҳосила, ёйилған нагрузка интенсивлигининг тескари  
ишора билан олинған қийматы тенг бўлади (пастта қараб йў-  
налишдаги ёйилған нагрузкани мусбат деб ҳисоблаамиз):

$$\frac{d^2M}{dx^2} = -q \quad (m = \text{const} \text{ еки } m = 0 \text{ бўлганда}).$$

$M$  ва  $Q$  орасыдаги дифференциал муносабатдан қуядығы  
холосалар келиб чиқады:

1)  $M$  үсадиган участкада  $Q(+)$  ишорага әга;  $M$  камаядиды-  
ган участкада эса  $Q(-)$  ишорага әга бўлади;

2)  $M$  максимал ёки минимал қийматларни қабул қиласиды  
участкада  $Q$  ишорасини ўзgartириб нолдан ўтади.

$Q$  ва  $M$  әпюралари — шу катталыкларни балканинг узунли-  
ги бүйіча үзгариш қонунини курсатувчи графикдир.

$Q$  ва  $M$  әпюраларини қуриш учун бир қанча усуулар мав-  
жуд:

1) аналитик усул (тengла-  
малар бўйича);

2) характерлы нуқталар  
бўйича қуриш;

3) күчлар таъсирини құ-  
шиш усуги.

Әпюраларни қуришда  $Q$  ва



6. 1-расм.



6. 2-расм.

$M$  ларнинг мусбат қийматларини балка ўқига параллел бўлган ўқи (базис) дан юқорига жойлаштиришни келишиб оламиз.

Икки таянчли балка учун эпюра қуришни таянчлардаги реакцияларни аниқлашдан бошлаш керак.

Консол (бир уни билан маҳкамланган балка) учун бу шарт эмас—эпюра қуришни балканинг эркин учидан бошлаш мумкин.

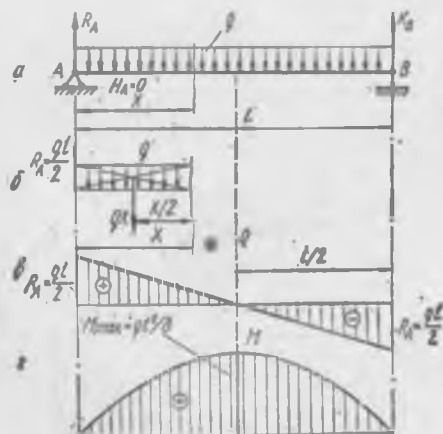
Аналитик усул билан (тenglamalap bўйича)  $Q$  ва  $M$  эпюраларини қуриш. Бу усулда балка шундай участкаларга ажратиладики, ҳар бир участка чегарасида эгувчи момент ва кесувчи куч ифодалари ўзгармасдан қолади; бошқача сўз билан айтганда,  $Q$  ва  $M$  нинг ўзгариш қонунини ифодаловчи функция узилишларга эга бўлмайди.

Участкаларнинг чегаралари куч ва жуфт куч қўйилган нуқталарда, шунингдек, ёйилган нагрузка интенсивигининг ўзгариш жойида бўлади.

Ҳар бир участкада координата бошидан  $x$  масофада қандайдир ихтиёрий кесим олиниди ва бу кесим учун  $Q$  ва  $M$  ларнинг ифодалари тузилади.  $Q = f_1(x)$  ва  $M = f_2(x)$  ларни ҳосил қиласиз. Координата бошини балканинг чап учида ёки ўнг учида, ҳар бир участканинг бошида ёки охирида олиш мумкин. Ҳар бир участкада  $x$  га бир неча қийматлар бериб,  $Q$  ва  $M$  нинг мос қийматлари ҳосил қилинади ва улар бўйича эпюралар қурилади.

Кўйида  $Q$  ва  $M$  эпюраларини тенгламалар бўйича қуришга мисоллар келтирилган.

6.1- мисол. Берилган балка учун  $Q$  ва  $M$  эпюралари қурилсин (6.3- расм, а).



6. 3- расм.

Ечиш.

1. Таянч реакцияларини аниқлаш.

Балкага құйилғақ барча нагрузкаларнинг тенг таъсир этувчиси  $qL$  күпайтмага тенг бўлиб, пролёт ўртасидан ўтади. Юқлаш симметрик бўлганлиги сабабли

$$R_A = R_B = \frac{qL}{2}$$

бўлиши ўз-ўзидан равшандир.

2. Кесувчи куч  $Q$  нинг эпюрасини қуриш.

Балканинг чап учидан  $x$  масофада хаёлан кесим ўтказамиш. Балканинг  $x$  узунликдаги чап қисмини унга құйилған ташқи кучлар таъсирида қараймиз (6.3-расм, б).

Таърифга кўра, кўндаланг кесимдаги кесувчи куч кесимдан чапда жойлашган барча кучларнинг вертикаль ўққа бўлган проекцияларининг йигиндисига тенг бўлади. Кесимдан чапда юқорига қараб йўналган  $R_A = \frac{qL}{2}$  куч ва тенг таъсир этувчиси пастга қараб йўналган, миқдори эса  $qx$  күпайтмага тенг бўлган текис ёйилған нагрузка таъсир этади, демак

$$Q = R_A - qx = \frac{qL}{2} - qx.$$

Бундан кесувчи кучнинг тўғри чизик қонуни билан ўзгариши яққол кўринади.

$$Q_{x=0} = R_A - \frac{qL}{2} \text{ ва } Q_{x=l} = \frac{qL}{2} - qL = -\frac{qL}{2}.$$

$Q$  эпюраси 6.3- расм, в да кўрсатилган.

3. Эгувчи момент  $M$  нинг эпюрасини қуриш.

6.3-расм, б дан фойдаланиб, кесимнинг оғирлик марказига нисбатан кесимдан чапда қолдирилған қисмга құйилған барча ташқи кучлар мөментларининг йигиндисини олиб, шу кесимдаги эгувчи момент ифодасини тузамиз.

Кесимдан чапда елкаси  $x$  бўлган  $R_A$  реакция ва елкаси  $\frac{x}{2}$  бўлган ёйилған нагрузканинг тенг таъсир этувчиси  $qx$  қўйилған.

Шундай қилиб,

$$M = R_A x - qx \frac{x}{2} = \frac{qL}{2} x - \frac{qx^2}{2}.$$

Эгувчи момент, квадрат парабола қонуни билан ўзгаради.

Эгри чизиқни ясаш учун унинг учта нүқтасини аниқлаймиз.

$x$  га қуйидаги қийматларни берамиз: 1)  $x = 0$ ; 2)  $x = l$ ;

3)  $x = \frac{l}{2}$ .  $M$  учун қуйидаги қийматларни топамиз:  $M_{x=0} = 0$ ;  
 $M_{x=l} = 0$ .

$$M_{x=\frac{l}{2}} = \frac{q}{2} \frac{l}{2} - \frac{q\left(\frac{l}{2}\right)^2}{2} = \frac{q l^3}{8}.$$

Үз-үзидан маълумки, пролёт ўртасидаги кесимда эгувчи момент максимал бўлиб

$$M_{max} = \frac{q l^3}{8},$$

бу кесимда кесувчи куч нолга тенг бўлади.

Эгувчи момент эпюраси 6.3- расм, г да кўрсатилган.

6.2- мисол. Берилган балка учун  $Q$  ва  $M$  нинг эпюралари курилсин (6.4- расм, а).

Ечиш

1) Таянч реакцияларини аниқлаш.

Таянч реакцияларини вертикал равишда юқорига йўналтириб, статика тенгламаларини ёзамиш:

$$\sum m_A = 0; \quad -R_B l + M = 0,$$

бундан

$$R_B = \frac{M}{l};$$

$$\sum m_b = 0; \quad R_A l + M = 0,$$

бундан

$$R_A = -\frac{M}{l}.$$

Манфий ишора  $R_A$  реакциянинг аввал қабул қилинган йўналишга қарама-қарши, яъни пастга қараб йўналганлигини кўрсатади.

Масалани ечиш кейин-чалик қуляй бўлиши учун схемада (6.4-расм, а) реакциянинг ҳақиқий йўналишини кўрсатамиз, юқорига қараб йўналган реакцияни устидан чизамиш.

2)  $Q$  кесувчи кучнинг эпюрасини куриш.

Кесувчи куч балканинг чап учидан  $x_1$  масофадаги  $Q_1$  кесимда жойлашган, яъни биринчи участка учун:  $(0 \leq x_1 \leq a)$

$$Q_1 = -R_A = -\frac{M}{l},$$

6.4- расм

иккинчи участкада ( $0 < x_2 < b$ ):

$$Q_{II} = -R_B = -\frac{M}{l} \quad (\text{үнгдан}).$$

Бундан  $Q$  эпюраси абсцисса ўқига параллел бўлган тўгри чизиқни ифода қиласди, деган холосани чиқарамиз (6.4-расм, б).

3)  $M$  эпюрасини куриш.

$O_1$  кесимдаги эгувчи момент кесимдан чап томонга қўйилган кучлар орқали қўйидагича ифодаланади:

$$M_1 = -R_A x_1 = -\frac{M}{l} x_1.$$

$M_1$  ни икки кесимда аниқлаймиз:

$$M_{I, x_1=0} = 0; \quad M_{I, x_1=a} = -R_A a = -\frac{M a}{l}.$$

$O_2$  кесимдаги эгувчи момент кесимдан ўнг томонга қўйилган кучлар орқали қўйидагича ифодаланади:

$$M_{II} = R_B x_2 = \frac{M}{l} x_2.$$

$M_{II}$  ни II участканинг боши ва охирида ҳисоблаймиз:

$$M_{II, x_2=0} = 0; \quad M_{II, x_2=b} = \frac{M b}{l}.$$

$M$  эпюраси 6.4-расм, в да кўрсатилган.

Диққатни шу нарсага жалб қиласмишни,  $M$  эпюрасида ташки тўпланган момент қўйилган жойда ордината кескин сакрайди) ўзгарили.

6.3-мисол. Балка учун  $Q$  ва  $M$  эпюралари қурилсин. Балканинг таянчларга бирекадиган участкалари интенсивлиги  $m$  бўлган текис ёйилган момент нагрузка таъсирида (6.5-расм, а).

Ечиш. 1). Таянч реакцияларини аниқлаш.

$A$  ва  $B$  нуқталарга нисбатан моментлар йиғиндинсизни олиб, таянч реакцияларини топамиш:

$$\sum m_A = 0;$$

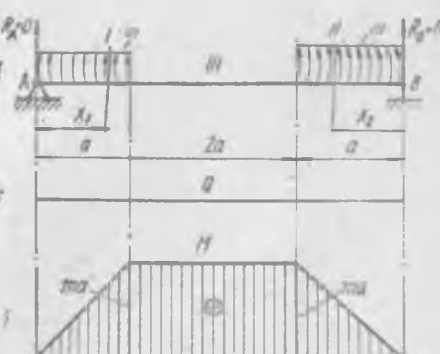
$$-R_B \cdot 4a - ma +$$

$$+ ma = 0, R_B = 0;$$

$$\sum m_B = 0;$$

$$R_A \cdot 4a + ma - ma = 0,$$

$$R_A = 0;$$



6.5-расм.

2)  $Q$  эпюрасини қуриш.

$Q$  ни ихтиёрий кесимдан чапда жойлашган ташқи кучлар нигиндиси каби аниқлаб,  $Q = 0$  ни ҳосил қиласыз, яъни  $Q_{\text{I}} = Q_{\text{II}} = Q_{\text{III}} = Q = 0$ .

3)  $M$  эпюрасини қуриш.

Биринчи участкадан ( $0 < x_1 < a$ ) құйындарилар маълум

$M_{\text{I}} = mx_1$  (түғри чизік қонуну);

$M_{\text{I},x_1=0} = 0; \quad M_{\text{I},x_1=a} = ma$ .

II участка учун ( $0 < x_2 < a$ ):

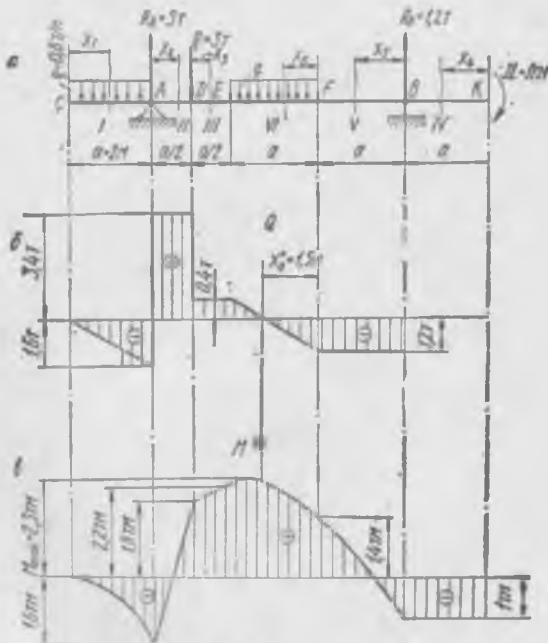
$M_{\text{II}} = mx_2; \quad M_{\text{II},x_2=0} = 0; \quad M_{\text{II},x_2=a} = ma$ .

III участкада нагрузка йүқ, демек бу участкада әгувчи момент эпюраси түғри чизіқдан иборат, лекин участканинг чекка кесимларида моментларнинг қийматлари, аввал таъкидланғанидек, бир хилда. Шундай қилиб, әгувчи момент күриб қиқилаётган участка чегарасида ўзгармасдыр:

$$M_{\text{III}} = ma$$

$M$  эпюраси 6.5-расм, в да курсатылған.

6.4-мисол. Берилған балка учун  $Q$  кесувчи күч ва  $M$  әгувчи момент эпюралари қурилсун (6.6-расм. а).



6. 6-расм.

Ечиш. 1) Таянч реакцияларини аниқлаш.

Мувозанат тенглемаларини тузамиз:

$$\sum m_A = 0; -\frac{qa^2}{2} + P_1 \cdot \frac{a}{2} + qa \cdot \frac{3a}{2} - R_B \cdot 3a + \mu = 0,$$

бундан

$$R_B = \frac{-\frac{qa^2}{2} + P_1 \cdot \frac{a}{2} + \frac{3}{2} qa^2 + \mu}{3a} = \frac{-\frac{0.8 \cdot 2^2}{2} + 3 \cdot \frac{2}{2} + \frac{3}{2} \cdot 0.8 \cdot 2^2 + 1}{3 \cdot 2} = 1.2 T$$

$$\sum m_B = 0; -qa \cdot 3.5a + R_A \cdot 3a - P_1 \cdot 2.5a - qa \cdot 1.5a + \mu = 0,$$

бундан

$$R_A = \frac{3.5qa^2 + 2.5aP_1 + 1.5qa^2 - \mu}{3a} = \frac{3.5 \cdot 0.8 \cdot 2^2 + 2.5 \cdot 2.3 + 1.5 \cdot 0.8 \cdot 2^2 - 1}{3 \cdot 2} = 5 T$$

Текшириш:

$$\sum Y = -qa - qa - P_1 + R_A + R_B = -0.8 \cdot 2 - 0.8 \cdot 2 - 3 + 5 + 1.2 = 0.$$

Реакциялар түғри топилған.

2)  $Q$  әпюрасини қуриш.

Балка олтта юкланиш участкаларига әга.

I участка ( $CA$ )  $0 < x_1 < a$ . Координата боши  $C$  нүктада.  $Q_1$  ни чап томондаги күчлар йиғиндиси каби аниқладаймиз:

$Q_1 = -qx_1$  — түғри чизик тенглемаси.

$Q_1$  нинг иккита қийматини аниқладаймиз:

$$Q_{1,x_1=0} = 0 \text{ ва } Q_{1,x_1=a} = -qa = -0.8 \cdot 2 = -1.6 T.$$

II участка ( $AD$ )  $0 < x_2 < \frac{a}{2}$ . Координата боши  $A$  нүктада.

$Q_{11}$  ни чап томондаги күчлар йиғиндиси каби аниқладаймиз:

$Q_{11} = -qa + R_A = -0.8 \cdot 2 + 5 = 3.4 T$  абсцисса ўқига параллел түғри чизик тенглемаси.

III участка ( $DE$ )  $0 < x_3 < \frac{a}{2}$ . Координата боши  $D$  нүктада.

$Q_{111}$  ни чап томондаги күчлар йиғиндиси каби аниқладаймиз:

$Q_{111} = -qa + R_A - P_T = -0.8 \cdot 2 + 5 - 3 = 0.4 T$  — балка ўқига параллел түғри чизик тенглемаси.

IV участка ( $KB$ )  $0 < x_4 < a$  (үнгдан). Координата боши  $K$  нүктада.  $Q_{1IV}$  ни ўнг томондаги күчлар йиғиндиси каби аниқладаймиз:

$$Q_{1IV} = 0.$$

V участка ( $BF$ )  $0 < x_5 < a$  (үнгдан). Координата боши  $B$  нүктада.

$Q_V$  ни ўнг томондаги кучлар йиғиндиси қаби аниқлаймиз:  
 $Q_V = -R_B = -1,2 T$  — абсцисса ўқига параллел түғри чи-  
 зиқ тенгламаси.

VI участка ( $FE$ )  $0 < x_6 < a$  (унгдан). Координата боши  
 $F$  нүктада.

$Q_{VI}$  ни ўнг томондаги кучлар йиғиндиси қаби аниқлаймиз:

$$Q_{VI} = -R_B + qx_6 = -1,2 + 0,8x_6 \text{ — түғри чизиқ тенгламаси.}$$

$Q_{VI}$  нинг иккита қийматини аниқлаймиз:

$$Q_{VI|_{x_6=0}} = -1,2 T;$$

$$Q_{VI|_{x_6=a}} = -1,2 + 0,8 \cdot 2 = 0,4 T.$$

$Q$  нинг топилган қийматлари бүйича унинг эпюрасини қу-  
 рамиз (6.6-расм, б).

$Q$  эпюрасининг абсцисса ўқини кесиб үтадиган (яғни  $Q_{VI}=0$ )  
 нүктаси абсциссаныннинг қиймати  $x_6^0$  ни құшымча равишда то-  
 памиз. Бунинг учун  $Q_{VI}$  ни нолга тенглаймиз ( $Q_{VI} = -1,2 +$   
 $+ 0,8x_6^0 = 0$ )

$$x_6^0 = \frac{1,2}{0,8} = 1,5 \text{ м.}$$

3)  $M$  эпюрасини қуриш.

I.  $0 < x_1 < a$ .

$M$  ни чап томондаги кучларнинг моментлари йиғиндиси ка-  
 би аниқлаймиз.

$M_I = -\frac{qx_1^2}{2}$  — парабола тенгламаси.

$M_I$  нинг учта қийматини топамиз:

$$M_C = M_{I|x_1=0} = 0;$$

$$M_{I|x_1=\frac{a}{2}} = -\frac{q\left(\frac{a}{2}\right)^2}{2} = -\frac{0,8 \cdot 1^2}{2} = -0,4 T \cdot m;$$

$$M_A = M_{I|x_1=a} = -\frac{qa^2}{2} = -\frac{0,8 \cdot 2^2}{2} = -1,6 T \cdot m.$$

II.  $0 < x_2 < a_2$ .

$M_{II}$  ни чап томондаги кучларнинг моментлари йиғиндиси ка-  
 би аниқлаймиз:

$$M_{II} = -qx\left(\frac{a}{2} + x_2\right) + R_A x_2 = -0,8 \cdot 2 (1 + x_2) + 5x_2 =$$

— түғри чизиқ тенгламаси.

$M_{II}$  нинг иккита қийматини топамиз:

$$M_A = M_{II, x_3=0} = -0,8 \cdot 2 = -1,6 T \cdot m;$$

$$M_D = M_{II, x_3=\frac{a}{2}} = -0,8 \cdot 2(1+1) + 5 \cdot 1 = 1,8 T \cdot m.$$

III.  $0 < x_3 < \frac{a}{2}$

$M_{III}$  ни чап томондаги кучларнинг моментлари йигиндиси каби аниқлаймиз:

$$M_{III} = -qa(x_3 + a) + R_A\left(x_3 + \frac{a}{2}\right) - P_1 x_3 = -0,8 \cdot 2(x_3 + 2) + 5(x^2 + 1) - 3x_3 - \text{түғри чизик тенгламаси.}$$

$M_{III}$  нинг иккита қийматини топамиз:

$$M_D = M_{III, x_3=0} = -0,8 \cdot 2 \cdot 2 + 5 \cdot 1 = 1,8 T \cdot m;$$

$$M_E = M_{III, x_3=\frac{a}{2}} = -0,8 \cdot 2(1+2) + 5(1+1) - 3 \cdot 1 = 2,2 T \cdot m.$$

IV.  $0 < x_4 \leq a$  (ұнгдан).

$M_{IV}$  ни ұнг томондаги кучларнинг моментлари йигиндиси каби аниқлаймиз:

$M_{IV} = -M = -1 T \cdot m$  – абсцисса үқига параллел түғри чизик тенгламаси.

V.  $0 < x_5 \leq a$  (ұнгдан).

$M_V$  ни ұнг томондаги кучларнинг моментлари йигиндиси каби аниқлаймиз:

$M_V = -M + R_B x_5 = -1 + 1,2 x_5$  – түғри чизик тенгламаси.

$M_V$  нинг иккита қийматини топамиз:

$$M_B = M_{V, x_5=0} = -1 T \cdot m;$$

$$M_F = M_{V, x_5=a} = -1 + 1,2 \cdot 2 = 1,4 T \cdot m.$$

VI.  $0 < x_6 \leq a$  (ұнгдан).

$M_{VI}$  ни ұнг томондаги кучларнинг моментлари йигиндиси каби аниқлаймиз:

$$M_{VI} = -M + R_B(a + x_6) - \frac{qx'_6}{2} = -1 + 1,2(2 + x_6) - \frac{0,8 \cdot x_6^2}{2} -$$

– квадрат параболанинг тенгламаси.

$Q_V$  ни ўнг томондаги кучлар йигиндиси каби аниқлаймиз:  
 $Q_V = -R_B = -1,2 T$  — абсцисса ўқига параллел түғри чи-  
зиқ тенгламаси.

VI участка ( $FE$ )  $0 < x_6 < a$  (унгдан). Координата боши  
 $F$  нүктада.

$Q_{VI}$  ни ўнг томондаги кучлар йигиндиси каби аниқлаймиз:  
 $Q_{VI} = -R_B + qx_6 = -1,2 + 0,8x_6$  — түғри чизиқ тенгламаси.  
 $Q_{VI}$  нинг иккита қийматини аниқлаймиз:

$$Q_{VI|_{x_6=0}} = -1,2 T;$$

$$Q_{VI|_{x_6=a}} = -1,2 + 0,8 \cdot 2 = 0,4 T.$$

$Q$  нинг топилган қийматлари бўйича унинг эпюрасини қу-  
рамиз (6.6-расм, б).

$Q$  эпюрасининг абсцисса ўқини кесиб ўтадиган (яъни  $Q_{VI}=0$ )  
нүктаси абсциссанинг қиймати  $x_6^0$  ни қўшимча равишда то-  
памиз. Бунинг учун  $Q_{VI}$  ни нолга тенглаймиз ( $Q_{VI} = -1,2 +$   
 $+ 0,8x_6^0 = 0$ )

$$x_6^0 = \frac{1,2}{0,8} = 1,5 \text{ м.}$$

3)  $M$  эпюрасини қуриш.

I.  $0 < x_1 < a$ .

$M$  ни чап томондаги кучларнинг моментлари йигиндиси ка-  
би аниқлаймиз.

$M_1 = -\frac{qx_1^2}{2}$  — парабола тенгламаси.

$M_1$  нинг учта қийматини топамиз:

$$M_C = M_{1|x_1=0} = 0;$$

$$M_{1|x_1=\frac{a}{2}} = -\frac{q\left(\frac{a}{2}\right)^2}{2} = -\frac{0,8 \cdot 1^2}{2} = -0,4 T \cdot m;$$

$$M_A = M_{1|x_1=a} = -\frac{qa^2}{2} = -\frac{0,8 \cdot 2^2}{2} = -1,6 T \cdot m.$$

II.  $0 < x_2 < a_2$ .

$M_{II}$  ни чап томондаги кучларнинг моментлари йигиндиси ка-  
би аниқлаймиз:

$$M_{II} = -qx_2\left(\frac{a}{2} + x_2\right) + R_A x_2 = -0,8 \cdot 2 \cdot (1 + x_2) + 5x_2 =$$

— түғри чизиқ тенгламаси.

$M_{II}$  нинг иккита қийматини топамиз:

$$M_A = M_{II, x_1=0} = -0,8 \cdot 2 = -1,6 \text{ T} \cdot \text{м};$$

$$M_D = M_{II, x_1=\frac{a}{2}} = -0,8 \cdot 2 (1+1) + 5 \cdot 1 = 1,8 \text{ T} \cdot \text{м}.$$

$$\text{III. } 0 < x_1 < \frac{a}{2}$$

$M_{III}$  ни чап томондаги кучларнинг моментлари йигиндиси каби аниқлаймиз:

$$M_{III} = -qa(x_1 + a) + R_A \left( x_1 + \frac{a}{2} \right) - P_1 x_1 = -0,8 \cdot 2(x_1 + 2) + 5(x^2 + 1) - 3x_1 - \text{түғри чизик тенгламаси.}$$

$M_{III}$  нинг иккита қийматини топамиз:

$$M_D = M_{III, x_1=0} = -0,8 \cdot 2 \cdot 2 + 5 \cdot 1 = 1,8 \text{ T} \cdot \text{м};$$

$$M_E = M_{III, x_1=\frac{a}{2}} = -0,8 \cdot 2 (1+2) + 5 (1+1) - 3 \cdot 1 = 2,2 \text{ T} \cdot \text{м}.$$

$$\text{IV. } 0 < x_1 \leq a \text{ (үнгдан).}$$

$M_{IV}$  ни ўнг томондаги кучларнинг моментлари йигиндиси каби аниқлаймиз:

$M_{IV} = -\mathcal{M} = -1 \text{ T} \cdot \text{м} - \text{абсцисса ўқига параллел түғри чизик тенгламаси.}$

$$\text{V. } 0 \leq x_1 \leq a \text{ (үнгдан).}$$

$M_V$  ни ўнг томондаги кучларнинг моментлари йигиндиси каби аниқлаймиз:

$$M_V = -\mathcal{M} + R_B x_1 = -1 + 1,2 x_1 - \text{түғри чизик тенгламаси.}$$

$M_V$  нинг иккита қийматини топамиз:

$$M_B = M_{V, x_1=0} = -1 \text{ T} \cdot \text{м};$$

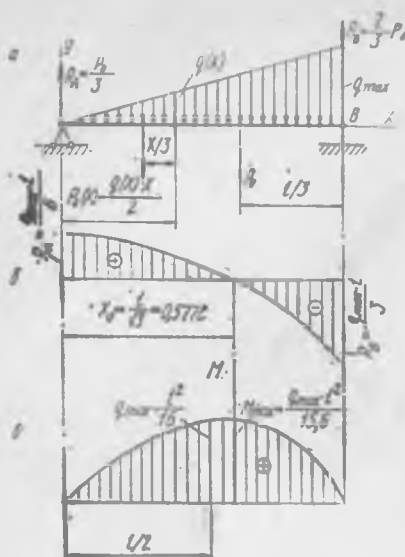
$$M_F = M_{V, x_1=a} = -1 + 1,2 \cdot 2 = 1,4 \text{ T} \cdot \text{м}.$$

$$\text{VI. } 0 < x_1 \leq a \text{ (үнгдан).}$$

$M_{VI}$  ни ўнг томондаги кучларнинг моментлари йигиндиси каби аниқлаймиз:

$$M_{VI} = -\mathcal{M} + R_B (a + x_1) - \frac{qx'_1}{2} = -1 + 1,2 (2 + x_1) - \frac{0,8 \cdot x_1^2}{2} -$$

— квадрат параболанинг тенгламаси.



6. 7-расм.

**6.5- мисол.** Интенсивлиги түғри чизик қонуни билан үзгара-диган ёйилган нагрузка таъсирнады балка учун  $Q$  ва  $M$  эпюлары қурилсін (6.7-расм, а).

Ечиш. 1) Таянч реакцияларини анықлаш.

Ёйилган нагрузканинг таъсир этувчиси (бу тенг таъсир этувчини  $P_0$  билан белгилаймыз)

$$P_0 = \frac{q_{\max}l}{2}$$

га тенг эканлигини фаҳмлаш қийин эмас. Бошқача қилиб айт-ганда, у интенсивлиги  $q_{\max}$  бўлган текис ёйилган нагрузканинг тенг таъсир этувчисидан икки марта кичик.  $P_0$  куч нагрузка эпюрасини тасвирловчи учбурчак оғирлик марказига, яъни унг томондаги таянчдан  $l/3$  масофә нарига қўйилган. Барча кучларнинг шарнир (таянч) марказларнiga нисбатан моментларининг йигиндинсини тузиб, қўйидагиларни ҳосил қиласмиш:

$$\sum m_A = 0; \quad -R_B l + P_0 \frac{2}{3} l = 0,$$

бундан

$$R_B = \frac{2}{3} P_0 = \frac{q_{\max} l}{3}.$$

$M_{VI}$  нинг учта қиймати-ни топамиш:  $EF$  участканинг учларида ва  $x_0^0 = 1,5 \text{ м}$  коор-динатали нүктада, бу ерда  $M_{VI} = M_{\max}$  (чунки бу ерда  $Q_{VI} = 0$ ).

$$M_P = M_{VI_{x_0=0}} = -1 + 1,2 \cdot 2 = 1,4 \text{ Т.м};$$

$$M_E = M_{VI_{x_0=a}} = -1 + 1,2 (2 + 2) - \frac{0,8 \cdot 2^2}{2} = 2,2 \text{ Т.м};$$

$$M_{\max} = M_{VI_{x_0=1,5,0}} = -1 + 1,2 (2 + 1,5) - \frac{0,8 \cdot 1,5^2}{2} = 2,3 \text{ Т.м}.$$

$M$  нинг топилган қиймат-лари буйicha унинг эпюра-сини қурамиз (6.6- расм, в).

$$\sum m_B = 0; \quad R_A l - P_0 \frac{l}{3} = 0$$

$$R_A = \frac{1}{3} P_0 = \frac{q_{\max} l}{6}.$$

2) Кесувчи күч эпюрасини қуриш.

Чап томондаги таянчдан  $x$  масофада ихтиёрий кесим үтказмиз, нагрузка эпюрасининг шу кесимга мос келувчи ординатаси учбуручакларнинг ўхшашлигидан топилади

$$\frac{q(x)}{x} = \frac{q_{\max}}{l};$$

$$q(x) = q_{\max} \frac{x}{l}.$$

Ейилган нагруззканинг кесимдан чап томонда жойлашган қисмининг тенг таъсир этувчиси

$$P_0(x) = \frac{1}{2} q(x) x = \frac{q_{\max} x^2}{2l}.$$

Шундай қилиб, кесувчи күч учун қўйидаги ифодани ҳосил қиласмиз:

$$Q = R_A - P_0(x) = \frac{q_{\max} l}{6} - \frac{q_{\max} x^2}{2l}.$$

Кесувчи күч квадрат парабола қонуни билан ўзгаради.  $x$  абсциссага қатор хусусий қийматлар бериб,  $Q$  эпюрасининг мос ординаталарни топамиз. Бундан ташқари, кесувчи кучни нолга тенглаштириб, шундай кесимнинг абсциссани  $x_0$  ни топамиэкі, унда  $Q$  эпюраси ўз ўқини кесиб ўтади.

$$q_{\max} l \left( \frac{1}{6} - \frac{x_0^2}{2l^2} \right) = 0,$$

бундан

$$x_0 = \frac{l}{\sqrt{3}} \approx 0,577 l.$$

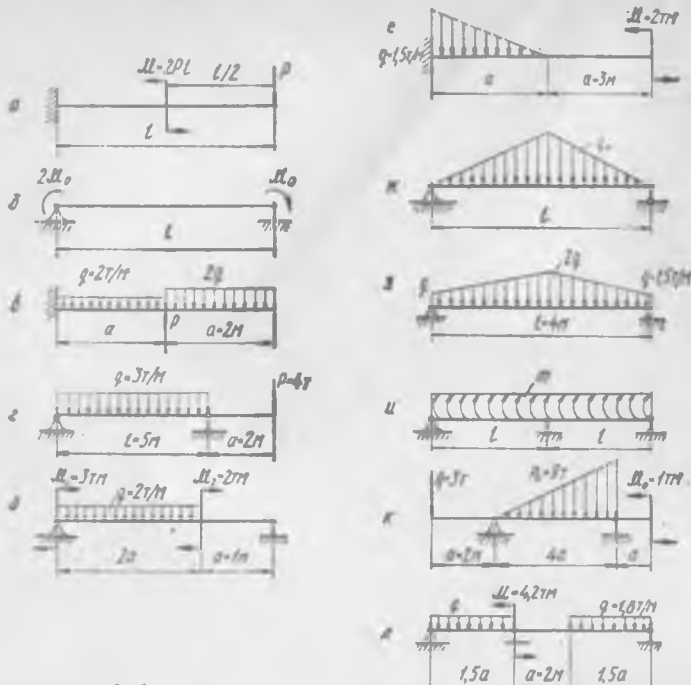
$Q$  эпюраси 6.7-расм, б да кўрсатилган.

3). Эгувчи момент эпюрасини қуриш.

Чап томондаги таянчдан  $x$  масофада булган ихтиёрий кесимдаги моментни шу томондаги кучлар орқали ифодалаб, қуидагиларни топамиз:

$$M = R_A x - P_0(x) \frac{x}{3} = \frac{q_{\max} l}{6} x - \frac{q_{\max} x^3}{6l}.$$

Шундай қилиб, эгувчи момент куб парабола қонуни билан ўзгаради. Таянчлар орқали ўтувчи кесимларда (яъни  $x = 0$  ва



6. 8-расм.

$x = l$  бүлганды) эгувчи момент нолга тенг бүлади. Абсцисса-си  $x_0 = \frac{l}{\sqrt{3}} = 0,577 l$  бүлган кесимда эгувчи момент максимум қийматга эга бүлади:

$$M_{\max} = \frac{q_{\max} l^2}{6\sqrt{3}} - \frac{q_{\max} l^3}{18\sqrt{3}} = \frac{q_{\max} l^3}{9\sqrt{3}} \approx \frac{q_{\max} l^3}{15,6}.$$

Күйі параболаны анықроқ ясаш учун эгувчи моменттің топылған учта хусусий қийматидан ташқары яна уч-гүрттада қийматини ҳисоблаш керак.  $M$  эпюраси 6.7-расм, ә да тас-вирланған.

### Мустақил ечиш учун масалалар

6.1. 6. 8-расмда күрсатылған балка учун  $Q$  ва  $M$  эпюралари аналитик усулда (тенгламалар бүйінчі) қурилсін.

Күрсатма. Жавобларда  $Q$  ва  $M$  ларнинг абсолют катталиғи бүйінчі энг катта қийматлары берилған  $x_0$  ның қийматлары балканиң чап учидан бошлаб ҳисобланады.

Жавоблар:

a)  $Q_{\max} = P; M_{\max} = \frac{3}{2} Pl x_0 = \frac{l}{2}$  бүлгандада,

b)  $Q_{\max} = \frac{3,48}{l}; M_{\max} = 2,48 x_0 = 0$  бүлгандада

c)  $Q_{\max} = 8 T; M_{\max} = 8T \cdot m (x_0 = 2 m$  ва маҳкамланган жойда).

d)  $Q_{\max} = 9,1 T; M_{\max} = 8T \cdot m$  (үнг томондаги таяичда),

e)  $Q_{\max} = 3 T; M_{\max} = 3,25 T \cdot m (x_0 = 0,5 m$  бүлгандада),

f)  $Q_{\max} = 2,25 T; M_{\max} = 2 T \cdot m$  (үнг томонда, балканинг  $a$  га тенг узунлигидаги),

g)  $Q_{\max} = \frac{1}{4} d_0 l; M_{\max} = \frac{1}{12} q_0 l^2 (x_0 = 0,5 l$  бүлгандада),

h)  $Q_{\max} = 4,5 T; M_{\max} = 4 T \cdot m \left( x_0 = \frac{l}{2} \text{ бүлгандада} \right)$ .

i)  $Q_{\max} = 2 m; M_{\max} = ml (x_0 = l$  бүлгандада),

j)  $Q_{\max} = 5,2 T; M_{\max} = 7,67 T \cdot m (x_0 = 7,25 m$  бүлгандада),

k)  $Q_{\max} = 3,1 T; M_{\max} = 5,4 T \cdot m$  (ўртадаги таяичда).

## 6.2-§. Балкалар учун $Q$ ва $M$ ларнинг эпюраларини характерли нуқталар бўйича қуриш

$M$ ,  $Q$  ва  $q$  лар орасидаги дифференциал боғланишлардан фойдаланиб,  $Q$  ва  $M$  эпюраларини қуришни соддалаштириш мумкин. Бу усулни татбиқ этиб  $Q$  ва  $M$  қийматлари характерли нуқталарда, участкаларнинг чегараларида ҳамда берилган ички куч фактори экстремал қийматга эга бўладиган жойда олинади. Кўрсагилган характерли нуқталарга мос келувчи ординаталар оралиги чегарасида эпюранинг куриниши дифференциал боғланишлар асосида урнатилади.

Характерли нуқталар бўйича эпюра қуришда қуйидаги қондага амал қилиш керак:

1. Балканинг учларидаги кесимларда кесувчи куч ва эгувчи момент сон жиҳатидан мос равишда шу кесимларга қўйилган ташқи кучга ва ташқи жуфт куч моментига тенг бўлади (бу ерда актив, реактив ва жуфт кучлар назарда тутилади).

2. Балканинг юкламаган участкасида кесувчи кучлар эпюраси балка ўқига параллел бўлган тўғри чизиқ; моментлар эпюраси — оғма тўғри чизиқ бўлади.

3. Балканинг текис ёйилган нагрузка таъсиридаги участкасида  $Q$  эпюраси — оғма тўғри чизиқ,  $M$  эпюраси — квадрат парабола бўлади.

4. Балканинг тўғри чизиқ қонуни бўйича ёйилган нагрузка таъсиридаги участкасида  $Q$  эпюраси — квадрат парабола,  $M$  эпюраси эса, куб парабола.

5.  $Q$  эпюраси узлуксиз ўзгара бориб нолдан ўтадиган (үқи-ни кесиб ўтадиган) кесимда эгувчи момент экстремал қий-матга эга —  $M$  эпюрасига ўтказилган уринма абсцисса ўқига параллел. Агар эпюраси чизиқли бўлса, у вақтда кўрсатил-ган кесим ҳолатини  $Q$  эпюра билан абсцисса ўқидан ҳосил бўл-ган учбурчакларнинг ўхашалигидан топиш қулади. Агар  $Q$  эпю-раси парабола бўлса, у вақтда берилган участкада  $Q$  нинг ўз-гариш қонунини ифодалайдиган тенглама тузишга тўғри ке-лади ва  $Q$  ни нолга тенглаб, эгувчи момент экстремал бўла-диган кесим абсциссаси топилади.

6. Балканинг тўплланган куч қўйилган жойида  $Q$  эпюраси-да ордината кескин ўзгаради, бу ўзгариш қўйилган куч миқ-дорига тенг.  $M$  эпюрасининг бу ерида узилиш ҳосил бўлади, яъни эпюранинг қўшни участкалари текис қўшилмайди.

7. Балканинг тўплланган жуфт куч қўйилган жойида  $M$  эпю-расининг ординатаси кескин ўзгаради, бу ўзгариш қўйилган жуфт моменти миқдорига тенг.  $Q$  эпюрасида эса, бу таъсир акс этмайди.

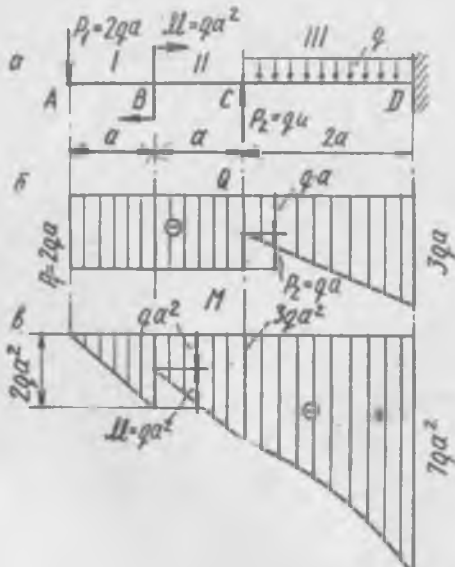
6. 6-мисол. 6.9-расм, а даги балка учун  $Q$  ва  $M$  эпюрала-ри қурилсин.

Ечиш. 1.  $Q$  эпюрасини қуриш.

Эпюраларни қуришни балканинг чап эркин учидан бошлай-миз. бунда таянч ре-акцияларини аниқлаш-га зарурият қолмайди.  $P_1 = 2qa$  куч пас-га қараб йўналган, де-мак, кесувчи куч  $AB$  ва  $BC$  участкаларда манфиӣ. Юқорида таъ-рифланган қоидага му-воғиқ  $A$  кесимда ке-суви куч сон жи-ҳатдан ташқи  $P_1$  кучга тенг. Ёйилган нагрузка қўйилмаган участка-ларда кесувчи куч ўз-гармас. Жуфт куч эса  $Q$  нинг эпюрасига таъ-сир кўрсатмайди. Шун-дай қилиб,

$$Q_1 = Q_{II} = -2qa.$$

С нуқтага юқорига қараб йўналган куч  $P_2 = qa$  қўйилган; бу кесимда эпюрада  $Q$



6. 9-расм.

нинг аввалги қийматидан  $P_3 = qa$  миқдорга юқори томонга сакраш бўлади, яъни

$$Q_c^{yng} = Q_c^{cap} + qa = -2qa + qa = -qa.$$

Навбатдаги характерли нуқта (кесим)  $D \cdot Q$  нинг бу кесимдаги қийматини  $D$  нуқтадан чап томонга қўйилган кучларнинг  $Oy$  ўқига проекцияларнинг йиғиндиси каби аниқлаймиз:

$$Q_D = -P_1 + P_2 - qa = -2qa + qa = -2qa = -3qa.$$

$Q_D$  нинг бу қийматини эпюрада  $D$  нуқта остида жойлаштирамиз ва олдинги қиймати ( $C$  нуқта остида) билан тўғри чизик орқали бирлаштирамиз.  $Q$  эпюрасининг маҳкамланган кесимдаги ординатаси таянч реакциясининг қийматини беради.  $Q$  эпюраси 6.9-расм, б да курсатилган.

## 2. $M$ эпюрасини қуриш.

А кесимида момент нолга teng (консольнинг эркин учиди). Кейнги характерли  $B$  нуқтада  $M$  ни чап томонда жойлашган кучлар моментларининг йиғиндиси каби аниқлаймиз:

$$M_B^{cap} = -P_1 a = -2qa^2.$$

$AB$  участкада  $O$  дан  $-2qa^2$  гача тўғри чизик ўтказамиш (юкламмаган участка).  $B$  нуқтада жуфт куч қўйилган;  $M$  эпюрасининг бу кесимида юқори томон бўйлаб  $qa^2$  катталикка сакраш бўлади, яъни:

$$M_O^{yng} = M_{cap} + M = -2qa^2 + qa^2 = -qa^2.$$

Характерли  $C$  нуқтада  $M$  ни чап томонда жойлашган кучлар моментларининг йиғиндиси каби аниқлаймиз:

$$M_C = -P_1 \cdot 2a + M = -4qa^2 + qa^2 = -3qa^2.$$

Юкламмаган  $BC$  участкада ҳам  $-qa^2$  дан  $-3qa^2$  гача тўғри чизик ўтказамиш.

Характерли  $D$  нуқтада  $M$  ни чап томонда жойлашган кучлар моментларининг йиғиндиси каби аниқлаймиз:

$$M_D = -P_1 \cdot 4a + M + P_2 \cdot 2a - qa \cdot a = -2qa \cdot 4a + qa^2 + qa \cdot 2a - 2qa^2 = -7qa^2.$$

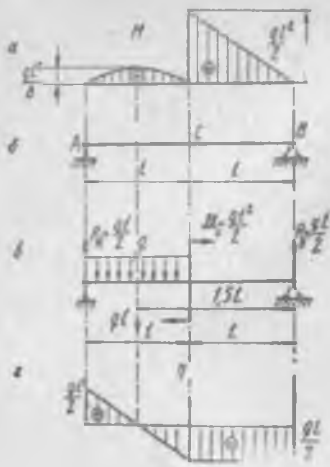
$M$  нинг  $C$  ва  $D$  нуқталардаги қийматларини қабариқлиги юқорига қараган парабола кўринишида бирлаштирамиз.

$M$  эпюраси 6.9-расм, б да курсатилган.

6.7- мисол. Берилган  $M$  эпюраси (6.10-расм, а) бўйича балқага (6.10-расм, б) таъсир этаётган нагрузка аниқлансан ва балка учун  $Q$  эпюраси қурилсан.

Ечиш 1) Балқага таъсир қилувчи нагрузкаларни аниқлаш.

$M$  эпюра  $AC$  участкада квадрат парабола бўлгани учун бу участка текис ёйилган нагрузка таъсирида бўлади. Бу нагруз-



6. 10- расм.

каннинг интенсивлигини аниқлаш учун құшымча баъзи бир ҳисоблашлар талаб этилишини таъкидлаб ўтамыз, бу ҳисоблашлар бир оз кейинроқ бажарилади.

$M$  эпюраси  $C$  кесимда юқори томон  $\frac{q_1 t^2}{2}$  миқдорига кескин үзгарғани (сакрагани) учун балкага бу кесимда соат стрелкаси ҳаралати йұналишида моменти  $M_0 = -\frac{q_1 t^3}{2}$  га тең жуфт күч таъсир этади.

Маълумки, балканинг  $CB$  участкасыда  $M$  эпюраси түфри чизик бұлғани учун бу участка юкланмаган.

Эгувчи моменттіннинг  $C$  кесимдагы қийматы маълум, ундан фойдаланиб,  $B$  таянчнинг реакциясини аниқтаймиз:

$$M_C^{tr} = \frac{1}{2} q t^2 = R_B l,$$

бундан

$$R_B = \frac{q t}{2}.$$

Ейнеган нагрузка интенсивлиги ( $q_1$ ) ни аниқлаш учун  $A$  кесимда эгувчи моментни ўңг томонда жойлашган күчлар орқали ифодалаймиз, бунда берилген эпюра бўйича  $M_A = 0$  эканлигини назарга оламиш:

$$M_A = R_B 2l - M_0 - \frac{q_1 t^2}{2} = \frac{q t}{2} 2l - \frac{q t^2}{2} - \frac{q t^2}{2} = 0,$$

бундан  $q_1 = q$ .

$R_A$  реакция мувозанат тенгламаларидан одағагидек аниқланади. Юкланган балка, 6.10-расм,  $\sigma$  да кўрсатилган.

## 2. $Q$ эпюрасини қуриш.

Балканинг чап учидан бошлаб,  $A$  нүктада юқори томонга  $R_A = \frac{q t}{2}$  га тең ординатани жойлаштирамиз.

$C$  кесимла кесувчи күчни чап томонда жойлашган күчлар йиғиндики каби аниқтаймиз:

$$Q_C = R_A - q t = \frac{q t}{2} - q t = -\frac{q t}{2}.$$

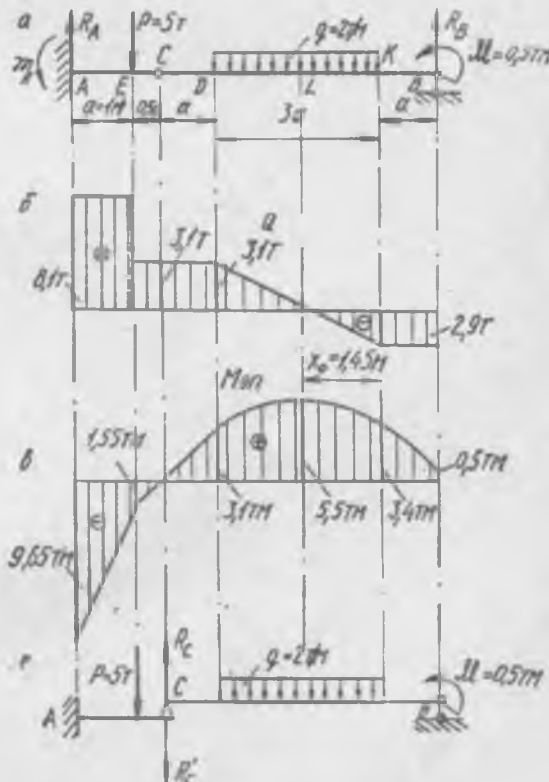
Юкланмаган  $CB$  участкада  $Q$  эпюраси балканинг ўқига параллел.

$Q$  эпюраси 6.10-расм, г да кўрсатилган.

6.8-мисол. 6.11-расм, а да тасвирланган балка учун  $Q$  ва  $M$  эпюоралари қурилсин.

Е чи ш. Балка таянчларидаги боғланишларнинг умумий сони тўртга тенг бўлишига қарамасдан,  $C$  оралиқ шарнир туфайли балка статик аниқдир.

Шарнир балканинг  $CB$  қисмини иккинчи  $AC$  қисмига нисбатан бурилишнга имкон беради, бунинг натижасида  $C$  кесимдаги эгувчи момент нолга тенг бўлади. Бу эса қўшимча тенглама тузишга асос бўлади:  $C$  нуқта (шарнир) га нисбатан ундан бир томонда жойлашган барча ташки кучларнинг моментлари йигиндиси нолга тенг бўлади.



6. 11-расм.

1) Таңч реакцияларини аниқлаш:

$$\sum m_G^{\text{тн}} = 0; -R_B \cdot 5a - M + q \cdot 3a \cdot 2,5a = 0;$$

$$R_B = \frac{-M + 7,5qa^2}{5a} = \frac{0,5 + 7,5 \cdot 2 \cdot 1}{5 \cdot 1} = \frac{14,5}{5} = 2,9 \text{ T.}$$

$$\sum m_A = 0; -M_A + Pa + q \cdot 3a \cdot 4a - R_B \cdot 6,5a - M = 0;$$

$$M_A = 5 \cdot 1 + 2 \cdot 3 \cdot 4 - 2,9 \cdot 6,5 - 0,5 = 9,65 \text{ T.m.}$$

$$\sum Y = 0, R_A - P - q \cdot 3a + R_B = 0;$$

$$R_A = 5 + 6 - 2,9 = 8,1 \text{ T.}$$

2)  $Q$  кесувчи күч эпюрасини қурнш.

$Q$  эпюрасини характеристерли нүкталар бүйича қурамиз. Чаптаңчдаги кесимда кесувчи күч таңч реакцияси ( $R_A = 8,1 \text{ T}$ ) га тенг.  $E$  кесимгача кесувчи күч ўзгармасдан қолади.  $E$  кесимдаги эпюрада  $P = 5 \text{ T}$  күч миқдориша паст томонға кескин ўзгарады (сәкрапш бұлады). Кесувчи күчнінг ҳосил қилинған  $3,1 \text{ T}$  га тенг қиймати  $D$  кесимгача сақланади.  $DK$  участкада кесувчи күч түғри чизиқ қонуни бүйича ўзгаради.

Бу участкада эпюраны қурнш учун  $K$  кесимда кесувчи күчнінг қийматини ҳисоблаймиз. Бу қийматни үнг томонда жойлашған күчлар йиғиндиси каби ҳисоблаш қулайдыр:

$$Q_K = -R_B = -2,9 \text{ T.}$$

Бу қиймат  $KB$  участкада ўзгармасдан қолади.  $Q$  ишінг эпюраси 6,11-расм, б да күрсатылған.

3) Эгувчи момент эпюрасини қуриш.

$A$  кесимда

$$M_A = -9,65 \text{ T.m.}$$

$E$  кесимда эгувчи моментни чап томондаги моментлар йиғиндиси каби топамиз:

$$M_E = -M_A + R_A \cdot a = -9,65 + 8,1 \cdot 1 = -1,55 \text{ T.m.}$$

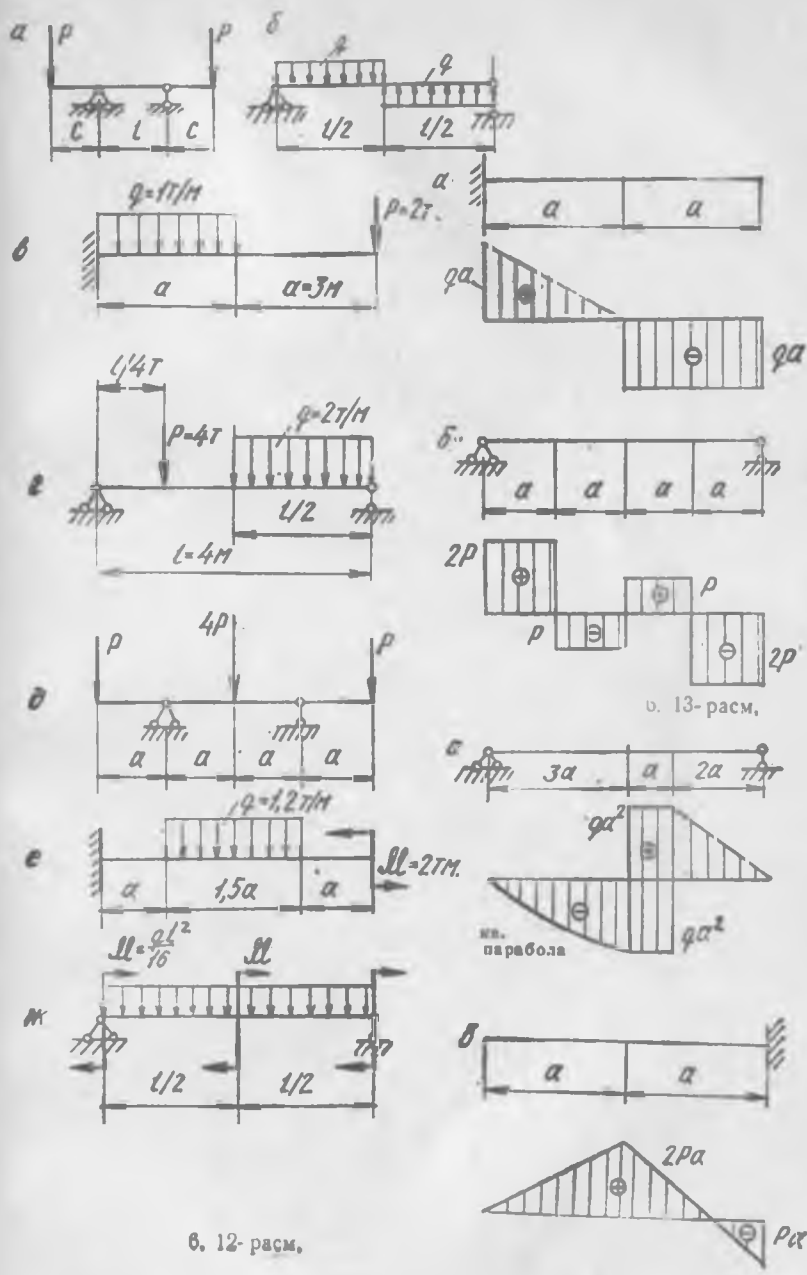
$AE$  участкада эгувчи момент түғри чизиқ қонуни бүйича ўзгаради.

$D$  кесимде:

$$M_D = -M_A + R_A \cdot 2,5 \cdot a - P \cdot 1,5 \cdot a = -9,65 + 8,1 \cdot 2,5 \cdot 1 - 5 \cdot 1,5 \cdot 1 = 3,1 \text{ T.m.}$$

$ED$  участкада эгувчи момент эпюраси үқни  $C$  нүктадан кесиб ўтувчи түғри чизиқдан иборат.

Эгувчи момент  $DK$  участкада квалрат парабола қонуни билан ўзгаради.



Биринчи участкада  $N$  ни кесимдан чапда жойлашган барча кучларнинг  $AC$  ўққа проекциялари йиғиндиси каби топамиз:

$$N_1 = -R_A = -5T.$$

Манфий ишора  $AC$  устун сиқилганлигини күрсатади.  $II$  кесимдан чапда жойлашган барча кучларни  $CD$  ригель йұналишига проекциялаб қойылады. Ригельде күштегі күштердің топамиз:

$$N_{II} = -H_A = -8T \text{ (ригель сиқилган).}$$

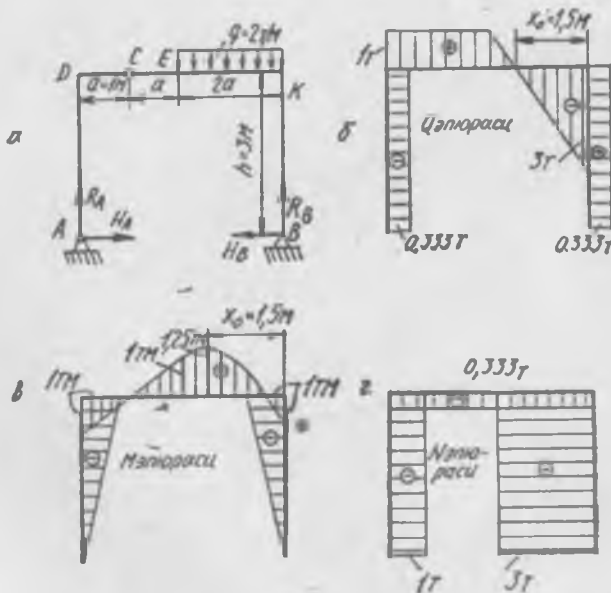
$III$  ва  $IV$  участкаларда бүйлама кучни кесимдан үндега жойлашган барча кучларнинг  $DB$  ўққа проекциялари йиғиндиси каби аниқлаїмиз:

$N_{III} = N_{IV} = R_A = R_B = 5T$  (үнг томондаги устун чўзилган). Мусбат ординаталарни рама контури ташқарисига, манфийларини эса, ичкарисига жойлаштириб,  $N$  эпюрасини қурамиз (6.18-расм, г).

6.10-мисол. Рама учун  $Q$ ,  $M$ ,  $N$  эпюралари қурилсин (6.19-расм, а).

Ечиш. 1) Таянч реакцияларини аниқлаш.

Тұртта таянч реакциялари ( $R_A$ ,  $R_B$ ,  $H_A$  ва  $H_B$ ) ни аниқлаш мақсадида бутун рама учун үчтә мувозанат тенглемаларини



6. 19-расм.

тузамиз ва  $C$  шарнир орқали ўтувчи кесимда эгувчи момент нолга тенглиги шартидан қўшимча равишда фойдаланамиз:

$$\sum m_B = 0; \quad R_A \cdot 4a - q \cdot 2a \cdot a = 0;$$

$$R_A = \frac{2qa}{4} = \frac{2 \cdot 2 \cdot 1}{4} = 1 \text{ T.}$$

$$\sum m_C^{\text{нн}} = 0; \quad R_A \cdot a - H_A \cdot h = 0; \quad H_A = \frac{R_A \cdot a}{h} = \frac{1 \cdot 1}{3} = 0,333 \text{ T.}$$

$$\sum X = 0; \quad H_A - H_B = 0; \quad H_B = H_A = 0,333 \text{ T.}$$

$$\sum Y = 0; \quad R_A + R_B - q \cdot 2a = 0.$$

$$R_B = 2qa - R_A = 4 - 1 = 3 \text{ T.}$$

Текшириш:

$$\Sigma m_c^{\text{нн}} = -3 \cdot 3 + 0,333 \cdot 3 + 2 \cdot 2 \cdot 2 = 0.$$

2) Кесувчи куч эпюрасини қуриш.

$Q$  эпюрасини характерли нуқталар бўйича қурамиз.  
 $AD$  участка—чап устун.  $A$  кесимда:

$$Q_A = -H_A = -0,333 \text{ T.}$$

Кесувчи кучнинг бу қиймати  $AD$  участкада ўзгармайди.

$DK$  участка—ригель.  $D$  ва  $E$  кесимларда  $Q$  ни чандо жойлашган ташқи кучларнинг ригелга перпендикуляр бўлган уқдаги проекцияларининг йигинидиси каби топамиз:

$$Q_D = R_A = 1 \text{ T.}$$

$$Q_E = R_A = 1 \text{ T.}$$

$K$  кесимда  $Q$  ни раманинг чап қисмини қараб аниқлаш осондир:

$$Q_K = -R_B = -3 \text{ T.}$$

$KB$  участка—устун.  $K$  кесимда:

$$Q_K = H_B = 0,333 \text{ T.}$$

$Q$  нинг бу қиймати  $KB$  участкада ўзгармасдан қолади.

Кесувчи кучнинг Эпюраси б. 19-расм, б да кўрсатилган.

3)  $M$  эпюрасини қуриш.

$AD$  участка.  $A$  кесимда (шарнирли таянчда)  $M_A = 0$ .  $D$  кесимда  $M_D = -H_A \cdot h = -0,333 \cdot 3 = -1 \text{ T} \cdot \text{м}$ .  $AD$  участкада  $M$  эпюраси—тўғри чизик.

$DK$  участка. Ригелга тегишли  $D$  кесимда эгувчи момент қиймати чап устунга тегишли  $D$  кесимдаги қиймат билан бир хилда бўлади.

$Q$  эпюраси ўқни кесиб ўтган (ноль орқали ўтган) жойдаги  $L$  кесимда  $M$  максимумга эришади.  $M_{\max}$  ни аниқлаш учун  $Q=0$  бўладиган кесимнинг абсциссанни топамиз:

$$Q_L = -R_B + qx_0 = 0, \quad x_0 = \frac{R_B}{q} = \frac{2,9}{2} = 1,45 \text{ м}$$

$$M_{\max} = M + R_B(a + x_0) - q \frac{x_0^2}{2} = 0,5 + 2,9 \cdot 2,45 -$$

$$- \frac{2 \cdot 1,45^2}{2} = 5,5 \text{ Т.м.}$$

$K$  кесимда эгувчи моментни ҳисоблаймиз:

$$M_K = M + R_B \cdot a = 0,5 + 2,9 \cdot 1 = 3,4 \text{ Т.м.}$$

$M$  нинг учта қиймати бўйича  $DK$  участкада парабола ясайдиз.

В таянч орқали ўтувчи кесимда

$$M_B = M = 0,5 \text{ Т.м.}$$

$M$  эпюраси 6.11-расм,  $\sigma$  да кўрсатилган.

Бу масалани 6.11-расм,  $\tau$  да кўрсатилган схема бўйича ҳам ечиш мумкинлигини таъкидлаб ўтамиз.

$CB$  осма балканинг реакцияларини аниқлаб, сўнгра  $AC$  асосий балкани қўшимча куч  $R_C^1$  билан, яъни  $CB$  османни  $AC$  балкага кўрсатадиган босим кучи билан нагрузкала $\beta$ , унинг реакциясини аниқлашга ўтиш мумкин.

### Мустақил ечиш учун масалалар

6.2. 6.12-расмда кўрсатилган балка учун  $Q$  ва  $M$  эпюратари характерли нуқталар бўйича қурилсин.

Кўрсатма. Жавобларда  $Q$  ва  $M$  ларнинг абсолют миқдори бўйича ёнг катта қийматлари берилган;  $x_0$  балканинг чап учиндан бошлиб ҳисобланади.

Жавоблари:

a)  $Q_{\max} = P$ ;  $M_{\max} = Pc(x_0 = c$  ва  $x_{01} = c + l$  бўлганда),

b)  $Q_{\max} = \frac{qI}{4}$ ;  $M_{\max} = \frac{qI^2}{32} \left( x_0 = \frac{l}{4} \text{ ва } x_{01} = \frac{3}{4}l \text{ бўлганда} \right)$ ,

b)  $Q_{\max} = 5 \text{ T}$ ;  $M_{\max} = 16,5 \text{ T.m}$  (маҳкамланган жойда),

г)  $Q_{\max} = 4 \text{ T}$ ;  $M_{\max} = 4 \text{ T.m} \left( \frac{l}{4} < x < \frac{l}{2} \text{ участкада чап томондан} \right)$ ,

д)  $Q_{\max} = 2P$ ;  $M_{\max} = Pa$  (таянчларда ва пролёт ўртасида),

- е)  $Q_{\max} = 1,8 T$ ;  $M_{\max} = 2 T \cdot m$  (а узунлукдагы участкада, ўнг томондан),  
 ж)  $Q_{\max} = \frac{11}{16} ql$ ;  $M_{\max} = \frac{5}{32} ql^2$  (пролёт ўртасида).

**6.3.** Берилган  $Q$  эпюраси бүйича (6.13-расм) балкага таъсир этиётгандын нагрузка аниқлансын ва  $M$  нинг эпюраси қурилсин. Олдинги масаланинг курсатмасига қаранг.

- Жавоби.** а)  $M_{\max} = qa^2 (x_0 = a$  бўлганда);  
 б)  $M_{\max} = 2 Pa (x_0 = a$  ва  $x_{01} = 3a$  бўлганда).

**6.4.** Берилган  $M$  эпюраси бўйича (6.14-расм) балкага таъсир этиётгандын нагрузка аниқлансын ва  $Q$  эпюраси қурилсин.

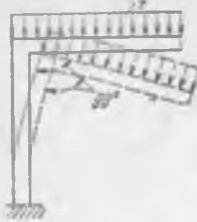
- Жавоби.** а)  $Q_{\max} = \frac{2}{3} qa$  (чап томондаги таянчда);  
 б)  $Q_{\max} = 2 P$  ( $a$  узунлукдагы участкада, чап томондан).

### 6.3-§. СТАТИК АНИҚ ТЕКИС РАМАЛАР УЧУН $Q$ , $M$ ВА $N$ ЭПЮРАЛАРИНИ ҚУРИШ

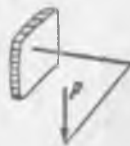
Рама деб, тугунларда ўзаро қаттиқ биринчидан брусларнинг системасига аталади. Баъзи бир хусусий ҳолларда, рамаларда қаттиқ тугунлар билан бирга қисман шарнирли тугунлар ҳам булиши мумкин. Рама бруслари асосан эгилишга ишлайди; деформация вақтида улар орасидаги бурчаклар ўзгармайди (қаттиқ тугунларда). Агар рамани ташкил этувчи барча брусларнинг ўқлари бир текисликда ётса ва рамага таъсир қилувчи нагрузкалар ҳам шу текисликда жойлашган бўлса, у вақтда рама текис рама дейилади. Текис рамага мисол 6.15-расмда келтирилган, ўша ерда яна рама деформациясида унинг горизонтал ва вертикаль элементлари орасидаги бурчак тўғрилигича қолганлиги кўрсатилган. 6.16-расмда бруслари горизонтал текисликда, нагрузкаси ( $P$  куч) эса вертикаль текисликда жойлашган рама кўрсатилган. Бундай рама одатда текис фазовий рама дейилади.

Агар раманинг ташкил этувчи брусларининг кундаланг кесимларда ҳосил бўладиган ички куч факторлари деформация шартидан фойдаланмасдан, фақатгина кесимлар усули ёрдамида аниқланса, у вақтда рама статик аниқ бўлади\*. Хусусий ҳолда рамани статик аниқ булиши учун таянч реакциялари статика тенгламаларидан аниқланадиган булиши зарурдир. 6.17-расм, а, б ларда статик аниқмас рамалар келтирил-

\* Шундай рамалар учрайдикни, таянч реакциялари статика тенгламаларидан аниқланиши мумкин, лекин шунга қарамасдан, у статик аниқмас бўлади. Бундай типдаги рамалар ёниқ контурли бўлади. Бу рамаларни баъзан ички статик аниқмас рамалар дейилади.



6.15-расм.



6.16-расм.

ган; улардан биринчиси, қабул қилингандын ибара билан айтганда, бир марта статик аниқмас (маҳкамланган таянчларда түртта боғланиш реакцияси бўлиб, статика тенгламаларини текис кучлар системаси учун фақатгина учта тузиш мумкин); келтирилган рамалардан иккинчиси эса, уч марта статик аниқмас.

Умумий ҳолда текис рама брусларининг кундаланг кесимларида учта ички куч фактори ҳосил булади:  $Q$  кесувчи куч,  $M$  эгувчи момент ва  $N$  бўйлама (нормал) куч. Ички куч факторлари кесимлар усули ёрдамида аниқланади.  $Q$  ва  $M$  ларни аниқлаш учун балкага татбиқ этиладиган кўрсатмаларга амал қилиш керак. Рама стерженларидан бирортасининг ихтиёрий кундаланг кесимида бўйлама куч сон жиҳатидан ўтказилган кесимдан бир томонда жойлашган рамага қўйилган барча ташки кучларнинг шу стержень бўйлама ўқига бўлган проекцияларининг алгебраик йигиндисига тенг бўлади.

Рама учун ҳам эпюра қуришни таянч реакцияларини аниқлашдан бошлиш керак, бир учи билан қаттиқ маҳкамланган, иккинчи учи эса әркин бўлган рама бундан мустаснодир. Вундай рамаларда ички куч факторларини әркин учидан бошлиб аниқлаш мумкин, у вақтда таянч реакциялари ўз-ўзидан маълум бўлиб қолади.

Эпюраларни қуришда кузатувчи, рама контурининг ичидаги турди деб шартлашиб оламиз.

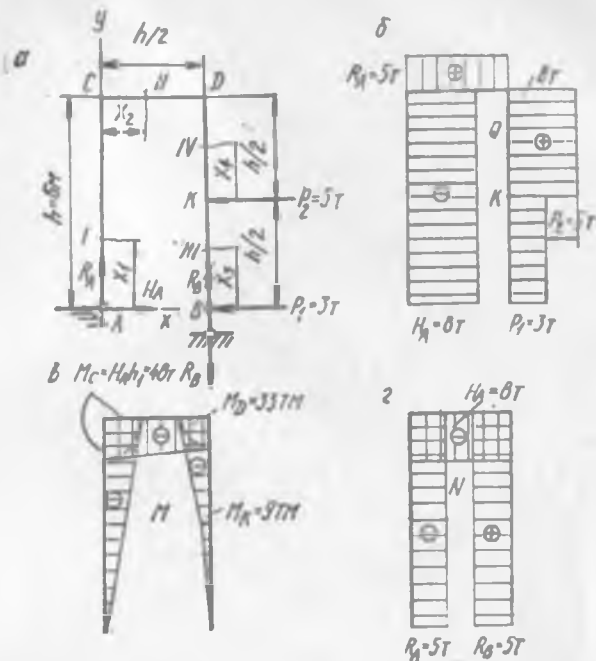
**6.9-мисол.** Рама учун  $Q$ ,  $M$  ва  $N$  эпюралари қурилсин (6.18-расм, *a*).

**Ечиш. 1.** Қаралабтган П-шаклдаги раманинг аввало таянч реакцияларини аниқлаш зарур.

Шарнирли қўзғалмас *A* таянчда иккита таянч реакцияси  $R_A$  ва  $H_A$  бор; шарнирли қўзғалувчи *B* таянчда эса, фақат битта вертикал реакция  $R_B$  бўлади (олдиндан уни юқорига қараб йўналган деб қабул қиласиз).



6. 17-расм.



6. 18- расм.

## Мувозанат тенгламасини тузамиз:

$$\sum m_A = 0; \quad -R_B \cdot \frac{\hbar}{2} - P_3 \cdot \frac{\hbar}{2} = 0,$$

бундан

$$R_R = -P_{21}$$

Манғый ишора таяңч реакциясыннинг йұналишини нотуғри танлаб олинғанлыгини күрсатади,  $R_B$  реакция вертикаль равишда пастга йұналған экан. Чизмега  $R_B$  реакцияның ҳақиқий йұналишини назарға олиб құымыз, юқорига йұналған реакцияни эса, чизик тортиб үчірамыз (6.18-расм, а га қаранг). Барча күчларнинг  $B$  нүктеге нисбетан моментларининг үйгіндисини тузымыз:

$$\sum m_B = 0; \quad R_A \cdot \frac{h}{2} - P_2 \cdot \frac{h}{2} = 0,$$

бундан

$$R_1 = P_2 = 5 T_0$$

*A* шарнир тұла реакциясінің горизонтал ташкыл этувчи-  
сіни, яғни  $H_A$  ни, барча күчларнің  $x$  горизонтал үққа бүл-  
ған проекцияларинің йиғіндисі нолға теңгілігі шартидан  
аниқлаймиз:

$$\sum X = 0; \quad H_A - P_1 - P_2 = 0,$$

бундан

$$H_A = P_1 + P_2 = 8 T.$$

Текшириш.

Текшириш учун  $\sum Y = 0$  тенглемадан фойдаланамиз:

$$R_A - R_B = 5 - 5 = 0.$$

Шундай қилиб, таяңқа реакциялари тұғри топилди.

2)  $Q$  әпюрасини қуриш.

Рама тұртта участкага зәғ:  $AC$ ,  $CD$ ,  $DK$  ва  $KB$ .

I участка  $AC$  ни қараймиз ( $0 \leq x_1 < h$ ), координата бошини  $A$  нүктада оламиз. Кесувчи күчні кесімдан чап томонда жой-  
лашған күчларнің  $AC$  стерженға перпендикуляр бүлған үк-  
даги проекцияларинің йиғіндисі каби топамиз:

$$Q_1 = -H_A = -8 T.$$

Маълумки,  $Q_1$  нинг қиймати бутун  $AC$  участкада үзгармас-  
дан қолади.

II участкада\*  $\left(0 \leq x_2 < \frac{h}{2}\right)$ .

$$Q_1 = P_A = 5 T.$$

Раманинг учинчи ва тұрттынчи участкаларини үннің  $(B)$  уч томонидан ҳаракатланиб қараймиз:

III.  $0 \leq x_3 < \frac{h}{2}$ :

$$Q_{III} = P_1 = 3T \text{ — бутун } BK \text{ участкада;}$$

IV.  $0 < x_4 < \frac{h}{2}$ ;

$$Q_{IV} = P_1 + P_2 = 3 + 5 = 8T \text{ — бутун } KD \text{ участкада.}$$

Топилған қийматлар бүйінша  $Q$  әпюрасини қурамиз (6.18-  
расм, б).

3)  $M$  әпюрасини қуриш.

I участка ( $0 \leq x_1 \leq h$ ).  $M_1$  ни кесімдан чапда жойлашған  
күчларнің моментлари йиғіндисі каби аниқлаймиз:

$$M_1 = -H_A \cdot x_1.$$

\* П - симон раманинг тұсниниң ригель деб аталишиниң таъкидлаламиз.

$X_1$  га участка чегараларига мос келувчи қийматларни беріб, қойындарларни топамиз:

$$M_{I, x_1=0} = M_A = 0; \quad M_{I, x_1=\frac{h}{2}} = M_c = -H_A \cdot h = -8 \cdot 6 = -48 \text{ T.m.}$$

II участка ( $0 < x_2 \leq \frac{h}{2}$ ).  $M_{II}$  ни ҳам кесимдан чапда жойлашган кучларнинг моментлари йигиндиси каби топамиз:

$$M_{II} = R_A \cdot x_2 - H_A \cdot h.$$

$M_{II}$  нинг  $C$  ва  $D$  кесимлардаги икки қийматини анықтаймиз:

$$M_{II, x_2=0} = M_c = -H_A \cdot h = -48 \text{ T.m}$$

ва

$$M_{II, x_2=\frac{h}{2}} = M_D = R_A \frac{h}{2} - H_A \cdot h = 5 \cdot \frac{6}{2} - 8 \cdot 6 = -33 \text{ T.m.}$$

III участка ( $0 < x_3 \leq \frac{h}{2}$ ).  $M_{III}$  ни кесимдан ўнгда жойлашган кучларнинг моментлари йигиндиси каби анықтаймиз:

$$M_{III} = -P_1 \cdot x_3.$$

$M_{III}$  нинг икки қийматини анықтаймиз:

$$M_{III, x_3=0} = M_B = 0; \quad M_{III, x_3=\frac{h}{2}} = M_K = -P_1 \cdot \frac{h}{2} = -3 \cdot \frac{6}{2} = -9 \text{ T.m.}$$

IV участка ( $0 < x_4 \leq \frac{h}{2}$ ).  $M_{IV}$  ни кесимдан ўнгда жойлашган кучларнинг моментлари йигиндиси каби анықтаймиз:

$$M_{IV} = -P_1 \left( \frac{h}{2} + x_4 \right) - P_2 x_4.$$

$M_{IV}$  нинг икки қийматини топамиз:

$$M_{IV, x_4=0} = M_K = -P_1 \cdot \frac{h}{2} = -9 \text{ T.m}$$

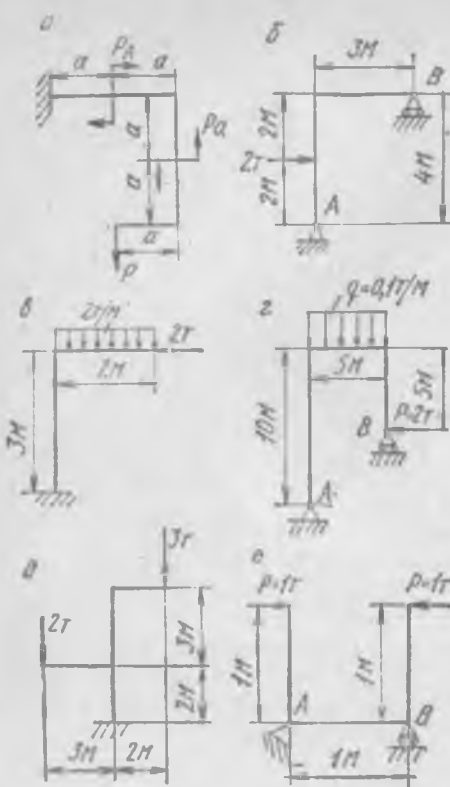
ва

$$M_{IV, x_4=\frac{h}{2}} = M_D = -P_1 h - P_2 \cdot \frac{h}{2} = -3 \cdot 6 - 5 \cdot 3 = -33 \text{ T.m},$$

бу эса әгувчи моментнинг  $D$  түгүн учун олдин ҳосил қилинган қиймати билан устма-уст тушади.

$M$  эпюрасини, аввал белгиланған қоидага мувофиқ, ординаталарни сиқылған толалар томонига жойлаштириб қурамиз (6.18-расм, 8).

4)  $N$  эпюрасини қуриш.



6. 20- расм.

С шарнирда әгувчи момент нолга тенг.

ЕК участкада әгувчи момент квадрат парабола қонуни билан үзгәради. Бу участкада әпюраны қуриш учун әгувчи моменттинг учта қийматини топамиз:

$$M_E = R_A \cdot 2a - H_A \cdot h = \\ = 2 - 0,333 \cdot 3 = 1 \text{ T} \cdot \text{м}$$

(чап томондаги моментлар йигиндиси);

$$M_K = - H_B \cdot h = - \\ - 0,333 \cdot 3 = - 1 \text{ T} \cdot \text{м}$$

(унг томондаги моментлар йигиндиси).

Учинчи қиймати —  $- M_{\max} \cdot Q$  ни нолга тенглаб, бу кесимнинг ҳолатини топамиз:

$$Q = - R_B + q x_0 = 0;$$

$$x_0 = \frac{R_B}{q} = \frac{3}{2} = 1,5 \text{ м.}$$

$$M_{\max} = R_B \cdot x_0 - H_B \cdot h - \\ - \frac{q x_0^2}{2} = 3 \cdot 1,5 - 0,333 \cdot 3 - \\ - \frac{2 \cdot 1,5^2}{2} = 1,25 \text{ T} \cdot \text{м.}$$

*KB* участка. К кесимда топилган  $M_K = - 1 \text{ T} \cdot \text{м}$  қиймат сақланиб қолади.

В шарнирли таянчда момент нолга тенг булади. *KB* участкада әгувчи момент түғри чизиқ қонуни билан үзгәради.

Әгувчи момент әпюраси 6.19-расм, *b* да күрсатилган.

4) *N* әпюрасини қуриш.

*AD* устунда бўйлама куч үзгармасдири:

$$N_A = N_D = - R_A = - 1 \text{ T.}$$

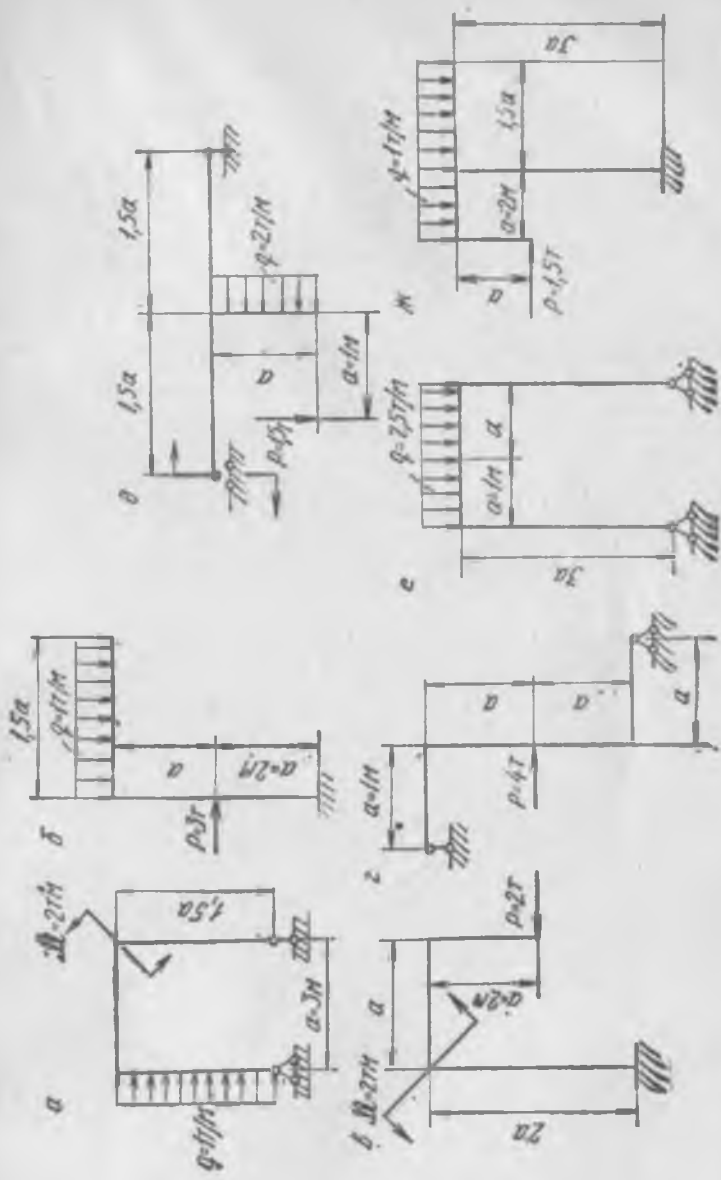
*DK* ригелда:

$$N_D = N_K = - H_A = - 0,333 \text{ T.}$$

*KB* устунда:

$$N_K = N_B = - R_B = - 3 \text{ T.}$$

Бўйлама куч әпюраси 6. 19-расм, *g* да курсатилган.



### Мустақил ечиш учун масалалар

6.5. Текис рамалар (6.20-расм) учун кесувчи күч  $Q$ , әгуви чи момент  $M$  ва бүйлама күч  $N$  әпюралари қурилсін.

**Жавоблари.**

Күрсатыма. Жавобларда  $Q$ ,  $M$  ва  $N$  ларнинг абсолют миқдори бүйінша әнг катта қиymатлари берилған.

- |                         |                            |                      |
|-------------------------|----------------------------|----------------------|
| a) $Q_{\max} = P;$      | $M_{\max} = 2Pa;$          | $N_{\max} = P;$      |
| б) $Q_{\max} = 2T;$     | $M_{\max} = 4 T \cdot m;$  | $N_{\max} = 1,3 T;$  |
| в) $Q_{\max} = 4T;$     | $M_{\max} = 4 T \cdot m;$  | $N_{\max} = 4 T;$    |
| г) $Q_{\max} = 2,25 T;$ | $M_{\max} = 20 T \cdot m;$ | $N_{\max} = 2,25 T;$ |
| д) $Q_{\max} = 3T;$     | $M_{\max} = 6 T \cdot m;$  | $N_{\max} = 5 T;$    |
| е) $Q_{\max} = 1T;$     | $M_{\max} = 1 T \cdot m;$  | $N_{\max} = 1 T;$    |

6.6. Күрсатылған текис рамалар учун (6.21-расм)  $Q$ ,  $M$  ва  $N$  ларнинг әпюралари қурилсін (олдінгі масаланың күрсат- масиға қаранды).

**Жавоблари.**

- |                        |                              |                     |
|------------------------|------------------------------|---------------------|
| a) $Q_{\max} = 4,5 T;$ | $M_{\max} = 10,1 T \cdot m;$ | $N_{\max} = 2,7 T;$ |
| б) $Q_{\max} = 3 T;$   | $M_{\max} = 10,5 T \cdot m;$ | $N_{\max} = 3 T;$   |
| в) $Q_{\max} = 2 T;$   | $M_{\max} = 6 T \cdot m;$    | $N_{\max} = 2 T;$   |
| г) $Q_{\max} = 2 T;$   | $M_{\max} = 2 T \cdot m;$    | $N_{\max} = 4 T;$   |
| д) $Q_{\max} = 2 T;$   | $M_{\max} = 3 T \cdot m;$    | $N_{\max} = 2 T;$   |
| е) $Q_{\max} = 2,5 T;$ | $M_{\max} = 1,25 T \cdot m;$ | $N_{\max} = 2,5 T;$ |
| ж) $Q_{\max} = 3 T;$   | $M_{\max} = 8,5 T \cdot m;$  | $N_{\max} = 5 T.$   |

## VII бөб

### ТҮФРИ ЭГИЛИШДА МУСТАХКАМЛИККА ХИСОБЛАШ

#### 7.1-§. НОРМАЛ КУЧЛАНИШ БҮЙИЧА МУСТАХКАМЛИККА ХИСОБЛАШ

Балканинг түфри соғ өгилишида унинг күндаланг кесимида нормал кучланишлар ҳосил бўлади, унинг миқдори эса, мос кесимдаги эгувчи момент ҳийматига боғлиқ булади. Түфри күндаланг өгилишда, бундан ташқари, кесувчи куч билан боғлиқ булган уринма кучланишлар ҳам ҳосил булади.

Күндаланг кесимнинг ихтиёрий нуқтасидаги нормал кучланиш қўйидаги формуладан аниқланади:

$$\sigma_y = \frac{M}{J_z} y,$$

бу ерда  $M$  — берилган кесимдаги эгувчи момент;

$J_z$  — кесимнинг нейтрал ўққа нисбатан инерция моменти;

$y$  — кучланиши аниқланадиган нуқтадан нейтрал ўққача бўлган масофа.

Максимал нормал кучланишлар нейтрал ўқдан энг узоқда жойлашган нуқталарда ҳосил бўлади (7.1-расм):

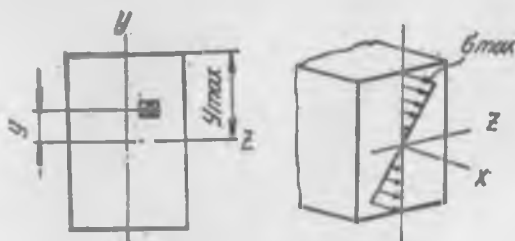
$$\sigma_{\max} = \frac{M}{J_z} y_{\max}$$

ёки  $W_z = \frac{J_z}{y_{\max}}$  ифодани киритиб, қўйидагини ҳосил қиласиз:

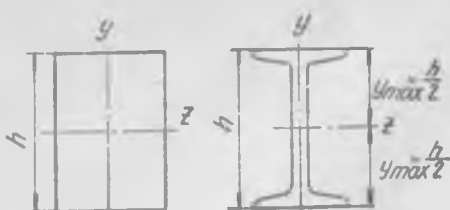
$$\sigma_{\max} = \frac{M}{W_z}.$$

Бунда икки ҳол бўлиши мумкин:

а) кесим нейтрал ўққа нисбатан симметрик (7.2-расм).  
Бу ҳолда чеккалардаги чўзилган ва сиқилган толалар-



7. 1-расм.



7. 2-расм

нинг нейтрал ўққача бўлган масофалари бир хилда бўлади, яъни

$$W_1 = W_2 = W_z$$

$$\sigma_{\max} = \frac{M}{W_z};$$

б) кесим нейтрал ўққа нисбатан симметрик эмас. Бу ҳолда  $W$  нинг икки қиймати — чеккалардаги чўзилган ва сиқилган толалар учун ҳисобланнади (7.3-расм):

$$W_1 = \frac{J_z}{y_{1\max}}; \quad W_2 = \frac{J_z}{y_{2\max}};$$

Чеккалардаги чўзилган ва сиқилган толалардаги кучланишлар ҳар хилдир:

$$\max \sigma_r = \frac{M}{W_1}$$

$$|\max \sigma_c| = \frac{M}{W_2}.$$

Балканинг нейтрал ўққа нисбатан симметрик бўлмаган кесимлари учун ҳисоблаши формулаларига қаршилик моментини киритишнинг ҳожати ўйқ. Чузилиш ва сиқилишдаги энг катта кучланишларни аниқлаайдиган формулаларни қўйидаги кўришида ёзиш мумкин (куйда келтирилган 7.3-мисолга қаранг):

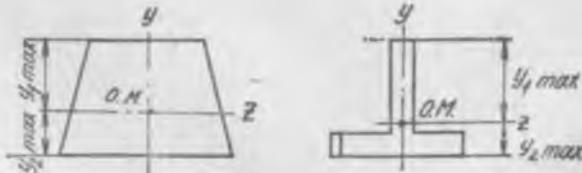
$$\max \sigma_r = \frac{M}{J_z} yK;$$

$$\max \sigma_c = \frac{M}{J_z} yL;$$

бу ерда  $yK = y_{1\max}$  ва  $yL = y_{2\max}$  — нейтрал ўқдан чўзилган ва сиқилган зоналар кесимидағи энг узоққа жойлашган нуқталаргача бўлган масофалар.

Тўғри эгилишида мустаҳкамлик шарти:

$$\sigma_{\max} = \frac{M_{\max}}{W_z} < [\sigma].$$



7. 3-расм.

## Эслатма.

а) Нейтрал ўққа нисбатан симметрик кесим учун мустақамлилукка ҳисоблаш чүзилиш ва сиқилишда рухсат этилган кучланиш бүйича, улардан қайси бири кичиклігінде қараб бажарылади.

б) Нейтрал ўққа нисбатан симметрик бұлмаган кесим учун ҳамда чүзилиш ва сиқилишга бир хилда қаршилик күрсатмайдынган материалда (масалан, чүян) мустақамлилукка ҳисоблашни чүзилған ва сиқилған толалар учун алохіда-алохіда бажариш керак.

в) Нейтрал ўққа нисбатан симметрик бұлмаган кесим учун ҳамда чүзилиш ва сиқилишга бир хилда қаршилик күрсатадынган материалда (пүлат) мустақамлилукка ҳисоблашни  $W_z$  нинг кичик қиймати бүйича, яъни нормал кучланиш абсолют қиймати жиҳатидан энг катта миқдорға ершидиган тоалалар учун бажариш керак.

Әгелишда кесим танлаб олиш учун қуйидаги формуладан фойдаланилади:

$$W_z > \frac{M_{\max}}{\|z\|}$$

Бунда қуийидаги ҳолларни күрсатамиз:

а) Прокат профилларни танлашда балканинг кераклы номери сортамент жалвалидан  $W_z$  нинг қиймати бүйича танлаб олинади

б) Агар кесим дониравній бұлса, унинг диаметри қуийидаги формуладан анықланади:

$$d > \sqrt[3]{\frac{32 W_z}{\pi}} = \sqrt[3]{\frac{32 M_{\max}}{\pi \|z\|}}$$

в) Ҳалқасынан кесим учун кераклы диаметр.

$$D > \sqrt[3]{\frac{32 M_{\max}}{\pi \|z\| (1 - \varepsilon^2)}}$$

бунда

$$\varepsilon = \frac{d}{D}.$$

г) Тұғри тұртбурчак кесим учун

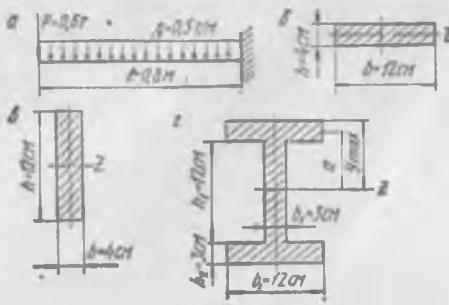
$$W_z = \frac{bh^3}{6}$$

Агар балканинг материалы чүзилиш ва сиқилишга бир хилда қаршилик күрсатмаса, у әолда нейтрал ўққа нисбатан симметрик бұлмаган кесимли балкани танлаган яхши. Масалаи, чүян учун тавр шаклидеги кесимнин танлаган яхши (7.3-расм), шу билан биргә материалнинг катта қисмнин чүзилиш зонасында жойлаштырыш керак, чунки чүян чүзилишга нисбатан сиқилишга яхши қаршилик күрсатади.

Агар берилған балка учун  $M$  эпюрасы турлы ишоралы участкага ега бўлса, у вактда юқорида айттылған гап (мұрт материалдан таірләнген балка профилини рационал жойлаштырыш тұғрисида)  $M$  абсолют қиймати бүйича максимал миқдорға ега бўладиган кесимнің тааллуқын бўлади. Қарама-қарши ишорали бўлган энг катта момент тұғри келадынган кесим учун мустақамлилукка максимал чўзувчи кучланиш бүйича қўшимча ҳисоблаб кўриш керак.

**7.1-мисол.** Балканнинг (7.4-расм, а) күндаланғ кесимида ҳосил бўладиган энг катта нормал кучланиш ҳисоблансин. 7.4-расм, б, в г ларда күрсатылған кесим вариантылари қаралсан.

Күрсатылған профилларнинг тежамлилиги солиштирилсан.



7. 4-расм.

Ечиш. Нормал күчланиши аниқлаш учун құйидаги формуладан фойдаланамыз:

$$\sigma_{\max} = \frac{M_{\max}}{W_z}$$

Маълумки, балканинг күрсатилган юкланишида  $M_{\max}$  уннинг маҳкамланған кесимінде бўлади:

$$M_{\max} = Pl + \frac{q l^2}{2} = 0,6 \cdot 0,8 + \frac{0,5 \cdot 0,8^2}{2} = 0,64 \text{ T} \cdot \text{м} = 64 \cdot 10^3 \text{ кГ} \cdot \text{см}.$$

Келтирилган кесимларнинг қаршилик моментларини аниқлаьмиз:

$$W_b = \frac{bh^3}{6} = \frac{12 \cdot 4^3}{6} = 32 \text{ см}^3;$$

$$W_s = \frac{bh^3}{6} = \frac{4 \cdot 12^3}{6} = 96 \text{ см}^3;$$

$$W_t = \frac{J_t}{y_{\max}}; \quad J_s = \frac{b_1 h_1^3}{12} + 2 \frac{b_2 h_2^3}{12} + 2b_1 h_2 a^2 = \frac{3 \cdot 12^3}{12} + 2 \cdot \frac{12 \cdot 3^3}{12} +$$

$$+ 2 \cdot 12 \cdot 3 \cdot 7,5^2 = 4536 \text{ см}^3;$$

$$W_r = \frac{4536}{9} = 504 \text{ см}^3.$$

Кучланншларни аниқлаймиз:

$$\sigma_6 = \frac{M_{\max}}{W_6} = \frac{64 \cdot 10^3}{32} = 2000 \text{ кГ/см}^2;$$

$$\sigma_8 = \frac{M_{\max}}{W_8} = \frac{64 \cdot 10^3}{96} = 666,7 \text{ кГ/см}^2;$$

$$\sigma_r = \frac{M_{\max}}{W_r} = \frac{64 \cdot 10^3}{504} = 127 \text{ кГ/см}^2;$$

$W_z : F^{\frac{3}{2}}$  нисбат билан кесимларнинг тежамлилигини баҳолаймиз.

7.4-расм, б да кўрсатилган кесим:

$$\frac{32}{\sqrt{48^3}} = 0,0955;$$

7.4-расм, в да кўрсатилган кесим:

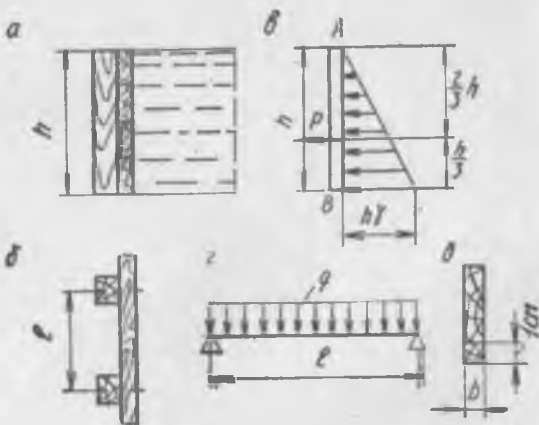
$$\frac{96}{\sqrt{48^3}} = 0,287;$$

7.4-расм, г да кўрсатилган кесим:

$$\frac{504}{\sqrt{108^3}} = 0,446.$$

Этилишда кесим юзасининг асосий қисми нейтрал чизикдан максимал узоқлашган формадаги кесим фойдали бўлади.

7.2-мисол. Ёғоч дамба квадрат кесимли вертикал устунлар каторидан тузилган ва тахталар билан қопланган (7.5- расм, а, б).



7. 5- расм.

Агар дарғыннан шу ердаги чүкүрлиги  $h = 3 \text{ м}$ , устунларнинг ўқлари орасидаги масофа  $l = 1,5 \text{ м}$  ва эгилишда ёғоч учун рухсат этилган күчланиш  $[\sigma] = 50 \text{ кГ/см}^2$  бўлса, устуннинг кўндаланг кесими ўлчамлари ва тахта қалинлиги қандай бўлиши керак?

Тахталарни ҳисоблашда уларни икки таянчда эркин ётган деб фарауз қилинсин, таянчлар орасидаги масофа  $1,5 \text{ м}$  га teng қилиб олинсин.

Ечиш. Дамба устунлари эгилишга ишлатган балкаларни ифодалайди. Битта устунга таъсир қилувчи нагруззка баландлиги  $h$  ва узунлиги  $l$  бўлган вертикаль деворга сувнинг булгани босим кучига тенгдир.

Деворнинг  $1 \text{ см}$  баландлигига тўғри келувчи сувнинг босим кучи учбурчак қонуни билан Одан (сув сатҳида)  $\gamma h$  қийматгача ( $h$  чўкурликда) ўзгарувчи ёйилган нагруззкани ифодалайди. Бу нагруззканинг тенг таъсир этувчиси учбурчак юзаси  $\frac{1}{2} \gamma h^2$  га тенг бўлиб, асосидан  $h/3$  масофа узоқликка қўйилган.

$l$  узунликдаги деворга тўғри келадиган нагруззка  $P = \frac{1}{2} \gamma h^2 l$  бўлади.

Устунни консол балка каби қараб, маҳкамланган кесимдаги максимал эгувчи моментни топамиз ( $7,5\text{-расм, в.}$ ):

$$M_{\max} = P \frac{1}{3} h = \frac{1}{2} \gamma h^2 l \cdot \frac{1}{3} h = \frac{1}{6} \cdot 1 \cdot \frac{300 \cdot 150}{1000} = 67,5 \cdot 10^4 \text{ кГ/см.}$$

Устун кўндаланг кесимининг талаб этилган қаршилик моменти

$$W > \frac{M_{\max}}{[\sigma]},$$

$$W_s = \frac{67,5 \cdot 10^4}{50} = 13500 \text{ см}^3.$$

$$\text{Квадрат учун } W_s = \frac{a^3}{6}.$$

$$\text{Бундан } a > \sqrt[3]{6W_s} = \sqrt[3]{6 \cdot 13500} = 43,5 \text{ см.}$$

Қоплама тахталари ҳар хил шаронтда бўлади, чунки нагруззка дамба баландлиги бўйича ўзгарида. Энг остики қатордаги тахта энг катта күчланишда бўлгани учун унинг қалинлигини топамиз. Бунинг учун дамба асосидан баландлиги  $1 \text{ см}$  бўлган полоска ажратиб оламиз ва ҳисобни нагруззканинг энг катта интенсивлиги

$$q = \gamma h \cdot 1 = \frac{1 \cdot 300}{1000} = 0,3 \text{ кГ/см}$$

бўйича бажарамиз.

Тахтани икки таянчдаги балка каби қараб (7.5-шакл, 2),  
күндагиларни аниқтаймиз:

$$M_{\max} = \frac{q^2}{8} = \frac{0,3 \cdot 150^2}{8} = 845 \text{ кГ/см.}$$

Күйматларни формулага құйсак:

$$W_s > \frac{M_{\max}}{[\sigma]} = \frac{845}{50} = 16,9 \text{ см}^3.$$

7.5-расм,  $\delta$  да берилгандарни назарга олиб, тахта қалинлигін аниқтаймиз:

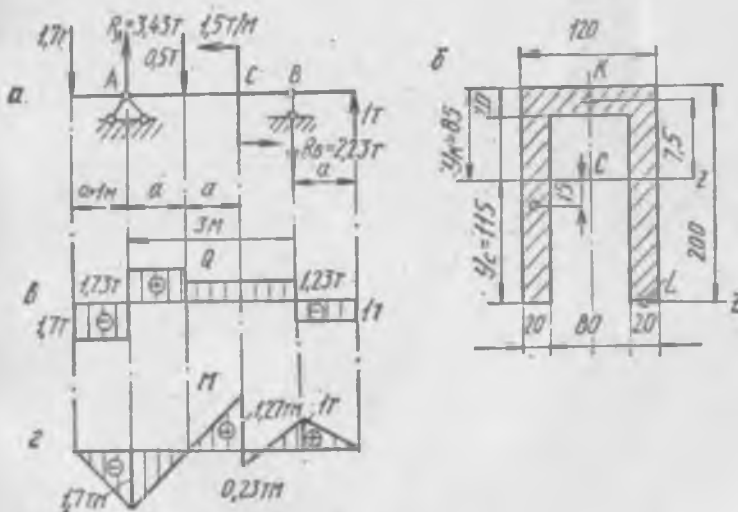
$$W_s = \frac{h_1 b^2}{6} = \frac{1 \cdot b^2}{6}; \quad b > \sqrt{6 W_s} = \sqrt{6 \cdot 16,9} \approx 10 \text{ см.}$$

7.3-мисол. Кесимнин рационал жойлашишини аввалдан белгилаб олиб, П-шаклдаги чүян балканинг мусгаҳкамлиги текширилсін (7.6-расм,  $a$ ,  $b$ ). Бунда  $[\sigma_r] = 400 \text{ кГ/см}^2$  ва  $[\sigma_c] = 1200 \text{ кГ/см}^2$  деб қабул қылғасын.

Ечиш. Таянч реакцияларини аниқтаймиз:

$$\sum m_A = 0; \quad -1,7 \cdot 1 + 0,5 \cdot 1 - 1,5 + R_B \cdot 3 - 1 \cdot 4 = 0.$$

$$\sum m_B = 0; \quad -1,7 \cdot 4 + R_A \cdot 3 - 0,5 \cdot 2 - 1,5 - 1 \cdot 1 = 0.$$



7. 6-расм.

Бундан

$$R_A = 3,43 \text{ T};$$

$$R_B = 2,23 \text{ T}.$$

Q ва M эпуралари 7.6-расм. б, г ларда күрсатилган. Энг катта (абсолют миқдори бүйінча) әгувчи момент A кесимда ҳосил бўлади. Бу кесимда балканинг сиқилган толалари пастда бўлади, шунинг учун балка кесимини 7.6-расм, б да күрсатилгандек жойлаштириш керак, яъни материалнинг катта қисми чўзилиш зонасида бўлиши керак.

Кесимнинг оғирлик марказини аниқлаймиз:

$$y_c = \frac{\sum S_{z_i}}{\Sigma F} = \frac{2 \cdot 20 \cdot 2 \cdot 10 + 2 \cdot 8 \cdot 19}{2 \cdot 20 \cdot 2 + 2 \cdot 8} = 11,5 \text{ см.}$$

Нейтрал ўққа нисбатан инерция моментини аниқлаймиз;

$$J_s = 2 \frac{2 \cdot 20^3}{12} + 2 \cdot 2 \cdot 20 \cdot 1,5^3 + \frac{8 \cdot 2^3}{12} = 8 \cdot 2 \cdot 7,5^2 = 3750 \text{ см}^4.$$

$y_K$  ва  $y_L$  — нейтрал ўқдан чўзилиш ва сиқилиш зоналаридаги энг узоқда жойлашган нуқталаргача бўлган масофа ( $A$  кесим учун):

$$y_K = 8,5 \text{ см}; \quad y_L = 11,5 \text{ см.}$$

$$\frac{y_K}{y_L} = \frac{8,5}{11,5} = 0,74; \quad \frac{[\sigma_r]}{[\sigma_c]} = \frac{400}{1200} = 0,33 \text{ ва } \frac{y_K}{y_L} > \frac{[\sigma_r]}{[\sigma_c]},$$

бўлгани учун нейтрал ўқдан энг узоқда жойлашган чўзилган зона нуқталари хавфли ҳисобланади.

$A$  кесимдаги ( $K$  нуқта учун) энг катта чўзувчи кучланиш бўйича мустаҳкамликни текшириб кўрамиз:

$$\max \sigma_r \frac{\text{такж} M}{J_s} y_K = \frac{1,70 \cdot 10^6}{3750} \cdot 8,5 = 386 \text{ кГ/см}^2 < [\sigma_r].$$

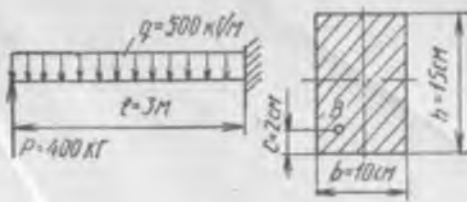
Балканинг  $C$  кесимида мустаҳкамликни текшириш зарурдир.  $|M_c| < |M_A|$  бўлса ҳам, лекин  $C$  кесимда балка профили норационал жойлашган. Бу ерда  $L$  нуқта хавфли нуқтадир.

$$\max \sigma_r = \frac{M_c}{J_s} y_L = \frac{1,27 \cdot 10^6}{3750} \cdot 11,5 = 385 \text{ кГ/см}^2.$$

$A$  ва  $C$  кесимлар тенг хавфли кесимлар бўлар экан. Балка мустаҳкамлиги таъминланган.

### Мустақил ечиш учун масалалар

7.1. Сув тўлдирилган чўян труба (ташқи диаметри  $D = 30 \text{ см}$  ва деворининг қалинлиги  $\delta = 0,3 \text{ см}$ ) учлари билан эркин гаянади. Таиянчлари орасидаги масофа қандай бўлганда энг катта кучланиш  $\sigma = 250 \text{ кГ/см}^2$  га етади? Чўяннинг ҳажмий



7. 7-расм.

оғирлиги  $\gamma = 7,5 \text{ Г/см}^3$  деб, трубанинг ўз оғирлиги ҳам назарга олинсин.

Жавоби. 667 см.

7.2. 7.7-расмда кўрсатилган балка учун  $Q$  ва  $M$  эпюралари қурилсин ва балканинг хавфли кесимидағи  $B$  нуқтада нормал кучланиш ҳисоблансин.

Жавоби.  $206 \text{ кГ/см}^2$ .

7.3. 7.8-расмда тасвирланган балка кесимининг ўлчамлари мустаҳкамликка ҳисоблаш формулаларидан фойдаланиб аниқлансин. Расмда кўрсатилган учта кесим шаклининг вариантилари қаралсан.  $[\sigma] = 1600 \text{ кГ/см}^2$  деб қабул қилинсин. Кесимларнинг рационаллиги солиштирилсин.

Жавоби. а)  $D = 16 \text{ см}$ ; б)  $D = 18 \text{ см}$ ; в)  $a = 13,4 \text{ см}$ .

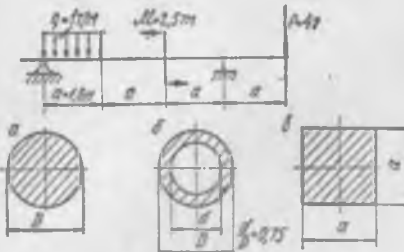
7.4. Берилган балка учун мустаҳкамлик шартидан фойдаланиб, рухсат этилган нагрузка  $|q|$  нинг қиймати аниқлансин (7.9-расм).  $[\sigma] = 1600 \text{ кГ/см}^2$  қабул қилинсин. Балканинг ўз оғирлиги назарга олинмасин.

Жавоби.  $|q| = 0,85 \text{ Т/м}$ .

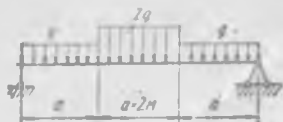
7.5. 7.10-расмда тасвирланган қўштаврли балканинг  $A$ ,  $B$ ,  $C$  кесимларида унинг ўз оғирлигидан ҳосил бўладиган кучланишлар бир хилда ва  $\sigma_{\max}$  га эришади. Балка таянч нуқталаридан унинг учларигача бўлган масофа, шунингдек, рухсат этилган балка узулигининг қиймати  $[l]$  аниқлансин. Бунда  $[\sigma] = 1600 \text{ кГ/см}^2$ .

Жавоби.  $a = 0,209 \text{ л}; [l] = 9,28 \text{ м}$ .

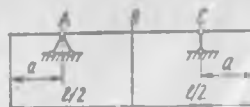
7.6. Чуюн балка (7.11-расм) деворининг қалинлиги  $\delta$  нинг талаб этилган миқдори мустаҳкамликка



7. 8-расм.



7. 9- расм.



7. 10- расм.



ұисоблашдан фойдаланиб, аниқлансии. Кесимнинг рационал жойлашиши аввалдан белгилаб олинсин.

$$[\sigma_r] = 300 \text{ кГ/см}^2; [\sigma_c] = 900 \text{ кГ/см}^2.$$

Жаоби.  $\delta = 16,7 \text{ мм.}$

## 7.2 §. УРИНМА КУЧЛАНИШ БҮЙИЧА МУСТАҲКАМЛИКНИ ТЕКШИРИШ

Балканинг мустаҳкамлигини нормал кучланиш бүйича текширишдан ташқари, баъзан уринма кучланиш бүйича текширишга ҳам түғри келади. Бу ұисоблашлар Д. И. Журавский формуласи бүйича олиб борилади:

$$\tau = \frac{QS_z}{bJ_z},$$

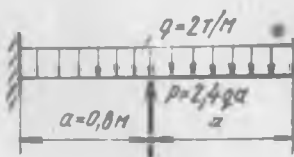
бу ерда  $\tau$  — кундаланг кесим ихтиёрній нүктасидаги уринма кучланиш;

$Q$  — балканинг берилган кесимидағи кесувчи куч;

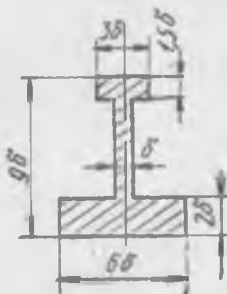
$S_z$  — нейтрал үққа нисбатан кундаланг кесим юзасининг уринма кучланишлар аниқланадиган сатқидан балка чеккасигача бұлған қисмининг статик моменти;

$b$  — кесимнинг  $\tau$  кучланиш аниқланадиган жойындағи кенглиги;

$J_z$  — нейтрал үққа нисбатан балка кундаланг кесимнинг инерция моменти.



7. 11- расм.



Тұғри түртбұрчак, құштавр, дои-ра шаклидаги кесимлар учун әнг катта уринма күчланишлар нейтрал үқда ҳосил бұлади. Бу ҳолда мустақамлік шарти құйидаги күрнишда бұлади:

$$\tau_{\max} = \frac{Q_{\max} S_{z_{\max}}}{b J_z} < [\tau],$$

бу ерда  $S_{z_{\max}}$  — ярим кесимнің нейтрал үққа нисбатан статик моменті.

а) *Тұғри түртбұрчак кесим*. Нейтрал үқдан у масофада-ги уринма күчланишлар құйидаги формулалар бүйінча ҳисоб-ланады:

$$\tau = \frac{6Q}{b^3} \left( \frac{h^3}{4} - y^2 \right) = \frac{3Q}{2bh} \left[ 1 - 4 \left( \frac{y}{h} \right)^2 \right].$$

Әнг катта уринма күчланишлар нейтрал үқ ( $y = 0$ ) нүкта-ларда ҳосил бұлади:

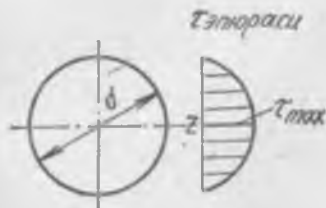
$$\tau_{\max} = \frac{3}{2} \frac{Q}{bh} = \frac{3}{2} \frac{Q}{F},$$

бу ерда  $F$  — балка күндаланг кесим юзі.

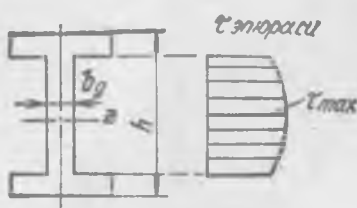
7.12-расмда тұғри түртбұрчак кесим учун уринма күчла-нишлар әпюраси тасвирланған. Кесим ихтиёрий нүкталаридаги уринма күчланишлар нагрузка текислигига параллел.

б) *Доиралы кесим*. Максимал уринма күчланишлар ней-траал үқдагы нүкталарда ҳосил бұлади (7.13-расм);

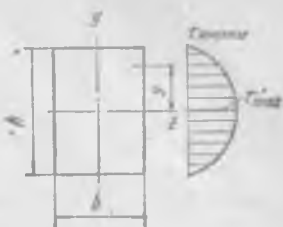
$$\tau_{\max} = \frac{4}{3} \frac{Q}{F}.$$



7. 13- расм.



7. 14- расм.



7. 12- расм.

в) *Күштаор кесим.* Максимал уринма кучланишлар нейтрагал ўқдаги нүкталарда ҳосил бўлади (7.14-расм):

$$\sigma_{\max} = \frac{QS_{z\max}}{b_{\text{дев}} J_z};$$

бу ерда  $b_{\text{дев}}$  — деворининг қалинлиги;

$S_{z\max}$  — ярим кесимининг нейтрал ўққа нисбатан статик моменти.

7.4-мисол. Балка материали учун әгилишда рухсат этилган кучланиш  $[\sigma] = 100 \text{ кГ/см}^2$  ва елим қатламининг силжишдаги рухсат этилган кучланиши  $[\tau] = 8 \text{ кГ/см}^2$  бўлса, елимланган ёғоч балканинг мустаҳкамлиги текширилсин (7.15-расм, а, г).

Ечиш. Таянч реакцияларини аниқлаб, кесувчи куч ва эгувчи момент эпюораларини қурамиз (7.15-расм, б, в).

Нормал кучланиш бўйича балкани мустаҳкамликка текшириш учун, кўндаланг кесимининг нейтрагал ўққа нисбатан инерция моменти ва қаршилик моментини аниқлаймиз.

$$J_z = \frac{12^3 \cdot 24}{12} - \frac{6^3 \cdot 10}{12} = 3276 \text{ см}^4;$$

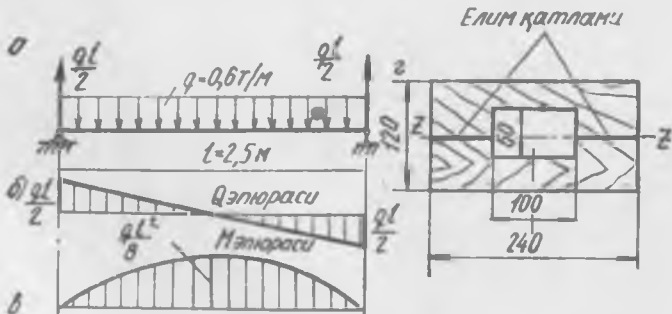
$$W_z = \frac{3276}{6} = 546 \text{ см}^3,$$

Балканинг хавфли кўндаланг кесимида (пролёт ўртасида) ҳосил бўладиган максимал нормал кучланишлар

$$\sigma_{\max} = \frac{M_{\max} \frac{q l^2}{8}}{W_z} = \frac{0,6 \cdot 2,5^2 \cdot 10^5}{8 \cdot 546} = 85,8 \text{ кГ/см}^2;$$

$\sigma_{\max} < [\sigma].$

Балканинг бўйлама (нейтрал қатламга параллел) кесимида ҳосил бўладиган уринма кучланишлар, унинг кўндаланг кесимидағи мос нүкталарда ҳосил бўладиган уринма кучланиш-



7. 15- расм.

ларга тенг. Елим қатламида энг катта уринма кучланиш балка таянчи яқинида, кесувчи күч энг катта қийматга эришадиган жойда ҳосил бўлади. Бу кучланишларни Журавский формуласидан аниқлаймиз:

$$\tau_{\max} = \frac{Q_{\max} S_{z_{\max}}}{J_z b},$$

бу ерда  $S_{z_{\max}}$  — ярим кесимнинг нейтрал ўққа нисбатан статик моменти;

$$S_{z_{\max}} = 24 \cdot 6 \cdot 3 - 10 \cdot 3 \cdot 1,5 = 387 \text{ см}^3;$$

$$Q_{\max} = \frac{qI}{2} = \frac{0,6 \cdot 2,5 \cdot 10^3}{2} = 750 \text{ кГ};$$

$b = 24 - 10 = 14 \text{ см}$  — нейтрал қатлам сатҳидаги кесим кенглиги.

Сон қийматларни ўрнига қўйиб, қўйидагини топамиз:

$$\tau_{\max} = \frac{750 \cdot 387}{3276 \cdot 14} = 6,33 \text{ кГ/см}^2;$$

$$\tau_{\max} < [\tau].$$

**7.5-мисол** Кесувчи күч  $Q = 160 \text{ кН}$  таъсир этадиган носим-мегрик қўштавр кесими балка учун уринма кучланишларнинг девор баландлиги бўйича тақсимланиш эпюраси қурилсин (7.16-расм). Деворнинг устки ва остки токчаларини бириктирувчи пайванд чоклардаги ҳисоблаш кучланишлари аниқлансин. Чокнинг катети  $k = 6 \text{ мм}$ .

Ечиш. Журавский формуласидан фойдаланиш учун кесимнинг нагрузка текислигига перпендикуляр бўлган марказий бош ўққа нисбатан инерция моментининг миқдорини билиш керак. Кесим оғирлик марказидан унинг остки қирғоги —  $z_1$  ўққача бўлган масофани топамиз (7.17-расм):

$$S_{z_1} = \frac{300 \cdot 6 \cdot 3 + 400 \cdot 6 \cdot 206 + 100 \cdot 8 \cdot 410}{30 \cdot 6 + 400 \cdot 6 + 100 \cdot 8} = 165,7 \text{ мм.}$$

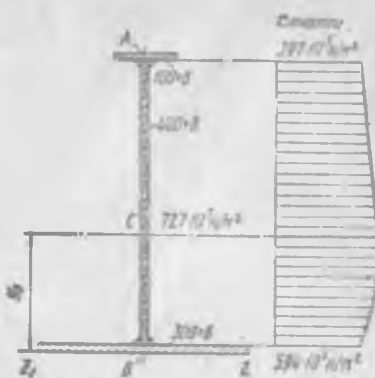
Кесимнинг  $z$  ўқига нисбатан инерция моменти (7.18-расмга қаранг):

$$J_z = \frac{10 \cdot 0,8^3}{12} + 10 \cdot 0,8(41 - 16,57)^2 + \frac{0,6 \cdot 40^3}{12} + 40 \cdot 0,6(20,6 - 16,57)^2 + \frac{30 \cdot 0,6^3}{12} + 30 \cdot 0,6(16,57 - 0,3)^2 = 13120 \text{ см}^4.$$

Кесим девори чегарасида  $\tau$  эпюраси квадрат парабола кўриннишида чизилган. Деворнинг 7.17-расмда белгиланган уч нуқтасида  $\tau$  ни ҳисоблаш билан чегараланамиз. Буннинг учун



7. 16-расм.



7. 17-расм.

кесим булакларининг нейтрал ўққа нисбатан мос статик моментларни аниқлаймиз:

$$S_{\text{зустки токча}} = 10 \cdot 0.8(41 - 16.57) = 195.5 \text{ см}^3;$$

$$S_{z_{\max}} = S_{\text{зустки токча}} + 0.6(40 - 15.97)^2 \cdot \frac{1}{2} = 368 \text{ см}^3;$$

$$S_{\text{зостки токча}} = 30 \cdot 0.6 \cdot 16.27 = 292.5 \text{ см}^3.$$

*A, C, B* нүкталардаги уринма кучланишларни ҳисоблаيمиз:

$$\tau = \frac{QS_{\text{зустки токча}}}{J_{zb} b_{\text{дев}}} = \frac{160 \cdot 10^3 \cdot 195.5 \cdot 10^{-6}}{13120 \cdot 10^{-3} \cdot 6 \cdot 10^{-3}} = 397 \cdot 10^5 \text{ Н/м}^2;$$

$$\tau_C = \tau_{\max} = \tau_A \cdot \frac{S_{z_{\max}}}{S_{\text{зустки токча}}} = 397 \cdot 10^5 \cdot \frac{368}{195.5} = 727 \cdot 10^5 \text{ Н/м}^2;$$

$$\tau_B = \tau_A \cdot \frac{S_{\text{зостки токча}}}{S_{\text{зустки токча}}} = 397 \cdot 10^5 \cdot \frac{292.5}{195.5} = 594 \cdot 10^5 \text{ Н/м}^2.$$

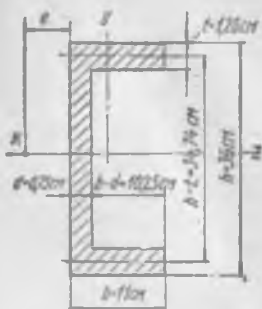
τ эпюраси 7.17-расмда келтирилган.

Пайванд чоклардан күпроқ юкланган остики токчани биректирувчисидир, унинг *z* ўқига нисбатан статик моменти устки токчанинг статик моментидан катта бўлади.

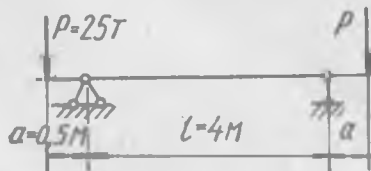
Оsgи токчани силжитувчи (балканинг узунлик бирлигига тўғри келалиган) куч  $T = \tau_B b_{\text{дев}} \cdot 1 = 594 \cdot 10^5 \cdot 0.6 \cdot 10^{-2} = 356.4 \cdot 10^3 \text{ Н/м}$ .

Бу куч ҳисоблаш қалинлиги 0,7 *k* ва узунлиги бирга тенг бўлган иккита пайванд чокка тўғри келади. Бу чоклардаги кучланишлар

$$\tau_{\text{нок}} = \frac{T}{2 \cdot 0.7 k} = \frac{356.4 \cdot 10^3}{2 \cdot 0.7 \cdot 6 \cdot 10^{-3}} = 426 \cdot 10^5 \text{ Н/м}^2 = 434 \text{ кГ/с.м}^2.$$



7. 18- расм.



7. 19- расм.

**7.6-мисол.** 36-номерли швейлер учун өгилиш марказининг ҳолати аниқлансин. Бурчак ва қирраларининг ясиланганлиги, точкаларининг оғиши назарга олинмасин (7.18-расм).

Ечиш. Кесимнинг өгилиш маркази деб, шу кесимда ҳосил буладиган уринма эластик кучларнинг тенг таъсир этувчиши қўйилган иуқтага айтилади. Өгилиш марказининг ҳолатини аниқлашнинг амалий аҳамияти шундаки, швейлер симметрия текислиги бўлмаган бош текисликда өгилганда, у өгилишдан ташқари буралиш таъсирини ҳам сезади, агар марказий бош ўқ у га параллел бўлган куч текислиги кундаланг кесимнинг өгилиш марказлар чизиги орқали ўтса, у ҳолда буралиш бўлмайди.

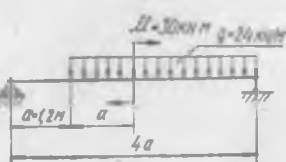
Эгилиш маркази ( $K$  нуқта) дан деворгача бўлган  $e$  масофа қўйидаги формуладан топилади:

$$e = \frac{(b - d)(h - t)^2}{4J_z} t,$$

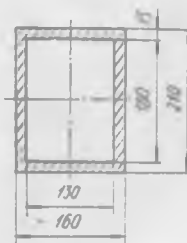


7. 20- расм.

бунда  $8240 - 56$  ГОСТ жадвали бўйича  
 $b = 11\text{ см}; h = 36\text{ см}; d = 0,75\text{ см}; t = 1,26\text{ см}; J_z = 10820\text{ см}^4$ .



7. 21- расм.



Сон қийматларни олдинги формулага құйиб, құпидаги на-  
тижани ҳосил қиласыз:

$$e = \frac{(11 - 0,75)^2(36 - 1,26)^2}{4 \cdot 10820} \cdot 1,26 = 3,67 \text{ см.}$$

### Мустақил ечиш учун масалалар

7.7. 7.19-расмда көлтирилған балка учун  $[\sigma] = 1600 \text{ кГ/см}^2$ ,  $[\tau] = 1000 \text{ кГ/см}^2$  бўлса, қўштаврли балка кесими танлаб олини-  
син.

Жавоби. 36-номер.

7.8. Балканинг кўндаланг кесимида (7.20-расм) симметрия  
ўқи бўйлаб йўналган  $Q=7 \text{ Г}$  кесувчи күч ҳосил бўлади.  
Балка деворининг  $A$  ва  $B$  нуқталаридаги уринма кучланишлар  
ҳисоблансан.

Жавоби.  $\tau_A = 408 \text{ кГ/см}^2$ ,  $\tau_B = 241 \text{ кГ/см}^2$ .

7.9. 7.21-расмда тасвирланган балканинг кўндаланг кесими-  
да ҳосил бўладиган энг катта уринма кучланиш аниқлансан.

Жавоби.  $12 \text{ кН/мм}^2$ .

## VIII бөб

### ТҮФРИ ЭГИЛИШДА БАЛКАЛАРДАГИ КҮЧИШЛАРНИ АНИҚЛАШ

#### 8.1-§. АСОСИЙ ҚОИДАЛАР

Балка инерция бош текисликларидан бирида жойлашган ва унинг ўқига үтказилган нормал бўйича йўналган ташқи кучлар таъсирида түфри эгилади, балканинг ўқи куч текислигида буралади. Деформацияланган балка ўқи эластик чизиқ дейилади.

Балканинг деформацияси икки миқдор билан характерлади: 1) салқилик, яъни балка ўқи нуқталарининг балканинг деформацияланмаган ўқига перпендикуляр йуналишдаги кучиши, ва 2) буралиш бурчаги, яъни ҳар бир кундаланг кесимнинг нейтрал ўқи атрофида узининг бошланғич ҳолатига<sup>\*</sup> нисбатан буралиш бурчаги.

Салқиликни у ҳарфи билан, буралиш бурчагини эса 6 ҳарфи билан белгилаймиз (8.1-расм). Энг катта салқилик салқилик стреласи деб аталади ва  $y''$  билан белгиланади.

Шуни таъкидлаш керакки, кесим буралиш бурчаги  $\theta$  эластик чизиққа үтказилган уринманинг  $x$  ўқига, оғиш бурчагига (томонлари ўзаро перпендикуляр бўлган бурчаклар бўлгани учун) тенг бўлади.

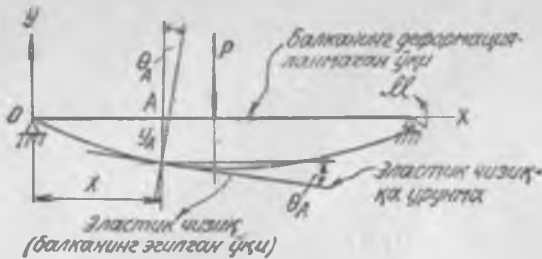
Берилган юкланишдаги салқилик у билан координата  $x$  орасидаги муносабатни ифодаловчи  $y = f(x)$  тенглама эластик чизиқ тенгламаси дейилади.

Ҳосиланинг геометрик маъноси ҳақидағи мълум қоидага асоссан

$$\operatorname{tg} \theta = \frac{dy}{dx}.$$

\* Балка кўндаланг кесимининг ўқ бўйлаб кўчиши өғилиш салқилигига нисбатан юқори тартибли кичик миқдор бўлгани учун унинг қиймати назарга олинимайди.

\*\* Пўлат балканинг салқилик стреласи ёпмалар балкаси учун  $\frac{l}{400} \div \frac{l}{250}$ , мран ости балкаси ва кран кўприклари учун  $\frac{l}{700} \div \frac{l}{1000}$  дан ошмаслини кепрек, бу ерда  $l$  — балка пролёти.



### 8. 1-расм.

Амалда күндаланг кесим буралиш бурчаги күпинча  $\theta < 1^\circ$ , шунинг учун  $\operatorname{tg}\theta \approx \theta$  деб қабул қилиш мүмкін. У вақтда құйыдаги тенгликтің қосылғыштарының қарашасынан:

$$0 = \frac{dy}{dx},$$

Түгри эгилишда эластик чизнүнинг эгрилиги, эгувчи момент ва балканинг кўндаланг кесими бикрлиги орасида қўйнадаги муносабат мавжуддир:

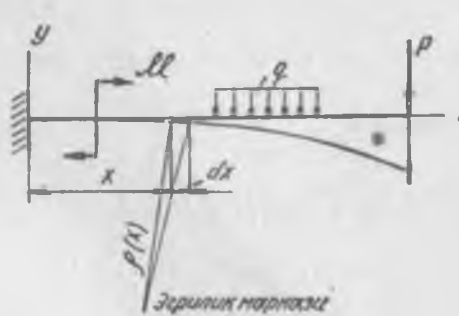
$$\frac{1}{\rho(x)} = \frac{M(x)}{EJ_x},$$

Бу ерда  $p(x)$ —балка эластик чизигининг координата бошидан  $x$  масофада турған нүктадаги әгриллик радиусы (8.2-расм);

$M(x)$  — балканинг ўша кесимидағи әгувчи момент;  
 $EJ_z$  — балка күндаланг кесимининг бикрлиги.

Келтирилган муносабатдан балка эластик чизигининг тақрибий дифференциал тенгламаси келиб чиқади:

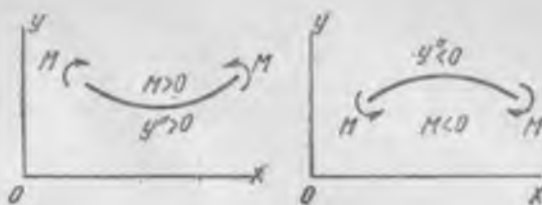
$$EJ_s y'' = M(x).$$



#### 8. 2-расм.

у ўқи юқорига қараб йұналғанда (8.3-расм) тенгламанинг чап ва ўнг томонлари ҳамма вақт бир хил ишорали бўлади.

Эластик чизиқнинг тақрибий дифференциал тенгламасини интеграллаш йўли билан балка кесимининг буралиш бурчаги ва салқилиги учун ифодалар ҳосил қилинади.



Б. 3-расм.

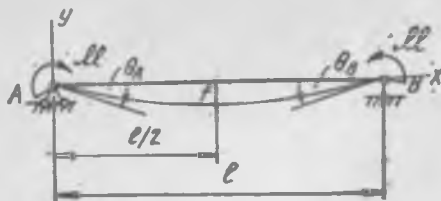
## 8.2-§. БЕВОСИТА ИНТЕГРАЛЛАШ УСУЛИ БИЛАН КҮЧИШНИ АНИҚЛАШ

Эластик чизиқнинг тақрибий дифференциал тенгламасини икки марта интеграллаш натижасида кейинчалик аниқланиши лозим бўлган интеграллаш ўзгармаслари ҳосил бўлади.

Агар балкада битта юкланиш участкаси бўлса, у ҳолда 2 ўзгармас бўлади,  $n$  та участкада эса,  $2n$  та ўзгармас бўлади. Уларни аниқлаш учун балка учларининг маҳкамланиш шартларидаи, шунигдек, эластик чизиқнинг участкалар чегараларида текис ва узлуксизлик хоссаларидан фойдаланиш зарурдир.

Шуни эслатиш керакки, балканинг эгилган ўқи (эластик чизиги) текис ва узлуксизлик шартидан балканинг ҳар бир кўндаланг кесимида салқилик қиймати ва буралиш бурчаги қиймати ягона булиши келиб чиқади. Шундай қилиб, ўзгармасларни  $2n$  та тенгламадан аниқлашнинг имконияти ҳамма вақт бўлади; бу масала балка бир неча юкланиш участкаларига эга бўлганда ҳисобни қийинлаштириб юборади. Аммо, эластик чизиқнинг тақрибий дифференциал тенгламасини интеграллаша маҳсус йўлларни татбиқ этиб, участкаларда ўзгармасларни тенглигига эришиш мумкин ва масалани участкалар сони исталганча бўлганда ҳам фақатгина иккита ўзгармасни аниқлашга келтириш мумкин. Бунинг учун қўйндиғиларга амал қилиш керак:

- 1) тенгламаларни қавсларни очмасдан интеграллаш;
- 2)  $M(x)$  әгувчи момент учун тузилган ифодада тупланган момент  $M$  дан ҳосил бўлган қушилувчини ушбу  $M(x-a)^0$  куринишида ёзиш, бу ерда  $a - M$  момент қўйилган кесимнинг абсциссани; координата боши—балканинг чап ёки ўнг учи;
- 3) агар балканинг бирор участкасида салқилик (ёки буралиш бурчаги) аниқланадиган кесимгача етмайдиган текис тақсимланган нагрузка таъсир қилса, у ҳолда уни шу кесимгача давом эттириш керак, шу билан бирга компенсация сифатида ўша интенсивликдаги, лекин қарама-қарши йўналган нагрузкани қўйиш лозим.



8. 4- расм.

**8.1-мисол.** Балканинг таянч кесимларидаги буралиш бурчаклари ва ўтасидаги салқилиги топилсан (8.4-расм).

**Е чи ш.** Ўз-ўзидан маълумки, таянч реакциялари нолга тенг. Балка битта участкага эга. Эластик чизиқнинг тақрибий дифференциал тенгламаси қўйидаги куринишда ёзилади:

$$EJ_z y'' = M(x) = \mathcal{M} \quad (1)$$

Уни икки марта интеграллаймиз:

$$EJ_z y' = \mathcal{M} x + C; \quad (2)$$

$$EJ_z y = \frac{\mathcal{M} x^2}{2} + Cx + D. \quad (3)$$

Интеграллаш ўзгармаслари  $C$  ва  $D$  ларни балка учларининг маҳкамланиш шартидан топамиз.

$A$  ва  $B$  таянчларда салқилик нолга тенг бўлгани учун  $y = y_A = 0$  ва  $y_l = y_B = 0$  ларни ёзиш мумкин.

Бу икки шартни навбат билан (3) тенгламага қўйиб, қўйидагиларни топамиз:

$$D = 0 \text{ ва } \frac{\mathcal{M} l^2}{2} + Cl = 0,$$

$$\text{бундаи } C = -\frac{\mathcal{M} l}{2}.$$

$C$  ва  $D$  ларнинг топилган қийматларини (2) ва (3) тенгламаларга қўйамиз. У вақтда:

$$\theta = y' = \frac{1}{EJ_z} \left( \mathcal{M} \cdot x - \frac{\mathcal{M} l}{2} \right);$$

$$y = \frac{1}{EJ_z} \left( \frac{\mathcal{M} x^2}{2} - \frac{\mathcal{M} l x}{2} \right).$$

Бу тентгламалар бўйича буралиш бурчаги  $\theta$  ни ва салқилик  $y$ ни берилган балканинг ихтиёрий кесимида ҳисоблаш мумкин.

Кўчишларнинг энг катта қийматлари (абсолют миқдори бўйича), яъни  $\theta_{\max}$  ва  $y_{\max}$  лар амалий аҳамиятга эгадир.

$A$  таянч кесимининг буралиш бурчаги

$$\theta_A = \theta_o = -\frac{\mathcal{M} l}{2EJ_z},$$

Үнг таянчда эса,

$$\theta_A = \theta_B = \frac{\mathcal{M}l}{2EJ_z}.$$

$\theta_A$  ва  $\theta_B$  бурчаклари бир-биридан фақатгина ишоралари билан фарқ қиласди:  $A$  кесим соат стрелкаси бўйича буралади,  $B$  кесим эса унга қарама-қарши. Симметрия шартига кўра, энг катта салқилик (салқилик стреласи) балканинг ўртасида бўлади деган хуносага келамиз (бу кесимда  $\theta = 0$ ):

$$f = y_{\frac{l}{2}} = -\frac{\mathcal{M}l}{8EJ_z}.$$

Бу ерда  $(-)$  ишора балканинг пастга, яъни у нинг манфий қийматлари томонга қараб эгилишини кўрсатади.

$C$  ва  $D$  ўзгармасларнинг кесимнинг бикрлиги  $EJ_z$  га нисбати мос равишда координата бошида, кесимнинг буралаш бурчаги ва салқилигини ифода қилишини таъкидлаб ўтамиз.

**8.2-мисол.** Консонлинг ўртасидаги ва эркин учидаги салқиликлар топилсан (8.5-расм, а).

**Е ч и ш.** Маҳкамланган таянчдаги реакцияларни аниқлаймиз:

$$\sum Y = 0; R_A - q \frac{l}{4} - q \frac{l}{4} = 0,$$

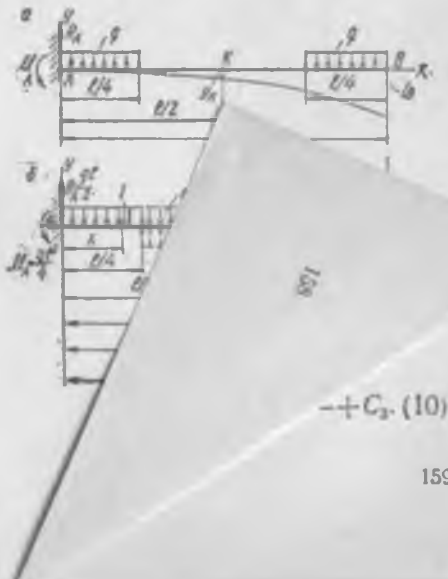
$$\text{бундан } R_A = \frac{qL}{2};$$

$$\sum m_A = 0; -\mathcal{M}_A + \frac{qL}{4} \cdot \frac{l}{8} + \frac{qL}{4} \cdot \frac{7}{8} l = 0,$$

$$\text{бундан } \mathcal{M}_A = \frac{qL^2}{4}.$$

$y_B$  ва  $y_C$  салқиликларни аниқлаш учун эластик чизиқ дифференциал тенгламасини интеграллашдан фойдаланамиз ва балканинг бир неча юклиниш участкалари бўланда интеграллаш ўзгармаслар сонинн камайтириш учун 155-бетда тавсия этилган қоидаларни татбиқ этамиз.

Координата бошини консонлинг чап учига (маҳкамланган таянчга) жойлаштириб, у ўқни



юқорига,  $x$  үкни эса үнгга йұналтирамиз Биринчи участка учун әластик чизиқ дифференциал тенгламасының өзармаз үшін иккінші марта интеграллаймиз:

$$\text{I. } 0 < x \leq \frac{l}{4};$$

$$EJ_z y_1'' = M_1(x);$$

$$M_1(x) = -\mathcal{M}_A + R_A x - \frac{qx^2}{2} = -\frac{qI^2}{4} + \frac{ql}{2}x - \frac{qx^2}{2},$$

у вақтда

$$EJ_z y_1' = -\frac{qI^2}{4} + \frac{ql}{2}x - \frac{qx^2}{2}; \quad (1)$$

$$EJ_z y_1' = -\frac{qI^2}{4}x + \frac{qIx^2}{4} - \frac{qx^3}{6} + C_1; \quad (2)$$

$$EJ_z y_1 = -\frac{qI^2 x^2}{8} + \frac{qIx^3}{12} - \frac{qx^4}{24} + C_1 x + D_1. \quad (3)$$

$C_1$  ва  $D_1$  интеграллаш үзгармасларини башланғыч шартлардан топамиз:

a)  $y_{1x=0} = \theta_A = 0;$

b)  $y_{1z=0} = y_A = 0.$

(2) тенглама билан а) шартни, (3) тенглама билан эса б) шартни бирга қараб,  $C_1 = 0$  ва  $D_1 = 0$  ни ҳосил қиласыз.

Иккінчи ва үчинчи участкаларға үтганды текис тақсимланған нагружкани консол охирингача давом эттириш зарур, компенсациясы учун худди шундай нагружкани қарама-қарши йұналишда құйиши керак (8.5-расм, б). Иккінчи участкада құйидагиларни ҳосил қиласыз.

$$\text{II. } \frac{l}{4} < x \leq \frac{3l}{4};$$

$$EJ_z y_2'' = M_2(x);$$

$$M_2(x) = -\frac{qI^2}{4} + \frac{ql}{2}x - \frac{qx^2}{2} + \frac{q\left(x - \frac{l}{4}\right)^2}{2}.$$

Иккінчи участка учун әластик чизиқ дифференциал тенгламасы

$$EJ_z y_2' = -\frac{qI^2}{4} + \frac{ql}{2}x - \frac{qx^2}{2} + \frac{q\left(x - \frac{l}{4}\right)^2}{2}. \quad (4)$$

Кавсни очмасдан бу тенгламани икки марта интеграллаймиз:

$$EJ_x y_2' = -\frac{q l^2 x}{4} + \frac{q l x^2}{4} - \frac{q x^3}{6} + \frac{q \left(x - \frac{l}{4}\right)^3}{6} + C_2; \quad (5)$$

$$EJ_x y_2 = -\frac{q l^2 x^2}{8} + \frac{q l x^3}{12} - \frac{q x^4}{24} + \frac{q \left(x - \frac{l}{4}\right)^4}{24} + C_2 x + D_2. \quad (6)$$

Участкаларда интеграллаш ўзгармасларининг тенглигига эришдикми-йуқми, шуни текшириб кўрамиз. Биринчи ва иккичи участкаларининг чегарасида эластик чизиқнинг текис ва узлуксиэлик шартига мувофиқ қўйидагиларни ёзамиш:

в)  $y_{1,x=\frac{l}{4}}' = y_{2,x=\frac{l}{4}}$ , бундан  $C_1 = C_2 = 0$  эканлигини ҳосил қиласмиш:

$$\text{г) } y_{1,x=\frac{l}{4}} = y_{2,x=\frac{l}{4}}; \text{ бундан } D_1 = D_2 = 0 \text{ булади.}$$

Салқилик тенгламаси (6) ни қўйидаги кўринишда ёзамиш:

$$y_2 = \frac{1}{EJ_x} \left[ -\frac{q l^2 x^2}{8} + \frac{q l x^3}{12} - \frac{q x^4}{24} + \frac{q \left(x - \frac{l}{4}\right)^4}{24} \right]. \quad (7)$$

Бу тенгламадан  $K$  кесимнинг әглишини топамиш:

$$y_K = y_{2,x=\frac{l}{4}} = \frac{1}{EJ_x} \left[ -\frac{q l^4}{32} + \frac{q l^4}{96} - \frac{q l^4}{384} + \frac{q l^4}{6144} \right] = -\frac{143 q l^4}{6144 EJ_x}. \quad (8)$$

Ниҳоят, учинчи участкага ўтамиш.

III.  $\frac{3}{4}l < x < l$ :

$$EJ_x y_3' = M_3(x),$$

бу ерда

$$M_3(x) = -\frac{q l^4}{4} + \frac{q l}{2} x - \frac{q x^2}{2} + \frac{q \left(x - \frac{l}{4}\right)^2}{2} - \frac{q \left(x - \frac{3}{4}l\right)^2}{2},$$

бундан:

$$EJ_x y_3' = -\frac{q l^2}{4} + \frac{q l}{2} x - \frac{q x^2}{2} + \frac{q \left(x - \frac{l}{4}\right)^2}{2} - \frac{q \left(x - \frac{3}{4}l\right)^2}{2} \quad (9)$$

икки марга интеграллагандан кейин қўйидагиларни ҳосил қиласмиш:

$$EJ_x y_3' = -\frac{q l^2 x}{4} + \frac{q l x^2}{4} - \frac{q x^3}{6} + \frac{q \left(x - \frac{l}{4}\right)^2}{6} - \frac{q \left(x - \frac{3}{4}l\right)^2}{6} + C_3. \quad (10)$$

$$EJ_z y_3 = -\frac{q l^3 x^2}{8} + \frac{q l x^3}{12} - \frac{q x^4}{24} + \\ + \frac{q \left(x - \frac{l}{4}\right)^4}{24} - \frac{q \left(x - \frac{3}{4}l\right)^4}{24} + C_3 x + D_3 \quad (11)$$

Иккинчи ва учинчи участкаларнинг чегарасида, юқорида баён этилганга ўхшаш, күйидагиларни ёза оламиз:

д)  $y_{2x-\frac{3}{4}l} = y_{3x-\frac{3}{4}l}$  [(5) ва (10) тенгламаларга қаранг], бундан мос равишда ўрнига қўйишларни бажаргандан сунг:

$$C_2 = C_3 = 0;$$

е)  $y_{2x-\frac{3}{4}l} = y_{3x-\frac{3}{4}l}$ , бундан  $D_2 = D_3 = 0$  бўлади.

Шундай қилиб, қатор шартларга риоя қилинганда участкаларда мос интеграллаш ўзгармасларининг тенглигига эришиш мумкин ва масалани участкалар сони исталганча бўлганда ҳам фақатгина икки ўзгармас  $C$  ва  $D$  ларни аниқлашга келтириш мумкинлигига ишонч ҳосил қилдик.

Кўриб чиқилаётган ҳолда қўйидагилар ҳосил бўлди:

$$\begin{aligned} C_1 - C_2 - C_3 - C &= 0, \\ D_1 - D_2 - D_3 - D &= 0. \end{aligned}$$

(11) тенгламага  $x = l$  қийматни қўйиб,  $B$  кесимдаги, яъни консол учидаги салқиликни топамиз:

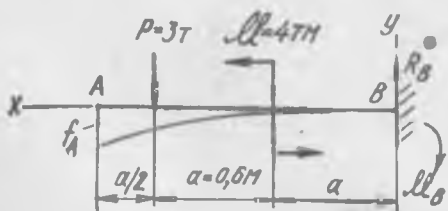
$$y_B = y_{3x-l} = \frac{1}{EJ_z} \left[ -\frac{q l^4}{8} + \frac{q l^4}{12} - \frac{q l^4}{24} + \frac{81 q l^4}{6144} - \frac{q l^4}{6144} \right] = -\frac{432 q l^4}{6144 EJ_z}$$

ёки оқибатда

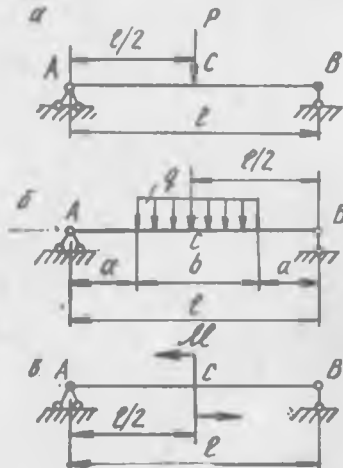
$$f_B = |y_B| = \frac{9}{128} \frac{q l^4}{EJ_z}. \quad (12)$$

**Мустақил ечиш учун масалалар**

**8.1. Бикрлиги энг катта миқдорга эга бўладиган текисликда**



8. 6- расм.



8. 7- расм.

эгиладиган 30 – номерли құштавр консол балка A әркін учининг салқынлиги топилсін (8.6-расм).

$$E = 2 \cdot 10^6 \text{ кГ/см}^2 \text{ қабул қилинсін.}$$

$$\text{Жағоби. } |y_A| = f_A = 0,371 \text{ см.}$$

**8.2.** Схемаси 8.7-расмда күрсатылған балка учун  $\theta_A$ ,  $\theta_B$ ,  $\theta_C$ ,  $y_C$  лар анықлансын.

$$\text{Жағоблари. а) } \theta_B = -\theta_A = \frac{Pb^3}{16EJ_z}; \quad \theta_C = 0; \quad y_C = -\frac{Pb^3}{48EJ_z};$$

$$\text{б) } \theta_A = -\theta_B = \frac{qb^3}{48EJ_z} - \frac{qb^3}{16EJ_z}; \quad \theta_C = 0; \quad y_C = \frac{qb^3 \left(2l - \frac{b}{2}\right)}{192EJ_z} - \frac{qb^3}{48EJ_z};$$

$$\text{в) } \theta_A = \theta_B = -\frac{\mathcal{M}l}{24FJ_z}; \quad \theta_C = \frac{\mathcal{M}l}{12EJ_z}, \quad y_C = 0.$$

### 8.3-§. КҮЧИШЛАРНИ БОШЛАНГИЧ ПАРАМЕТРЛАР УСУЛИ БИЛАН АНИҚЛАШ\*

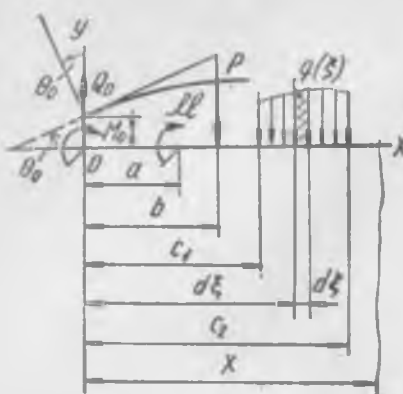
Бошлангич параметрлар усули балканинг барча участкалари учун ўринилған бүлгап битта салқынлик (әки кесимнинг буралиш бурчаги) тенгламасини ёзишга имконият беради, шунинг учун бу тенгламаны универсал әки умумлашған тенглама дейилади.

Үзгармас кесимли балка учун нагрузка ва үқларнинг күрсатылған йұналишларда барча асосий нагрузка типлари: түпленған момент, тупланған күч, үзгарувчи интенсивли әйилған нагрузкани ҳисобға олувчи эластик чизікнинг универсал тенгламаси (профессор А. П. Коробов томонидан тавсия қилинған формада) құйыдаги күриниша бўлади:

$$y = y_0 + \theta_0 x + \frac{M_0 x^2}{2EJ_z} + \frac{Q_0 x^3}{6EJ_z} + \sum_{x>0} \frac{\mathcal{M}(x-a)^2}{2EJ_z} - \sum_{x>b} \frac{F(x-b)^3}{6EJ_z} - \sum_{c_1} \int_{c_1}^{x_1} \frac{q(\xi)(x-\xi)^3 d\xi}{6EJ_z}.$$

Бу ерда  $y_0$ ,  $\theta_0$ ,  $M_0$  ва  $Q_0$  – бошлангич параметрлар:  $y_0$  – координата бошидаги салқынлик;  $\theta_0$  – бошлангич кесимнинг буралиш бурчаги;  $M_0$  – бошлангич кесимдаги әгувчи момент;  $Q_0$  – уша кесимдаги кесувчы күч. Шуни таъкидлаш керакки,  $y_0$  ва  $\theta_0$  лар геометрик факторлар,  $M_0$  ва  $Q_0$  лар эса күч факторлари.

\* Бу масала Б. А. Ободовскийнинг Жданов металлургия институтыда күл ёзма әдіккә асосида босилған „Определение перемещений в балках методом начальных параметров“ үкүв құлланылғасыда тұла ёрнтилған (1961).



#### 8. 8-расм.

бўйича йўналган;  $Q_0$  — юқорига йўналган. Бошлангич параметрлар усули тенгламасидаги бошқа кўшилувчиларга келсақ, уларнинг ишоралари берилган нагрузка абсциссаси  $x$  булган кесимда мусбат ёки манфий эгувчи момент ташкил қила олишига қараб аниқланади.

Тенгламага кирадиган охирги қүшилувчи ўзгарувчи интенсивли  $q(\xi)$  ёйилган нагруззканинг таъсирини ифодалайди, бу ерда  $c_1 < \xi < c_2$  ўша нагруззканинг балкадаги ҳолатини қайд қиласиди.

(узгич) белгиси мос қүшилувчни фақат  $x > a$  булганда назарга олиш кераклигини күрсатади. Бу эса  $x$  координаталы бирорта кесимдаги салқиликни аниқлашда тенгламага фақат шу кесимдан чапда жойлашган нагрузкаларгина киришини билдиради. Агар ихтиёрий қонун билан тақсимланган нагрузка ўрнига түғри чизиқ қонуни билан (трапеция қонуни билан) тақсимланган нагрузка қўйилган бўлса, у ҳолда салқиликнинг универсал тенгламаси соддалашади ва қўйидаги қўринишни олади (8.9-расм):

$$y = y_0 + \theta_0 x + \frac{M_0 x^2}{2EJ_z} + \frac{Q_0 x^3}{6EJ_z} + \sum_{x>a} \frac{\mathcal{M}(x-a)^2}{2EJ_z} - \sum_{x>b} \frac{P(x-b)^3}{6EJ_z} - \\ - \sum_{x>c_1} \frac{q_1(x-c_1)^4}{24EJ_z} + \sum_{x>c_1} \frac{q_2(x-c_2)^4}{24EJ_z} - \sum_{x>c_1} \frac{k(x-c_1)^5}{120EJ_z} + \\ + \sum_{x>c_2} \frac{k(x-c_2)^5}{120EJ_z},$$

5) ерда

$$k = \frac{q_2 - q_1}{c_2 - c_1} = \tan \alpha.$$

Шундағы қилиб, салқиңликнинг универсал тенгламасига құйидаги қүшилувчишілар: а) бошланғич параметрлер учун — тұртта, б) ташқи момент учун — бигта, в) тұпланған күч учун — битта, г) тұғри чизик қосуны билан тақсимланған нагружка учун — тұртта киради. Трапеция күринишидеги нагружка текис тақсимланған ва учбурчак шаклидеги нагружкалардан таркиб топғани учун бұ қолда тұртта қүшилувчидан иккитаси текис тақсимланған нагружзака, яна иккитаси учбурчак шаклидеги нағрузкага тұғри келади. Шуни таъкидлаш керакки, бошланғич параметрлардан ташқары барча қүшилувчишілар шу күринишидағы ҳамма нағрузкаларға тааллуқлы бұлған йиғинди ишорасы остидадыр. Салқиңликнинг ана шу күринишидеги универсал тенгламаси амалда фойдаланишга (ва эсда сақлаг қолишиңа) тавсия этилади.

Буралиш бурчагининг тенгламасини салқиңлик тенгламасынан  $x$  координата бүйінча ҳосиланы ҳисоблаш Аўли билан осон-гина ҳосил қилиш мүмкін.

**8.3- мисол.** Консол әркін учининг салқиңлигі ва айланиш бурчаги аниқланын (8.10- расм).

Ечиш. Универсал тенгламага мурожаат қилиб, берилған консол учун эластик чизик тенгламасини құйидаги күринишида әзамиз:

$$y = y_0 + \theta_0 x + \frac{M_0 x^3}{2EJ_z} + \frac{Q_0 x^2}{6EJ_z} - \left| \begin{array}{l} \frac{F \left( x - \frac{l}{2} \right)^3}{6EJ_z} \\ + \frac{(x-l)^3}{2EJ_z} \end{array} \right| \quad (1)$$

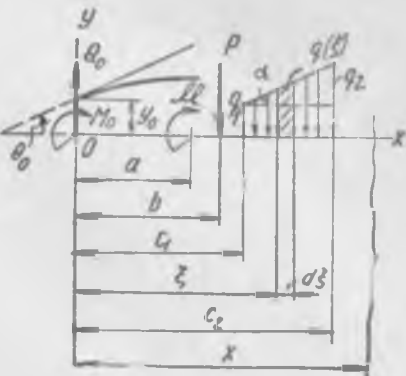
Бошланғич предметларни  $AB$  консол чап учининг маҳкамаланиш шартидан ва мувозанат тенгламасыдан топамиз:

$$y_0 = 0; \theta_0 = 0;$$

(чап учи маҳкамланған бүлгани учун)

$$M_0 \neq 0; Q_0 \neq 0.$$

$$\sum m_A = 0; -M_A + P \frac{l}{2} + M = 0,$$



8. 9-расм.



8. 10-расм.

бундан

$$\mathcal{M}_A = \mathcal{M} + \frac{Pl}{2}; \quad \sum Y = 0; \quad R_A - P = 0; \quad R_A = P,$$

яъни

$$M_0 = -\mathcal{M}_A = -\left(\mathcal{M} + \frac{Pl}{2}\right)$$

ва

$$Q_0 = R_A = P.$$

Бошланғыч параметрларнинг қийматини назарга олиб, (1) тенгламани қайтадан қўйидаги кўринишда ёзамиз:

$$y = -\frac{\mathcal{M}x^3}{2EJ_z} - \frac{Plx^3}{4EJ_z} + \frac{Px^3}{6EJ_z} - \frac{P\left(x-\frac{l}{2}\right)^3}{6EJ_z} \left| \begin{array}{l} + \frac{\mathcal{M}(x-l)^3}{2EJ_z} \\ x > \frac{l}{2} \end{array} \right. \quad (2)$$

**Эслатма.** Ўз-ўзидан маълумки, охирги қўшилувчини назарга олиш керак эмас, чунки у фақат  $x > l$  бўлганда мазмунга эга, яъни балкадан ташқарида жойлашган ҳафлий участкага тааллуқлайдир. Шунинг учун кейинги мисолларда шунга ўхшаш қўшилувчиларни тушириб қолдирамиз.

(2) тенгламага  $x = l$  ни қўйиб, изланадиган салқиликни топамиз:

$$y_B = y_{x=l} = -\frac{\mathcal{M}l^3}{2EJ_z} - \frac{Pl^3}{4EJ_z} + \frac{Pl^3}{6EJ_z} - \frac{Pl^3}{48EJ_z}.$$

Ўхшаш ҳадларни ихчамлагандан кейин, қўйидаги натижа ҳосил бўлади:

$$y_B = -\frac{\mathcal{M}l^3}{2EJ_z} - \frac{5Pl^3}{48EJ_z}. \quad (3)$$

Салқилик тенгламаси (2) дан  $x$  координата бўйича ҳосила олиб, кесим буралиш бурчагининг тенгламасини топамиз:

$$\theta = \theta' = -\frac{\mathcal{M}x}{EJ_z} - \frac{Plx}{2EJ_z} + \frac{Px^2}{2EJ_z} - \frac{P\left(x-\frac{l}{2}\right)^2}{2EJ_z} \left| \begin{array}{l} \\ x > \frac{l}{2} \end{array} \right. \quad (4)$$

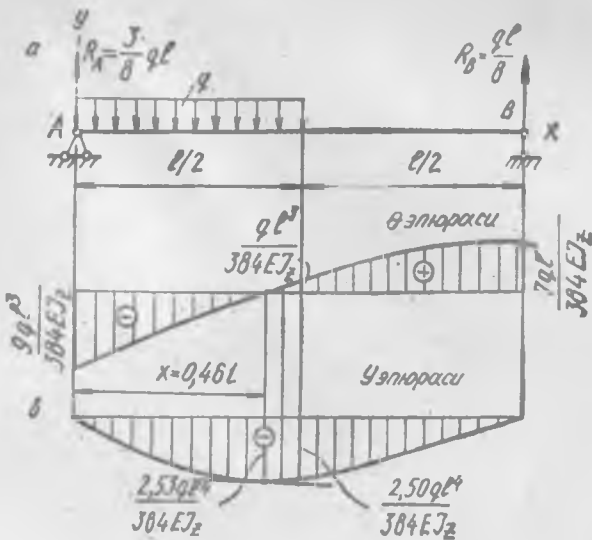
(4) тенгламага  $x = l$  ни қўйиб,  $B$  уни орқали ўтувчи кесимнинг буралиш бурчагини ҳосил қиласиз:

$$\theta_B = \theta_{x=l} = -\frac{\mathcal{M}l}{EJ_z} - \frac{Pl^2}{2EJ_z} + \frac{Pl^2}{2EJ_z} - \frac{Pl^2}{8EJ_z}$$

ёки пировардида:

$$\theta_B = -\frac{\mathcal{M}l}{EJ_z} - \frac{Pl^2}{8EJ_z}.$$

**8.4- мисол.** Бикрлиги ўзгармас балка (8.11-расм, а) учун кесим буралиш бурчаги ва салқилик эпюралари қурилсин.



8. 11- расм.

Ечиш. Берилган балка учун эластик чизик тенгламаси қуидаги күринишида бўлади:

$$y = y_0 + \theta_0 x + \frac{M_0 x^2}{2EJ_z} + \frac{Q_0 x^3}{6EJ_z} - \frac{qx^4}{24EJ_z} + \frac{q\left(x - \frac{l}{2}\right)^4}{24EJ_z} \quad (1)$$

$x > \frac{l}{2}$

Бу ерда охирги қушилувчи берилган нагрузкани балка учигача давом эттирилганда компенсация учун унинг ўнг томонига қўйилган (юқорига қараб йўналган) ёйилган нагрузкани ҳисобга олади. Давом эттирилган ва компенсация қилувчи нагрузкалар чизмада кўрсатилган эмас.

Бошлангич параметлар:

$$y_0 = 0; \quad \theta_0 \neq 0;$$

$$M_0 = 0; \quad Q_0 \neq 0.$$

Мувозанат шартидан таянч реакцияси  $R_A$  ни топамиз:

$$\sum m_B = 0; \quad R_A l - q \frac{l}{2} \cdot \frac{3}{4} l = 0,$$

бундан

$$R_A = \frac{3}{8} ql, \quad \left( R_B = \frac{9}{2} - \frac{3}{8} ql - \frac{1}{8} ql \right).$$

Бу ердан қүйидагиларни ҳосил қиласыз:

$$Q_0 - R_A = \frac{3}{8} qL.$$

$Q_0$  нинг қийматини ҳисобга олиб, (1) тенгламани қүйидагича өзамиз:

$$y = \theta_0 x + \frac{qIx^3}{16EJ_z} - \frac{qx^4}{24EJ_z} + \frac{q\left(x - \frac{l}{2}\right)^4}{24EJ_z} \quad \left| \begin{array}{l} \\ \\ x > \frac{l}{2} \end{array} \right. \quad (2)$$

$\theta_0$  нинг қийматини балканинг ўнг учидағи салқилик нолга тенглиги шарттан топамиз:

$$y_{x=l} - y_B = 0,$$

яъни

$$\theta_0 l + \frac{ql^4}{16EJ_z} - \frac{ql^4}{24EJ_z} + \frac{ql^4}{384EJ_z} = 0,$$

бундан

$$\theta_0 = \theta_A = -\frac{9ql^3}{384EJ_z}. \quad (3)$$

Балқа эгилган ўқининг тенгламасы қүйидаги күринишда бўлади:

$$y = -\frac{9ql^3x}{384EJ_z} + \frac{qIx^3}{16EJ_z} - \frac{qx^4}{24EJ_z} + \frac{q\left(x - \frac{l}{2}\right)^4}{24EJ_z} \quad \left| \begin{array}{l} \\ \\ x > \frac{l}{2} \end{array} \right. \quad (4)$$

Бундан кесим буралиш бурчагининг тенгламасини осонгина ҳосил қиласыз:

$$\theta - y' = -\frac{9ql^3}{384EJ_z} + \frac{3qlx^2}{16EJ_z} - \frac{qx^3}{6EJ_z} + \frac{q\left(x - \frac{l}{2}\right)^3}{6EJ_z} \quad \left| \begin{array}{l} \\ \\ x > \frac{l}{2} \end{array} \right. \quad (5)$$

Абсцисса  $x$  га ҳар хил қийматлар берниб,  $\theta$  эпюрасини қурамиз. (5) тенгламага мувофиқ қүйидагиларни өзамиз:

$$\left. \begin{aligned} \theta_0 &= \theta_A = \theta_{x=0} = -\frac{9ql^3}{384EJ_z}; \\ \theta_{x=\frac{l}{2}} &= -\frac{9ql^3}{384EJ_z} + \frac{3ql^3}{64EJ_z} - \frac{ql^3}{48EJ_z} = \frac{qI^3}{384EJ_z}; \\ \theta_B &= \theta_{x=l} = -\frac{9ql^3}{384EJ_z} + \frac{3ql^3}{16EJ_z} - \frac{ql^3}{6EJ_z} + \frac{ql^3}{48EJ_z} = \frac{7ql^3}{384EJ_z}. \end{aligned} \right\} \quad (6)$$

Шуни таъкидлаш керакки, биринчи участка  $(0 \leq x \leq \frac{l}{2})$  да эпюра абсцисса ўқинн кесиб ўтиши керак, чунки (6) га мувофиқ  $\theta = 0$  уз ишорасини манфийдан ( $x = 0$  бўлганда) мусбатга ( $x = \frac{l}{2}$  бўлганда) ўзгартиради.

Маълумки,  $\theta = 0$  бўлган кесимларда салқилик энг катта (ёки энг кичик) бўлади. Бу кесимнинг ҳолатини аниқлаш учун (5) тенгламанинг ўнг томонини нолга тенглаймиз, бунда олдиндан охирги қўшилувчини ташлаб юборамиз.

У вақтда қўйидагига эга буламиз:

$$0 = -\frac{9ql^3}{384EJ_z} + \frac{3qlx_0^2}{16EJ_z} - \frac{qz_0}{6EJ_z} = 0,$$

ёки

$$64x_0 - 72lx_0^2 + 9l^3 = 0,$$

бундан

$$x_0 = 0,46l.$$

Кесим буралиш бурчагининг ҳосил қилинган қийматлари бўйича  $\theta$  эпюрасини қурамиз (8.11-расм, б).

Салқилик эпюрасини қуриш учун (4) тенглама бўйича баъзи бир характеристерли кесимларда унинг қийматларини ҳисоблаймиз:

$$y_{x=0,46l} = -\frac{9 \cdot 0,46ql^4}{384EJ_z} + \frac{(0,46)^3 ql^4}{16EJ_z} - \frac{(0,46)^4 ql^4}{24EJ_z} =$$

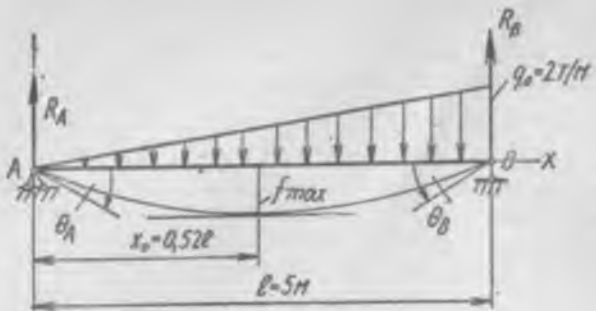
$$= -\frac{ql^4}{384EJ_z} \cdot (4,14 - 0,0973 \cdot 24 + 0,0448 \cdot 16) = -\frac{2,53ql^4}{384EJ_z};$$

$$y_{x=0,5l} = -\frac{ql^4}{384EJ_z} [9 \cdot 0,5 - (0,5)^3 \cdot 24 + (0,5)^4 \cdot 16] = -\frac{2,5ql^4}{384EJ_z}.$$

Салқилик эпюраси 8.11-расм, в да кўрсатилган.

Шуни алоҳида таъкидлаш керакки, кўриб чиқилган мисолда пролёт ўртасидаги салқилик максимал салқиликдан ниҳоятда кам фарқ қиласди (таксминан 1,2% га). Бу натижа маълум даражада умумийдир – бир қийматли салқиликлар ҳосил қиласдиган юкланишларда консолсиз иккни таянчли балканинг максимал салқилиги пролёт ўртасидаги салқиликдан кам фарқ қиласди. Шунинг учун кўрсатилган ҳолларда бикрликка ҳисоблашларни соддлаштириш учун пролёт ўртасидаги салқилик максимал салқилик учун қабул қилинади.

8.5-мисол. Кўштаворли балканинг кесими мустаҳкамлик шарти  $[\sigma] = 1600 \text{ кГ/см}^2$  дан фойдаланиб танлансан (8.12-расм). Топилган профил бўйича энг катта салқилик ва таянч кесимларнинг буралиш бурчаклари ҳисоблансан.



8. 12- расм.

Ечиш. Кесимнинг керакли қаршилик моменти

$$W_z > \frac{M_{\max}}{[\sigma]},$$

бу ерда қаралаётган ҳол учун (6.5- мисолга қаранг):

$$M_{\max} \approx \frac{q_a l^3}{15,6} (x \approx 0,577l \text{ булганда}).$$

Сон қийматларни құйғандан сунг:

$$W_z = \frac{2 \cdot 5^3 \cdot 10^5}{15,6 \cdot 1600} = 200 \text{ см}^3,$$

8239-56 ГОСТ бүйінча бунга ортиқча юкланнши  $\sim 1,5\%$  булған номерлы 20a-құштавр мос келади ( $W_z = 197 \text{ см}^3$ ,  $J_z = 1970 \text{ см}^4$ ).

Әгилған ўқ тенгламасы құйнудағы күринишида өзилади:

$$y = y_0 + \theta_0 x + \frac{M_0 x^2}{2EJ_z} + \frac{Q_0 x^3}{6EJ_z} - \frac{k x^5}{120EJ_z}, \quad (1)$$

бу ерда

$$k = \frac{q_0}{l}.$$

Бошланғич параметрлар:

$$\begin{aligned} y_0 &= y_A = 0; & M_0 &= 0; \\ \theta_0 &\neq 0; & Q_0 &\neq 0. \end{aligned}$$

Таянч реакцияси  $R_A$  ни мувозанат шартидан топамиз:

$$\sum m_B = 0; \quad R_A l - \frac{q_0 l}{2} \cdot \frac{l}{3} l = 0,$$

бундан

$$R_A = \frac{q_0 l}{6},$$

у ҳолда

$$Q_0 - R_A = \frac{q_0 l}{6}.$$

Бошланғич параметрларнинг бизга маълум қийматларини назарга олиб, қуйидагини ҳосил қиласиз:

$$y = \theta_0 x + \frac{q_0 l^3 x^3}{36 E J_z} - \frac{k x^5}{120 E J_z}, \quad (2)$$

Буралиш бурчаги  $\theta_0$  ни чегаравий шарт  $y_{x=l} = 0$  дан топамиз (ўнг таянч  $B$  даги салқилик нолга тенг):

$$\theta_0 l + \frac{q_0 l^4}{36 E J_z} - \frac{q_0 l^4}{120 E J_z} = 0,$$

бундан

$$\theta_0 = \theta_A = -\frac{7 q_0 l^3}{360 E J_z}. \quad (3)$$

$\theta_0$  нинг қийматини (2) тенглачага қўйгандан сўнг, қуйидаги натижага эга бўламиз:

$$y = -\frac{7 q_0 l^3 x}{360 E J_z} + \frac{q_0 l x^3}{36 E J_z} - \frac{q_0 x^5}{120 E J_z}. \quad (4)$$

Сўнгра  $x$  координата бўйича ҳосила олиб, кесимнинг буралиш бурчагининг тенгламасини ҳосил қиласиз:

$$\theta - y' = -\frac{7 q_0 l^2}{360 E J_z} + \frac{q_0 l x^2}{12 E J_z} - \frac{q_0 x^4}{24 E J_z l}. \quad (5)$$

Ҳосил бўлган тенгламадан  $B$  таянч кесимнинг буралиш бурчагини топамиз:

$$\theta_B = \theta_{x=l} = \frac{q_0 l^3}{45 E J_z}. \quad (6)$$

Буралиш бурчаги  $\theta_0 = 0$  бўлган кесимда максимал салқилик ҳосил бўлади. (5) тенгламага мувофиқ, бу кесимнинг ҳолатини аниқлаймиз:

$$-\frac{q_0}{360 E J_z l} (7l^4 - 30l^3 x_0^2 + 15x_0^4) = 0,$$

бундан  $x_0 \approx 0,52l$  ни топамиз.

(4) тенгламага асосан ёнг катта салқилик (салқилик стреласи) қуйидагига тенг бўлади:

$$y_{max} = y_{x=0,52l} = -0,0065 \frac{q_0 l^6}{E J_z}. \quad (7)$$



Шундай қилиб, оқибат натижада құйидагиларни топымиз:

$$\theta_A = -\frac{7q_0 l^3}{360 E J_z} = -\frac{7 \cdot 2 \cdot 5^3 \cdot 10^7}{360 \cdot 2 \cdot 10^8 \cdot 2530} = -0.0096 \text{ rad};$$

8. 13- расм.

$$\theta_B = \frac{y_B l^3}{45 E J_z} = \frac{2 \cdot 5^3 \cdot 10^7}{45 \cdot 2 \cdot 10^8 \cdot 2530} = 0.011 \text{ rad};$$

$$y_{\max} = -\frac{0.0055 q_0 l^4}{E J_z} = -\frac{0.0065 \cdot 2 \cdot 5^4 \cdot 10^9}{2 \cdot 10^8 \cdot 2530} = -1.6 \text{ см.}$$

### Мустақил ечиш учун масалалар

8.3. Консоль (8.13-расм) әркін учи *B* нинг салқилиги ва шу кесимнинг буралыш бурчаги топылсın.

$$\text{Жағоби } y_B = -\frac{41qa^4}{24EJ_z}; \quad \theta_B = -\frac{7qa^3}{6EJ_z}.$$

8.4. Балка (8.14-расм) *C* кесимнинг салқилиғи ҳисоблансын.

$$\text{Жағоби. } y_C = \frac{3qa^4}{2EJ_z} = 1.2 \text{ см.}$$

Күрсатма. Еңшін содалаштириш учун консольларга таъсир әтәстіган нағрузкаларин мос күч ва моментлар билан алмаштириб, консольлар ташлаб юборылсın, сүнгра *A* нүктаны координата боши учун қабул қилиб, *AB* балканинг деформацияси қаралсın

8.5. 8.15-расмда тасвирланған балка *C* кесимининг салқилиғи *y<sub>C</sub>* ва *D* кесимининг буралыш бурчаги *θ<sub>D</sub>* анықлансын.

$$\text{Жағоби. а) } y_C = -\frac{7qa^4}{EJ_z}; \quad \theta_D = 2\frac{qa^3}{EJ_z}.$$

$$\text{б) } y_C = -\frac{19qa^4}{24EJ_z}; \quad \theta_D = -\frac{qa^3}{3EJ_z}.$$

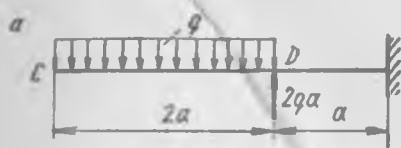
8.6. Балка (8.16-расм) *C* кесимининг салқилиғи *y<sub>C</sub>* ва *D* кесимининг буралыш бурчаги *θ<sub>D</sub>* анықлансын.

$$\text{Жағоби. } y_C = -\frac{7qa^4}{9EJ_z}; \quad \theta_D = \frac{2qa^3}{9EJ_z}.$$

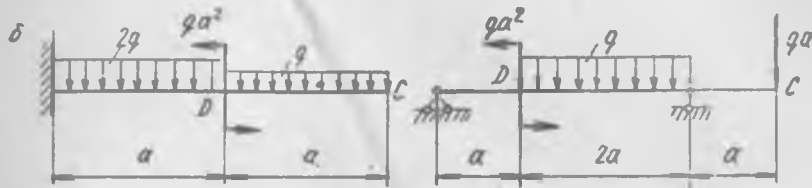


IN<sup>27</sup>

8. 14- расм.



8.15- расм.



8.16- расм.

#### 8.4- §. КҮЧИШЛАРНИ ЭНЕРГЕТИК УСУЛ БИЛАН АНИҚЛАШ (МОР ИНТЕГРАЛИ ЁРДАМИДА)

Эластик система деформациясиннинг потенциал энергияни

Умумий ҳолда ташқи кучларнинг иши

$$A = \sum \frac{P_n \delta_n}{2},$$

бу ерда  $P_n$  — умумлашган кучлар;  $\delta_n$  — умумлашган күчишлар.

Шуни эслатиш керакки, жуфт куч (момент) таъсирига бурчак остида күчиш (буралиш бурчаги) мос келади, түпланган куч таъсирига эса чизиқли күчиш (салқилик ёки узайиш) мос келади.

Күндаланг эгилишда деформация потенциал энергиясини аниқлаш формуласи  $M$  эгилувчи момент ва  $Q$  кесувчи кучларни ҳисобга олганда қўйидаги кўринишда бўлади:

$$U = \sum_l \int \frac{M^2 dx}{2EJ_s} + \sum_l \int \frac{kQ^2 dx}{2GF}.$$

бу ерда  $k$  — балка кўндаланг кесимининг шаклга боғлиқ бўлган коэффициент (масалан, тўғри тўртбурчак учун  $k = 1,2$ ).

Кўп ҳолларда иккинчи қўшилувчи биринчига қараганда жуда кичик, унинг қиймати назарга олинмайди ва потенциал энергиянинг қўйидаги тақрибий ифодасидан фойдаланмади:

$$U = \sum_{\delta} \int \frac{M^2 dx}{2EJ_s}.$$

## Эгилишда күчишларни аниқлаш учун Мор интегралы

Мор интегралы балка, рама, шуннингдек, эъри бруслар учун күчишларни (бурчакли ва чизиқли) аниқлашга имкон беради. Мор интегралы тўғри брусларниг ёки кичик эгриликли брусларниг эгилишида қўйидаги кўринишда ёзилади (кесувчи куч таъсири ҳисобга олинмайди):

$$\delta = \sum_i \int \frac{MM_1 ds}{EJ},$$

бу ерда  $\delta$  — изланадиган күчиш (бурчакли ёки чизиқли);

$M$  — брус (рама) ихтиёрий кесимда берилган кучлар таъсиридан ҳосил бўладиган эгувчи момент ифодаси;

$M_1$  — ихтиёрий кўндаланг кесимда  $\delta$  күчиши изланадиган кесимга қўйилган бирлик куч  $P^{(1)} = 1$  (ёки  $M^{(1)} = 1$ ) таъсиридан ҳосил бўладиган эгувчи момент ифодаси;

$EJ$  — брус кесимининг бикрлиги;

$ds$  — брус узунлигининг элементи.

Тўғри чизиқли элементлар учун Мор интегралы қўйидаги кўринишни олади:

$$\delta = \sum_i \int \frac{MM_1 dx}{EJ_2}$$

Кесувчи кучлар ҳисобга олинса,

$$\delta = \sum_i \int \frac{MM_1 dx}{EJ_2} + \sum_j \int \frac{kQQ_1 dx}{OF}.$$

## Верешчагин усули билан Мор интегралини ҳисоблаш

Брусларниг тўғри чизиқли элементлари учун Мор интегрални Верешчагин усули билан чизма аналитик ҳисоблаш мумкин. Бу усулда қўйилган бирлик куч йўналиши бўйича күчиш қўйидаги формуладан аниқланади:

$$\delta = \frac{\omega_{\epsilon}}{EJ_2},$$

бу ерда  $\omega$  — эгувчи момент чизиқсиз эпюрасининг юзаси;

$\omega_{\epsilon}$  —  $\omega$  юзанинг оғирлик маркази остидаги эгувчи момент чизиқли эпюрасининг ординатаси;

$EJ_2$  — эгилишда қаралаётган участка кесимининг бикрлиги.

Агар бир қанча юкланиш участкалари бўлса, у ҳолда

$$\delta = \sum \frac{w_i e}{EI_z}$$

бўлади.

Верешчагин усуди қўлланилганда қўйидагиларни назарда тутиш керак:

1) эгувчи момент эпюраси шундай участкаларга бўлинган бўлиши керакки, ҳар бир участка оралиғида эпюралардан ҳеч бўлмаганда биттаси чизиқли ва бруслесимининг бикрлиги узгармас бўлсин;

2) агар эпюралар ҳисоб олиб борилаётган ўқдан турли томонда бўлса, у ҳолда эпюраларни кўпайтиришда минус ишора қўямиз.

#### 8.1- жадвал

Эпюраларнинг юзлари ва уларнинг оғирлик марказларининг юзлалари

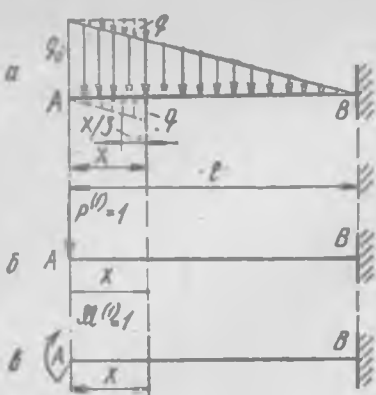
Эгувчи момент эпюраларининг турлари	Оғирлик марказмининг координатаси $x_{o.m.}$	= юзанинг қиймати
1. Учбурчак	$x_{o.m.} = \frac{1}{3}(l + a)$	$\omega = \frac{1}{2} lh$
2	$x_{o.m.} = \frac{1}{3} l$	$\omega = \frac{1}{2} lh$

8. 1- жадваджиниг давоми

Эгуучи момент эпюларининг турлари	Оғирлик марказининг координатаси $x_{0, M}$	ω юзанинг қиймати
3. Тўри тўртбурчак	$x_{0, M} = \frac{1}{2} l$	$\omega = lh$
3. Тўри тўртбурчак	$x_{0, M} = \frac{3}{8} l$	$\omega = \frac{2}{3} lh$
5. Учи A нуқтада бўлган (квадрат) парабола	$x_{0, M} = \frac{1}{4} l$	$\omega = \frac{1}{3} lh$

8. 1-жадвалынг левони

Этүвчи моменттегиздеринин турлари	Оғирлик марказининг координатасы $x_{0, \text{м}}$	$\alpha$ изминнен цийматы
6. Учи $A$ нүктада бүлгән куб парабола	$x_{0, \text{м}} = \frac{1}{5} l$	$\alpha = \frac{1}{4} lh$
		
7. Учи $A$ нүктада бүлгән (квадрат) парабола	$x_{0, \text{м}} = \frac{1}{2} l$	$\alpha = \frac{2}{3} lh$
		
8. Учи $A$ нүктада бүлгән куб парабола	$x_{0, \text{м}} = 0,533 l$	$\alpha = 0,05 lh$
		



8. 17- расм.

8.6- мисол. Балка А кесимнинг салқилиғи ва буралыш бурчаги топилған (8.17- расм, а).

Ечиш. Балка иктиёрий кесимида берилган нагрузкалар таъсиридан ҳосил бўла-диган этувчи момент ифодаси

$$M = -\frac{q_0 x^2}{2} + \frac{q_0}{2} \cdot \frac{x}{3}.$$

Бу ифодани тузишда „учбур-чак“ нагрузка „тўгри туртбур-чак“ нагрузкагача тўлдирилган ва юқорига қараб йўналган компенсация қилувчи „учбур-чак“ нагрузка қўйилган (8.17- расм, а га қаранг).

Учбурчакларнинг ўхашликларидан  $\frac{q}{q_0} = \frac{x}{l}$  ёки  $q = \frac{q_0 x}{l}$  ни аниқлаб қўйидагини топамиз:

$$M = -\frac{q_0 x^3}{2} + \frac{q_0 x^3}{6l}.$$

Салқиликни аниқлаш учун А кесимга бирлик куч  $P^{(1)} = 1$  ни қўямиз (8.17- расм, б);

$$M_1 = -1 \cdot x.$$

Энди қўйидагиларни ҳосил қиласмиш:

$$\delta_A = \int_0^l \frac{MM_1}{EJ_z} dx = \frac{1}{EJ_z} \int_0^l \left( -\frac{q_0 x^2}{2} + \frac{q_0 x^3}{6l} \right) (-x) dx,$$

бундан изланадиган салқилик

$$\delta_A = \frac{q_0 l^4}{8EJ_z} - \frac{q_0 l^4}{30EJ_z} = \frac{11}{120} \frac{q_0 l^4}{EJ_z}.$$

Мусбат ишора салқиликнинг йўналиши  $P^{(1)}$  куч йўналиши билан устма-уст тушишини кўрсатади.

Буралыш бурчагини ҳам шунга ўхшаб топамиз, бу ҳолда  $M_1 = \mathcal{M}^{(1)} = 1$  ни назарда тутиш керак (8.17- расм, в):

$$\delta_A = \int_0^l \frac{MM_1}{EJ_z} dx = \frac{1}{EJ_z} \int_0^l \left( -\frac{q_0 x^2}{2} + \frac{q_0 x^3}{6l} \right) (+1) dx,$$

въни:

$$\delta_A = -\frac{q_0 l^3}{6EJ_z} + \frac{q_0 l^3}{24EJ_z} = -\frac{q_0 l^3}{8EJ_z} +$$

Бу ерда манғый ишора  $A$  кесимнинг берилган нагрузка таъсирида бирлик моментта қарама-қарши, яъни соат стрелкаси ҳаракатига қарши буралишини кўрсатади.

8.7- мисол. Балканинг энг катта салқилиги аниқлансан (8.18- расм,  $a$ ).

Е ч и ш. Берилгаң нагрузка таъсиридан ҳосил бўладиган  $M$  эгувчи моментнинг эпюраси 8.18- расм,  $b$  да кўрсатилган. Маялумки, балка пролётининг ўртасидаги кесим энг катта салқиликка эга бўлади. Бу кесимга бирлик тўплланган кучни қўянимиз (8.18- расм,  $a$ ) ва таянч реакцияларини аниқлаб,  $M_1$  эгувчи моментнинг эпюрасини қурамиз (8.18- расм,  $g$ ). Бу эпюра иккита чизиқли участкага эга. Шунинг учун  $M$  эпюрасини икки қисмга бўламиз. Изланаётган салқиликнинг миқдорини аниқловчи ифода икки қўшилувчига эга бўлади:

$$\delta = f = \frac{\omega_1 \eta_{c1}}{EJ_z} + \frac{\omega_2 \eta_{c2}}{EJ_z},$$

бу ерда  $\omega_1 = \omega_2 = \frac{2}{3} \cdot \frac{q l^2}{8} \cdot \frac{l}{2} = \frac{q l^3}{24}$  — параболик учбурчак юзаси (8.1- жадвалга қаранг);

$$\eta_{c1} = \eta_{c2} = \frac{5}{32} l - \omega_1 \text{ ва } \omega_2 \text{ юзаларнинг оғир-}$$

лик марказлари остидаги  $M_1$ , эпюрасидаги ординаталар; бу ординатларнинг қийматини  $abc$  ва  $ade$  учбурчакларнинг ўхашалигидан топамиз:

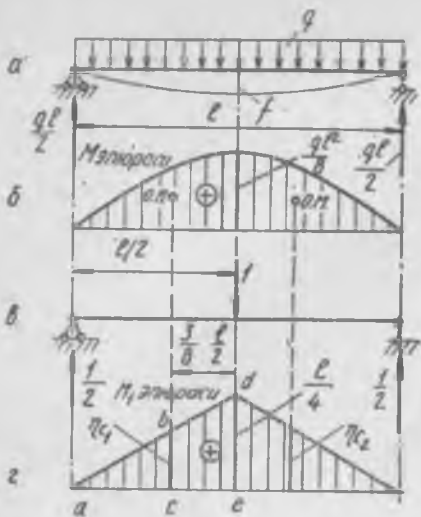
$$f = 2 \frac{\omega_1 \eta_{c1}}{EJ_z} = 2 \frac{q l^3}{24 EJ_z} \cdot \frac{5}{32} l = \frac{5 q l^4}{384 EJ_z}.$$

8.8- мисол. Берилган балка пролётининг ўртасидаги салқилик аниқлансан (8.19- расм,  $a$ ).

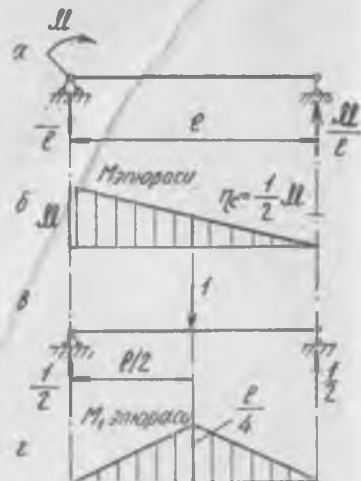
Е ч и ш. Таянч реакцияларини аниқлаб, берилган нагрузка таъсирида ҳосил буладиган эгувчи момент эпюрасини қурамиз (8.19- расм,  $b$ ). Берилган нагрузкани ташлаб юбориб, балка пролёти ўртаси: а бирлик куч қўянимиз (8.19- расм,  $b$ ) ва таянч реакцияларни аниқлаб, кўрсатилган куч таъсирида ҳосил бўладиган момент эпюрасини қурамиз (8.19- расм,  $g$ ). Қаралаётган масалада берилган нагрузка таъсиридан ҳосил бўлган эгувчи момент эпюраси балканинг ҳамма ерида чизиқли, бирлик куч таъсиридан ҳосил бўлган момент эпюраси  $\Delta s$ , синиқ (чизиқсиз), шунинг учун Верешчагин қоидасини қўллаймиз: юза —  $M_1$  эпюранинг юзаси, ордината эса  $M$  эпюрадан олинади:

$$\delta = \frac{l}{EJ_z} \omega \eta_c,$$

$$\text{бу ерда: } \omega = \frac{1}{2} \cdot \frac{M}{4} l = \frac{P}{8}, \quad \eta_c = \frac{M}{2}; \quad \delta = \frac{PL^2}{16 EJ_z}.$$



8. 18- расм.



8. 19- расм.

Келтирилган мисол алоҳида диққатга сазовордир, чунки кўпинч материяллар қаршилигини ўқиётган ўқувчиларда Верещагин қоидасидан фойдаланишда ҳамма вақт берилган нағрузка таъсиридан ҳосил бўладиган момент эпюрасининг юзасини, ординатани эса бирлик куч таъсиридан ҳосил бўладиган момент эпюрасидан олиш керак деган иотўғри тасаввур туғилиди. Ҳақиқатда эса, эпюрани келиб чиқиши ҳеч қандай роль ўйнамайди, муҳими эпюралардан қаёси бирни чизиқли ва қайси бирни чизиқсиз бўлишида.

8.9- мисол. Берилган балка (8.20- расм, а) эркин учининг салқилиги аниқлансин.

Ечиш. Берилган нагрузка таъсирида ҳосил бўладиган  $M$  эгувчи момент эпюрасини қурамиз (8.20- расм, б). Салқилик изланадетган кесимга бирлик куч қўямыз (8.20- расм, в) ва унинг таъсиридан ҳосил бўладиган  $M$ , эгувчи момент эпюрасини қурамиз (8.20- расм, г). Консолнинг узунлиги бўйича инерция моменти ҳар хил ( $J_1 + J_2$ ) бўлгани учун Верещагин усулини қўллашда балканинг бутун узунаси бўйича иккала момент эпюралари чизиқли бўлишига қарамасдан эпюраларни купайтиришнинг икки участкасини алоҳида алоҳида қараш зарурдир. 8.20 расм, б, г ларда берилганлардан қўйнагиларни топамиз ( $M$  эпюрасидаги трапецияни тўғри тўртбурчак ва учбурчакларга бўламиз):

$$\delta_B = f_B = \frac{\omega_1 T_{C_1}}{EJ_1} + \frac{\omega_2 T_{C_2}}{EJ_1} + \frac{\omega_3 T_{C_3}}{EJ_2},$$

Бу ерда

$$\omega_1 = \frac{1}{2} Pa a; \quad \eta_{c_1} = \frac{5}{3} a;$$

$$\omega_2 = Pa a; \quad \eta_{c_2} = \frac{3}{2} a;$$

$$\omega_3 = \omega_1 = \frac{Pa^3}{2}; \quad \eta_{c_3} = \frac{2}{3} a.$$

Охирги натижани ҳосил қиласиз:

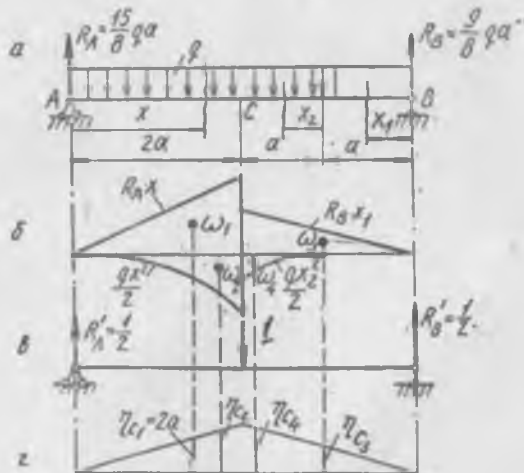
$$f_B = \frac{5Pa^3}{6EJ_1} + \frac{3Pa^3}{2EJ_1} + \frac{Pa^3}{3EJ_2} = \\ = \frac{14Pa^3}{6EJ_1} + \frac{Pa^3}{3EJ_2}.$$

**8.10- мисол.** Берилган балка (8.21-расм, а) про-лёт ўргасининг салқилиги аниқлансан.

Е чи ш. Бу мисолда ҳам, бошқа кўп ҳоллардаги каби, берилган нагрузка таъсирида ҳосил бўладиган эгувчи момент эпюраси (юқ эпюраси) ни қатламларга ажратилган" кўринишда қуриш қулайдир. Эпюорани қатламларга ажратиш усулининг мазмунни қўйидагичадир: агар берилган нагрузка таъсирида



8. 20- расм.



8. 21- расм.

хосил бўлган эгувчи момент тенгламаси кўпхадли бўлса, у ҳолда Верешчагин усулини қўллаш учун бу кўпхаднинг чизмасини чизиш ўрнига, ҳар бир қўшилувчига мос келувчи алоҳида-алоҳида чизмалар (эпюоралар) ни қуриш мақсадга мувофиқ бўлади. Текис тақсимланган нагрузка таъсиридаги балка участкаси учун

$$M_1 = R_A x - q \frac{x^3}{2}.$$

Шу участка учун ҳар бир қўшилувчига мос келадиган эпюоралар 8.21-расм, б да курсатилган (уларнинг юзалари  $\omega_1$ , ва  $\omega_2$  билан белгиланган).

Бу эпюоралар бирлик эпюоранинг узилиш жойига мос келувчи  $C$  кесимга қадар қурилган (8.21-расм, г). Балканинг  $C$  кесимдан ўнг томонда жойлашган қисми учун моментларнинг қатламларга ажратилган нагрузка эпюоралари (уларнинг юзалари  $\omega_3$  ва  $\omega_4$ ) балка бўйлаб ўнгдан чапга қараб „ҳаракат“ қилиб ясалган. Верешчагин усулини қўллаб қўйидагини топамиз:

$$\delta_C = \frac{1}{EJ_z} (\omega_1 \eta_{c_1} + \omega_2 \eta_{c_2} + \omega_3 \eta_{c_3} + \omega_4 \eta_{c_4}),$$

бу ерда

$$\omega_1 = \frac{1}{2} \cdot \frac{15}{8} qa \cdot 2a \cdot 2a = \frac{15}{4} qa^3; \quad \eta_{c_1} = \frac{1}{2} \cdot \frac{2}{3} 2a = \frac{2}{3} a;$$

$$\omega_2 = -\frac{1}{3} 2a \cdot 2qa^2 = -\frac{4}{3} qa^3; \quad \eta_{c_2} = \frac{1}{2} \cdot \frac{3}{4} 2a = \frac{3}{4} a;$$

$$\omega_3 = \frac{1}{2} \cdot \frac{9}{8} qa \cdot 2a \cdot 2a = \frac{9}{4} qa^3; \quad \eta_{c_3} = \frac{1}{2} \cdot \frac{2}{3} 2a = \frac{2}{3} a;$$

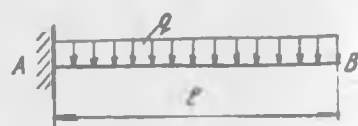
$$\omega_4 = -\frac{1}{3} a \frac{qa^2}{2} = -\frac{qa^3}{6}; \quad \eta_{c_4} = \frac{1}{2} \cdot \frac{7}{4} a = \frac{7}{8} a.$$

$\omega_1$  ва  $\eta_{c_1}$  ларнин ўрнига қўйгандан сўнг, қўйидаги натижани топамиз:

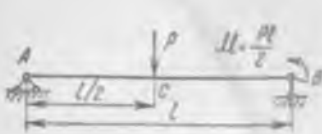
$$\delta_C = \frac{qa^4}{EJ_z} \left( \frac{15}{4} \cdot \frac{2}{3} - \frac{4}{3} \cdot \frac{3}{4} + \frac{9}{4} \cdot \frac{2}{3} - \frac{1}{6} \cdot \frac{7}{8} \right) = \frac{137}{48} \frac{qa^4}{EJ_z}.$$



8. 22- расм.



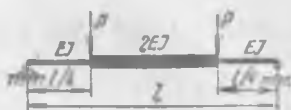
8. 23- расм.



8. 24- расм.



8. 25- расм.



8. 26- расм.

### Мустақил ечиш учун масалалар\*

8.7. 8.22- расмда тасвирланган консол әркін учи  $A$  нинг салқилиги ва буралиш бурчаги топилсін.

$$\text{Жағоби. } f_A = \frac{Pl^3}{3EJ_s}; \quad \theta_A = \frac{Pl^2}{2EJ_s}.$$

8.8. Консол (8.23- расм) әркін учи  $B$  нинг салқилиги ва буралиш бурчаги аниқлансın.

$$\text{Жағоби. } f_B = \frac{ql^4}{8EJ_s}; \quad \theta_B = \frac{ql^3}{6EJ_s}.$$

8.9. 8.24- расмда тасвирланган балка пролётті ўртасининг салқилиги ва  $B$  таянч кесимнинг буралиш бурчаги аниқлансın.

$$\text{Жағоба. } f_C = \frac{5Pl^3}{96EJ_s}; \quad \theta_B = \frac{11Pl^2}{48EJ_s}.$$

8.10. Балканинг (8.25- расм)  $C$  кесимдеги салқилик  $f_C$  ва  $D$  шарнирдан чап ва ўнг томонлардагы кесимларнинг буралиш бурчаклари  $\theta_{D_1}$  ва  $\theta_{D_2}$  аниқлансın.

$$\text{Жағоби. } f_C = \frac{7Pa^3}{12EJ_s}; \quad \theta_{D_1} = \frac{Pa^2}{2EJ_s}; \quad \theta_{D_2} = \frac{Pa^2}{4EJ_s}.$$

8.11. Балка (8.26- расм) пролётті ўртасининг салқилиги топилсін.

$$\text{Жағоби. } f = \frac{13Pl^3}{768EJ_s}.$$

\* 8.7—8.11 масалаларнинг жағобларыда салқилик ва буралиш бурчаги-нинг абсолют қыйматлари берилған.

## ИККИНЧИ ҚИСМ

### IX бөб

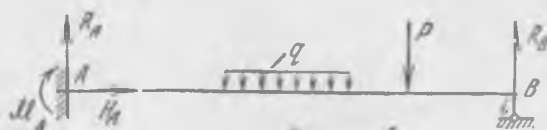
### ЭНГ ОДДИЙ СТАТИК АНИҚМАС СИСТЕМАЛАРНИ ХИСОБЛАШ

#### 9.1-§. СТАТИК АНИҚМАС БАЛКАЛАР. АСОСИЙ ТУШУНЧАЛАР

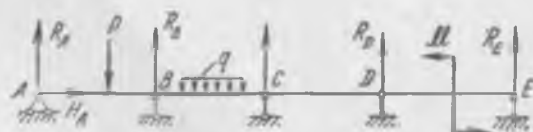
Күп ҳолларда балкаларнинг таянч реакцияларни аниқлаш учун статика тенгламалари етарли эмас, яъни таянч реакцияларнинг сони берилган балка учун тузиш мумкин бўлган статика тенгламалари сонидан кўп. Бундай балкалар статик аниқмас балкалар дейилади. Масалан, 9.1 ва 9.2-расмларда тасвирланган балкалар учун тўртта ва олтнга таянч реакцияларига эга бўламиз.

Сони „ортиқча“ номаъумлар сонига мос бўлган кўчишлар тенгламаси деб аталувчи етншмайдиган тенгламалар деформация шарти бўйича тузилади.

Статик аниқмас системалар назариясида кенг қўлланиладиган „ортиқча“ номаъумлар термини мъълум даражада шартлидир. Балка ва рамаларнинг қўшимча таянч bogланишлари (системанинг геометрик ўзгармаслигини таъминлаш учун зарур бўлмаган маънода қўшимчя) конструкциянинг мустаҳкамлигини ва бикрлигини оширади ва табиийки бу нуқтани назардан мутлақо ортиқча эмас. Демак, балка (рама) лар учун



9. 1-расм.



9. 2-расм.

фақат минимал зарур бўлган ва статика тенгламаларидан аниқланиши мумкин бўлган боғланишлар сони нуқтаи назардан улар „ортиқча“ бўлади. Системага қўйилган боғланишлардан қайси бирини „ортиқча“ деб ҳисоблаш масаласи ҳар қандай ҳолда ҳам чексиз кўп сондаги ечимга эга бўлади. Бу ечимлардан энг қисқа йўл билан „ортиқча“ номаълумларни топишга имкон берадигани танлаб олинади. Кўпчилик энг оддий масалаларда „ортиқча“ номаълумларни танлашнинг турли варианatlари амалда бир қиймагли эканлигини кўриш мумкин.

Ечиш йўли (статик аниқмасликни очиш) мисолларда кўрсатилган.

**9.1- мисол.** Мустаҳкамлик шарти бўйича балка кўндаланг кесимининг ўлчамлари (қўштавр номери) аниқлансин (9.3-расм, *a*), бунда  $[\sigma] = 1600 \text{ кГ/см}^2$ .

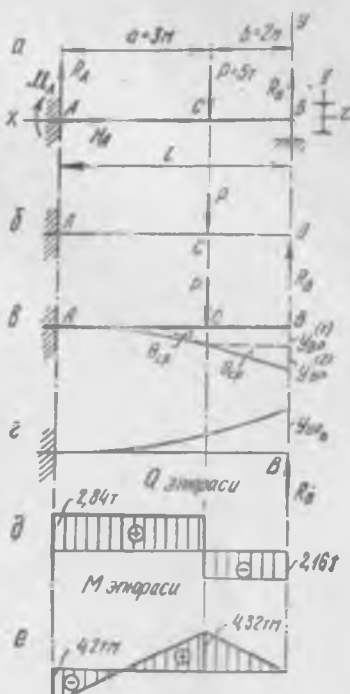
Ечиш. Статика тенгламаларини тузамиш:

$$\begin{aligned}\sum X &= 0; & H_A &= 0; \\ \sum Y &= 0; & R_A + R_B - P &= 0; \\ \sum m_A &= 0; & M_A - R_B l + Pa &= 0.\end{aligned}$$

Шундай қилиб уч номаълумли икки тенглама ҳоснл қилдик, яъни балка бир марта статик аниқмас.

Учта номаълум реакция  $M_A$ ,  $R_B$  ва  $R_A$  лардан бигтаси „ортиқча“ номаълум бўлади. „Ортиқча“ номаълум учун қайси бирини танлаб олишнинг амалий аҳамияти йўқ — „ортиқча“ номаълумларни турли вариантда танлаб, масалани ечиш (статик аниқмасликни очиш) йўли ва ҳажми ушбу ҳолда бироридан жуда кам фарқ қиласди.

Одатда, кўчишларни солиштириш усули деб аталувчи ечиш усулини қўллаймиз. „Ортиқча“ номаълум учун *B* таянчиннинг реакциясини қабул қиласмиш. Хаёлан бу таянчини ташлаб юбо-



9. 3- расм.

риб, унинг таъсирини ҳозирча номаълум бўлган  $R_B$  реакция билан алмаштирамиз (9.3-расм, б).

Натижада берилган  $P$  куч ва изланадиган  $R_B$  реакциялар билан юклангани статик аниқ балка ҳосил бўлади. Асосий система<sup>\*</sup> бундай юкланишда берилган системага тўла равишда эквивалент бўлиши керак.

Демак, 9.3-расм, б даги балка  $B$  кесимининг вертикал кўчиши нолга teng бўлиши керак ( $y_B = 0$ ), чунки берилган балканинг шу ерида таянч бор.

Кучлар таъсирининг боғлиқсизлик принципини қўллаб,  $B$  кесимининг  $P$  ва  $R_B$  кучларнинг алоҳида-алоҳида таъсиридан ҳосил бўладиган салқиликларни топамиз ва ҳосил бўлган на-тижаларни алгебраик қўшамиз:

$$y_B = y_{BP} + y_{BR_B} = 0.$$

Шу шартдан  $R_B$  ни топамиз.

$B$  кесимининг  $P$  куч таъсиридан ҳосил бўлган салқилигини мъалум формулалар ва элементлар геометрик ясашларга асо-сан топамиз (9.3-расм, в):

$$y_{BP} = y_{BP}^{(1)} + y_{BP}^{(2)},$$

бу ерда

$$y_{BP}^{(1)} = y_{CP} = - \frac{Pa^3}{3EJ_z};$$

$$y_{BP}^{(2)} = \theta_{CP} \cdot b L = - \frac{Pa^3 b}{2EJ_z},$$

(буралиш бурчакларининг  $\theta_{CP} = \theta_{BP} = - \frac{Pa^3}{2EJ_z}$  тенглигини таъкидлаш керак).

Натижада:

$$y_{BP} = - \frac{Pa^3}{2EJ_z} \left[ 1 + \frac{3}{2} \frac{b}{a} \right].$$

$B$  кесимининг  $R_B$  куч таъсиридан ҳосил бўлган салқилиги (9.3-расм, г)

$$y_{BR_B} = - \frac{R_B P}{3EJ_z}.$$

У вақтда

$$- \frac{Pa^3}{3EJ_z} \left[ 1 + \frac{3}{2} \frac{b}{a} \right] + \frac{R_B P}{3EJ_z} = 0,$$

\* Асосий система берилган системадан ортиқча борганишларни ва нагрузкаларни олиб ташлагандага ҳосил бўлади.

бундан

$$R_B = P \frac{a^3}{l^3} \left[ 1 + \frac{3}{2} \frac{b}{a} \right] = 5 \cdot \frac{3^3}{l^3} \cdot \left( 1 + \frac{3}{2} \cdot \frac{2}{3} \right) = 2,16 T.$$

$R_B$  күчни аниқлагандан сүнг 9.3-расм,  $b$  га қайтамиз,  $Q$  ва  $M$  эпюраларинн маълум икки күч ( $P$  ва  $R_B$ ) билан юкланган одатдаги статик аниқбалка каби қурамиз

$Q$  ва  $M$  эпюралари 9.3-расм,  $\delta$ ,  $e$  ларда кўрсатилган.

Балканинг  $C$  кесими хавфли экан.

Керакли қаршилик моменти

$$W_z > \frac{M_{\max}}{[\sigma]} = \frac{4,32 \cdot 10^3}{1600} = 270 \text{ cm}^3.$$

Қўштаврнинг янги 24-номерли профили унинг қаршилик моменти  $W_z = 289 \text{ cm}^3$  га тенг.

9.2-мисол.  $AB$  балка (9.4-расм,  $a$ ) нинг  $A$  учи билан қистириб маҳкамланган,  $B$  учи билан эса  $CD$  балка (9.4-расм,  $b$ ) пролётининг ўргасига таянади. У эса иккала учи билан шарнир ёрдамида боғланган ва  $AB$  балканинг кесимига тенг кесимга эга.  $CD$  балка таянчларидаги реакциялар аниқлансин.

Ечиш. Олдиндан  $CD$  балкага бўлган босим кучи  $R_B$  ни ёки унга тенг  $AB$  балканинг таянч  $R_B$  реакциясини аниқлаш керак.

$AB$  балка бир марта статик аниқмас. „Ортиқча“ номаълум учун  $B$  таянчнинг  $R_B$  реакциясини танлаб ҳамда  $R_B$  га тенг ва қарама-қарши йўналган күч статик аниқ  $CD$  балканинг ўртасига таъсири этишини назарда тутиб,  $AB$  консол учининг салқилиги ( $P$  күч ва  $R_B$  реакция таъсиридан) билан  $CD$  балка ўртасининг  $R'_B$  күч таъсиридан салқилигининг тенглигини ифодаловчи тенгламани ёзиш мумкин:

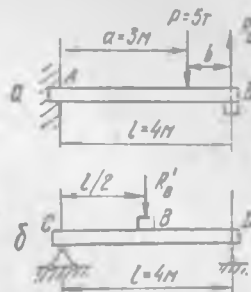
$$y_{BP} - y_{BR_B} = y_{BR'_B}; \quad |R_B| = |R'_B|,$$

ёки (олдинги мисолнинг ечимига қаранг)

$$\left( \frac{Pa^3}{3EJ_z} + \frac{Fa^2(l-a)}{2EJ_z} \right) - \frac{R_B l^3}{3EJ_z} = \frac{R_B l^3}{48EJ_z}.$$

Бундан

$$R_B = \frac{8Pa^3(3l-a)}{17l^3} = \frac{8 \cdot 5 \cdot 3^3 (3 \cdot 4 - 3)}{17 \cdot 4^3} = 2,98 T.$$



9. 4-расм.

ва

$$R_C = R_D = \frac{1}{2} R_B = 1,45 T.$$

### Мустақил ечиш учун масалалар

9.1. 9.5-расмда күрсатылған балка учун  $Q$  ва  $M$  эпюралари қурилсін.

Жағоби.  $Q_A = \frac{qL}{2}$ ;  $M_A = M_B = -\frac{qL^2}{12}$ ;  $M_{x=L/2} = \frac{qL^2}{24}$ .

9.2. 9.6-расмда тасвирланған балка учун статик аниқмаслик очилсін, ҳамда  $Q$  ва  $M$  эпюралари қурилсін.

Жағоби.  $|M_{\max}| = Pa$ .

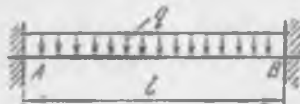
9.3. Бир-бiri билан кесишуvчи икki балканинг үзаро босим күчи аниқлансін (9.7-расм). Балкалар кесімларининг бикрекілдіктері бир хилда.

Жағоби.

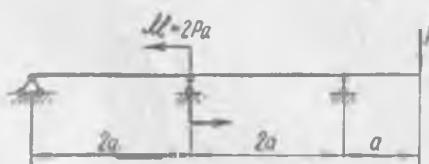
$$R = \frac{5}{4} P.$$

### 9.2-§. ТУТАШ (КҮП ПРОЛЁТЛИ) БАЛКАЛАР

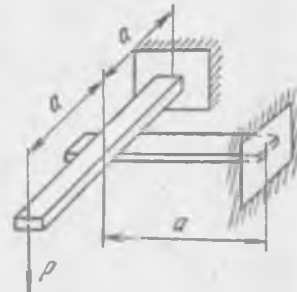
Учдан ортиқ шарнирли таянчларда ётуvчи балкалар әки қистириб маңкамлаған бөглемешішінде балка бигтадан ортиқ шарнирли таянчларга зерттеу болған балкалар иккі марта ва ундаң ортиқ статик аниқмас бүлді. Бундай балкалар учун олдингі параграфда күрсатылған стагик аниқмасликкін очиш усулы анча машаққатлады. Бунинг учун одатда уч момент тенглемаси деб аталувчи махсус ҳисоблаш усулини күлланағыз. Бұтептегі асосий система учун күп таянчли



9. 5-расм.



9. 6-расм.



9. 7-расм.

(бунда барча оралиқ таянчлар үрнига шарнирлар олинади) балка танлаб олинеб, „ортиқча“ номаълум сифатида таянчлар орқали үтувчи кесимлардаги эгувчи момент қабул қилинганда ҳосил буладиган күчишлар тенгламасининг узгартирилган күринишидир. Күчишлар тенгламаларидан ҳар бири икки құшни пролёттинг берилған чекка таянчда устма-уст тушадиган кесимларидаги үзаро буралиш бурчаклари нолга тенг булади, деган маънени англатади.

Ихтиёрий икки құшни пролёт учун уч момент тенгламаси құйидаги күриниша бўлади:

$$M_{n-1} l_n + 2M_n (l_n + l_{n+1}) + M_{n+1} l_{n+1} = -6 \left( \frac{\omega_n a_n}{l_n} + \frac{\omega_{n+1} b_{n+1}}{l_{n+1}} \right).$$

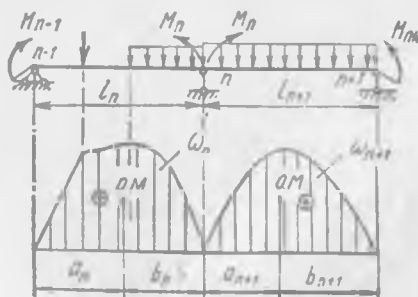
Бу ерда  $\omega_n$  ва  $\omega_{n+1}$  — шарнирли икки таянчда әтүвчи балка деб қараладиган  $n$  ва  $n+1$  пролётларнинг берилған нагрузка таъсиридан ҳосил буладиган моментлар әпюраларининг юзалири;  $a_n = \omega_n \cdot \text{юк}$  юза оғирлик марказидан  $n-1$  пролёттинг чап таянчигача бўлган масофа;  $b_{n+1} = \omega_{n+1} \cdot \text{юк}$  юза оғирлик марказидан  $n+1$  пролёттинг ўнг таянчигача бўлган масофа (9.8-расм).

Уч момент тенгламаси туташ балка икки құшни пролёттинг кетма-кет учта таянч моментлари ўртасида алоқа үрнатади. Бундай тенгламалардан оралиқ таянчлар (барча таянчлар шарнирли деб фараз қилинади) нечта бўлса, шунча дона тузиш мумкин, яъни тенгламалар сони „ортиқча“ номаълумлар сонига тенг.

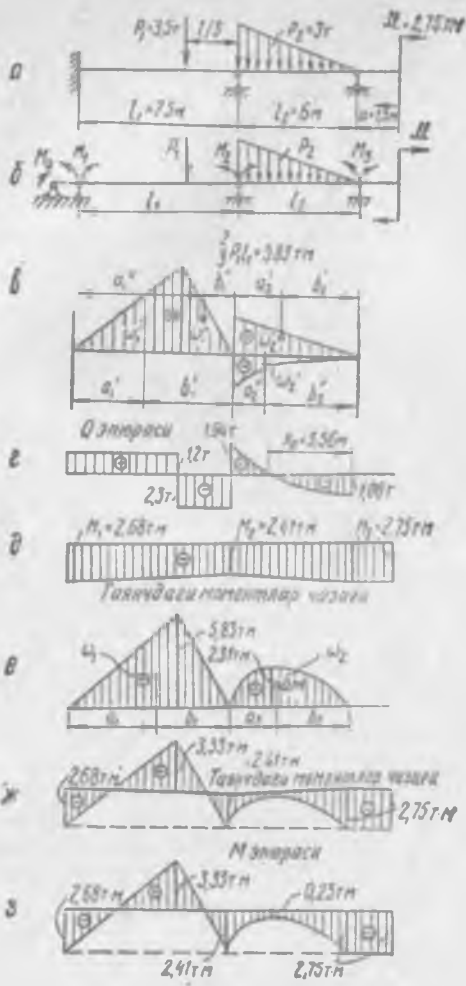
Туташ балка учун гузилған уч момент тенгламаларици биргаликда ечиб, барча таянчларнинг моментлари топилади, сўнгра берилған балканинг таянч реакциялари аниқланади.

Туташ балка ҳисоби құйидаги тартибда бажарилади:

1) туташ балка ҳар бир пролёти икки таянчли балка деб, унинг учун берилған ташқи нагрузка таъсиридан ҳосил буладиган эгувчи момент әпюраси қурилади;



9. 8-расм.



9.9- расм.

2) ҳар бир пролётда эпюранинг нагрузка юзаси ( $\omega$ ) ҳисобланилади ва унинг оғирлик марказининг ҳолати топилади;

3) уч момент тенгламалари тузилади ва таянч моментлари, яъни таянч кесимларда ҳосил буладиган эгувчи моментлар аниқланади;

4) энди ҳисоблаб топилган таянч моментлари ва берилган нагрузкалар таъсиридаги шарнирли маҳкамланган қатор бал-

каларни қараб, ҳар бир күрсатылган балка учун таянч реакциялари аниқланади;

5) берилған туташ балканың таянч реакциялари аниқланади;

6) берилған туташ балка учун одатдаги усулдардан фойдаланыб, (олдингі параграфдан маълум)  $Q$  ва  $M$  эпюралари қурилади;

7) масала ечимининг түрлиги текширилади.

9.3-мисол. 9.9-расм,  $a$  да тасвирланған туташ балка учун  $Q$  кесувчи күч ва  $M$  эгувчи момент эпюралари қурилсин.

Агар  $[\sigma] = 1600 \text{ кГ/см}^2$  бўлса, мустаҳкамликка ҳисоблашдан фойдаланиб, қуштаврнинг керакли номери аниқлансин.

Ечиш. 1) Туташ балканинг учи қаттиқ қистириб маҳкамланған ҳолларда бу боғланишни сохта қўшимча  $I_0$  узунликдаги пролёт билан алмаштириб уч момент тенгламасини одатдагидек тартибда ёзилади, сўнгра  $I_0 \rightarrow 0$  деб ҳисобланади (9.9-расм,  $b$ ).

2) Туташ балканинг биринчи ва иккинчи пролётларини шарнирли таянчларда ётувчи мустақил балка деб ҳисоблаб, улар учун эгувчи момент эпюраларини қурамиз (9.9-расм,  $c$ ). Шу билан бирга бу эпюраларнинг юзалари ва оғирлик марказларининг координаталарини аниқлаш қулаӣ бўлсин учун иккинчи пролёт эпюрасини қатлам кўринишида қурамиз (шунигдек, 179-бетга қаранг). Қайд қилинган эпюраларнинг қурилиши 9.10 ва 9.11-расмларда кўрсатилган.

3) Эпюраларнинг юк юзаларини аниқлаймиз ва уларнинг оғирлик марказларининг ҳолатларини топамиз. 9.10-расмга асосан қуйидагиларни топамиз:

$$w'_1 = \frac{1}{2} \cdot 5 \cdot 5,83 = 14,58 \text{ T} \cdot \mu^2;$$

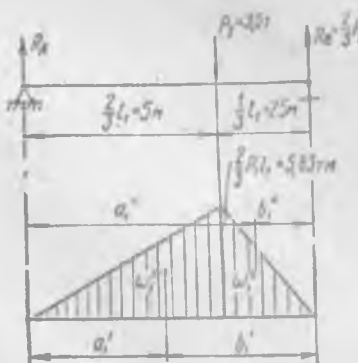
$$w'_1 = \frac{1}{2} \cdot 2,5 \cdot 5,83 = 7,29 \text{ T} \cdot \mu^2;$$

$$a'_1 = \frac{2}{3} \cdot \frac{2}{3} l_1 = \frac{4}{9} \cdot 7,5 = 3,33 \text{ M};$$

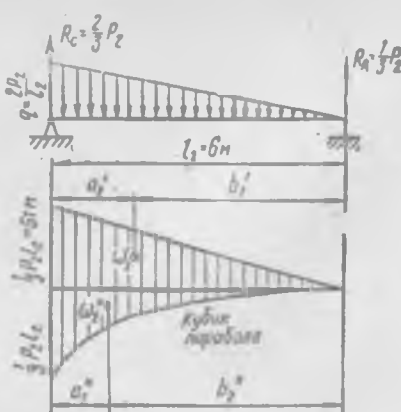
$$b'_1 = \frac{1}{3} l_1 + \frac{1}{3} \cdot \frac{2}{3} l_1 - l_1 \left( \frac{1}{3} + \frac{2}{9} \right) = \frac{5}{9} l_1 = \frac{5}{9} \cdot 7,5 = 4,17 \text{ M};$$

$$a'_1 = \frac{2}{3} l_1 + \frac{1}{3} \cdot \frac{1}{3} l_1 = \frac{7}{9} l_1 = \frac{7}{9} \cdot 7,5 = 5,83 \text{ M};$$

$$b'_1 = \frac{2}{3} \cdot \frac{2}{3} l_1 - \frac{2}{9} l_1 = \frac{2}{9} \cdot 7,5 = 1,67 \text{ M}.$$



9. 10-расм.



9. 11-расм.

9.11-расмга асосан құйнадағиларни ҳосил қиласыз:

$$\omega_2' = \frac{1}{2} \cdot \frac{1}{3} P_2 l_2 \cdot l_2 =$$

$$= \frac{1}{6} P_2 l_2^2 = \frac{1}{6} \cdot 3 \cdot 6^2 = 18 T \cdot m^2;$$

$$a_2' = -\frac{1}{4} \cdot \frac{1}{3} P_2 l_2 \cdot l_2 = -$$

$$-\frac{1}{12} P_2 l_2^2 = -\frac{1}{12} \cdot 3 \cdot 6^2 = -9 T \cdot m^2;$$

$$a_2' = \frac{1}{3} l_2 = \frac{1}{3} \cdot 6 = 2 m;$$

$$b_2' = \frac{2}{3} l_2 = \frac{2}{3} \cdot 6 = 4 m;$$

$$a_2' = \frac{1}{5} l_2 = \frac{1}{5} \cdot 6 = 1,2 m;$$

$$b_2' = \frac{4}{5} l_2 = \frac{4}{5} \cdot 6 = 4,8 m.$$

4) Уч момент тенгламаларини тузамиз ва таянчларнинг моментларини анықтаймиз. 9.9-расм, б га асосан құйнадағиларни топамиз:

$$M_0 l_0 + 2M_1 (l_0 + l_1) + M_2 l_1 = -6 \left\{ \frac{\omega_0 a_0}{l_0} + \frac{a_1' b_1' + a_1'' b_1''}{l_1} \right\},$$

$$M_1 l_1 + 2M_2 (l_1 + l_2) + M_3 l_2 = -6 \left\{ \frac{a_1' a_1' + a_1'' a_1''}{l_1} + \frac{a_2' b_2' + a_2'' b_2''}{l_2} \right\}$$

$M_0 = 0$ ,  $l_0 \rightarrow 0$ ,  $\omega_0 = 0$  ларни ҳисобга олиб, берилған ва юқорида ҳисоблаб топилған миқдорларни үрнига құйғандан сұнг құйнадағиларни ҳосил қиласыз:

$$15M_1 + 7,5M_2 = -6 \frac{14,58 \cdot 4,17 + 7,29 \cdot 1,67}{7,5} = -58,33 T \cdot m;$$

$$7,5M_1 + 27M_2 = 2,75 \cdot 6 = -6 \left( \frac{14,58 \cdot 3,33 + 7,29 \cdot 5,83}{7,5} + \frac{18 \cdot 4 - 9 \cdot 4,5}{6} \right) = -101,72 T \cdot m$$

әки

$$7,5M_1 + 27M_2 = -85,22 T \cdot m.$$

Хосил бұлғаң тенгламалар системасини ечиб, құйнадың на-  
тижаны топамыз:

$$M_1 = -2,41 \text{ } T \cdot m; \quad M_2 = -2,68 \text{ } T \cdot m.$$

5) Туташ балканинг таяңч реакцияларини апиқлаймиз ва  
кесувчи күч  $Q$  эпюрасини қурамыз.

Биринчи пролётни қараймиз (9.12- расм,  $a$ ).

Реакцияларни одатдагы тартиб билан аниқлаймиз:

$$\sum m_A = 0; \quad M_1 + P_1 \frac{2}{3} l_1 - R_1 l_1 - M_2 = 0,$$

бундан

$$R_1 = \frac{M_1 - M_2}{l_1} + \frac{2}{3} P_1 = \frac{-2,68 + 2,41}{7,5} + \frac{2 \cdot 3,5}{3} = 2,30 \text{ } T;$$

$$\sum m_B = 0; \quad M_1 + R_1 l_1 - P_1 \frac{l_1}{3} - M_2 = 0,$$

бундан

$$R_1 = \frac{M_2 - M_1}{l_1} + \frac{1}{3} P_1 = \frac{-2,41 + 2,68}{7,5} + \frac{3,5}{3},$$

еки

$$R_1 = 1,20 \text{ } T.$$

Биринчи пролёт учун  $Q$  эпюраси 9.12- расм,  $b$  да күрсатылған.

Энди иккінчи пролётни—консол балкани қараймиз (9.13-  
расм,  $a$ ):

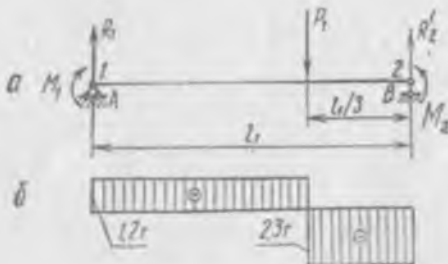
$$\sum m_B = 0; \quad M_2 + \frac{1}{3} P_2 l_2 + M - R_2 l_2 = 0,$$

бундан

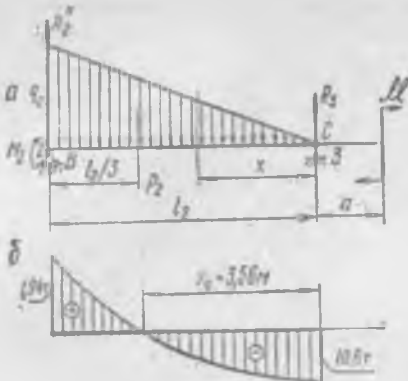
$$R_2 = \frac{M_2 + M}{l_2} + \frac{1}{3} P_2 = \frac{-2,41 + 2,75}{6} + \frac{3}{3},$$

яъни

$$R_2 = 1,06 \text{ } T.$$



9. 12-расм.



9. 13- расм

С нуқтага нисбатан барча күчларнинг моментлари йигинди-  
сими олиб, қийидагиларни топамиз:

$$\sum m_C = 0; \quad M_2 + R_2' l_2 - \frac{2}{3} P_2 l_2 + M = 0,$$

бундан

$$R_2' = -\frac{M_2 + M}{l_2} + \frac{2}{3} P_2 = -\frac{-2,41 + 2,75}{6} + \frac{2 \cdot 3}{3},$$

яъни

$$R_2' = 1,94 \text{ T.}$$

Иккинчи пролёт учун  $Q$  кесувчи күч эпюраси 9.13- расм, б  
да кўрсатилган.  $Q$  чизмасининг  $x$  ўқи билан кесишини нуқтаси-  
ни, ушбу шартдан топамиз:  $Q = 0$  ёки  $-R_2 + \frac{1}{2} \frac{q_0 x_0^2}{l} = 0$   
(9.13- расм, б га қаранг), бу тенгламани  $x$  координатага нисба-  
тан ечиб,  $x_0 = 3,56 \text{ м}$  масофани аниqlаймиз.

Туташ балканинг тўла таянч реакциялари:

$$R_1 = 1,20 \text{ T},$$

$$R_2 = R_2' + R_2 = 2,30 + 1,94 = 4,24 \text{ T},$$

$$R_3 = 1,06 \text{ T.}$$

9.9- расм, г да туташ балка учун  $Q$  эпюраси тасвирланган; бу эпюра биринчи ва иккинчи пролётлар учун  $Q$  эпюораларини улаш йўли билан ҳосил қилинади (9.12- расм, б ва 9.13- расм, б ларга қаранг).

6) Туташ балка учун эгувчи момент эпюрасини қурамиз. Таянч реакциялари маълум бўлганлиги учун  $M$  эпюрасини VI бобда баён этилганидек қуриш мумкин. Курниб чиқилаётган мисолда бир оз бошқачароқ йўл тутамиз: аввал таянч момент-

ларининг таъсиридан ҳосил бўладиган  $M$  эпюрасини ясаймиз (бу эпюра 9.9-расм,  $\delta$  да кўрсатилган), сўнгра туташ балканинг ҳар бир пролётини икки таянчдаги оддий балка деб ҳисоблаб, ҳар бир пролёт учун берилган кучлар таъсиридан ҳосил бўладиган эгувчи моментларнинг эпюраларини қурамиз (бу эпюралар 9.9-расм,  $e$  да берилган). Таянч моментларнинг таъсиридан ҳосил бўлган эпюраларни берилган нагрузкалар таъсиридан ҳосил бўлган кўрсатилган эпюралар билан алгебраик равища қўшиб,  $M$  нинг умумий эпюрасини ҳосил қиласиз (9.9-расм,  $\chi$ ). Бу эпюрадан моментлар натижавий (умумлашган) эпюрасининг ординатаси ҳисобланадиган нолинчи чизиқ таянч моментларнинг синиқ чизиги эканлиги кўринади.

$M$  эпюрасини горизонтал ўқса кўчириш мақсадга мувофиқдир, шундай эпюра 9.9-расм,  $z$  да кўрсатилган.

7) Ҳосил бўлган натижаларни текширамиз.

Аввал балкага таъсир этаётган барча актив ва реактив кучларни вертикал ўқса проекциялаб, статикага онд текшириш ўтказамиш:

$$\Sigma V = 0, \text{ яъни } R_1 + R_2 + R_3 - P_1 - P_2 = 0,$$

ёки сон қийматларини қўйгандан сўнг.

$$1,20 + 4,24 + 1,06 - 3,5 - 3 = 0.$$

Кейинчалик ўрга таянчдаги „салқилик“  $y_2$  нинг қиймати нолга тенг эканлигини билган ҳолда, атайнин уни ҳисоблаймиз.

Координата бошини балканинг чап таянч кесими оғирлик марказига жойлаштирамиз ва эластик чизиқ тенгламасини биринчи пролёт учун ёзамиш:

$$y_1(x) = y_0 + \theta_0 x + \frac{M_0 x^2}{2EJ_z} + \frac{Q_0 x^3}{6EJ_z} - \frac{P_1 \left( x - \frac{2}{3} l_1 \right)^3}{6EJ_z}$$

$$x > \frac{2}{3} l_1$$

Кўриб чиқилаётган масалада  $y_0 = 0$ ,  $\theta_0 = 0$ ,  $M_0 = -2,68 T \cdot m$ ,  $Q_0 = 1,20 T$  ларни назарга олиб ва сон қийматларни эластик чизиқ тенгламасига кўйиб, қўйидагига эга бўламиш:

$$y_1(x) = \frac{1,34 x^2}{EJ_z} + \frac{0,2 x^3}{EJ_z} - \frac{3,5 (x - 5)^3}{6EJ_z}$$

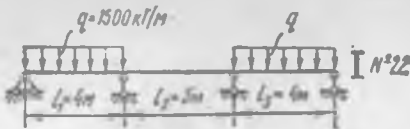
$$x > 5$$

Бундан:

$$y_2 = y_1(l_1) = \frac{1}{EJ_z} (-75,38 + 84,38 - 9,11) \approx 0,$$

бу эса, ҳисоб тўғри эканлигини тасдиқлайди.

Худди шунга ўхшаш ўнг таянчдаги салқилик ҳам нолга тенглигини текшириш мумкин.



9. 14-расм.

8) Мустаҳкамлик шарти бўйича балка кўндаланг кесимининг керакли қаршилик моментини аниқлаймиз:

$$W_z > \frac{M_{\max}}{[\sigma]} = \frac{3,33 \cdot 10^6}{1600} = 208 \text{ cm}^3,$$

бунга 22-номерли қўштавр мос келади.

#### Мустақил ечиш учун масалалар

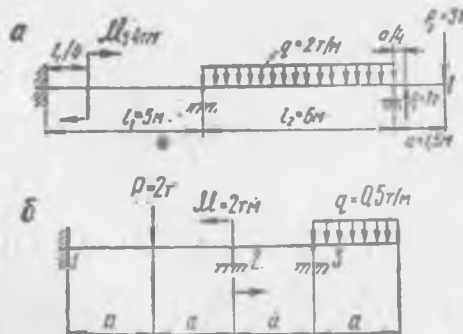
9.4. 9.14-расмда тасвирланган балканинг кўндаланг кесимида ҳосил бўладиган энг катта нормал кучланиш аниқлансин ҳамда кесувчи куч ва эгувчи момент эпюралари қурилсин.

Жавоби.  $\sigma_{\max} = 1087 \text{ кГ/см}^2$

9.5. Агар  $[\sigma] = 1600 \text{ кГ/см}^2$  бўлса, мустаҳкамлик шарти бўйича, балка кўндаланг кесимининг ўлчамлари (қўштаврининг керакли номери) аниқлансин (9.15-расм, а, б).

Кўрсатма. 9.15-расм, б бўйича балка учун юк эпюраларини қуришда таянч кесимга қўйилган  $M$  моментни биринчи ёки иккинчи пролётларга тўла равишда ўтказиш мақсадга мувофиқ бўлади, яъни уни хаёлан чапга ўки ўнгга чексиз кичик масофага сиљитиш керак.

Жавоби. а) 24а-номерли; б) 16-номерли.



9. 15-расм.

## 9.3-§. СТАТИК АНИҚМАС ЭҢГ ОДДИЙ ТЕКИС РАМАЛАР

Агар рамани ташкил этувчи стерженларнинг кўндаланг кесимларидағи ички күч факторларини фақатгина статика тенгламаларини қўллаш асосида топиш мумкин бўлмаса, у ҳолда рама статик аниқмас бўлади.

Статик аниқмас рамаларнинг ҳисоби қўйидаги тартибда баҳарилади.

1. Раманинг статик аниқмаслик даражаси белгиланади, яъни „ортиқча“ номаълумлар сони аниқланади. Масалан, 9.16-расм, *a* да тасвирланган рама уч марта статик аниқмасдир. Номаълум реактив кучларнинг умумий сони олтига тенг: ҳар бир таянч (*A* ва *B*) да учтадан реактив факторлар—горизонтал ва вертикал реакциялар ва реактив момент ҳосил бўлади. Текис кучлар системаси учун учта статика тенгламаларини тузиш мумкин.

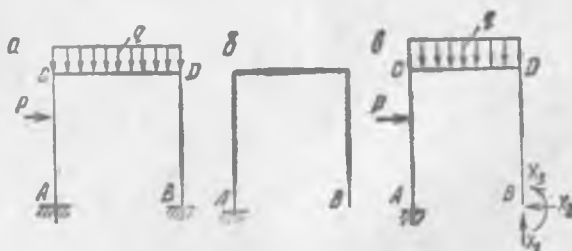
Шундай қилиб, номаълумлар сони статика тенгламалари сонидан учтага ортиқ ( $6 - 3 = 3$ ), демак берилган рама учта „ортиқча“ номаълумларга ёга.

2. Берилган системадаги „ортиқча“ боғланишларни олиб ташлаш йули билан асосий статик аниқ система ҳосил қилинади. Масатан, келтирилган рамада ўнг таянчни олиб ташлаш мумкин, бунда рама синиқ консолга айланади, бу эса берилган рама учун асосий статик аниқ система бўлади (9.16-расм, *b*).

Асосий система геометрик ўзгармас бўлиши керак.

Ташлаб юборилган боғланишлар кучлар билан алмаштирилди, улар изланувчи „ортиқча“ номаълумлар ҳисобланади. Улар берилган рамада *B* таянчнинг учта реакциялари бўлиб,  $X_1$ ,  $X_2$ ,  $X_3$  лар билан белгиланади (9.16-расм, *c*). Берилган кучлар ва изланувчи „ортиқча“ номаълумлар билан юкланган асосий система берилган системага эквивалент бўлиши керак.

3. Ортиқча номаълумларни аниқлаш учун күч усулининг каноник тенгламаларини тувамиш.



9. 16-расм.

Учта „ортиқча“ номаълумли рама учун каноник тенгламалар құпидаги күрнешінде булады:

$$\Delta_1 = X_1 \delta_{11} + X_2 \delta_{12} + X_3 \delta_{13} + \Delta_{1P} = 0;$$

$$\Delta_2 = X_1 \delta_{21} + X_2 \delta_{22} + X_3 \delta_{23} + \Delta_{2P} = 0;$$

$$\Delta_3 = X_1 \delta_{31} + X_2 \delta_{32} + X_3 \delta_{33} + \Delta_{3P} = 0.$$

Биринчи тенглама  $B$  кесимнинг берилған нагрузка ва  $X_1$ ,  $X_2$ ,  $X_3$  күчлар таъсирида  $X_1$ , йұналишида күчишларининг йиғиндиси нолға тең деган маънени англатады; иккінчи тенглама  $B$  нүктәнинг нагрузка ва  $X_1$ ,  $X_2$ ,  $X_3$  күчлар таъсирида  $X_2$  йұналишида күчишларининг йиғиндиси нолға тең эканлыгиги күсатады; учинчи тенглама эса,  $B$  кесимнинг берилған нагрузка ва изланувчи номаълум реакциялар таъсирида буралиш бурчаги нолға теңг эканлыгини курсатады.

Агар рамада иккита „ортиқча“ номаълум бўлса, у ҳолда иккита каноник тенглама ёзилади:

$$\Delta_1 = X_1 \delta_{11} + X_2 \delta_{12} + \Delta_{1P} = 0,$$

$$\Delta_2 = X_1 \delta_{21} + X_2 \delta_{22} + \Delta_{2P} = 0.$$

Битта „ортиқча“ номаълум бўлганда эса. битта каноник тенгламага эга бўламиш:

$$\Delta_1 = X_1 \delta_{11} + \Delta_{1P} = 0.$$

Бу тенгламаларда күчишлар иккита индексга эга: биринчи-си күчиш йұналишини курсатади, иккінчиси эса шу күчишни вужудга келтирувчи сабабни англатади.

$\delta_{11}$  –  $B$  кесимнинг  $X_1$  йұналишида қўйилған бирлик күч таъсирида шу йұналиш бўйича кўчиши;

$\delta_{12}$  – ўша кесимнинг  $X_2$  ўрнига қўйилған бирлик күч таъсирида  $X_1$  йұналишида кўчиши;

$\delta_{13}$  – ўша кесимнинг  $X_3$  ўрнига қўйилған бирлик күч (қаралаётган мисолда момент) таъсирида  $X_1$  күч йұналишида кўчиши;

$\delta_{21}$  –  $B$  кесимнинг  $\bar{X}_1 = 1$  бирлик күч\* таъсирида  $X_2$  йұналишида кўчиши;

$\delta_{22}$  – ўша кесимнинг  $\bar{X}_2 = 1$  бирлик күч таъсирида  $X_2$  йұналишида кўчиши;

$\delta_{23}$  – ўша кесимнинг  $\bar{X}_3 = 1$  бирлик күч (момент) таъсирида  $X_2$  йұналишида кўчиши;

$\delta_{31}$  –  $B$  кесимнинг  $\bar{X}_1 = 1$  бирлик күч таъсирида  $X_3$  күч (момент) йұналишида кўчиши;

\* „Ортиқча“ номаълумлар  $X_1$ ,  $X_2$  ва  $X_3$  күчлар (моментлар) иш ҳозир ва бундан кейин  $\bar{X}_1$ ,  $\bar{X}_2$  ва  $\bar{X}_3$  күчлар (моментлар) иш билан белгилаймиз.

- $\delta_{22}$  — ўша кесимнинг  $X_2 = 1$  бирлик куч таъсирида  $X_3$ , йуналиши бўйича кўчиши;
- $\delta_{33}$  — ўша кесимнинг  $X_3 = 1$  бирлик куч (момент) таъсирида  $X_3$  йуналишида кўчиши;
- $\Delta_{1P}$  —  $B$  кесимнинг берилган нагрузка таъсирида  $X_1$ , куч йуналишида кўчиши;
- $\Delta_{2P}$  — ўша кесимнинг берилган нагрузка таъсирида  $X_2$ , куч йуналишида кўчиши;
- $\Delta_{3P}$  —  $B$  кесимнинг ўша нагрузка таъсирида  $X_3$ , куч (момент) йуналишида кўчиши.

Кўчишларнинг ўзаро боғланиши ҳақидаги теорема бўйича  $\delta_{13} = \delta_{21}$ ;  $\delta_{13} = \delta_{31}$ ;  $\delta_{23} = \delta_{32}$ . Бу кўчишлар (уларда индекслар ҳар хил) ёрдамчи кўчишлар деб аталади. Улар мусбат, манфий катталикларга эга ёки нолга тенг бўлиши мумкин.

$\delta_{11}$ ,  $\delta_{22}$ ,  $\delta_{33}$  кўчишлар (иккакала индекси бир хил) бош кўчишлар деб аталади. Улар доимо мусбат қийматларга эга ёки нолга тенг бўлиши мумкин.

4. Каноник тенгламаларга кирувчи кўчишлар аниқланади. Бунда Мор интегралидан фойдаланилади. У ғурманнинг тўғри чизиқли участкасида Верещагин усули билан ҳисобланади.

5. Каноник тенгламаларни ечиб, „ортиқча“ номаълумларнинг қийматлари топилади. Сунгра берилган нагрузка ва топилган „ортиқча“ номаълумлар (улар ҳисоблашнинг шу этапида номаълум эмас) таъсирида бўлган асосий системани қараб, ҳудди оддий статик аниқ рама каби  $N$ ,  $Q$  ва  $M$  эпюралари қурилади.

6. Моментларнинг охирги эпюрасини бирлик момент эпюраларидан бирига кўпайтириб (масалани ечишда фойдаланилган асосий системасидан бўлган бирлик эпюрага кўпайтириш мақсадга мувофиқ бўлади; шуни эсда тутиш керакки, берилган ихтиёрий система учун жуда кўп асосий система мавжудлар), ечим текширилади. Бу кўрсатма битта ортиқча номаълумли система учун таалуқли эмас.

Кўшимча равишда шуни таъкидлаймизки, баъзан шундай ҳоллар ҳам учрайдики, „ортиқча“ номаълум сифатида рама стерженларидан биронгасининг у ёки бу кўндаланг кесимида ҳосил бўладиган ички куч факторларини қабул қилишга тўғри келиши мумкин. Бундай системалар ички статик аниқмас системалар деб аталади. Шундай системага ўхшаш мисоллардан бири 9.17-расмда келтирилган. Ҳар қандай бикр ёпиқ контур уч марта статик аниқмас. 9.17-расмдаги рама ташқи статик аниқ таянч реакциялари статика тенгламаларидан топилади, лекин уч марта ички статик аниқмас. Асосий системани рама стерженларидан бирини кесиш йўли билан ҳосил қилинади (симметрия

ўки бўйича кесиш мақсадга мувофиқ). 9.17-расмдаги рама учун берилган нагрузка ва изланувчи „ортиқча“ номаълумлар таъсиридаги асосий система 9.18-расмда кўрсатилган. Табиийки, каноник тенгламаларни ёзиши шакли аввалгича қолади, лекин уларни физик-геометрик мъъноси ўзгаради. Масалан, бу ҳолда  $\Delta_{11} = 0$  кесиш ўтказилгандан сунг ҳосил бўлган  $K$  кесимнинг четлари вертикаль бўйича ўзаро кўчишга эга бўлмаслигини кўрсатади, зероки бу ерда кесим ягонаиди. Қолган икки каноник тенгламалар ҳам шунга ўхаш талқин қилинади.

9.4-мисол. 9.19-расм, а да тасвиirlанган рама учун  $N$ ,  $Q$  ва  $M$  эпюралари қурилсин. Рама стерженлари кесимларининг бикрлиги бир хилда.

Ечиш. Рамага тўртта боғланиш қўйилган: қистириб маҳкамланган ва қўзгалувчи шарнирли таянчлар; статика учта музозанат тенгламаларини беради, дёмак система бир марта статик аниқмас.

Қўзгалувчи шарнирли таянчни ташла юбориб асосий системани таълаймиз. Берилган нагрузка ва изланувчи „ортиқча“ номаълумлар таъсиридаги асосий система 9.19-расм, б да кўрсатилган. Битта „ортиқча“ номаълумли система учун каноник тенглама кўйидаги кўриннишда бўлади:

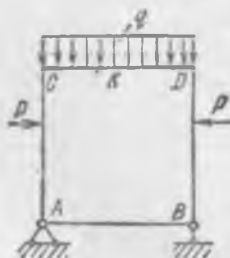
$$X_1 \delta_{11} + \Delta_{1P} = 0.$$

$X_1$ , ўрнига  $\bar{X}_1 = 1$  бирлик кучни қўямиз (9.19-расм, в) ва эгувчи моменгларнинг мос эпюрасини қурамиз (9.19-расм, г). Сўнгра асосий системани фақат берилган нагрузка таъсирида қарайдимиз (9.19-расм, д) ва бу нагрузка таъсиридан ҳосил бўладиган эгувчи моментларнинг эпюрасини ясаймиз (9.19-расм, е).

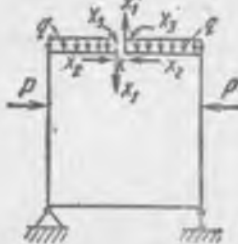
Бош кўчиш  $\delta_{11}$  ва юк кўчиш  $\Delta_{1P}$  ларни ҳисоблашмиз.

$\delta_{11}$  ни аниқлаш учун Верешчагин қоидаси бўйча  $M$ , эпюрасини ўзини-ўзига кўпайтирамиз:

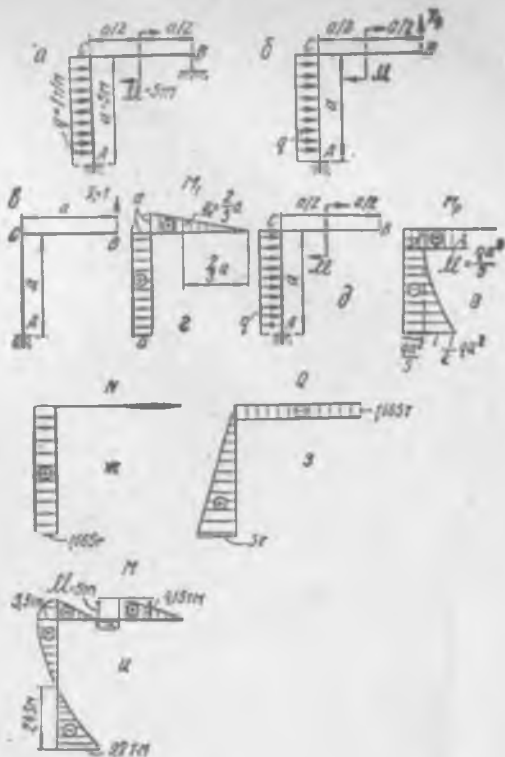
$$EI_x \delta_{11} = \frac{1}{2} aa \frac{2}{3} a + aaa = \frac{4}{3} a^3.$$



9.17-расм.



9.18-расм.



### 9. 19-расм.

$\Delta_{1P}$  ни аниқлаш учун  $M_p$  эпюрасини  $M_1$ , эпюрасига күпайтирамиз: бунда улардан биринчисини вертикаль стержень бүйича түғри түртбұрчак ва параболик учебурчакка бўламиз:

$$EJ_{z=1} = -\frac{qa^3}{5} \cdot \frac{a}{2} \cdot \frac{3}{4}a - \frac{qa^3}{5} \cdot a \cdot a - \frac{1}{3} \cdot \frac{qa^3}{2} \cdot a \cdot a = \\ = -qa^4 \left( \frac{3}{40} + \frac{1}{5} + \frac{1}{6} \right) = -\frac{53}{120} qa^4.$$

Хосил булган миқдорларни каноник тенгламага құйып, қуийдеги натижаны топамыз:

$$X_1 - \frac{4}{3}a^2 - \frac{53}{120}qa^4 = 0,$$

бундан

$$X_1 = \frac{53}{160} qa = \frac{53}{160} \cdot 1 \cdot 5 = 1,665 \text{ T.}$$

$X_1$ , күчнинг мусбат қиймаги олдиндан таҳмин қилинганидек, ҳақиқатан ҳам унинг юқорига қараб йўналганлигини курсатади (9.19-расм, б га қаранг).

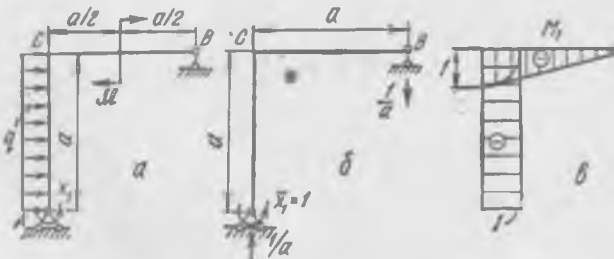
$N$ ,  $Q$  ва  $M$  эпюраларини 9.19-расм, б ни кўзда тутгаи ҳолда, худди одатдаги статик аниқ рама каби қурамиз (9.19-расм, ж, з, и).

Ечимни текшириш учун қистириб маҳкамланган таянчни шарнирли қўзғалмас таянч билан алмаштириб, янги асосий системани оламиз. Бу асосий система берилган нагрузка ва „ортиқча“ номаълум ( $X_1$ , момент) билан 9.20-расм, а да кўрсатилган.  $\bar{X}_1$  — 1 бирлик момент билан нагрузкалланган асосий системани қараб (9.20-расм, б), шу нагрузка таъсирида ҳосил бўлган эгувчи момент эпюрасини қурамиз (9.20-расм, в). Берилган рама учун эгувчи моментининг охнрги эпюрасини (9.19-расм, и) 9.20-расм, в да тасвиirlанган эпюрага кўпайтмаси (Верешчагин қоидаси бўйича) нолга teng бўлиши керак, чунки бу кўпайтма берилган нагрузка ва „ортиқча“ номаълумлар таъсирида асосий системанинг  $A$  кесими буралиш бурчагининг миқдорини беради. Ўз-ўзидан маълумки, бу буралиш бурчаги нолга teng, чунки берилган системада  $A$  кесим маҳкамланган. Эпюраларни ўзаро кўпайтиришни ўқувчиларга мустақил бажариш учун тавсия қиласиз.

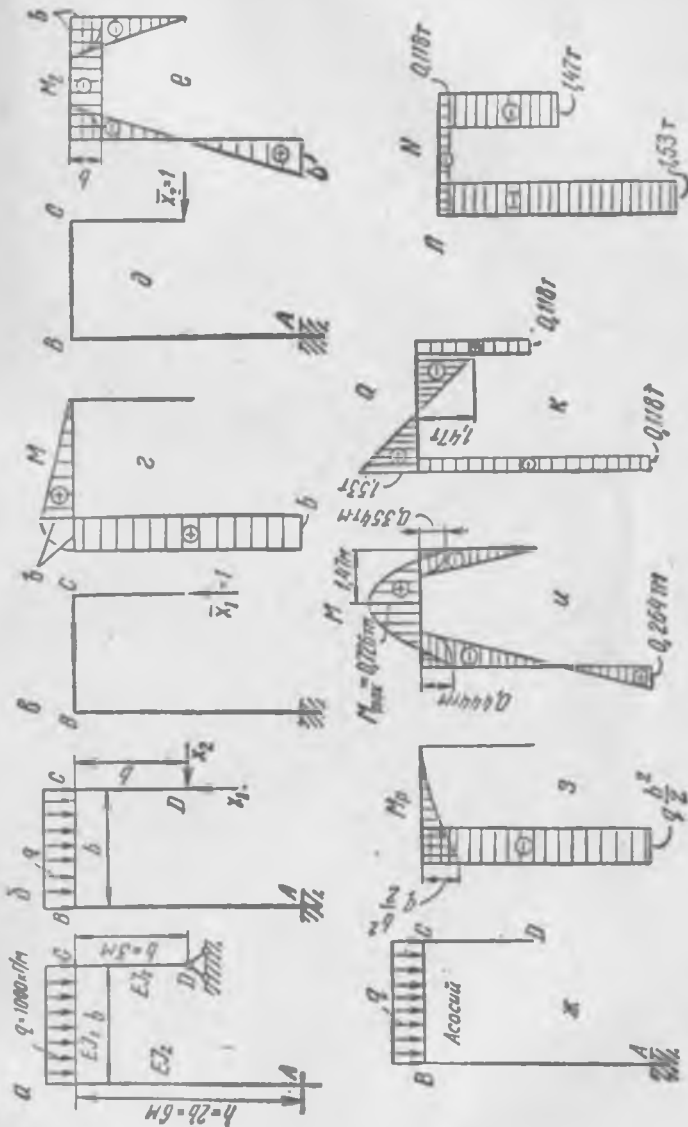
Шуни таъкидлаш керакки, мазкур ҳолда ечимни текшириш учун бошқа асосий системадан фойдаланишга зарурият бўлмайди, чунки эски ва янги асосий системаларда бирлик эпюралар фикат ишоралари билангина фарқ қиласди (9.19-расм, г ва 9.20-расм, в ларга қаранг).

9.5-мисол. Берилган рама (9.21-расм, а) учун  $M$ ,  $Q$ ,  $N$  эпюралари қурилсин.

Е ч и ш. Берилган рамада бешта реактив зўриқишлар мавжуд булиб, учтаси қистириб маҳкамланган ва иккитаси шарнирли қўзғалмас таянчлар. Демак, рама икки марта статик аниқмас. Шарнирли қўзғалмас таянчни ташлаб юбориб, статик аниқ асосий системани ҳосил қиласиз. Шарнирли қўзғалмас таянчнинг рамага таъсирини номаълум реакциялар  $X_1$  ва  $X_2$  лар



9.20-расм.



9. 21 - пасм.

билин алмаштирамиз; эквивалент системани ҳосил қиласиз (9.21-расм, б).

Иккита ортиқча номаълумли статик аниқмас рама учун каноник тенгламалар системаси қўйидаги кўринишда бўлади:

$$X_1 \delta_{11} + X_2 \delta_{12} + \Delta_{1P} = 0,$$

$$X_1 \delta_{21} + X_2 \delta_{22} + \Delta_{2P} = 0.$$

Каноник тенгламалардаги кўчишлар (коэффициентлар ва озод ҳадлар) ни аниқлаймиз. Бунинг учун асосий системани кетма-кет  $\bar{X}_1 = 1$  (9.21-расм, б),  $\bar{X}_2 = 1$  (9.21-расм, д) кучлар ва берилган нагрузкалар (9.21-расм, ж) билан юклаб, эгувчи моментларнинг мос эпюраларини қурамиз (9.21-расм, г, е, з).

$$\Delta_{1P} = -\frac{1}{EJ_z} \left( \frac{qb^2}{2} \cdot 2b \cdot b + \frac{1}{3} \cdot \frac{qb^2}{2} b \cdot \frac{4}{3} b \right) = -\frac{9qb^4}{8EJ_z};$$

$$\Delta_{2P} = \frac{1}{EJ_z} \cdot \frac{1}{3} \cdot \frac{qb^2}{2} bb = \frac{qb^4}{6EJ_z};$$

$$\delta_{11} = \frac{1}{EJ_z} \left( \frac{1}{2} bb \cdot \frac{2}{3} b + b 2b b \right) = \frac{7b^3}{3EJ_z};$$

$$\delta_{12} = \delta_{21} = -\frac{1}{EJ_z} \cdot \frac{1}{2} bbb = -\frac{b^3}{2EJ_z};$$

$$\delta_{22} = \frac{1}{EJ_z} \left( 3 \cdot \frac{1}{2} bb \cdot \frac{2}{3} b + bbb \right) = \frac{25b^3}{6EJ_z}.$$

Ўрнига қўйғандан сўнг:

$$\frac{7b^3}{3EJ_z} X_1 - \frac{b^3}{2EJ_z} X_2 - \frac{9qb^4}{8EJ_z} = 0,$$

$$-\frac{b^3}{2EJ_z} X_1 + \frac{2b^3}{EJ_z} X_2 + \frac{qb^4}{6EJ_z} = 0.$$

Соддалаштиргандан кейин:

$$56X_1 - 12X_2 - 27qb = 0,$$

$$-3X_1 + 12X_2 + qb = 0.$$

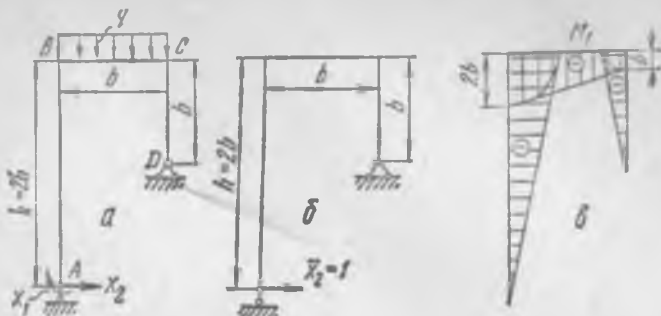
Тенгламаларни ечиб, қўйидагиларни топамиз:

$$X_1 = \frac{25}{53} qb = \frac{25}{53} \cdot 1 \cdot 3 = 1,47 T;$$

$$X_2 = \frac{25}{636} qb = \frac{25}{636} \cdot 1 \cdot 3 = 0,118 T.$$

$X_1$  ва  $X_2$  ларнинг мусбат қийматлари бу реакцияларнинг йўналишлари тўғри танланганлигини курсатади.

Энди берилган рамани статик аниқ рама каби ҳисоблаб,  $M$  эгувчи моментнинг умумий (йигинди) эпюрасини (9.21-расм,



9. 22-расм.

и), шунингдек  $Q$  кесувчи (9.21-расм,  $\kappa$ ) ва  $N$  бўйлама (9.21-расм,  $\lambda$ ) кучларнинг эпюраларини қуриш мумкин.

Эгувчи момент йигинди эпюрасининг тўғри ясалганлигини текшириш учун, уни масалани ечишда фойдаланнилмаган бирлик эпюралардан бирига „кўпайтириш“ керак. Масалан, қистириб маҳкамланган таянчни шарнирили қўзгалувчи таянч билан алмаштириш (9.22-расм,  $a$ ) ва  $X_1$  ўрнига қўйилган бирлик кучга мос келувчи эгувчи моментлар эпюрасини қуриш мумкин (9.22-расм,  $b$ ,  $c$ ). Ўзаро кўпайтириш натижаси нолга тенг бўлиши керак, чунки  $A$  кесим ҳеч қандай йўналишлар бўйича кучишга эга эмас.

Чап устун бўйича  $M$  нинг эпюрасини шу устуннинг бугун баландлиги бўйича қурилган икки учбурчак эпюраларининг йигиндиси каби кўрсатиш мумкин: бирни  $B$  нуқтада максимал ординатага эга, иккинчиси эса,  $A$  нуқтада.

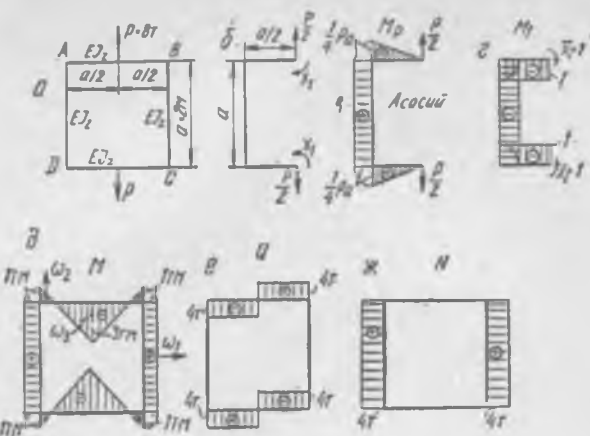
Ригелдаги эгувчи момент эпюрасини ўқдан пастда ётувчи трапеция (уни тўғри тўртбурчак ва ўзбурчакларға ажратамиз) ва ўқдан юқорида ётувчи уни  $\frac{q b^2}{2}$  бўлган симметрик параболик сегмент биримаси каби кўрсатамиз.

Шундай қилиб, қўйидагиларни ҳосил қиласми:

$$EJ_z \Delta_2 = \frac{1}{2} \cdot 0,354 \cdot 3 \cdot \frac{2}{3} \cdot 3 + 0,354 \cdot 3 \cdot \frac{3}{2} \cdot 3 + \frac{1}{2} \cdot 0,09 \times \\ \times 3 \cdot \frac{5}{3} \cdot 3 - \frac{2}{3} \cdot \frac{1 \cdot 3^2}{8} \cdot 3 \cdot \frac{3}{2} \cdot 3 + \frac{1}{2} \cdot 0,444 \cdot 6 \cdot \frac{2}{3} \cdot 6 - \frac{1}{2} \cdot 0,264 \times \\ \times 6 \cdot \frac{1}{3} \cdot 6 = 11,85 - 11,70;$$

Яъни ҳисоблашнинг тақрибийлиги билан боғлиқ бўлган хатолик  $\frac{0,15 + 100\%}{11,85 + 11,70} = 1,27\%$

ни ташкил этади.



9. 23-расм.

9.6-мисол. Берилган рама (9.23-расм, а) учун  $M$ ,  $Q$  ва  $N$  эпюралари қурилсун.

Ечиш. Ёник текис рама—уч марта ички статик аниқмас система, чунки рама исталган стерженининг ихтиёрий кундаланг кесимида умумий ҳолда учта ички куч факторлари  $M$ ,  $Q$  ва  $N$  лар ҳосил бўлади, уларни статика тенгламаларидан аниқлаш мумкин эмас.

Рамани вертикаль симметрия ўқи бўйича кесамиз. У вақтда ҳар бир бўлакка  $\frac{P}{2}$  куч ва  $X_1$  момент таъсири қиласди. Берилган кучлар ва изланувчи „ортиқча“ номаълумлар билан юкланган асосий система (аниқроги унинг ярмиси) 9.23-расм, б да кўрсатилган. Маълумки, кесилган жойда бўйлама ва кесувчи кучлар ҳосил бўлиши мумкин эмас; демак, рама уч марта статик аниқмас бўлса ҳам статик аниқмасликни очиш учун фақат битта каноник тенглама тузиш керак:

$$\delta_{11} X_1 + \Delta_{1P} = 0$$

Шундай қилиб, берилган ҳолда асосий системани рационал танлаш уч марта статик аниқмас системани ечишини фақатгина битта „ортиқча“ номаълумни излашга келтиришга имкон берди.

Кўчишни топиш учун берилган нагрузка (9.23-расм, в) ва бирлик момент  $X_1 = 1$  (9.23-расм, г) таъсиридан ҳосил бўладиган эгувчи момент эпюраларини қурамиз ва Верешчагин қон-

даси бүйнча уларни ўзаро купайтириб құйидагиларни ҳосил қиласыз:

$$b_{11} = \frac{1}{EJ_z} \left( 2 \cdot 1 \cdot \frac{a}{2} + 1 \cdot a \right) = \frac{2a}{EJ_z};$$

$$\Delta_{1P} = -\frac{1}{EJ_z} \left( 2 \cdot \frac{1}{2} \cdot \frac{1}{4} Pa \cdot \frac{a}{2} \cdot 1 + \frac{1}{4} Pa \cdot a \cdot 1 \right) = -\frac{3Pa^3}{8EJ_z}.$$

Хосил бүлган қийматларни каноник тенгламаға құйғандан кейин  $X_1$  ни топамыз:

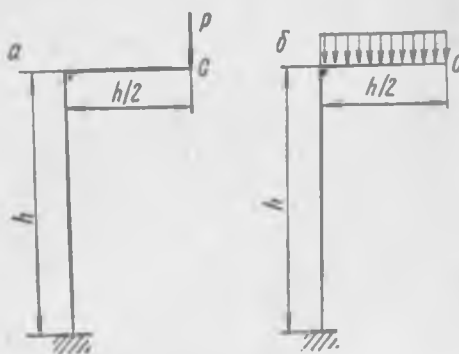
$$\frac{2a}{EJ_z} X_1 - \frac{3Pa^3}{8EJ_z} = 0,$$

$$X_1 = \frac{3}{16} Pa = \frac{3}{16} \cdot 8 \cdot 2 = 3 T \cdot m$$

Энди статик аниқ рамани ҳосил қилдик, одатдаги усуллар билан әгувчи момент, кесувчи ва бүйлама күчларнинг эпюраларини қурамыз (9.23- расм,  $d, e, ж$ ).

### Мустақил ечиш учун масалалар

9.6\*. 9.24-расмда тасвирланған синиқ бруслар учун  $C$  кесимнинг вертикал күчишлари ва буралиш бурчаклары аниқланын.



9.24-расм.

\* Статик аниқмас текис рамалар (синиқ бруслар) да күчишларни аниқлашга доир масалалар бу параграфта Мор методини ва Верещагин қондасини рамаларга татбиқ этиш маҳоратнин оширишга ёрдам беруви материял сифатыда киритилди. Бу малака каноник тенгламалардан усталык өнлан фойдаланиш учун зарурдир.

Жаоби.

$$a) \delta_C = \frac{7}{24} \frac{Ph^3}{24EJ_z}; \quad \theta_C = \frac{5}{8} \frac{Ph^3}{EJ_z};$$

$$b) \delta_C = \frac{9qh^4}{128EJ_z}; \quad \theta_C = \frac{7}{48} \frac{qh^3}{EJ_z}.$$

9.7. Берилган рамалар (9.25-расм) учун  $N$ ,  $Q$ ,  $M$  эпюралари қурилсун.

Жаоби.

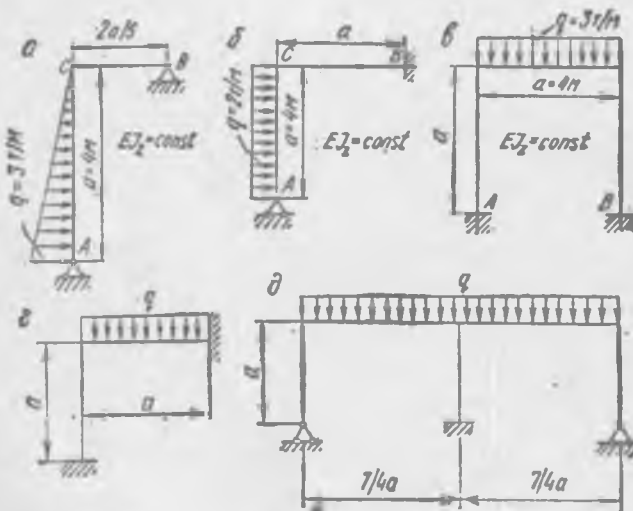
$$a) M_{\max} = 3 T \cdot m.$$

$$b) M_{\max} = 2,94 T \cdot m.$$

$$c) M_{\max} = M_A = M_B = 6,63 T \cdot m.$$

$$d) M_{\max} = \frac{5}{48} qa^3.$$

$$d) \delta_{\max} = \frac{21}{64} qa^3.$$



9. 25-расм.

## Х б о б

### ҚИЙШИҚ ЭГИЛИШ

#### 10. I-§. АСОСИЙ ТУШУНЧАЛАР ВА ҲИСОБЛАШ ФОРМУЛАЛАРИ

Агар ташқи күчларнинг таъсир текислиги бруснинг бош текисликларидан бирортаси билан устма-уст тушмаса, у ҳолда брус қийшиқ эгилиш таъсирида булади (10. I-расм).

Қийшиқ эгилиш икки хил булади: текис қийшиқ эгилиш (барча ташқи күчлар бир текисликда ётади, бруснинг эластик чизиги—текис әгри чизик) ва фазовий қийшиқ этилиш (ташқи күчлар ҳар хил текисликларда таъсир этади, эластик чизик—фазовий әгри чизик).

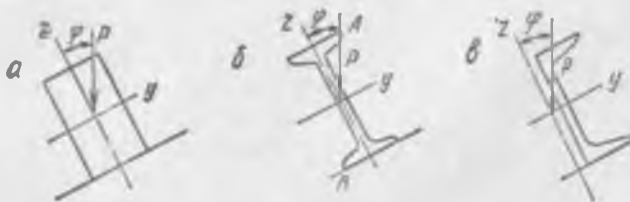
#### Текис қийшиқ эгилишін

Ташқи күчни кундатанг кесимнинг бош ўқлари бүйича ташкил этувчиларга ажратиб, қийшиқ эгилишни ўзаро перпендикуляр булган, бош текисликларда содир бўлувчи икки тўғри эгилишларнинг йигинидиси каби қарашимиз мумкин.

Қийшиқ эгилишла мустақамликка ҳисоблаш, қондага кўра, фақат нормал күчланиш бўйича олиб борилади.

Брус кўндаланг кесимининг ихтиёрий нуқтасидаги нормал күчланиш күчлар таъсирининг мустақиллиги принципига асосан қўйидаги формула бўйича аниқланади:

$$\sigma = \frac{M_y}{J_y} z + \frac{M_x}{J_z} y,$$



10. I-расм.

бу ерда  $M_z$ ,  $M_y$  — күндаланг кесимнинг марказий бош ўқлари ( $z$  ва  $y$ ) га нисбатан эгувчи моментлари;

$J_z$ ,  $J_y$  — брус күндаланг кесимнинг марказий бўш ўқлари  $z$  ва  $y$  га нисбатан инерция моментлари.

$z$  ва  $y$  — кучланиши излангаётган нуқтанинг координаталари.

Агар биринчи чоракка тегишли нуқталардаги эгувчи моментлар  $M_z$  ва  $M_y$  га чўзувчи нормал кучланишлар мос келса, формулада эгувчи моментлар мусбат ишора билан, агар сиқувчи бўлса, манфий ишора билан олинади.

Нуқта координаталари  $x$  ва у ўз ишоралари билан олинади.

Нолинчи (ёки нейтрал) чизикни кесим нуқталарининг геометрик ўрни каби қараб, бу нуқталардаги нормал кучланишларнинг нолга тенг эканлигини ҳисобга олиб, унинг тенгламасини ҳосил қиласиз:

$$\frac{M_y}{J_y} z + \frac{M_z}{J_z} y = 0,$$

еки

$$z = -\frac{M_z}{M_y} \cdot \frac{J_y}{J_z} y.$$

Бу тўғри чизик тенгламаси бўлиб, уннинг бурчак коэффициенти

$$k = \operatorname{tg} \alpha = -\frac{M_z}{M_y} \cdot \frac{J_y}{J_z} = -\frac{J_y}{J_z} \operatorname{tg} \varphi.$$

Бу ерда  $\varphi$  — кучнинг  $Oz$  ўқига оғиш бурчаги (10.1-расмга қаранг).

Қийшиқ эгилишда нейтрал чизик куч чизигига перпендикуляр бўлмаган тўғри чизикдир.

Қийшиқ эгилишда салқиликни аниқлаш учун ҳам кучлар таъсирининг мустаҳкиллик принципи қўлланилади. Тўла салқилик бош ўқларнинг йўналишлари бўйича ҳосил бўладиган салқиликларнинг геометрик йиғиндисига тенг бўлади:

$$f = \sqrt{f_y^2 + f_z^2}.$$

Текис қийшиқ эгилишда тўла салқиликнинг йўналиши нейтрал чизикка перпендикуляр ва куч чизиги билан устма-устушмайди (шунинг эгилиш қийшиқ деб аталади).

Мустаҳкамликка ҳисоблаш хавфли кесимнинг хавфли нуқтасидаги кучланиш бўйича олиб борилади. Бир хил күндаланг кесимли бруслар хавфли кесим эгувчи момент энг катта қийматга эришадиган жойда бўлади. Пластик материалдан ясалган брус учун бу кесимда хавфли нуқта нолинчи чизикдан энг

улоқда жойлашған нүқта бұлади. Материалы пластик брус үчүн мустақамликтік шарты

$$\sigma_{\max} = \frac{\max M_y}{J_y} z_A + \frac{\max M_z}{J_z} y_A \leq [\sigma],$$

Буда  $y_A$  ва  $z_A$  — хавфли нүқта координаталари.

Мұрт материалдан ясалған брус үчүн, хавфли кесимдә энг катта чүзувчи ва энг катта сиқувчи күчланишли нүқталар үчүн (агар  $|\max \sigma_c| > \max \sigma_q$  бўлса) мустақамликтік текшириб кўриш керак.

Буда мустақамликтік шарты

$$\max \sigma_q \leq [\sigma_q],$$

$$|\max \sigma_c| \leq [\sigma_c].$$

Агар  $\max \sigma_q > |\max \sigma_c|$  бўлса, у буда мустақамликтік текшириб фақат энг катта чүзувчи күчланишли нүқта үчүн баражилади.

Иккита симметрия ўқига ва иккала бош ўқлардан бир вақтда энг узоқлашған нүқталарга эга бўлган кесим үчүн (масалан, тўғри тўртбурчак, қўштавр) хавфли нүқтани нолинчи чизикнинг ҳолатини аниқламасдан туриб, топиш мумкин.

Иккала бош ўқлардан энг узоқлашған бурчакдаги нүқта хавфли бўлади (пластик материал үчүн  $A$  ёки  $B$  нүқта, мұрт материал үчүн  $B$  нүқта хавфли, чунки унда чўзувчи күчланиши ҳосил бўлди деб тахмин қилинади (10.1-расм, б)).

Буда мустақамликтік шарты

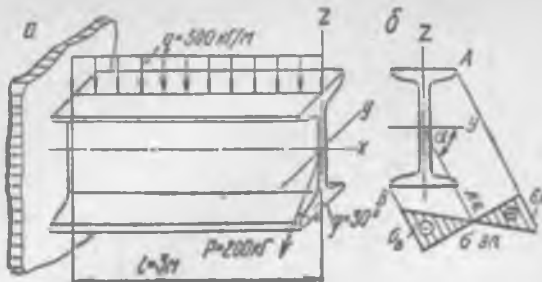
$$\sigma_{\max} = \frac{\max M_y}{W_y} + \frac{\max M_z}{W_z} \leq [\sigma].$$

### Фазовий қийшиқ өгилиш

Мустақамликтік ҳисоблаш худди текис қийшиқ өгилиш каби олиб борилади.  $M_y$  ва  $M_z$  лар ҳар хил кесимларда максимумга эришиши мумкин бўлгани үчүн фақатгина хавфли кесимни топиш қийинлашади. Одатда мустақамликтік ҳисоблаш  $\max M_y$  ва  $\max M_z$  ли икки кесим үчүн бажарилади.

## 10.2-§. Қийшиқ өгилишга ҳисоблаш үчүн мисоллар

**10.1-мисол.** Агар  $[\sigma] = 1600 \text{ кГ/см}^2$  бўлса, у буда балка кўндаланг кесимининг ўлчамлари аниқлансан (10.2-расм, а). Кесимнинг топилган профили бўйича балканинг максимал салқилигининг миқдори ва йўналиши аниқлансан.



10.2-расм.

Ечиш. Энг катта әгувчи момент қистириб маңкамланган таянчда ҳосил бўлади:

$$\begin{aligned}\max M_x &= (P \sin \varphi) l = (200 \sin 30^\circ) 3 = 300 \text{ кГ} \cdot \text{м} \\ \max M_y &= \frac{q l^2}{2} + (P \cos \varphi) l = \frac{500 \cdot 3^2}{2} + (200 \cos 30^\circ) 3 = \\ &= 2770 \text{ кГ} \cdot \text{м}.\end{aligned}$$

$M_x$  момент горизонтал текисликда,  $M_y$  момент эса, вертикал текисликда таъсир этади.

Мустаҳкамлик шарти қўйидаги кўринишда бўлади:

$$\sigma_{\max} = \frac{\max M_y}{W_y} + \frac{\max M_x}{W_x} \leq [\sigma]$$

Бу тенгламада иккита номаълум:  $W_y$  ва  $W_x$  бор.

Сортамент жадвалига қараб, ўртacha ўлчамли қўштавр балкалар учун  $\frac{W_y}{W_x}$  нисбат 6 дан 8 гача қийматга эга бўлишини аниқлаймиз (сортамент жадвалида  $\frac{W_y}{W_x}$ ).

Кесимни танлаш учун олдиндан нисбат  $\frac{W_y}{W_x} = 8$  ни қабул қиласиз. У вақтда

$$\sigma_{\max} = \frac{\max M_y}{W_y} + \frac{\max M_x \cdot 8}{W_y} = \frac{\max M_y + 8(\max M_x)}{W_y} \leq [\sigma],$$

бундан

$$W_y = \frac{\max M_y + 8(\max M_x)}{[\sigma]} = \frac{277 \cdot 10^3 + 8 \cdot 3 \cdot 10^4}{1600} = 324 \text{ см}^3.$$

Сортамент бўйича  $W_y = 317 \text{ см}^3$  ва  $W_x = 41,6 \text{ см}^3$  бўлган 24а-номерли қўштавр тўғри келади.

Балканинг мустаҳкамлигини текшириш:

$$\sigma_{\max} = \frac{2770 \cdot 10^3}{317} + \frac{300 \cdot 10^3}{41,6} = 1594 \text{ кГ/см}^2 < [\sigma] = 1600 \text{ кГ/см}^2.$$

Нормал кучланишнинг эпюраси 10.2-расм, б) да келтирилган. Нейтрал чизиқнинг ҳолатини мустақил аниқлашни ўкувчига тавсия қиласиз.

Максимал салқилик балканинг эркин учида бўлади.  $xOz$  текислигидаги

$$f_z = \frac{1}{EJ_y} \left( \frac{qI^4}{8} + \frac{Pl^3 \cos \varphi}{3} \right) = \frac{1}{2 \cdot 10^6 \cdot 3800} \left( \frac{5 \cdot 3^4 \cdot 10^8}{8} + \frac{200 \cdot 3^3 \cdot 0,866 \cdot 10^6}{3} \right) = 0,876 \text{ см.}$$

$xOy$  текислигидаги салқилик, эса

$$f_y = \frac{1}{EJ_z} \frac{Pl^3 \sin \varphi}{3} = \frac{1}{2 \cdot 10^6 \cdot 260} \cdot \frac{200 \cdot 3^3 \cdot 10^6 \cdot 0,5}{3} = 1,73 \text{ см.}$$

Балка эркин учининг тўла салқилиги

$$f = \sqrt{f_x^2 + f_y^2} = \sqrt{0,876^2 + 1,73^2} = 1,94 \text{ см.}$$

Салқилик у ўқига  $\alpha$  бурчак остида йўналган бўлади:

$$\operatorname{tg} \alpha = \frac{f_y}{f_x} = \frac{1,73}{0,876} = 1,975;$$

$$\alpha = 63^\circ 10'.$$

**10.2-мисол.** Агар  $[\sigma_u] = 350 \text{ кГ/см}^2$ ,  $[\sigma_c] = 1300 \text{ кГ/см}^2$  бўлса, чўян бруснинг мустаҳкамлиги текширилсан (10.3-расм, а).

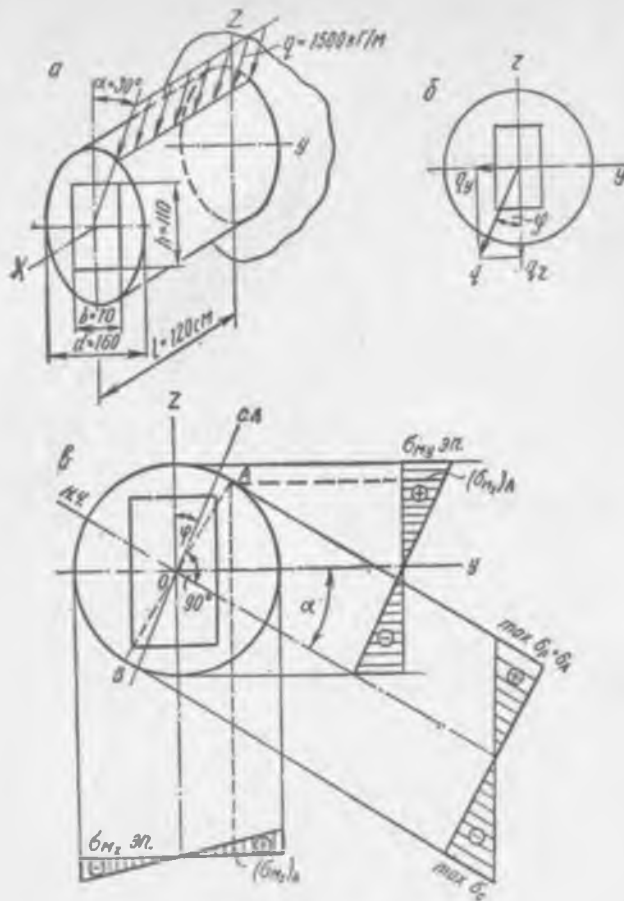
Бруснинг хавфли кўндаланг кесими учун кучланиш эпюраси қурилсин.

Ечиш. Брус текис қийшиқ эгилишга ишлайди. Нагрузкани бош ўқлар у ва  $z$  йўналиши бўйича ташкил этувчиларга ажратиб (10.3-расм, б), икки тўғри эгилиш бирикмасини ҳосил қиласиз. Қистириб маҳкамланган таянчдаги кесим хавфли бўлади.

$$\max M_y = \frac{q_z l^3}{2} = \frac{(q \cos \varphi)^l}{2} = \frac{1500 \cdot 0,866 \cdot 1,2^3 \cdot 100}{2} = 93,5 \cdot 10^3 \text{ кГ} \cdot \text{см},$$

$$\max M_z = \frac{q_y l^3}{2} = \frac{(q \sin \varphi)^l}{2} = \frac{1500 \cdot 0,5 \cdot 1,2^3 \cdot 100}{2} = 54,1 \cdot 10^3 \text{ кГ} \cdot \text{см}.$$

Ҳар бир эгувчи момент ( $M_y$  ва  $M_z$ ) га мос келувчи нормал кучланишларнинг қийматини ҳисобламасдан бу кучланишлар  $\sigma_u$  ва  $\sigma_{u_z}$  ларнинг эпюралари характеристини кўрсатамиз (10.3-расм, б).



10.3-расм.

Кесимнинг хавфли нуқтасини аниқлаш учун нолинчи чи-зиқ ҳолатини топамиз.

Нолинчи чизиқнинг бурчак коэффициенти  $k$  ни қыйидаги формуладан топамиз:

$$k = \operatorname{tg} \alpha = -\frac{J_x}{M_y} \cdot \frac{J_y}{J_z} = -\operatorname{tg} \varphi \cdot \frac{J_y}{J_z},$$

бу ердаги брус күндаланг кесимнинг инерция моментлари

$$J_y = \frac{\pi d^4}{64} - \frac{b h^3}{12} = \frac{\pi \cdot 16^4}{64} - \frac{7 \cdot 11^3}{12} = 3220 - 780 = 2440 \text{ см}^4;$$

$$J_z = \frac{\pi d^4}{64} - \frac{h b^3}{12} = \frac{\pi \cdot 16^4}{64} - \frac{11 \cdot 7^3}{12} = 3220 - 312 \approx 2910 \text{ см}^4.$$

У вақтда

$$k = \operatorname{tg} \alpha = -0,577 \cdot \frac{2440}{2910} = -0,485; \quad \alpha = -25^\circ 52'.$$

Манфий бурчак  $\alpha$  ни у ўқидан соат стрелкаси ҳаракати бўйича жойлаштирамиз ва нолинчи чизиқни ўтказамиз.

Кучланишнинг йигинди эпюрасини қуриш учун нолинчи чизиқдан максимал узоқлашган кесим нуқталарини қидириб топамиз. Бу нуқталар нолинчи чизиққа параллел бўлган кесимга икки уринма ўтказиш билан ҳосил қилинади. Булар 10.3-расм,  $v$  да кўрсатилган  $A$  ва  $B$  нуқталардир. Улардан хавфлироғи  $A$  нуқта (унда чўзувчи кучланиш ҳосил бўлади).

Эпюранинг  $\sigma$  ўқи нолинчи чизиққа перпендикуляр  $\sigma$  эпюрасини қуриш учун унинг битта нуқтасининг ординатасини ҳисоблаш етарлидир, чунки нолинчи нуқта аниқланган.

$\sigma_A$  ни топамиз:

$$\sigma_A = \frac{\max M_y}{J_y} z_A + \frac{\max M_z}{J_z} y_A.$$

$Oz$  кесма нолинчи чизиққа перпендикуляр эканлигидан фойдаланиб,  $A$  нуқта координаталарини топамиз:

$$y_A = \frac{d}{2} \sin \alpha = 8 \cdot 0,436 = 3,49 \text{ см},$$

$$z_A = \frac{d}{2} \cos \alpha = 8 \cdot 0,900 = 7,2 \text{ см}.$$

У вақтда

$$\sigma_A = \frac{93,5 \cdot 10^3}{2440} \cdot 7,2 + \frac{54,1 \cdot 10^3}{2910} \cdot 3,49 = 276 + 65 = 341 \text{ кГ/см}^2 < [\sigma_4],$$

яъни балканинг мустаҳкамлиги таъминланган.

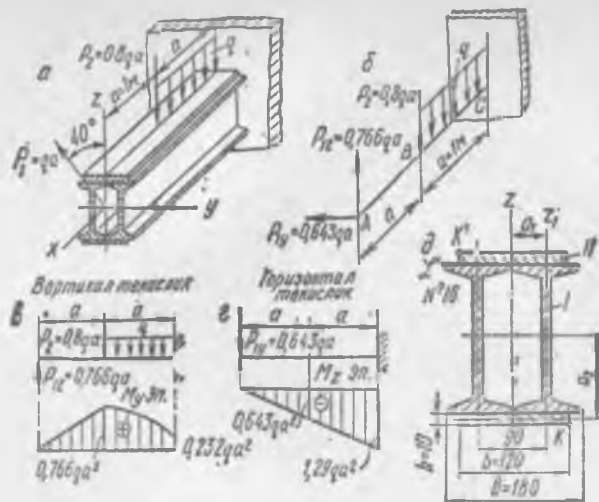
10.3- мисол. Агар  $[\sigma] = 1000 \text{ кГ/см}^2$  бўлса, у ҳолда 10.4-расм,  $a$  да тасвирланган бруслар учун рухсат этилган нагрузка аниқлансан.

Ечиш. Бруслар фазовий қийшиқ өгилиш таъсиридадир.  $P_1$  кучни  $O_1$ , ва  $O_2$  координата ўқлари бўйича ташкил этувчиларга ажратамиз (10.4-расм,  $b$ ), бруслар вертикал (10.4-расм,  $c$ ) ва горизонтал (10.4-расм,  $d$ ) текисликлардаги нагрузка таъсирида ҳисоблаш схемасини ҳамда бу нагрузкалар таъсиридан ҳосил буладиган  $M_y$  ва  $M_z$  ларнинг эпюраларини қурамиз (10.4-расм,  $e$ ,  $f$ ).

Мустаҳкамликка ҳисоблаш учун берилган мураккаб (кўшма) кесимнинг марказий бош инерция моментларини аниқлаьмиз (10.4-расм,  $\delta$ ):

$$J_y = 2J_y^1 + 2 \frac{bh^3}{12} + 2F_2 \cdot a_2^2 = 2 \cdot 945 + 2 \cdot \frac{12 \cdot 1^3}{12} + 2 \cdot 12 \cdot 1 \cdot 8,5^2 = \\ = 3620 \text{ см}^4.$$

$$J_z = 2J_z^1 + 2F_1 \cdot a_1^2 + 2 \frac{hb^3}{12} = 2 \cdot 77,6 + 2 \cdot 21,5 \cdot 4,5^2 + 2 \frac{1 \cdot 12^3}{12} = \\ = 1310 \text{ см}^4.$$



10.4-расм.

(Сортамент жадвалида  $J_y^1$  ва  $J_z^1$  мөс равишда  $J_x$  ва  $J_y$  лар билан белгиланган).

Мустаҳкамликка ҳисоблашни балканинг энг катта  $M_y$  ва энг катта  $M_z$  моментли икки кесими учун бажарамиз. Булар —  $B$  ва  $C$  кесимлардир. Улардан ҳар бирнда ҳисоблашни тахминан хавфли ҳисобланган икки  $K$  ва  $L$  (ёки уларга тенг хавфли бўлган  $K'$  ва  $L'$ ) нуқталар учун олиб борамиз. Берилган кесим бир вақтда иккала марказий бош ўқлардан максимал узоқлашган нуқталарга эга эмаслигини таъкидлаш керак.

$B$  кесимнинг  $K$  нуқтаси учун

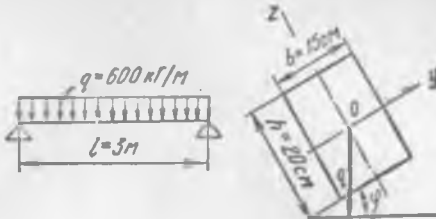
$$(\sigma_K)_B = \frac{M_{yB}}{J_y} z_K + \frac{M_{zB}}{J_z} y_K = \frac{0,766q \cdot 1^2 \cdot 10^5}{3620} 9 + \frac{0,643q \cdot 1^2 \cdot 10^5}{1310} 6 = \\ 191q + 492q = 683q.$$

$B$  кесимнинг  $L$  нуқтаси учун

$$(\sigma_L)_B = \frac{M_{yB}}{J_y} z_L + \frac{M_{zB}}{J_z} y_L = \frac{0,766q \cdot 1^2 \cdot 10^5}{3620} 8 + \frac{0,643q \cdot 1^2 \cdot 10^5}{1310} 9 = \\ 170q + 738q = 908q.$$

$C$  кесимнинг  $K$  нуқтаси учун

$$(\sigma_K)_C = \frac{M_{yC}}{J_y} z_K + \frac{M_{zC}}{J_z} y_K = \frac{0,232q \cdot 1^2 \cdot 10^5}{3620} 9 + \frac{1,29q \cdot 1^2 \cdot 10^5}{1310} 6 = \\ 57,7q + 986q = 1043,7q.$$



10.5-расм.

*C* кесимнинг *L* нуқтаси учун

$$(\sigma_L)_C = \frac{M_{yC}}{J_y} z_L + \frac{M_{zC}}{J_z} y_L = \frac{0,232q \cdot 1^2 \cdot 10^6}{3620} 8 + \frac{1,29q \cdot 1^2 \cdot 10^6}{1310} 9 = \\ = 51,3q + 1479q = 1530,3q.$$

*C* кесимнинг *L* нуқтаси хавфли булади. Оқибатда, мустаҳкамлик шарти

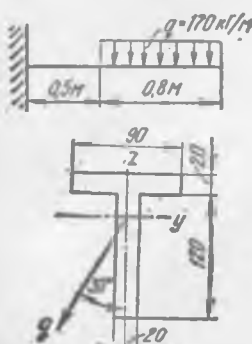
$$(\sigma_L)_C < [\sigma]; \quad 1530,3[q] = 1000;$$

$$[q] = \frac{1000}{1530,3} = 0,654 \text{ T/m.}$$

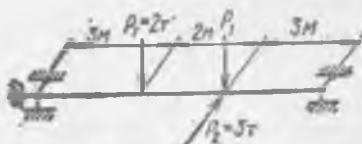
Мустақил ечиш учун масалалар

**10.1.** Ёғоч бруснинг мустаҳкамлиги текширилсин (10.5-расм), бунда  $[\sigma] = 100 \text{ kG/cm}^2$ ;  $\operatorname{tg} \varphi = \frac{1}{3}$ .

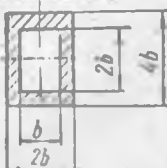
Жаһоби,  $\sigma_{\max} = 94,2 \text{ kG/cm}^2$ .



10.6-расм.



Балко кесими



10.7-расм.

10.2. Чўян бруснинг мустаҳкамлиги текширилсин (10.6-расм), бунда  $[\sigma_u] = 400 \text{ кГ/см}^2$ ,  $[\sigma_c] = 1300 \text{ кГ/см}^2$ . Бруснинг хавфли кесимида  $M$ , ва  $M_z$  эгувчи моментларга мос бўлган нормал кучланишларнинг эпюралари қурилсин.

Жавоби.  $\max \sigma_u = 388 \text{ кГ/см}^2 < [\sigma_u]$ .

10.3. 10.7-расмда кўрсатилган балка кўндаланг кесимининг керакли ўлчами  $b$  аниқлансин, бунда  $[\sigma] = 1600 \text{ кГ/см}^2$ .

Жавоби.  $b = 6 \text{ см.}$

## XI боб

### ЭГИЛИШ ВА ЧҮЗИЛИШ (СИҚИЛИШ) НИНГ БИРГА ТАЪСИРИ

#### 11.1-§. ЧҮЗИЛИШ (СИҚИЛИШ) БИЛАН БИРГА СОДИР БҮЛЛАДИГАН ЭГИЛИШ

Брусларни эгилиш ва ўқ бўйлаб юклашларнинг биргаликдаги таъсирида (11.1-расм) мустаҳкамликка ҳисоблаш фақат нормал кучланиш бўйича олиб борилади, яъни бўйлама  $N_x$  куч ва  $M_y$ , ва  $M_z$ , эгувчи моменгларнинг (эгилишнинг умумий ҳоли) таъсири ҳисобга олинади.

Фақат бикрлиги катта брусларни қарайдиз, чунки уларни ҳисоблашда эгилиш билан чўзилишининг ёки сиқилишининг биргаликдаги таъсиринни кучлар таъсирининг мустақиллiği принципин қўллаш мумкин. Хавфли кесимни аниқлаш учун  $N_x$ ,  $M_y$ ,  $M_z$ , эпюоралари қурилади. Мустаҳкамликка ҳисоблаш  $N_x$ ,  $M_y$  ва  $M_z$  лар бир вақтда максимумга эришадиган кесим учун бажарилади, агар ички куч факторларининг энг катта қийматларн ҳар хил кесимларга мос келса, у ҳолда ҳисоб бир неча кесимлар учун бажарилади.

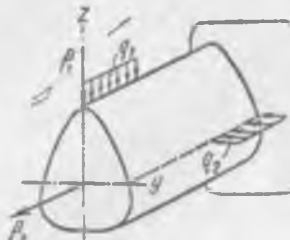
Брусларни эгилишининг ихтиёрий нуқтасидаги нормал кучланиш қўйидаги формула билан аниқланади.

$$\sigma = \frac{N_x}{F} + \frac{M_y}{J_y} z + \frac{M_z}{J_z} y.$$

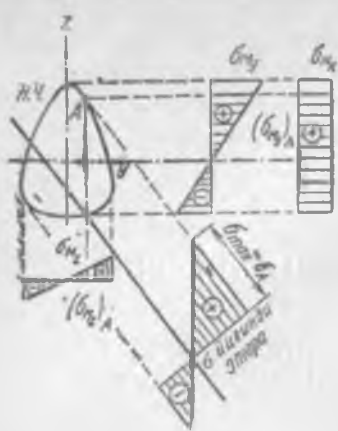
Кучланишлар ишорасини аниқлашда I бобда (чўзилиш-сиқилиш) ва X бобда (қийшиқ эгилиш) кўрсатиб ўтилган қондадарга амал қиласиз.

Ҳар бир ички куч факторига мос келувчи нормал кучланишларнинг эпюоралари ва кучланишларнинг йигинди эпюраси 11.2-расмда кўрсатилган. Кесим ихтиёрий нуқтасидаги  $\sigma$  ни аниқлайдиган ифоданинг ўнг қисмини нолга tenglab, нолинчли чизик тенгламасини ҳосил қиласиз.

$$\frac{N_x}{F} + \frac{M_y}{J_y} z + \frac{M_z}{J_z} y = 0.$$



11.1-расм



11. 2-расм.

Нолинчи чизиқ координата бошидан ўтмайдиган түгри чизиқтар.

Нейтрал чизиқ тенгламасини кесмалар бүйича түгри чизиқ тенгламаси күрнинишида ифодалаймиз:

$$\frac{x}{a_x} + \frac{y}{a_y} = 1.$$

Бу ерда

$$a_x = -\frac{j_y}{F} \cdot \frac{N_x}{M_y}, \quad a_y = -\frac{j_z}{F} \cdot \frac{N_x}{M_z},$$

еки

$$a_x = -\frac{j_y \cdot N_x}{M_y}, \quad a_y = -\frac{j_z \cdot N_x}{M_z}.$$

$$l_y = \sqrt{\frac{j_y}{F}} \text{ ва } l_z = \sqrt{\frac{j_z}{F}} \text{ мік-}$$

дорлар брус күндаланг кесимнинг бөш инерция радиуслари деб аталади;  $a_x$  ва  $a_y$  — нейтрал чизиқни  $z$  ва у үқлардан ажратадиган кесимларнинг узунліктері.

Пластик материалдан ясалған брус учун хавфли нұқта нейтрал чизиқдан максимал узоқлашған  $A$  нұқта бұлади (11.2-расм).

Мустаҳкамлық шарты

$$\sigma_{\max} = \frac{N_x}{F} + \frac{M_y}{J_y} z_A + \frac{M_z}{J_z} y_A \leq [\sigma].$$

Мұрт материалдан ясалған брусни мустаҳкамлыққа ҳисоблаш әнг катта сиқувчи ва құзұвчи күчланишли нұқта учун олиб борилади (агар  $|\max \sigma_c| > \max \sigma_n$  бұлса).

Иккى симметрия үқига әга бұлған ва иккала бош үқлардан бир вактда максимал узоқлашған нұқталарга әга бұлған (түгри түртбұрчак, құштавр) пластик материалдан ясалған кесимли бруснинг хавфли нұқтаси бурчакдаги нұқта бұлади, унда ұар бир күч факторига ( $N_x$ ,  $M_y$ ,  $M_z$ ) мос келувчи күчланишларнинг ишоралари бир хил бұлади. Бу қолда мустаҳкамлық шарты

$$\sigma_{\max} = \frac{N_x}{F} + \frac{M_y}{W_y} + \frac{M_z}{W_z} \leq [\sigma].$$

Мұрт материалдан ясалған брус учун бүйлама сиқувчи күч таъсирида ҳисоблашни әнг катта сиқувчи күчланишли иккита бурчак нұқта учун бажарыш керак.

Кесимни танлаш, аввал, бүйлама күчнинг таъсирини ҳисобға олмасдан бажарылади.

Күндаланг кесими доира бўлган брус учун

$$W_y = W_s = \frac{\sqrt{M_y^2 + M_z^2}}{[\sigma]}.$$

Күндаланг кесими тўғри тўртбурчак ёки қўштавр бўлган брус учун лойиҳа ҳисобининг формуласи қўйидаги кўринишда бўлади:

$$W_y > \frac{M_y + \frac{W_y}{W_s} M_z}{[\sigma]}.$$

Тўғри тўртбурчак томонлари нисбатнинг қийматини бериб, ушбу  $\frac{W_y}{W_s} = \frac{h}{b}$  нисбат ҳосил қилинади.

Қўштавр кесим учун  $\frac{W_y}{W_z}$  нисбатнинг ўртача қиймати берилади, сўнгра кетма-кет яқинлашиш усули билак керакли номер топилади.

Кесим ўлчамлари аниқлангандан кейин бўйлама куч таъсирни ҳисобга олиб, ҳисобнинг тўғрилиги узил-кесил текширилади ва зарурият туғилса, ўлчамлар ўзгартирилади.

11.1- мисол. Агар  $[\sigma] = 1600 \text{ кГ/см}^2$ ;  $P_1, P_2, M$ лар  $xz$  текислигига  $P_3$  эса  $xu$  текислигига жойлашган бўлса, мустаҳкамлик шартидан фойдаланиб брус күндаланг кесимининг ўлчамлари (швеллер номери) аниқлансан (11.3-расм  $a$ ).

Ечиш.  $P_1$  кучни  $x$  ва  $z$  ўқлар бўйича,  $P_2$  кучни эса  $x$  ва  $y$  ўқлар бўйича ташкил этувчиларга ажратамиз. Бруснинг ҳисоблаш схемаси 11.3-расм,  $b$  да кўрсатилган. Брус вертикал текисликда ( $P_2$  куч,  $P_1 \sin \alpha$  ташкил этувчи куч ва моменти  $M$  бўлган жуфт кучдан) эгилиш, горизонтал текисликда ( $P_3 \sin \beta$  ташкил этувчи кучдан) эгилиш ва ( $P_1 \cos \alpha$  ва  $P_3 \cos \beta$  ташкил этувчи кучлардан) чўзилиш таъсирида бўлади.

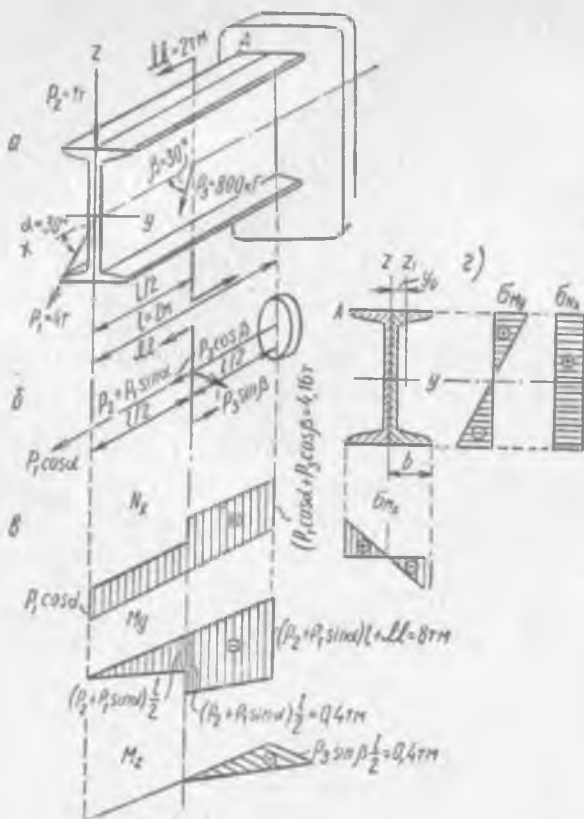
Бўйлама куч ( $N_x$ ) ва эгувчи моментлар ( $M_y$  ва  $M_z$ ) эпюралари 11.3-расм,  $b$  да кўрсатилган. Қистириб маҳкамланган жойдаги кесим хавфли бўлади.

Кесимнинг ўлчамларини аниқлаш учун  $M_y$ , момент таъсирида тўғри эгилишга ҳисоблаб синаб кўрамиз:

$$W_y = \frac{M_y}{[\sigma]} = \frac{800 \cdot 10^4}{1600} = 500 \text{ см}^3 \text{ (иккى швеллер учун).}$$

Сортамент бўйича энг яқин катта қаршилик моментига 24-номерли швеллер эга бўлади ( $W_y^! = 265 \text{ см}^3$ ). Сортаментда бу қаршилик моменти  $W_x$  билан белгиланган.

Балка кўндаланг кесимида  $M_y$  дан ташқари эгувчи момент  $M_z = 0,40 T \cdot m$  ва бўйлама куч  $N_x = 4,16 T$  ҳосил бўлишини ҳисобга олиб текшириш учун 27-номерли швеллерни оламиз.



11.3-расм.

Кесимнинг геометрик характеристикасини аниқлаймиз:

$$W_y = 2W_y^I = 2 \cdot 308 = 616 \text{ см}^3,$$

бу ерда  $W_y^I$  — битта швеллернинг қаршилик моменти (сортамент жадвалида  $W_y$ );

$$F = 2F_1 = 2 \cdot 35,2 = 70,4 \text{ см}^2$$
 — кесим юзи;

$J_z^I = 262 \text{ см}^4$  — битта швеллернинг инерция моменти (сортамент жадвалида  $J_z$ );

$$y_0 = 2,47 \text{ см}$$
 (сортаментда  $z_0$ );  $b = 9,5 \text{ см}$ .

Бутун кесимнинг инерция моменти (11.3-расм 2):

$$J_z = 2J_z^I + 2F_1 y_0^2 = 2 \cdot 262 + 2 \cdot 35,2 \cdot 2,47^2 = 956 \text{ см}^4;$$

$$W_z = \frac{J_z}{b} = \frac{956}{9,5} = 100,5 \text{ см}^3.$$

Ҳар бир күч факторига мос келувчи нормал күчланишларнинг эпюралари 11.3-расм, ә да тасвирланган күришида бўлади. Кесимнинг хавфли нуқтаси  $A$  нуқта бўлади, унда барча күчланишларнинг ишоралари бир хилда бўлади.  $A$  нуқтадаги күчланиши қўйидаги формуладан топамиз:

$$\sigma_{\max} = \frac{N_x}{F} + \frac{M_z}{W_z} + \frac{M_y}{W_y} = \frac{4160}{70,4} + \frac{0,4 \cdot 10^5}{100,5} + \frac{8 \cdot 10^5}{616} = 59,5 + 397 + 1300 = 1756 \text{ кГ/см}^2 > 1600 \text{ кГ/см}^2.$$

Ўта күчланиш деярли 10% ни ташкил этади, шунинг учун швельлернинг навбатдаги номери (№ 30) ни текширамиз. Унинг учун

$$W_y = 2W_y^t = 2 \cdot 387 = 774 \text{ см}^3;$$

$$F = 2F_t = 2 \cdot 40,5 = 81 \text{ см}^2;$$

$$J_z^t = 327 \text{ см}^4; \quad y_0 = 2,52 \text{ см}; \quad b = 10,0 \text{ см};$$

$$J_z = 2 \cdot 327 + 2 \cdot 40,5 \cdot 2,52^2 = 1168 \text{ см}^4;$$

$$W_z = \frac{J_z}{b} = \frac{1168}{10} \approx 117 \text{ см}^3.$$

$A$  нуқтадаги күчланиши ҳисоблаймиз:

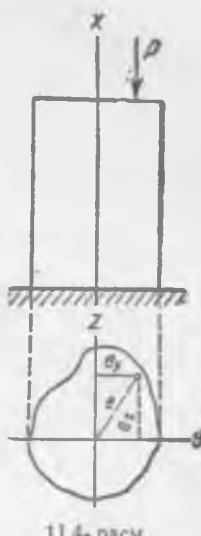
$$\sigma_{\max} = \frac{N_x}{F} + \frac{M_z}{W_z} + \frac{M_y}{W_y} = \frac{4160}{81} + \frac{0,4 \cdot 10^5}{117} + \frac{8 \cdot 10^5}{774} = \\ = 51,4 + 341 + 1030 = 1422 \text{ кГ/см}^2 < [\sigma].$$

Чала юкланиш 11% ни ташкил этади. 30- номерли швельлер билан қаноатланамиш.

## 11.2-§. НОМАРКАЗИЙ ЧЎЗИЛИШ (СИҚИЛИШ)

Брусларнинг бўйлама ўқига параллел бўлганл күч билан юкланганда номарказий чўзилиш (сиқилиш) содир бўлади (11.4-расм).

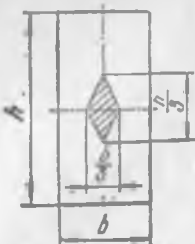
Е масофа экскентриситет, күч қўйилган нуқта эса полюс деб аталади. Кучни брусларнинг ўқига келтириш билан номарказий чўзилиш (сиқилиш) ни марказий чўзилиш (сиқилиш) билан соғ қийшиқ эгилишининг биргаликдаги таъсири каби тасвирлаш мумкин. Мустаҳкамликка ҳисоблаш эгилиш билан чўзилиш (сиқилиш) нинг биргаликдаги таъсири кўриб чиқилган ҳол учун келтирилган формулалар бўйича олиб борилади, лекин ички күч факторларининг эпюраларини қуришга зарурият қолмайди, чунки барча кесимлари инг хавфлилик даражаси бир хилдадир.



11.4-расм.



11.5-расм.



Нолинчи чизиқнинг марказий бош ўқлардан ажрагадиган кесмаларини ушбу қаралаётган ҳолда қўйилаги формула бўйича аниқлаш мумкин.

$$a_x = -\frac{J_y^I}{e_x}; \quad a_y = -\frac{J_x^I}{e_y},$$

бу ерда  $e_x$  ва  $e_y$  — эксцентриситеттинг марказий бош ўқлардаги проекци-

ялари, бу эса кутб координаталарининг худди ўзгинасадир.

Хусусий ҳолларда, балкага қўйилган номарказий куч-символларидан бирининг текислигига ётганида, шунингдек барча марказий ўқлари бош ўқлар бўлган кесим учун түғри эгилиш билан чўзилиш (сиқилиш) нинг биргаликдаги таъсири содир булади. Чўзилишга ёмон қаршилик кўрсатадиган материаллардан ишланган брус номарказий сиқилиш таъсирида бўлганида чўзувчи кучланишнинг пайдо булиши ўриниз ҳисобланади.

Агар нолинчи чизиқ кесимни кесиб ўтмаса, у ҳолда кесимнинг ҳамма жойида биркўйматли кучланишлар булади. Нолинчи чизиқнинг ҳолати қутбнинг ҳолати билан бөглиқ. Кесимга уринма бўлган нейтрал чизиқларга мос келувчи қутбларнинг геометрик урни кесим ядросининг контурини ташкил этади.

Агар номарказий куч кесим ядросининг ихтиёрий нуқтасига қўйилган бўлса, у ҳолда кесимнинг ҳамма жойида бир хил ишорали кучланиш ҳосил қиласди. Баъзи бир шакллар учун кесим ядроси 11.5-расмда кўрсатилган (штрихланган қисм).

**11.2-мисол.** Деталнинг (11.6-расм, а) т — п кесимидағи кучланишлари аниқлансин.

**Ечиш.** Бу ҳолда номарказий сиқилишни марказий сиқилишга ва  $zOx$  текисликдаги түғри соғ әгилишга келтириш мумкин.

Кесим оғирлик марказининг ҳолатичи аниқлаймиз ва кесимнинг марказий бош ўқ уга нисбатан инерция моментини ҳисоблаймиз (11.6-расм, б)

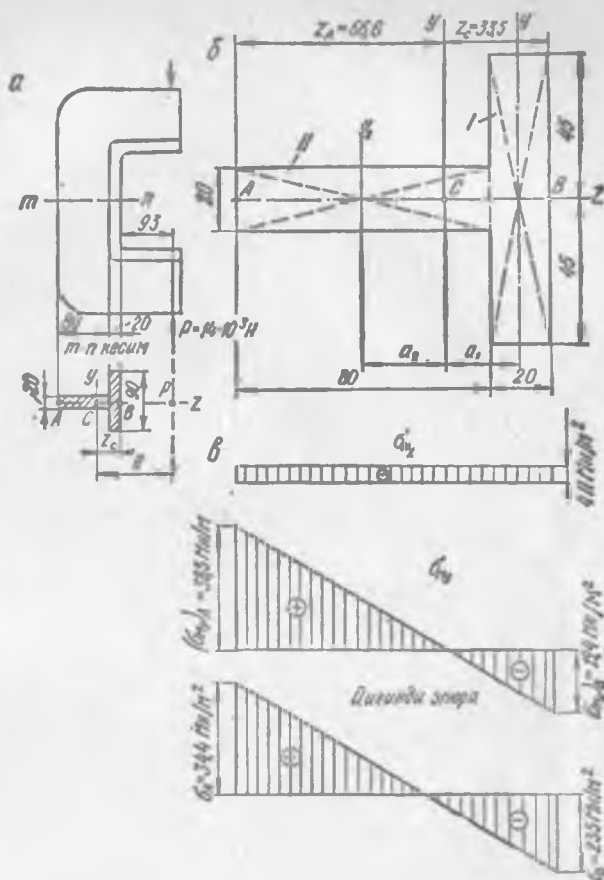
$$z_C = \frac{F_1 z_1 + F_2 z_2}{F_1 + F_2} = \frac{9 \cdot 2 \cdot 1 + 8 \cdot 2 \cdot 6}{9 \cdot 2 + 8 \cdot 2} = 3.35 \text{ см};$$

$$J_y = J_y^I + J_y^{II};$$

$$J_y^I = J_y^I + F_1 a_1^2 = \frac{9 \cdot 2^2}{12} + 9 \cdot 2(3.35 - 1)^2 = 105 \text{ см}^4;$$

$$J_y^{II} = J_y^{II} + F_2 a_2^2 = \frac{2 \cdot 8^2}{12} + 2 \cdot 8(6 - 3.35)^2 = 197 \text{ см}^4;$$

$$J_y = 105 + 197 = 302 \text{ см}^4.$$



11.6- расм.

Юза  $F = F_1 + F_2 = 18 + 16 = 34 \text{ см}^3$ .

Кесимда иккита ички күч фактори пайдо бўлади: бўйлама күч  $N_x = -P$  ва эгувчи момент  $M_y = -Pe$ , бу ерда  $e = 9,3 + 3,35 \approx 12,7 \text{ см}$ .

Марказий сиқилиш таъсиридан ҳосил бўладиган нормал кучланишлар (бўйлама кучга мос келувчи) кесимнинг барча нуқталарида бир хилдир:

$$\sigma_{N_x} = \frac{N_x}{F} = -\frac{P}{F} = -\frac{14 \cdot 10^3}{34 \cdot 10^{-4}} = -411 \cdot 10^4 \text{ Н/м}^2.$$

Эгилиш таъсиридан ҳосил бўладиган нормал кучланишлар кесимнинг чекка  $A(z_A = -6,65 \text{ см})$  ва  $B(z_B = z_C = 3,35 \text{ см})$  нуқталарида максимумга эришади:

$$(\sigma_{M_y})_A = -\frac{F_e}{J_y} z_A = -\frac{14 \cdot 10^3 \cdot 12,7 \cdot 10^{-2}}{302 \cdot 10^{-8}} (-6,65 \cdot 10^{-2}) = \\ = 385 \cdot 10^5 \text{ Н/м}^2 \text{ (чўзилиш);}$$

$$(\sigma_{M_y})_B = \frac{F_e}{J_y} z_B = -\frac{14 \cdot 10^3 \cdot 12,7 \cdot 10^{-2}}{302 \cdot 10^{-8}} 3,35 \cdot 10^{-2} = \\ = -194 \cdot 10^5 \text{ Н/м}^2 \text{ (сиқилиш).}$$

$N_x$  ва  $M_y$  ларга мос келувчи нормал кучланишларнинг эпюралари ва кучланишларнинг йигинди эпюраси 11.6-расм,  $\sigma$  да кўрсатилган.

Кучланишлар йигинди эпюрасининг чекка ординаталари:

$$\sigma_A = (\sigma_{M_y})_A + \sigma_{N_x} = 38,5 - 4,11 = 34,4 \text{ МН/м}^2;$$

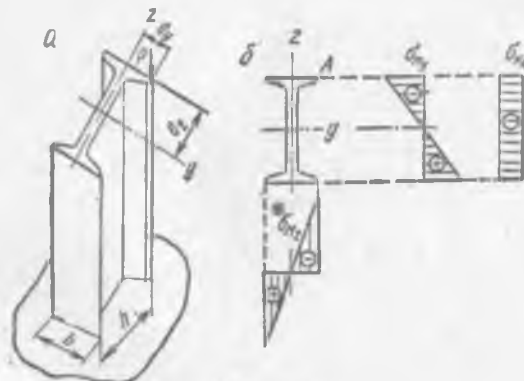
$$\sigma_B = (\sigma_{M_y})_B + \sigma_{N_x} = -19,4 - 4,11 = -23,5 \text{ МН/м}^2.$$

11.3-мисол. 30-номерли қўштавр кесимли калта устун номарказий сиқилиш таъсирида, уни марказий сиқувчи куч билан юкланган (11.7-расм,  $a$ ). Агар  $[\sigma] = 1400 \text{ кН/см}^2$  бўлса, у ҳолда рухсат этилган нагрузка аниқлансин.

Е ч и ш. Устун номарказий сиқилиш таъсирида, уни марказий сиқилиш ва соғф қийшиқ эгилишнинг биргаликдаги таъсири каби ифодалаш мумкин (кутб кесимнинг бош ўқларидан биронтасида ҳам ётмайди).

Кесимнинг геометрик характеристикасини сортамент жадвалидан оламиз:

$$h = 30 \text{ см}; \quad J_y = 7080 \text{ см}^4; \quad i_y = 12,3 \text{ см}; \\ b = 13,5 \text{ см}; \quad J_z = 337 \text{ см}^4; \quad i_z = 2,69 \text{ см}; \\ F = 46,5 \text{ см}^2; \quad W_y = 472 \text{ см}^3; \quad W = 49,9 \text{ см}^3.$$



11.7-расм.

Қутб координаталари

$$e_y = 6,75 \text{ см}; \quad e_z = 15 \text{ см}.$$

Ички күч факторлари барча кесимларда бир хилда:

$$N_x = -P; \quad M_y = -Pe_z; \quad M_z = -Pe_y.$$

Хар бир ички күч факторига мос келувчи нормал күчләнишлар эпюралари 11.7-расм, б да күрсатылган.

А нүкта хавфли бўлади.

Мустаҳкамлик шартини

$$|\max \sigma_c| = |\sigma_A| = \left| \frac{N_x}{F} + \frac{M_y}{W_y} + \frac{M_z}{W_z} \right| < [\sigma];$$

$$\begin{aligned} |\max \sigma_c| = & \left| \frac{P}{46,5} - \frac{P \cdot 15}{472} - \frac{P \cdot 6,75}{49,9} \right| = 0,0215P + 0,0318P + \\ & + 0,135P = 0,188P < [\sigma], \end{aligned}$$

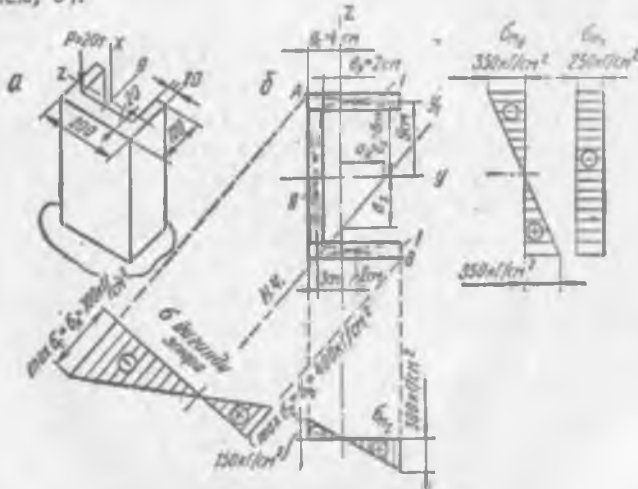
бундан

$$[P] = \frac{[\sigma]}{0,188} = \frac{1400}{0,188} = 7450 \text{ кГ.}$$

11.4-мисол. Агар  $[\sigma_q] = 400 \text{ кГ/см}^2$ ;  $[\sigma_c] = 1000 \text{ кГ/см}^2$  бўлса, у ҳолда калта чўян устуннинг мустаҳкамлиги текширилсин (11.8-расм, а).

Ечиш. Устун  $P$  күч таъсирида номарказий сиқилиш таъсирида бўлади, уни ўқ бўйлаб сиқилиш ва соф қийшиқ эглишнинг биргаликдаги таъсири каби кўрсатиш мумкин.

Аввал кесимнинг геометрик характеристикаларини аниқлаймиз. Кесим оғирлик маркази  $y_C$  нинг кесим деворидан узоқлик масофасини ҳисоблаб, кесимнинг бош ўқи  $z$  ни ўтказамиз (11.8-расм, б).



11.8-расм.

Кесимни учта түғри түртбұрчакка ажратамиз:

$$y_C = \frac{2F_1y_1 + F_2y_2}{2F_1 + F_2} = \frac{2 \cdot 24 \cdot 6 + 32 \cdot 1}{2 \cdot 24 + 32} = \frac{320}{80} = 4 \text{ см.}$$

Кесимнинг марказий бош инерция моментлари

$$J_y = 2\left(\frac{12 \cdot 2^3}{12} + 24 \cdot 9^2\right) + \frac{2 \cdot 16^2}{12} = 4580 \text{ см}^4;$$

$$J_z = 2\left(\frac{2 \cdot 12^3}{12} + 24 \cdot 2^2\right) + \frac{16 \cdot 2^2}{12} + 32 \cdot 3^2 = 1070 \text{ см}^4.$$

Кесимнинг инерция радиусларининг квадратлари

$$i_y^2 = \frac{J_y}{F} = \frac{4580}{2 \cdot 24 + 32} = \frac{4580}{80} = 57,3 \text{ см}^2;$$

$$i_z^2 = \frac{J_z}{F} = \frac{1070}{80} = 13,4 \text{ см}^2.$$

Ихтиёрий күндаланг кесимда ҳосил бўладиган ички куч факторлари:

$$N_x = -P; \quad M_y = -P|e_z|; \quad M_z = -P|e_y|;$$

бу ерда  $e_y = -2 \text{ см}$ ,  $e_z = 8 \text{ см}$  – кутб координаталари.

Кесимнинг хавфли нүқталарини топиш учун нолинчи чиңкнинг вазиятини аниқлаймиз, унинг координата ўқларидан (марказий бош ўқлардан) ажратган  $a_y$  ва  $a_z$  кесмаларини ҳисоблаймиз:

$$a_y = -\frac{i_z^2}{e_y} = -\frac{13,4}{-2} = 6,7 \text{ см};$$

$$a_z = -\frac{i_y^2}{e_z} = -\frac{57,3}{8} = -7,17 \text{ см.}$$

Чизмада нолинчи чизиқни ўтказиб (11.9-расм, б), қуйндагиларни аниқлаймиз: нолинчи чизиқдан кесимнинг энг узоқлашган нүқталари  $A(y_A = -4 \text{ см}, z_A = 10 \text{ см})$  нүқта, унда сиқувчи кучланиш ҳосил бўлади ва  $B(y_B = 8 \text{ см}, z_B = -10 \text{ см})$  нүқта, унда чўзувчи кучланиш ҳосил бўлади.

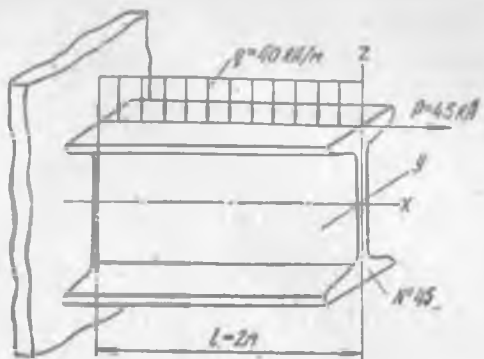
$|\sigma_A| > |\sigma_B|$  бўлгани учун, яъни  $|\max \sigma_c| > \max \sigma_q$  бўлгани учун мустаҳкамликка текширишни иккала нүқтада бажарамиз.

Энг катта сиқувчи кучланиш

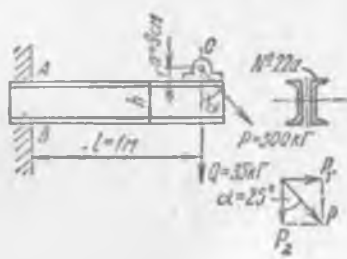
$$|\max \sigma_c| = |\sigma_A| = \left| \frac{N_x}{F} + \frac{M_y}{J_y} z_A + \frac{M_z}{J_z} y_A \right|,$$

$$|\max \sigma_c| = \left| -\frac{20000}{80} + \frac{20000 \cdot 8}{4580} \cdot 10 - \frac{20000 \cdot 2}{1070} \cdot 4 \right| =$$

$$= |-250 - 350 - 150| = 750 \text{ кГ/см}^2 < [\sigma_c].$$



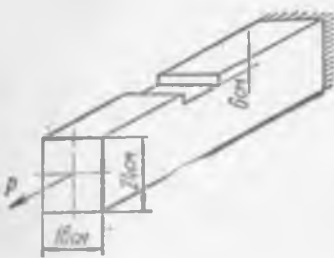
11.9-расм.



11.10-расм.



11.11-расм.



11.12-расм.

Бу назарияга күра (уни тұртнинчи деб атайды) мустақамлиқ шарты:

$$\sigma_{\text{екв}}^{\text{IV}} = \sqrt{\frac{1}{2}[(\sigma_1 - \sigma_2)^2 + (\sigma_2 - \sigma_3)^2 + (\sigma_1 - \sigma_3)^2]} < [\sigma_q].$$

Ушбу мустақамлиқ назарияларини фақат пластик материалдар учун құллаш мүмкін. Мұрт ва мұрт-пластик материалдар учун Морнинг мустақамлиқ назарияси (шартты равишда уни бешинчи мустақамлиқ назарияси деб атайды) құлланилади.

Мустақамлиқ шарты:

$$\sigma_{\text{екв}}^V = \sigma_1 - v\sigma_3 < [\sigma_q],$$

бу ерда  $v = \frac{[\sigma_q]}{|\tau_c|}$

## 12.2-§. БУРАЛИШ ВА ЭГИЛИШНИНГ БИРГАЛИКДАГИ ТАЪСИРИ. ЧҮЗИЛИШ ЁКИ СИҚИЛИШ БИЛАН БИРГА СОДИР БҰЛАДИГАН БУРАЛИШ

Буралыш билан чүзилиш (сиқилиш) ларнинг биргаликдаги таъсиридан брус күндаланған кесимларыда буровчи момент —  $M_x = M_6$  ва бүйлама күч  $N_x$  пайдо бұлади; буралыш билан өгилишларнинг биргаликдаги таъсиридан эса, буровчи момент ва әгувчи моментлар —  $M_y$  ва  $M_z$  пайдо бұлади (өгилишда пайдо бұладиган күндаланған күчлэр  $Q_y$  ва  $Q_z$  назарға олинмайды)\*.

Брус хавфли кесимини излаш учун ички күч факторларыннан әпюраларини қуриш керак бұлади. Айрым ҳолларда хавфли кесимни аниқлаб бұлмайды, бунинг учун мустақамлика текширишни бир неча кесимлар учун бажаришга тұғри келади.

Хавфли нүкта учун мустақамлика ҳисоблаш эквивалент күчланиш бүйінша олиб борилади. Эквивалент күчланиш әңгектте қийматта әга бұладиган нүкта хавфли бұлади.

Хавфли нүкталарда күрсатылған деформацияларнинг биргаликдаги таъсиридан оддий текис күчланиш ҳолати содир бұлади (II бобга қаранг). Эквивалент күчланишни қабул қи-линган мустақамлиқ назарияси асосида қойыдаги формула-лардан бири бүйінша ҳисоблаш мүмкін:

$$\sigma_{\text{екв}}^{\text{III}} = \sqrt{\sigma^2 + 4\tau^2};$$

$$\sigma_{\text{екв}}^{\text{IV}} = \sqrt{\sigma^2 + 3\tau^2};$$

$$\sigma_{\text{екв}}^V = \frac{1-v}{2}\sigma + \frac{1+v}{2}\sqrt{\sigma^2 + 4\tau^2}.$$

\* Хусусий ҳолларда әгувчи моментлардан фақат бири  $M_y$  ёки  $M_z$  пайдо бүлиши мүмкін.

Бу формулаларда:

$\tau$  — күндаланг кесимнинг хавфли нүқтасидаги уринма кучланиш;

$\sigma$  — шу нүктанинг ўзидағи нормал кучланиш.

Күндаланг кесими донра бўлган бруси эгилиш билан буравлишга ҳисоблашда хавфли кесим учун эквивалент момент деб аталувчи момент ҳисобланади.

Энг катта уринма кучланиш мустаҳкамлик назарияси бўйича

$$M_{\text{екв}}^{\text{III}} = \sqrt{M_x^2 + M_y^2 + M_z^2}.$$

Шакл ўзгаришининг солиштирма потенциал энергияси назарияси бўйича

$$M_{\text{екв}}^{\text{IV}} = \sqrt{0,75 M_x^2 + M_y^2 + M_z^2}.$$

$M_{\text{екв}}$  — энг катта қийматга эришадиган кесим хавфли кесим бўлади (бруснинг күндаланг кесими унинг узунлиги бўйича ўзгармас деб фараз қилинади). Бу кесимда хавфли нүқталар — куч чизигининг кесим айланга контури билан кесишиш нүқталарида бўлади.

Мустаҳкамлик шарти қўйидаги кўринишни олади:

$$\sigma_{\text{екв}} = \frac{M_{\text{екв}}}{W_s} < [\sigma_q].$$

12.1-мисол. Тасмали узатма валнинг диаметри учинчи мустаҳкамлик назариясидан фойдаланиб аниқлансан (12.1-расм, а). Шкивларнинг оғирликлари ҳисобга олинмасин;  $[\sigma] = 500 \text{ кГ/см}^2$ ;  $T = 2t$  деб қабул қилинсан.

Ечиш. 12.1-расм, б да I шкивга таъсир этувчи кучларни вал ўқига келтириш кўрсатилган.  $T_1$ , ва  $t_1$ , кучларни келтириш натижасинда шкив марказига (вал ўқига) қўйилган  $T_1 + t_1$  кучни ва вални  $M_{\text{б}} = (T_1 + t_1) \frac{D_1}{2}$  момент билан буровчи жуфт кучни ҳосил қиласиз.

Худди шунга ўхшаш II ва III шкивлар учун

$$M_{\text{б}} = (T_2 - t_2) \frac{D_2}{2};$$

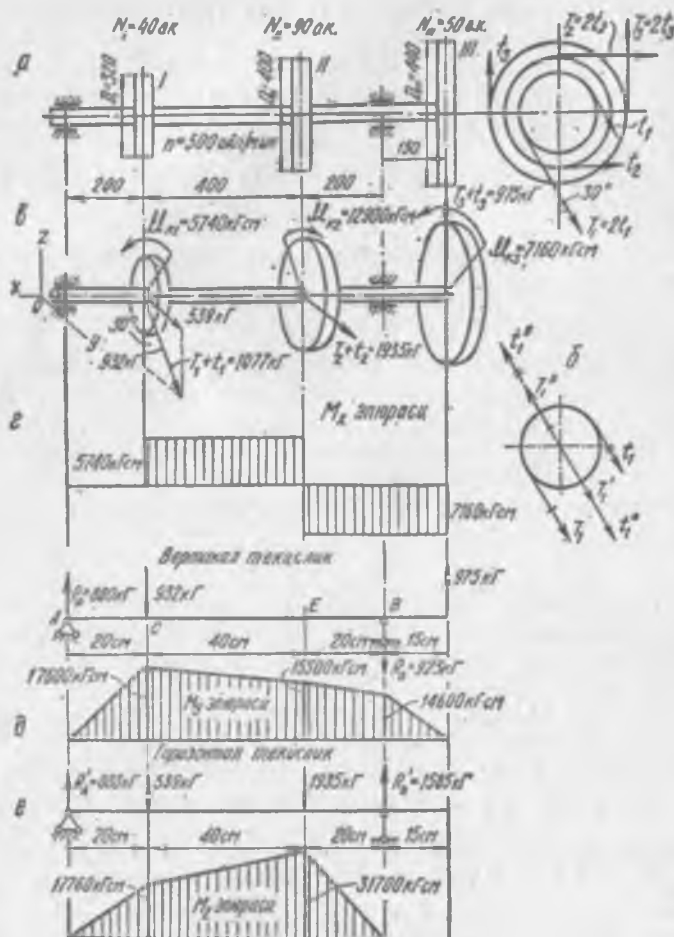
$$M_{\text{б}} = (T_3 - t_3) \frac{D_3}{2}.$$

Ҳар бир шкив томонидан узатиладиган буровчи моментларни ҳисоблаймиз:

$$M_{\text{б}} = 71620 \cdot \frac{40}{500} = 5740 \text{ кГ·см};$$

$$M_{\text{б}} = 71620 \cdot \frac{90}{500} = 12900 \text{ кГ·см};$$

$$M_{\text{б}} = 71620 \cdot \frac{50}{500} = 7162 \text{ кГ·см}.$$



12. 1-расм.

Хар бир шкивда тасма тармоқларининг тараглигини тортилиш кучларини аниқлаймиз, бунда олдинроқ ҳосил қилинган кучлар билан моментлар орасидаги муносабатлардан фойдаланамиз ва  $T = 2t$  эканлигини назарга оламиз.

$$t_1 = \frac{2M_{61}}{D_1} = \frac{2 \cdot 5740}{32} = 359 \text{ kG}; \quad T_1 = 2t_1 = 718 \text{ kG};$$

$$T_1 + t_1 = 1077 \text{ kG};$$

$$t_2 = \frac{2 \cdot M_{62}}{D_2} = \frac{2 \cdot 12900}{40} = 645 \text{ кГ}; \quad T_2 - 2t_2 = 1290 \text{ кГ};$$

$$T_2 + t_2 = 1935 \text{ кГ}.$$

$$t_3 = \frac{2 \cdot M_{63}}{D_3} = \frac{2 \cdot 7160}{44} = 325 \text{ кГ}; \quad T_3 = 2t_3 = 650 \text{ кГ};$$

$$T_3 + t_3 = 975 \text{ кГ};$$

Вални ҳисоблаш схемаси 12.1-расм, *в* да күрсатилган.

Вал  $M_{60}$ ,  $M_{61}$ ,  $M_{63}$  моментлар таъсирида буралади; вертикаль текисликда ( $T_1 + t_1$ ) кучнинг вертикаль ташкил этиувчи чиси  $(T_1 + t_1) \cos 30^\circ = 1077 \cdot 0,866 = 932 \text{ кГ}$  ва  $T_2 + t_2 = 975 \text{ кГ}$  кучлар таъсиридаги эгилиш, ҳамда горизонтал текисликда  $(T_1 + t_1) \sin 30^\circ = 1077 \cdot 0,5 = 539 \text{ кГ}$  ва  $T_3 + t_3 = 1935 \text{ кГ}$  кучлар таъсиридаги эгилиш таъсирида бўлади.

$M_x$  буровчи моментнинг эпюраси 12.1-расм, *г* да күрсатилган.

Вертикаль ва горизонтал текисликлардаги эгувчи моментларнинг эпюралари ва ҳисоблаш схемалари 12.1-расм, *д*, *е* ларда күрсатилган. Эгувчи моментларнинг эпюраларини қуришда вал шарнирли таянчларда ётувчи балка каби қаралади. Таянч реакцияларини аниқлашга ва эпюраларни қуришга тұхтамаймиз, чунки бу масалалар VI бобда мукаммал ёритилган.

Е кесим хавфли бўлади, бунга ишонч ҳосил қилиш унча қийин эмас, чунки унда эквивалент момент энг катта қийматга эга бўлади:

$$M_{\text{екб}}^{\text{III}} = M_{\text{екб}} = \sqrt{M_x^2 + M_y^2 + M_z^2} = \sqrt{7160^2 + 15500^2 + 31700^2} = \\ = 36000 \text{ кГ} \cdot \text{см}.$$

Мустаҳкамлик шартидан вал диаметрини аниқлаймиз:

$$\sigma_{\text{екб}} = \frac{M_{\text{екб}}}{W_z} = \frac{M_{\text{екб}}}{\frac{\pi d^3}{32}} < [\sigma],$$

$$d \geq \sqrt[3]{\frac{32 M_{\text{екб}}}{\pi [\sigma]}} = \sqrt[3]{\frac{36000 \cdot 32}{3,14 \cdot 500}} = 9,04 \text{ см}.$$

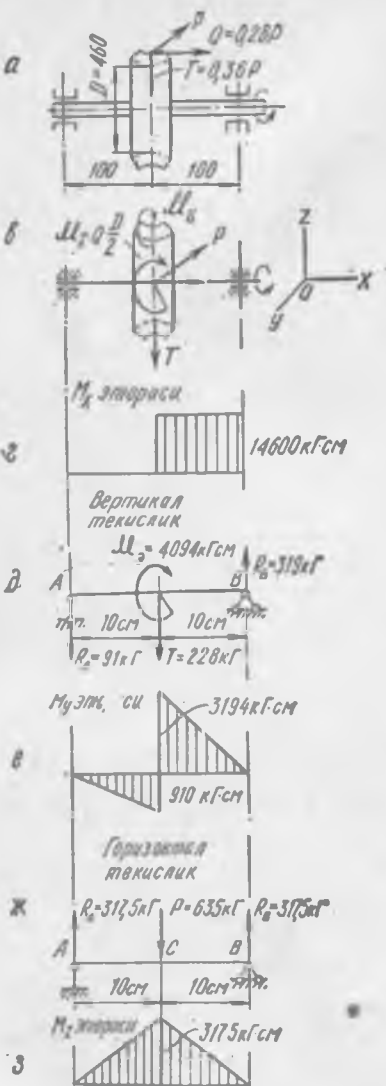
$d = 90 \text{ мм}$  деб қабул қиласиз.

12,2-мисол.  $n = 80 \text{ айл/мин}$  бурчак тезлик билан айланишда  $N = 12 \text{ квт}$  қувват узатадиган червякли фидирек валининг керакли диаметри аниқлансан (12.2-расм, *a*);  $[\sigma] = 400 \text{ кГ}/\text{см}^2$ .

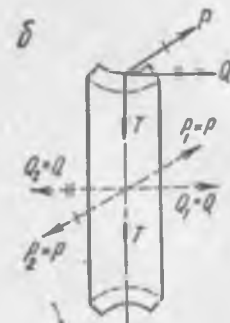
Ҳисоблашда тўртинчи мустаҳкамлик назариясидан фойдаланилсан.

Е чиши. Вал томонидан узатиладиган моментни аниқлаймиз:

$$M_6 = 97380 \frac{N}{n} = 97380 \frac{12}{80} = 14600 \text{ кГ} \cdot \text{см}.$$



12. 2 - расм.



Бу моментни зўриқиши  
Р орқали ифодалаймиз:

$$\mathcal{M}_0 = P \frac{D}{2},$$

бундан

$$P = \frac{2 \cdot \mathcal{M}_0}{D} = \frac{2 \cdot 14600}{46} = \\ = 635 \text{ kG}.$$

Радиал зўриқиши  $T$  ва  
уқ бўйлаб зўриқиши  $Q$   
ларни 12.2-расм, а да  
келтирилган муносабат-  
лардан фойдаланиб топа-  
миз:

$$T = 0,36P = 0,36 \cdot 635 = \\ = 228 \text{ kG};$$

$$Q = 0,28P = 0,28 \cdot 635 = \\ = 178 \text{ kG}.$$

Хисоблаш схемасини  
тузиш учун барча кучларни  
валнинг геометрик  
ўқи нуқтасига келтирамиз  
(12.2-расм, б). Р кучни  
кўчиргандан вални буров-  
чи моменти  $\mathcal{M}_0 = P \frac{D}{2} =$

$= 14600 \text{ кГ}\cdot\text{см}$  бўлган жуфт куч қўшилади.  $Q$  кучни кўчирганда  $xOz$  текислигига таъсири этувчи ва шу текисликда вални эгувчи, моменти  $M_s = Q \frac{D}{2} = 178 \frac{46}{2} = 4094 \text{ кГ}\cdot\text{см}$  бўлган жуфт куч қўшилади.  $Q_1 = Q$  куч валнинг ўнг ярмида сиқилишни ҳосил қиласди, ҳисоблашда унинг таъсири назарга олинмайди.

Вални ҳисоблаш схемаси 12.2-расм,  $e$  да кўрсатилган. Вал буралиш таъсирида бўлади (валнинг ўнг учидан фидирек ўртасигача бўлган қисми буралади), вертикал текисликда моменти  $M_s = Q \frac{D}{2}$  бўлган жуфт куч ва  $T$  куч таъсирида эгилади, горизонтал текисликда  $P$  куч таъсирида ҳам эгилади.

Буровчи моментнинг эпюраси 12.2-расм,  $g$  да тасвирланган.

Эгувчи момент эпюрасини ясаш учун таянч реакцияларини аниқлаймиз.

$zOx$  текислигига (12.2-расм,  $\partial$ ):

$$\sum m_A = 4094 + 228 \cdot 10 - R_B \cdot 20 = 0,$$

бундан

$$R_B = \frac{4094 + 2280}{20} = 319 \text{ кГ}.$$

$$\sum m_B = -R_A \cdot 20 + 4094 - 228 \cdot 10 = 0,$$

бундан

$$R_A = \frac{-2280 + 4094}{20} = 91 \text{ кГ}.$$

$M_y$  эпюраси 12.2-расм,  $e$  да кўрсатилган.

$P$  куч билан юклаш схемаси 12.2-расм,  $g$  да бўрилган ва унга мос келувчи эгувчи момент ( $M_z$ ) нинг эпюраси 12.2-расм,  $z$  да келтирилган. Юклаш схемаси ва  $M_z$  эпюраси чизма текислиги билан устма уст туширилган.

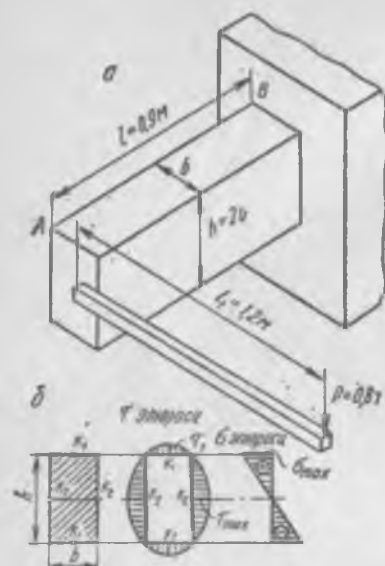
Ўз ўзидан равшанки, фидирек ўртасига ўнг томонидан чексиз яқин жойлашган  $C$  кесим хавфли бўлади. Бу кесим учун эквивалент момент

$$M_{\text{екв}}^{\text{IV}} = \sqrt{0.75 M_x^2 + M_y^2 + M_z^2} = \sqrt{0.75 \cdot 14600^2 + 3194^2 + 3175^2} \approx 13300 \text{ кГ}\cdot\text{см}.$$

Мустаҳкамлик шартидан вал диаметрини топамииз

$$\sigma_{\text{екв}}^{\text{IV}} = \frac{M_{\text{екв}}^{\text{IV}}}{\frac{\pi}{32} d^3} \leq [ \sigma ],$$

$$d = \sqrt[3]{\frac{32 M_{\text{екв}}^{\text{IV}}}{\pi [\sigma]}} = \sqrt[3]{\frac{32 \cdot 13300}{3.14 \cdot 400}} = 6.99 \text{ см}.$$



12.3-расм.

нинг устки ва остки четидаги нуқталарда пайдо бўлади (12.3-расм, б даги эпюрага қаранг):

$$\sigma_{\max} = \frac{\max M_e}{W_s} = \frac{72000 \cdot 6}{b h^2} = \frac{432000}{b (2b)^2} = \frac{108000}{b^3}.$$

Энг катта уринма кучланишлар  $K_3$  нуқталарда пайдо бўлади (12.3-расм, б); кесувчи кучнинг таъсирини ҳисобга олмасдан қўйидагини топамиш:

$$\tau_{\max} = \frac{M_e}{W_t},$$

бу ерда

$$W_t = \beta b^2 h = 0,246 b^2 2b = 0,492 b^3,$$

$$\tau_{\max} = \frac{96000}{0,492 b^3} = \frac{195000}{b^3}.$$

$K_1$  нуқтадаги уринма кучланиш

$$\tau_1 = \tau_{\max} = 0,795 \frac{195000}{b^3} = \frac{155000}{b^3}.$$

$d = 70$  мм деб қабул қиласиз.

12.3-мисол. Агар  $[\sigma] = 1400 \text{ кГ/см}^2$  бўлса, у ҳолда  $AB$  брус кўндаланг кесимнинг ўлчамлари танлансан (12.3-расм, а). Ҳисоблаш энг катта уринма кучланиш мустаҳкамлик назарияси бўйича бажарилсин.

Ечиш. Брус буралиш ва эгилиш таъсирида. Ҳавфли кесим, энг катта эгувчи момент пайдо бўладиган қистириб маҳкамланган жойдаги кесим бўлади.

$$\max M_e = Pl = 800 \cdot 90 = 72000 \text{ кГ·см},$$

шунингдек, буровчи момент

$$M_b = Pl_1 = 800 \cdot 120 = 96000 \text{ кГ·см}.$$

Энг катта нормал кучланишлар кўндаланг кесим-лангларда пайдо бўлади

$K_1$  нүктада оддий текис кучланиш ҳолати содир булади:

$$\left( \sigma_{\text{екз}}^{\text{III}} \right)_{K_1} = \sqrt{\sigma_{\text{max}}^2 + 4\tau_i^2} = \sqrt{\left( \frac{108000}{b^3} \right)^2 + 4 \left( \frac{155000}{b^3} \right)^2} = \frac{330000}{b^3} < 1400,$$

бундан

$$b \geq \sqrt[3]{\frac{330000}{1400}} = 6,2 \text{ см.}$$

$$h = 2b = 12,4 \text{ см.}$$

$K_2$  нүктада кучланиш ҳолати — соф силжишдир (II бобга қаранг):

$$\left( \sigma_{\text{екз}}^{\text{III}} \right)_{K_2} = \sqrt{0 + 4\tau_{\text{max}}^2} = 2\tau_{\text{max}} = \frac{390000}{b^3} < 1400,$$

бундан

$$b \geq \sqrt[3]{\frac{390000}{1400}} = 6,5 \text{ см.}$$

$$h = 2b = 13 \text{ см.}$$

Оқибат натижада топилган үлчамлардан каттасини қабул қиласымыз.

Хавфли нүкта  $K_3$  нүкта экан.

12.4- мисол. Агар брус материалининг мустаҳкамлик чегараси чўзилиш учун  $\sigma_{\text{mc}} = 210 \text{ Н/мм}^2$  ва сиқилиш учун  $\sigma_{\text{mc}} = 840 \text{ Н/мм}^2$ , талаб этилган мустаҳкамликнинг эҳтиёт коэффициенти  $[n] = 4,5$  бўлса, чўян брус учун рухсат этилган нагрузкининг қиймати аниқлансанн (12.4- расм).

Ечиш. Брус буралишга ва сиқилишга ишлайди: берилган юклаш схемасида унинг барча кўндаланг кесимлари тенг хавфли бўлади. Кўндаланг кесимлардан ҳар бирининг контуридағи нүкталар хавфли, чунки уларда буралиш таъсридан энг катта кучланиш пайдо бўлди; нормал кучланишлар кўндаланг кесим бўйича текис тақсимланган. Хавфли нүктадаги кучланишни изланадиган миқдор  $P$  орқали ифодалаймиз:

$$\sigma = -\frac{4P}{\pi d^2};$$

$$\tau = \frac{M_b}{W_p} = \frac{2Pd}{\pi d^3} = \frac{32P}{\pi d^2}.$$

16



Морнинг мустаҳкамлик назариясини қўллаб, қўйидаги мустаҳкамлик шартини ҳосил қиласиз:

$$\sigma_{\text{екв}}^V = \frac{1-\nu}{2} \sigma + \frac{1+\nu}{2} \sqrt{\sigma^2 + 4\tau^2} - \\ = \frac{1-0,25}{2} \left( -\frac{4P}{\pi d^2} \right) + \frac{1+0,25}{2} \frac{P}{\pi d^2} \sqrt{4^2 + 4 \cdot 32^2} < \frac{\sigma_{\text{мч}}}{[n]},$$

бу ерда

$$\nu = \frac{\sigma_{\text{мч}}}{\sigma_{\text{мс}}} = \frac{210}{840} = 0,25.$$

Кейинги алмаштиришлардан сўнг, қўйидагини ҳосил қиласиз:

$$\frac{P}{\pi d^2} (-4 \cdot 0,375 + 0,625 \cdot 64,2) < \frac{\sigma_{\text{мч}}}{[n]}.$$

Нагрузканинг рухсат этилган қиймати

$$[P] = \frac{\pi d^2 \sigma_{\text{мч}}}{[n] (40,1 - 1,5)} = \frac{3,14 \cdot 40^2 \cdot 210}{4,5 \cdot 38,6} = 6080 \text{ к} = 6,08 \text{ кн}.$$

### Мустақил ечиш учун масалалар

**12.1.** Учинчи мустаҳкамлик назариясини қўллаб, тасмали узатма валининг талаб этилган диаметри аниқлансин (12.5-расм);  $\sigma = 700 \text{ кГ/см}^2$  деб қабул қилинсин. Шкивларнинг  $G_1$  ва  $G_2$  оғирликлари ҳисобга олинсин.

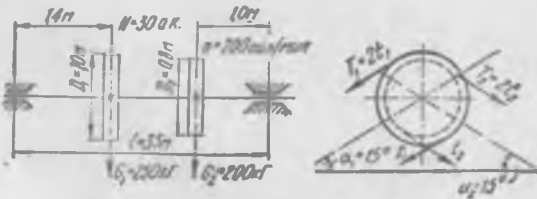
Жавоби.  $d = 93 \text{ мм}$

**12.2.** Учинчи мустаҳкамлик назариясини қўллаб, эгрилиги кичик бўлган пўлат бруснинг мустаҳкамлиги текширилсин (12.6-расм);  $[\sigma] = 1000 \text{ кГ/см}^2$  деб қабул қилинсин.

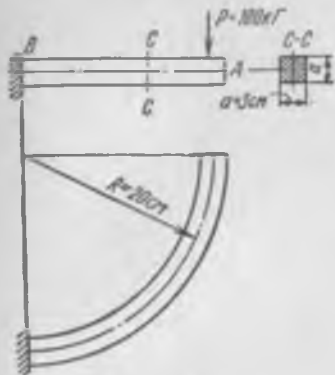
Жавоби.  $(\sigma_{\text{екв}})_B = 839 \text{ кГ/см}^2$ .

**12.3.** Агар  $[\sigma_u] = 1200 \text{ кГ/см}^2$  бўлса, у ҳолда брус учун  $P$  кучнинг рухсат этилган қиймати аниқлансин (12.7-расм). Ҳисоблаш энг катта уринма кучланиш назарияси бўйича олиб борилсин.

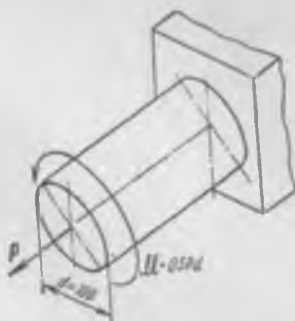
Жавоби.  $[P] = 22,8 \cdot 10^3 \text{ кГ}$ .



12.5.-расм.



12.6-расм.



12.7-расм.

**12.4.** Пружина шайба болтни бураб маҳкамлашда  $P=12 \text{ кГ}$  күч билан тортилган (12.8-расм). Учинчи мустаҳкамлик назариясини қўллаб, хавфли нуқта учун эквивалент кучланиш аниқлансан. Кучлар орасидаги масофа шайба диаметрига нисбатан эътиборга олмаслик даражада кичик.

*Жавоби.*  $\sigma_{\text{нед}}^{\text{III}} = 3970 \text{ кГ/см}^2$ .

**12.5.** Агар  $[\sigma] = 400 \text{ кН/м}^2$  бўлса, пружина шайба учун  $[P]$  кучнинг рухсат этилган миқдори аниқлансан (12.9-расм). Ҳисоблаш энг катта уринма кучланиш назарияси бўйича олиб борилсан. Шайбанинг қирқилган жойи чексиз равишда энсиз деб ҳисоблансан.

*Жавоби.*  $[P] = 154 \text{ кН}$ .

**12.6.** Иккала стержень (12.10-расм) учун мустаҳкамликнинг эҳтиёт коэффициенти аниқлансан. Стерженлар Ст. З пўлатидан ясалган, оқувчанлик чегараси  $\sigma_{\text{нед}} = 2400 \text{ кГ/см}^2$ . Ҳисоблашда тўртинчи мустаҳкамлик назариясидан фойдаланилсан. Стерженлар орасидаги ишқаланиш кучи эътиборга олинмасни.

*Жавоби.*  $n_1 = 1.69$ ;  $n_2 = 2.43$ .

Морнинг мустаҳкамлик назариясини құллаб, құйидаги мустаҳкамлик шартини ҳосил қиласыз:

$$\sigma_{\text{мк}}^v = \frac{1-v}{2} \sigma + \frac{1+v}{2} \sqrt{\sigma^2 + 4\varepsilon^2} -$$

$$= \frac{1-0,25}{2} \left( -\frac{4P}{\pi d^2} \right) + \frac{1+0,25}{2} \frac{P}{\pi d^2} \sqrt{4^2 + 4 \cdot 32^2} < \frac{\sigma_{\text{мк}}}{[n]},$$

бу ерда

$$v = \frac{\sigma_{\text{мк}}}{\sigma_{\text{мс}}} = \frac{210}{840} = 0,25.$$

Кейинги алмаштиришлардан сүңг, құйидагини ҳосил қиласыз:

$$\frac{P}{\pi d^2} (-4 \cdot 0,375 + 0,625 \cdot 64,2) < \frac{\sigma_{\text{мк}}}{[n]}.$$

Нагрузканнегі рухсат этилган қыйматы

$$[P] = \frac{\pi d^2 \sigma_{\text{мк}}}{[n] (40,1 - 1,5)} = \frac{3,14 \cdot 40^2 \cdot 210}{4,5 \cdot 38,6} = 6080 \text{ к} = 6,08 \text{ кн}.$$

### Мустақил ечиш учун масалалар

**12.1.** Учинчі мустаҳкамлик назариясини құллаб, тасмали узатма валиннинг талаб этилган диаметри аниқлансын (12.5-расм);  $\sigma = 700 \text{ кГ/см}^2$  деб қабул қилинсін. Шкивларнинг  $G_1$  ва  $G_2$  оғириліктері ҳисобға олинсін.

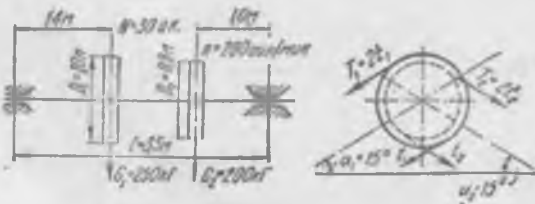
Жағоби.  $d = 93 \text{ мм}$

**12.2.** Учинчі мустаҳкамлик назариясини құллаб, әгрилиги кичик бұлған пұлат бруснинг мустаҳкамлигі текширилсін (12.6-расм):  $[\sigma] = 1000 \text{ кГ/см}^2$  деб қабул қилинсін.

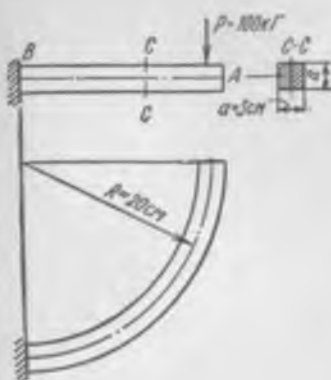
Жағоби.  $(\sigma_{\text{мк}})_B = 839 \text{ кГ/см}^2$ .

**12.3.** Агар  $[\sigma_v] = 1200 \text{ кГ/см}^2$  бўлса, у ҳолда брус учун  $P$  кучнинг рухсат этилган қыймати аниқлансын (12.7-расм). Ҳисоблаш энг катта уринма кучланиш назарияси бўйича олиб борилсін.

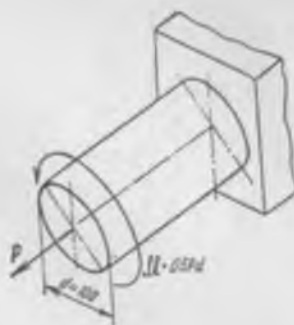
Жағоби.  $[P] = 22,8 \cdot 10^3 \text{ кГ}$ .



12.5.- расм.

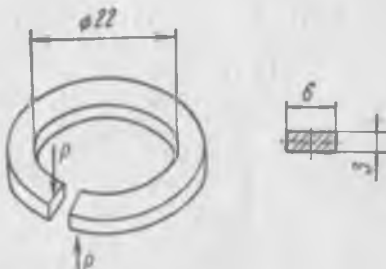


12.6-расм.



12.7-расм.

**12.4.** Пружина шайба болтни бураб маҳкамлашда  $P=12 \text{ кН}$  куч билан тортилган (12.8-расм). Учинчи мустаҳкамлик назариясини құллаб, хавфли нүкта учун эквивалент күчләнниш аниқлансын. Күчлар орасидаги масофа шайба диаметрига нисбатан эътиборга олмас-лик даражада кичик.



12.8-расм.

Жағоби.  $\sigma_{\text{экв}}^{\text{III}} = 3970 \text{ кН/см}^2$ .

**12.5.** Агар  $[\sigma] = 400 \text{ Н/мм}^2$  бўлса, пружина шайба учун  $[P]$  күчнинг рухсат этилган миқдори аниқлансын (12.9-расм). Ҳисоблаш энг катта уринма күчләнниш назарияси бўйича олиб борилсан. Шайбаннинг қирқилган жойи чексиз равишда энсиз деб ҳисоблансан.

Жағоби.  $[P] = 154 \text{ Н}$ .

**12.6.** Иккала стержень (12.10-расм) учун мустаҳкамликтиннің ҳәтиёт көфициенті аниқлансан. Стерженлар Ст. З пулатидан ясалган, оқувчанлик чегараси  $\sigma_{\text{ок}} = 2400 \text{ кН/мм}^2$ . Ҳисоблашда түртинчи мустаҳкамлик назариясидан фойдаланилсан. Стерженлар орасидаги ишқаланиш кучи эътиборга олинмасин.

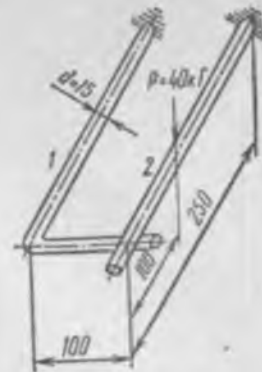
Жағоби.  $n_1 = 1,69$ ;  $n_2 = 2,43$ .



12.9-расм.



12.10-расм.



### 12.3-§. БРУСГА КУЧЛАР ТАЪСИРИНИНГ УМУМИЙ ҲОЛИ

Умумий ҳолда тўғри бруслар кучлар таъсир этганда унинг кўндаланг кесимларида олтита ички куч факторлари пайдо бўлади (12.11-расм):  $N_x$  — бўйлама (нормал) куч;  $Q_y$  ва  $Q_z$  — кесувчи кучлар;  $M_y$  ва  $M_z$  — эгувчи моментлар;  $M_x = M_b$  — буровчи момент.

Хавфли кесимни топиш учун ёки бир неча тахмин этилган хавфли кесимларни аниқлаш учун, қондага мувофиқ ички куч факторларининг эпюраларини қуриш керак. Уларни қуришда синик брусларнинг ҳар бир элементи учун 12.11-расмда кўрсатилган сирпанувчи координата системасидан фойдаланилади:  $x$ —брусларнинг бўйлама ўқи:  $y$  ва  $z$ —унинг кўндаланг кесими нинг марказий бош ўқлари.

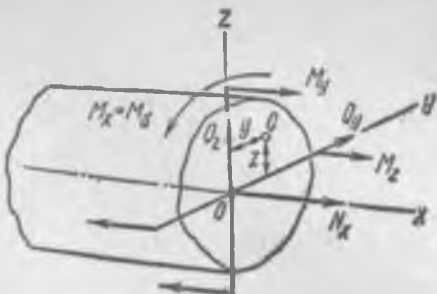
Кесимнинг хавфли нуқтасини топиш учун ҳар бир ички куч факторларига мос келувчи нормал ва уринма кучланишларнинг эпюралари қурилади; бунда кесувчи кучларнинг таъсирини кўп ҳолларда эътиборга олинмайди. Эквивалент кучланиш энг катта инқордога эга бўладиган нуқта хавфли бўлади. Хавфли нуқтада умумий ҳолда оддий текис кучланиш ҳолати содир бўлади, хусусий ҳолда—соф силжиш ёки бир ўқли чўзилиш (сиқилиш) содир бўлади.

**12.5-мисол.** Агар  $[\sigma_u] = 300 \text{ кГ/см}^2$ ,  $[\sigma_c] = 1000 \text{ кГ/см}^2$  булса, у ҳолда чўян брусларнинг мустаҳкамлиги текширилсин (12.12-расм, а).

**Ечиш.** Брус буралиш, сиқилиш ва эгилиш таъсирида бўлади. Унинг кўндаланг кесимларида ички куч факторлари  $N_x$ ,  $M_x$ ,  $M_y$  пайдо бўлади (кесувчи куч  $Q$  ни эътиборга олмайдиз).

$N_x$ ,  $M_x$ ,  $M_y$  эпюралари 12.12-расм, б да кўрсатилган.

Брусларнинг  $N_1 L_1$  кесимида мустаҳкамликни текширамиз.



12.11-расм.

Буралыш таъсиридан ҳосил бўладиган максимал кучланиш:

$$\max \tau_i = \frac{\max M_z}{W_p} = \frac{30000}{\frac{\pi}{16} d^3} = \frac{30000 \cdot 16}{3,14 \cdot 10^3} = 153 \text{ кГ/см}^2$$

Сиқилиш таъсиридан ҳосил бўладиган кучланиш:

$$\sigma_{N_{x1}} = \frac{N_x}{F_1} = \frac{N_x \cdot 4}{\pi d^3} = \frac{5000 \cdot 4}{3,14 \cdot 10^3} = -63,7 \text{ кГ/см}^2.$$

Эглиш таъсиридан ҳосил бўладиган максимал кучланиш:

$$\max \sigma_{M_{y1}} = \pm \frac{\max M_y}{W_y} = \pm \frac{\max M_y}{\frac{\pi}{32} d^3} = \pm \frac{18750 \cdot 32}{3,14 \cdot 10^3} = \pm 191 \text{ кГ/см}^2.$$

$M_1 L_1$  кўндаланг кесимдаги кучланишларнинг эпюралари 12.12-расм, 6 да кўрсатилган.

Кўриб чиқлаётган кесимнинг нуқталаридан қайси бирни ( $D$  ёки  $E$ ) хавфли бўлади, бу аниқ эмас, чунки  $\sigma$  абсолют миқдори жиҳатидан  $E$  нуқтада  $D$  нуқтадагидан катта, лекин бруслари чўян бўлгани учун чўзилишга қараганда сиқилишга яхшироқ қаршилик қиласди. Шунга асосланаб, кўрсатилган иккала нуқта учун ҳисоблашни бажарамиз.

Бу нуқталардаги нормал кучланишларни аниқлаймиз;

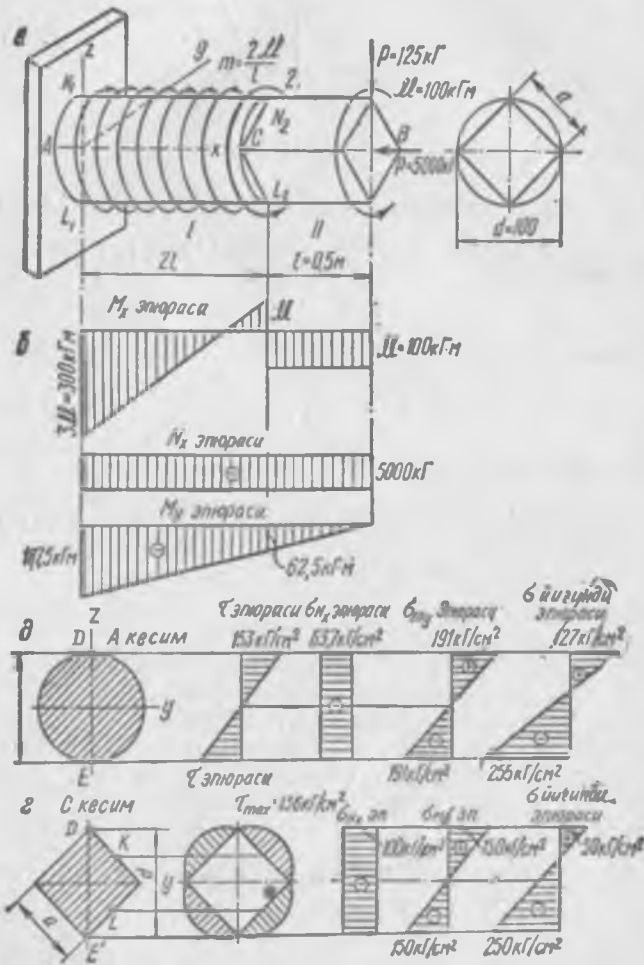
$$\sigma_D = \sigma_{N_x} + (\max \sigma_{M_y})_D = -63,7 + 191 \approx 127 \text{ кГ/см}^2 \text{ (чўзилиш);}$$

$$\sigma_E = \sigma_{N_x} + (\max \sigma_{M_y})_E = -63,7 - 191 \approx -255 \text{ кГ/см}^2 \text{ (сиқилиш).}$$

$D$  ва  $E$  нуқталар учун Морнинг мустаҳкамлик назарияси (бешинчи мустаҳкамлик назарияси) ни қўллаб ҳамда қўйидаги

$$\gamma = \frac{|\sigma_e|}{|\sigma_c|} = \frac{300}{1000} = 0,3$$

ни ҳисобга олиб, эквивалент кучланишларни аниқлаймиз.



12. 12- расм.

*D* нүқтә учун

$$(\sigma_{\text{окв}}^V)_D = \frac{1-0,3}{2} [27 + \frac{1+0,3}{2} \sqrt{127^2 + 4 \cdot 153^2}] = 260 \text{ кГ/см}^2 < [\sigma_4].$$

*E* нүқтә учун

$$(\sigma_{\text{окв}}^V)_E = \frac{1-0,3}{2} (-255) + \frac{1+0,3}{2} \sqrt{255^2 + 4 \cdot 153^2} = 170 \text{ кГ/см}^2 < (\sigma_4).$$

*D* нүқтә хавфли бўлади. Биринчи участкада бруснинг мустаҳкамлиги таъминланган.

Бруснинг  $N_2L_2$  кесимидағи мустаҳкамликни текширамиз. Бу кесимнинг геометрик характеристикаси

$$F = a^2 - \left( \frac{d}{\sqrt{2}} \right)^2 = \frac{10^4}{2} = 50 \text{ см}^2;$$

$$J_y = \frac{a^4}{12} - \frac{\left( \frac{d}{\sqrt{2}} \right)^4}{12} = \frac{d^4}{48} = \frac{10^4}{48} = 208 \text{ см}^4;$$

$$W_y = \frac{J_y}{\frac{d}{2}} = \frac{208}{5} = 41,6 \text{ см}^3.$$

Нормал ва уринма кучланишларнинг эпюралари 12.12-расм, *г* да келтирилган. Бу эпюраларни  $A(N_2L_2)$  кесим учун ҳосил қилинган эпюралар билан солиштириб, шунга ишонч ҳосил қиласми экзи,  $N_2L_2$  кесимнинг исталган нүқтаси *D* нүқтага нисбатан унча хавфли эмас, ва демак, II участкада ҳам мустаҳкамлик таъминланган.

**12.6-мисол.** Фазовий брус участкаларининг кундаланг кесимларининг ўлчамлари топилсин (12.13-расм, *a*). *ED* участка квадрат кесимли, *C* участка түғри туртбурчак кесимли (*h=2b*). *CB* ва *AB* участкалар доира кесимли (12.13-расм, *b*).

Ҳисоблаш энг катта уринма кучланиш назарияси бўйича бажарилсин. Рухсат этилган кучланиш  $[\sigma] = 1000 \text{ кГ/см}^2$ .

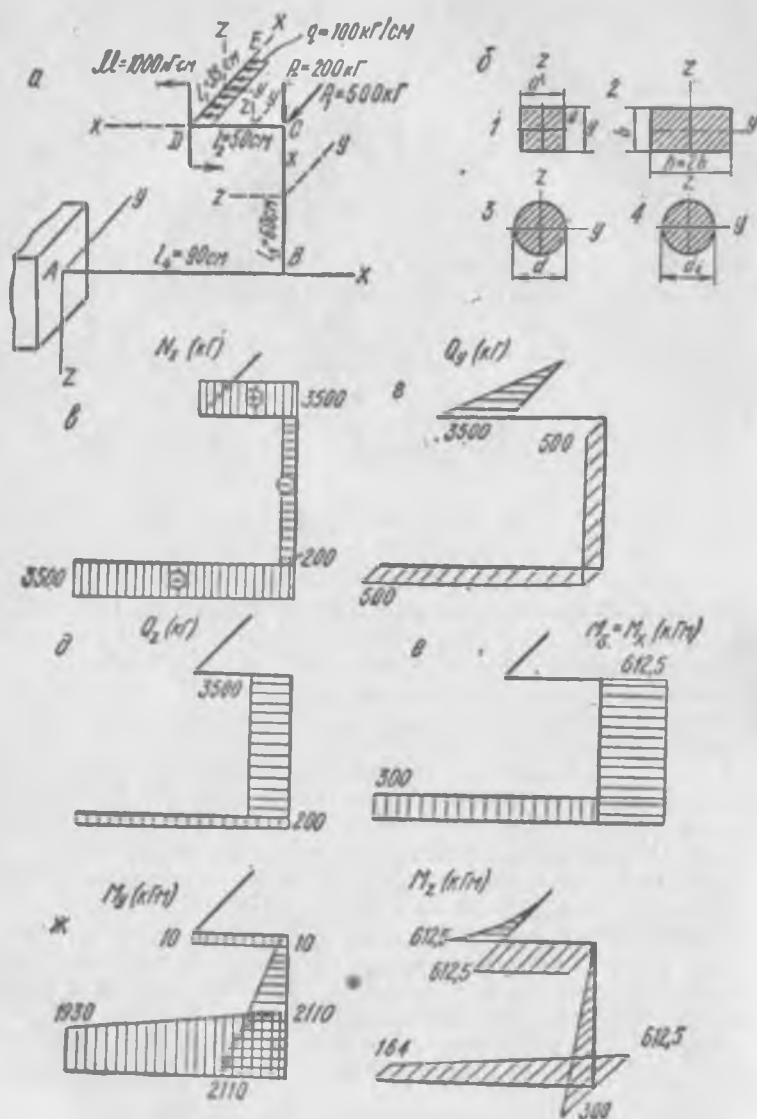
Ечиш. Ички куч факторларининг эпюраларини қурамиз, бунинг учун 12.13-расм, *a* да кўрсатилган сирпанувчи координата системасидан фойдаланамиз. Эпюрани қуришда бруснинг эркин учидан бошлиб ҳаракатланамиз.

$N_1, Q_1, Q_2$  эпюралари 12.13-расм, *в*, *г*, *д* ларда тасвиранган, бу эпюраларни қуриш бўйича маҳсус тушунтиришлар келтирмаймиз.

*M<sub>1</sub>* буровчи момент эпюрасини қуриш.

*CB* участка

$$M_{x_C} = M_{x_B} = \frac{q l_1^2}{2} = \frac{100 \cdot 35^2}{2} = 61250 \text{ кГ·см}.$$



12, 13- рисм.

*BA* участка

$$M_{zB} - M_{xA} = P_1 l_3 = 500 \cdot 60 = 30 \cdot 10^3 \text{ кГ·см.}$$

*M<sub>z</sub>* эпюраси 12.13-расм, е да күрсатилган.

*M<sub>y</sub>* өгүвчи момент эпюрасини қуриш.

*DC* участка

$$M_{yD} - M_{yC} = - 1000 \text{ кГ·см.}$$

*CB* участка

$$(M_y)_C = - 1000 \text{ кГ·см.}$$

$$M_{yB} = - M - q l_1 l_3 = - 1000 - 100 \cdot 35 \cdot 60 = - 211 \cdot 10^3 \text{ кГ·см.}$$

*BA* участка

$$M_{yB} = - 211 \cdot 10^3 \text{ кГ·см;}$$

$$\begin{aligned} M_{yA} = & - M - q l_1 l_3 + P_2 l_4 = - 1000 - 100 \cdot 35 \cdot 60 + \\ & + 200 \cdot 90 = - 193 \cdot 10^3 \text{ кГ·см.} \end{aligned}$$

*M<sub>y</sub>*, нинг ҳар бир участкасида унинг сиқилган толалари томонида қурилган эпюраси 12.13-расм, жа да күрсатилган.

*M<sub>z</sub>* өгүвчи момент эпюрасини қуриш.

*ED* участка

$$M_{zE} = 0;$$

$$M_{zD} = - \frac{q l_1^2}{2} = - \frac{100 \cdot 35^2}{2} = - 61250 \text{ кГ·см.}$$

*DC* участка

$$M_{zD} - M_{zC} = - 61,25 \cdot 10^3 \text{ кГ·см.}$$

*CB* участка

$$M_{zC} = 0;$$

$$M_{zB} = P_1 l_3 = 500 \cdot 60 = 30 \cdot 10^3 \text{ кГ·см;}$$

$$\begin{aligned} \text{i) } M_{zB} = & - \frac{q l_1^2}{2} = - 61,25 \cdot 10^3 \text{ кГ·см;} \\ M_{zA} = & - \frac{q l_1^2}{2} + P_1 l_4 = - 61,25 \cdot 10^3 + 500 \cdot 90 = \end{aligned}$$

$$- 16,25 \cdot 10^3 \text{ кГ·см.}$$

*M<sub>z</sub>* эпюраси 12.13-расм, з да келтирилган, унинг ординаталари сиқилган толалар томонга жойлаштирилган.

Участкаларниң күндаланг кесими ўлчамларини аниқлашга утамиз.

1) *ED* участка түгри күндаланг өгилиш таъсирида бүлди. *D* кесим хавфли, бу ерда өгүвчи момент  $M_{zD} = - 61250 \text{ кГ·см.}$  Түгри өгилишда мустаҳкамлик шартидан фойдаланиб,

$$\sigma_{max} = \frac{\max M_z}{W_z} \leq [\sigma],$$

қүйидагини топамиз:

$$W_z = \frac{a^2}{6} > \frac{\max M_z}{[\sigma]},$$

бундан

$$a > \sqrt[3]{\frac{6 \max M_z}{[\sigma]}} = \sqrt[3]{\frac{6 \cdot 61,25 \cdot 10^3}{1000}} = 7,16 \text{ см.}$$

$a = 72 \text{ мм}$  деб қабул қиласиз.

2)  $CD$  участка, эпюрадан күрнганидек, соф қийшик өгилиш ва чўзилиш таъсирида бўлади (бу участканинг ҳамма қисмлари тенг хавфлидир). Бу участкада ички куч факторлари:

$$N_x = 3500 \text{ кГ}; M_y = 1000 \text{ кГ} \cdot \text{см}; M_z = 61250 \text{ кГ} \cdot \text{см}.$$

Кесимни танлаш учун аввал  $N_x$  ни эътиборга олган ҳолда қийшик өгилишга ҳисоблашни бажарамиз.

Хавфли нуқта (бурчак нуқта) учун ҳисоблаш формуласи

$$\sigma_{\max} = \frac{M_y}{W_y} + \frac{M_z}{W_z} < [\sigma],$$

бу ерда

$$W_z = \frac{bh^2}{6} = \frac{h^3}{12}; \quad W_y = \frac{bh^2}{6} = \frac{h^3}{24}; \quad \frac{W_z}{W_y} = 2.$$

$W_z$  ни аниқлайдимиз:

$$W_z > \frac{W_z + \frac{W_z}{W_y} M_y}{[\sigma]};$$

$$\frac{h^3}{12} = \frac{61,25 \cdot 10^3 + 2 \cdot 10^3}{10^3} = 63,4 \text{ см}^3,$$

$$h > \sqrt[3]{12 \cdot 63,4} = 9,14 \text{ см.}$$

$h = 9,4 \text{ см}$  деб қабул қиласиз ва текширишини бўйлама кучни эътиборга олган ҳолда бажарамиз:

$$F = bh = 9,4 \cdot 4,7 = 44,2 \text{ см}^2;$$

$$W_z = \frac{h^3}{12} = \frac{9,4^3}{12} = 69,2 \text{ см}^3; \quad W_y = 34,6 \text{ см}^3,$$

$$\max \sigma = \frac{N_x}{F} + \frac{M_y}{W_y} + \frac{M_z}{W_z} = \frac{3500}{44,2} + \frac{1000}{34,6} + \frac{61250}{69,2} = \\ - 79 + 29 + 885 = 993 \text{ кГ/см}^2 < [\sigma].$$

3)  $BC$  участка. Бу ерда кучлар таъсирининг умумий ҳоли содир бўлади. Хавфли кесим  $B$  нуқта яқинида. Бу кесимда ички куч факторлари қўйидагичадир:

$$N_x = -200 \text{ кГ};$$

$$M_x = M_y = 61,25 \cdot 10^3 \text{ кГ} \cdot \text{см};$$

$$M_y = 211 \cdot 10^3 \text{ кГ} \cdot \text{см};$$

$$M_z = 30 \cdot 10^3 \text{ кГ} \cdot \text{см}.$$

Кесувчи күчнинг таъсирини назарга олмаймиз.

Кесимнинг диаметрини буралиш ва эгилишга ҳисоблаш натижасидан оламиз. Учинчи мустаҳкамлик назариясидан эквивалент момент:

$$M_{\text{экв}}^{\text{III}} = \sqrt{M_x^2 + M_y^2 + M_z^2} = \sqrt{(61,25^2 + 211^2 + 30^2) \cdot 10^6} = \\ = 222 \cdot 10^3 \text{ кГ} \cdot \text{см};$$

$$W_s \approx 0,1 d^3 > \frac{M_{\text{экв}}^{\text{III}}}{[\sigma]} = \frac{222 \cdot 10^3}{10^3} = 222;$$

$$d > \sqrt[3]{2220} \approx 13 \text{ см.}$$

Бўйлама кучни назарга олиб, кесим ўлчамининг етарли эквивалентини текширамиз:

$$W_s = \frac{\pi d^3}{32} = \frac{3,14 \cdot 13^3}{32} = 216 \text{ см}^3$$

$$W_p = 2 W_s = 432 \text{ см}^3;$$

$$F = \frac{\pi d^2}{4} = \frac{3,14 \cdot 13^2}{4} = 133 \text{ см}^2.$$

Эгувчи момент:

$$M_s = \sqrt{M_y^2 + M_z^2} = \sqrt{(211 \cdot 10^3)^2 + (30 \cdot 10^3)^2} = \\ = 213 \cdot 10^3 \text{ кГ} \cdot \text{см.}$$

Максимал нормал кучланиш

$$\sigma = -\frac{N_x}{F} = -\frac{M_s}{W_s} = -\frac{200}{133} = -\frac{213 \cdot 10^3}{216} = -1,5 - 986 \approx -988 \text{ кГ/см}^2.$$

Уринма кучланиш

$$\tau = \frac{M_x}{W_p} = \frac{61400}{432} = 142 \text{ кГ/см}^2.$$

Учинчи мустаҳкамлик назарияси бўйича эквивалент кучланиш

$$\sigma_{\text{экв}}^{\text{III}} = \sqrt{\sigma^2 + 4\tau^2} = \sqrt{988^2 + 4 \cdot 142^2} = 1027 \text{ кГ/см}^2.$$

Ўта юкланиш

$$\frac{\sigma_{\text{экв}}^{\text{III}} - [\sigma]}{[\sigma]} \cdot 100\% = \frac{1027 - 1000}{1000} \cdot 100\% = 2,7\%$$

ни ташкил этади, бунга эса рухсат этилади.

4) *AB* участка.

Хавфли кесим *B* нуқта яқинида:

$$N_x = -3500 \text{ кГ};$$

$$M_x = 30 \cdot 10^3 \text{ кГ} \cdot \text{см};$$

$$M_x = 61,25 \cdot 10^3 \text{ кГ} \cdot \text{см}; M_y = 211 \cdot 10^3 \text{ кГ} \cdot \text{см}.$$

Буралиш ва эгилишга ҳисоблашга натижасидан кесим диаметрини танлаймиз.

Учинчи мустаҳкамлик назарияси бўйича эквивалент момент

$$M_{\text{экв}}^{\text{III}} = \sqrt{M_x^2 + M_y^2 + M_z^2} = \sqrt{(30^3 + 211^3 + 61,25^3) \cdot 10^6} = \\ = 222 \cdot 10^3 \text{ кГ} \cdot \text{см}$$

ВС участкадаги ҳисоблашга асосланаб,  $d_0 = 13 \text{ см}$  ни оламиз ва бўйлама кучни назарга олиб, кесим ўлчамининг етарли эканлигини текширамиз:

$$W_s = 216 \text{ см}^3, W_p = 432 \text{ см}^3, F = 133 \text{ см}^2.$$

Эгуви момент

$$M_s = \sqrt{M_x^2 + M_y^2} = \sqrt{(61,25^3 + 211^3) \cdot 10^6} = 218 \cdot 10^3 \text{ кГ} \cdot \text{см}.$$

Нормал кучланиш

$$\sigma = \frac{N_s}{F} = \frac{M_s}{W_s} = \frac{3500}{133} = \frac{218000}{216} = -26,3 - 1006 = -1032,3 \text{ кГ/см}^2.$$

Уринма кучланиш

$$\tau = \frac{M_s}{W_p} = \frac{30000}{432} = 69,5 \text{ кН/см}^2.$$

Учинчи мустаҳкамлик назарияси бўйича эквивалент кучланиш

$$\sigma_{\text{экв}}^{\text{III}} = \sqrt{\sigma^2 + 4\tau^2} = \sqrt{1032^2 + 4 \cdot 69,5^2} = 1040 \text{ кГ/см}^2.$$

Ўта юкланиш 4% ни ташкил этади, бунга эса рухсат этилади.

12.7-мисол. Деталнинг  $t-t$ ,  $n-n$ ,  $s-s$  кесимларида мустаҳкамлик текширилсин (12.14-расм, а).  $[\sigma] = 750 \text{ кГ/см}^2$  деб қабул қилиб ҳисоблашни учинчи мустаҳкамлик назарияси бўйича олиб борилсин.

Ечиш.

$t-t$  кесим (12.14-расм, а).

$0-1$  участка  $P$  кучдан туғри эгилиш таъсирида бўлади.  $t-t$  кесимдаги эгуви момент:

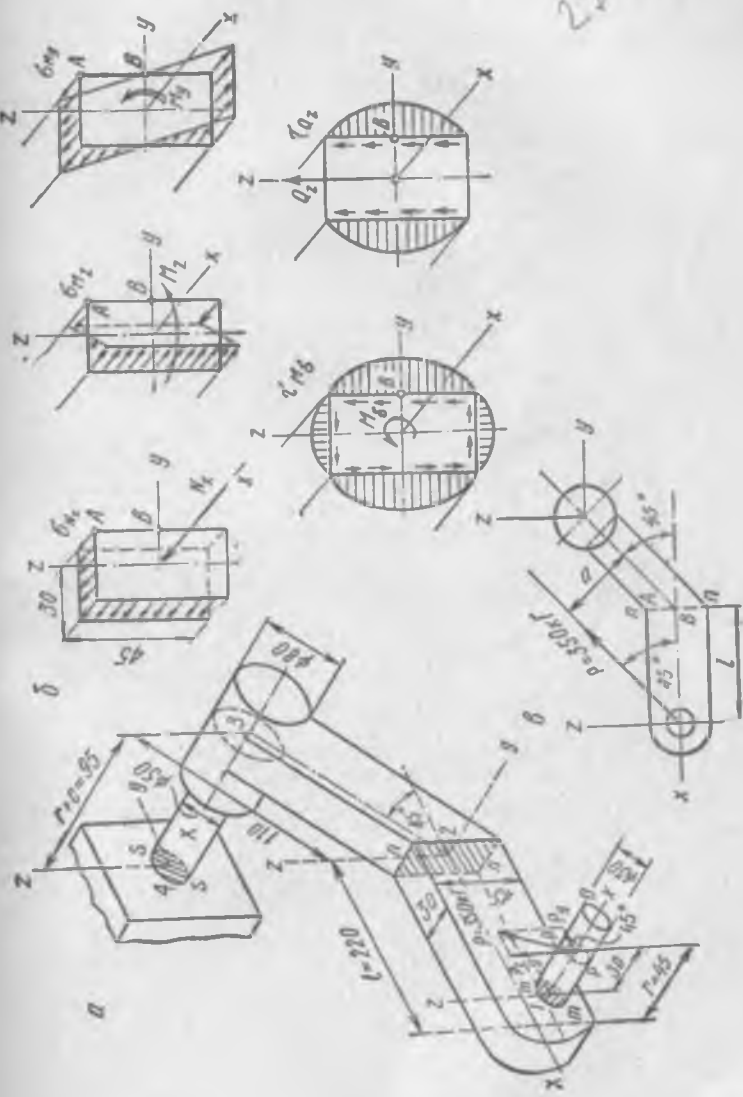
$$M_s = P \cdot Z = 350 \cdot 3 = 1050 \text{ кГ} \cdot \text{см}.$$

Энг катта нормал кучланиш

$$\sigma_{\text{мак}} = \frac{M_s}{W_s} = \frac{1050}{0,1 \cdot 3^3} = 389 \text{ кГ/см}^2 < [\sigma].$$

$n-n$  кесим (12.14-расм, б).

Кесим  $1-2$  участкага ёндошади.  $n-n$  кесимдан чап томонда (яъни  $0-1$  ва  $1-2$  участкада) ётувчи барча ташқи



12. 14 - pacm.

кучларни қараб, шу кесимдаги ички күч факторларини топамиз.

### Бүйлама күч

$$N_x = -P_y = -P \cos 45^\circ = -350 \cdot 0,707 = -247 \text{ кГ.}$$

### Кесувчи күчлар

$$Q_z = P_z = P \sin 45^\circ = 350 \cdot 0,707 = 247 \text{ кГ.}$$

$$Q_y = 0.$$

### Буровчи момент

$$M_0 = M_x = P_z r = 247 \cdot 4,5 = 1110 \text{ кГ·см.}$$

### Эгувчи моментлар

$$M_x = P_y r = 247 \cdot 4,5 = 1110 \text{ кГ·см;}$$

$$M_y = P_z l = 247 \cdot 22 = 5440 \text{ кГ·см.}$$

1-2 участка әгилиш билан буралиш ва сиқилиш таъзиқида бўлади.

Хавфли нуқтани аниқлаш учун шу кесимда күчланиш эпюрасини қурамиз (12.14- расм, б).

*A* ва *B* нуқталарда бруснинг мустаҳкамлигини текширамиз:

$$|\sigma_A| = \left| -\frac{N_x}{F} - \frac{M_y}{W_y} - \frac{M_z}{W_z} \right| = \left| -\frac{247}{3 \cdot 1,5} - \frac{5440 \cdot 6}{3 \cdot 4,5^3} - \frac{1110 \cdot 6}{4,5 \cdot 3^3} \right| \approx 720 \text{ кГ/см}^2 < [\sigma].$$

*B* нуқтада нормал ва уринма күчланишлар пайдо бўлади. *B* нуқтадаги нормал күчланиш

$$\sigma_B = \frac{N_x}{F} - \frac{M_z}{W_z} = -\frac{247}{3 \cdot 4,5} - \frac{1110 \cdot 6}{4,5 \cdot 3^3} = -183 \text{ кГ/см}^2.$$

Шу нуқтадаги уринма күчланиш

$$\tau_B = \frac{M_y}{\frac{3}{8}bh^3} + \frac{3}{2} \frac{Q_z}{F} = \frac{1110}{0,231 \cdot 3^3 \cdot 4,5} + \frac{3}{2} \cdot \frac{247}{3 \cdot 4,5} = 146 \text{ кГ/см}^2.$$

Учинчи мустаҳкамлик назарияси бўйича эквивалент күчланиш

$$(\sigma_{\text{екм}})_{\text{B}} = \sqrt{\sigma_B^2 + 4\tau_B^2} = \sqrt{183^2 + 4 \cdot 146^2} = 335 \text{ кГ/см}^2 < [\sigma].$$

*s-s* кесим.

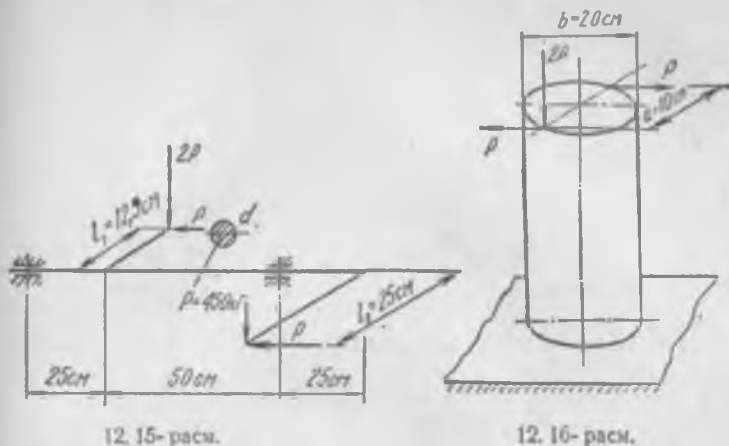
Бу кесимдаги ички күч факторлари:  
буровчи момент (12.14- расм, в)

$$M_0 = Pa = P \cdot 22 \cos 45^\circ = 350 \cdot 22 \cdot 0,707 = 5450 \text{ кГ·см};$$

эгувчи момент

$$M_x = P(r + c) = 350 \cdot 9,5 = 3320 \text{ кГ·см};$$

*r+c* — күчнинг таъсир текислиги билан *s-s* кесим орасидағи масофа.



Кесувчи кучнинг таъсирини назарга олмасдан, ҳисобни эквивалент момент бўйича бажарамиз:

$$M_{\text{экв}}^{\text{III}} = \sqrt{M_6^2 + M_9^2} = \sqrt{5450^2 + 3320^2} = 6370 \text{ кГ}\cdot\text{см}.$$

Эквивалент кучланиш

$$\sigma_{\text{экв}}^{\text{III}} = \frac{M_{\text{экв}}^{\text{III}}}{W_s} = \frac{6370}{0.1 \cdot 5^3} = 510 \text{ кГ}/\text{см}^2 < [\sigma]$$

Шундай қилиб, бруснинг кўрсатилган кесимларида мустаҳкамллик таъминланади.

### Мустақил ечиш учун масалалар

**12.7.** Агар  $[\sigma] = 1600 \text{ кГ}/\text{см}^2$  бўлса, у ҳолда синиқ стержень кўндаланг кесимининг талаб этилган диаметри аниқлансин (12.15-расм). Ҳисоблаш учинчи мустаҳкамлик назарияси бўйича бажарилсин.

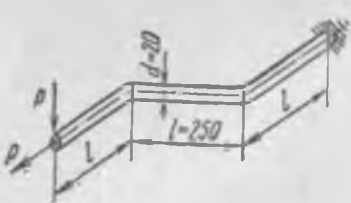
*Жавоби.*  $d = 5 \text{ см}$ .

**12.8.** Агар  $[\sigma] = 1600 \text{ кГ}/\text{см}^2$  бўлса, у ҳолда вертикал устунга таъсири этувчи рухсат этилган нагрузка  $P$  аниқлансан (12.16-расм). Ҳисоблаш учинчи мустаҳкамлик назарияси бўйича бажарилсин.

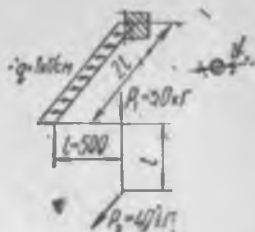
*Жавоби.*  $[P] = 19.7 \cdot 10^3 \text{ кГ}$ .

**12.9.** 12.17-расмда тасвирланган синиқ брус учун рухсат этилган нагрузка  $P$  аниқлансан. Учинчи мустаҳкамлик назарияси қўлланилсин;  $[\sigma] = 1200 \text{ кГ}/\text{см}^2$  деб қабул қилинсин.

*Жавоби.*  $[P] = 171 \text{ кГ}$ .



12. 17- расм.



12. 18- расм.

12.10. 12.18- расмда тасвирланган синиқ брус күндаланг кесим иннинг талаб этилган диаметри аниқлансан.  $[\sigma] = -1000 \text{ кГ/см}^2$  деб қабул қилинсан. Ҳисоблаш тұрттыңчы мұстаҳкамлық назарияси бүйіча олиб борилсан.

*Жағоби.  $d = 39 \text{ мм.}$*

### XIII бөб

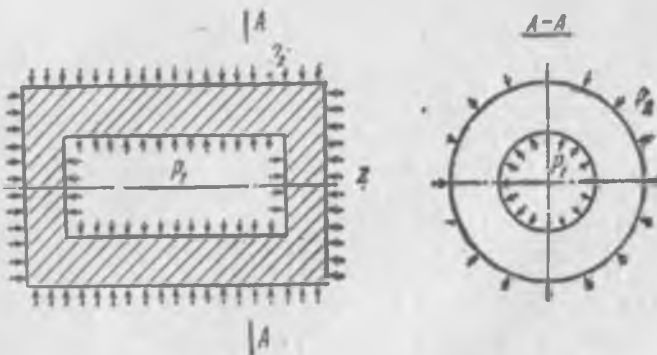
## ҚАЛИН ДЕВОРЛИ ЦИЛИНДРЛАР ВА ЮПҚА ДЕВОРЛИ ИДИШЛАР ҲИСОБИ

### 13.1-§. ИЧКИ ВА ТАШҚИ БОСИМЛАР ТАЪСИРИДА БҮЛГАН ҚАЛИН ДЕВОРЛИ ЦИЛИНДРЛАР ҲИСОБИ

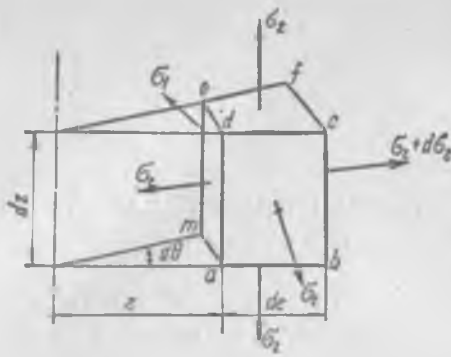
Ички ва ташқи босим таъсирида бүлган қалин деворли цилиндрлар (ёпкі, яғни асослари берк бүлган цилиндрлар ва очиқ) нинг кучланишлари ва деформацияларн тұғрисидаги масалаларни текшириш эластиклик назарияси ва материалдар қаршилигининг уққа симметрик бүлган масалалардан бирини ташкил қылади: уни Ляме масаласи деб аталади.

Масала ечимининг натижалары цилиндрик компрессортарга, қурол стволларига, юқори босимли трубопровод ва идишларга, күп қатламлы құшма қобиқларга, втулканн валга пресслаб утказышга ва х. к. ларга татбиқ этилади.

Агар ички босим  $p_1$ , ва ташқи босим  $p_2$ , билан юкланған ёпкі цилиндрдан  $r$  ва  $r+dr$  радиуслы цилиндрик сиртлар билан, чексиз яқын иккى күндаланг кесимлар (улар орасидаги масофа  $dz$ ) билан ҳамда үзаро  $d\theta$  бурчак ташкил этувчи иккита радиал кесимлар билан чегаралған элемент ажратылса (13.1-расм), у ҳолда элемент ёқларыда урнима кучланишлар пайдо бўлмаслигига ишонч ҳосил қилиш мумкин. Бундай элемент 13.2-расмда тасвирланган, шу ернинг узида унинг ёқларি-



13. 1-расм.



13. 2- расм.

да пайдо бўладиган нормал кучланишлар ҳам кўрсатилган, улар айтилганга мувофиқ бош кучланишлар бўлади.  $\sigma_z$ —ўқ,  $\sigma_r$ —радиал ва  $\sigma_t$ —айланма ёки ҳалқали (баъзан тангенциал номи ҳам учрайди) кучланишлар деб аталади. Бу кучланишларни аниқлаш учун қўйидаги формулалар ишлатилади

$$\sigma_z = \frac{p_1 r_1^2 - p_2 r_2^2}{r_2^2 - r_1^2};$$

$$\sigma_r = \frac{p_1 r_1^2 - p_2 r_2^2}{r_2^2 - r_1^2} - \frac{(p_1 - p_2) r_1^2 \cdot r_2^2}{(r_1^2 - r_2^2) r^2};$$

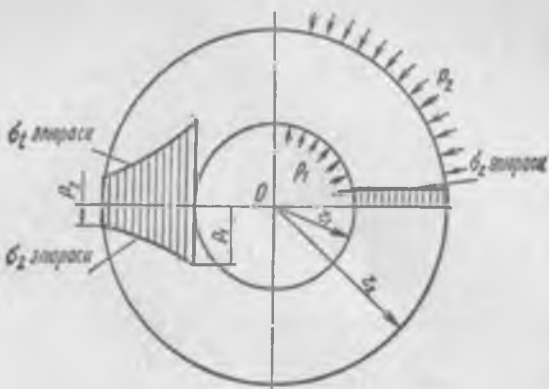
$$\sigma_t = \frac{p_1 r_1^2 - p_2 r_2^2}{r_2^2 - r_1^2} + \frac{(p_1 - p_2) r_1^2 r_2^2}{(r_1^2 - r_2^2) r^2}.$$

Келтирилган формулалардан шу нарса қуринадики,  $\sigma_z$  кучланиши цилиндрнинг кундаланг кесими бўйича текис тақсимланган,  $\sigma_r$  ва  $\sigma_t$  кучланишлар цилиндр деворининг қалинлиги каби гиперболик қонун бўйича ўзгаради. Кучланишларнинг мос эпюралари 13.3-расмда кўрсатилган.

Агар цилиндр очик бўлса (туби бўлмаса), у ҳолда  $\sigma_z = 0$ ,  $\sigma_r$  ва  $\sigma_t$  ларни аниқлаш формулалари ўз кучида қолади.

Икки қатламли ва кўп қатламли цилиндрларни ҳисоблаш учун, шунингдек, таранг қилиб тортиб ўрнатиладиган биримларни ҳисоблашда цилиндр ихтиёрий нуқтасининг радиал кўчиши  $u$  нинг миқдорини аниқловчи формуладан фойдаланилади. Очик цилиндр учун бу формула қўйидаги қуринишда бўлади:

$$u = \frac{1 - \mu}{E} \frac{p_1 r_1^2 - p_2 r_2^2}{r_2^2 - r_1^2}, \quad r = \frac{1 + \mu}{E} \frac{(p_1 - p_2) r_1^2 r_2^2}{(r_2^2 - r_1^2) r}.$$



13. 3-расм.

Хусуснй ҳолда, цилиндр фақат ички босим  $p_1 = p$  ( $p_2 = 0$ ) таъсирида бўлганда, бош кучланишлар учун формулалар қўйиндаги кўринишда бўлади:

$$\sigma_t = p \frac{r_1^2}{r_2^2 - r_1^2}$$

$$\sigma_r = p \frac{r_1^2}{r_2^2 - r_1^2} \left( 1 - \frac{r_2^2}{r^2} \right);$$

$$\sigma_t = p \frac{r_1^2}{r_2^2 - r_1^2} \left( 1 + \frac{r_2^2}{r^2} \right).$$

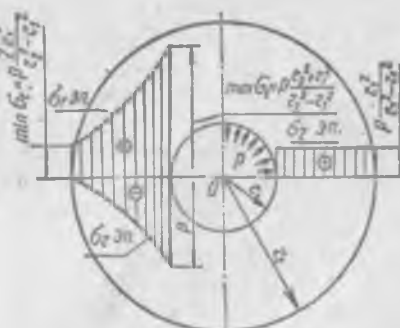
Бу ҳолда айланма кучланиш  $\sigma_t$  чўзувчи, радиал кучланиш  $\sigma_r$  эса сиқувчи бўлади. Кучланишларнинг эпюралари 13.4-расмда келтирилган.

$\sigma_t$  ва  $\sigma_r$  кучланишлар цилиндр ички сирти нуқталарида ўзининг модули бўйича энг катта қийматга эришади. Бу нуқгалар хавфли бўлади. Бош кучланишларнинг мос миқдорлари:

$$\sigma_t = (\sigma_t)_{r=r_1} = \frac{p(r_2^2 + r_1^2)}{r_2^2 - r_1^2};$$

$$\sigma_r = \sigma_t = \frac{pr_1^2}{r_2^2 - r_1^2};$$

$$\sigma_t = (\sigma_r)_{r=r_1} = -p.$$



13. 4-расм.

Хавфли нүкта учун эквивалент кучланиш құйидаги формулаардан бири бүйнча ҳисобланади:  
әнд катта уринма кучланиш гипотезаси бүйнча:

$$\sigma_{\text{экв}}^{\text{III}} = \sigma_1 - \sigma_2 - 2p \frac{r_2^2}{r_2^2 - r_1^2};$$

шакл ўзгаришининг энергияси гипотезаси бүйнча:

$$\sigma_{\text{экв}}^{\text{IV}} = \frac{1}{\sqrt{3}} \sqrt{(\sigma_1 - \sigma_2)^2 + (\sigma_2 - \sigma_3)^2 + (\sigma_3 - \sigma_1)^2} = p\sqrt{3} \frac{r_2^2}{r_2^2 - r_1^2};$$

Морнинг мустақкамлик назарияси бүйнча:

$$\sigma_{\text{экв}}^{\text{V}} = \sigma_1 - \nu\sigma_2 = p \frac{(\nu+1)r_2^2 - (\nu-1)r_1^2}{r_2^2 - r_1^2}.$$

Хавфли нүкта учун эквивалент кучланишни цилиндр материалди учун чўзилишдаги рухсат этилган кучланиш  $[\sigma_u]$  билан тенгглаштириб, бу мустақкамлик шартидан осонгина берилган  $r_1$  радиусли цилиндр деворининг талаб этилган қалинлиги учун ифода ҳосил қилинади. Масалан, шакл ўзгариши энергияси гипотезаси бүйнча цилиндр деворининг талаб этилган қалинлиги құйидаги формула билан аниқланади:

$$\delta = r_2 - r_1 > r_1 \left( \sqrt{\frac{[\sigma_u]}{[\sigma_u] - p\sqrt{3}}} - 1 \right).$$

Бу формуладан цилиндрдаги босим

$$p > \frac{[\sigma_u]}{\sqrt{3}}$$

бўлганда девор қалинлиги ҳар қанча қалин бўлганда ҳам мустақкамлик шартининг бажарилишини таъминлаш мумкин эмаслиги чиқади.

Шунни таъкидлаш қизиқарлики, цилиндр деворининг қалинлиги чексиз равнешда ошиб борса ( $r_2 \rightarrow \infty$  бўлганда),  $\sigma_z = 0$  деб ҳисоблаш мумкин ва деворнинг ихтиёрий нүктаси учун

$$\sigma_t = -\sigma_r = p \frac{r_1^2}{r_2^2}.$$

Шундай қилиб, кўрилаётган ҳолда девор ихтиёрий нүктаидаги кучланиш ҳолати ўзида соғ силжишни ифода қиласи ( $\sigma_1 = -\sigma_3$ ). Амалда кўрсатилган натижаси  $\frac{r_2}{r_1} > 4$  бўлганда етарлича аниқ бўлади.

Цилиндр ички сирттининг нүкталари учун эквивалент кучланишлар құйидаги формула бўйнча аниқланади:

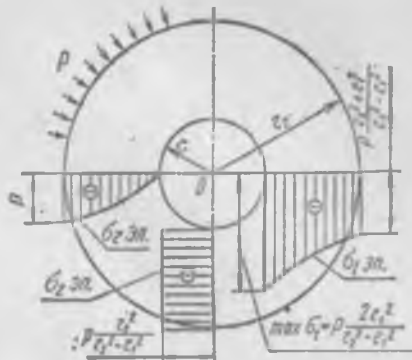
$$\sigma_{\text{экв}}^{\text{III}} = 2p; \quad \sigma_{\text{экв}}^{\text{IV}} = p\sqrt{3}.$$

Шунингдек, яна бир хусусий ҳол устида тұхтамыз: цилиндр фәқат ташқи босим билан юкленған ( $p_1 = 0$ ). Бу ҳолда бөш күчланишлар үчүн формуулалар құйидаги күренишда бўлади:

$$\sigma_r = -p \frac{r_1^2}{r_2^2 - r_1^2} \left( 1 - \frac{r_1^2}{r^2} \right);$$

$$\sigma_t = -p \frac{r_1^2}{r_2^2 - r_1^2} \left( 1 + \frac{r_1^2}{r^2} \right);$$

$$\sigma_z = -p \frac{r_1^2}{r_2^2 - r_1^2}.$$



13.5-расм.

Цилиндр қалинлиги бўйича күчланишларнинг эпюралари 13.5-расмда кўрсатилган.

Ички сирт нүқталари хавфли бўлади. Ву нүқталарда бөш күчланишлар құйидагича бўлади:

$$\sigma_1 = (\sigma_r)_{r=r_1} = 0;$$

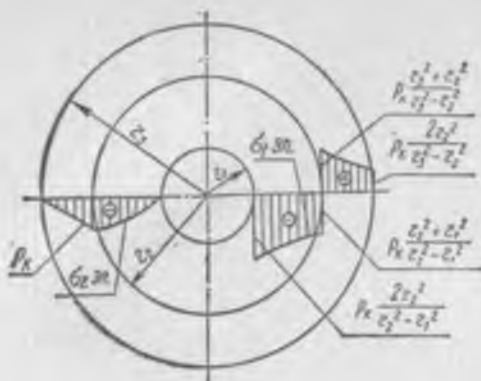
$$\sigma_2 = \sigma_z = -p \frac{r_1^2}{r_2^2 - r_1^2};$$

$$\sigma_3 = (\sigma_t)_{r=r_1} = -p \frac{2r_1^2}{r_2^2 - r_1^2}.$$

Цилиндр қалинлиги  $\delta$  ни унинг ички радиуси  $r_1$  га нисбати 0,1 дан кичик ( $\delta : r_1 < 0,1$ ) бўлганда, 5% дан ошмайдиган хатолик билан Ляме формулалари урнига 264-бетда келтирилган анча соддароқ ифодалардан фойдаланиш мумкин.

Юқорида баён этилганлардан куринадики, цилиндр иш (ички) босимнинг оширилиши цилиндр ички нүқталари үчүн мустаҳкамлик шарты  $\sigma_{\text{овк}} < [\sigma_c]$  нинг талабарини сақлаш билан чегараланган. Рухсат этилган босимни ошириш учун қўшма цилиндрлар ишлатилади, улар бири иккинчисига тараңг қилиб кийгизилган икки ёки ундан кўп сондаги трубалардан таркиб топади. Бундан кейинги қўлланма баёнида икки қатламли цилиндрларни ҳисоблаш тўғрисидаги маълумотлар билан чегаратамиз.

Тараңг кийгизилганда цилиндрларнинг контакт сиртларида ички цилиндрда сиқувчи, ташқида эса чўзувчи айланма күчланишлар ҳосил қилувчи контакт босим  $p_e$  пайдо бўлади. Тараңг кийгизилиши билан боғлиқ бўлган күчланишларнинг эпюралари 13.6-расмда кўрсатилган.



13.6-расм.

Құшма цилиндрлар ички босым  $p$  билан юкландында у биғта яхлит цилиндр каби ишлайды. Ички босым  $p$  дан ҳосил бўлган кучланиш контакт босим  $p_k$  дан пайдо бўлган кучла-нишлар билан алгебраик қўшилади. Ички, энг катта кучла-нишли нуқталарда ишли кучланиш ва кийгизишдан ҳосил бўлган кучланишлар турли ишорали бўлади. Шунинг учун бу нуқталарда йигинди кучланиш камаяди ва құшма цилиндрлар оддий цилиндрга нисбатан каттароқ босимга чидаши мумкин. Ички босым билан юкландын құшма цилиндрларда кучланишларнинг тақсимланиш эпюралари 13.7-расмда курсатилган. Нолинчи контакт босимга мос келувчи эпюралар штрих чизиклар билан тасвирланган.

Таранглик ( $\Delta$ -таранглик—йигишгача бўлган ячки цилиндрнинг ташқи диаметри билан ташқи цилиндрнинг ички диаметри орасидаги айрма) билан контакт босим орасидаги боғланыш қўйидаги формула ёрдамида ифодаланади:

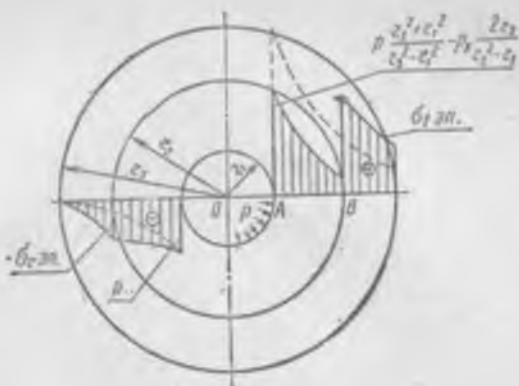
$$p_k = \frac{\Delta}{2r_2 \left( \frac{C_1}{E_1} + \frac{C_2}{E_2} \right)},$$

бу ерда ёзиши қисқартириш учун қуйидаги белгилашлар киритилган:

$$C_2 = \frac{r_2^2 + r_2^2}{r_2^2 - r_2^2} + \mu_2;$$

$$C_1 = \frac{r_2^2 + r_1^2}{r_2^2 - r_1^2} - \mu_1.$$

Бу ерда  $E_1$ ,  $\mu_1$  ва  $E_2$ ,  $\mu_2$ —мос равишда ички ва ташқи ци-лийндрларнинг материаллари учун бўйлама эластиклук модуллари ва Пуассон коэффициентлари.



13. 7- расм.

Құшма цилиндрларни ҳисоблашда ички ва ташқи цилиндрларниң тенг мустаҳкамлық шартини таъминлашга, яғни  $(\sigma_{\text{вн}})_A = (\sigma_{\text{вн}})_B$  шартни бажаришга интилинилади (13.7- расмға қаранг). Бу шарт  $r_2, r_3, \Delta$  миқдорлар құйидаги формулалар буйынша белгиланғанда бажарилади (пластик материаллар учун  $E_1 = E_2 = E$  ва  $\mu_1 = \mu_2$  бўлганда)

$$r_3 = \frac{|z_1|}{|z_1| - p} r_1;$$

$$r_2 = \sqrt{r_1 r_3};$$

$$\Delta = 2 \frac{p r_3}{E}.$$

**13.1-мисол.** Цилиндрларнинг ичида ишчи босим  $p_1 = p = 900 \text{ кГ/см}^2$  бўлганда ёпиқ ва очиқ цилиндрларнинг хавфли нұқталари учун мустаҳкамликкынг әхтиёт коэффициенти аниқлансан. Цилиндрларнинг радиуслари  $r_1 = 80 \text{ мм}$ ;  $r_2 = 180 \text{ мм}$ . Цилиндрлар материалининг шартли оқувчанлик чегараси  $\sigma_{0,2} = 3100 \text{ кГ/см}^2$ . Ҳисоблаш энг катта уринма кучланишлар ва шакл ўзгаришининг энергияси гипотезалари бўйнча бажарилсан.

Е чи ш. Ёпиқ цилиндрнинг ички сирти нұқталари учун бош кучланишларнинг миқдорларини аниқлаймиз (255 -бетга қаранг):

$$\sigma_1 = (\sigma_t)_{r=r_1} = p \frac{r_2^2 + r_1^2}{r_2^2 - r_1^2} = 900 \frac{18^2 + 8^2}{18^2 - 8^2} = 1340 \text{ кГ/см}^2;$$

$$\sigma_2 = \sigma_x = p \frac{r_1^2}{r_2^2 - r_1^2} = 900 \frac{8^2}{18^2 - 8^2} = 220 \text{ кГ/см}^2;$$

$$\sigma_3 = (\sigma_r)_{r=r_1} = -p = -900 \text{ кГ/см}^2.$$

Энг катта уринма кучланишлар гипотезаси бўйича эквивалент кучланиш:

$$\sigma_{\text{экв}}^{\text{III}} = \sigma_1 - \sigma_3 = 1340 - (-900) = 2240 \text{ кГ/см}^2.$$

Мос равишда эҳтиёт коэффициенти

$$n_{\text{III}} = \frac{\sigma_{0,2}^{\text{III}}}{\sigma_{\text{экв}}^{\text{III}}} = \frac{3100}{2240} = 1,38.$$

Шакл ўзгаришининг энергияси гипотезаси бўйича эквивалент кучланиш (256- бетдаги формулага қаранг):

$$\sigma_{\text{экв}}^{\text{IV}} = \frac{\rho r^2 \sqrt{3}}{r_2^2 - r_1^2} = \frac{900 \cdot 18^2 \cdot \sqrt{3}}{18^2 - 8^2} = 1940 \text{ кГ/см}^2.$$

Мос равишда эҳтиёт коэффициенти

$$n_{\text{IV}} = \frac{\sigma_{0,2}^{\text{IV}}}{\sigma_{\text{экв}}^{\text{IV}}} = \frac{3100}{1940} = 1,60.$$

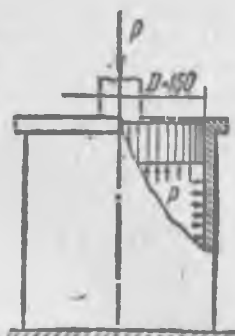
Очиқ цилиндр ички сиртининг нуқталари учун  $\sigma_1$  ва  $\sigma_3$  ларнинг миқдорлари худди ёпиқ цилиндрни каби бўлади, лекин  $\sigma_2 = 0$ . Энг катта уринма кучланишлар гипотезаси бўйича  $\sigma_3$  нинг миқдори мустаҳкамлик шартига таъсир қилмайди, демак,  $\sigma_{\text{экв}}^{\text{III}}$  ва  $n_{\text{III}}$  миқдорлар худди ёпиқ цилиндрни каби ҳосил бўлади.

Шакл ўзгаришининг энергияси гипотезаси бўйича эквивалент кучланишни аниқлаймиз:

$$\begin{aligned} \sigma_{\text{экв}}^{\text{IV}} &= \frac{1}{\sqrt{2}} \sqrt{(\sigma_1 - \sigma_2)^2 + (\sigma_2 - \sigma_3)^2 + (\sigma_3 - \sigma_1)^2} = \\ &= \frac{1}{\sqrt{2}} \sqrt{1340^2 + 900^2 + (-900 - 1340)^2} = 1950 \text{ кГ/см}^2. \end{aligned}$$

Эҳтиёт коэффициенти

$$n_{\text{IV}} = \frac{\sigma_{0,2}^{\text{IV}}}{\sigma_{\text{экв}}^{\text{IV}}} = \frac{3100}{1950} = 1,59.$$



13. 8- расм.

**13.2-мисол.**  $P = 30 \text{ Т}$  бўлганда гидравлик пресс цилинди деворининг талаб этилган қалинлиги аниқлансан (13.8-расм). Цилиндр Ст. 3 пўлатидан ясалган, оқувчанлик чегараси  $\sigma_{\text{ек}} = 2400 \text{ кГ/см}^2$ . Талаб этилган эҳтиётлик коэффициенти  $[n] = 2,5$ . Ҳисоблаш энг катта уринма кучланишлар гипотезаси бўйича бажарилсин.

Ечиш. Цилиндрдаги ишчи босимни аниқлаймиз:

$$p = \frac{P}{\pi D^2} = \frac{30000 \cdot 4}{3,14 \cdot 18^2} = 170 \text{ кГ/см}^2.$$

Цилиндрнинг хавфли нуқталари учун мустаҳкамлик шарти

$$\sigma_{\text{нек}}^{\text{III}} = \sigma_1 - \sigma_2 = \frac{2p r_1^2}{r_2^2 - r_1^2} \leq [\sigma].$$

Рухсат этилган кучланиш

$$[\sigma] = \frac{\sigma_{\text{нек}}}{[n]} = \frac{2400}{2,5} = 960 \text{ кГ/см}^2.$$

Мустаҳкамлик шартидан цилиндр ташқи радиусининг талаб этилган қийматини аниқлаймиз:

$$r_3 - r_1 \sqrt{\frac{[\sigma]}{[\sigma] - 2p}} = 7,5 \sqrt{\frac{960}{960 - 2 \cdot 170}} = 9,35 \text{ см.}$$

$r_3 = 9,5$  см деб қабул қиласиз.

Цилиндр деворининг қалинлиги

$$\delta = 9,5 - 7,5 = 2 \text{ см.}$$

13.3-мисол. Ички диаметри  $d_1 = 122$  мм бўлган қуролнинг қўш қатлами стволи учун ташқи диаметр  $d_3$ , контакт сирт диаметри  $d_2$  ва таранглик  $\Delta$  аниқлансин. Қабул қилинган таранглик учун цилиндрлар орасидаги контакт босим аниқлансин. Оғиш пайтида максимал босим  $p = 2000 \text{ кГ/см}^2$ . Пулатдан ясалган стволнинг шартли оқувчанлик чегараси  $\sigma_{0,3} = 6000 \text{ кГ/см}^2$ . Талаб этилган эҳтиёт коэффициенти  $[n] = 2,0$ . Бунда  $E = 2,0 \cdot 10^3 \text{ кГ/см}^2$ ;  $\mu = 0,3$  деб қабул қилинсин.

Ечиш Рухсат этилган кучланиш

$$[\sigma_q] = \frac{\sigma_{\text{нек}}}{[n]} = \frac{6000}{2,0} = 3000 \text{ кГ/см}^2.$$

259-бетда келтирилган формуулалар бўйича ташқи радиус  $r_3$  ва контакт сиртининг радиуси  $r_2$  нинг оптимал қийматини аниқлаймиз:

$$r_3 - r_1 \frac{[\sigma_q]}{[\sigma_q] - p} = \frac{6,1 \cdot 3000}{3000 - 2000} = 18,3 \text{ см};$$

$$r_2 = \sqrt{r_1 r_3} = \sqrt{6,1 \cdot 18,3} = 10,6 \text{ см.}$$

Демак,  $d_3 = 2 \cdot r_3 = 2 \cdot 18,3 = 366$  мм;  $d_2 = 2 \cdot r_2 = 2 \cdot 10,6 = 212$  мм.  
Тарангликнинг талаб этилган миқдори:

$$\Delta = 2 \frac{p r_3}{E} = 2 \frac{2000 \cdot 10,6}{2 \cdot 10^3} = 2,12 \cdot 10^{-2} \text{ см} = 0,212 \text{ мм.}$$

Контакт босимни аниқлаш учун ёрдамчи миқдорларни ҳисоблаймиз:

$$C_3 = \frac{r_3^2 + r_2^2}{r_3^2 - r_2^2} + \mu = \frac{18,3^2 + 10,6^2}{18,3^2 - 10,6^2} + 0,3 = 2,3.$$

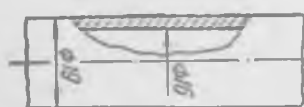
$$C_1 = \frac{r_2^2 + r_1^2}{r_2^2 - r_1^2} - \mu = \frac{10,6^2 + 6,1^2}{10,6^2 - 6,1^2} - 0,3 = 1,68.$$

Контакт босимнинг миқдорини аниқлаймиз:

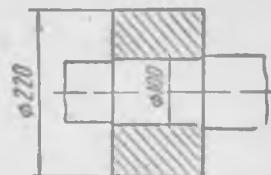
$$P_t = \frac{\Delta}{2r_1 \left( \frac{C_1}{E_1} + \frac{C_3}{E_3} \right)} = \frac{\Delta E}{2r_1 (C_1 + C_3)} = \frac{2,12 \cdot 10^{-2} \cdot 2,0 \cdot 10^6}{2 \cdot 10,6 (2,3 + 1,68)} = 502 \text{ кГ/см}^2.$$

### Мустақил ечиш учун масалалар

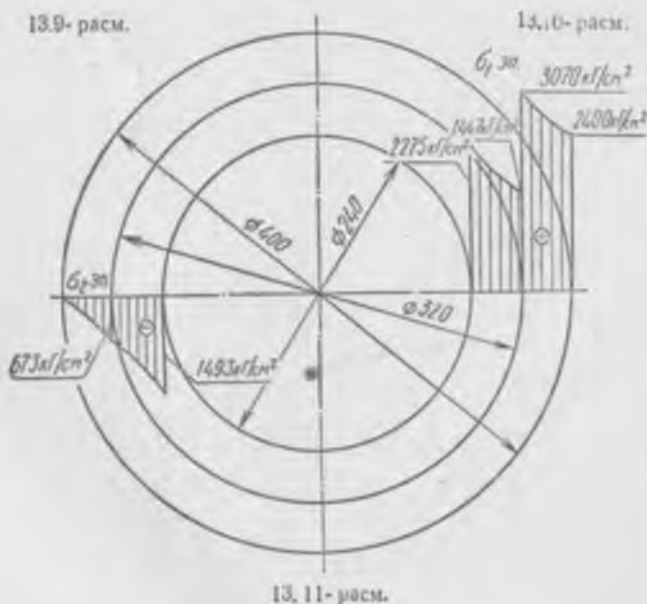
13.1. Ички босим  $p = 150$  бар таъсиридаги мой ўтказувчи жез труба учун эҳтиёт коэффициенти аниқлансан (13.9-расм).



13.9-расм.



13.10-расм.



Труба материали учун шартли оқувчанлик чегараси  $\sigma_{0,2} = 200 \text{ Н/мм}^2$ . Ҳисоблаш энг катта уринма кучланишлар гипотезаси бўйича бажарилсин.

*Жавоби.* 1.93.

**13.2.** Агар таранглик қиймати  $\Delta = 0,25 \text{ мм}$  бўлса, у ҳолда пўлат втулка ва валларнинг уриниш сиртларида kontakt босимнинг миқдори аниқлансан (13.10-расм).  $E = 2,0 \cdot 10^6 \text{ кГ/см}^2$ ,  $\mu = 0,3$  деб қабул қилинсин.

*Жавоби.*  $1980 \text{ кГ/см}^2$ .

**13.3.** Ички босим  $p = 1500 \text{ кГ/см}^2$  таъсирида бўлган икки қатламли пўлат цилиндрнинг радиал ва айланма кучланишларининг эпюралари унинг деворининг қалинлиги бўйича қурилсин. Цилиндр радиуслари:  $r_1 = 120 \text{ мм}$ ,  $r_2 = 160 \text{ мм}$ ,  $r_3 = 200 \text{ мм}$ . Таранглик  $\Delta = 0,26 \text{ мм}$ .

*Жавоби.* 13.11-расмга қаранг.

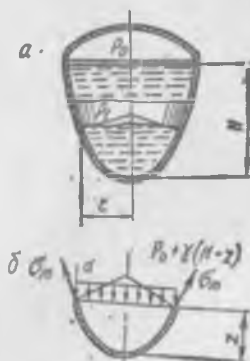
### 13.2- §. ЮПҚА ДЕВОРЛИ ИДИШЛАРНИНГ ҲИСОБИ

Суюқлик ва газ учун ясалган резервуарлар кўпчилик ҳолларда юпқа деворли ўққа симметрик бўлган қобиқлар кўрнишида бўлади. Қобиқнинг ташқи сиртларидан баробар узоқликда турувчи нукталарнинг геометрик ўрнига унинг ўрта сирти деб аталади. Материаллар қаршилигига ўрта сирти айланма сирт бўлган (13.12-расм, а) ҳамда нагрузка (суюқлик ёки газнинг ички босими) қобиқнинг ўқига нисбатан симметрик бўлган қобиқларнинг ҳисоби қаралади.

Агар қобиқ девори қалинлигининг ўрта сиртнинг энг кичик бош эгрилик радиусига нисбати ўннинг бир улушидан ошмаса, бундай қобиқларни юпқа деворли қобиқлар деб ҳисоблаш қабул қилинган (аниқ ҳисоблашларда, баъзан бу нисбат йигирманнинг бир улушигача олинади).

Юпқа деворли ўққа симметрик бўлган қобиқларга тўпланган куч ёки момент кўринишидаги нагрузка таъсир этмаса, ҳамда меридиан эгрилиги ўзгармаса ёки сакрашсиз ўзгарганда кучланишини қобиқ деворининг қалинлиги бўйича текис тақсимланган деб ҳисоблаш мумкин.

Қобиқдан икки чексиз яқин меридиан кесимлар билан ҳамда икки чексиз яқин конуссизон кесимлар (меридиан кесимига перпендикуляр кесимлар) билан ажра-



13.12-расм.

тилган элементнинг ёқлари бош юзалар бўлади. Мос бош кучланишлар:  $\sigma_m$  — меридионал ва  $\sigma_t$  — айланы ёки ҳалқали (13.12-расм, б) кучланишлар узаро Лаплас тенгламаси билан боғланган:

$$\frac{\sigma_m}{p_m} + \frac{\sigma_t}{p_t} = \frac{p}{\delta},$$

бу ерда  $p_m$  ва  $p_t$  — қобиқнинг берилган нуқтаси учун меридионал ва унга нормал бўлган кесимларнинг эгрилик радиуслари (бош эгрилик радиуслари);  $p$  — шу нуқтадаги босим;  $\delta$  — қобиқ деворининг қалинлиги.

Шундай қилиб, идиш деворининг нуқталарида икки ўқли кучланиш ҳолати пайдо бўлади. Аниқроғи, ички нуқталар учун кучланиш ҳолати уч ўқли, бош кучланишлардан бирни сон жиҳатидан  $p$  га тенг. Лекин  $\sigma_m$  ва  $\sigma_t$  ларга нисбатан  $p$  кичик миқдор ва юқорида эслатилган, шунинг учун ҳам  $P$  га тенг бош кучланиш назарга олинмайди, яъни кўрсатилган нуқталарда ҳам кучланиш ҳолати икки ўқли деб ҳисобланади.

$\sigma_m$  кучланишни ( $p_m \neq \infty$  бўлган ҳолларда) аниқлаш учун қобиқнинг конуссимон кесимлар билан ажратилган қисмига таъсир этувчи барча кучларнинг мувозанат тенгламасидан фойдаланилади (13.12-расм, б):

$$\sigma_m 2\pi r \delta \cos \alpha = \sum P_{iz},$$

бу ерда  $r$  — қобиқ ўқига перпендикуляр бўлган текисликдаги параллелнинг эгрилик радиуси;  $\sum P_{iz}$  — қолдирилган қисмига таъсир этувчи барча ташқи кучларнинг қобиқ ўқига проекцияларнинг йиғинидиси (одатда, қобиқнинг уз оғирлиги назарга олинмайди):

$$\sum P_{iz} = \gamma V_{остки} + p \pi r^2.$$

Бу ерда  $\gamma$  — идишни тұлатувчи суюқликнинг солиштирма оғирлиги;  $V_{остки}$  — идиш остки қисмининг ҳажми;  $p$  — ўтказилган кесим сатҳидаги босим, у кесимдан юқорида жойлашган суюқлик устунининг баландлиги билан аниқланади. Идишда суюқлик билан бирга  $p_0$  босим остида бўлган газ бўлса, бу миқдор  $p$  ни аниқлашда ҳисобга олиниши керак.

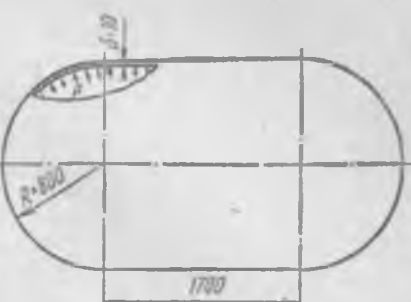
Агар идишнинг таянчи ўтказилган кесимдан пастроқда жойлашган бўлса, у ҳолда  $\sum P_{iz}$  миқдорга қўшимча равишда бу таянчнинг реакцияси ҳам кириши керак.

Ички диаметри  $D$  ва ичиди  $p$  босимли газ бўлган цилиндрик идишнинг хусусий ҳоли учун меридионал ва айланы кучланишлар қўйидаги формула бўйича аниқланади:

$$\sigma_m = \frac{pD}{48}; \quad \sigma_t = \frac{pD}{25}.$$



13. 13-расм.



13. 14-расм.

Юпқа деворли идишларда кучланишнинг нолга тенглигинни назарга олиб, келтирилган формулалардан  $\sigma_1 = \sigma_t$ ,  $\sigma_2 = \sigma_m$ ,  $\sigma_3 = 0$  ни ҳосил қиласиз; энг катта уринма кучланишлар ва шакл ўзгариши энергияси гипотезалари бўйича мустаҳкамлик шартлари қўйидагича ёзилади.

$$\sigma_{\text{иск}}^{\text{III}} = \frac{pD}{28} \leq [\sigma_q];$$

$$\sigma_{\text{иск}}^{\text{IV}} = \frac{\sqrt{3}}{4} \frac{pD}{8} \leq [\sigma_q].$$

Диаметри  $D$  бўлган ва газ босими  $p$  таъсиридаги юпқа деворли шарсизмон (сферик) қобиқ учун

$$\sigma_m = \sigma_t = \frac{pD}{48},$$

бош кучланишлар  $\sigma_1 = \sigma_2 = \sigma_m = \sigma_t$ ; мустаҳкамлик шарти

$$\sigma_{\text{иск}}^{\text{III}} = \sigma_{\text{иск}}^{\text{IV}} = \frac{pD}{48} \leq [\sigma_q].$$

**13.4-мисол.**  $p = 12$  бар ва  $[\sigma_q] = 120$  Н/мм<sup>2</sup> бўлганда шарсизмон идиш деворининг керакли қалнлиги аниқлансин (13.13-расм).

**Е ч и ш.** Мустаҳкамлик шартидан:

$$\sigma_{\text{иск}}^{\text{III}} = \sigma_{\text{иск}}^{\text{IV}} = \frac{pD}{48} \leq [\sigma_q]$$

деворнинг керакли қалнлигини ҳосил қиласиз ( $1$  бар =  $10^5$  Н/м<sup>2</sup> =  $10^{-1}$  Н/мм<sup>2</sup>):

$$\delta > \frac{pD}{4[\sigma_q]} = \frac{1.2 \cdot 2000}{4 \cdot 120} = 5 \text{ м.м.}$$

**13.5-мисол.** Мустақкамлик үарғидан фойдаланиб, идишдағи ички босимнинг рұхсат өтилган миңдори  $[p]$  аниқлансанын (13.14-расм).  $[\sigma_q] = 1200 \text{ кГ/см}^2$  деб қабул қилинсін; шакл үзгаришининг энергиясы гипотезаси құлланилсін.

Ечиш. Идиш цилиндрик қисмнинг мустақкамлик шарттыдан

$$\sigma_{\text{екб}}^{IV} = \frac{\sqrt{3}}{4} \frac{pD}{\delta} \approx 0,433 \frac{pD}{\delta} \leq [\sigma_q]$$

құйнадагини топамиз:

$$[p]' = \frac{\delta [\sigma_q]}{0,433 D} = \frac{1,0 \cdot 1200}{0,433 \cdot 160} = 17,25 \text{ кГ/см}^2.$$

Идиш шарсімон қисмнинг мустақкамлик шарттыдан

$$\sigma_{\text{екб}}^{IV} = \frac{pD}{4\delta} < [\sigma_q]$$

құйнадагини ҳосил қиласыз:

$$[p]'' = \frac{4\delta [\sigma_t]}{D} = \frac{4 \cdot 1,0 \cdot 1200}{160} = 30 \text{ кГ/см}^2.$$

Шундай қилиб, оқибат натижада топылған иккі қийматдан кичигини қабул қиласыз:

$$[p] = [p]' = 17,25 \text{ кГ/см}^2$$

**13.6\*-мисол.** Агар  $H$ ,  $D$ ,  $\delta$ ,  $\gamma$  лар берилған бұлса, у ҳолда 13.15 расм,  $a$ ,  $b$  ларда тасвирланған юпқа деворли идишлар учун  $\sigma_t$ ,  $\sigma_m$  ва  $\sigma_{\text{екб}}^{III}$  ларнинг әпюралари қурылсін.

Ечиш. Үз-үзидан маълумки, идишни 13.15-расм,  $a$  да күрсатылған схема бүйіча маҳкамланғанда уннан  $AB$  устки қисмда ҳам  $BC$  ости қисмда ҳам меридионал күчланиш  $\sigma_m$  нолга тең болади.

$AB$  устки қисмда айланған күчланиш  $\sigma_t = 0$  болади, чунки у юкланмаган.  $BC$  ости қисм гидростатик босим таъсирида бўлади.

Айланған күчланиши Лаплас тенгламасыдан топамиз:

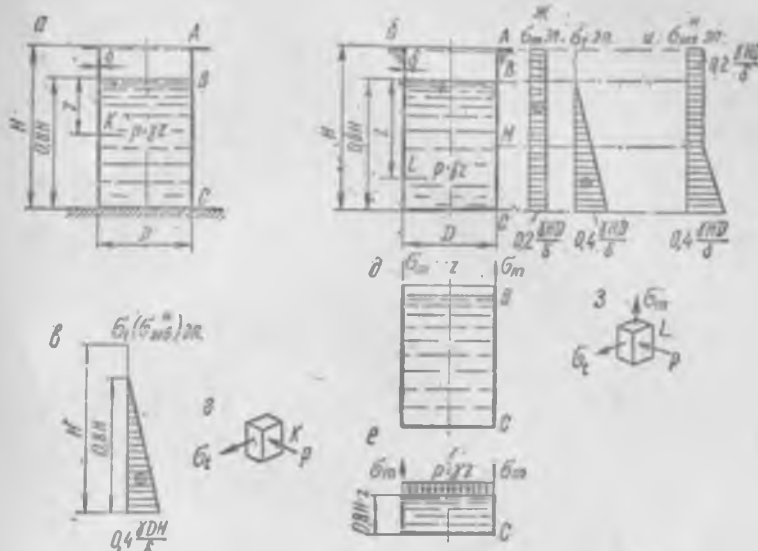
$$\frac{\sigma_t}{p_t} + \frac{\sigma_m}{p_m} = \frac{p}{\delta},$$

бу тенгликка  $p_t = \frac{D}{2}$ ,  $\sigma_m = 0$ ,  $p_m = \infty$ ,  $p = \gamma z$  ларни құйнш кепар, бунда  $p$  – эркін сатқан  $z$  масофадаги иктиёрий нүктада суюқликнинг босими (13.15-расм,  $a$  га қаранг).

Үрнің құйнандан сұнг, құйнадагини ҳосил қиласыз:

$$\sigma_t = \frac{1}{2\delta} z,$$

\*13.6, 13.7-мисолларни А. И. Винокуров түзган.



13.15 - расм.

яъни берилган ҳолда айлана күчланиш идишнинг баландлиги бўйича тўғри чизиқ қонуни билан 0 дан  $0,4 \frac{\gamma D H}{\delta}$  гача ўзгаради.

$\sigma_1$ , нинг эпюраси 13.15-расм,  $\sigma_2$  да кўрсатилган.

13.15-расм,  $\sigma_2$  да  $K$  нуқта (13.15-расм,  $a$  га қаранг) атрофига қирқилиган элемент ва унинг ёқларида пайдо бўладиган күчтанишлар кўрсатилган.

Ўз-ўзидан равшанки,

$$\sigma_1 = \sigma_t, \quad \sigma_2 = \sigma_m = 0, \quad \sigma_3 = -p = -\gamma z.$$

$\sigma_1$  миқдорга нисбатан  $\sigma_3$  ни назарга олмай, қуйидагини ҳосил қиласиз:

$$\sigma_{\text{жк}}^{\text{III}} = \sigma_1 = \sigma_t = \frac{\gamma D}{2\delta} z,$$

яъни  $\sigma_{\text{жк}}^{\text{III}}$  нинг эпюраси  $\sigma_1$ , нинг эпюраси билан устма-уст тушиди.

Энди 13.15-расм,  $b$  да тасвирланган идиш учун эпюралар қурамиз.

$AB$  устки қисм газ босими таъсирида ҳам, гидравлик босим таъсирида ҳам эмас, демак унинг учун  $\sigma_t = 0$ .

Мувозанат тенгламаси  $\sum P_{\text{жк}} = 0$  дан қуйидагини топамиз (13.15-расм,  $e$ ):

$$\sigma_m \pi D \delta = \frac{\pi D^2}{4} \cdot 0,8 H_1,$$

бундан

$$\sigma_m = 0,2 \frac{\gamma D H}{\delta} = \text{const.}$$

ВС ости қисм гидравлик босим таъсирида бўлади.  
Айлана кучланишни Лаплас тенгламасидан топамиз:

$$\frac{\sigma_t}{D} = \frac{p}{\delta} = \frac{\gamma z}{\delta},$$

бундан

$$\sigma_t = \frac{\gamma D}{2\delta} z.$$

Идишнинг ости қисми учун мувозанат тенгламаси  $\sum P_{iz} = 0$   
ни тушиб (13.15-расм, e)

$$\sigma_m \pi D \delta = \frac{\pi D^2}{4} (0,8H - z) \gamma + \frac{\pi D^2}{4} \gamma z,$$

қуйидагини топамиз:

$$\sigma_m = 0,2 \frac{\gamma D H}{\delta}.$$

$\sigma_m$  ва  $\sigma_t$  ларнинг эпюралари 13.15-расм, жа да кўрсатилган.

Идиш АВ устки қисмининг ихтиёрий нуқтасида чизиқли  
кучланиш ҳолати пайдо бўлади:

$$\sigma_1 = 0,2 \frac{\gamma D H}{\delta}; \quad \sigma_2 = \sigma_3 = 0.$$

Демак, устки қисми нуқталари учун

$$\sigma_{\text{нис}}^{\text{III}} = \sigma_m = 0,2 \frac{\gamma D H}{\delta}.$$

$\sigma_m$  ва  $\sigma_t$  ларнинг эпюраларидан  $M$  нуқта учун меридионал  
ва айлана кучланишларнинг ўзаро тенг ækанлиги кўринади  
(13.15-расм, жа га қаранг).  $M$  нуқтадан юқорида ётувчи нуқ-  
талар учун

$$\sigma_1 = \sigma_m = 0,2 \frac{\gamma D H}{\delta};$$

$$\sigma_2 = \sigma_t = \frac{\gamma D}{2\delta} z < \sigma_m;$$

$\sigma_3 = -p = -\frac{\gamma z}{\delta}$  (бу миқдорни назарга олмайми).

Шундай қилиб,  $M$  нуқтадан юқорида ётувчи нуқталар учун

$$\sigma_{\text{нис}}^{\text{III}} \approx \sigma_1 = 0,2 \frac{\gamma D H}{\delta},$$

яъни эквивалент кучланишнинг миқдори  $\sigma_3$  ни назарга олмаслик билан боғлиқ бўлган, унча катта хатоликни ҳисобга олган ҳолда ўзгармайди.

$M$  нуқтадан пастда жойлашган нуқталар учун айланма кучланиш меридионалдан катта:

$$\sigma_1 = \sigma_4 = \frac{1D}{2s} z_1$$

$$\sigma_2 = \sigma_m = 0,2 \frac{1DH}{s};$$

$$\sigma_3 = -p = -\gamma z.$$

13.15 расм, э да  $L$  нуқта ( $M$  нуқтадан пастда жойлашган ихтиёрий нуқта) атрофида қирқилган элемент кўрсатилган. Бу нуқта учун

$$\sigma_{\text{еки}}^{(II)} = \sigma_1 - \sigma_3 = \left( \frac{D}{2s} + 1 \right) \gamma z,$$

ёки,  $\sigma_3$  ни аввалгидек назарга олмасдан, қўйидагини топамиз:

$$\sigma_{\text{еки}}^{(III)} = \frac{1D}{2s} z.$$

$\sigma_{\text{еки}}^{(III)}$  нинг эпюраси 13.15-расм и да кўрсатилган.

13.7-мисол. Агар  $[\sigma_q] = 600 \text{ кГ/см}^2$ ,  $\gamma = 1 \text{ Г/см}^3$  бўлса, у ҳолда 13.16-расм,  $a$  да кўрсатилган резервуар деворининг кепакли қалинлиги аниқлансин.

Ҳисоблаш энг катта уринма кучланиш гипотезаси бўйича бажарилсан.

Онг топилган қиймати бўйича  $\sigma_{\text{еки}}^{(III)}$  ва  $\sigma_{\text{еки}}^{(IV)}$  эпюралари қурилсин.

Ечиш. Резервуарнинг  $AB$  устки қисмига газ босими ҳам, гидростатик босим ҳам таъсир этмагани учун резервуарнинг бу қисмидаги нуқталарда  $\sigma_t = 0$  бўлади.

Резервуарнинг қолган қисми учун мувозанат тенгламаси  $\sum P_{lx} = 0$  ни тузиб (13.16, б),  $\sigma_m$  ни топамиз:

$$\sigma_m \pi D_s \delta \cos \alpha = \frac{1}{3} \frac{\pi D_0^2}{4} H \gamma,$$

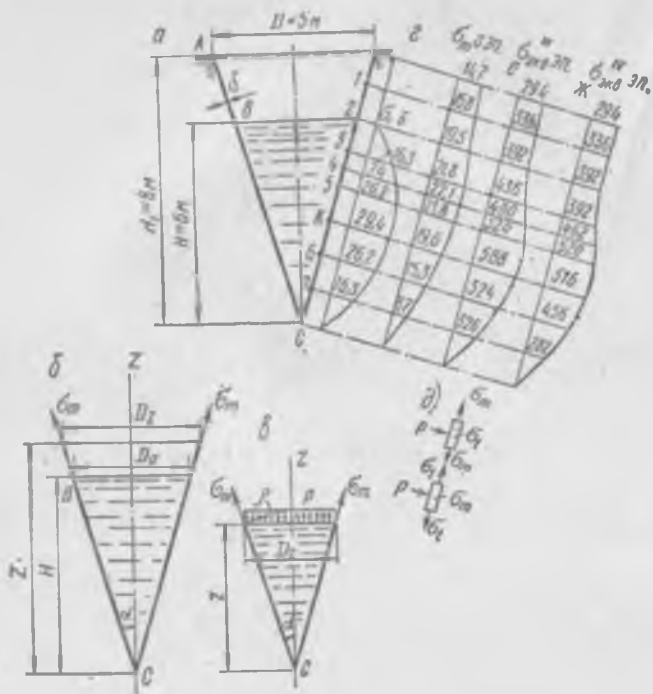
бу ерда

$$D_0 = 2H \operatorname{tg} \alpha;$$

$$D_s = 2z \operatorname{tg} \alpha;$$

$$\operatorname{tg} \alpha = \frac{D}{2H_1} = \frac{5}{2 \cdot 8} \approx 0,312,$$

$$\alpha \approx 17^\circ 20', \quad \cos 17^\circ 20' = 0,955.$$



13. 16-расм.

Мувозанат тенгламасига  $D_0$  ва  $D_2$  нинг қийматларини қўйиб, деворнинг суюқлик ёркин сирти сатҳидан юқорида жойлашган нуқталари учун  $\sigma_m$  миқдорни топамиз:

$$\sigma_m = \frac{\gamma H^3 \lg \alpha}{6\pi \delta \cos \alpha}.$$

Резервуарнинг *ВС* ости *Хисми гидростатик* босим таъсирда будади.

Айлана күчләнишни Лаплас тенгламасидан топамиш:

$$\frac{\sigma_1}{\rho_1} + \frac{\sigma_m}{\rho_m} = \frac{\rho}{\delta},$$

бүрдэ  $\rho_m = \infty$ ;

$$p_t = \frac{D_t}{2 \cos \alpha} = z \frac{\tan \alpha}{\cos \alpha} \quad (13.16 \text{-pacM}, \theta);$$

$$p = (H - z) \gamma.$$

Лаплас тенгламасига  $\rho_l$ ,  $\rho_m$ ,  $\rho$  миқдорларнинг қийматларици қўйинб, қўйидагини ҳосил қиламиш:

$$\sigma_l = \frac{\gamma z (H-z) \operatorname{tg} \alpha}{\delta \cos \alpha}.$$

$BC$  участкада айланга кучланиш параболик қонун билан ўзгаради.  $\sigma_l = f(z)$  функцияни экстремумга текшириб,  $\max \sigma_l$  нинг конус учидан  $H/2$  масофада турувчи нуқталарда пайдо бўлишини топамиш.

Резервуарнинг қолган қисми учун мувозанат тенгламаси  $\sum P_{lz} = 0$  ни тузамиш (13.16-расм,  $\vartheta$  га қаранг):

$$\sigma_m \pi D_s \delta \cos \alpha = \frac{\pi D_s^2}{4} \left( p + \frac{1}{3} z \gamma \right),$$

бундан

$$\sigma_m = \frac{\gamma z \operatorname{tg} \alpha}{6 \delta \cos \alpha} (3H - 2z).$$

$\sigma_m = f(z)$  функцияни экстремумга текшириб,  $\max \sigma_m$  нинг  $z = 3/4H$  га мос келувчи нуқталарда пайдо бўлишини топамиш.

Ҳосил бўлган тенгламалар бўйича  $\sigma_l$  ва  $\sigma_m$  ларнинг эпю-раларни қурамиз (13.16-расм, 2).

13.16-расм,  $\vartheta$  да резервуар ички сиртининг ихтиёрий нуқтаси атрофида қирқилган элемент (икки проекциясида) кўрсатилган.

$P$  нинг қиймати  $\sigma_l$  ва  $\sigma_m$  лардан бирмунча кичик бўлгани учун, яъни  $\sigma_3$  нинг миқдори  $\sigma_l$  ва  $\sigma_m$  лардан анчагина кичик бўлгани учун  $\sigma_3 = 0$  деб қабул қилиш ва резервуар деворининг барча нуқталарида икки ўқли чўзилиш пайдо бўлади, деб ҳисоблаш мумкин. Шу билан бирга 13.16-расм,  $\vartheta$  да тасвиirlанган эпюра бўйича  $K$  нуқта хавфли нуқта бўлиши яқзол кўринади\*. Бу нуқта учун мустаҳкамлик шарти қўйидаги кўринишда бўлади:

$$\sigma_{\text{зкв}}^{\text{III}} = \max \sigma_l = \frac{29.4}{\delta} \leq [\sigma_l],$$

бундан

$$\delta = \frac{29.4}{[\sigma_4]} = \frac{29.4}{600} = 0.049 \text{ см.}$$

$\delta = 0.5 \text{ мм}$  ни қабул қиламиш.

$\sigma_{\text{зкв}}^{\text{III}}$  нинг эпюрасини қуришда аввал қабул қилганимиздек,  $\sigma_3 = -p$  миқдорни эътиборга олмаймиз, демак,

$$\sigma_{\text{зкв}}^{\text{III}} = \sigma_1.$$

Икки ўқли чўзилишда деворининг исталган нуқтаси учун эквивалент кучланиш  $\sigma_{\text{зкв}}^{\text{III}}$  ё  $\sigma_m$  га, ёки  $\sigma_l$  га яъни бу кучланишлардан каттасига тенг бўлади ( $\sigma_3 = 0$  бўлганда  $\sigma_{\text{зкв}}^{\text{III}} = \sigma_1$  ҳосил бўлади).

*A* нүқта учун

$$\sigma_{\text{ЭКВ}}^{\text{III}} = \frac{\sigma_m}{\delta} = \frac{14,7}{0,05} = 294 \text{ кГ/см}^2.$$

*1* нүқта учун

$$\sigma_{\text{ЭКВ}}^{\text{III}} = \frac{\sigma_m}{\delta} = \frac{16,8}{0,05} = 336 \text{ кГ/см}^2.$$

*2* нүқта учун

$$\sigma_{\text{ЭКВ}}^{\text{III}} = \frac{\sigma_m}{\delta} = \frac{19,6}{0,05} = 392 \text{ кГ/см}^2.$$

*3* нүқта учун

$$\sigma_{\text{ЭКВ}}^{\text{III}} = \frac{\sigma_f}{\delta} = \frac{21,8}{0,05} = 436 \text{ кГ/см}^2.$$

*4* нүқта учун

$$\sigma_{\text{ЭКВ}}^{\text{III}} = \frac{\sigma_f}{\delta} = \frac{24,0}{0,05} = 480 \text{ кГ/см}^2.$$

*5* нүқта учун

$$\sigma_{\text{ЭКВ}}^{\text{III}} = \frac{\sigma_f}{\delta} = \frac{26,2}{0,05} = 524 \text{ кГ/см}^2.$$

*K* нүқта учун

$$\sigma_{\text{ЭКВ}}^{\text{III}} = \frac{\sigma_f}{\delta} = \frac{29,4}{0,05} = 588 \text{ кГ/см}^2.$$

*6* нүқта учун

$$\sigma_{\text{ЭКВ}}^{\text{III}} = \frac{\sigma_f}{\delta} = \frac{26,2}{0,05} = 524 \text{ кГ/см}^2.$$

*7* нүқта учун

$$\sigma_{\text{ЭКВ}}^{\text{III}} = \frac{\sigma_f}{\delta} = \frac{16,3}{0,05} = 326 \text{ кГ/см}^2.$$

$\sigma_{\text{ЭКВ}}^{\text{III}}$  нинг эпюраси 13.16-расм,  $e$  да кўрсатилган.  $\sigma_{\text{ЭКВ}}^{\text{IV}}$  нинг эпюрасини қурамиз. Маълумки,

$$\sigma_{\text{ЭКВ}}^{\text{IV}} = \frac{1}{2} \sqrt{(\sigma_1 - \sigma_2)^2 + (\sigma_2 - \sigma_3)^2 + (\sigma_3 - \sigma_1)^2}.$$

Кўриб чиқилаётган масалада  $\sigma_3 = 0$  қабул қилинган, у вақтда

$$\sigma_{\text{ЭКВ}}^{\text{IV}} = \sqrt{\sigma_1^2 + \sigma_2^2 - \sigma_1 \sigma_2}.$$

*A* нүқта учун  $\sigma_1 = \sigma_m$ ,  $\sigma_2 = 0$ ,

$$\sigma_{\text{ЭКВ}}^{\text{IV}} = \sigma_1 = \sigma_m = \frac{14,7}{0,05} = 294 \text{ кГ/см}^2.$$

*1* нүқта учун  $\sigma_1 = \sigma_m$ ,  $\sigma_2 = 0$ ,

$$\sigma_{\text{ЭКВ}}^{\text{IV}} = \sigma_1 = \sigma_m = \frac{16,8}{0,05} = 336 \text{ кГ/см}^2.$$

2 нүкта учун  $\sigma_1 = \sigma_m$ ,  $\sigma_2 = 0$ ,

$$\sigma_{\text{екв}}^{\text{IV}} = \sigma_1 - \sigma_m = \frac{19,6}{0,05} = 392 \text{ кГ/см}^2.$$

3 нүкта учун  $\sigma_1 = \sigma_m$ ,  $\sigma_2 = \sigma_t$ .

$$\sigma_{\text{екв}}^{\text{IV}} = \sqrt{\left(\frac{21,8}{8}\right)^2 + \left(\frac{16,3}{8}\right)^2 - \frac{21,8}{8} \frac{16,3}{8}} = \frac{19,6}{0,05} = 392 \text{ кГ/см}^2.$$

4 нүкта учун  $\sigma_1 = \sigma_t$ ,  $\sigma_2 = \sigma_m$ .

$$\sigma_{\text{екв}}^{\text{IV}} = \sqrt{\left(\frac{24,0}{8}\right)^2 + \left(\frac{22,1}{8}\right)^2 - \frac{24,0}{8} \frac{22,1}{8}} = \frac{23,1}{0,05} = 462 \text{ кГ/см}^2.$$

5 нүкта учун  $\sigma_1 = \sigma_t$ ,  $\sigma_2 = \sigma_m$ ,

$$\sigma_{\text{екв}}^{\text{IV}} = \sqrt{\left(\frac{26,2}{8}\right)^2 + \left(\frac{21,8}{8}\right)^2 - \frac{26,2}{8} \frac{21,8}{8}} = \frac{26,0}{0,05} = 520 \text{ кГ/см}^2.$$

К нүкта учун  $\sigma_1 = \sigma_t$ ,  $\sigma_2 = \sigma_m$ ,

$$\sigma_{\text{екв}}^{\text{IV}} = \sqrt{\left(\frac{29,4}{8}\right)^2 + \left(\frac{19,6}{8}\right)^2 - \frac{29,4}{8} \frac{19,6}{8}} = \frac{25,8}{0,05} = 516 \text{ кГ/см}^2.$$

6 нүкта учун  $\sigma_1 = \sigma_t$ ,  $\sigma_2 = \sigma_m$ .

$$\sigma_{\text{екв}}^{\text{IV}} = \sqrt{\left(\frac{26,2}{8}\right)^2 + \left(\frac{15,3}{8}\right)^2 - \frac{26,2}{8} \frac{15,3}{8}} = \frac{22,8}{0,05} = 456 \text{ кГ/см}^2.$$

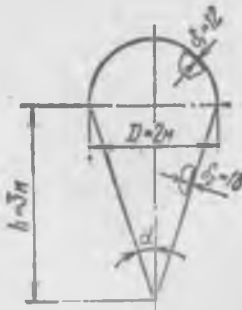
7 нүкта учун  $\sigma_1 = \sigma_t$ ,  $\sigma_2 = \sigma_m$ ,

$$\sigma_{\text{екв}}^{\text{IV}} = \sqrt{\left(\frac{16,3}{8}\right)^2 + \left(\frac{8,7}{8}\right)^2 - \frac{16,3}{8} \frac{8,7}{8}} = \frac{14,1}{0,05} = 282 \text{ кГ/см}^2.$$

$\sigma_{\text{екв}}^{\text{IV}}$  нинг эпюраси 13.16-расм, жа да кўрсатилган.

### Мустақил ечиш учун масалалар

13.4. Диаметри  $D = 2,0 \text{ м}$  бўлган ички газ босими  $p = 15 \text{ бар}$  таъсиридаги цилиндрик резервуар деворининг керакли



13.17 - расм.

қалинлиги аниқлансин.  $[\sigma_a] = 100 \text{ Н/мм}^2$  деб қабул қилиб, ҳисоблаш шакл узгаришининг энергияси гипотезаси бўйича ба-жарилсин.

*Жавоби. 12 м.м.*

13.5. Агар қопқоғи ярим шар шаклида бўлган конуссимон резервуардаги газ босими  $p = 24 \text{ кГ/см}^2$  бўлса, у ҳолда резервуар учун мустаҳкамликнинг эҳтиёт коэффициенти аниқлансин (13.17-расм). Резервуар пулатдан ясалган бўлиб, оқувчилик чегараси  $\sigma_{ok} = 28 \text{ кГ/мм}^2$ . Ҳисоблаш энг катта уринма кучланиш гипотезаси бўйича бажарилсин. Резервуар девори учун меридионал ва айланна кучланишларнинг эпюралари қурилсин.

*Жавоби.  $n=1,99$ .*

## XIV бөб

### ТЕКИС ЭГРИ БРУСЛАР

#### 14.1-§. ИЧКИ КУЧ ФАКТОРЛАРИНИНГ ЭПЮРАЛАРИНИ ҚУРИШ. ЭГРИ БРУСЛАРДА КҮЧИШЛАР

1. Қуйидаги шартларга бүйсунадиган эгри брусларни қарымыз: күндаланг кесими симметрия үқига эга; геометрик үқи симметрия текислигіда ётувчи текис эгри чизиқ; таъсир ётувчи күчлар ҳам уша текисликда ётади; күчлар таъсирининг мустақиллігі принципинің құллаш мүмкін булиши учун бикрлигі етарлы.

2. Эгри бруслар күндаланг кесимиңдеги ички зориқышлар балка ва рамалардаги каби кесимлар усули билан аниқланади. Берилған ҳолда улар учта күч факторига: әгувчи момент  $M$  га; бүйлама күч  $N$  га; кесувчи күч  $Q$  га келтирилади.

Агар брус үқи эгрилігінинг ортиши әгувчи моментга мос келса, у мусбат ишорада бүлади, агар бүйлама күч چузилишига мос келса, у мусбат ишорада бүлади, агар кесувчи күч нінг йұналиши бүйлама күчининг мусбат йұналишини соат стрелкаси ҳаракати бүйіча  $90^\circ$  га буриш орқали ҳосил қилинса, у ҳам мусбат бүлади.

$M$ ,  $N$  ва  $Q$  ларнинг құймаглари эпюраларда эгри бруслар геометрик үқиңнің нормали бүйіча жойлаштириледи, деб келишиб оламиз, яғни эгрилік радиуси бүйіча мусбат мнқдорларни эгрилік марказидан бошлаб, манфий құйматларни эса эгрилік маркази томон йұналтириб жойлаштирамыз. Агар брус әгри чизиқли ва түғри чизиқли участкаларга эга булса, у ҳолда әгри чизиқли участкага мос келувчи эпюра геометрик үқиңнің қайси томонида бўлса, түғри чизиқли участкага мос келувчи эпюраси ҳам шу томонда жойлаштириш керак, яғни  $M$  нінг эпюрасини чўзилган толалар томонида қуриш керак.

Эгрилік радиуси кичик бўлган текис әгри бруслардаги күчишларни (чизиқли ва бурчакли) умумий ҳолда, яғни әгувчи момент  $M$ , бүйлама күч  $N$  ва кесувчи күч  $Q$  ларни ҳисобга олган ҳолда Мор интеграли ёрдамида аниқлаш мүмкін:

$$d_{ip} = \sum \int \frac{MM_i ds}{EJ} + \sum \int \frac{NN_i ds}{EP} + \sum \int \frac{QQ_i ds}{OF},$$

Бу ерда  $M$ ,  $N$ ,  $Q$  — эгри бруснинг иктиёрий кундаланг кесимида берилган нагрузкалар таъсирида ҳосил бўлган юқорида курсатилган куч факторлари;

$M_i$ ,  $N_i$ ,  $Q_i$  — изланувчи кўчиш йўналишида қўйилган бирлик куч (момент) таъсирида ўша кесимда ҳосил бўлган ўхшаш куч факторлари;

$k$  — кесим шаклига боғлиқ бўлган коэффициент (масалан, тўғри тўртбурчак учун  $k = 1,2$  ва доира учун  $k = \frac{10}{9}$ );

$ds$  — ёй элементи;

$S$  — ёй узунлиги.

Кўчишнинг миқдорига  $N$  ва  $Q$  ларнинг таъсири  $M$  нинг таъсирига қараганда арзимаган бўлгани учун, амалда Мор интегралининг охирги икки ҳадини кўпчилик ҳолларда назарга олмаслик мумкин.

Масалалар ёнишда 14.1-жадвалдан фойдаланамиз.

#### 14.1- жадвал

Эгри бруси ҳисоблашда тез-тез учраб турадиган интегралларнинг жадвали\*

Интеграл	Оралиқтардаги қийматлари		
	$0 \rightarrow \alpha$	$0 \rightarrow \frac{\pi}{2}$	$0 \rightarrow \pi$
$\int \sin \varphi d\varphi$	$1 - \cos \alpha$	1	2
$\int \cos \varphi d\varphi$	$\sin \alpha$	1	0
$\int \sin^2 \varphi d\varphi$	$\frac{\alpha}{2} - \frac{1}{4} \sin 2\alpha$	$\frac{\pi}{4}$	$\frac{\pi}{2}$
$\int \cos^2 \varphi d\varphi$	$\frac{\alpha}{2} + \frac{1}{4} \sin 2\alpha$	$\frac{\pi}{4}$	$\frac{\pi}{2}$
$\int \sin^3 \varphi \cos \varphi d\varphi$	$\frac{1}{3} \sin^3 \alpha$	$\frac{1}{3}$	0
$\int \cos^3 \varphi \sin \varphi d\varphi$	$\frac{1 - \cos^3 \alpha}{3}$	$\frac{1}{3}$	$\frac{2}{3}$
$\int \sin 2\varphi d\varphi$	$\sin^2 \alpha$	-1	0
$\int \cos 2\varphi d\varphi$	$\frac{1}{2} \sin 2\alpha$	0	0

\* Жадвал Е. Н. Тихомировнинг „Курс сопротивления материалов“ дарслигидан кўчириб ёзилган, ОНТИ, 1934.

Интеграл	Оралиқтардаги қийматлари		
	$0 \rightarrow \alpha$	$0 \rightarrow \frac{\pi}{2}$	$0 \rightarrow \pi$
$\int \sin \varphi \cos \varphi d\varphi$	$\frac{1}{2} \sin^2 \alpha$	$\frac{1}{2}$	0
$\int \varphi \sin \varphi d\varphi$	$\sin \alpha - \alpha \cos \alpha$	1	$\pi$
$\int \varphi \cos \varphi d\varphi$	$\alpha \sin \alpha + \cos \alpha - 1$	$\frac{\pi}{2} - 1$	-2
$\int \varphi \sin \varphi \cos \varphi d\varphi$	$\frac{1}{8} \sin 2\alpha - \frac{\alpha \cos 2\alpha}{4}$	$\frac{\pi}{8}$	$-\frac{\pi}{4}$
$\int \varphi \sin^2 \varphi d\varphi$	$\frac{1}{4} (\alpha^2 - \alpha \sin 2\alpha + \sin^2 \alpha)$	$\frac{\pi^2}{16} + \frac{1}{4}$	$\frac{\pi^2}{4}$
$\int \varphi \cos^2 \varphi d\varphi$	$\frac{1}{4} (\alpha^2 + \alpha \sin 2\alpha - \sin^2 \alpha)$	$\frac{\pi^2}{16} - \frac{1}{4}$	$\frac{\pi^2}{4}$
$\int \varphi \sin 2\varphi d\varphi$	$\frac{1}{2} \left( \frac{1}{2} \sin 2\alpha - \alpha \cos 2\alpha \right)$	$\frac{\pi}{4}$	$-\frac{\pi}{2}$
$\int \varphi \cos 2\varphi d\varphi$	$\frac{1}{2} (\alpha \sin 2\alpha - \sin^2 \alpha)$	$-\frac{1}{2}$	0
$\int \sin(\alpha - \varphi) \sin \varphi d\varphi$	$\frac{1}{2} (\sin \alpha - \alpha \cos \alpha)$	$\frac{1}{2}$	$\frac{\pi}{2}$

14.1-мисол. 14.1-расм,  $a$  да тасвирланган брус учун  $M$ ,  $N$  ва  $Q$  эпюралари курилсин.

Ечиш. Ўз-ўзидан равшанки,  $M$  түпланган момент таъсиридан бўйлама куч ҳам, кесувчи куч ҳам пайдо бўлмайди, у фақат  $M$  нинг эпюрасигагина таъсири кўрсатади. Шунинг учун интенсивлиги  $\varphi$  бўлган тақсимланган нагрузка таъсирида бруснинг эгри чизиқли участкасининг кўндаланг кесимида қандай куч факторлари пайдо бўлишини қараемиз. Ҳолати вертикальдан бошлаб  $\varphi$  бурчак билан ҳисобланадиган ихтиёрий кундаланг кесимда (14.1-расм, б) элементар түпланган куч  $dP = qds = q R_0 d\alpha$  таъсиридан ҳосил бўладиган куч факторлари қўйидагича топилади:

$$dM(q) = dP R_0 (\sin \varphi - \sin \alpha) = q R_0^2 (\sin \varphi - \sin \alpha) d\alpha;$$

$$dN = -dP \sin \varphi = -q R_0 \sin \varphi d\alpha;$$

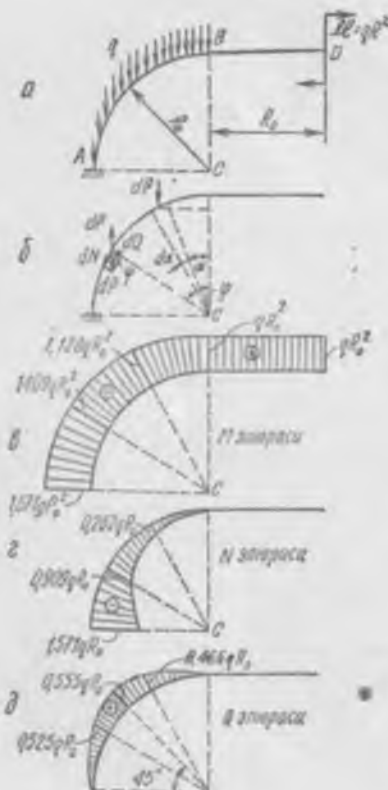
$$dQ = dP \cos \varphi = q R_0 \cos \varphi d\alpha.$$

У вақтда

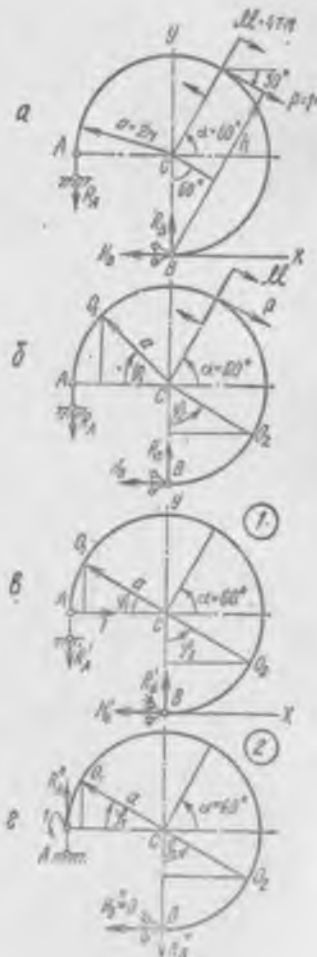
$$M(q) = q R_0 \int_0^\varphi (\sin \varphi - \sin \alpha) d\alpha = q R_0^2 (\varphi \sin \varphi + \cos \varphi - 1);$$

$$N = -q R_0 \sin \varphi \int_0^\varphi d\alpha = -q R_0 \varphi \sin \varphi;$$

$$Q = q R_0 \cos \varphi \int_0^\varphi d\alpha = q R_0 \varphi \cos \varphi.$$



14. 1- рәсн.



14. 2- рәсн.

Түгри чизиқли  $BD$  участкада, юқорида күрсатылғаныдек, бүйлама ва кесувчи күчлар нолга тең болады; эгувчи момент бу участкада ўзгармас болады:

$$M = \mathcal{U} = q R_0^2.$$

Әгри чизиқли  $AB$  участкада эгувчи момент учун ифодани күч таъсирини құшиш принципига мұвоғиқ топамыз:

$$M = \mathcal{U} + M(q) = q R_0^2 (\varphi \sin \varphi + \cos \varphi).$$

$M, N, Q$  ларнинг қийматларини түртта кесим ( $\varphi = 0, \varphi = \frac{\pi}{6}, \varphi = \frac{\pi}{3}, \varphi = \frac{\pi}{2}$ ) да ҳисоблаб, мос әпюраларни қурамиз (14.1-расм, а, 2, д):

$$M_{\varphi=0} = \mathcal{U} = q R_0^2;$$

$$M_{\varphi=\pi/6} = q R_0^2 \left( \frac{\pi}{6} \sin \frac{\pi}{6} + \cos \frac{\pi}{6} \right) = 1,128 q R_0^2;$$

$$M_{\varphi=\pi/3} = q R_0^2 \left( \frac{\pi}{3} \sin \frac{\pi}{6} + \cos \frac{\pi}{3} \right) = 1,409 q R_0^2;$$

$$M_{\varphi=\pi/2} = q R_0^2 \left( \frac{\pi}{2} \sin \frac{\pi}{2} + \cos \frac{\pi}{2} \right) = 1,571 q R_0^2;$$

$$N_{\varphi=0} = 0;$$

$$N_{\varphi=\pi/6} = -q R_0 \frac{\pi}{6} \sin \frac{\pi}{6} = -0,262 q R_0;$$

$$N_{\varphi=\pi/3} = -q R_0 \frac{\pi}{3} \sin \frac{\pi}{3} = -0,909 q R_0;$$

$$N_{\varphi=\pi/2} = -q R_0 \frac{\pi}{2} \sin \frac{\pi}{2} = -1,571 q R_0;$$

$$Q_{\varphi=0} = 0;$$

$$Q_{\varphi=\pi/6} = q R_0 \frac{\pi}{6} \cos \frac{\pi}{6} = 0,455 q R_0;$$

$$Q_{\varphi=\pi/4} = q R_0 \frac{\pi}{4} \cos \frac{\pi}{4} = 0,555 q R_0;$$

$$Q_{\varphi=\pi/3} = q R_0 \frac{\pi}{3} \cos \frac{\pi}{3} = 0,525 q R_0;$$

$$Q_{\varphi=\pi/2} = q R_0 \frac{\pi}{2} \cos \frac{\pi}{2} = 0.$$

14.2-мисол. Эгрилиги кичик радиуслы  $A$  брус кесимининг горизонтал күчиши ва буралыш бурчаги аниқлансын (14.2-расм, а)

Е ч и ш. Изланувчи күчиши аниқлаш учун таянч реакцияларини топиш ва брус участкаларнда берилған нагрузка ( $M_0$ )

таъсиридан ҳосил бўладиган эгувчи момент тенгламаларини тузиш керак. Кейинчалик изланувчи кўчиш йўналишида  $A$  кесимга бирлик кучни (берилган ҳолда бирлик куч ва бирлик моментни, чунки иккита кўчиш изланаяпти) қўйилади ва бруснинг иккала участкаси учун эгувчи момент ( $M_1$  ва  $M_2$ ) тенгламалари тузилади; сўнгра Мор формуласи бўйича излаётган кўчишлар топилади.

Таянч реакцияларини аниқлаймиз:

$$\sum m_B = 0; \quad -R_A a + M + Ph = 0.$$

бу ерда

$$h = a(1 + \sin 60^\circ) = 3,73 \text{ м}$$

бўлгани учун қўйидагини топамиз:

$$R_A = \frac{M + Ph}{a} = \frac{4 + 3,73}{2} = 3,87 \text{ T};$$

$$\begin{aligned} \sum X &= 0; \quad -H_B + P \cos 30^\circ = 0; \quad H_B = P \cos 30^\circ = 0,866 \text{ T}; \\ \sum Y &= 0; \quad R_B - R_A - P \sin 30^\circ = 0; \quad R_B = R_A + P \sin 30^\circ = 4,37 \text{ T}. \end{aligned}$$

Эгри брус биринчи участкасининг ихтиёрий кесимида берилган нагрузка таъсиридан ҳосил бўладиган эгувчи момент ифодаси қўйидаги кўринишда бўлади (14.2 расм, б)  $0 < \varphi_1 \leq 120^\circ$ :

$$M_{\varphi_1} = R_A(a - a \cos \varphi_1) = 7,74(1 - \cos \varphi_1).$$

Иккинчи участкада  $0 < \varphi_2 < 150^\circ$

$$\begin{aligned} M_{\varphi_2} &= R_B a \sin \varphi_2 + H_B(a - a \cos \varphi_2) = \\ &= 8,74 \sin \varphi_2 - 1,732 \cos \varphi_2 + 1,732. \end{aligned}$$

Горизонтал кўчишни аниқлаш учун  $A$  кесимга горизонтал йўналишда бирлик кучни қўймиз (14.2-расм, в).

Тегишли таянч реакцияларини аниқлаймиз:

$$\sum m_B = 0; \quad -R'_A a + 1 \cdot a = 0,$$

бундан

$$R'_A = 1.$$

Барча кучларни вертикал ва горизонтал йўналишларга проекциялаб, қўйидагиларни топамиз:

$$R'_B = 1; \quad H'_B = 1.$$

Бирлик эгувчи момент ифодаси қўйидаги кўринишда бўлади: биринчи участка учун ( $0 < \varphi_1 \leq 120^\circ$ )

$$M'_1 = 1 a \sin \varphi_1 + R'_A(a - a \cos \varphi_1) - 2(\sin \varphi_1 - \cos \varphi_1 + 1);$$

иккинчи участка учун ( $0 \leq \varphi_2 \leq 150^\circ$ )

$$M'_2 = R'_B a \sin \varphi_2 + H'_B(a - a \cos \varphi_2) - 2(\sin \varphi_2 - \cos \varphi_2 + 1).$$

Мор формуласи бүйича  $A$  таянч кесимнинг горизонтал кўчишини аниқлаймиз:

$$\begin{aligned} \delta_A^{\text{гор}} &= \frac{1}{EJ} \left[ \int_{\frac{2}{3}\pi}^{\frac{5}{6}\pi} M_{\varphi_1} M'_1 ad\varphi_1 + \int_{\frac{5}{6}\pi}^{\frac{8}{6}\pi} M_{\varphi_2} M'_2 ad\varphi_2 \right] = \\ &= \frac{1}{EJ} \left[ \int_{\frac{2}{3}\pi}^{\frac{5}{6}\pi} 7,74(1 - \cos \varphi_1) 2(\sin \varphi_1 - \cos \varphi_1 + 1) 2d\varphi_1 + \right. \\ &\quad \left. + \int_{\frac{5}{6}\pi}^{\frac{8}{6}\pi} (8,74 \sin \varphi_2 - 1,732 \cos \varphi_2 + 1,732) 2(\sin \varphi_2 - \cos \varphi_2 + 1) 2d\varphi_2 \right]. \end{aligned}$$

Оқибатда, қўйидаги натижани ҳосил қиласиз:

$$\delta_A^{\text{гор}} = \frac{216,8}{EJ}.$$

$A$  кесимнинг буралиш бурчагини аниқлаймиз.

Мор формуласи бүйича кўчишини аниқлашнинг умумий методикасига амал қилиб,  $A$  кесимга бирлик момент қўямиз (14.2-расм, г). Таянч реакциялари 14.3-расм, г да кўрсатилган; уларнинг қийматлари:

$$\begin{aligned} R'_A = R'_B &= \frac{1}{a} = 0,5 \text{ 1/m} \\ H &= 0. \end{aligned}$$

Эгувчи момент ифодасини тузамиз.

Биринчи участка учун ( $0 < \varphi_1 < 120^\circ$ )

$$M'_2 = 1 - R'_A(a - a \cos \varphi_1) = 1 - 0,5 \cdot 2(1 - \cos \varphi_1) = \cos \varphi_1.$$

Иккинчи участка учун ( $0 < \varphi_2 < 150^\circ$ )

$$M'_2 = R'_B a \sin \varphi_2 = -0,5 \cdot 2 \sin \varphi_2 = -\sin \varphi_2.$$

Мор формуласини қўллаб, қўйидагиларни топамиз:

$$\begin{aligned} \delta_A^{\text{топ}} &= \sum \int \frac{M_{\varphi} M_2 ds}{EJ} = \frac{1}{EJ} \left[ \int_{\frac{2}{3}\pi}^{\frac{5}{6}\pi} M_{\varphi_1} M'_1 ad\varphi_1 + \int_{\frac{5}{6}\pi}^{\frac{8}{6}\pi} M_{\varphi_2} M'_2 ad\varphi_2 \right] = \\ &= \frac{1}{EJ} \left[ \int_{\frac{2}{3}\pi}^{\frac{5}{6}\pi} 7,74(1 - \cos \varphi_1) \cos \varphi_1 2d\varphi_1 + \int_{\frac{5}{6}\pi}^{\frac{8}{6}\pi} (8,74 \sin \varphi_2 - \right. \\ &\quad \left. - 1,732 \cos \varphi_2 + 1,732)(-\sin \varphi_2) 2d\varphi_2 \right] \end{aligned}$$

ва оқибатда

$$\delta_A^{\text{бур}} \approx -\frac{32,14}{EJ}.$$

Манғый ишора шуны күрсатады,  $A$  таянч кесим бирлік момент аұналиши бүйінча буралмасдан, унга қарама-қарши томонға буралади, яғни соат стрелкасы ҳаракати бүйінча буралади

**14.3-мисол.** Брус үқига уринма бүйінча йұналған ўзгармас  $q$  интенсивли тақсимланған күч билан юкланды, эгрилиги кичик бүлган брус әркін учининг вертикаль, горизонтал ва тұла чизиқли күчишлари аниқланып (14.3-расм,  $a$ ).

Е чи ш. Вертикаль ва горизонтал күчишларни аниқлаш үчүн күчишлар топилиши керак бүлган кесимга қойылған вертикаль ва горизонтал бирлік күчлар билан бруснинг юкланишини қараша түғри келади. Тұла чизиқли күчиш вертикаль ва горизонтал күчишларнинг геометрик йиғиндиси каби аниқланады.

Бұйлама ва кесувчи күчларнинг таъсирини ҳисобга олмаймиз. Берилған нагрузка таъсиридан ҳосил бўладиган эгувчи момент учун

ифода тузамиз. Бруснинг келадиган элементар күч  $dP = qds = qR_0 d\alpha$  (14.3-расм,  $b$ ). Бу күч таъсирида бруснинг иктиерій күндалаң кесими (горизонтал текислик билан  $\varphi$  бурчак ташкил этувчи кесим) да пайдо бўладиган эгувчи момент

$$dM = dP[R_0 - R_0 \cos(\varphi - \alpha)] = qR_0^2[1 - \cos(\varphi - \alpha)] d\alpha.$$

Күрсатылған кесимдеги тұла эгувчи момент элементар моментларнинг йиғиндиси каби аниқланады, яғни

$$M = qR_0^2 \left[ \int_0^\varphi d\alpha - \int_0^\varphi \cos(\varphi - \alpha) d\alpha \right] = qR_0^2(\varphi - \sin \varphi).$$

Бруснинг  $B$  кесимини вертикаль бирлік күч билан юкланды деб қараб (14.3-расм,  $c$ ), бу күч таъсиридан ҳосил бўладиган эгувчи момент ифодасини ҳосил қиласыз:

$$M_1 = 1(R_0 - R_0 \cos \varphi) = R_0(1 - \cos \varphi).$$

Мор интегралини қўллаб,  $B$  кесимнинг вертикал кўчишни топамиз (14.1- жадвалдан фойдаланамиз):

$$\delta_B^{\text{верт}} = \int_s \frac{MM_1}{EI} ds = \frac{qR_0^4}{EI} \int_0^{\pi} (\varphi - \sin \varphi)(1 - \cos \varphi) d\varphi = \frac{\pi^2 qR_0^4}{2 EI}.$$

$B$  кесимга қўйилган горизонтал бирлик куч таъсирида ҳосил бўладиган эгувчи момент ифодаси (14.3- расм, 2):

$$M_2 = 1 \cdot R_0 \sin \varphi.$$

$B$  кесимнинг горизонтал кўчиши

$$\delta_B^{\text{гор}} = \int_s \frac{MM_2}{EI} ds = \frac{qR_0^4}{EI} \int_0^{\pi} (\varphi - \sin \varphi) \sin \varphi d\varphi = \frac{\pi^2 qR_0^4}{2 EI}.$$

$B$  кесимнинг тўла чизиқли кўчиши

$$\delta_B = \sqrt{(\delta_B^{\text{верт}})^2 + (\delta_B^{\text{гор}})^2} = \frac{qR_0^4}{EI} \sqrt{\frac{\pi^4}{4} + \frac{\pi^4}{4}} = 5,18 \frac{qR_0^4}{EI}.$$

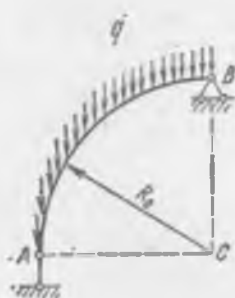
Мустақил ечиш учун масалалар

14.1. Эгри брус (14.4- расм) учун  $M$ ,  $N$  ва  $Q$  эпюралари қурилсин.

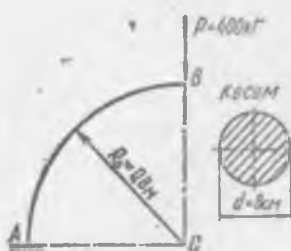
$$\text{Жавоби. } |M_{\max}| = 0.125qR_0^2; |N_{\max}| = |N_A| = 0.5qR_0;$$

$$|Q_{\max}| = |Q_B| = 0.5qR_0.$$

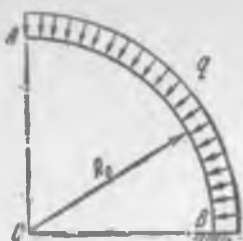
14.2. Пулатдан ясалган брусларнинг  $B$  кесимини вертикал, горизонтал ва тўла кўчишлари аниқлансин (14.5- расм).



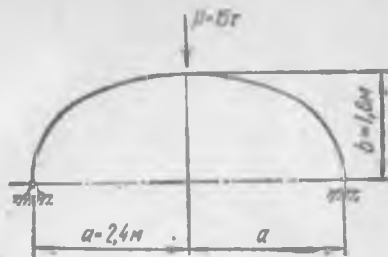
14.4- расм.



14.5- расм.



14. 6-расм.



14. 7-расм.

$E = 2 \cdot 10^6 \text{ кГ/см}^2$  деб қабул қилинсин.

Жаоби: Вертикаль күчиш  $\delta_B^{\text{верт}} = \frac{\pi}{4} \frac{PR_0^3}{EJ} \approx 0,40 \text{ см.}$

Горизонтал күчиш  $\delta_H^{\text{гор}} = \frac{PR_0^3}{2EJ} = 0,25 \text{ см.}$

Тұла күчиш  $\delta_B = 0,472 \text{ см.}$

14.3. Эгрилиги кичик бүлган брус (14.6-расм) нинг  $A$  кесимини вертикаль күчиши ва буралиш бурчаги аниқлансин.

Жаоби.  $\delta_A^{\text{верт}} = \frac{qR_0^4}{2EJ}; \quad \delta_A^{\text{гор}} = \frac{qR_0^3}{EJ} \left( \frac{\pi}{2} - 1 \right).$

14.4. Икки шарнирлы эллиптик арка (14.7-расм) учун  $Q$ ,  $M$ ,  $N$  әпюралари қурилсın.

Жаоби.  $Q_{\max} = 7,5 T; \quad M_{\max} = 18 T \cdot m; \quad N_{\max} = 7,5 T.$

#### 14.2-§. ЭГРИЛИГИ КАТТА БҮЛГАН БРУСЛАРНИ МУСТАХҚАМЛИККА ҲИСОБЛАШ

Текис әгри брусларнинг күндаланғ кесимларида нормал кучланишлар билан бирга уринма кучланишлар ҳам пайдо бўлади. Эгрилиги катта бүлган бруслар (илмоқлар, ҳалқалар ва бошқалар) учун геометрик ўқнинг эгрилик радиусини шу радиус орқали утувчи күндаланғ кесим үлчамига нисбати қўйидаги тенгсизликни қаноатлантирадиган

$$\frac{R_0}{h} < 5,$$

бруслардаги нормал кучланишлар тўғри брусларни эгилишга ҳисоблаш учун чиқарилган формула бўйича ҳисобланса, у йўли қўйиш мумкин бўлмаган катта хатоликни беради.

Эгувчи моментга мос келувчи нормал кучланиш қўйидаги формула бўйича аниқланиши керак:

$$\sigma_M = \frac{M}{S} \cdot \frac{z}{r+z},$$

бу ерда  $M$  — берилган кесимдаги эгувчи момент;

$S$  — нейтрал ўққа нисбатан кўндаланг кесимнинг статик моменти;

$r$  — нейтрал қатламнинг эгрилик радиуси;

$z$  — нейтрал ўқдан кучланиш аниқланадиган толагача бўлган масофа.

14. 8-расмда юқорида келтирилган формулага мос бўлган белгилашлар берилган ҳамда шу формула бўйича қурилган нормал кучланишларнинг эпюраси тасвиранган. Эпюра гипер бола кўриннишида ифодаланади.

Бўйлама кучга мос келувчи кучланишлар тўғри бруснинг ўқ бўйлаб чўзилиши — сиқилишидаги каби ҳисобланади:

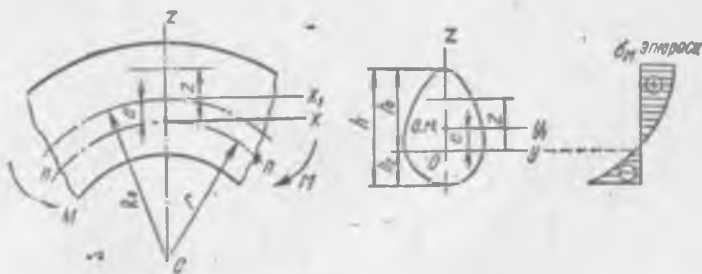
$$\sigma_N = \frac{N}{F},$$

бу ерда  $F$  — кундаланг кесим юзи.

Эгри бруснинг эгилишида унинг кўндаланг кесимларида пайдо бўладиган уринма кучланишлар тақрибан Журавский формуласи бўйича тўғри брус каби аниқланиши мумкин.

Эгувчи момент ва бўйлама кучнинг йўналишига ҳамда эгри бруснинг кўндаланг кесими шакли ва материалига қараб, хавфли нуқталар кўндаланг кесимнинг ички (эгрилик марказига яқинроқ) нуқталари ва шунингдек, ташқи нуқталари бўлиши мумкин. Энг умумий ҳолда ҳисоблашни ички ва ташқи нуқталар учун бажариш керак. Бу нуқталарда нормал кучланишлар қўйидаги формула бўйича аниқланади:

$$\sigma_{i,2} = \frac{N}{F} \pm \frac{M}{S} \frac{h_{i,2}}{r \pm h_{i,2}} < [\sigma].$$



14. 8-расм,

Бүлама құчнинг қиімнің унинг ишорасини назарға олған ҳолда құйиши керак; иккінчи құшилувчига әгуви момент үзіннің абсолют миндөрі билан құйилады, бруснинг әгилиши қаралаётгандың нүктада چүзилиш екі сиқишлишни ҳосил қилишига қараб мусбат екі манфий ишора қуанылады. Шу құшилувчидың маражидаги мусбат ишора ташқи толаларға, манфий ишора эса ички толаларға мос келади. Иккінчи құшилувчидың олдидаги ишора шу құшилувчинің маражидаги ишора билан узаро бөглік змас.

Әгри бруснинг күндаланған кесимидегі нейтрал үқи шу кесимнің марказынан үқидан әгрилик марказы томон силжиган.

Нейтрал қатламнинг әгрилик радиусы құйидегі ифодадан анықланады:

$$\int \frac{z}{r+z} dF = 0.$$

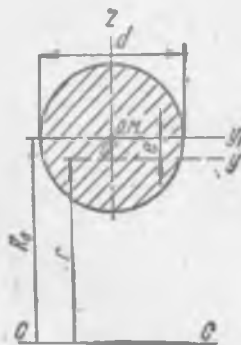
Құйида баъзи бир күндаланған кесим шакллари учун шу ифодадан ҳосил қилинган формулаларни көлтирамиз.

Доира учун (14.9- расм):

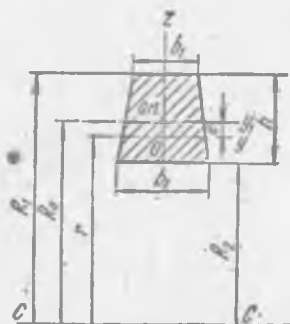
$$r = \frac{d^2}{4[2R_0 - \sqrt{4R_0^2 - d^2}]}.$$

Трапеция учун (14.10- расм)

$$r = \frac{\frac{b_1 + b_2}{2}}{\left( b_1 + R_1 \frac{b_2 - b_1}{h} \right) \ln \frac{R_1}{R_2} - (b_2 - b_1)}.$$



14.9- расм.



14.10- расм.

Тұрғи түртбұрчак учун:

$$r = \frac{h}{\ln \frac{R_1}{R_2}},$$

Бошқа шаклдаги кесимлар учун  $r$  ва  $\sigma = R_0 - r$  ларнинг қийматлари справочникларда ва алғым дарсликларда көлтирилген (масалан, [2,31] га қаранг).

Шүнгіндегі, нейтрал үқіннің силжиш миқдорини Н. Н. Давиденковнинг тәқрибий формуласы бүйіча аниқлаш мүмкін:

$$\sigma \approx \frac{J_y}{PR_0},$$

бу ерда  $J_y$  — кесимнің күч текислигінде перпендикуляр бүлгін, яғни нейтрал үқіқа параллел бүлгін марказий бөш үқіқа нисбатан инерция моменті (14.9, 14.10-расмдар).

14.4-мисол. Илмоқнинг (14.11-расм, а) хавфли күндаланған кесими учун нормал күчланишларнинг әпюраси қурылсін.

Ечиш.  $A-A$  кесим хавфли бүләди, чунки бу ерда әгуви момента  $M = P \cdot R_0$  ва бүйлама күч  $N = P$  әнг катта қиймат-га зәға бүләди. Күрсатылған кесимнің хавфли нұқталаридаги күчланишларни құйидаги формула бүйіча аниқлаймиз:

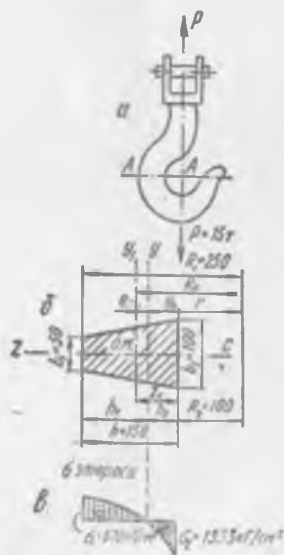
$$\sigma_{1,2} = \frac{N}{F} \pm \frac{M}{S} \cdot \frac{h_{1,2}}{r \pm h_{1,2}},$$

екін

$$\sigma_{1,2} = \frac{N}{F} \pm \frac{M}{S} \cdot \frac{h_{1,2}}{R_{1,2}},$$

Трапеция оғирлик марказининг ҳолатини уни иккита учбұрчакка ажратып аниқлаймиз:

$$\begin{aligned} z_c &= \frac{S_{y_1}}{F} = \frac{\frac{hb_2}{2} \cdot \frac{h}{3} + \frac{hb_1}{2} \cdot \frac{2}{3} h}{\frac{hb_2}{2} + \frac{hb_1}{2}} = \\ &= \frac{h(2b_1 + b_2)}{3(b_1 + b_2)} = \frac{15 \cdot (2 \cdot 5 + 10)}{3(5 + 10)} = \\ &= 6,66 \text{ см} \quad (14.11-\text{расм, б}). \end{aligned}$$



14. 11-расм.

Нейтрал қатламнинг эгрилик радиусини қўйидаги формула бўйича аниқлашмиз:

$$r = \frac{h \frac{b_1 + b_2}{2}}{\left( b_1 + R_1 \frac{b_2 - b_1}{h} \right) \ln \frac{R_1}{R_2} - (b_2 - b_1)} = \frac{15 \cdot \frac{5 + 10}{2}}{\left( 5 + 25 \cdot \frac{10 - 5}{15} \right) \ln \frac{25}{10} - (10 - 5)} -$$

$$= \frac{112,5}{13,35 \cdot 2,303 \cdot 0,3979 - 5} = \frac{112,5}{7,2} = 15,62 \text{ см.}$$

Кучланишни ҳисоблаш учун зарурий бўлган миқдорларни топамиз:

$$F = \frac{b_1 + b_2}{2} h = \frac{5 + 10}{2} 15 = 112,5 \text{ см}^2;$$

$$R_0 = R_2 + z_e = 10 + 6,66 = 16,66 \text{ см};$$

$$e = R_0 - r = 16,66 - 15,62 = 1,04 \text{ см};$$

$$S = Fe = 112,5 \cdot 1,04 = 116,9 \text{ см}^3;$$

$$h_1 = h - z_e + e = 15 - 6,66 + 1,04 = 9,38 \text{ см};$$

$$h_2 = z_e - e = 6,66 - 1,04 = 5,62 \text{ см.}$$

Трапеция катта асосининг нуқталаридағи нормал кучланишлар

$$\sigma_2 = \frac{15000}{112,5} + \frac{15000 \cdot 16,66 \cdot 5,62}{116,9 \cdot 10} = 133 + 1200 = 1333 \text{ кГ/см}^2;$$

кичик асосининг нуқталаридағи нормал кучланишлар

$$\sigma_1 = \frac{15000}{112,5} - \frac{15000 \cdot 16,66 \cdot 9,38}{116,9 \cdot 25} =$$

$$= 133 - 803 = - 670 \text{ кГ/см}^2.$$

Сининг эпюраси 14.12-расм, 6 да курсатилган.

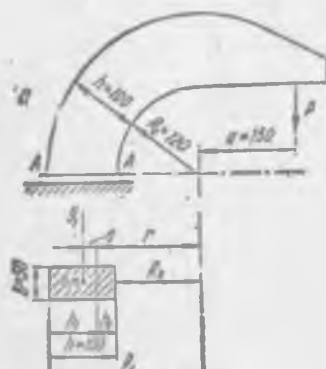
14.5-мисол. Агар  $[\sigma] = 1600 \text{ кГ/см}^2$  бўлса, кронштейнга таъсир этувчи нагрузканинг рухсат этилган миқдори аниқлансин (14.11-расм, a).

Ечиш. Брус геометрик уқиининг эгрилик радиуси:

$$R_0 = R_2 + \frac{h}{2} = 17 \text{ см.}$$

Нисбат

$$\frac{R_0}{h} = \frac{17}{10} = 1,7 < 5,$$



яъни ҳисоблашда эгрилиги катта бўлган брус учун чиқарилган формулани қуллаш керак. 14.12-расм, а бўйича хав ўрн кесимдаги (маҳкамланган жойлаги) эгувчи момент ва бўйлама кучин берилган ўлчамлар ва изланувчи  $P$  куч орқали ифодалаймиз:

$$M = P(a + R_0) = P(15 + 17) = 32P \text{ кГ·см};$$

$$N = -P.$$

Энг катта (абсолют миқдори бўйича) кучланиш кесимнинг ички (эгрилик марказига яқинроқ) нуқталарида пайдо бўлади:

$$\max \sigma_c = \sigma_2 = \frac{N}{F} = \frac{M}{S} \frac{h_1}{r - h_2},$$

еки

$$|\sigma_2| = \left| -\frac{P}{F} - \frac{32P}{S} \frac{h_2}{R_1} \right| < |\sigma|.$$

Нейтрал қатламнинг эгрилик радиуси

$$r = \frac{\frac{h}{R_1}}{\ln \frac{R_1}{R_2}} = \frac{\frac{10}{22}}{\ln \frac{22}{12}} = \frac{10}{3,09104 - 2,48490} = 16,498 \text{ см.}$$

Нейтрал ўқниниг кесим оғирлик марказидан силжиши

$$e = R_0 - r = 17,000 - 16,498 = 0,502 \text{ см.}$$

$e$  ни солишириш учун Давиденковнинг тақрибиň формуласи бўйича уни топамиз:

$$e \approx \frac{J_{y_1}}{FR_0} = \frac{bh^2}{12bhR_0} = \frac{h^2}{12R_0} = \frac{10^2}{12 \cdot 17} = 0,4412 \text{ см.}$$

Шундай қилиб, берилган хусусий ҳолда Давиденков формуласи  $e$  ни аниқлашда тахминан 12% хатоликни беради.

$e$  ни аниқлагандан сўнг  $S$  ва  $h_2$  қийматларни топамиз:

$$S = Fe = bhe = 5 \cdot 10 \cdot 0,502 = 25,1 \text{ см}^2,$$

$$h_2 = \frac{h}{2} - e = 5,00 - 0,502 = 4,498 \text{ см.}$$

Бу миқдорларни мустаҳкамлик шартига кўйиб, қўйидаги натижани ҳосил қиласиз:

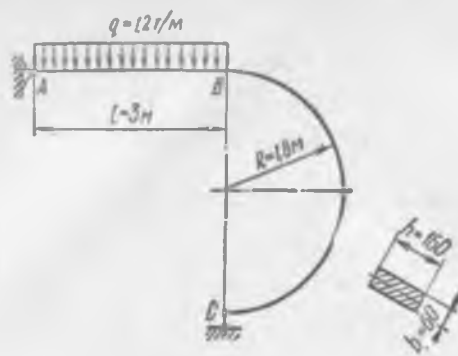
$$\frac{P}{50} + \frac{32P \cdot 4,498}{25,1 \cdot 12} < 1600;$$

бундан

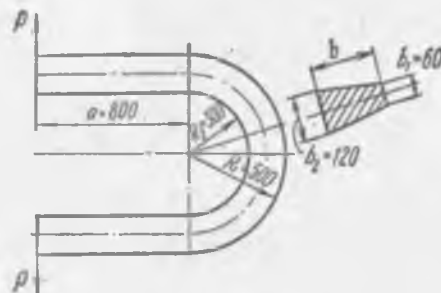
$$[P] = \frac{1600}{0,02 + 0,478} = 32,1 \cdot 10^3 \text{ кГ.}$$



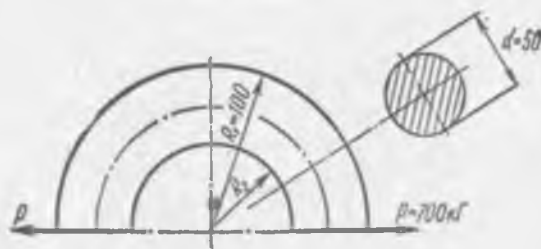
14. 13-расм.



14. 14- расм.



14. 15- расм.



14. 16- расм.

Агар ҳисоблаш Давиденков формуласи бүйнча ҳосил қылған  $e$  нинең қийматидан фойдаланыб бажарылса, у ҳолда  $[F] = 28,1 \cdot 10^2$  кГ бўлади, яъни хатолик 9,37% ни ташкил этади, бу эса нейтрал қатлам силжиш миқдорининг хатолигидан бир оз камроқ.

14.12-расм, б да бруса таъсир этувчи нагрузканинг қиймати рухсат этилган қийматга тенг бўлганда унинг хавфли кесими даги  $\sigma$  нинг эпюраси кўрсатилган.  $\sigma$ , ни ҳисоблашни текшириб кўришликни тавсия қиламиз.

### Мустақил ечиш учун масалалар

14.5. Агар  $[\sigma] = 1400 \text{ кГ/см}^2$  бўлса, илмоқнинг нагруззка кўтарувчанлиги аниқлансин (14.13-расм).

Жавоби  $|P| \approx 2 \text{ Т}$ .

14.6.  $AB$  түгри чизиқли ва  $BC$  эгри чизиқли қисмлардан таркиб топган  $ABC$  бруснинг (14.14-расм) хавфли кўндаланг кесими даги ЭНГ катта ва ЭНГ кичик нормал кучланишларнинг миқдори аниқлансин.

Жавоби  $\sigma_{\max} = 1246 \text{ кГ/см}^2$ ;  $\sigma_{\min} = -1284 \text{ кГ/см}^2$ .

14.7. 14.15-расмда тасвирланган зирак шаклидаги дегаль учун  $P$  кучнинг рухсат этилган миқдори аниқлансин. Бунда  $[\sigma] = 12 \text{ кГ/мм}^2$  деб қабул қилинсин.

Жавоби.  $P = 8,2 \cdot 10^3 \text{ кГ}$ .

14.8. Ярим ҳалқа шаклига эга бўлган чўяндан ясалган бруснинг (14.16-расм) мустаҳкамлиги текширилсин. Бунда  $[\sigma_u] = 600 \text{ кГ/мм}^2$ ;  $[\sigma_c] = 1800 \text{ кГ/см}^2$ .

Жавоби.  $\sigma_{\max} = 564 \text{ кГ/см}^2$ ;  $\sigma_{\min} = -285 \text{ кГ/см}^2$ .

## XV бөб

### БҮЙЛАМА ВА БҮЙЛАМА-КҮНДАЛАНГ ЭГИЛИШЛАР

#### 15.1-§. СИҚИЛГАН СТЕРЖЕНЛАРНИ УСТИВОРЛИККА ХИСОБЛАШ

Критик күч (эластиклик босқичида устиворликнинг йўқолиши дақиқасидаги күч) Эйлер формуласи бўйича ҳисобланади:

$$P_{kp} = \frac{\pi^2 E J_{min}}{(\mu l)^2},$$

бу ерда  $\mu$  — стержень учларининг маҳкамлаш усулига боғлиқ бўлган узунликни келтириш коэффициенти;

$J_{min}$  — стержень кўндаланг кесимининг минимал инерция моменти;

Сиқувчи кучнинг рухсат этилган миқдори

$$[P] = \frac{P_{kp}}{[\nu_y]},$$

бу ерда  $[\nu_y]$  — устиворликнинг талаб (рухсат) этилган эҳтиёт коэффициенти.

$P = P_{kp}$  бўлганда стержень кўндаланг кесимида пайдо бўладиган кучланиш критик кучланиш деб аталади:

$$\sigma_{kp} = \frac{P_{kp}}{F} = \frac{\pi^2 E}{\lambda^4},$$

бу ерда  $\lambda = \frac{\mu l}{J_{min}}$  — стерженнинг эгилувчанлиги;

$l_{min} = \sqrt{\frac{J_{min}}{F}}$  — стержень кўндаланг кесимининг минимал инерция радиуси.

Эйлер формуласи кригик кучланиш стержень материалининг пропорционаллик чегарасидан ортиб кетмаслик шарти баъжарилгандагина қўлланплади:

$$\sigma_{kp} < \sigma_n$$

Сиқилган устун маңкамланишининг баъзи бир ҳоллари учун узунликни келтириш коэффициенти ва критик күчнинг қийматлари

	Иккала учи шарнир воситасида маңкамланган	Бир учи қистириб қаттиқ маңкамланган, иккинчи учи эркин	Бир учи қистириб қаттиқ маңкамланган, иккинчи учи шарнир воситасида маңкамланган	Иккала учи қистириб маңкамланган
				
$\mu$ коэффициенти	1	2	$\approx 0.7$	0.5

Одатда Эйлер формуласини қўллаш шарти стерженнинг эгилувчанлиги орқали ифодаланади:

$$\lambda \geq \lambda_{\text{тек}}.$$

бу ерда

$$\lambda_{\text{тек}} = \pi \sqrt{\frac{E}{\sigma_{\text{н}}}}.$$

Пўлат Ст. 3 учун  $\lambda_{\text{тек}} \approx 100$ ; пўлат Ст. 5 учун  $\lambda_{\text{тек}} \approx 90$ , чўян учун  $\lambda_{\text{тек}} \approx 80$ , қарағай ёғочи учун  $\lambda_{\text{тек}} \approx 75$ ; дюралюминий Д16Т учун  $\lambda_{\text{тек}} \approx 60$ .

### Ясинский формуласи бўйича устиворликка ҳисоблаш

Агар устиворликнинг йўқолиши пластик босқичда содир бўлса (Эйлер формуласини қўллаш мумкин бўлмаган ҳолда), у ҳолда критик кучланиш Ясинскийнинг эмпирик формуласи бўйича ҳисобланади:

$$\sigma_{\text{нр}} = a - b\lambda + c\lambda^2,$$

бу ерда  $a$ ,  $b$  ва  $c$  — материалга боғлиқ бўлган ва кучланиш ўлчамига эга бўлган тажриба йўли билан топилган коэффициентлар.

Ясинский формуласидан пўлат ва дюралюминий стерженларни ҳисоблашда эгилувчанлик ушбу шартни

$$\lambda_0 < \lambda < \lambda_{\text{тек}}$$

қаноатлантирганда фойдаланиш мүмкін, бу ерда  $\lambda_0$  — әгилювчанлуккінг критик күчланиш стержень материалининг оқувчалық чегарасига тенг бұлғандаги қыймати. Әгилювчанлук  $\lambda_0$  дан кичик булғанда критик күчланиш үзгармас ва оқувчанлук чегарасига тенг деб қабул қилинади.

Пұлат Ст. 3 учун  $a = 3100 \text{ кГ/см}^2$ ;  $b = 11,4 \text{ кГ/см}^2$ ;  $c = 0$ ;  $\lambda_0 = 61$ .

Пұлат Ст. 5 учун  $a = 3500 \text{ кГ/см}^2$ ;  $b = 11,5 \text{ кГ/см}^2$ ;  $c = 0$ ;  $\lambda_0 = 57$ .

Дюралюминий D16T учун  $a = 4060 \text{ кГ/см}^2$ ;  $b = 28,3 \text{ кГ/см}^2$ ;  $c = 0$ ;  $\lambda_0 = 30$ .

Чүян учун  $a = 7760 \text{ кГ/см}^2$ ;  $b = 120 \text{ кГ/см}^2$ ;  $c = 0,53 \text{ кГ/см}^2$ .

Қарағай ва арча учун  $a = 293 \text{ кГ/см}^2$ ;  $b = 1,94 \text{ кГ/см}^2$ ;  $c = 0$ .

Критик күч құйидаги формула бүйнча ҳисобланади:

$$P_{kp} = \sigma_{kp} F.$$

**Бүйлама әгилишнинг φ коэффициенти бүйнча устиворликка ҳисоблаш**

Бу ҳисоблаш қурилиш конструкцияси элементлари учун ҳамда күттарма—транспорт иншоотларининг пұлат конструкциялари учун құлланылади. Ҳисоблаш оддий сиқилишни ҳисоблаш каби бажарылади, лекин бу ҳисоб рухсат этилган асосын күчланишларни камайтириш йөли билан олиб борылади.

Ҳисоблаш формуласи құйидаги күриншда бұлади:

$$\sigma = \frac{P}{F} < \varphi [\sigma],$$

бу ерда  $\varphi$  — бүйлама әгилишнинг хавфлилигини ҳисобга олуви сиқилишда асосын рухсат этилган күчланишни камайтириш коэффициенті ёки бүйлама әгилиш коэффициенті.

Уннинг миқдори стерженнинг әгилювчанлуги  $\lambda$  га ва материалига бояғып;  $\varphi$  коэффициентининг қыйматлари 15.2- жадвалдан танлаб олинади.

#### 15.2- жадвал

#### Бүйлама әгилишда $\varphi$ коэффициентининг қыйматлари

Әгилювчанлук $\lambda$	Егоч	Чүні марка-лары СЧ12-28, СЧ16-32, СЧ18-36, СЧ21-40	Пұлат марка-лары Ст. 3, Ст. 4	Пұлат маркасы Ст. 5	Пұлат марка-лары 14Г2, 15ГС, 10Г2С, .5ХСНД
0	1,00	1,00	1,00	1,00	1,00
10	0,99	0,97	0,99	0,98	0,98
20	0,97	0,91	0,97	0,96	0,95
30	0,93	0,81	0,95	0,93	0,92
40	0,87	0,69	0,92	0,90	0,89
50	0,80	0,57	0,89	0,85	0,84

**15. 2- жадвалнинг давоми**

Эгилувчанини λ	Ероч	Чўни марка- лари СЧ12-28, СЧ15-32, СЧ18-36, СЧ21-40	Пўлат маркалари Ст. 3, Ст. 4	Пўлат маркаси Ст. 5	Пўлат маркалари 14Г2, 15Г2С, 10Г2С, 15ХСНД
60	0,71	0,44	0,86	0,80	0,78
70	0,61	0,34	0,81	0,74	0,71
80	0,49	0,26	0,75	0,67	0,63
90	0,38	0,20	0,69	0,59	0,54
100	0,31	0,16	0,60	0,50	0,46
110	0,25		0,52	0,43	0,39
120	0,22		0,45	0,37	0,33
130	0,18		0,40	0,32	0,29
140	0,16		0,36	0,28	0,25
150	0,14		0,32	0,25	0,23
160	0,12		0,29	0,23	0,21
170	0,11		0,26	0,21	0,19
180	0,10		0,23	0,19	0,17
190	0,09		0,21	0,17	0,15
200	0,08		0,19	0,15	0,13

**15.1- мисол.** Агар устиворликнинг талаб этилган эҳтиёт коэффициенти  $[n_y] = 3$ ; стержень Ст. 3 пўлатидан ясалган бўлиб,  $E = 2,1 \cdot 10^6 \text{ кГ/см}^2$  бўлса, у ҳолда стерженга таъсир этувчи рухсат этилган нагрузка аниқланисин (15.1-расм).

**Е чи ш.** Стерженинг эгилувчанилиги

$$\lambda = \frac{l_{\text{кел}}}{l_{\min}} = \frac{\mu l}{l_{\min}} = \frac{1 \cdot 180}{1,75} = 103,$$

бу ерда инерция радиуси  $l_{\min}$  нинг қиймати сортамент жадвалидан олинди.  $\lambda > \lambda_{\text{тек}} = 100$  бўлгани учун критик кучни Эйлер формуласи бўйича ҳисоблашмиз:

$$P_{\text{кр}} = \frac{\pi^2 E J_{\min}}{(\mu l)^2} = \frac{3,14^2 \cdot 2,1 \cdot 10^6 \cdot 58,2}{(1 \cdot 180)^2} = 37,8 \cdot 10^3 \text{ кГ}.$$

Рухсат этилган нагрузка

$$[P] = \frac{P_{\text{кр}}}{[n_y]} = \frac{37800}{3} = 12600 \text{ кГ}.$$

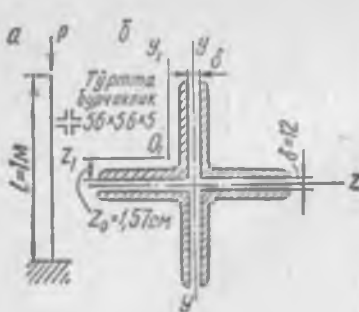
**15. 2- мисол.** Олдинги мисол стерженинг остки учи қистириб маҳкамланган, устки учи эса шарнир воситасида маҳкамланган ҳол учун ечилсин.

**Е чи ш.** Бу ҳолда узунликнинг келтириш коэффициенти  $\mu \approx 0,7$  (15.1-жадвалга қаранг) ва стерженинг эгилувчанилиги

$$\lambda = \frac{\mu l}{l_{\min}} = \frac{0,7 \cdot 180}{1,75} = 72.$$

15. 1- расм





15. 2-расм.

Шундағы қилиб  $\lambda < \lambda_{\text{чек}}$ , демек, Эйлер формуласини құллаб бұлмайды. Ясинскийнинг эмпирик формуласидан фойдаланып, критик күчни аниқлаймиз:

$$P_{\text{кр}} = F \sigma_{\text{кр}} = F(a - b\lambda) = \\ = 18,9 \cdot (3100 - 11,4 \cdot 72) = \\ = 43100 \text{ кГ.}$$

Рухсат этилган нагрузка

$$[P] = \frac{P_{\text{кр}}}{[n_y]} = \frac{43100}{3} = 14370 \text{ кГ.}$$

**15.3-мисол.** Агар  $[n_y] = 2$ ; устун Ст. 3 пұлатидан ясалған бұлса, у ҳолда устун учун сиқувчи күчнинг рухсат этилган миқдори аниқлансан (15.2-расм, а). Бурчакликлар үзаро қаттиқ бириктирилған.

Е чи ш. Кесимнинг инерция моментини ҳиссолаблаймиз (15.2-расм, б);

$$J_z = J_y = 4(J_{z_0} + a^2 F_1) = 4[16 + (0,6 + 1,57)^2 \cdot 5,41] = 166 \text{ см}^4,$$

бу ерда

$$a = z_0 + 0,5\delta.$$

Инерция радиусы

$$l_{\text{мин}} = l_{\text{макс}} = l_z = l_y = \sqrt{\frac{J_z}{F}} = \sqrt{\frac{166}{4 \cdot 5,41}} = 2,77 \text{ см.}$$

Устуннинг әгилувланылғы

$$\lambda = \frac{al}{l_{\text{мин}}} = \frac{2 \cdot 100}{2,77} = 72.$$

$\lambda < \lambda_{\text{чек}}$  бұлғани учун Эйлер формуласини құллаб бұлмайды.

Критик күчни Ясинский формуласи бүйіча аниқлаймиз

$$P_{\text{кр}} = \sigma_{\text{кр}} F = (a - b\lambda) F = (3100 - 11,4 \cdot 72) \cdot 4 \cdot 5,41 = 49,6 \cdot 10^3 \text{ кГ.}$$

Устунга таъсир этувчи рухсат этилган нагрузка

$$[P] = \frac{P_{\text{кр}}}{[n_y]} = \frac{49,6 \cdot 10^3}{2} = 24,8 \cdot 10^3 \text{ кГ.}$$

**15.4-мисол.** Бир учи қаттиқ қыстириб маҳкамаланған, иккінші учи эса шарнир ёрдамыда маҳкамаланған құштавр устуннинг талаб этилган профиль номери аниқлансан. Сиқувчи нагрузка  $P = 120 \text{ кН}$ , устуннинг бағандылығы  $l = 3 \text{ м}$ . Устиворликнинг талаб этилган әхжіт көфициенгі  $[n_y] = 2,7$ . Устун Ст. 3 пұлатидан ясалған,  $E = 2 \cdot 10^5 \text{ МН/м}^2$ .

Ечиш. Ҳисоблашни Эйлер формуласи бүйічә бажарамиз. Стерженнинг устиворлик шартини қойыдаги күрниншда ёзиб

$$P < \frac{P_{kp}}{[n_y]} = \frac{\pi^2 E J_{min}}{(\mu l)^2 [n_y]},$$

бундан устун күндаланг кесимининг талаб этилган минимал инерция моментини топамиз:

$$J_{min} > \frac{P[n_y](\mu l)^2}{\pi^2 E} = \frac{120 \cdot 10^3 \cdot 2,7 \cdot (0,7 \cdot 3)^2}{3,14^2 \cdot 2 \cdot 10^{11}} = 72,5 \cdot 10^{-8} \text{ м}^4.$$

Талаб этилгандан бир оз каттароқ инерция моменти (минимал) га 16-номерли құштавр түғри келади, унинг учун  $J_y - J_{min} = 77,6 \text{ см}^4$ ,  $l_y = l_{min} = 1,90 \text{ см}$ .

Устуннинг қабул қилинган профили учун Эйлер формуласини құллаш мүмкінligини текширамиз. Устуннинг әгилувшанligини топамиз:

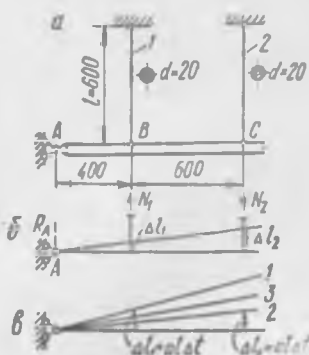
$$\lambda = \frac{\mu l}{l_{min}} = \frac{0,7 \cdot 300}{1,90} = 110.$$

Пулат Ст. 3 учун  $\lambda_{cek} = 100$ , демек  $\lambda > \lambda_{cek}$ , Эйлер формуласини құллаш мүмкін экан

15.5-мисол. Бир учи билан шарнир воситасида мақкамланған жуда ҳам бикр балқаны ушлаб турадиган стерженларда устиворлик шартидан фойдаланыб, рухсат этилган температуранинг пасайниши аниқлансан (15.3-расм, а). Устиворликнинг талаб этилган әхтиёт коэффициенти  $[n_y] = 2,5$ . Стерженлар Ст. 5 пұлатидан ясалған. Бунда  $E = 2,1 \cdot 10^6 \text{ кГ/см}^2$ ;  $\alpha = 12 \times 10^{-6}$ .

Ечиш. Берилған конструкция бир марта статик аниқмас, А шарнирнинг вертикаль реакцияси ва стерженлардаги зүриқишилар текис параллел күчлар системасини ташкил этади (15.3-расм, б). Шундай қилиб, номаълумлар учта, статика тенгламаларини эса факат иккитегина түзиш мүмкін.

Стерженларда ҳосил бўладиган зўриқишиларни аниқлаш учун қуйилдагича муҳокама юритамиз: агар температура деформациясига ҳеч нарса қаршилик кўрсатмаса, стерженлар бир хилда совитилгандা, бир хилда қисқариади; геометрик мулоҳазалардан яққол кўринадики, иккинчи стержень биринчи стерженга қараганда кўпроқ қисқариши керак (15.3-



15.3-расм.

расм, б), демак эркин температура деформациясига яна эластик деформация қүшилади, натижада стерженларда зўриқишлар пайдо бўлади. 1-стержень чузилиш, 2-стержень эса сиқишлиш таъсирида бўлади.

Келтирилган мұхокамага қушимча тушунтириш сифатида 15.3-расм, в да балканинг учта вазияти кўрсатилган: чизик 1 стержень 1 нинг эркин температура деформациясига (яъни 2-стержень бўлмаганда содир бўладиган деформацияга) мос келади; худди шунингдек, чизик 2 стержень 2 нинг эркин температура деформациясига мос келади ва ниҳоят чизик 3 сиқиқ температура деформациясига балканинг ҳолатига мос келади.

Зўриқиши ва температура ўзгаришининг катталиклари орасидан муносабат урнатиш учун статика тенгламасини ва кўчишлар тенгламасини тузамиш:

$$\begin{aligned}\sum m_A &= 0; \\ -400N_1 + 1000N_2 &= 0\end{aligned}$$

бундан

$$N_1 = \frac{5}{2} N_2, \quad \frac{\Delta l_2}{\Delta l_1} = \frac{1000}{400} = \frac{5}{2}.$$

Бунга  $\Delta l_1$  ва  $\Delta l_2$  ларнинг ушбу

$$\Delta l_1 = \alpha l \Delta t - \frac{N_1 l}{E F};$$

$$\Delta l_2 = \alpha l \Delta t + \frac{N_2 l}{E F}$$

ифодаларини қўйиб, қўйидаги тенгламани ҳосил қиласмиш:

$$\frac{\alpha \Delta t + \frac{N_2}{E F}}{\alpha \Delta t - \frac{N_1}{E F}} = \frac{5}{2},$$

бундан

$$\begin{aligned}2\alpha \Delta t + \frac{2N_2}{E F} - 5\alpha \Delta t - \frac{5N_1}{E F}, \\ 3\alpha \Delta t EF = 2N_2 + 5N_1.\end{aligned}$$

Бу ердаги  $N_1 = \frac{5}{2} N_2$  эканлигини назарга олиб, қўйидагини топамиш:

$$3\alpha \Delta t EF = \left(2 + \frac{25}{2}\right) N_2,$$

бундан

$$N_2 = \frac{6\alpha \Delta t EF}{29}$$

$\Delta t$  нинг рухсат этилган қиймати иккинчи стерженнинг устиворлик шартидан аниқланади:

$$[N_2] = \frac{N_{\text{эксп}}}{[n_y]}.$$

Стерженнинг эгилувчанлиги

$$\lambda = \frac{l}{t} = \frac{l}{\frac{d}{4}} = \frac{600}{\frac{20}{4}} = 120.$$

Ст. 5 пўлати учун  $\lambda_{\text{тек}} \approx 90$ , демак  $\lambda > \lambda_{\text{тек}}$ , Эйлер формуласини қўлласа бўлади:

$$[N_2] = \frac{\pi^2 E J_{\text{min}}}{l^2 [n_y]}.$$

Системанинг статик аниқмаслнггини очишда ҳосил бўлган  $N_2$  нинг ифодасини шу зўриқишининг устиворлик шарти бўйича рухсат этилган қийматига тенглаб, температуранинг рухсат этилган пасайиншини топамиз:

$$\frac{6a[\Delta t]EF}{29} = \frac{\pi^2 E J_{\text{min}}}{l^2 [n_y]},$$

бундан

$$[\Delta t] = \frac{29 \cdot \pi^2 J_{\text{min}}}{6 \cdot a \cdot F l^2 [n_y]} = \frac{29 \pi^2 \frac{\pi}{64} \cdot d^4}{6a \frac{\pi d^3}{4} l^2 [n_y]} = \frac{29 \cdot 3,14^2 \cdot 2^4}{6 \cdot 12 \cdot 10^{-6} \cdot 16 \cdot 60^2 \cdot 2,5} = 113^\circ.$$

15.6- мисол. Агар асосий рухсат этилган кучланиш  $[\sigma] = 10$   $MN/m^2$  бўлса, у ҳолда қарағай устун устиворликка текширилсин (15.4- расм).

Ечиш. Асосий рухсат этилган кучланиш (яъни бўйлама эгилишнинг хавфлилигини ҳисобга олмасдан) берилганда устиворликка ҳисоблаш бўйлама эгилиш коэффициенти бўйича бажарилади. Устун кўндаланг кесимининг инерция радиусини ва унинг эгилувчанлигини аниқлаймиз:

$$I_{\text{min}} = i = \sqrt{\frac{J}{F}} = \sqrt{\frac{b^4}{12h^2}} = \frac{b}{\sqrt{12}} = \frac{12}{\sqrt{12}} = 3,46 \text{ см};$$

$$\lambda = \frac{pl}{i} = \frac{0,5 \cdot 4}{3,4 \cdot 10^{-4}} = 58.$$



15. 4- расм.

Берилгапнагрузка таъсирида устун кўндаланг кесимида пайдо бўладиган кучланиш

$$\sigma = \frac{P}{F} = \frac{100 \cdot 10^3}{12 \cdot 10^{-4}} = 6,95 \cdot 10^6 \text{ н/м}^2.$$

15.2-жадвалдан бўйлама эгилиш коэффициенти  $\varphi = 0,73$  ни топамиз; камайтирилган рухсат этилган кучланиш

$$\varphi[\sigma] = 0,73 \cdot 10 \cdot 10^6 = 7,3 \cdot 10^6 \text{ н/м}^2.$$

Шундай қилиб,  $\sigma < \varphi[\sigma]$  шарти сақланган. Устун 4,8% га юкламаган

15.7 мисол. Тенг ёнли бўлмаган икки бурчакликни ўзаро қаттиқ бириткиришдан таркиб топган ферма стерженинаги син-қувчи зўриқишининг рухсат этилган миқдори аниқлансин (15.5-расм). Стержень кам лигерланган пулат — 15ХСНД дан ясалган, узунлиги  $l = 3,4 \text{ м}$ , асосий рухсат этилган кучланиш  $|\sigma| = 1900 \text{ кГ/см}^2$ . Стержень учлари шарнирлар воситасида маҳкамланган деб ҳисоблансан.

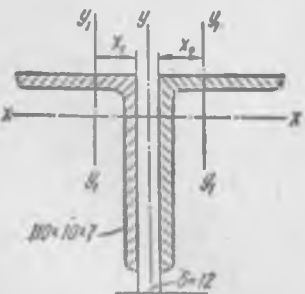
Е чи ш. Рухсат этилган зўриқишини қўйидаги формула бўйича аниқлаймиз:

$$[N] = F_\varphi [\sigma].$$

$\varphi$  коэффициентнинг миқдорини топиш учун стерженнинг эгилювчанилигини аниқлаш керак, бу эса ўз навбатида стержень кўндаланг кесимишнинг минимал бош инерция радиусини ҳисоблашни талаб этади. ГОСТ 8510-57 жадвалидан, кесимишнинг марказий бош инерция моментларини аниқлаймиз (бу ерда ўқларни белгилаш тартиби сортамент жадвали бўйича қабул қилинган):

$$J_x = 2J_{x_{бyp}} - 2 \cdot 152 = 304 \text{ см}^4.$$

$$J_y = 2 [J_{y_{1,бyp}} + (x_0 + 0,58)^2 F_{бyp}] = 2 [48,7 + (1,6 + 0,6)^2 \cdot 12,3] = 216 \text{ см}^4.$$



15.5-расм.

Шундай қилиб,  $J_y < J_x$  ва минимал инерция радиуси:

$$t_{\min} = t_y = \sqrt{\frac{J_y}{F}} =$$

$$= \sqrt{\frac{216}{2 \cdot 12,3}} = 2,97 \text{ см.}$$

Стерженнинг эгилювчанилиги

$$\lambda = \frac{\mu l}{t_{\min}} = \frac{1 \cdot 340}{2,97} = 114.$$

15.2-жадвал бўйича интерполяциялаб,  $\varphi = 0,366$  ни топамиз. Сиқувчи кучнинг рухсат этилган қиймати

$$[N] = 2 \cdot 12,3 \cdot 0,366 \cdot 1900 = 17100 \text{ кГ}.$$

15.8- мисол. Агар  $[\sigma] = 1600 \text{ кГ/см}^2$  бўлса, у ҳолда устун (15.6-расм) учун қўштавр номери танлансан (устун Ст. З маркали пўлатдан ясалган).

Ечиш. Стерженинг қабариши у ўқига нисбатан содир булиши мумкин, чунки бу ўққа нисбатан инерция моменти  $z$  ўқига нисбатан инерция моментига қараганда анчагина кичикдир.

Кўндаланг кесимнинг керакли юзаси қўйидаги формула бўйича аниқланади:

$$F_{\text{кеп}} \geq \frac{P}{\varphi [\sigma]}.$$

Бу формулада иккита номаълум ( $F$  ва  $\varphi$ ) бўлгани учун, улардан бирига қиймат берамиз. Аввал  $\varphi = 0,60$  қийматни қабул қиласиз.

У вақтда

$$F_{\text{кеп}} = \frac{120 \cdot 10^3}{0,60 \cdot 1600} = 125 \text{ см}^2.$$

Сортамент жадвалидан энг яқин номерли қўштаврни, яъни юзаси  $F = 131 \text{ см}^2$  бўлган 60-номерли қўштаврни оламиз ва устунни устиворликка қўйидаги формула бўйича текширамиз:

$$\sigma = \frac{P}{F} \leq \varphi [\sigma].$$

60-номерли қўштаврга мос келувчи  $\varphi$  нинг қийматини то памиз. ГОСТ 8239-56 жадвалидан кесимнинг минимал инерция радиуси  $i_{\min} = i_y = 3,62 \text{ см}$  ни топамиз.

Устуннинг эгилувчанлигини

$$\lambda = \frac{\mu}{i_{\min}} = \frac{0,5 \cdot 800}{3,62} \approx 110;$$

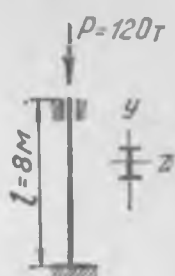
$$\varphi = 0,52; \varphi [\sigma] = 0,52 \cdot 1600 = 832 \text{ кГ/см}^2.$$

У вақтда

$$\sigma = \frac{120 \cdot 10^3}{131} = 918 \text{ кГ/см}^2 > 832 \text{ кГ/см}^2,$$

яъни устуннинг устиворлиги таъминланган эмас.

65-номерли қўштаврни оламиз.  $F = 151 \text{ см}^2; i = 3,79 \text{ см}.$



15. 6- расм.

Устуннинг эгилувчанлиги:

$$\lambda = \frac{0,5 \cdot 800}{3,79} = 105; \quad \varphi = 0,56;$$

$$\varphi [\sigma] = 0,56 \cdot 1600 = 896 \text{ кГ/см}^2;$$

$$\sigma = \frac{120 \cdot 10^3}{151} = 796 \text{ кГ/см}^2 < 896 \text{ кГ/см}^2.$$

Устун 11,2% га юкламаган, лекни бу билан қаноат ҳосил қилишга түғри келади, чунки юқорида аниқланганидек, әнд яқин кичик құштавр етарлы әмас.

15.9- мисол. Күндаланг кесими түғри тұртбурчак бұлган стержень  $P$  күчи таъсирида сиқылған (15.7- расм, а). Стержень күндаланг кесимининг кераклы үлчамлари аниқлансан. Стержень бош инерция текисликларыда тенг устиворли булиши керак. Стерженнинг ҳисоблаш схемаси 15.7- расм, б да күрсетилған. Стержень Ст. З пұлғатидан ясалған,  $[\sigma_c] = 160 \text{ Н/мм}^2$ .

Е чи ш. Стержень бош инерция текисликларыда тенг устиворли булғанда күндаланг кесимининг марказий бош үқларига нисбатан әгилувчанлиги үзаро тенг бұлади:

бу ерда

$$\lambda_x = i_y,$$

$$\lambda_x = \frac{\mu_x l}{i_x} \quad \text{ва} \quad \lambda_y = \frac{\mu_y l}{i_y}.$$

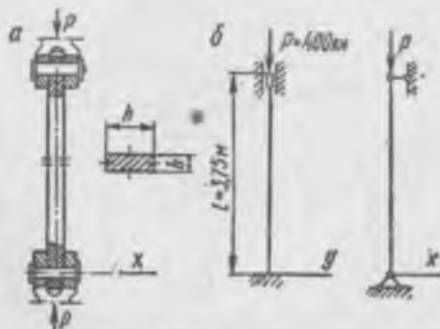
Бу ифодаларға  $\mu_x = 1,0$  ва  $\mu_y = 0,5$  ларни құйып қуядагини топамиз

$$\frac{l}{i_x} = \frac{0,5l}{i_y}, \quad \text{бундан } i_x = 2i_y,$$

бу ерда

$$i_x = \sqrt{\frac{J_x}{F}} = \sqrt{\frac{\frac{bh^3}{12}}{12bh}} = \frac{h}{\sqrt{12}};$$

$$i_y = \sqrt{\frac{J_y}{F}} = \sqrt{\frac{\frac{bh^3}{12}}{12bh}} = \frac{b}{\sqrt{12}}.$$



15. 7- расм.

Демак

$$\frac{h}{\sqrt{12}} = 2 \frac{\delta}{\sqrt{12}}; \quad h = 2b.$$

Күндаланг кесимнинг керәкли ўлчамларини бүйлама эгилеш көфициенти бүйича устиворликка ҳисоблаб аниқлаймиз. Устиворлик шарты

$$\sigma = \frac{\epsilon}{F} \leq \varphi [\sigma_c].$$

$\varphi_1 = 0,5$  қийматни берамиз. У вақтда

$$F = \frac{P}{\varphi_1 [\sigma_c]} = \frac{400 \cdot 10^3}{0,5 \cdot 160} = 50 \cdot 10^3 \text{ mm}^2.$$

Стержень күндаланг кесимининг ўлчамларини аниқлаймиз:

$$F = bh = b \cdot 2b; \quad b = \sqrt{\frac{F}{2}} = \sqrt{\frac{50 \cdot 10^3}{2}} = 50 \text{ mm};$$

$$h = 2b = 50 \cdot 2 = 100 \text{ mm}.$$

Стерженнинг әгилювчанлиги

$$\lambda_x = \lambda_y = \frac{l \sqrt{12}}{h} = \frac{3750 \sqrt{12}}{100} = 130.$$

15.2- жадвалдан  $\varphi = 0,40$  ин топамиз.

Энди  $\varphi$  га янги қиймат берамиз:

$$\varphi_2 = \frac{\varphi_1 + \varphi}{2} = \frac{0,50 + 0,40}{2} = 0,45.$$

$$F = \frac{P}{\varphi_2 [\sigma_c]} = \frac{400 \cdot 10^3}{0,45 \cdot 160} = 55,6 \cdot 10^3 \text{ mm}^2;$$

$$b = \sqrt{\frac{F}{2}} = \sqrt{\frac{55,6 \cdot 10^3}{2}} = 52,7 \text{ mm}; \quad h = 105,4 \text{ mm}.$$

Стерженнинг әгилювчанлиги

$$\lambda_x = \lambda_y = \frac{l \sqrt{12}}{h} = \frac{3750 \sqrt{12}}{105,4} = 123.$$

Әгилювчанликкниң қиймаги Ст. 3 пўлати учун

$$\varphi = 0,44$$

мос келади.

Күндаланг кесимнинг қабул қилинган ўлчамларида:

$$\sigma = \frac{P}{F} = \frac{400 \cdot 10^3}{55,6 \cdot 10^2} = 72 \text{ N/mm}^2;$$

$$\varphi [\sigma_c] = 0,44 \cdot 160 = 70,4 \text{ N/mm}^2.$$

## Стерженнинг ўтаюкланганлиги

$$\frac{72 - 70,1}{70,4} \cdot 100\% = 2,27\%,$$

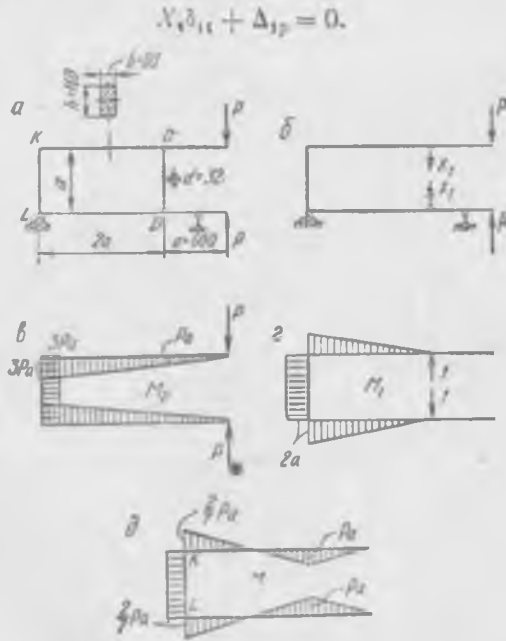
ни ташкил этади, бунга рухсат этилади.

15.10-мисол.  $P$  кучнинг рухсат этилган қиймати раманинг мустаҳкамлик шартидан ва  $CD$  кашак (распор) бруснинг устиворлык шартидан аниқлаянсин (15.8-расм,  $a$ ). Ст. 5 маркали пұлатдан ясалған;  $[\sigma] = 1700 \text{ кГ/см}^2$ .

Статик аниқмасликни очиша  $CD$  бруснинг деформацияси назарга олиннасын. Рама барча стерженларининг кесимлари бир хилда.

Ечиш. Берилган система бир марга статик аниқмас.  $CD$  бруснің қирқиб асосий системаны ҳосил қиласыз. Бу брус размага шарнир воситасыда бириктирилған ҳамда шарнирли учлары орасындағы масофада юкланмаган, демек уннинг исталған күндаланған кесимнің фәқат бүйлама күч пайдо бўлади, уни ортиқча номаълум учун қабул қиласыз. Берилған нагрузка ва изланувчи ортиқча номаълум таъсиридаги асосий система 15.8-расм,  $b$  да кўрсатилган.

Битта ортиқча номаълум система учун каноник тенглама қўйидаги кўринишда бўлади:



15. 8-расм.

Берилган күчлар (15.8-расм, в) ва бирлик күчлар (15.7-расм, г) билан юклантган асосий система учун әгувчи момент эпюрасини қурамиз. Мор усулыни ва Верешчагин қоңдасини татбиқ этиб құйнадагиларни топамыз:

$$\delta_{11} = \frac{1}{EJ} \left( 2 \cdot \frac{1}{2} \cdot 2a \cdot 2a \cdot \frac{2}{3} \cdot 2a + 2a \cdot a \cdot 2a \right) = \frac{28a^3}{3EJ};$$

$$\Delta_{1P} = -\frac{1}{EJ} \left( 2 \cdot \frac{1}{2} \cdot 2a \cdot 2a \cdot \frac{7}{3} Pa + 2a \cdot a \cdot 3P \cdot a \right) = -\frac{46Pa^3}{3EJ}.$$

Топилған миқдорларни каноник тенгламамаға құйғандан сұнг, ушбу тенгламани ҳосил қиласыз:

$$X_1, \frac{28a^3}{3EJ} - \frac{46Pa^3}{3EJ} = 0,$$

бундан

$$X_1 = \frac{23}{14} P.$$

$M_p$  эпюра билан  $M_1$  эпюраны (ординаталари  $X_1$ , марта каталаштирилған) құшиш натижасыда ҳосил қилинған әгувчи моменттің умумий эпюраси 15.8-расм, д да күрсатылған (тушуныш осон бўлиши учун бу эпюраның масштаби  $M_p$  эпюраның масштабига (15.8-расм, в) қараганда бир қанча йирик-роқ олинған).

$CD$  стержендаги сиқувчи зўриқишининг рухсат этилган қийматини аниқлаш учун унинг әгилувчанлигини топамыз:

$$\lambda = \frac{\mu l}{l} = \frac{a}{d} = \frac{\frac{600}{32}}{\frac{4}{4}} = 75.$$

15.2-жадвалдан  $\phi = 0,73$  ни топамыз.  $X_1$  күчнинг рухсат этилган қиймати

$$[X_1] = \frac{\pi d^3}{4} \varphi [\sigma] = \frac{3,14 \cdot 3,2^3}{4} \cdot 0,73 \cdot 1700 = 9960 \text{ кГ}.$$

$P$  күчнинг рухсат этилган қийматини топамыз:

$$[X_1] = \frac{23}{14} [P]', бундан [P]' = \frac{14}{23} [X_1] = \frac{14}{23} \cdot 9960 = 6060 \text{ кГ}.$$

Рама стерженларининг күндаланг кесимларида пайдо буладиган энг катта әгувчи момент  $M_{max} = Pa$ ; мөс равища мустаҳкамлик шарти

$$\sigma_{max} = \frac{M_{max}}{W_z} = \frac{Pa}{\frac{bh^3}{6}} \leq [\sigma],$$

бундан

$$[P]'' = \frac{[\sigma] bh^3}{6a} = \frac{1700 \cdot 8 \cdot 16^3}{6 \cdot 60} = 9690 \text{ кГ}.$$

Шундай қилиб,  $[P]' < [P]''$  ва демак, конструкцияда рухсат этилган нагрузка  $[P] = [P]' = 6060 \text{ кГ}$  бўлиб,  $CD$  бруслинг устиворлик шартидан ошиб кетмайди.

### Мустақил ечиш учун масалалар

**15.1.** Труба устун учун критик ва рухсат этилган кучларнинг қийматлари аниқлансин (15.9-расм). Устун легирланган пўлатдан ясалган, унинг пропорционаллик чегараси

$$\sigma_n = 5700 \text{ кГ/см}^2; E = 2,2 \cdot 10^6 \text{ кГ/см}^2.$$

Устиворликнинг талаб этилган эҳтиёт коэффициенти  $[n_y] = 3,2$ .

**Кўрсатма.** Ечиш Эйлер формуласини қўллаш мумкин ёки мумкин эмаслигини аниқлашдан бошлансин.

$$\text{Жавоби. } P_{kp} = 2,86 \cdot 10^4 \text{ кГ.}$$

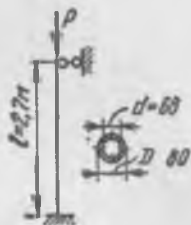
**15.2.** Компрессор контрштокининг керакли диаметри  $d$  аниқлансин. Контршток узунлиги 900  $\text{мм}$ ; сиқувчи куч  $P = 800 \text{ кГ}$ ; устиворликнинг керакли эҳтиёт коэффициенти  $[n_y] = 3$ . Штокнинг бир учи шарнир воситасида боғланган, иккинчи учи эса қистириб маҳкамланган бўлиб, стержень каби ишлайди деб хисоблансин. Шток Ст. 5 пўлатидан ясалган;  $E = 2 \cdot 10^6 \text{ кГ/см}^2$ .

**Кўрсатма.** Эйлер формуласини қўллаш мумкинлиги текширилсан ва у бўйича хисоблаш бажарилсан. Агар  $d$  нинг топилган қийматида Эйлер формуласини қўллаш мумкин бўлмаса, у долда Ясинский формуласидан фойдаланиб, қайтадан хисоблансин.

$$\text{Жавоби. } d = 18 \text{ мм.}$$

**15.3.** Баландлиги  $l = 6 \text{ м}$  бўлган сиқилишга ишлайдиган чўян колонна учун рухсат этилган нагрузка аниқлансин. Колонна кесими ҳалқа бўлиб, ташки диаметри  $D = 250 \text{ мм}$  ва деворининг қалинлиги  $\delta = 20 \text{ мм}$ . Колонна учлари шарнирлар воситасида маҳкамланган. Сиқилиш учун асосий рухсат этилган кучланиш  $[\sigma] = 100 \text{ МН/м}^2$ .

$$\text{Жавоби. } 448 \text{ кН.}$$



15. 9- расм.

**15.4.** Ўзаро қаттиқ биректирилган икки швеллердан таркиб топган устун учун рухсат этилган нагрузка аниқлансин (15.10-расм). Устун Ст. 3 пўлатидан ясалган, сиқилиш учун асосий рухсат этилган кучланиш  $[\sigma] = 1600 \text{ кГ/см}^2$ .

$$\text{Жавоби. } 31 \cdot 10^3 \text{ кГ.}$$

**15.5.** 15.11-расмда кўрсатилган устун учун тенг ёнли бурчакликлар профили-

нинг керакли улчамлари аниқлансан. Устун Ст. З. пулатидан ясалган бўлиб, сиқилиш учун асосий рухсат этилган кучланиш  $[\sigma] = 1600 \text{ кГ/см}^2$ .

Жавоби.  $75 \times 75 \times 8$  бурчакликлар.

### 15.2-§. БЎЙЛАМА-КЎНДАЛАНГ ЭГИЛИШ

Бруснинг бўйлама-кўндаланг эгилишида салқилик қўйидаги тақрибий формула бўйича аниқланади (15.12-расм):

$$y = \frac{y^o}{1 - \frac{S}{P_s}}.$$

Бу ерда  $y^o$  — кўндаланг куч таъсиридан салқилик;

$y$  — кўндаланг куч ва ўқ бўйлаб йўналган  $S$  куч таъсиридан ҳосил бўлган тўла салқилик;

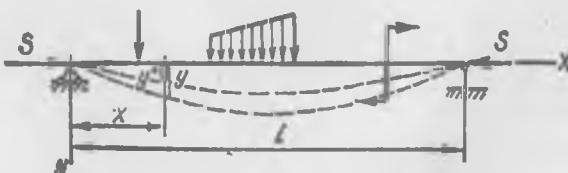
$P_s = \frac{\pi^2 EI}{(\mu l)^2}$  — эйлер. кучи, уни ҳисоблашда кесимнинг инерция моменти  $J$  кўндаланг нагрузка таъсир текислигига перпендикулар бўлган бош ўқса нисбатан аниқланади.

Салқилик учун келтирилган формула кўндаланг нагрузка таъсирига мос бўлган эластик чизиқнинг эгрилиги бир қийматли (ишорали) бўлганда қаноатланарли натижалар беради.

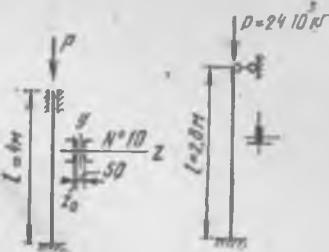
Бу формула иккала учи билан шарнир воситасида маҳкамланган бруслар учун ( $\mu = 1$ ), бошқа кўринишдаги боғланишларга қараганда аниқроқдир.

Бруснинг кўндаланг кесимидағи энг катта (абсолют миқдори бўйича) нормал кучланишлар

$$\sigma_{\text{нк}} = \frac{N_x}{F} + \frac{M}{W} - \frac{S}{E} + \frac{M^o}{W} + \frac{Sy}{W},$$



15. 12-расм.



15.10-расм.

15.11-расм.

бу ерда  $M = M^o + Sy$  — бруснинг ихтиёрий кўндаланг кесимдаги умумий (йигинди) эгувчи момент;  $M^o$  — ўша кесимдаги кўндаланг нагруззка таъсиридан ҳосил бўладиган эгувчи момент.

Бўйлама — кўндаланг эгилишда кучлар таъсирининг мустақиллиги принципини қўллаб бўлмайди, чунки кучланиш билан нагруззка орасидаги боғланнш чизиқли эмас. Кучланиш нагруззкага қараганда тезроқ ўсади.

Бруснинг бўйлама — кўндаланг эгилиш ҳолида ҳисоблашни руҳсат этилган кучланиш бўйича бажармасдан, балки чекли нагруззка бўйича олиб борилади. Пластик материалдан ясалган брус учун чекли нагруззка бўйича ҳисоблаш формуласини қўйидаги кўринишда ёзиш мумкин:

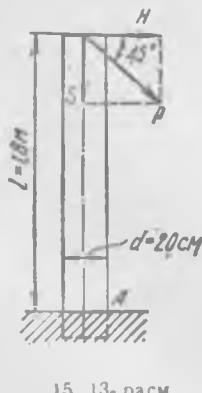
$$[n] S \left[ \frac{1}{F} + \frac{[n] y^*}{W} \cdot \frac{1}{1 - \frac{[n] S}{P_0}} \right] + \frac{[n] M^o}{W} \leq \sigma_{ok},$$

бу ерда  $[n]$  — мустаҳкамлик учун талаб этилган эҳтиёт коэффициенти;

$\sigma_{ok}$  — окувчанлик чегараси.

15.11- мисол. Ёғоч устун 15.13-расмда тасвириланганидек юкланган. Тензометр ёрдамида  $A$  нуқтадаги нормал кучланиш аниқланган:  $\sigma_A = 70 \text{ кГ/см}^2$ . Ҳисоблашни икки вариантда: а) кучлар таъсирининг мустақиллик принципи бўйича; б) бўйлама-кўндаланг эгилиш бўйича бажариб,  $P$  кучнинг миқдори аниқлансан. Эластиклик модули  $E = 10^3 \text{ кГ/см}^2$ .

Е чи ш. Кучлар таъсирининг мустақиллик принципига асосланган ҳисоблашда,  $A$  нуқтадаги нормал кучланиш (абсолют миқдори бўйича) билан таъсир этувчи нагруззка қўйидаги инфа да билан боғланган:



$$\sigma_A = \frac{S}{F} + \frac{M}{W} = \frac{P \cos 45^\circ}{\frac{\pi d^3}{4}} + \frac{(P \cos 45^\circ) l}{\frac{\pi d^3}{32}},$$

бундан

$$P = \frac{\sigma_A \pi d^3}{4 \cos 45^\circ \left( 1 + 8 \frac{l}{d} \right)} =$$

$$= \frac{70 \cdot 3,14 \cdot 20^3}{4 \cdot 0,707 \cdot \left( 1 + 8 \frac{180}{20} \right)} = 426 \text{ кГ.}$$

Бүйлама — күндаланг эгилишга ҳисоблашда кучланиш билан нагрузка орасидаги бөгланиш қуйидаги ифода билан берилади:

$$\sigma_A = \frac{S}{F} + \frac{Hl}{W} + \frac{Sy^o}{W\left(1 - \frac{S}{P_s}\right)} = \\ = \frac{P \cos 45^\circ}{\frac{\pi d^3}{4}} + \frac{(P \cos 45^\circ) l}{\frac{\pi d^3}{32}} + \frac{(P \cos 45^\circ) y^o}{\frac{\pi d^3}{32}\left(1 - \frac{P \cos 45^\circ}{P_s}\right)}.$$

Каралайтган устун учун эйлер кучи

$$P_s = \frac{\pi^2 E J}{(\mu l)^2} = \frac{3,14^2 \cdot 10^3 \cdot \frac{3,14}{64} \cdot 20^4}{(2 \cdot 180)^2} = 597 \cdot 10^3 \text{ кГ}.$$

$H$  куч таъсиридан эркин учининг эгилиши

$$y^o = \frac{Hl^3}{3EJ} = \frac{P \cdot 0,707 \cdot 180^3}{3 \cdot 10^3 \cdot \frac{3,14}{64} \cdot 20^4} = (1750 \cdot 10^{-5}) P [\text{см}].$$

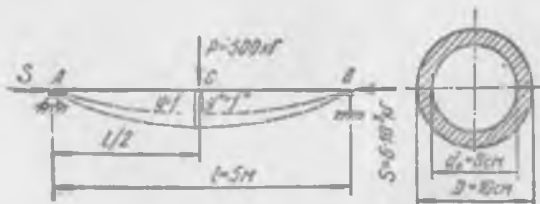
Топилган миқдорларни формулага қўйгандан сўнг, кучланиш учун қуийидаги ифодани ҳосил қиласиз:

$$\sigma_A = \frac{0,707P}{\frac{3,14}{4} + 20^2} + \frac{0,707P \cdot 180}{\frac{3,14}{32} \cdot 20^3} + \frac{0,707P^2}{\frac{3,14}{32} \cdot 20^4} \cdot \frac{1750 \cdot 10^{-5}}{\left(1 - \frac{0,707P}{597 \cdot 10^3}\right)} = \\ = 70 \text{ кГ/см}^2.$$

Бундан  $P = 422 \text{ кГ}$ .

Келтирилган натижага кучлар таъсирининг мустақиллик принципига асосан ҳосил қилинган қийматдан жуда ҳам оз фарқ қиласди, бу эса табиит, чунки ҳисобланайтган бруслар анча юқори бикрликка эга.

**15.12- мисол.** Агар брус Ст. 3 пулатидан ясалган бўлиб,  $\sigma_{ok} = 2400 \text{ кГ/см}^2$ ,  $E = 2 \cdot 10^6 \text{ кГ/см}^2$  булса, у ҳолда брус учун мустаҳкамликнинг амалдаги эҳтиёт коэффициенти аниқлансин.



15. 14- расм.

Ечиш. Хавфли күндаланг кесимдаги энг катта (сиқувчи) күчланиш

$$\sigma = \frac{S}{F} + \frac{Sf^o}{W \left( 1 - \frac{S}{P_s} \right)} + \frac{M^o}{W}.$$

Кесимнинг геометрик характеристикаларини аниқлаймиз:

$$F = \frac{\pi}{4} (D^2 - d_0^2) = \frac{\pi}{4} (10^2 - 8^2) = 28,3 \text{ см}^2;$$

$$J = 0,05 (D^4 - d_0^4) = 0,05 (10^4 - 8^4) = 295 \text{ см}^4.$$

$$W = \frac{J}{0,5D} = \frac{295}{5} = 59 \text{ см}^3.$$

Күндаланг нагрузка таъсиридан ҳосил бўладиган максимал салқилик ва эйлер кучини аниқлаймиз:

$$f^o = \frac{P_{\mu}^3}{48EJ} = \frac{500 \cdot (500)^3}{48 \cdot 2 \cdot 10^8 \cdot 295} = 2,2 \text{ см};$$

$$P_s = \frac{\pi^2 E J}{(\mu l)^2} = \frac{3,14^2 \cdot 2 \cdot 10^8 \cdot 295}{500^2} = 23,4 \cdot 10^3 \text{ кГ; } (\mu = 1).$$

Күндаланг нагрузка таъсиридан ҳосил бўладиган эгувчи момент

$$M^o = \frac{Pl}{4} = \frac{500 \cdot 500}{4} = 6,25 \cdot 10^4 \text{ кГ} \cdot \text{см}.$$

Ўқ бўйлаб йўналган кучнинг эйлер кучига нисбати

$$\frac{S}{P_s} = \frac{6 \cdot 10^3}{23,4 \cdot 10^3} = 0,26.$$

Бу қийматларни энг катта күчланиш формуласига қўйиб қўйидагини топамиз:

$$\sigma = \frac{6 \cdot 10^3}{28,3} + \frac{6 \cdot 10^3 \cdot 2,2}{59 (1 - 0,26)} + \frac{6,25 \cdot 10^4}{59} = 1573 \text{ кГ/см}^2.$$

Кучланиш билан ташки куч срасидаги муносабат чизиқли бўйланда мустаҳкамликнинг эҳтиёт коэффициенти

$$n_{\sigma} = \frac{\sigma_{\text{ок}}}{\sigma} = \frac{2400}{1573} = 1,53.$$

Ҳақиқатан, бўйлама — кўндаланг эгилишда  $n$  кичик бўлади, чунки күчланиш нагруззидан тезроқ ўсади. Изланувчи миқдор  $n$  ни қўйидаги формуладан топамиз:

$$nS \left[ \frac{1}{F} + \frac{n f^o}{W \left( 1 - \frac{nS}{P_s} \right)} \right] + \frac{n M^o}{W} = \sigma_{\text{ок}},$$

Бунга сон қийматларни құйып, солдалаштиргандан сүнг құйидаги тенгламани ҳосил қиласыз:

$$106,5n^2 - 1897n + 2400 = 0,$$

бундан құйидагиларни топамиз:  $n_1 = 1,4$  ва  $n_2 = 16,4$ . Ўз-ўзидан равшанки,  $n_2$  қиймат масаланинг ечими бұлмайды:  $n = 3,85$  бўлганда  $1 - \frac{n_2}{P_0}$  ифода нолга тенг бўлади, кучланиш эса чексиз. Шундай қилиб, оқибатда  $n = 1,4$ , демак чизиқли боғланиш бўйича ҳисоблашда хатолик

$$\frac{1,53 - 1,4}{1,4} \cdot 100\% \approx 9,3\%.$$

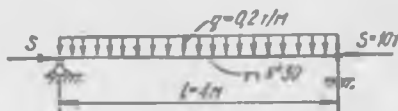
ни ташкил этади.

### Мустақил ечиш учун масала

15.6. Энг кичик бикрлилик текислигіда әгилувчи 30-но мерли швейлердан тайёрланган пўлат балканинг кўндаланг кесимидаги энг катта сиқувчи нормал кучланиш топилсин (15.15- расм).

$E = 2 \cdot 10^6 \text{ кГ/см}^2$  деб қабул қилинсин.

Жавоби. 975  $\text{кГ/см}^2$ .



15. 15-расм.

## XVI боб

### МАТЕРИАЛЛАР ҚАРШИЛИГИДА ДИНАМИКА МАСАЛАЛАРИ

#### 16.1-§. ИНЕРЦИЯ КУЧИННИ ҲИСОБГА ОЛИШ

Назарий механика курсидан маълумки, динамика масаласи Даламбер принципига асоссан статика масаласига келтирилиши мумкин. Бу принцип қўйнадигида таътифланишини эслатамиз: агар система (нуқта) га таъсир этувчи берилган кучлар ва боғланишларнинг динамик реакцияларига инерция кучларн қўшилса, у ҳолда ҳаракатдаги система (нуқта) ни исталган вақт дақиқасида мувозанатда бўлади деб қараш мумкин. Моддий нуқтанинг инерция кучи нуқта массаси билан унинг тезланиши купайтмасига тенг ва тезланиш йўналишига қарама-қарши томонга йўналган булади.

Умумий ҳолда хотекис эгри чизиқли ҳаракатдаги нуқтанинг инерция кучи иккита ташкил этувчи кучга ажратилади: уринма (ёки тангенциал) инерция кучи ва нормал (ёки марказдан қочма) инерция кучи. Улардан биринчиси ҳар бир берилган вақт дақиқасида ҳаракат траекториясига уринма бўйича уринма тезланиш  $a_t$ , йўналишига қарама-қарши томонга қараб йўналган булади. Иккинчиси эса траектория нормали бўйича нормал тезланиш  $a_n$  йўналишига қарама-қарши йўналган бўлади, маълумки нормал тезланиш ҳамма вақт траекториянинг эгрилик марказига қараб йўналгандир.

Шундай қилиб, массаси  $m$  бўлган нуқтанинг уринма  $P_{tt}$  ва марказдан қочма  $P_{nn}$  инерция кучларининг миқдорлари қўйнидаги формуулалар бўйича аниқланади:

$$P_{tt} = m a_t = m \frac{dv}{dt};$$

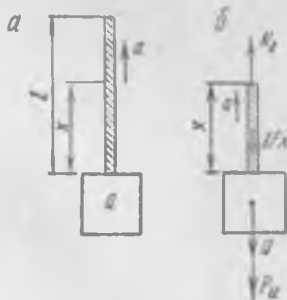
$$P_{nn} = m a_n = m \frac{v^2}{r},$$

бу ерда  $v$  — нуқта тезлиги ва  $r$  — траекториясининг эгрилик радиуси.

16.1-мисол. Пўлат троc (16.1-расм, а) ёрдамида  $Q = 2500 \text{ кГ}$  юк  $l = 10 \text{ м}$  баландликка ўзгармас тезланиш  $a = 3 \text{ м/сек}^2$  билан кўтарилади. Трос учун рухсат этилган куч-

ланиш  $[\sigma] = 1800 \text{ кГ/см}^2$ , трос материалининг ҳажм оғирлиги  $\gamma = 7,2 \text{ Т/м}^3$ . Трос кўндаланг кесимининг керакли юзи аниқлансан.

Е ч и ш. Даламбер принципига мувофиқ системанинг мувозанатини берилган кучларни ҳамда юк ва троснинг текис тезланувчан ҳаракат билан кутарилишида пайдо буладиган инерция кучини назарга олиб қараймиз. Кесимлар усулини татбиқ этиб, трос ихтиёрий кўндаланг кесимидағи бўйлама кучни аниқлаймиз (16.1-расм, б):



16. 1-расм.

$$\sum X = 0; \quad N - \gamma F \cdot x - Q - P_n = 0,$$

бу ерда  $P_n$  — юк ва троснинг инерция кучи бўлиб,

$$P_n = \frac{Q + \gamma Fx}{g} a \text{ формула билан аниқланади;}$$

$g = 9,81 \text{ м/сек}^2$  — оғирлик кучининг тезланиши.

Бўйлама кучининг ифодаси қўйидаги кўринишни олади:

$$N_x = (Q + \gamma Fx) + \frac{Q + \gamma Fx}{g} a = (Q + \gamma Fx) \left(1 + \frac{a}{g}\right).$$

Ушбу  $k_x = 1 + \frac{a}{g}$  (динамик коэффициент) белгилашни киритиб, ҳамда  $Q + \gamma Fx = N_{ct}$  — статик юкланишда (инерция кучини ҳисобга олмасдан) бўйлама кучни назарга олиб, қўйидагини ҳосил қиласиз:

$$N_x = k_x N_{ct}.$$

Трос кўндаланг кесимидағи динамик кучланиш:

$$\sigma_x = \frac{N_x}{F} = k_x \sigma_{ct}.$$

Троснинг мустаҳкамллик шарти қўйидаги кўринишда бўлади:

$$\max \sigma_x \frac{\max N_x}{F} = \frac{(Q + \gamma Fl) \left(1 + \frac{a}{g}\right)}{F} \leq [\sigma]$$

Бундан трос кўндаланг кесимининг керакли юзини аниқлаймиз: бунда троснинг чигир барабанига ўралишдаги бурниш нуқтасидан юк осилган нуқтасигача бўлган узунлигини тахминан кўгариш баландлигига teng деб қабул қиласиз:

$$F > \frac{Q}{\frac{[\sigma]}{k_x} - \gamma l}.$$

Соң қийматларни қўйгандан кейин, қўйидагини топамиз:

$$F > \frac{2500}{\frac{1800}{1 + \frac{3}{9,81}} - 7.2 \cdot 10^{-3} \cdot 10 \cdot 10^3} = 1,82 \text{ см.}$$

Шуни таъкидлаш керакки, трос узунлиги  $l = 10 \text{ м}$  бўлганда унинг ўз оғирлигини назарга олиш ҳисоблаш натижасига амалий таъсир кўрсатмайди.

16.2- мисол Қадами кичик винтсимон цилиндрик пружина вертикаль текисликда қўзғалмас шарнир  $O$  атрофида  $n = 300 \text{ айл/мин}$  бурчак тезлик билан айланади; унинг эркин учига  $Q = 2 \text{ кГ}$  юк қўйилган (16.2- расм).

Пружина симининг кўндаланг кесимидағи максимал уринма (динамик) кучланиш топилсин, шунингдек, қўйидагилар берилганда  $Q$  юкнинг максимал кўчиши аниқлансан: юкланмаган ҳолатда пружинанинг узунлиги  $l = 15 \text{ см}$ , ўрамнинг диаметри  $D = 6 \text{ см}$ , сим кесимиининг диаметри  $d = 0,6 \text{ см}$ , ўрамлар сони  $n = 5$ ; пружина материалининг силжиш модули  $G = 8 \cdot 10^5 \text{ кГ/см}^2$ . Ҳисоблашда пружинанинг массаси назарга олинмасин.

Ечиш Пружинани чўзувчи динамик кучнинг максимал қиймати  $Q$  юк энг пастки вазиятда бўлган ҳолатга тўғри келади. Бу куч юкнинг оғирлик кучи билан юкнинг марказдан қочма инерция кучининг йигиндисига тенг булади:

$$P_d = Q + P_n = Q + \frac{Q}{g} a_n = Q + \frac{Q}{g} \omega^2 r_{max} = Q \left( 1 + \frac{\omega^2 r_{max}}{g} \right).$$

Бу ерда  $\omega = \frac{n\pi}{30} = \frac{3,14 \cdot 300}{30} = 31,4 \text{ рад/сек}$  — пружинанинг бурчак тезлиги;

$r_{max} = l + \lambda_a$  — айланиш ўқидан юк марказигача бўлган максимал масофа;

$\lambda_a$  — пружинанинг узайишига тенг бўлган  $g$  юкнинг изланаетган максимал (динамик) кучиши.

Маълумки (5.5- § га қаранг)

$$\lambda_a = \frac{8P_d D^3 n_1}{G d^4}.$$

У вақтда қўйидагини топамиз:

$$P_d = Q \left[ 1 + \frac{\omega^2}{g} \left( l + \frac{8P_d D^3 n_1}{G d^4} \right) \right].$$

ёки

$$P_d = 2 \left[ 1 + \frac{31,4^2}{981} \left( 15 + \frac{8 \lambda_a \cdot 6^3 \cdot 5}{8 \cdot 10^5 \cdot 0,6^4} \right) \right],$$



16. 2- расм.

яъни

$$P_A = 2 [1 + 1,006 (15 + 0,0833 P_A)],$$

бундан

$$P_A = 38,4 \text{ кГ.}$$

Пружинанинг узайиши (юкнинг динамик күчиши)

$$\lambda_A = \frac{8 \cdot 38,4 \cdot 6^3 \cdot 5}{8 \cdot 10^6 \cdot 0,6^4} = 3,2 \text{ см.}$$

Пружинада пайдо бўлувчи максимал уринма кучланиш

$$\max \tau_a = k \frac{8P_A D}{\pi d^3} = \frac{1,14 \cdot 8 \cdot 38,4 \cdot 6}{3,14 \cdot 0,6^3} = 3100 \text{ кГ/см}^2,$$

бу ерда 5.5-§ даги маълумотлар бўйича  $k = 1,14$ .

16.3-мисол. Юмалоқ пўлат стержень  $O_1O_2$  ўқ агрофида текис айланади (16.3-расм). Агар  $[\sigma] = 800 \text{ кГ/см}^2$ ,  $\gamma = 7,85 \text{ Гсм}^3$  бўлса, стерженнинг айланиш тезлиги  $n = 1400 \text{ айл/мин}$  булганда унинг мустаҳкамлик бўйича энг катта рухсат этилган узунлиги  $l_m$  аниқлансанни.

Ечиш. Массаси  $dm$  бўлган  $dx$  элементга таъсир этувчи элементар инерция кучи (марказдан қочма куч) қўйидаги формула бўйича аниқланади (16.3-расмга қаранг):

$$dP_a = dm a_n = \frac{\gamma F}{g} dx \omega^2 x.$$

Бўйлама кучнинг максимал қиймати стержень ярим бўлакларидан бирига таъсир этувчи элементар инерция кучларининг йигиндисига тенг бўлади:

$$\max N_A = \int_0^{l/2} \frac{\gamma F}{g} \omega^2 x dx = \frac{\gamma F}{g} \omega^2 \frac{l^3}{8}.$$

Мустаҳкамлик шарти бўйича

$$\max \sigma_a = \frac{\max N_A}{F} < [\sigma],$$

еки

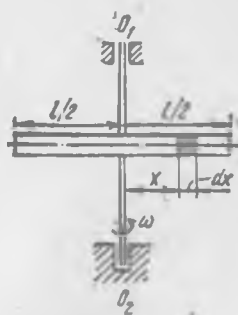
$$\max \sigma_a = \frac{\gamma \omega^2 l^2 / 8}{8g} = [\sigma],$$

бундан

$$l_m = \sqrt{\frac{8g [\sigma]}{\gamma \omega^2}}.$$

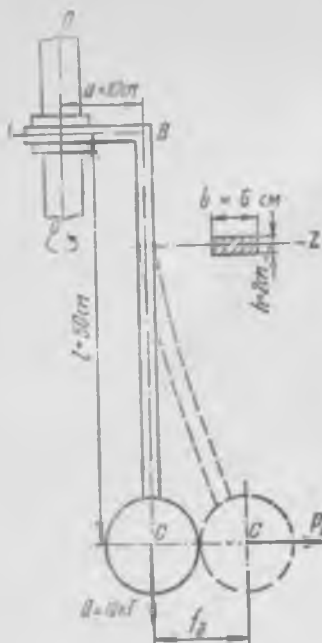
Бурчак тезликни

$$\omega = \frac{\pi n}{30} = \frac{3,14 \cdot 1400}{30} = 146,5 \text{ рад/сек},$$



16. 3-расм.

назарга олиб, қүйидаги натижани топамиз



16. 4- расм.

$$l_m = \frac{1}{m} \sqrt{\frac{8g|\sigma|}{7}} = \\ = \frac{1}{146,5} \sqrt{\frac{8 \cdot 981 \cdot 800}{7,85 \cdot 10^{-3}}} \approx 193 \text{ см.}$$

16.4- мисол. Регулятор  $OO$  үкім атрофида  $\omega = 30 \text{ рад/сек}$  бурчак тезлік билан текис айланади (16.4-расм). С нүктаннинг горизонтал күчиши, шуннингдек,  $BC$  пұлат стерженданың энг катта нормал күчтаниш миқдори аниқланын.  $AB$  элемент абсолют бикр деб ҳисобланын. Ҳисоблаша  $BC$  стерженнинг масасаси назарга олнинласын.  $E = 2,0 \cdot 10^8 \text{ кГ/см}^2$  деб қабул қиласын.

Е чиши.  $BC$  стерженниң әркін учыда марказдан қочма күч

$$P_u = \frac{Q}{g} \omega^2 r - \frac{Q}{g} \omega^2 (a + f_1) = \\ = \frac{10 \cdot 30^2}{981} (10 + f_1) = \\ = 9,17 (10 + f_1). \quad (a)$$

билан юкландырылған консол каби қараш мүмкін.

Бу ерда  $f_1$  билан  $C$  нүктаннинг изланувчи горизонтал күчиши, яғни  $BC$  стерженниң айланышыда пайдо бўладиган стержень әркін учыннинг эгилиши белгиланды. Стерженнинг әркін учыда инерция күчи билан  $f_1$  күчиш орасидаги боғланиш түпландырылған күч билан юкландырылған консол максимал салқилигининг маълум ифодаси (8.2, 8.3-§ лар) дан ҳосил қилинади:

$$P_u = \frac{3EJ_z}{l^3} f_{1u}$$

бу ерда

$$J_z = \frac{b^3}{12}.$$

Шундай қилиб,

$$P_u = \frac{3 \cdot 2 \cdot 10^8 \cdot 6 \cdot 2^3}{12 \cdot (50)^3} f_{1u} = 192 f_{1u}. \quad (6)$$

(а) ва (б) тенгликларни солиштириб, қўйидагини топамиз:

$$f_{1u} = 0,50 \text{ см.}$$

Шу билан бирга

$$P_u = 0,5 \cdot 192 = 96 \text{ кГ.}$$

Энг катта нормал күчленишлар стерженнинг *B* кесимида пайдо бўлади:

$$\text{шах } \sigma_x = \frac{\max M_d}{W_z} = \frac{P_u l}{W_z} = \frac{96 \cdot 50 \cdot 6}{6 \cdot 2^3} = 1200 \text{ кГ/см}^2.$$

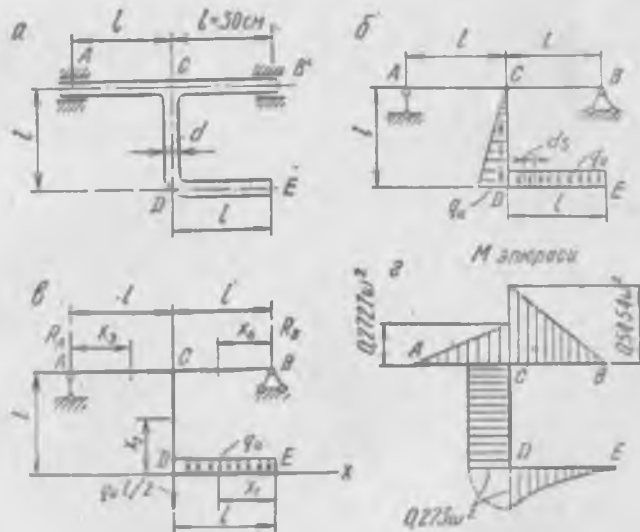
16. 5-мисол. Кўндаланг кесими доира шаклидаги ( $d = 18 \text{ мм}$ ) синик бруслар АВ ўқ атрофида текис айланади (16.5-расм, *a*).

Агар  $\gamma = 7,8 \text{ Г/см}^3$ ,  $|\sigma| = 1000 \text{ кГ/см}^2$  бўлса, у ҳолда энг катта рухсат этилган бурчак тезлик аниқлансан.

Бруслар деформациясининг марказдан қочма куч миқдорига таъсири ҳисобга олинмасин.

Ечиш. Синик брусларниң *CD* ва *DE* қисмларига таъсири этувчи инерция кучларини топамиз. Брусларниң бурчак тезлик билан текис айлананида нормал (марказдан қочма) инерция кучлари вақт бўйича ўзгармайди. *DE* участка учун марказдан қочма кучлар текис тақсиланган юкни ифода қиласди. *DE* стерженнинг *ds* элементига

$$dP_u = dm\omega^2 r,$$



16. 5-расм.

инерция кучи түгри келади, бу ерда элементнинг массаси

$$dm = \frac{\gamma F ds}{g} = \frac{\gamma \pi d^2 ds}{4g},$$

$r = l$  – элементнинг айланиш ўқигача бўлган масофа.

$$dP_n = \omega^2 l / \gamma \frac{\pi d^4}{4g} ds = q_n ds,$$

бу ерда  $q_n = \frac{\omega^2 \pi d^2 \gamma}{4g}$  –  $DE$  участкада инерция кучининг интенсивлиги,

$$q_n = \omega^2 \frac{30 \cdot 3,14 \cdot 1,8^2 \cdot 7,8}{4 \cdot 981 \cdot 1000} = 6,06 \cdot 10^{-4} \omega^2 \text{ кГ/см.}$$

$CD$  участка инерция кучи билан юкланди. У участканинг узунлиги бўйича түгри чизик қонуни билан нолдан ( $C$  нуқтада) максимумгача ( $D$  нуқтада) ўзгаради (16.5-расм, б). Инерция кучининг энг катта интенсивлиги ( $D$  нуқтада)  $q_n$  нинг топилган миқдорига тенг бўлади.

16.5-расм, б да кўрсатилган юклаш схемасидан фойдаланиб, таянч реакцияларини аниқлаймиз. Шуни таъкидлаймизки,  $CD$  участка инерция кучининг тенг таъсир этувчиси максимал интенсивлик  $q_n$  билан участка узунлиги кўпайтмасининг ярмига тенг бўлади.

$$\sum m_B = 0; \quad -q_n l \cdot \frac{l}{2} - 0,5q_n l \cdot l + R_A 2l = 0,$$

бундан

$$R_A = \frac{q_n l}{2} = \frac{0,06 \cdot 10^{-4} \cdot 30}{2} \omega^2 = 9,09 \cdot 10^{-3} \omega^2 \text{ кГ.}$$

$$\sum m_A = 0; \quad -R_B \cdot 2l + 0,5q_n l \cdot l + q_n l \cdot 1,5l = 0,$$

бундан

$$R_B = q_n l - 2R_A = 18,18 \cdot 10^{-3} \omega^2 \text{ кГ.}$$

16.5-расм, б да тасвирланган схемадан фойдаланиб, эгувчи момент эпюрасини одатдаги текис статик аниқ рама учун эгувчи момент эпюраси каби қурамаси (6.3-§ га қаранг).

Эгувчи момент эпюраси 16.5-расм, г да кўрсатилган.

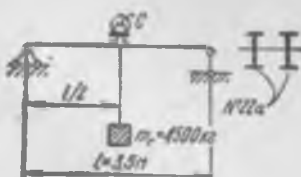
$AB$  участка учун мустаҳкамлик шартини тузиб, энг катта рухсат этилган бурчак тезлигини аниқлаймиз:

$$\sigma = \frac{M_{\max}}{W} \leq [\sigma]; [M_{\max}] = W[\sigma] = \frac{\pi d^3}{32} [\sigma];$$

$$[M_{\max}] = \frac{3,14 \cdot 1,8^3}{32} \cdot 1000 = 572 \text{ кГ} \cdot \text{см.}$$



16.6- расм.



16.7- расм.

Эпюрага мувофик,  $M_{\max} = 0,5454 \omega^2$ ;

$$0,5454[\omega]^2 = 572,$$

бундан

$$[\omega] = \sqrt{\frac{572}{0,5454}} = 32,4 \text{ рад/сек.}$$

### Мустақил ечиш учун масалалар

**16.1.** Күндаланг кесим юзаси  $F$  ва ўрта диаметри  $D$  бўлган юққа ҳалқа ўз текислигига перпендикуляр бўлган  $O$  ўқ атрофига текис айланади (16.6- расм). Агар ҳалқа 1)  $\sigma_m = 8000 \text{ кГ/см}^2$ ,  $\gamma_m = 7,85 \text{ кГ/см}^3$  бўлган пўлатдан; 2)  $\sigma_m = 1200 \text{ кГ/см}^2$ ,  $\gamma_{чұнн} = 7,2 \text{ Г/см}^3$  бўлган чўяндан тайёрланган бўлса, у ҳолда унинг марказдан қочма куч таъсиридан ёрилиб кетиш пайтидаги айланма тезлiği  $v$  аниқлансан.

Жавоби. Пўлат учун: 316 м/сек; чўян учун: 128 м/сек.

**16.2.** 22-а номерли иккита күштавр балкага үрнатилган  $C$  чиғир ёрдамида массаси  $m_{юк} = 4500 \text{ кГ}$  бўлган юқ кутарилади (16.7- расм). Күтариш бошланишида юқ доимий тезланиш билан ҳаракатланади ва биринчи уч секунд ичida 12 м масофа га кўтарилади;  $[\sigma] = 160 \text{ н/мм}^2$  бўлганда балканинг мустақамлиги текширилсан. Чиғирнинг ўз оғирлиги ҳисобга олинсан, унинг массаси  $m_q = 700 \text{ кГ}$ .

Жавоби.  $\max \sigma_d = 110 \text{ н/мм}^2$ .

**16.3.**  $AB$  пўлат стержень чизма (16.8- расм) текислигига перпендикуляр бўлган  $A$  ўқ атрофига текис айланади. Стерженнинг күндаланг кесимида пайдо буладиган энг катта нормал кучланиш пропорционаллик чегараси  $\sigma_n = 2000 \text{ кГ/см}^2$  га эришгандаги  $\omega$  бурчак тезлик аниқлансан. Кучланишининг кўрсатилган миқдорида стерженнинг абсолют узайиши ҳисоблансан.  $\gamma = 7,85 \text{ Г/см}^3$ ,  $E = 2 \cdot 10^6 \text{ кГ/см}^2$  деб қабул қилинсан.

Жавоби.  $\omega = 281 \text{ рад/сек}$ ,  $\Delta l = 0,053 \text{ см}$ .

инерция кучи түғри келади, бу ерда элементнің массасы

$$dm = \frac{\gamma F ds}{g} = \frac{\gamma \omega^2 ds}{4g},$$

$r = l$  — элементнің айланиш үқиғача бўлган масофа.

$$dP_n = \omega^2 l \cdot \frac{\pi d^2}{4g} ds = q_n ds,$$

бу ерда  $q_n = \frac{\omega^2 \pi d^2 l}{4g}$  —  $DE$  участкада инерция кучининг интенсивлиги,

$$q_n = \omega^2 \frac{30 \cdot 3,14 \cdot 1,8^2 \cdot 7,8}{4 \cdot 981 \cdot 1000} = 6,06 \cdot 10^{-4} \omega^2 \text{ кГ/см.}$$

$CD$  участка инерция кучи билан юкланды. У участканинг узунлиги бўйича түғри чизик қонуни билан нолдан ( $C$  нуқтада) максимумгача ( $D$  нуқтада) ўзгаради (16.5-расм, б). Инерция кучининг энг катта интенсивлиги ( $D$  нуқтада)  $q_n$  нинг топилган миқдорига тенг бўлади.

16.5-расм, б да кўрсатилган юклаш схемасидан фойдаланиб, таянч реакцияларини аниқлайдыз. Шуни таъкидлайдызки,  $CD$  участка инерция кучининг тенг таъсир этувчиси максимал интенсивлик  $q_n$  билан участка узунлиги кўпайтмасининг ярмига тенг бўлади.

$$\sum m_B = 0; \quad -q_n l \cdot \frac{l}{2} - 0,5q_n l \cdot l + R_A 2l = 0,$$

бундан

$$R_A = \frac{q_n l}{2} = \frac{6,06 \cdot 10^{-4} \cdot 30}{2} \omega^2 = 9,09 \cdot 10^{-3} \omega^2 \text{ кГ.}$$

$$\sum m_A = 0; \quad -R_B \cdot 2l + 0,5q_n l \cdot l + q_n l \cdot 1,5l = 0,$$

бундан

$$R_B = q_n l - 2R_A = 18,18 \cdot 10^{-3} \omega^2 \text{ кГ.}$$

16.5-расм, в да тасвирланган схемадан фойдаланиб, эгувчи момент эпюрасини одатдаги текис статик аниқ рама учун эгувчи момент эпюраси каби курамида (6.3-§ га қаранг).

Эгувчи момент эпюраси 16.5-расм, г да кўрсатилган.

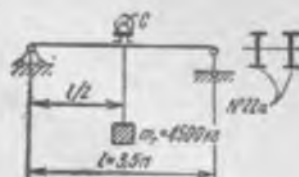
$AB$  участка учун мустаҳкамлик шартини тузиб, энг катта руҳсат этилган бурчак тезликни аниқлайдыз:

$$\sigma = \frac{M_{\max}}{W} \leq [\sigma]; [M_{\max}] = W[\sigma] = \frac{\pi d^3}{32} [\sigma];$$

$$[M_{\max}] = \frac{3,14 \cdot 1,8^3}{32} \cdot 1000 = 572 \text{ кГ} \cdot \text{см.}$$



16.6- расм.



16.7- расм.

Эпюрага мувофиқ,  $M_{\max} = 0,5454 \omega^2$ ;

$$0,5454[\omega]^2 = 572,$$

бундан

$$[\omega] = \sqrt{\frac{572}{0,5454}} = 32,4 \text{ рад/сек.}$$

### Мустақил ечиш учун масалалар

**16.1.** Күндаланг кесим юзаси  $F$  ва ўрта диаметри  $D$  бўлган юпқа ҳалқа ўз текислигига перпендикуляр бўлган  $O$  ўқ атрофидаги текис айланади (16.6- расм). Агар ҳалқа 1)  $\sigma_u = 8000 \text{ кГ/см}^2$ ,  $T_u = 7,85 \text{ кГ/см}^3$  бўлган пулатдан; 2)  $\sigma_u = 1200 \text{ кГ/см}^2$ ,  $T_u = 7,2 \text{ Г/см}^3$  бўлган чўянидан тайёрланган бўлса, у ҳолда унинг марказдан қочма куч таъсиридан ёрилиб кетиш пайдидаги айланма тезлиги  $\nu$  аниқлансин.

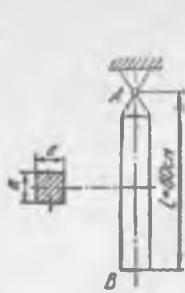
*Жавоби.* Пўлат учун:  $316 \text{ м/сек.}$ ; чўян учун:  $128 \text{ м/сек.}$

**16.2.** 22-а номерли иккита қўштавр балкага ўрнатилган  $C$  чиғир ёрдамида массаси  $m_{\text{юк}} = 4500 \text{ кГ}$  бўлган юк кўтарилади (16.7- расм). Кўтариш бошлинишида юк доимий тезланиш билан ҳаракатланади ва биринчи уч секунд ичida  $12 \text{ м}$  масофага кўтарилади;  $[\sigma] = 160 \text{ кН/мм}^2$  бўлганда балканинг мустақалиги текширилсин. Чиғирнинг ўз оғирлиги ҳисобга олинсин, унинг массаси  $m_q = 700 \text{ кГ}$ .

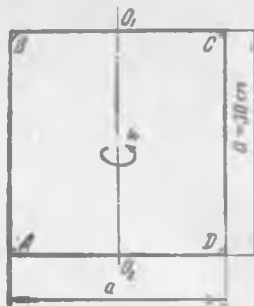
*Жавоби.*  $\max \sigma_d = 110 \text{ кН/мм}^2$ .

**16.3.**  $AB$  пўлат стержень чизма (16.8- расм) текислигига перпендикуляр бўлган  $A$  ўқ атрофидаги текис айланади. Стерженинг кўндаланг кесимида пайдо бўладиган энг катта нормал кучланиш пропорционаллик чегараси  $\sigma_n = 2000 \text{ кГ/см}^2$  га эришгандаги  $\omega$  бурчак тезлик аниқлансин. Кучланишиннинг кўрсатилган миқдорида стерженинг абсолют узайиши ҳисоблансин.  $\gamma = 7,85 \text{ Г/см}^3$ ,  $E = 2 \cdot 10^6 \text{ кГ/см}^2$  деб қабул қилинсин.

*Жавоби.*  $\omega = 281 \text{ рад/сек.}$ ;  $\Delta l = 0,053 \text{ см.}$



16.8- расм.



16.9- расм.

**16.4.** Рама  $O_1O_2$  үк атрофида текис айланади (16.9- расм). Агар рама стерженлари квадрат күндаланг кесим  $1,5 \times 1,5 \text{ см}^2$  га өзүңдүрүлгөнде  $[\sigma] = 780 \text{ кГ/см}^2$ ;  $\gamma = 7,8 \text{ Г/см}^3$  булса, у ҳолда рама айланышининг рухсат этилган бурчак тезлиги аниқланасин.

Жаоби.  $[\omega] = 148 \text{ рад/сек.}$

**16.5.** Инерция моменти  $I_m = 50 \text{ кг} \cdot \text{м}^2$  булган ва  $n = 800 \text{ айл.мин}$  бурчак тезлик билан айланувчи маховик диаметри  $d = 80 \text{ мм}$  булган валга урнатылған. Тормоз берилгандан маховик 12 марта айланып тұхтайди. Тормоз кучини ўзгармас деб ҳисоблаңыз, тормоз берилгандан валниң күндаланг кесимидә ҳосил бўладиган максимал уринма кучланиши топилсин.

Жаоби.  $231 \cdot 10^6 \text{ н/м}^2 = 23,1 \text{ Мн/м}^2 = 23,1 \text{ н/мм}^2$ .

## 16.2- §. ЗАРБДА КУЧЛANIШ ВА КУЧИШЛАР

Нагрузканинг зарби таъсиридан ҳосил бўлган кучланиш ва кучишлар қўйидаги формула бўйича аниқланади:

$$\sigma_d = k_d \sigma_{ct};$$

$$\delta_d = k_d \delta_{ct}.$$

Бу ерда  $\sigma_d$ ,  $\delta_d$  — зарбда мос равишида динамик кучланиш ва кучиш;  $\sigma_{ct}$ ,  $\delta_{ct}$  — тушаётган жисм оғирлигига тенг бўлган кучнинг статик таъсиридан ҳосил бўлган кучланиш ва кучиш.

Зарбда зарбланувчи конструкциянинг массаси ҳисобга олинмаганда динамик коэффициент ( $k_d$ ) қўйидаги формула бўйича аниқланади:

$$k_d = 1 + \sqrt{1 + \frac{2h}{\delta_{ct}}},$$

бу ерда  $h$  — зарб берувчи юкнинг түшиш баландлыги.

Хусусий ҳолда күч зарбсиз бир онда құйилғанда, яғни  $h = 0$  бўлганда

$$k_a = 2.$$

Зарбланувчи эластик системанинг массаси ҳисобга олинганда,  $k_a$  миқдор қўйидаги формула билан аниқланади:

$$k_a = 1 + \sqrt{1 + \frac{2h}{\delta_{ct} \left(1 + \beta \frac{P}{Q}\right)}}.$$

Бу формулада

$P$  — зарбланувчи эластик системанинг оғирлиги;

$Q$  — тушаётган юк оғирлиги;

$h$  — унинг тушиш баландлиги;

$\delta_{ct}$  —  $Q$  юк статик құйилғанда зарб нуқтасининг күчиши;

$\beta$  — зарб берувчи система массасини зарб нуқтасига келтириш коэффициенти ( $\beta < 1$ ).

Келтириш коэффициенти қўйидаги формула бўйича аниқланади:

$$\beta = \frac{\int (\delta_{x ct})^2 dP}{\delta_{ct}^2 P}.$$

Бу ерда  $\delta_{x ct}$  — тушаётган юк оғирлигига тенг ва зарб нуқтасига құйилған кучнинг статик таъсиридан ҳосил бўлган кўчиш эпюрасининг тенгламаси.

Агар  $\frac{h}{\delta_{ct}}$  — нисбат жуда катта (100 дан катта) бўлса, у ҳолда  $k_a$  учун тақрибий ифодани қабул қилиш мумкин:

$$k_a = \sqrt{\frac{2h}{\delta_{ct}}}.$$

Еки системанинг ўз массаси ҳисобга олинганда,

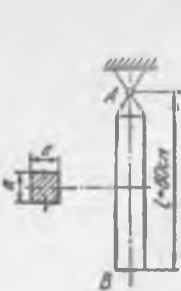
$$k_a = \sqrt{\frac{2h}{\delta_{ct} \left(1 + \beta \frac{P}{Q}\right)}}.$$

16. 6-мисол. Погонали пулат стерженга юқоридан  $Q$  юк тушади (16.10-расм). Стерженнинг устиворлиги таъминланган деб ҳисоблаб, унинг кўндаланг кесимида пайдо бўладиган энг катта сиқувчи кучланиш аниқлансан.

Масала икки вариантда: а) стержень массасини ҳисобга олмасдан ва б) стержень массасини ҳисобга олиб ( $\gamma = 7,85 \text{ Г/см}^3$ ) ечилсан.

Е ч и ш. Максимал статик (сиқувчи) кучланиш стерженнинг устки қисмида пайдо бўлади:

$$\gamma_{ct} = \frac{N}{F_a} = \frac{Q}{F_a} = \frac{40}{5} = 8 \text{ кГ/см}^2.$$



16.8- расм.



16.9- расм.

16.4. Рама  $O_1O_2$  ўқ атрофида текис айланади (16.9-расм). Агар рама стерженлари квадрат күндаланг кесим  $1,5 \times 1,5 \text{ см}^2$  га өга ҳамда  $[\sigma] = 780 \text{ кГ/см}^2$ ;  $\tau = 7,8 \text{ Г/см}^3$  бўлса, у ҳолда рама айланшининг рухсат этилган бурчак тезлиги аниқлансан.

Жавоби.  $[\omega] = 148 \text{ рад сек.}$

16.5. Инерция моменти  $I_m = 50 \text{ кг} \cdot \text{м}^2$  бўлган ва  $n = 800 \text{ айл. мин}$  бурчак тезлик билан айланувчи маҳовик диаметри  $d = 80 \text{ мм}$  бўлган валга урнатилган. Тормоз берилганда маҳовик 12 марта айланаб тухтайди. Тормоз кучини ўзгармас деб ҳисоблаб, тормоз берилганда валнинг күндаланг кесимидаги ҳосил бўладиган максимал уринма кучланиши топилсин.

Жавоби.  $231 \cdot 10^6 \text{ н/м}^2 = 23,1 \text{ Мн/м}^2 = 23,1 \text{ н/мм}^2$ .

## 16.2-§. ЗАРБДА КУЧЛАНИШ ВА КУЧИШЛАР

Нагрузканинг зарби таъсиридан ҳосил бўлган кучланиш ва кучишлар қўйидаги формула бўйича аниқланади:

$$\sigma_d = k_1 \sigma_{ct},$$

$$\delta_d = k_1 \delta_{ct}.$$

Бу ерда  $\sigma_d$ ,  $\delta_d$  — зарбда мос равишда динамик кучланиш ва кучиш;  $\sigma_{ct}$ ,  $\delta_{ct}$  — тушаётган жисм оғирлигига тенг бўлган кучнинг статик таъсиридан ҳосил бўлган кучланиш ва кучиш.

Зарбда зарбланувчи конструкциянинг массаси ҳисобга олинмагандага динамик коэффициент ( $k_1$ ) қўйидаги формула бўйича аниқланади:

$$k_1 = 1 + \sqrt{1 + \frac{2h}{\delta_{ct}}},$$

бу ерда  $h$  — зарб берувчи юкнинг тушиш баландлиги.

Хусусий ҳолда куч зарбсиз бир онда қўйилганда, яъни  
 $h = 0$  бўлганда

$$k_d = 2.$$

Зарбланувчи эластик системанинг массаси ҳисобга олинганда,  $k_d$  миқдор қўйидаги формула билан аниқланади:

$$k_d = 1 + \sqrt{1 + \frac{2h}{\delta_{ct} \left(1 + \beta \frac{P}{Q}\right)}},$$

Бу формулада

$P$  — зарбланувчи эластик системанинг оғирлиги;

$Q$  — тушаётган юк оғирлиги;

$h$  — унинг тусиши баландлиги;

$\delta_{ct}$  —  $Q$  юк статик қўйилганда зарб нуқтасининг кўчиши;

$\beta$  — зарб берувчи система массасини зарб нуқтасига келтириш коэффициенти ( $\beta < 1$ ).

Келтириш коэффициенти қўйидаги формула бўйича аниқланади:

$$\beta = \frac{\int (\delta_{x,ct})^3 dP}{\delta_{ct}^2 P}.$$

Бу ерда  $\delta_{x,ct}$  — тушаётган юк оғирлигига тенг ва зарб нуқтасига қўйилган кучнинг статик таъсиридан ҳосил бўлган кўчиш эпюрасининг тенгламаси.

Агар  $\frac{h}{\delta_{ct}}$  нисбат жуда катта (100 дан катта) бўлса, у ҳолда  $k_d$  учун тақрибий ифодани қабул қилиш мумкин:

$$k_d = \sqrt{\frac{2h}{\delta_{ct}}}.$$

Ёки системанинг ўз массаси ҳисобга олинганда,

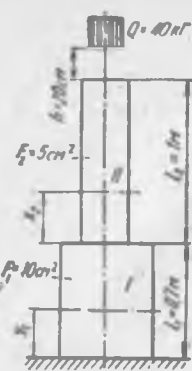
$$k_d = \sqrt{\frac{2h}{\delta_{ct} \left(1 + \beta \frac{P}{Q}\right)}}.$$

**16. 6-мисол.** Погонали пулат стерженга юқоридан  $Q$  юк тушади (16.10-расм). Стерженнинг устиворлиги таъминланган деб ҳисоблаб, унинг кўндаланг кесимида пайдо бўладиган энг катта сиқувчи кучланиш аниқлансан.

Масала икки вариантда: а) стерженъ массасини ҳисобга олмасдан ва б) стерженъ массасини ҳисобга олиб ( $\gamma = 7,85 \text{ Г/см}^3$ ) ечилсан.

Е чи ш. Максимал статик (сиқувчи) кучланиш стерженнинг устки қисмида пайдо бўлади:

$$\tau_{ct} = \frac{N}{F_2} = \frac{Q}{F_2} = \frac{40}{5} = 8 \text{ кГ/см}^2.$$



16. 10- расм.

Зарб жойида статик күчиш ўз-ўзидан маълумки,  $Q$  юкни статик қўйишда стерженнинг қисқаришига тенг бўлади:

$$\delta_{ct} = \sum \Delta I_{ct} = \frac{Ql_1}{EF_1} + \frac{Ql_2}{EF_2} = \\ = \frac{40}{2 \cdot 10^4} \left( \frac{70}{10} + \frac{100}{5} \right) = 54 \cdot 10^{-5} \text{ см.}$$

$\frac{h}{\delta_{ct}} = \frac{20}{54 \cdot 10^{-5}} = 371 \cdot 10^3$  нисбат қиймати катта, демак динамик коэффициент учун тақрибий формулани қўллаямиз. Стерженнинг ўз массасини ҳисобга олмасдан, қўйидаги топамиз:

$$k_d = \sqrt{\frac{2h}{\delta_{ct}}} = \sqrt{\frac{2 \cdot 20}{54 \cdot 10^{-5}}} = 273$$

### Динамик кучланиш

$$\sigma_d = k_d \sigma_{ct} = 273 \cdot 8 = 2184 \text{ кГ/см}^2.$$

Ҳосил қилинган натижа стержень материалининг пропорционаллик чегараси динамик кучланишдан юқори бўлган шартдагина маънога эга бўлади.

Ҳисоблашни стержень массасини ҳисобга олган ҳолда бажариш учун массани зарб нуқтасига келтириш коэффициентини аниқлаймиз.

Стержень остки участкаси ихтиёрий кундаланг кесимининг статик күчиши

$$\delta_{x,ct}^I = \frac{Qx_1}{EF_1} (0 \leq x_1 < l_1).$$

Худди шунингдек, устки участка учун:

$$\delta_{x,ct}^{II} = \frac{Ql_1}{EF_1} + \frac{Qx_2}{EF_2} (0 \leq x_2 < l_2).$$

Стержень устки кесимининг статик күчиши юқорида аниқланган эди.

Стержень остки участкаси чексиз кичик элементининг оғирлиги  $dP_1 = \gamma F_1 dx_1$ ; худди шунингдек устки участкаси учун  $dP_2 = \gamma F_2 dx_2$ . Берилганларни ҳини аниқлаш формуласига қўйилгандан кейин қўйидагиларни топамиз:

$$\beta = \frac{\int (\delta_{x,ct})^2 dP}{\delta_{ct}^2 P} = \frac{\int_0^{l_1} \left( \frac{Qx_1}{EF_1} \right)^2 \gamma F_1 dx_1 + \int_0^{l_2} \left( \frac{Ql_1}{EF_1} + \frac{Qx_2}{EF_2} \right)^2 \gamma F_2 dx_2}{\left[ \frac{Q}{E} \left( \frac{l_1}{F_1} + \frac{l_2}{F_2} \right) \right]^2 \gamma (F_1 l_1 + F_2 l_2)} =$$

$$= \frac{\frac{Q^2 l_1^3}{3(EF_1)^2} \gamma F_1 + \frac{Q^2 l_2^3}{(EF_2)^2} \gamma F_2 l_2 + \frac{Q^2 l_1 l_2^2}{E^2 F_1 F_2} \gamma F_2 + \frac{Q^2 l_2^3}{3(EF_2)^2} \gamma F_2}{\left[ \frac{Q}{E} \left( \frac{l_1}{F_1} + \frac{l_2}{F_2} \right) \right]^2 \gamma (F_1 l_1 + F_2 l_2)}.$$

$F_1 = 2F_2$ ;  $l_1 = 0,7l_2$  ларни ўрнига қўйиб, қисқартиргандан сўнг, қўйидагини ҳосил қиласмиз:

$$\beta = \frac{\frac{0,7^2}{6} + \frac{0,7^2}{4} + \frac{0,7}{3} + \frac{1}{3}}{\left(\frac{0,7}{2} + 1\right)^2 (1,4 + 1)} = 0,197.$$

### Стержень оғирлиги

$$P = \gamma F_1 l_1 + \gamma F_2 l_2 = 7,85 \cdot 10^{-3} (10 \cdot 70 + 5 \cdot 100) = 9,42 \text{ кГ}.$$

Стерженинг ўз оғирлигини ҳисобга олинганда динамик коэффициент

$$k'_{\text{ст}} = \sqrt{\frac{2 \cdot 20}{54 \cdot 10^{-5} \left( 1 + 0,197 \cdot \frac{9,42}{40} \right)}} = 266.$$

Стержень массасини ҳисобга олгандаги динамик кучланиш:

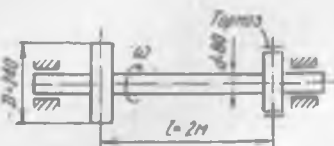
$$\sigma'_{\text{ст}} = k'_{\text{ст}} \sigma_{\text{ст}} = 266 \cdot 8 = 2128 \text{ кГ/см}^2.$$

Кўрилган мисолда конструкция массасининг динамик коэффициентга ва динамик кучланишга таъсирин арзимасдир.

16.7- мисол. Оғирлиги  $Q=60 \text{ кГ}$  бўлган шкив  $n=300 \text{ айл./мин}$  бурчак тезлик билан айланувчи пўлат валга ўрнатилган (16.11-расм) Бирданнiga тормоз (буровчи зарб) берилганда валнинг кўндаланг кесимида вужудга келадиган максимал уринма кучланишининг миқдори ҳисоблансин. Валнинг массаси назарга олинмасин.

Е чиши. Шкивнинг кинетик энергиясини деформациянинг потенциал энергиясига (буровчи зарбда) тенг деб ҳисоблаб, қўйидагини ёзамиз:

$$I_m \frac{\omega^2}{2} = \frac{M_A^2 l}{2GJ_B}.$$



16. 11-расм.

Шкив\* массасининг инерция моменти

$$I_m = \frac{Q D^2}{8g} = \frac{60 \cdot 24^2}{8 \cdot 981} = 4,40 \text{ кГ} \cdot \text{см} \cdot \text{сек}^2.$$

Бурчак тезлик

$$\omega = \frac{\pi \cdot n}{30} = \frac{\pi \cdot 300}{30} = 10\pi \text{ рад/сек.}$$

Динамик буровчи момент

$$M_d = \omega \sqrt{\frac{I_m G J_p}{l}}$$

Валнинг кундаланг кесимидағи максимал динамик уринма кучланиш

$$\tau_d \frac{M_d}{W_p} = \frac{\omega}{\frac{\pi d^3}{16}} \sqrt{\frac{I_m G \pi d^4}{l \cdot 32}} = \frac{10\pi}{\pi 8} \sqrt{\frac{8 \cdot 4 \cdot 4 \cdot 8 \cdot 10^3 \cdot 3,14}{200}} = 833 \text{ кГ/см}^2.$$

16.8- мисол. 16.12- расм, а да тасвиранган пулат синиқ бруса юқоридан Q юк тушади.

Конструкциянинг массасини назарга олмасдан максимал ҳисобий кучланиши, шунингдек, A кесимининг вертикал күччиши аниқлансан.

AВ элемент абсолют бикр деб ҳисблансин.

Е ч и ш. ВКС брус Q күч таъсирида эгилади ва Q·a момент таъсирида буралади, юклаш схемаси 16.12- расм, б да келтирилган.

ВКС брусларнинг хавфли кесимини аниқлаш учун  $M_6$ , эгувчи момент ва  $M_9$  буровчи момент эпюраларини қурамиз. 16.12-расм, в да тасвиранган юклаш схемасига мувофиқ  $M_9$ , нинг эпюраси 16.12-расм, г да келтирилган.  $M_6$ , нинг эпюраси эса 16.12-расм, ж да берилган юклаш схемаси бўйича 16.12-расм, з да келтирилган. Бу эпюраларга диққат билан эътибор берсак, С кесим ёки К кесим хавфли булишини қурамиз. Иккичи кесимда  $M_6$  биринчига қараганда кичик, лекин унинг диаметри ҳам кичик. Бу ҳолда статик эквивалент кучланишлари катта бўладиган кесим хавфлидир.

С кесим:

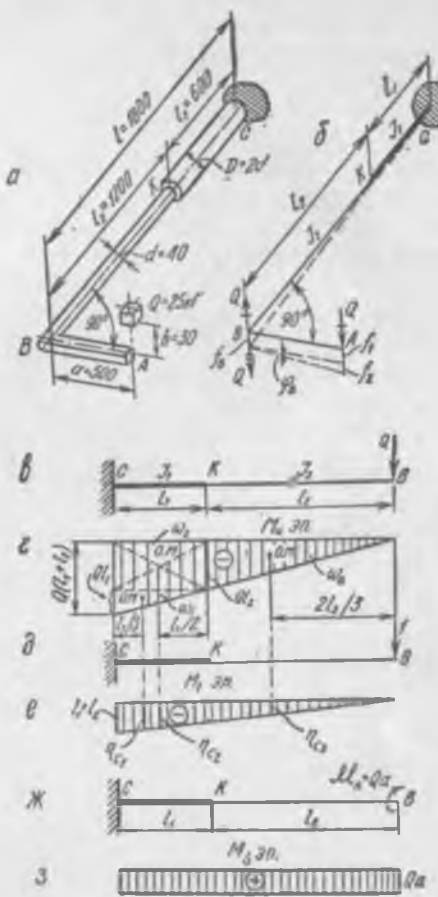
$$M_9 = Q(l_1 + l_2) = 25 \cdot 180 = 4500 \text{ кГ} \cdot \text{см};$$

$$M_6 = Qa = 25 \cdot 50 = 1250 \text{ кГ} \cdot \text{см}.$$

Статик эквивалент кучланишни энг катта уринма кучланиш гипотезаси бўйича ҳисблаймиз (12.1, 12.2- § ларга қаранг).

$$\sigma_{\text{экв}}^{\text{III}} = \frac{1}{W_9} \sqrt{M_9^2 + M_6^2} = \frac{1}{0,1 \cdot 8^3} \sqrt{4500^2 + 1250^2} = 91,2 \text{ кГ/см}^2.$$

\* Шкив шартли равишда яхлиг цилиндр деб қаралади.



16. 12-расм.

*K* кесим:

$$M_9 = Ql_2 = 25 \cdot 120 = 3000 \text{ кГ} \cdot \text{см};$$

$$M_6 = Qa = 1250 \text{ кГ} \cdot \text{см};$$

$$\sigma_{\text{III}} = \frac{1}{W_s} \sqrt{M_9^2 + M_6^2} = \frac{1}{0,1 \cdot 4^3} \sqrt{3000^2 + 1250^2} = 508 \text{ кГ/см}^2.$$

Шундай қилиб, *K* кесим хавфли бўлади.

*A* кесимнинг статик вертикал кўчишини аниқлаймиз. Тула кўчишини *BKC* бруслонг эгилиши билан боғлиқ  $f_1$  кўчиш ва уша бруслонг буралиши билан боғлиқ бўлган  $f_2$ , кўчишларнинг йигиндиси каби қараш мумкин (16.12-расм, *b*).

$f_1$  күчиш  $Q$  күч таъсирида  $B$  кесимнинг салқилинги  $f_B$  га тенг бўлади (масала шартига кўра  $AB$  брус абсолют бикр эканлигини эслатамиз).

$$f_2 = \varphi_B a,$$

бу ерда  $\varphi_B - BKC$  бруснинг айланиши натижасида  $B$  кесимнинг буралиш бурчаги.

$f_1$  миқдорни Мор усулидан (Верешчагин қоидасини татбиқ этиш йўли билан) аниқлаймиз (16.12-расм,  $\theta$ ,  $\tau$ ,  $\delta$ ,  $e$ ):

$$f_B = f_1 = \frac{\omega_1 \eta_{c1}}{EJ_1} + \frac{\omega_2 \eta_{c2}}{EJ_1} + \frac{\omega_3 \eta_{c3}}{EJ_2}.$$

бу ерда

$$\omega_1 = \frac{1}{2} Q l_1^2; \quad \eta_{c1} = l_2 + \frac{2}{3} l_1;$$

$$\omega_2 = Q l_2 \cdot l_1; \quad \eta_{c2} = l_2 + \frac{l_1}{2};$$

$$\omega_3 = \frac{1}{2} Q l_2^2; \quad \eta_{c3} = \frac{2}{3} l_2;$$

$$J_1 = \frac{\pi D^4}{64} \approx 0,05 D^4; \quad J_2 = \frac{\pi d^4}{64} \approx 0,05 d^4.$$

Сон қийматларни ўрнига қўйгандан кейин, қўйидаги натижани топамиз:

$$f_1 = 0,644 \text{ см.}$$

$B$  кесимнинг буралиш бурчагини топамиз:

$$\varphi_B = \frac{M_6 l_1}{G J_{p1}} + \frac{M_6 l_2}{G J_{p2}},$$

$$J_{p1} = \frac{\pi D^4}{32} \approx 0,1 D^4; \quad J_{p2} = \frac{\pi d^4}{32} \approx 0,1 d^4.$$

Сон қийматларни қўйсак:

$$\varphi_B = 0,756 \cdot 10^{-12} \text{ рад}$$

ва

$$f_2 = a \cdot \varphi_B = 0,378 \text{ см.}$$

$A$  кесимнинг статик вертикаль кўчиши

$$\delta_{ct} = f_A = f_1 + f_2 = 0,644 + 0,378 = 1,022 \text{ см.}$$

Динамик коэффициентни аниқлаймиз:

$$k_k = 1 + \sqrt{1 + \frac{2h}{\delta_{ct}}} = 1 + \sqrt{1 + \frac{2 \cdot 3}{1,022}} = 3,62.$$

*К* хавфли кесим учун максимал эквивалент динамик кучланиш

$$\sigma_d = k_d \sigma_{ct}^{III} = 3,62 \cdot 508 = 1840 \text{ кГ/см}^2.$$

*А* кесимнинг динамик вертикаль күчиши

$$\delta_d = k_d \delta_{ct} = 3,62 \cdot 1,022 = 3,70 \text{ см.}$$

### Мустақил ечиш учун масалалар

**16.6.** Пулат стержень кўндаланг кесимида  $Q = 40 \text{ кГ}$  юкнинг стагик таъсиридан, у тўсатдан қўйилганда ва  $Q$  оғирлигидаги юк  $h = 10 \text{ см}$  баландликдан стержень учига қўзғолмас қилиб, биринчирилган бикр дискага тушганда ҳосил бўладиган бўйлама чўзувчи зарбдан ҳосил бўладиган кучланишлар ўзаро солиштирилсин (16.13-расм).

Стерженинг массаси назарга олинмасин.

*Жавоби.*  $\sigma_{ct} = 5,65 \text{ кГ/см}^2$ ;  $\sigma_d = 11,3 \text{ кГ/см}^2$ ;  $\delta_d = 1944 \text{ кГ/см}^2$ .

**16.7.** Пролёти  $l = 6 \text{ м}$  бўлган 18 а· номерли қўштавр балкага оғирлиги  $Q = 100 \text{ кГ}$  бўлган юк  $h = 5 \text{ см}$  баландликдан тушади (16.14-расм).

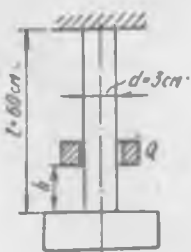
Балканинг хавфли кўндаланг кесимидағи максимал нормал кучланиш ҳисоблансан, шунингдек балка массасини назарга олмасдан салқилик стрелкасининг миқдори аниқлансан.

*Жавоби*  $\sigma_d \approx 349 \text{ кГ/см}^2$ ;  $\delta_d = f_d = 0,581 \text{ см.}$

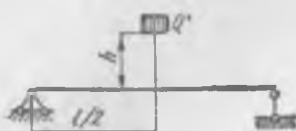
**16.8.** Олдинги масаладаги балка учун унинг массасини пролёт ўртасига келтириш коэффициенти  $\beta$  аниқлансан. Масала балка массасини ҳисобга олиб, ечилсин.

*Жавоби.*  $\beta = \frac{17}{35}$ ;  $\sigma_d = 304 \text{ кГ/см}^2$ ;  $\delta_d = f_d = 0,506 \text{ см}^2$

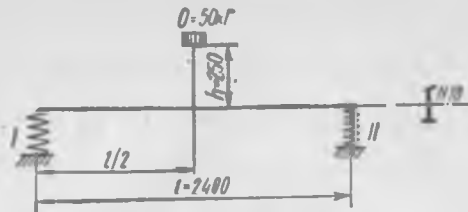
**16.9.** Икки пружинага таянувчи қўштавр балка ўртасига  $h$  баландликдан  $Q$  юк тушади (16.15-расм). Биринчи пружинанинг ўлчамлари  $D = 140 \text{ мм}$ ;  $d_1 = 16 \text{ мм}$ ;  $n = 12$ . Иккинчи пружинанинг ўлчамлари  $D = 85 \text{ мм}$ ;  $d_2 = 8 \text{ мм}$ ;  $n = 9$ . Пружина ма-



16. 13-расм.



16. 14-расм.



16. 15- расм.

териали учун силжиш модули  $G=8 \cdot 10^5 \text{ кГ/см}^2$ . Зарб пайтида балкадаги энг катта кучланиш аниқлансан. Пружинанинг амортизаторлик таъсири кўрсатилсан. Масалани ечишда балка масаси ҳисобга олинсан.

*Жавоби.*  $\sigma_d = 1140 \text{ кГ/см}^2$  (пружиналар билан);  $\sigma_d = 1635 \text{ кГ/см}^2$  (пружиналарсиз).

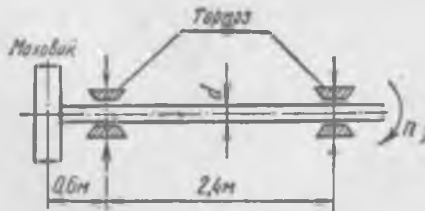
16.10.  $n = 50$  айл/мин бурчак тезлик билан айланувчи диаметри  $d = 100 \text{ мм}$  бўлган пўлат валга инерция моменти  $J_m = 1800 \text{ кГ}\cdot\text{см}\cdot\text{сек}^2$  бўлган маховик ўрнатилган (16.16-расм). Вални тусатдан тўхтатишда пайдо бўладиган энг катта динамик кучланишнинг миқдори аниқлансан. Валнинг массаси назарга олинмасин. Масала икки вариантда ечилсан:

- тормоз тузишма чап таянчга ўрнатилган,
- тормоз тузишма ўнг таянчга ўрнатилган.

*Жавоби.*  $\tau_d = 4060 \text{ кГ/см}^2$  (тормоз чап таянчда),  $\tau_d = 1820 \text{ кГ/см}^2$ .

### 16.3- §. ЭРКИНЛИК ДАРАЖАСИ БИТТА БЎЛГАН СИСТЕМАЛАРНИНГ ТЕБРАНИШИ

Куч импульсининг бир каррали таъсирида пайдо бўлиб кеъинчалик системанинг эластик кучи таъсирида давом этадиган эластик системанинг тебраниши эркин тебранишлар ёки хусусий тебранишлар дейилади. Бундай тебранишлар конструкция мустаҳкамлиги учун хавфли бўлиши мумкин



16. 16- расм.

эмас, чунки амалда хусусий тебранишни сўнишга мажбур этувчи ташқи ва ички қаршилик кучлари ҳамма вақт мавжуд дир. Лекин хусусий тебранишларнинг частотасини аниқлаш жуда катта амалий аҳамиятга эга, чунки уларнинг қийматлари мажбурий тебранишни ҳисоблаш учун зарурдир. Мажбурий тебраниш ўйғотовчи куч деб аталувчи куч таъсирида содир бўлади, унинг миқдори ёки йўналиши вақт бўйича даврий равишда ўзгариб туради. Мажбурий тебранишда конструкция қисмларида чарчастан емирилиш хавфи билан боғлиқ бўлган ҳамда вақтнинг функцияси сифатида ўзгарувчи кучланиш пайдо бўлади (XVII бобга қаранг). Хусусий тебраниш частотаси ўйғотовувчи куч частотаси (такрорлиги) билан устма-уст тушгандан тебранишнинг резонанс ҳодисаси рўй беради. Резонансда тебраниш амплитудалари йул қўйиш мумкин бўлмаган катта қийматга эришади (сунувчи тебраниш ҳисобга олинмаса, назарий жиҳатдан улар чексиз катта бўлади), демак эластик система шундай қилиб ҳисобланishi керакки, у резонанс частоталаридан етарлича олисда бўлган частоталар соҳасида ишласин.

Ўйғотовувчи куч частотаси —  $\omega$ , қоидага кура, берилган миқдор бўлиб, конструкцияни лойиҳалашда уни ўзгартирининг иложи йўқ, шу сабабли резонансдан „четлатиш“ учун хусусий тебранишнинг мос частотаси —  $\omega_0$  ни таъминлаш керак. Одатда, агар  $\omega_0$  частота  $\omega$  частотадан 30% дан кам фарқ қиласа, у ҳолда резонансдан „четлатиш“ таъминланган деб ҳисобланади. Эластик системанинг хусусий тебраниш частотаси унинг бикрлигига боғлиқ бўлади. Шундай қилиб, резонансдан „четлатиш“ учун конструкция бикрликка ҳисобланади, яъни система манинг шундай бикрлиги аниқланадики, унда  $\omega_0$  нинг миқдори юқорида кўрсатилган чегарадан катта бўлади. Системани резонансдан „четлатиш“ни бикрликка ҳисоблаш билан таъминлаб, яна уни кучланишнинг вақт давомида ўзгаришини эътиборга олиб, мустаҳкамликка текшириб кўриш керак (яъни бошқача қилиб айтганда уни чарчааш мустаҳкамлигига ҳисоблаш керак).

Эластик система чексиз кўп миқдордаги эркинлик даражасига, яъни система барча нуқталарининг вазиятини аниқловчи ўзаро боғлиқсиз координаталарга эга. Конструкцияни тебранишга ҳисоблашда унинг шундай ҳисобий схемаси танлаб олинадики, у ўзида конструкция ишининг барча асосий хусусиятларини ифода қилиши ва шу билан бир вақтда конструкция ҳисобини энг оддий йўллар билан бажаришга имконият бериши керак. Ҳисобланувчи система эркинлик даражасининг сони уни ҳисоблаш схемасини танлаб олиш билан аниқланади.

Масалан, тўпланган юк таъсиридаги балканинг ўз ўқига перпендикуляр тебранишида, унинг хусусий массаси эътиборга олинмаганда, система манинг эркинлик даражаси битта бўлади. Келтирилган мисолда балка ихтиёрий нуқтасининг вазияти

фақат битта координата юк құйилған иуқтанинг күчиши (сал-қилиги) билан аниқланади.

Құйида әркинлик даражасындағы физикалық қаралади. Әркинлик даражасындағы битта бүлганса системаның төзімділігін сипаттайтын күч таъсиридан құйидаги формула бүйічада аниқланади:

$$\omega_0 = \sqrt{\frac{g}{l_{cr}}} = \sqrt{\frac{C}{m}},$$

бу ерда  $g \approx 981 \text{ см/сек}^2$  — ернинг тортиш тезланиши;

$l_{cr}$  — төзімділік қаралади. Төзімділік қаралади жисем оғирлигига тенг бүлганса статик равишида құйилған күч таъсиридан ҳосил бүлувчи төзімділік қаралади;

$C$  — эластик системаның бикрлик коэффициенті булып, бир бирлікке тенг бүлганса қүчиши ҳосил қаралади;

$m$  — төзімділік қаралади.

Буралма төзімділік, масалан, вазнсиз валга ўрнатылған диск төзімділік қаралади

$$\omega_0 = \sqrt{\frac{C}{I_m}}.$$

Бу қолда бикрлик коэффициенті диск (шкив ва ҳ. к.) нынг ўрнатылған жоғында эластик система (вал) кесимининг буралыш бурчагини ҳосил қаралади ва катталык жиҳатидан бир-бирлікке тенг бүлганса моментни ифода қиласы.  $I_m$  — диск массасынан инерция моменті.

Доиравий частота  $2\pi$  секундда содир бүлувчи төзімділік қаралади. Доиравий частотаның үлчов бирлігі герц ( $\text{Гц}$ ), яғни  $\text{сек}^{-1}$  бүледи.

Төзімділік қаралади түшүнчесі таърифидан келиб чиқадын әркин төзімділік қаралади даври  $T_0$  құйидаги формула бүйічада топылади:

$$T_0 = \frac{2\pi}{\omega_0} = 2\pi \sqrt{\frac{l_{cr}}{g}} = 2\pi \sqrt{\frac{m}{C}}.$$

Вақт бүйічада гармоник қонун билан үзгартылған уйғотувчи күч

$$P = P_0 \sin \omega t,$$

бу ерда  $P_0$  — уйғотувчи күчтің максимал (амплитуда) қийматы;

$\omega$  — уйғотувчи күчтің үзгаришынан доиравий частотасы. Шу күч таъсирида мажбурий төзімділік қаралади оладын әркинлик даражасы бир бүлганса система учун төзімділік қаралади.

раниш амплитудаси құйидаги формула бүйіча аниқланады:

$$A_{\max} = \frac{P_0 \delta_{11}}{\sqrt{\left(1 - \frac{\omega^2}{\omega_0^2}\right)^2 + \frac{4\pi^2 n^2}{\omega_0^4}}}.$$

Келтирилған формулада  $P_0 \delta_{11} = \delta_{ct} - m$  массаның  $P_0$  күч унга статик құйилғанда олиши мүмкін бұлған құчиши.

Ушбу

$$k_x = \frac{1}{\sqrt{\left(1 - \frac{\omega^2}{\omega_0^2}\right)^2 + \frac{4\pi^2 n^2}{\omega_0^4}}}.$$

миқдор тебранишдаги динамик коэффициент (баъзан тебранишнинг үсіш коэффициенті) дейиллади. Тебранишга сұнишнинг таъсири сұниш параметри (ёки коэффициенті) деб аталағы ва  $n$  билан белгиланған. Уннинг қиймаги  $\text{сек}^{-1}$  ларда үлчамады. Қаршилик күчи тебранма ҳаракат тезлигига пропорционал бұлғанда (чизықлы сұнувчы система) — юқорида келтирилған формулалар айни шундай системага тааллуқлы —  $n$  миқдор ушбу нисбаттаған тенг бўлади:

$$n = \frac{x}{2\pi},$$

бу ерда  $x$  — қаршилик күчи билан тезлик орасидаги пропорционаллик коэффициенті. Пұлат конструкция учун тахминан  $n=0,012 \omega_0$  ни қабул қилиш мүмкін.

Сұниш бўлмаса (аниқроги, уннинг таъсири эътиборга олинмаса) динамик коэффициент формуласи құйидаги куринишини олади:

$$k_x = \frac{1}{\left|1 - \frac{\omega^2}{\omega_0^2}\right|}.$$

Уйғотувчи күч таъсирида ҳосил бўлған кучланишнинг амплитуда қиймати құйидаги формула бўйича аниқланади

$$\sigma_x = k_x \sigma_{ct},$$

бу ерда  $\sigma_{ct}$  — уйғотувчи кучнинг амплитуда қийматига тенг бўлған күч статик құйилғанда система ҳосил бўлиши мүмкін бўлған кучланиш. Мустаҳкамликка ҳисоблашда уйғотувчи күч таъсирида ҳосил бўладиган кучланиш билан бирга, система құйилған юқнинг оғирлиги (масалан, балқага ёки рамага ўрнатилған электр двигателнинг оғирлиги) таъсирида система ҳосил бўладиган вақт бўйича ўзгармас кучланишни ҳам ҳисобга олиш керак.



16. 17- расм.

**16.9- мисол.** Кўндаланг кесими поронали — ўзгарувчан пўлат валга маҳкамланган пўлат дискнинг хусусий буралма тебраниш частотаси аниқлансин (16.17-расм). Валнинг ўз массаси ҳисобга олинмасин.

Е ч и ш. Дискнинг марказий тешигини эътиборга олмасдан, яъни уни яхлит цилиндр каби қараб, диск массасининг инерция моментини аниқлаймиз. Назарий механика курсидан маълум бўлган ифодадан қўйидагини топамиз:

$$I_m = \frac{1}{2} m \frac{D^2}{4} = \frac{1}{2} \rho \frac{\pi D^2}{4} h \frac{D^2}{4} = \frac{\pi \rho D^4 h}{32},$$

бу ерда  $\rho = 7,85 \cdot 10^3 \text{ кг}/\text{м}^3$  — диск материалининг зичлиги. Со нийматларни қўйиб, қўйидаги натижани ҳосил қиласин:

$$I_m = \frac{3,14 \cdot 7,85 \cdot 10^3 \cdot 0,6^4 \cdot 0,08}{32} = 7,98 \text{ кг} \cdot \text{м}^2.$$

Валнинг эркин учи кесимига қўйилган буровчи момент  $M_b$  (бу моментнинг миқдори ихтиёрий) таъсиридан ҳосил бўладиган шу кесимнинг буралиш бурчаги учун тенглама тушиб, валнинг бикрлик коэффициентини аниқлаймиз:

$$\varphi = \frac{M_b a}{G \frac{\pi}{32} d^4} + \frac{M_b a^2}{G \frac{\pi}{32} \left(\frac{3d}{2}\right)^4} = \frac{32 M_b a}{G \pi d^4} \left(1 + \frac{32}{81}\right) = \frac{361 M_b a}{81 G \pi d^4}.$$

Бикрлик коэффициенти

$$C = \frac{M_b}{\varphi} = \frac{81 G \pi a^4}{361 a} = \frac{81 \cdot 8 \cdot 10^{10} \cdot 3,14 \cdot 4^4 \cdot 10^{-8}}{361 \cdot 0,5} = 28,8 \cdot 10^8 \text{ Н} \cdot \text{м}.$$

Дискнинг хусусий буралма тебраниш частотаси:

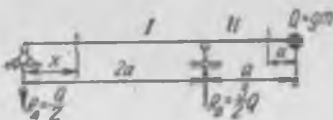
$$\omega_0 = \sqrt{\frac{C}{I_m}} = \sqrt{\frac{28,8 \cdot 10^8}{7,98}} = 60 \text{ сек}^{-1}.$$

**16.10- мисол.** Консолнинг учидаги  $m$  массали юк бўлган балканнинг хусусий тебраниш частотаси аниқлансин (16.18-расм). Масала балканнинг ўз массаси  $m_b$  ни эътиборга олмасдан ва эътиборга олган ҳолда ечилсин.

Е ч и ш. Балканнинг хусусий тебраниш частотасини аниқлаш учун консол учининг  $Q = mg$  статик нагруззука таъсиридан оладиган салқилигини (эгалишини) топамиз. Балка таянч реакцияларини аниқлаб (16.18-расмда кўрсатилган),  $I$  ва  $II$  учасгалар учун эластик чизиқ тенгламаларини тузамиз.

### I участка учун

$$EJy^I = EJ\theta_0 x - \frac{1}{2} Q \frac{x^3}{6}.$$



Бу тенгламани тузишда координаталар бошида (чап таянчда) салқиликнинг нолга тенг эканлиги эътиборга олинган. Координаталар бошида кесимнинг буралиш бурчагини топиш учун бошланғич шарт  $y_{x=2a}^I = 0$  дан фойдаланамиз (ўнг таянчда салқилик нолга тенг):

$$0 = EJ\theta_0 2a - \frac{1}{2} Q \frac{(2a)^3}{6},$$

бундан

$$EJ\theta_0 = \frac{Qa^2}{3}.$$

Оқибат натижада I участка учун эластик чизик тенгламаси қўйидаги кўринишда бўлади:

$$EJy^I = \frac{Qa^2}{3} x - \frac{Qx^3}{12}.$$

### II участка учун

$$EJy^{II} = EJ\theta_0 x - \frac{Qx^2}{12} + \frac{3}{2} \frac{Q(x-2a)^3}{6} = \frac{Qa^2}{3} x - \frac{Qx^3}{12} + \frac{Q(x-2a)^3}{4}.$$

Охирги тенгламага  $x = 3a$  қийматни қўйиб, консол учи салқилигининг миқдорини топамиз:

$$EJy_{x=3a}^{II} = Qa^2 \left( \frac{3}{3} - \frac{3^3}{12} + \frac{1}{4} \right) = -Qa^3.$$

Балка массасини эътиборга олмагандан хусусий тебраниш частотаси:

$$\omega_0 = \sqrt{\frac{g}{\delta_{cr}}},$$

бу ерда

$$\delta_{cr} = |y_{x=3a}^{II}| = \frac{Qa^3}{EJ} = \frac{gma^3}{EJ}.$$

Шундай қилиб,

$$\omega_0 = \sqrt{\frac{EJ}{m a^3}},$$

Балканинг массаси юк массаси жойлашган нуқтага худди зарбага ҳисоблашдаги каби келтирилади. Балканинг бутун массаси қандай кинетик энергияга эга бўлса, нуқтавий (келтирилган) масса ҳам шундай кинетик энергияга эга булиши керак. Одатда, динамик кўчиш эпюраси статик кўчиш эпюраси

сига ўшаш деб фараз қилинади, натижада келтириш коэффициенти учун құйидаги формула ҳосил қилинади (шунингдек, 320, 321-бетларга қаранг):

$$\beta = \frac{\int_0^L (\delta_{ct} m_6)^2 dm_6}{\delta_{ct}^2 m_6},$$

бу ерда  $dm_6 = \rho F dx : \rho$  — балка материалининг зичлиги;  
 $F$  — балка кесимининг юзи.  $m_6 = \rho F l = \rho F 3a$ .

$\beta$  ни ҳисоблашда координата бошими балканинг ўнг учиға жойластириб, балканинг иккінчи участкаси учун эластик чизик тенгламасини тузиш мақсадда мувоғиқ бўлади (16.18-расмга қаранг). Бу тенгламани тузиш учун салқилик (у юқорида аниқланган) ҳамда консол учидағи кесимининг буралиш бурчаги маълум бўлиши керак.  $y^{II}$  учун аввал тузилган тенгламани дифференциаллаб, құйидагини топамиз:

$$EI \theta^{II} = \frac{Qa^2}{3} - \frac{Qa^2}{4} + \frac{3}{4} Q(x - 2a)^2.$$

Бунга  $x = 3a$  қийматни қўйсак:

$$EI \theta^{II}_{x=3a} = Qa^2 \left( \frac{1}{3} - \frac{9}{4} + \frac{3}{4} \right) = -\frac{7}{6} Qa^2.$$

II участка учун эластик чизик тенгламаси\*.

$$EIy^{II} = -Qa^3 + \frac{7}{6} Qa^2 u - Q \frac{u^3}{6};$$

бу ерда  $u$  — балканинг ўнг учидан бошлаб ҳисобланадиган кесим абсциссаси.

Келтириш коэффициенти учун ҳосил қилинган ифода бавзи бир оддий қисқартыршлардан сўнг құйидаги кўринишни олади:

$$\begin{aligned} \beta &= \frac{\int_0^{2a} \left( \frac{a^2 x}{3} - \frac{x^3}{12} \right) dx + \int_0^a \left( -a^2 + \frac{7a^2 u}{6} - \frac{u^3}{6} \right)^2 du}{a^2 3a} = \\ &= \frac{\frac{64}{945} - \frac{3318}{11340}}{3} \approx 0,121. \end{aligned}$$

\* Координата бошк балканинг ўнг учида бўлганда ва абсцисса ўки чапга қараб йўналганда буралиш бурчагининг ишораси чапдан ўнгга томон йўналган абсциссалда ҳосил қилинган ишорага нисбатан қарама-қаршиңига ўзgartирилни керак.

Балка массасини ҳисобга олганда эркин тебраниш частотасы қуйидаги ифодадан аниқланади:

$$\omega_0' = \sqrt{\frac{g}{\delta_{ct} \frac{m - \bar{m}_0}{m}}}$$

бу ерда  $\delta_{ct}$  — юк оғирлиги таъсиридан ҳосил бўладиган статик салқилик.

$$\omega_0 = \sqrt{\frac{EJ}{ma^3 \left(1 - 0,121 \frac{m_0}{m}\right)}}$$

**16.11- мисол.** 30 а-номерли құштаврдан тайёрланган консоль балка учига оғирлиги  $Q = 3T$  бўлган двигател ўрнатилган (16.19- расм). Системанинг эркин тебранишлар даври ва резонанс бошланишида двигатель валининг бурчак тезлиги топилсин. Балканинг ўз оғирлиги эътиборга олинмасин.

Е ч и ш. Эластик системанинг эркин (хусусий) тебранишлар даврини қуйидаги формула бўйича аниқлаймиз:

$$T_0 = 2\pi \sqrt{\frac{\delta_{ct}}{g}},$$

бу ерда  $\delta_{ct} = f = \frac{Ql^3}{3EJ} = Q$  юк статик қўйилгандаги консоль салқилигининг стреласи.

Сон қийматларни қўйиб, қуйидагини топамиз:

$$\delta_{ct} = f = \frac{Ql^3}{3EJ} = \frac{3000 \cdot (1,2)^3 \cdot 10^6}{3 \cdot 2 \cdot 10^4 \cdot 2 \cdot 7780} = 5,55 \cdot 10^{-2} \text{ см},$$

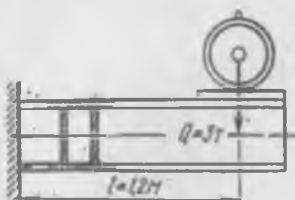
бу ерда ГОСТ 8239-56 га асосан  $J = 2J_x = 2 \cdot 7780 \text{ см}^4$  қабул қилинади. У вақтда:

$$T_0 = 2\pi \sqrt{\frac{\delta_{ct}}{g}} = 2\pi \sqrt{\frac{5,55 \cdot 10^{-2}}{981}} = 0,0472 \text{ сек.}$$

Агар двигатель ротори мувозатнамаганилиги туфайли уйғотувчи куч ҳосил қилса, у ҳолда тебраниш резонанс қуйидаги тенгликда

$$\omega_0 = \omega_{cp}$$

бошланишини назарга олиб, двигатель валининг (критик) бурчак тезлигини аниқлаймиз.



16.19-расм.

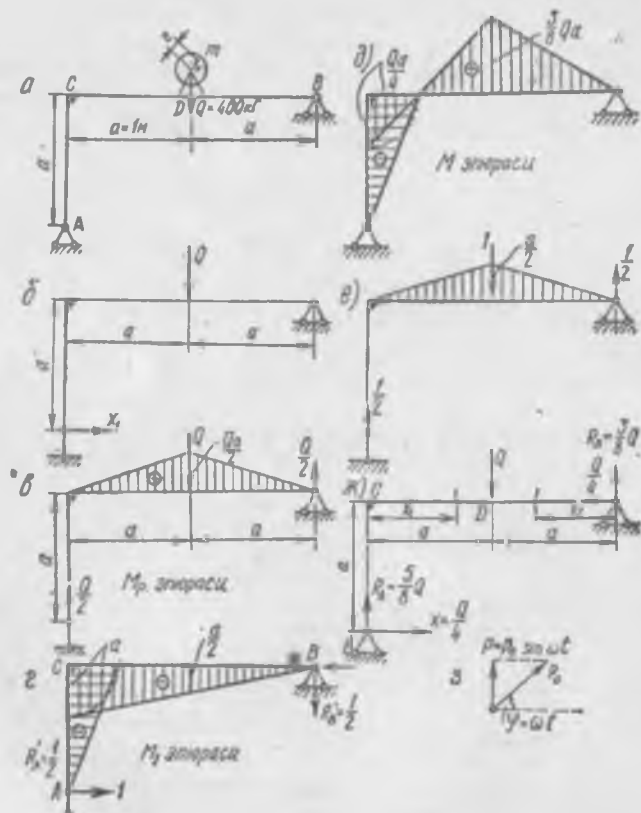
Эркин тебранишнинг доиравий частотаси учун қўйидаги формулани қўллаймиз:

$$\omega_{kp} = \omega_0 = \sqrt{\frac{g}{\delta_{ct}}} = \sqrt{\frac{981}{5,55 \cdot 10^{-2}}} = 133,5 \text{ рад/сек.}$$

ёки

$$n_{kp} = \frac{30 \omega_{kp}}{\pi} = \frac{30 \cdot 133,5}{3,14} = 1273 \text{ айл/мин.}$$

**16.12-мисол.** Рамага ўрнатилган (16.20-расм, *a*) двигатель оғирлигидан ва двигатель ротори билан айланувчи  $m = 5 \text{ кг}$  массасининг таъсиридан раманинг мажбурий тебраниш амплитудаси ҳамда ҳавфли кўндаланг кесимида пайдо бўладиган энг катта нормал кучланиш аниқлансин. Айланувчи массасининг елкаси (эксцентриситети)  $r = 5 \text{ см.}$  Двигатель валининг бур-



16. 20- расм.

чак тезлиги  $n = 940$  айл/мин. Рама кесими томони  $b = 8 \text{ см}$  булган квадрат;  $E = 2 \cdot 10^6 \text{ кГ/см}^2$ .

Раманинг вазни эътиборга олинмасин.

Ечиш. Берилган система бир марта статик аниқмас.  $Q$  куч статик қўйилган деб фараз қилиб статик аниқмасликни ечамиз. Бу ҳолда куч методининг каноник тенгламаси қўйидаги кўринишда бўлади (9.3-§ га қаранг):

$$\delta_{11}X_1 + \Delta_{1P} = 0.$$

$\delta_{11}$  ва  $\Delta_{1P}$  катталикларни Верешчагин қоидасини татбиқ этиб, Мор усули бўйича ҳисоблаймиз.

16.20-расм,  $b$  да берилган нагрузка ва изланувчи ортиқча номаълум реакция кучи таъсиридаги асосий система берилган. Юкланган ва бирлик эпюралари 16.20- расм,  $a$ ,  $e$  ларда кўрсатилган.

$$\delta_{11} = \frac{1}{EJ} \left( \frac{a \cdot a}{2} \cdot \frac{2}{3} a + \frac{a \cdot 2a}{2} \cdot \frac{2}{3} a \right) = \frac{a^3}{EJ};$$

$$\Delta_{1P} = -\frac{1}{EJ} \left( \frac{1}{2} \cdot \frac{Qa}{2} + 2a \cdot \frac{a}{2} \right) = -\frac{Qa^3}{4EJ}.$$

Энди

$$X_1 = -\frac{\Delta_{1P}}{\delta_{11}} = \frac{Qa^3}{4a^3} = \frac{Q}{4} = \frac{400}{4} = 100 \text{ кГ},$$

Берилган система учун эгувчи моментнинг оқибат натижадаги эпюраси 16.20-расм,  $\delta$  да берилган.  $Q$  куч таъсиридан берилган системадаги  $\delta_Q$  кўчиш (салқилик) ни аниқлаймиз.

Асосий системага  $D$  кесимда излананаётган кўчиш йўналиши бўйича бирлик кучни қўймиз (16.20-расм,  $e$ ). Шу расмнинг ўзида эгувчи моментнинг мос эпюраси кўрсатилган. Уни Верешчагин қоидасига кўра 16.20- расм,  $\delta$  да кўрсатилган эпюрага кўйлайтириб, қўйидагини топамиз:

$$\begin{aligned} \delta_Q &= \frac{1}{EJ} \left[ \frac{1}{2} \cdot \frac{3}{8} Qa^2 \cdot \frac{2}{3} \cdot \frac{a}{2} + \frac{1}{2} \cdot \frac{3}{8} Qa^2 \cdot \frac{2}{3} \cdot \frac{a}{2} - \right. \\ &\quad \left. - \frac{1}{2} \frac{Qa}{4} \cdot a \cdot \frac{1}{3} \cdot \frac{a}{2} \right] = \frac{Qa^3}{EJ} \left( \frac{1}{15} + \frac{1}{16} - \frac{1}{48} \right) = \frac{5}{48} \cdot \frac{Qa^3}{EJ}. \end{aligned}$$

Берилган сон қийматларни қўйиб, қўйидаги натижани топамиз:

$$\delta_{ct} = \delta_Q = \frac{5Qa^3}{48EJ} = \frac{5 \cdot 400 \cdot 10^6 \cdot 12}{48 \cdot 2 \cdot 10^6 \cdot 8} = 6,11 \cdot 10^{-2} \text{ см.}$$

Рама хусусий тебранишининг доиравий частотаси:

$$\omega_0 = \sqrt{\frac{k}{\delta_Q}} = \sqrt{\frac{981}{6,11 \cdot 10^{-2}}} = 127 \text{ рад.}$$

Мувозанатланмаган  $m$  масса айланишидан пайдо бўладиган марказдан қочма куч:

$$P_0 = m\omega^2 r.$$

Бу кучнинг вертикал ташкил этувчиси гармоник ўйғотувчи кучдир (16.20-расм, з):

$$P = P_0 \sin \omega t.$$

$P$  куч таъсирида ҳосил бўладиган мажбурий тебранишлар доиравий частотаси

$$\omega = \frac{\pi n}{30} = \frac{3,14 \cdot 940}{30} = 98,6 \text{ рад/сек.}$$

Ўйғотувчи кучнинг максимал қиймати

$$P_0 = m\omega^2 r = 5 \cdot 98,6^2 \cdot 5 \cdot 10^{-2} = 2430 \text{ н} \approx 248 \text{ кГ.}$$

Бу куч статик равишда қўйилганда ригель ўртасининг салқилиги

$$\delta_{ct} = \frac{5P_{ct}r^2}{48EJ} = \frac{5 \cdot 248 \cdot 10^6 \cdot 12}{48 \cdot 2 \cdot 10^6 \cdot 8^4} = 3,78 \cdot 10^{-2} \text{ см.}$$

Тебранишнинг сўниши эътиборга олинмагандан динамик коэффициент

$$k_d = \frac{1}{1 - \frac{\omega^2}{\omega_0^2}} = \frac{1}{1 - \frac{98,6^2}{127^2}} = \frac{1}{1 - 0,602} = 2,51.$$

Рама мажбурий тебранишларининг амплитудаси

$$A_{max} = k_d \delta_{ct} = 2,51 \cdot 3,78 \cdot 10^{-2} = 9,49 \cdot 10^{-2} \text{ см.}$$

Двигатель оғирлиги таъсиридан раманинг хавфли кунда-ланг кесимида пайдо бўладиган энг катта нормал кучланиш (16.20-расм, д га қаранг):

$$\sigma_Q = \frac{\max M_Q}{W} = \frac{\frac{3}{8} Qa}{\frac{b^4}{6}} = \frac{18 \cdot 400 \cdot 100}{8 \cdot 8^3} = 176 \text{ кГ/см}^2.$$

Ўйғотувчи куч таъсиридан ўша кесимда пайдо бўладиган энг катта нормал кучланиш

$$\max \sigma_d = k_d (\max \sigma_{ct}) = k_d \frac{\frac{3}{8} P_{ct}}{W} = 2,51 \cdot \frac{18 \cdot 248 \cdot 100}{8 \cdot 8^3} = 278 \text{ кГ/см}^2.$$

Динамик кучланиш вақт ўтиши билан симметрик цикл бўйича ўзгаради (XVII бобга қаранг). Йиғинди кучланиш хавф-

ли кесимнинг хавфли нуқталарида тескари симметрик цикл бўйича ўзгаради; бунда максимал кучланиш

$$\sigma_{\max} = \sigma_Q + \max \sigma_d = 176 + 278 = 454 \text{ кГ/см}^2$$

ва минимал кучланиш

$$\sigma_{\min} = \sigma_Q - \max \sigma_d = 176 - 278 = -102 \text{ кГ/см}^2.$$

Шуни қайд қилиш керакки, мазкур ҳолда тебранишнинг сўнишини ҳисобга олиш амалда ҳисоблаш натижасига таъсир кўрсатмайди. Ҳақиқатан ҳам, сўниш параметрини  $n = 0,012 \omega_0$  қабул қилиб (330-бетга қаранг), динамик коэффициентининг қўйидаги қийматини ҳосил қиласиз:

$$k_d = \frac{1}{\sqrt{\left(1 - \frac{\omega^2}{\omega_0^2}\right)^2 + 4 \frac{n^2 \omega^2}{\omega_0^2}}} = \frac{1}{\sqrt{\left(1 - \frac{\omega^2}{\omega_0^2}\right)^2 + 4 \frac{(0,012 \omega_0)^2 \omega^2}{\omega_0^4}}} = \\ = \frac{1}{\sqrt{\left(1 - \frac{98,6^2}{127^2}\right)^2 + 4 \frac{0,012^2 \cdot 98,6^2}{127^2}}} = \frac{1}{\sqrt{0,16 + 3,456 \cdot 10^{-3}}} \approx 2,47,$$

у сўниши эътиборга олмасдан ҳисобланган қийматдан бор-аўги 1,6% га фарқ қиласи.

### Мустақил ечиш учун масалалар

**16.11\***. Қўйидаги эксперимент натижалари асосида электр двигатель ротори массасининг инерция моменти аниқлансин. Ротор калибрланган пўлат симга осилган (16.21-расм), сўнгра у бирор бурчакка бураб (сим буралган), ўз ҳолига қўйиб юборилган. Шундан кейин ротор 1 минутда 40 та тўла тебранди. Ҳисоблашда сим материалининг силжиш модули  $G = 7,8 \times 10^5 \text{ кГ/см}^2$  деб қабул қилинсин.

$$\text{Жавоби. } I_m = 1,39 \cdot 10^{-2} \text{ кг} \cdot \text{м}^2.$$

**16.12.** Массаси  $m = 3200 \text{ кг}$  бўлган электр двигатель қуштаври балкага ўрнатилган (16.22-расм). Электр двигатель вали 970 айл/мин бурчак тезлик билан айланади. Балканинг хусусий тебраниш частотаси двигатель роторининг мувозанатланмаганлигидан пайдо бўладигак ўйғотовчи куч частотасидан 30% га юқори эканлиги шартидан фойдаланиб, қуштавр профилининг керакли номери аниқлансин. Балка массаси эътиборга олинмасин.

$$\text{Жавоби. } 50\text{-номерли.}$$

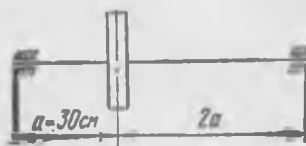
\* А. А. Лапинининг „Колебания и вибрации в машинах“ китобидан олиб кўчирилган, Машғиз, 1953.



16. 21- расм.



16. 22- расм.



16. 23- расм.

**16.13.** Диаметри  $D = 500 \text{ мм}$ , оғирлиги  $Q = 125 \text{ кг}$  бүлган диск диаметри  $d = 65 \text{ мм}$  ли валга ўрнатилган. Валнинг хусусий кўндаланг ва айланган тебранишларининг частотаси аниқлансин (16.23- расм).

*Жавоби.*  $\omega_{\text{окид.}} = 125 \text{ 1/сек.}$   
 $\omega_{\text{обур}} = 200 \text{ 1/сек.}$

## XVII бөб

### ҮЗГАРУВЧАН КУЧЛАНИШЛАР

#### 17.1-§. ТОЛИҚИШДАГИ МУСТАҲКАМЛИК ТҮФРИСИДА АСОСИЙ ТУШУНЧАЛАР

##### 1. Умумий тушунчалар

Машина ёки иншоотларнинг қисмлари миқдори үзгариб турадиган ва жуда күп марта такрорланувчи кучланишлардан вақт давомида үзгармайдиган кучланишга қараганда анча кичик кучланишларда ҳам емирилади. Деталниң энг күп кучланиш жойида жуда ҳам мағда дарзлар (микродарз) пайдо бўлади, улар кенгая бориб, кесимни заифлаширади ва детални емирилишга олиб келади. Материалларнинг үзгарувчан кучланишлардан емирилиш ҳодисасига материалниң толиқиши деб аталади. Материалниң үзгарувчан кучланишнинг кўпкаррали таъсирини емирилмасдан қабул қила олиш қобилиятига унинг чидамлилиги ёки циклик мустаҳкамлиги деб аталади.

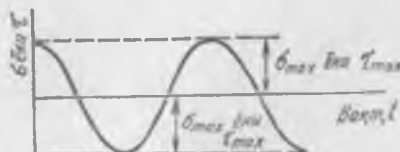
Берилган материал намунасида циклнинг энг катта (чекли) максимал кучланиши таъсиридан иктиёрий кўп сондаги циклардан кейин толиқишдаги емирилиши содир бўлмаса, у ҳолда циклнинг бундай кучланишига чидамлилик чегараси деб аталади.

Материалниң бу характеристикаси  $\sigma_R$  билан белгиланади.

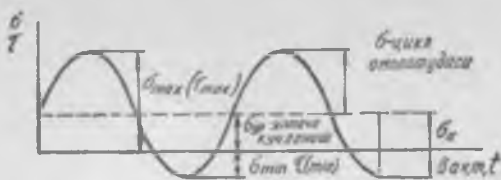
Миқдори үзгарувчан кучланишлар таъсиридаги детални мустаҳкамликка ҳисоблаш чидамлиликка ҳисоблаш ёки толиқишдаги мустаҳкамликка ҳисоблаш деб аталади.

Үзгарувчан кучланишлар икки хил бўлади: 1) симметрик цикл, бунда энг катта ва энг кичик кучланишлар ( $\sigma$  ёки  $\tau$ ) нинг катталиклари бир хил ва қарама-қарши ишорали (17.1-расм). 2) симметрик бўлмаган (асимметрик) цикл (17.2-расм), бунда энг катта ва энг кичик кучланишлар катталиги ҳар хил.

Кучланиш циклининг асосий параметрлари мак-



17. 1-расм.



17. 2-расм.

симал ва минимал кучланишлар  $\sigma_{\max}$  ва  $\sigma_{\min}$  (ёки  $\tau_{\max}$  ва  $\tau_{\min}$ ), шунингдек кучланиш амплитудаси

$$\sigma_a = \frac{\sigma_{\max} - \sigma_{\min}}{2} \quad (\text{ёки } \tau_a = \frac{\tau_{\max} - \tau_{\min}}{2})$$

ва циклнинг ўртача кучланиши\*

$$\sigma_{y_p} = \frac{\sigma_{\max} + \sigma_{\min}}{2} \quad (\text{ёки } \tau_{y_p} = \frac{\tau_{\max} + \tau_{\min}}{2})$$

бўлади.

Циклдаги минимал кучланишнинг максимал кучланишга нисбати циклнинг асимметриклик коэффициенти деб аталади.

$$R_s = \frac{\sigma_{\min}}{\sigma_{\max}} \quad (\text{ёки } R_s = \frac{\tau_{\min}}{\tau_{\max}}).$$

$R$  остидағи индекс кўпинча тушириб қолдирилади.

Цикл характеристикаси деб, қўйидаги нисбатга айтилади:

$$\rho = \frac{\tau_s}{\tau_{y_p}} \quad (\text{ёки, } \rho = \frac{\tau_s}{\tau_{y_p}}).$$

Максимал ёки минимал кучланишлари нолга тенг бўлган циклларга нолдан бошланувчи ёки пульсацияланувчи цикллар дейилади (17.3-расм, а, б).

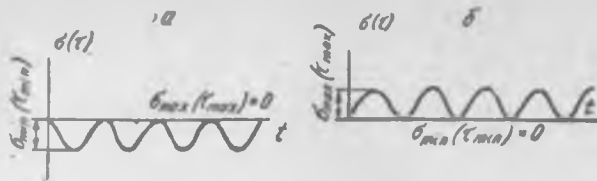
Симметрик циклда (17.1-расмга қаранг)

$$\sigma_{\max} = -\sigma_{\min}; \quad (\tau_{\max} = -\tau_{\min}); \quad \sigma_{y_p} = 0; \quad R = -1; \quad \sigma_R = \sigma_{-1}.$$

Ишораси ўзгарувчи симметрик циклда (17.2-расмга қаранг)

$$\sigma_{\max} > 0 (\tau_{\max} > 0); \quad \sigma_{\min} < 0 (\tau_{\min} < 0); \quad -1 < R < 0.$$

\* Циклнинг ўртача кучланиши кўпинча  $\sigma_m$  билан белгиланади.



17. 3-расм.

Мусбат ўртача кучланиши нолдан бошланувчи циклда (17.3-расм, б га қараңг):

$$\sigma_{\max}(\text{ёки } \tau_{\max}) > 0; \sigma_{\min}(\text{ёки } \tau_{\min}) = 0; \\ \sigma_a = \sigma_{yp} - \frac{\sigma_{\max}}{2} \quad (\text{ёки } \tau_a = \tau_{yp} - \frac{\tau_{\max}}{2}); \quad R=0; \sigma_R = \sigma_0.$$

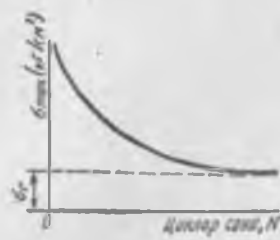
## 2. Материалнинг чидамлилик чегарасини тажрибада аниқлаш

Юқорида курсатилганидек, чидамлилик  $\sigma_R$  ёки  $\tau_R$  билан белгиланади, бу ерда индексдаги  $R$ —циклининг асимметриклик коэффициенти, масалан,  $\sigma_{-1}$  — нормал кучланиш симметрик циклда ўзгарғандаги чидамлилик чегараси;  $\tau_0$ —уринма кучланиш нолдан бошланувчи циклда ўзгарғандаги чидамлилик чегараси.

Чидамлилик чегараси материалларнинг толиқишидаги мустаҳкамлигининг асосий характеристикаси бұлади. Симметрик циклдаги чидамлилик чегараси энг паст қийматта зәға бұлади, шуннинг учун бу цикл энг хавфli ҳисобланади.

Симметрик циклдаги чидамлилик чегарасининг миқдори ( $\sigma_{-1}$  ёки  $\tau_{-1}$ ) тажриба натижалари асосида аниқланади.

Бир хил намуналар сериясини кучланишининг ҳар хил миқдорларда синааб күриб, сұнgra синаш натижаларининг графигини ясаб, 17.4-расмда курсатылған чидамлилик өгри чизиқ ҳосил қылданади. Бу ерда  $\sigma_{\max}$  (ёки  $\tau_{\max}$ ) дарз (кеシリш) пайдо бўлгунга қадар цикллар сони  $N$  нинг функцияси сифатида берилган. Аввал  $\sigma_{\max}$  (ёки  $\tau_{\max}$ )  $N$  сонининг катталашши билан тез кичиклаша боради, сұнgra бу кичиклашиш секинлашади ва өгри чизиқ асимптотик равишда



17. 4-расм.

горизонтал түғри чизиққа яқинлашады. Бундай асимптотанинг ординатасында мос келувчи кучланишнинг қиймати чидамлилик чегарасы учун қабул қилинады.

### 3. Чидамлилик чегарасы билан мустаҳкамлик чегарасы орасындағы муносабат

Жуда күп тажрибалар асосида симметрик зәгилиш ( $\sigma_{-1}$ ) даги симметрик ўқ бўйлаб чузилиш-сиқилиш ( $\sigma_{-14}$ ) даги, симметрик буралиш ( $\tau_{-1}$ ) даги чидамлилик чегарасы билан мустаҳкамлик чегарасы (вақтли қаршилик)  $\sigma_m$  орасида қўйидаги тақрибий муносабат мавжудлиги аниқланган:

Углеродли пулат учун  $\sigma_{-1} \approx (0,4 \div 0,45) \sigma_m$ .

Легирланган пулат учун

$$\sigma_{-1} \approx 0,35 \sigma_m + (7 \div 12) \text{ кГ/мм}^2.$$

Чуян учун  $\sigma_{-1} \approx 0,4 \sigma_m$

Пулат учун

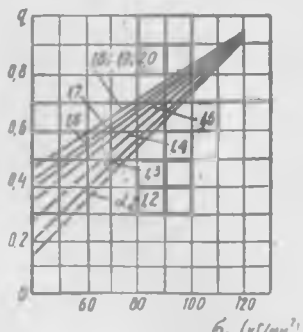
$$\sigma_{-14} \approx (0,7 \div 0,9) \sigma_{-1}; \tau_{-1} \approx (0,5 \div 0,6) \sigma_{-1}.$$

### 4. Турил факторларнинг чидамлилик чегараси миқдорига таъсирі

Иншоот ёки машина деталларининг чидамлилик чегараси гайдерланган материалининг хоссасигагина боғлиқ булмасдан, балки деталнинг катта-кичиклигига, шаклига, тайёрлаш усулуга ва эксплуатация шароитига ҳам боғлиқдир.

*Кучланишлар түплами.* Деталнинг кўндаланг ўлчамлари кескин ўзгарадиган жойларда, тешикларда, кертикларда, ўйимларда ва шунга ўхшаш жойларда кучланиш түпланиши ҳодисаси содир бўлади. Кучланиш түпланишини келтириб чиқарувчи конструкция элементлари (тешик, ўйим ва х. к.) эса кучланиш түплагичлар (концентраторлар) деб аталади.

Статик юклашда кучланиш түплагичлар занфлаштирган кесимдаги максимал кучланиш ( $\sigma_{\text{занф катта}}$  ёки  $\tau_{\text{занф катта}}$ ) нинг номинал кучланишга ( $\sigma$  ёки  $\tau$ ) нисбати кучланиш түплами ининг назарий коэффициенти деб аталади ва  $\tau_0$  (ёки  $\sigma_0$ ) билян белгиланади. Кучланиш узгарувчан булганида куч-

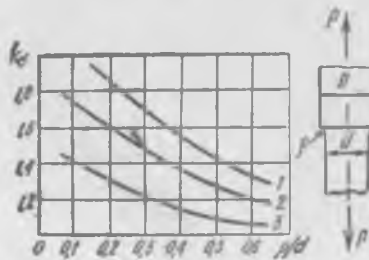


17. 5-расм.



17.6-расм. Ўйнмали вал учун эгилишда кучланиш тўплами назарий коэффициентининг

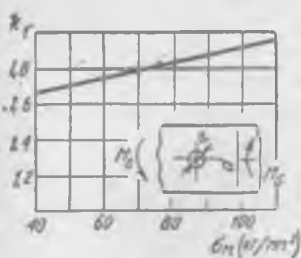
графиги;  $\frac{t}{r} = 1$ ;  $d = 30 \div 50 \text{ мм.}$



17.7-расм. Погонали вал учун чўзилишсиқилишда кучланиш тўплами эффектив коэффициентларининг графиклари. Нисбат  $\frac{D}{d} = 2$ ;  $d = 30 \div 50 \text{ мм.}$

Мустаҳкамлик чегаралари:

1 —  $\sigma_m = 120 \text{ кГ/мм}^2$  бўлган пўлат учун; 2 —  $\sigma_m = 80 \text{ кГ/мм}^2$  бўлган пўлат учун; 3 —  $\sigma_m = 40 \text{ кГ/мм}^2$  бўлган пўлат учун.



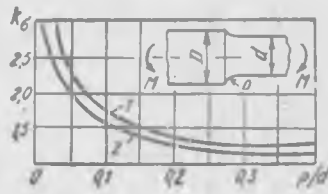
17.8-расм. Кўндаланг тешикли вал учун буралнишда кучланиш тўплами коэффициентининг графики;  $d = 30 \div 50 \text{ мм.}$

$$\frac{a}{d} = 0,05 \div 0,25,$$

$$\tau = \frac{M_e}{W_p \text{ нетто}} +$$

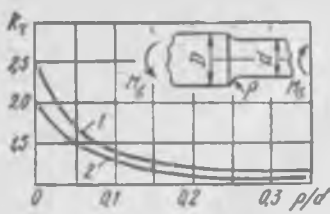
бу ерда

$$W_p \text{ нетто} \approx \frac{\pi a^3}{16} \left( 1 - \frac{a}{d} \right).$$



17.9-расм. Погонали вал учун эгилишда кучланиш тўплами коэффициентларининг графиклари. Нисбат  $\frac{D}{a} = 2$ ;  $d = 30 \div 50 \text{ мм.}$  Мустаҳкамлик чегарадари:

1 —  $\sigma_m = 120 \text{ кГ/мм}^2$  бўлган пўлат учун; 2 —  $\sigma_m = 80 \text{ кГ/мм}^2$  бўлган пўлат учун.

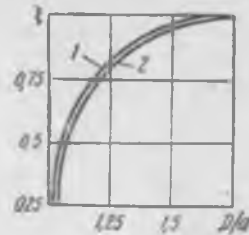


17. 10-расм. Погонали вал учун буралышда кучланиш түпламининг эффективтис коэффициентларининг графилари.

Нисбат  $\frac{D}{d} = 2$ ;  $d = 30 \div 50 \text{ мм}$ .

Мустаҳкамлик чегаралари:

1 —  $\sigma_m = 120 \text{ кГ/мм}^2$  бўлган пўлат учун; 2 —  $\sigma_m = 50 \text{ кГ/мм}^2$  бўлган пўлат учун.



17. 11-расм. Тузатма коэффициентларининг  $\frac{D}{d}$  (17.9 ва 17.10-расмлардаги) нисбатга кўра графиклари.

1 — ёғилиш; 2 — буралыш.

Агар  $\frac{D}{d} < 2$  бўласа, у вактда  $k_d$  ( $k_0$ ) ни куйидаги формула бўйича аниқлаш керак:

$$k_d = 1 + \xi \quad (k_0 - 1),$$

бу ерда  $k_{\infty} = 17.9$  ёки 17.10-расмлардаги графиклардан топилган коэффициент.

ланиш түпламининг эффективтис коэффициенти  $k_s$  (ёки  $k_t$ ) тушунчаси киритилади:

$$k_s = \frac{\tau_{-1}}{\sigma_{-1k}} \text{ ёки } k_t = \frac{\tau_{-1}}{\tau_{-1k}}.$$

Кучланиш түпламининг эффективтис коэффициенти силлиқ намунанинг симметрик циклдаги чидамлилик чегараси ( $\sigma_{-1}$  ёки  $\tau_{-1}$ ) ни ўша ўлчамли, лекин кучланиш түплагичн бўлган намунанинг чидамлилик чегараси ( $\sigma_{-1k}$  ёки  $\tau_{-1k}$ ) га нисбатини ифода қиласди.  $k_s$  ( $k_t$ ) коэффициент чидамлилик чегарасига фақатгина түплагич геометриясининг таъсирини курсатмасдан, балки намуна магериалининг таъсирини ҳам акс эттиради. Кучланиш түпламининг назарий ва эффективтис коэффициентлари орасидаги муносабат қуидидаги формула билан ифодаланади:

$$k_s = 1 + q(\alpha_s - 1),$$

бу ерда  $q$  — материалнинг кучланиш түпламига сизгирлик коэффициентини ифодалайди.

17.5-расмда ҳар хил марказдаги пулатлар учун  $q$  тақрибий қийматларининг кучланиш түпламининг коэффициенти  $\alpha_s$  ва пулатнинг мустаҳкамлик чегараси  $\sigma_m$  ларга боғлиқ бўлган графиклари келтирилган.

17.6-расмда ўйимли вал учун кучланиш түплами назарий коэффициентининг графиги берилган.

Кучланиш түплами эффективтүсийн нинг миқдори тажриба натижалари асосида тузилган график ёки жадвалдан олинади.

17.7—17.10-расмларда турли валлар<sup>\*</sup> учун кучланиш түплами эффективтүсийн коэффициентларининг графиклари көлтирилган.

17.11-расмда  $\frac{D}{d}$  нисбат учун тузатиш коэффициенти қийматларининг графикиги берилген.

*Масштаб эффективти.* Чидамлилик чегараси деталларнинг абсолют үлчамларига ҳам бөглиқ бўлади. Деталь үлчамларининг ортиши билан чидамлилик чегараси камая боради.

Деталь үлчамларининг ортиши билан чидамлилик чегарасининг камая бориши масштаб фактори ёки масштаб коэффициенти ( $e_m < 1$ ) билан баҳоланади, бу коэффициент берилган  $d$  диаметрни намунанинг чидамлилик чегараси  $\sigma_{-1a}$  ( $\tau_{-1a}$ ) нинг диаметри 7 мм бўлган стандарт намунанинг чидамлилик чегараси  $\sigma_{-1}(\tau_{-1})$  га бўлган нисбатини ифодалаайди.

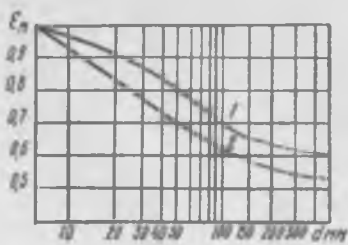
$$e_m = \frac{\sigma_{-1a}}{\sigma_{-1}} \text{ ёки } e_m = \frac{\tau_{-1a}}{\tau_{-1}}.$$

17.12-расмда углеродли ва легирланган пўлатлар учун  $e_m$  қийматларининг графиклари көлтирилган. Бу графиклардан  $e_m$  нинг қийматини эгилишда ва буралишда тақрибан аниқлаш мумкин.

*Сиртнинг ҳолати ва сифати.* Деталь сиртининг ҳолати ва сифатининг чидамлилик чегарасининг миқдорига таъсири сиртнинг сифат коэффициенти деб аталади ва  $e_c$  билан белгиланади. У берилган сирт ҳолатига мос қилиб тайёрланган намунанинг симметрик циклдаги чидамлилик чегараси  $\sigma_{-1c}$  ёки  $\tau_{-1c}$  нинг сирти жилолянган шундай намунанинг чидамлилик чегарасига бўлган нисбатини ифодалайди:

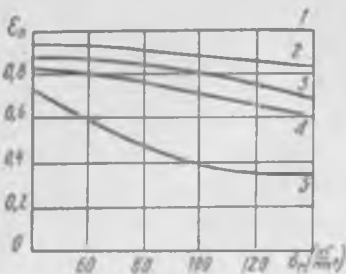
$$e_c = \frac{\sigma_{-1c}}{\sigma_{-1}} \text{ ёки } e_c = \frac{\tau_{-1c}}{\tau_{-1}}.$$

\* Тўплагичларнинг ҳар хил турлари учун кучланиш түплами нинг эффективтүсийн коэффициентларининг миқдори бўйича кенг справочник материаллари „Вестник машиностроения“ журналининг 1949 йил, 10, 11, 12-сонлари ва 1950 йил 3, 4, 6, 7, 8, 9-сонларида көлтирилган. Шунингдек, С. В. Серенсен, В. П. Когаев, Р. М. Шнейдеровичнинг „Несущая способность и расчеты деталей машин на прочность“ китобига қараган. Машгиз, 1963.



17.12-расм. Масштаб коэффициентларининг графиклари;

1 — углеродли пўлат; 2 — легирланган пўлат.



17. 13-расм. Пұлат учун сирт сезгирилк коэффициентларининг графиклари;

1 — жилодланган; 2 — жильтырланган; 3 — майин  
эговланган; 4 — дагад эговланган; 5 — куюиди  
борлиги.

раси ортади ва бундай ҳолларда коэффициент  $\epsilon_c > 1$  булади. Симметрик циклдаги чидамлилик чегараси пасайшининг умумий коэффициенти, юқорида санаб үтилган барча факторларни назарга олганда, күрсатилган коэффициентлар билан

$$K_{sD} = \frac{k_s}{t_{sD}} \left[ \text{екін } K_{sD} = \frac{k_s}{t_{sD}} \right],$$

Шундай қилиб, симметрик циклдаги деталларнинг чидамлилик чегараси сирти жилоланган, лабораторияда фойдалана-диган намунанинг чидамлилик чегараси билан қўйндаги муносабат ёрдамида боғланган:

$$\sigma_{-1x} = \frac{\sigma - 1}{K_{xD}}, \text{ ёки } \tau_{-1x} = \frac{\tau - 1}{K_{xD}}.$$

## **17.2-§. ЎЗГАРУВЧАН КУЧЛАНИШЛАРДА МУСТАҲКАМЛИККА ҲИСОБЛАШ**

Үзгарувчан күчланишларда мустақамликтардың өзгөрүшін сипаттауда күпчилик ҳолларда, деталь чизмасынан олинган ўлчамлар буйынса текшириб күрілади. Деталнинг таҳминан хавфли деб ҳисобланған кесимлари учун мустақамлик эҳтиёт ҳақиқииттік коэффициентлари аниқланади ва берилған конструкция учун табағаттың өзгөрүшін сипаттауда күпчилик коэффициенттерін солиши күрілади.

## Мұстақамлик шарти

$$n > [n].$$

Ҳисоблаш натижалари қониқарсиз чиқса, деталнинг улчамлари (баъзан материали) ўзгартирилади, кейин яна қайтадан мустаҳкамликка текшириб кўрилади.

### Тўғри чизиқли кучланиш ҳолати ва буралишда мустаҳкамликка ҳисоблашлар

Вақт давомида ўзгармайдиган кучланишлар таъсиридаги пластик материалдан тайёрланган деталь учун мустаҳкамлик шарти қўйидаги кўриннишда ёзилиши мумкин:

$$n_{\text{оок}} = \frac{\sigma_{\text{оок}}}{\sigma} \geq [n_s],$$

ёки

$$n_{\text{тоқ}} = \frac{\tau_{\text{тоқ}}}{\tau} \geq [n_t].$$

Бу ерда  $n_{\text{оок}}$  ва  $n_{\text{тоқ}}$  — деталнинг текширилаётган кесими учун нормал ва уринма кучланишларга мос эҳтиёт коэффициентлари;

$[n_s]$  ва  $[n_t]$  — эҳтиёт коэффициентларининг талаб (руҳсат) этилган қийматлари;

$\sigma_{\text{оок}}$  ва  $\tau_{\text{тоқ}}$  — бир ўқли кучланиш ҳолати ва соф силжидаги оқувчанлик чегаралари;

$\sigma$  ва  $\tau$  — деталнинг текширилаётган кесимида пайдо бўладиган энг катта кучланишлар.

Кучланиши симметрик цикл бўйича ўзгарганда мустаҳкамлик шарти чизиқли кучланиш ҳолати ва соф силжиш (буралиш) да қўйидаги кўриннишда бўлади:

$$n_s = \frac{\sigma_{-1}}{K_{sD} \sigma_{\max}} \geq [n_s];$$

$$n_t = \frac{\tau_{-1}}{K_{tD} \tau_{\max}} \geq [n_t].$$

Охириги икки формуладан биринчиси эгилишга ишловчи деталга тааллуқлидир; чўзилиш-сиқилишнинг симметрик циклидаги  $\sigma_{-1}$  нинг ўрнига  $\sigma_{-1q}$  ни қўйиш керак.

Кучланишининг асимметрик циклида ҳисоблашлар тегишли чидамлилик чегаралари тўғрисида экспериментал маълумотлари бўлмаганлиги сабабли мураккаблашади. Мустаҳкамлигининг эҳтиёт коэффициентлари учун формулалар чекли амплитуда ёки чидамлилик чегарасининг схемалаштирилган диаграммалари асосида ҳосил қилинади. Бу диаграммаларни схемалаштиришнинг қатор усуллари мавжуддир.

Бу ерда мустаҳкамликнинг эҳтиёт коэффициентларини аниқлаш учун Серенсен—Кинасовили усули бўйича схемалашти-

рилган диаграммага ва кучланишларнинг ишчи ва чекли цикларини ўхшашлиги ҳақидаги фаразга асосланган формулалар келтирилган<sup>\*</sup>.

Эгилишда

$$n_e = \frac{\sigma - 1}{K_{eD} \sigma_a + \psi_e \sigma_{yp}} ;$$

чўзилиш-сиқилишда

$$n_e = \frac{\sigma - 1\gamma}{K_{eD} \sigma_a + \psi_e \sigma_{yp}} ;$$

буралишда

$$n_e = \frac{\tau - 1}{K_{eD} \tau_a + \psi_e \tau_{yp}} .$$

Бу формулаларда  $\psi_e(\psi_\gamma)$  материалнинг цикл асимметриклигига сизгирлик коэффициенти. Унинг пўлат учун тахминий қиймати:  $\psi_e = 0,1 \div 0,3$ ;  $\psi_\gamma = 0,0 \div 0,15$ ; катта қийматлари таркибида углероди энг кўп пўлатларга ҳамда легирланган пўлатларга тўғри келади.

Келтирилган формулалардан дастлабки иккитаси мусбат ўртача кучланиши ( $\sigma_{yp} > 0$ ) циклларга мос келади. Ўртача кучланиши манфий циклларда  $\psi_e = 0$  деб қараш керак.

Пластик материаллардан тайёрланган деталлар учун чарчаш мустаҳкамлиги эҳтиёт коэффициентидан ташқари, одатда, кичик пластик деформацияга қаршилик кўрсатиши бўйича эҳтиёт коэффициентлари (оқувчанлик чегарасига нисбатан) яъни  $n_{soe}$  ( $n_{soe}$ ) коэффициентлар аниқланади (349- бетга қаранг). Бунда агар  $n_{soe} < n_e$  (ёки  $n_{soe} < n_\gamma$ ) бўлиб қолса, у ҳолда баъзан  $n_{soe}$  ( $n_{soe}$ ) коэффициентлар деталнинг мустаҳкамлигини баҳолаш учун ҳал қилувчи ҳисобланди. Бошқа ҳолларда рухсат этилган [ $n_{soe}$ ] (ёки [ $n_{soe}$ ]) эҳтиёт коэффициенти [ $n_e$ ] (ёки [ $n_\gamma$ ]) дан бир қанча кичик қилиб олинади ва иккала эҳтиёт коэффициенти алоҳида-алоҳида ҳисоблаб текшириб кўрилади.

■

**Мураккаб кучланиш ҳолатида мустаҳкамлика ҳисоблаш**

Брусли эгилиш билан буралишга, буралиш билан чўзилиш (ёки сиқилиш) га, шунингдек, буралиш ва чўзилиш (ёки сиқилиш) билан эгилишга ҳисоблашда, яъни хавфли нуқталарда соддалаштирилган текис кучланиш ҳолати деб аталаувчи ҳолат

---

\* Бир хилда асимметриклик коэффициентларга, демак, характеристикаларга эга бўлган цикллар ўхшаш цикллар деб аталишини эслатиб ўтамиш.

пайдо бўлган ҳолларда  $n$  эҳтиёти коэффициенти қўйидаги ифодадан аниқланади:

$$\frac{1}{n^2} = \frac{1}{n_s^2} + \frac{1}{n_c^2}.$$

Бу ерда  $n_s$  ва  $n_c$  нормал ва уринма кучланишларга мос эҳтиёти коэффициентларн, улар юқорида кўрсатилгандек аниқланади. Улар толиқишидаги мустаҳкамлиги бўйича, ҳамда оқувчанлик чегараси бўйича умумий коэффициентни аниқлашга тўғри келади.

**17.1-мисол.** Агар мустаҳкамлик чегараси  $\sigma_u = 95 \text{ кГ}/\text{мм}^2$ , шартли оқувчанлик чегараси  $\sigma_{ok} = \sigma_{0,2} = 75 \text{ кГ}/\text{мм}^2$  бўлса  $35X$  маркали пўлатдан тайёрланган намуна учун чекли амплитуданинг схемалаштирилган диаграммаси ясалсин.

Ясалган диаграммадан фойдаланиб, циклнинг қандай асиметриклик коэффициентларида чидамлилик бўйича эмас, балки оқувчанлик бўйича ҳисоблаш кераклиги кўрсатилсин. Асиметриклик коэффициентларни  $R_1 = -0,4$  ва  $R_2 = +0,4$  бўлган цикллар учун чидамлилик чегаралари топилсин.

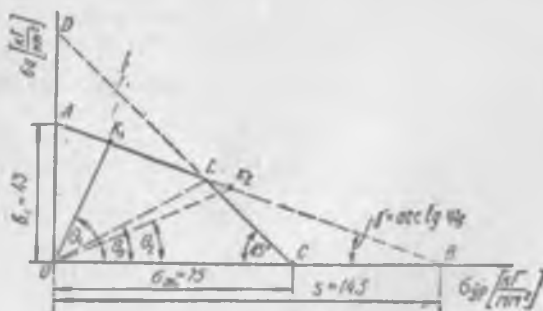
Ечиш. 344-бетда келтирилган тақрибий муносабатдан фойдаланиб, эгилишнинг симметрик циклидаги чидамлилик чегарасини топамиз:

$$\sigma_{-1} = 0,35 \sigma_u + (7 \div 12) \text{ кГ}/\text{мм}^2;$$

иккичи қўшилувчининг ўртача қийматини олиб, қўйидаги нагижани топамиз:

$$\sigma_{-1} = 0,35 \cdot 95 + 10 = 43 \text{ кГ}/\text{мм}^2.$$

Қабул қилинган масштабда  $\sigma_{-1}$  нинг топилган қийматига мос кесмани ордината ўки бўйича жойлаштириб, симметрик циклни „тасвирловчи“  $A$  нуқтани ҳосил қиласиз (17.14-расм).



17.14-расм.

Справочникда берилган маълумотларга асосан  $\psi_e = 0,30$  ни қабул қилиб, абсцисса ўқи бўйича

$$s = \frac{\sigma_{-1}}{\psi_e} = \frac{43}{0,03} = 143 \text{ кГ/мм}^2$$

га тенг (диаграмма масштабида)  $OB$  кесмани жойлаштирамиз.

$A$  ва  $B$  нуқталарни тўғри чизиқ билан туташтирамиз. Абсциссаси оқувчанлик чегарасига тенг бўлган  $C$  нуқтадан абсцисса ўқи бўйича  $45^\circ$  ли бурчак ҳосил қилувчи  $CD$  тўғри чизиқни утказамиз; бу тўғри чизиқдан юқорида ётувчи барча нуқталар максимал кучланишлари оқувчанлик чегарасидан катта бўлган циклларга мос келади. Шундай қилиб, диаграмманинг  $OALC$  қисми хавфсиз цикллар соҳасини ташкил қилали, бу цикллар учун максимал кучланишлар чидамлилик чегарасидан ҳам, оқувчанлик чегарасидан ҳам кичик бўлади.

Координата бошидан ўтказилган ҳар қандай нур (тўғри чизиқ) учун унинг абсцисса ўқига оғиш бурчагининг тангенси цикл характеристикасига тенг бўлади:

$$\operatorname{tg} \theta = p = \frac{1 - R}{1 + R}.$$

$AB$  ва  $CD$  чизиқларнинг кесишиш нуқтасига ўтказилган  $OL$  нур оқувчанлик чегараси чидамлилик чегарасидан кичик бўлган цикллар соҳасини ( $OLC$ ) соҳа кўрсатилган характеристикалари орасида қарама-қарши муносабат мавжуд бўлган соҳадан ( $OAL$ ) соҳа ажратади.  $AB$  ва  $CD$  тўғри чизиқларнинг тенгламаларини тузиб,  $L$  нуқтанинг координаталарини топамиз.

$AB$  тўғри чизиқнинг тенгламаси

$$\sigma_a = \sigma_{-1} - \frac{\sigma_{-1}}{s} \sigma_{yp} = 43 - \frac{43}{143} \sigma_{yp}.$$

$CD$  тўғри чизиқнинг тенгламаси

$$\sigma_a = \sigma_{oi} - \sigma_{yp} = 75 - \sigma_{yp}.$$

$AB$  ва  $CD$  тўғри чизиқларнинг кесишиш нуқтаси  $L$  нинг абсциссаси ва ординатаси:

$$43 - \frac{43}{143} (\sigma_{yp})_L = 75 - (\sigma_{yp})_L; \quad (\sigma_{yp})_L \approx 45,8 \text{ кГ/мм}^2;$$

$$(\sigma_a)_L \approx 29,2 \text{ кГ/мм}^2.$$

$OL$  нурга мос бўлган цикллар характеристикаси

$$\operatorname{tg} \theta_0 = p_0 = \frac{(\sigma_a)_L}{(\sigma_{yp})_L} = \frac{29,2}{45,8} = 0,640.$$

## Күрсатылган цикларнинг асимметриклик коэффициенти

$$p_0 = \frac{1 - R_0}{1 + R_0} = 0,640, \quad \text{бундан} \quad R_0 = 2195.$$

Шундай қилиб, асимметриклик коэффициенти 0,2195 дан катта бұлған циклар учун оқувчанлық чегараси бұйнча әхтиёт коэффициенти чидамлилік бұйнча әхтиёт коэффициентидан кінчик болади.

Асимметриклик коэффициенти маълум бўлса, чидамлилік чегарасини аниқлаш учун аввал циклнинг мос характеристигаларини топамиз:

$$p_1 = \frac{1 - R_1}{1 + R_1} = \frac{1 - (-0,4)}{1 + 0,4} = 2,33;$$

$$p_2 = \frac{1 - R_2}{1 + R_2} = \frac{1 - 0,4}{1 + 0,4} = 0,428.$$

Координата бошидан абсцисса ўқига  $\theta_1 = \arctg p_1$  ва  $\theta_2 = \arctg p_2$  бурчаклар остида нурлар үтказнб, асимметриклик коэффициентлари мос равниша  $R_1 = -0,4$  ва  $R_2 = +0,4$  булған чекка цикларни „тасвирловчи“  $K_1$  ва  $K_2$  нүкталарни ҳосил қиласиз (17.14-расмга қаранг).  $K_1$  нүктанинг абсциссаны билан ординатасининг йиғинидиси унга мос циклнинг чидамлилік чегарасини беради. Диаграммадан бевосита  $\sigma_{-0,4} = 55 \text{ кГ/мм}^2$  ни топамиз. Худди шунига үхашаш  $K_2$  нүкта учун  $\sigma_{+0,4} = 84,5 \text{ кГ/мм}^2$  ни топамиз. Аниқланиши лозим бўлған чидамлилік чегаралариниң иккинчиси оқувчанлық чегарасидан катта эканлиги кўриниб турнаби.

**17.2-мисол.** Агар 45 маркали пұлатдан тайёрланған, диаметри  $d = 36 \text{ мм}$  ли ўқ учун  $\sigma_u = 60 \text{ кГ/мм}^2$ ,  $\sigma_{-1} = 24 \text{ кГ/мм}^2$  бўлса ҳамда ўқнинг күндаланг кесимида пайдо буладиган әгувчи момент  $M_{max} = -M_{min} = 350 \text{ кГ·м}$  чегараларida узгарса, ўқ учун мустаҳкамлик әхтиёт коэффициенти аниқлансин. Ўқнинг сирти тоза қилиб йўнилган. Ўқ аниқ цилиндрик шаклда (кучланиш тўплагичлар йўқ).

Ечиш. Циклнинг максимал кучланишини аниқлаймиз:

$$\sigma_{max} = \frac{M_{max}}{\frac{\pi}{32} d^3} = \frac{350 \cdot 10^6}{\frac{3,14}{32} \cdot 3,6^3} = 765 \text{ кГ/см}^2.$$

Симметрик циклда чидамлилік чегараси пасайишининг умумий коэффициенти

$$K_{uD} = \frac{k_e}{\sigma_u \cdot e}.$$

Берилған ҳолда  $k_e = 1,0$ ,  $\sigma_u$  ва  $e$  ларнинг қийматларини

17.12 ва 17.13-расмларда көлтирилгандай графиклардан аниқладын миз:

$$\epsilon_m = 0,87; \quad \epsilon_c = 0,89.$$

Деталдиннег чидамлилик чегараси

$$\sigma_{-1d} = \frac{\sigma_{-1}}{K_{eD}} = \frac{24}{\frac{j}{0,87 \cdot 0,89}} = 18,6 \text{ кГ/мм}^2.$$

Мустаҳкамлык әхтиёт коэффициенти

$$n = \frac{\sigma_{-1d}}{\sigma_{max}} = \frac{18,6}{7,65} = 2,44.$$

17.3-мисол. 50Г2 маркалы пулат ( $\sigma_m = 75 \text{ кГ/мм}^2$ ) дан тай-  
ғерланган поғонали стержень симметрик цикл бүйича ўзгара-  
диган ўқ бұйлаб йұналувчи күч билан юкланған (17.15-расм).  
Стержень сирті жильтырылған.

Мустаҳкамлыкнинг талаб этилған әхтиёт коэффициенти  
[n] = 2 бұлғанда ўқ бұйлаб йұналған күч амплитудасининг  
рухсат этилған миқдори [ $P_{max}$ ] аниқлансан.

Ечиш. Стерженнинг мустаҳкамлык шарти

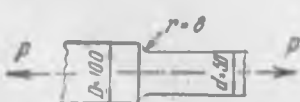
$$n = \frac{\sigma_{-1d}}{\sigma_{max}} = \frac{\frac{\sigma_{-1d}}{P_{max}}}{K_{eD} \frac{P_{max}}{F}} > [n],$$

бундан

$$[P_{max}] = \frac{\frac{\pi d^3}{4}}{K_{eD} [n]}.$$

17.7-расмдаги графикдан күчланиш түплемменинг эффективтес-  
коеффициенти  $k_s \approx 1,62$  ни топамиз. Масштаб коеффициенти  
(17.12-расм бүйича)  $\epsilon_m = 0,81$  бұлади.

Сиртнинг сезгирилк коеффициенти (17.13-расм бүйича  
 $\epsilon_c = 0,93$ ).



17. 15-расм.

Симметрик циклда чидамли-  
лик чегараси пасабишининг уму-  
мий коеффициенти

$$K_{eD} = \frac{k_s}{\epsilon_m \cdot \epsilon_c} = \frac{1,62}{0,81 \cdot 0,93} = 2,15.$$

Чүзилиш—сиқилишнинг сим-  
метрик циклидаги чидамлилик

чегарасини 343- бетда келтирилган эмпирик боғланишдан аниқлаймиз.

$$\sigma_{-1} \approx 0,43 \sigma_m;$$

$$\sigma_{-1q} \approx 0,8\sigma_{-1} = 0,8 \cdot 0,43\sigma_m = 0,8 \cdot 0,43 \cdot 75 = 25,8 \text{ кГ/мм}^2.$$

Оқибат натижада

$$[P_{max}] = \frac{\frac{25,8 \cdot 3,14 \cdot 50^3}{4}}{2,15 \cdot 2} = 12 \cdot 10^3 \text{ кГ}.$$

17.4- мисол. ЗОХГС маркали пулатдан тайёрланган ( $\sigma_m = 110 \text{ кГ/мм}^2$ ,  $\sigma_{0,2} = \sigma_{0,2} = 85 \text{ кГ/см}^2$ ) күндаланг кесими доира шаклидаги поғонали брус  $D = 100 \text{ мм}$ ,  $d = 50 \text{ мм}$ ) асимметриклик коэффициенти  $R = -0,6$  цикл бўйича ўзгарувчан кучланиш таъсирида эгилишга ишлади.

Кичик диаметрдан катта диаметрга утиш кесимида пайдо буладиган максимал эгувчи момент  $M_{max} = 1000 \text{ н}\cdot\text{м}$ . Утиш кесими галтелининг радиуси  $r = 5 \text{ мм}$ . Бруснинг сирти ролик ёрдамида обкатка қилинган, бунинг натижасида сирт сезирлик коэффициенти  $e_c = 1,15$ .

Утиш кесими учун мустаҳкамлик эҳтиёт коэффициенти аниқлансин.

Е чиш. Симметрик циклдаги эгилишга чидамлилик чегарасини аниқлаймиз (343- бетда келтирилган эмпирик формула бўйича):

$$\sigma_{-1} = 0,35 \sigma_m + 12 = 0,35 \cdot 110 + 12 = 50,5 \text{ кГ/мм}^2.$$

17.9- расмдан кучланиш тўпламининг эффектив коэффициентини топамиз:

$$k_s = 1,7.$$

Масштаб коэффициенти (17.12- расмга қаранг)  $\epsilon_m = 0,81$ .

Симметрик циклда чидамлилик чегараси пасайишнинг умумий коэффициенти

$$K_{sd} = \frac{k_s}{\epsilon_m \cdot e_c} = \frac{1,7}{0,81 \cdot 1,15} = 1,82.$$

Цикл асимметриклигига сезирлик коэффициенти справочник маълумотларига асосан  $\phi_e = 0,3$ .

Деталнинг текширилаётгани кесимида пайдо буладиган максимал нормал кучланиш:

$$\sigma_{max} = \frac{M_{max}}{\frac{\pi d^3}{32}} = \frac{1000}{\frac{8,14 \cdot 50^3}{32}} = 81,5 \text{ н/мм}^2 = 8,3 \text{ кГ/мм}^2.$$

Нормал күчланишлар циклининг амплитудаси

$$\sigma_a = \frac{\sigma_{\max} - \sigma_{\min}}{2} = \sigma_{\max} \frac{1-R}{2} = 8,3 \cdot \frac{1-(-0,6)}{2} = 6,64 \text{ кГ/мм}^2.$$

Нормал күчланиш циклининг ўртача күчләнниши

$$\sigma_{sp} = \frac{\sigma_{\max} + \sigma_{\min}}{2} = \sigma_{\max} \frac{1+R}{2} = 8,3 \cdot \frac{1+(-0,6)}{2} = 1,66 \text{ кГ/мм}^2.$$

Мустаҳкамлик өхтиёт коэффициенти

$$n = \frac{\sigma_{-1}}{K_D \sigma_a + \psi_a \sigma_{sp}} = \frac{50,5}{1,82 \cdot 6,64 + 0,3 \cdot 1,66} = 4,01.$$

Оқувчанлик чегарасига нисбатан өхтиёт коэффициенти

$$n_{ok} = \frac{\sigma_{ok}}{\sigma_{\max}} = \frac{85}{8,3} = 10,25.$$

17.5-мисол. Ўзгарувчан өгувчи ва буровчи моментлар:  $M_{\max} = 48 \text{ кГ} \cdot \text{м}$ ,  $M_{\min} = -24 \text{ кГ} \cdot \text{м}$ , таҳ  $M_b = 76 \text{ кГ} \cdot \text{м}$ , мин  $M_b = 38 \text{ кГ} \cdot \text{м}$  пайдо бўладиган валнинг хавфли кўндаланг кесими учун мустаҳкамлик өхтиёт коэффициенти аниқлансан. Хавфли кесим  $D=60 \text{ мм}$  дан  $d=40 \text{ мм}$  га ўтиш кесими билан устма-уст тушади. Галтел радиуси  $r=2 \text{ мм}$ .

Вал сифати яхшиланган 45 маркали навли пулатдан ясалган, механик характеристикалари  $\sigma_m = 75 \text{ кГ/мм}^2$ ,  $\sigma_c = 45 \text{ кГ/мм}^2$ ,  $\tau_{ok} = 26 \text{ кГ/мм}^2$ ,  $\sigma_{-1} = 34 \text{ кГ/мм}^2$  ва  $\tau_{-1} = 19 \text{ кГ/мм}^2$ . Материалнинг цикл асимметриклигига сезгирилик коэффициентлари

$$\psi_o = 0,22; \quad \psi_c = 0,12.$$

Вал сирти жилвирланган.

Ечиш. 17.9, 17.10-расмлардаги графиклардан чизиқли интерполяцияни қўллаб  $\frac{r}{d} = \frac{0,2}{4} = 0,05$  ва  $\sigma_m = 75 \text{ кГ/мм}^2$  (графикларда галтел радиуслари билан белгиланган) бўлганда күчланиш тўпламининг эфектив коэффициентлари  $k_o = 2,1$ ;  $k_c = 1,60$  ни топамиз. Диаметлар нисбати

$$\frac{D}{d} = \frac{60}{40} = 1,5 < 2$$

бўлгани учун 17.9, 17.10-расмларда қабул қилинган  $k_o$  ва  $k_c$  катталикларга тузатма киритиш керак.

17.11-расмдаги графикларга асосан  $k_o$  ва  $k_c$  қийматларини аниқлаб оламиз:

$$k_o = 1 + \xi_o (k_{j_0} - 1) = 1 + 0,95 (2,1 - 1) = 2,05;$$

$$k_c = 1 + \xi_c (k_{j_0} - 1) = 1 + 0,85 (1,60 - 1) = 1,51.$$

17.13- расмдаги 2 эгри чизиқдан  $\sigma_m = 75 \text{ кГ/мм}^2$  бўлганда сирт сезгирилик коэффициентини аниқлаймиз:

$$\epsilon_c = 0,93.$$

17.12- расмдаги эгри чизиқдан масштаб коэффициентини аниқлаймиз:

$$\epsilon_m = 0,84.$$

Симметрик цикларда чидамлилик чегараси пасайишининг умумий коэффициентлари

$$K_{\sigma D} = \frac{k_y}{\epsilon_m \epsilon_c} = \frac{2,05}{0,84 \cdot 0,93} = 2,63;$$

$$K_{\tau D} = \frac{k_y}{\epsilon_m \epsilon_c} = \frac{1,51}{0,84 \cdot 0,93} = 1,94.$$

Энг катта ва энг кичик нормал ҳамда уринма кучланишлар қўйидаги қийматларга эга бўлади:

$$\sigma_{max} = \frac{M_{max}}{W} \approx \frac{M_{max}}{0,1d^3} = \frac{4800}{0,1 \cdot 4^3} = 750 \text{ кГ/см}^2;$$

$$\sigma_{min} = \frac{M_{min}}{W} \approx - \frac{2400}{0,1 \cdot 4^3} = - 375 \text{ кГ/см}^2;$$

$$\tau_{max} = \frac{\max M_6}{W_p} \approx \frac{\max M_6}{0,2 d^2} = \frac{7600}{0,2 \cdot 4^2} = 594 \text{ кГ/см}^2;$$

$$\tau_{min} = \frac{\min M_6}{W_p} = \frac{3800}{0,2 \cdot 4^2} = 297 \text{ кГ/см}^2.$$

Нормал ва уринма кучланишлар цикларининг амплитудалари ва ўртача кучланишлари:

$$\sigma_s = \frac{\sigma_{max} - \sigma_{min}}{2} = \frac{750 - (-375)}{2} = 562,5 \text{ кГ/см}^2;$$

$$\sigma_{\bar{s}p} = \frac{\sigma_{max} + \sigma_{min}}{2} = \frac{750 + (-375)}{2} = 187,5 \text{ кГ/см}^2;$$

$$\tau_s = \frac{\tau_{max} - \tau_{min}}{2} = \frac{594 - 297}{2} = 148,5 \text{ кГ/см}^2;$$

$$\tau_{\bar{s}p} = \frac{\tau_{max} + \tau_{min}}{2} = \frac{594 + 297}{2} = 445,5 \text{ кГ/см}^2.$$

Нормал кучланиш бўйича чарчашиб мустаҳкамленинг эҳтиёт коэффициенти

$$n_s = \frac{\sigma_s}{K_{\sigma D} \sigma_s + k_{\sigma} \sigma_{\bar{s}p}} = \frac{3400}{2,63 \cdot 562,5 + 0,22 \cdot 187,5} = 2,23.$$

Уринма кучланиш бүйича чарчаш мустаҳкамлигининг эҳтиёт коэффициенти

$$n_t = \frac{\tau_{\text{t}}}{K_{t,D} \tau_a + \psi_t \tau_{tp}} = \frac{1900}{1,94 \cdot 148,5 + 0,12 \cdot 445,5} = 5,57.$$

Ушбу:

$$\frac{1}{n^2} = \frac{1}{n_a^2} + \frac{1}{n_t^2}$$

ифодадан толиқиш мустаҳкамлиги умумий эҳтиёт коэффициентини топамиз:

$$n = \frac{n_a n_t}{\sqrt{n_a^2 + n_t^2}} = \frac{2,23 \cdot 5,57}{\sqrt{2,23^2 + 5,57^2}} = 2,08.$$

Оқувчанлик чегараси бүйича эҳтиёт коэффициентлари

$$n_{\text{ок}} = \frac{\sigma_{\text{ок}}}{\sigma_{\text{max}}} = \frac{4500}{750} = 6,0;$$

$$n_{\text{т.ок}} = \frac{\tau_{\text{ок}}}{\tau_{\text{max}}} = \frac{2600}{594} = 4,37.$$

Оқувчанлик бүйича умумий эҳтиёт коэффициенти:

$$n_{\text{ок}} = \frac{n_{\text{ок}} n_{\text{т.ок}}}{\sqrt{n_{\text{ок}}^2 + n_{\text{т.ок}}^2}} = \frac{6 \cdot 4,37}{\sqrt{6^2 + 4,37^2}} = 3,52.$$

Шундай қилиб, берилган ҳолда толиқиш мустаҳкамлиги мұхим роль үйнайды, чунки унга мос булған эҳтиёт коэффициенти оқувчанлик бүйича эҳтиёт коэффициентидан кичик булиб чиқади.

### Мустақил ечиш учун масалалар

**17.1.** Күндаланг кесими диаметри  $d = 40 \text{ мм}$  булған стерженниң мустаҳкамлиқ эҳтиёт коэффициенти аниқлансın. Стержень углеродлы пұлатдан ясалған ( $\sigma_u = 50 \text{ кГ/мм}^2$ ;  $\sigma_{-1} = -20 \text{ кГ/мм}^2$ ). Стержень симметрик кучлан ишлар циклида әгилішга ишлады. Максимал әгувчи момент  $M_{\text{max}} = 2560 \text{ кГ·см}$ . Стержень сирті силлиқланған. Стержень аниқ цилиндрик шаклда булиб, кучланиш тұплагичлардан холидир.

*Жазоби.*  $n \approx 4$ .

**17.2.** Әгилішга ишловчи погонали, стержень углеродлы пұлат ( $\sigma_u = 50 \text{ кГ/мм}^2$  ва  $\sigma_{\text{ок}} = 25 \text{ кГ/мм}^2$ ) даң тайёрланған булиб,  $d = 3 \text{ см}$ ,  $D = 6 \text{ см}$  ва галтелең радиуси  $r = 1,5 \text{ м.м}$ . Циклнинг асимметрик коэффициенти  $R = 0,4$ ; сирт сезгирлік коэффи-

циенти маҳкамлашни ҳисобга олганда  $\epsilon_c = 1,3$ . Цикл асимметриклигига сезгирилик коэффициенти  $\phi_e = 0,15$ .

Мустаҳкамлик эҳтиёт коэффициенти  $[n] = 1,4$  булганда стержень учун рухсат этилган кучланиш аниқлансан.

**Жавоби.**  $[x_{0,4}] \approx 29 \text{ кГ/мм}^2$ .

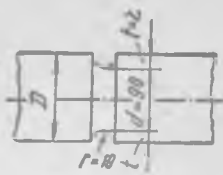
**17.3. Ҳалқасимон ўйимли вал өгилиш билан буралышнинг биргаликдаги таъсирда ишлайди (17.16-расм); шу билан бирга эгувчи ва буровчи моментлар вақт бўйича ўзгариб туради.  $M_{\max} = 500 \text{ кГ} \cdot \text{м}$ ;  $M_{\min} = 100 \text{ кГ} \cdot \text{м}$ ; тих  $M_\delta = 500 \text{ кГ} \cdot \text{м}$ ;  $\min M_\delta = 200 \text{ кГ} \cdot \text{м}$ . Вал 45 маркали пўлатдан ясалган булиб, унинг механик характеристикалари:**

$\sigma_m = 60 \text{ кГ/мм}^2$ ;  $\sigma_{ok} = 30 \text{ кГ/мм}^2$ ;  $\sigma_- = 26 \text{ кГ/мм}^2$ ;  $\tau_{ok} = 18 \text{ кГ/мм}^2$ ;  $\tau_{-1} = 14 \text{ кГ/мм}^2$ ;  $\psi_+ = 0,20$ ;  $\psi_- = 0,10$ . Вал сирти жилвиранган.

Ҳалқасимон ўйим орқали ўтувчи кесим учун чарчашиб мустаҳкамлиги ва оқувчанлик бўйича эҳтиёт коэффициентлари аниқлансан.

**Кўрсатма.** Нормал кучланишлар тўпламиининг назарий коэффициентини 17.6-расмдаги графикдан аниқлаб, сўнгра материалнинг кучланиш тўпламига сезгирилик коэффициенти топилсан (17.5-расм) ва кучланишларнинг эфектив коэффициенти ҳисоблансан. Буралаш учун кучланиш тўпламиининг эфектив коэффициенти нормал кучланиш тўпламиининг эфектив коэффициентининг 0,65 қисмига teng қилиб олинсан.

**Жавоби.** Толиқиши мустаҳкамлиги бўйича  $n \approx 3,8$ , оқувчанлик бўйича  $n_{ok} \approx 3,5$ .



17. 16-расм.

## XVIII бөб

### КОНСТРУКЦИЯ ЭЛЕМЕНТЛАРИНИ ЧЕКЛИ НАГРУЗКАЛАР БҮЙИЧА ҲИСОБЛАШ

#### 18 1-§. АСОСИЙ ТУШУНЧАЛАР

Құлланманинг олдинги бобларыда статик юклашда конструкция элементларининг мустақамлика ҳисоблаш ишлары рухсат этилган күчланиш усули бүйича олиб борилгани күрілған эди. Бу методда асосан элементнинг бирор нүктасида бұлса ҳам күчланиш чекли қиymатига әришса, конструкция элементининг мустақамлиги бузилған ҳисобланади. Үмумий ҳолда ҳисоблаш учун қабул қилинған мустақамлик назарияси бүйича ҳисоблаб топилған эквивалент (келтирилған) күчланиш назарда тутилади. Бу метод „рухсат этилған күчланиш бүйича ҳисоблаш“ деб юртілади, уни ҳавғыли нүкта бүйича ҳисоблаш деб аташ ҳам мүмкін.

Пластик материалдардан тайёрланған конструкцияни статик юклашга мустақамлигини бақолашға бошқача ёндошиш ҳам мүмкін. Конструкциянинг бирор нүктасида (ёки нүкталарыда) оқувчанликнинг пайдо бүлиши уни ишдан чиқармайды, шунинг учун конструкциянинг бундай ҳолатини чекли деб ҳисобланмайды. Агар конструкция нагрузка ортиши билан унга қаршилик күрсата олмай уз геометрик шаклини ўзgartириса ва доимий нагрузка таъсиридан чексиз равишда деформацияланса, конструкциянинг нагрузка күтариш қобилияты ишдан чиқкан ҳисобланади. Конструкциянинг бундай ҳолати чекли ҳолат, унга мос нагрузка (күч, момент) эса чекли нагрузка деб аталаади.

Конструкциянинг мустақамлик әхтиёт коэффициентини ҳисоблашга бундай ёндошиш чекли нагрузканы конструкцияга таъсир этувчи иш (эксплуатация қылувчи) нагрузкасига нисбати билан ифодаланади. Бу әхтиёт коэффициенти берилған конструкция учун талаб этилған (берилған, рухсат этилған) әхтиёт коэффициентидан кичик бўлиши керак. Баён этилған түшүнча асосида мустақамлика ҳисоблаш усули чекли нагрузка бүйича ҳисоблаш деб аталаади. Бу усул бошқача ном билан ҳам аталаади, чунончи: „рухсат этилған нагрузка бүйича ҳисоблаш“, „юк күтариш қобилияты бүйича ҳисоблаш“, „чекли мувозанат ҳолати бүйича ҳисоблаш“.

Чекли нагружка бүйича ҳисоблашда мустаҳкамлик шарти қўйидаги кўринишда ёзилади:

$$n = \frac{P_{\text{чек}}}{P} > [n] \text{ ёки } n = \frac{M_{\text{чек}}}{M} > [n],$$

бу ерда  $P_{\text{чек}}$  ( $M_{\text{чек}}$ ) — конструкция юк кўтариш қобилиятини ишдан чиқадиган нагружка (куч ёки момент) нинг қиймати;

$P(M)$  — конструкциянинг иш нагружаси;

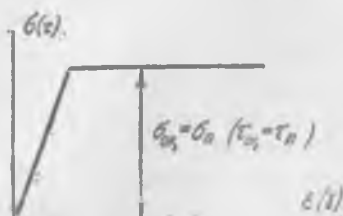
$n$  — мустаҳкамликнинг ҳақиқий эҳтиёт коэффициенти;

[ $n$ ] — мустаҳкамликнинг талаб этилган (берилган) эҳтиёт коэффициенти.

Қўйида кўриладиган чекли нагружка бўйича ҳисоблашлар конструкция материалини идеал равишида эластик — пластик деб фараз қилишга асосланади. Бундай материалнинг деформацияланиш диаграммаси икки тўғри чизиқли участкадан таркиб топади (18.1-расм): пропорционаллик чегараси ( $\sigma_n$  ёки  $\tau_n$ ) дан кичик кучланишларда Гук қонуни сақланади, сўнгра оқувчанлик пайдо бўлади; бунда пропорционаллик чегараси оқувчанлик чегарасига тенг деб олинади, яъни  $\sigma_n = \sigma_{\text{ок}}$ ,  $\tau_n = \tau_{\text{ок}}$ , бундан ташқари оқувчанлик юзаси чексиз узунликка эга деб ҳисобланади.

Материал деформацияланишининг бундай схемалаштирилган диаграммасини қўллаш (бу диаграмма Прандтль диаграммаси деб агалади) чекли нагружка бўйича ҳисоблашларни анча содлаштиради. Прандтль диаграммасига асосан конструкциянинг бирор нуқтасида (ёки конструкция элементининг барча нуқтасида, ёхуд унинг бирор кесимида) оқувчанликнинг пайдо бўлиши билан шу нуқтада кучланиш ортмай қўяди (конструкцияга таъсир этаётган нагруззакининг ўсишига қарамасдан).

Элементлари ҷўзилишга ёки сиқилишга ишлаётган статик аниқ системаларда, одатда, чекли нагружка бўйича ҳисоблаш натижаси хавфли нуқта бўйича ҳисоблаш натижаси билан бир хил бўлади. Ҳақиқатан, нагружка ортиши билан конструкциянинг энг кўп кучланган элементининг барча нуқталарида оқувчанлик бир вақтда содир бўлади, бигта элементнинг оқувчанлик ҳолатига ўтиши эса, система геометриясини узгартирниб юборади. Статик аниқмас система эластиклик босқичида ишлагандан элементларининг юклангандик даражаси ҳар хил бўлади, бирор бир элементда (кўп марта статик аниқмас системаларда эса, бир неча элементларда) оқувчанлик



18. 1-расм.

ҳолати пайдо бўлиши билан системанинг юк кўтариш қоби-  
лнияти батамом ишдан чиқмайди, чунки системанинг эластик-  
лик ҳолатига туриб қолган элементларнагрузканинг ўсишига  
ҳали қаршилик кўрсатишга қодирдир. Бу ҳолларда  $P_{\text{чек}}$  чекли  
нагрузка фақатгина битта элементда оқувчанлик пайдо булиши  
учун керак бўлган  $P_{\text{ок}}$  нагруззқадан катта бўлади. Хавфли  
нуқта бўйича ҳисоблашда  $P_{\text{ок}}$  нагрузка хавфли нагруззка каби  
қаралади, рухсат этилган нагруззка эса  $P_{\text{нагрузканинг}}$  талаб  
етилган эҳтиёт коэффициентига нисбати каби аниқланади.

Бундан статик аниқмас системани чекли нагруззка бўйича  
ҳисоблаб топилган, рухсат этилган нагруззканинг шу системани  
хавфли нуқтаси бўйича ҳисоблаш натижасида ҳосил қилин-  
ган рухсат этилган нагруззқадан катта бўлиши келиб чиқади  
(агарда иккала ҳисоблаш усулида ҳам бир хил қийматдаги  
талаб этилган эҳтиёт коэффициенти олинган бўлса). Амалда  
чекли юк бўйича ҳисоблашда эҳтиёт коэффициентини хавфли  
нуқта бўйича ҳисоблашга қараганда каттароқ олинади. Бунинг  
натижасида олинган қиймат бир хил эҳтиёт коэффициентлари  
қабул қилиб ҳосил қилинган ҳисоблаш натижаларидан кўп  
фарқ қилмайди.

Эластиклик босқичида ишлайдиган система элементларининг  
кўндаланг кесимларидаги кучланишлар бир хilda текис тақ-  
симланмаган ҳолларда ҳам (масалан бурнишда ёки эгилиш-  
да) система аниқ бўлишига қарамасдан, чекли нагруззка бўйича  
ҳисоблаб топилган натижага хавфли нуқта бўйича ҳисоблаб  
топилган натижадан фарқ қиласди. Бу турнда 18.3, 18.4- §  
ларда туласроқ айтилган.

## 18.2-§. ЧУЗИЛИШ ЁКИ СИҚИЛИШГА ИШЛАЙДИГАН ЭЛЕМЕНТЛАРИ БЎЛГАН СТАТИК АНИҚМАС СИСТЕМАЛАРНИ ҲИСОБЛАШ

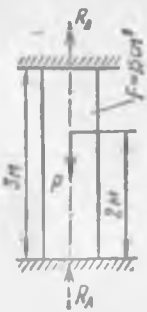
**18.1-мисол.** Чекли нагруззка бўйича ҳисоблаш йўли билан  
брус учун рухсат этилган  $P$  куч катталигини аниқлансан (18.2-  
расм). Брусларни ясалган бўлиб,  $\sigma_{\text{ок}} = 2400 \text{ кН}/\text{см}^2$ ;  
талаб этилган эҳтиёт коэффициенти  $[n] = 2,0$ .

**Ечиш.** Таянч реакцияларини мос равишда  $R_A$  ва  $R_B$  билан  
белгилаб, мувозанат тенгламасини тузамиз:

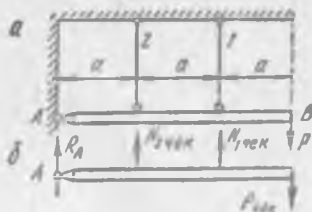
$$R_A + R_B = P. \quad (a)$$

Ўз-узидан равшанки, стерженнинг устки қисми  $R_B$  га тенг  
бўлган чўзувчи зўриқиши таъсирида, остки қисми эса  $R_A$  га  
тенг бўлган сиқувчи зўриқиши таъсиридадир.

Конструкциянинг чекли ҳолатига кучланишлар стержен-  
нинг иккала қисмидаги аввал устки қисми, сўнгра эса остки



18.2- расм.



18.3- расм.

қисміда оқуычанлық чегарасы  $\sigma_{\text{ок}}$  га еришади, чунки остық қисмининг узунлиги устки қисмининг узунлигидан кіттадир\*.

$R_A$  ва  $R_B$  зүрікішларни  $\sigma_{\text{ок}}$  билан ифодалаб, (a) тенглама-ни құйидаги күрнештік күрсатыш мүмкін:

$$\sigma_{\text{ок}} F + \sigma_{\text{ок}} F = P_{\text{тек}},$$

екі

$$2 \sigma_{\text{ок}} F = P_{\text{тек}}.$$

Сон қийматларни құйиб құйидаги натижаны топамыз:

$$P_{\text{тек}} = 2 \cdot 2400 \cdot 15 = 72 \cdot 10^3 \text{ кГ}.$$

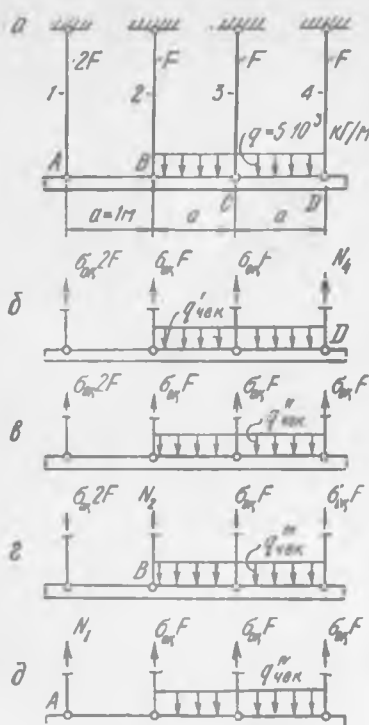
Рұхсат этилған нагрузка

$$[P] = \frac{P_{\text{тек}}}{[n]} = \frac{72 \cdot 10^3}{2} = 36 \cdot 10^3 \text{ кГ}.$$

18 2- мисол. 18.3- расм, a да тасвирланған система учун чеклең ва рұхсат этилған нагрузкалар аниқлансин. АВ балқа абсолют бикр деб ҳисоблансын. Стержень оқуычанлық чегарасы  $\sigma_{\text{ок}} = 3000 \text{ кГ/см}^2$  бўлган пўлатдан ясалған. Кўндаланг кесим юзалари бир хилда  $F_1 = F_2 = F = 3 \text{ см}^2$ . Талаб этилған эҳтиёт коэффициенти  $[n] = 1,8$ .

Ечиш. Системанинг эластиклик босқичда ишлашини таҳлил этиб, бу босқичда биринчи стержендаги зуриқиши иккинчи сидагига қараганда катта бўлишига ишонч ҳосил қилиш мүмкін. Демак,  $P$  кучнинг ўсиши билан оқуычанлық I-стерженда эртароқ пайдо бўлади, нагруззканинг қиймати кеңинчалик ортагинада бу стерженда кучланиш ўзгармасдан қолади (идеал

\* Стерженнинг устки қисмі остық қисмiga қараганда бикроқ ва стержень эластиклик босқичда ишлаганда устки қисмининг зўриқиши остық қисминидан катта бўлади.



18. 1-расм.

Шундай қилиб

$$P_{\text{чек}} = \sigma_{\text{ок}} F.$$

$P$  күчнинг рухсат этилган қиймати:

$$[P] = \frac{\sigma_{\text{ок}} F}{[n]} = \frac{3000 \cdot 3}{1,8} = 5000 \text{ кГ.}$$

18.3-мисол. Абсолют бикр балкани тортиб турувчи стерженлар кўндаланг кесимларининг талаб этилган юзалари аниқлансин (18.4-расм, а). Ҳисоблаш чекли нагрузка бўйича бажарилсин. Стерженлар оқувчанлик чегараси  $\sigma_{\text{ок}} = 2600 \text{ кГ/см}^2$  бўлган пўлатдан ясалган; мустаҳкамликнинг талаб этилган эҳтиёт коэффициенти  $[n] = 1,8$ .

Ечиш. Системанинг юк кўтариш қобилияти қандайдир учта стерженда оқувчанлик пайдо бўлгунга қадар қаноатланар-

эластик — пластик материал-нинг чўзилиш диаграммаси, унда оқувчанлик юзаси чексиз узун бўлади). 2-стержендаги зўриқиши ундаги кучланиш оқувчанлик чегарасига етмагунча ўсиб боради. Ундан кейин конструкциянинг юк кўтариш қобилияти бузилади, конструкциянинг геометрик шакли ўзгариб, А шарнир атрофида ёркин бураладиган бўлиб қолади. Конструкциянинг эластиклик босқичида ишлашини кўриб утиришнинг ҳожати йўқ, тўғридан-тўғри системанинг чекли ҳолатини (чекли мувозанат ҳолатини) текшириш қулайроқ. Иккала стержень оқувчанлик ҳолатида бўлади, кесимлар усулини қўллаб, (18.3-расм, б) мувозанат тенгламасини тузамиш:

$$\sum m_A = -N_{\text{чек}} a - N_{1\text{ чек}} 2a + P_{\text{чек}} 3a = 0,$$

еки

$$-\sigma_{\text{ок}} Fa - 2\sigma_{\text{ок}} Fa + 3P_{\text{чек}} a = 0.$$

лидир\*. Стерженларнинг оқувчанлик ҳолатига қандаи тартибда ўтишини аниқлаш учун системанинг эластиклик босқичидаги статик аниқмаслигини очиш керак бўлур эди. Масалани бундай ечиш жуда ҳам мashaққатли, яна бунинг устига система икки марта статик аниқмасдир. Масалани кинематик усул деб аталадиган усулда тезроқ ечиш мумкин. Бу усулнинг моҳияти шундан иборатки, бунда системанинг юк кутариш қобилияти бузилиш ҳолларининг барча вариантларни бирин-кетин қараб чиқилади: уларнинг ҳар бири учун чекли мувозанат тенгламиши тузилади ва чекли нагрузканинг мос қийматлари аниқланади. Ўз-узидан равшанки, ҳақиқий чекли нагрузка система чекли ҳолатга ўтадиган ҳар хил вариантиларидаги чекли нагрузкалардан энг кичиги бўлади.

Бу усулни берилган системага қўллаймиз.

*1-вариант* (18.4-расм, б) — оқувчанлик 1,2 ва 3-стерженларда пайдо бўлади деб фараз қиласмиз. У вақтда чекли мувозанат қўйидаги кўринишда ёзилади:

$$\sum m_D = 0; \sigma_{ок} 2F3a + \sigma_{ок} F2a + \sigma_{ок} Fa - q_{чек}^I 2aa = 0,$$

бундан

$$q_{чек}^I = \frac{9\sigma_{ок} F}{2a},$$

*2-вариант* (18.4-расм, в) — оқувчанлик тўртала стерженларда пайдо бўлади деб фараз қиласмиз (3-стержень эластиклик босқичида, қолганлари эса оқувчанликда бўлганида система чекли мувозанат ҳолатида бўлмайди. 363-бетдаги сноскага қаранг).

Барча кучларни вертикаль ўққа проекциялаб қунидагини топамиз

$$\sigma_{ок} 2F + \sigma_{ок} F + \sigma_{ок} F + \sigma_{ок} F - 2q_{чек}^{II} a = 0,$$

бундан

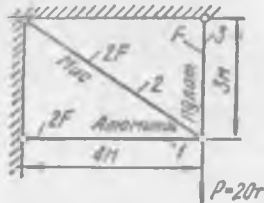
$$q_{чек}^{II} = \frac{5\sigma_{ок} F}{2a},$$

*3-вариант* (18.4-расм, г) — оқувчанлик иккинчи стержендан ташқари барча стерженларда пайдо бўлади деб фараз қиласмиз, яъни чекли ҳолатда балка *B* нуқта атрофида айланади.

\* 1,2 ва 4-стерженларда оқувчанликнинг пайдо бўлиш ҳоли бундан мусатсондир. Чунки системанинг ана шунга мос ҳолати чекли бўлмайди. Ҳақиқатан ҳам нагрузкаларнинг тенг таъсири атубучиси 3-стерженнинг ўқи билан устма-уст тушади, агар у эластиклик босқичида бўлса нагрузканнинг ортиши билан стерженда зўриқиш ўсиши давом этади, шунинг учун ҳам бу стерженда оқувчанлик пайдо бўлган вақтдагина конструкциянинг юк кутариш қоюлияти бузилиган ҳисобланади.



18. 5-расм.



18. 6-расм.

ди. Бу ҳолда 1-стержень сиқылган\*, 3 ва 4-стерженлар эса чүзиялган бўлади. Чекли мувозанат тенгламаси:

$$\sum m_B = 0; -\sigma_{ok} 2Fa - \sigma_{ok} Fa - \sigma_{ok} F2a + q_{cek}^{II} 2aa = 0,$$

бундан

$$q_{cek}^{III} = \frac{5\sigma_{ok}P}{2a}.$$

**4-вариант** (18.4-расм,  $\delta$ ) — оқувчанлик биринчи стержендан ташқари барча стерженларда пайдо бўлади деб фараз қиласиз. Чекли мувозанат тенгламаси:

$$\sum m_A = 0; -\sigma_{ok} Fa - \sigma_{ok} F2a - \sigma_{ok} F3a + q_{cek}^{IV} \cdot 2a \cdot 2a = 0,$$

бундан

$$q_{cek}^{IV} = \frac{6\sigma_{ok}P}{4a} = 1,5 \frac{\sigma_{ok}P}{a}.$$

Шундай қилиб, тўртнинчи вариантга МОС бўлган чекли нагрузка энг кичик бўлиб чиқди, демак  $q_{cek}^{IV}$  — чекли нагрузканинг ҳақиқий қиймати бўлади.

Конструкциянинг мустаҳкамлик шарти

$$n = \frac{q_{cek}}{q} > [n],$$

еки

$$n = \frac{1,5 \sigma_{ok} F}{aq} > [n],$$

бундан

$$F > \frac{q[n]a}{1,5 \sigma_{ok}} = \frac{50 \cdot 1,8 \cdot 100}{1,5 \cdot 2600} = 2,3 \text{ см}^2.$$

\* Сиқылган стерженлар турғулагининг йўқолиш хавфи йўқ деб қабул қиласиз.

## Мустақил ечиш учун масалалар

18.1. Юқори учи қистириб маҳкамланган пұлат стержень 18.5-расмда күрсатылғаныдек юкланған. Стержень юкланғунча уннинг иккінчи учи билан әзилмайдыган текислик орасында оралиқ зазор  $\delta = 0,03 \text{ м.м.}$ ;  $\sigma_{\text{ок}} = 2800 \text{ кГ/см}^2$ ;  $[n] = 2$  бұлғанда чекли нагрузка усули бўйича рухсат этилган  $P$  кучнинг қиймати топилсін.

Жавоби.  $[P] = 22,4 \cdot 10^3 \text{ кГ.}$

18.2. 18.6-расмда курсатылған конструкция учун чекли нагрузка усули бўйича  $F$  юзининг талаб этилган қиймати аниқлансін. Стерженларнинг материаллари учун оқувчанлық чегаралари:  $(\sigma_{\text{ок}})_{\text{ад}} = 2000 \text{ кГ/см}^2$ ;  $(\sigma_{\text{ок}})_m = 1600 \text{ кГ/см}^2$ ;  $(\sigma_{\text{ок}})_p = 2800 \text{ кГ/см}^2$ . Талаб этилган эҳтиёт коэффициенти  $[n] = 2,0$ .

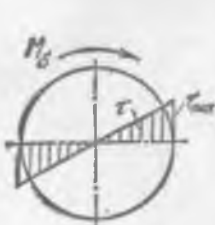
Жавоби.  $F = 8,5 \text{ см}^2$ .

## 18.3-§. КҮНДАЛАНГ КЕСИМИ ДОИРА ШАКЛИДАГИ БРУСНИ БУРАЛИШГА ҲИСОБЛАШ

Күндаланг кесими доира шаклидаги брус буралғанидан уннинг күндаланг кесимларидаги уринма кучланишлар чизиқли қонун бўйича тақсимланади (18.7-расм); бу кучланишлар ўзиннинг максимал қийматига контур нүқталарida әришади:  $\tau_{\text{max}} = \frac{M_b}{W_p}$ .

Бинобарин, брус ичидағы материал тұла кучланмаган ҳолда қолади.

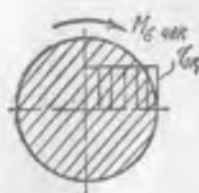
Буровчи момент  $M_{\text{бок}}$  катталилккача ўсиб борганида кесим контурининг нүқталаридаги кучланишлар оқувчанлық чегараси  $\tau_{\text{ок}}$  га әришади, брус ичи эса эластик ҳолатда қолади; буровчи моменттің кейинчалық ўснши билан бруснинг ички нүқталаридаги кучланишлар ҳам оқувчанлық чегарасынга әришади. 18.8-расмда күндаланг кесимнинг бир қисми оқувчанлық чегарасынга етган, ички соҳаси эса эластик ҳолатда бўлған ҳол учун уринма кучланиш эпюраси келтирілған.



18. 7-расм.



18. 8-расм.



18. 9-расм.



18.10- расм.

Буровчи моментнинг кейинчалик ортишида шундай ҳолатга эришиладики, унда эластик доира йўқолади ва бутун кесим бўйича кучланишлар оқувчанлик чегарасига тенг бўлади (18.9-расм). Бу эса бруснинг юк кўтариш қобилияти бузиладиган чекли ҳолат бўлади.

Бу ҳолатга мос келувчи чекли буровчи момент

$$M_{\text{чек}} = W_{pt} \tau_{ok},$$

бу ерда  $W_{pt}$  — кўндаланг кесимнинг пластик қутб қаршилик моменти.

Яхлит доиравий кесим учун

$$W_{pt} = \frac{\pi d^3}{12};$$

Ҳалқа шаклидаги кўндаланг кесим учун (18.10-расм):

$$W_{pt} = \frac{\pi}{12} (D^3 - d^3) = \frac{\pi D^3}{12} (1 - c^3),$$

бу ерда

$$c = \frac{d}{D}.$$

Хавфли нуқта бўйича ҳисоблашда бруснинг кўндаланг кесим контурининг нуқталарида оқувчанликнинг пайдо бўлиши хавфли ҳолат деб ҳисобланади. Бунга мос бўлган буровчи момент

$$M_{6\ ok} = W_{pt} \tau_{ok}.$$

Кўндаланг кесимнинг барча нуқталарида оқувчанликнинг пайдо бўлишига мос бўлган чекли буровчи момент

$$M_{6\ ok} = W_{pt} \tau_{ok}.$$

Шундай қилиб,

$$\frac{M_{6\ ok}}{M_{6\ ok}} = \frac{W_{pt}}{W_{\delta}} = \frac{\frac{\pi D^3}{12} (1 - c^3)}{\frac{\pi D^3}{16} (1 - c^4)}.$$

Бу нисбат ҳалқа деворининг қалинлиги камайган сари бирга яқинлаша боради ва яхлит кесим учун максимал қиймагга эга бўлади:

$$\frac{M_{6\ ok}}{M_{6\ ok}} = \frac{\frac{\pi D^3}{12}}{\frac{\pi D^3}{16}} = \frac{4}{3}.$$

**18.4- мисол.** Агар брус материали учун оқувчанлик чегараси  $\tau_{ок} = 1600 \text{ кГ/см}^2$ , талаб этилган өхтиёт коэффициенти  $[n] = 2$  бўлса чекли нагрузка усули бўйича бруснинг тала $\beta$  этилган диаметри аниқлансин (18.11- расм,  $a$ ).

Ечиш. Бруснинг чекли ҳолатида иккала участкасининг барча кўндаланг кесимлари даги буровчи моментлар ўзининг чекли қиймати  $M_{\text{чек}}$  га эришади.

Брусни иккита  $a - a$  ва  $b - b$  кесим билан қирқамиз (18.11- расм,  $b$ ). Чекли мувозанат ҳолатида қирқилган қисмiga ташки момент  $M_{\text{чек}}$  ва бруснинг ташлаб юборилган қисмларининг таъсирини алмаштирувчи  $M_{\text{чек}}$  буровчи моментлар таъсир этади.

Брус қолдирилган қисмининг мувозанат шарти:

$$2M_{\text{бчек}} - M_{\text{чек}} = 0;$$

$$M_{\text{чек}} - 2M_{\text{бчек}} = 2 \frac{\pi d^3}{12} \tau_{ок} = \frac{\pi d^3}{6} \tau_{ок},$$

Рухсат этилган момент қўйидагича аниқланади!

$$[M] = \frac{nM_{\text{чек}}}{[n]} = \frac{\pi d^3}{6 \cdot 2} \tau_{ок} = \frac{\pi d^3}{12} \tau_{ок},$$

бундан

$$d = \sqrt[3]{\frac{12[M]}{\pi \tau_{ок}}}.$$

Мустаҳкамлик шарти бўйича брусга қўйилган  $M$  момент рухсат этилган моментга тенг бўлади, яъни  $|M| - M = 8 \cdot 10^5 \text{ кГ} \cdot \text{см}$ , демак

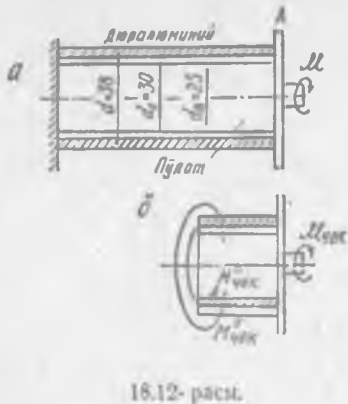
$$d = \sqrt[3]{\frac{12 \cdot 8 \cdot 10^5}{3,14 \cdot 1600}} = 12,4 \text{ см.}$$

Бу масалани чекли нагрузка усули билан ечишда участкалар узувларининг нисбати  $-l_1 : l_2$  аҳамиятга эга бўлмайди. Рухсат этилган кучланиш усули қўлланилганда эса, бу нисбатнинг миқдори катта аҳамиятга эга бўлади — рухсат этилган моментнинг миқдори  $l_1 = l_2$  булганда энг катта бўлади.

**18.5- мисол.** Пулат вал ва дюралюминий трубка бир уни билан қўзгалмас таянчга маҳкамланган, иккинчи учига эса А диск бикр қилиб биринтирилган, унга буровчи момент  $M$  қўйилган (18.12- расм,  $a$ ). Агар вал ва трубка материалларининг оқувчанлик чегаралари ( $\tau_{ок}$ )<sub>п</sub> = 170  $\text{Н/мм}^2$ ; ( $\tau_{ок}$ )<sub>д</sub> = 130  $\text{Н/мм}^2$  ва талаб этилган мустаҳкамлик өхтиёт коэффициенти  $[n] = 2,2$



18. 11- расм.



18.12-расм.

бу ерда

$$M_{\text{чек}}^n = (\tau_{\text{ок}})_n \frac{\pi d_B^3}{12} = 170 \frac{3.14 \cdot 25^3}{12} = 695 \cdot 10^3 \text{ н} \cdot \text{мм} = 695 \text{ н} \cdot \text{м};$$

$$\begin{aligned} M_{\text{чек}}^s &= (\tau_{\text{ок}})_s \frac{\pi d^3}{12} \left[ 1 - \left( \frac{d_B}{d} \right)^3 \right] = 130 \frac{3.14 \cdot 35^3}{12} \left[ 1 - \left( \frac{30}{35} \right)^3 \right] = \\ &= 950 \cdot 10^3 \text{ н} \cdot \text{мм} = 950 \text{ н} \cdot \text{м}. \end{aligned}$$

Шундай қилиб,

$$M_{\text{чек}} = 695 + 950 = 1645 \text{ н} \cdot \text{м}.$$

Рұксат этилган момент

$$[M] = \frac{M_{\text{чек}}}{[n]} = \frac{1645}{2,2} = 750 \text{ н} \cdot \text{м}.$$

Солишириш учун рұксат этилган моменттің қыйматини рұксат этилган күчланиш бүйіча ҳисоблад (әхтиәт коэффици-ентининг ўша миқдорида) аниқлашни тавсия қиламыз.

### Мустақил ечиш учун масалалар

**18.3.** Күндаланг кесими ҳалқа шаклидаги брус учун чекли буровчи момент  $M_{\text{чек}}$  ның күндаланг кесим ташқи контурининг нүкталарида оқувчанлик пайдо бўлиш вақтидаги буровчи момент  $M_{\text{чек}}$ га нисбати топилсин. Икки ҳол қаралсин: а) ҳалқанинг ички диаметрининг ташқи диаметрига нисбати  $c = \frac{d}{D} = 0,5$ ; б)  $c = \frac{d}{D} = 0,8$ .

Жағоби: а) 1,24; б) 1,1.

булса буровчи моменттің рұхсат этилган қыймати чекли нагрузка усули билан ҳисоблаб аниқласын.

Ечиш. Конструкциянинг юк күтариш қобилияты трубка ёки вал күндаланг кесимларидан қайси бирининг ҳамма нүкталарида оқувчанлик аввал пайдо бўлишидан қатъи назар иккала деталь ҳам оқувчанлик ҳолатига ўтгандан кейингини ниҳоясига етади. Чекли мувозанат ҳолати учун (18.12-расм, б) қўйидаги ифодани ёзамиш:

$$M_{\text{чек}} = M_{\text{чек}}^n + M_{\text{чек}}^s,$$

18.4. Агар  $\tau_{\text{ок}} = 18 \text{ кГ/м.м}^2$  ва  $[n] = 2,0$  бўлса, 18.13-расмда тасвирланган брус учун рухсат этилган  $M$  нинг миқдори аниқлансан.

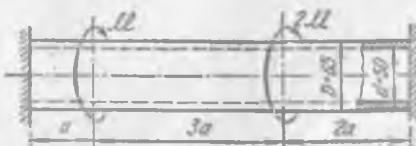
Жавоби.  $23,4 \cdot 10^3 \text{ кГ} \cdot \text{см.}$

#### 18.4-§. СТАТИК АНИҚ БАЛКАЛАРНИ ҲИСОБЛАШ

Пластик материалдан тайёрланган балқани эгилишга рухсат этилган кучланиш бўйича (хавфли нуқта бўйича) ҳисоблашда хавфли кўндаланг кесимнинг чекка нуқталаридаги нормал кучланишлар оқувчанлик чегарасига етгандаги конструкциянинг ҳолати хавфли ҳисобланади. Симметрик кўндаланг кесим учун (18.14-расм, а) мос нормал кучланишларнинг эпюраси 18.14-расм, б да кўрсатилган. Балкага таъсири этаётган нагрузка, лемак, хавфли кўндаланг кесимда пайдо буладиган эгувчи моментнинг қиймати ортган сари, кесимнинг кўпроқ қисми оқувчанлик ҳолатига ўтади; юкланишнинг бирор босқичида нормал кучланишларнинг эпюраси 18.14-расм, в да тасвирланган кўринишни олади. Кесимнинг оқувчанлик ҳолатига ўтган қисми (зонаси) нинг барча нуқталарида кучланиш  $\sigma_{\text{ок}}$  га тенг бўлади (сиқилиш ва чўзиши учун Прандтль диаграммаси бир хилда деб фараз қилинади); кесимнинг эластик ҳолатда ишлатганиш тўғри чизиқ қонуни билан тақсимланади.

Хавфли кўндаланг кесимнинг барча нуқталаридаги нормал кучланишлар миқдори оқувчанлик чегарасига етиши билан балканинг юс кўтариш қобилияти ниҳоясига етади (18.14-расм, г). Унга мос эгувчи момент чекли момент бўлади ( $M_{\text{чек}}$ ). Агарда статик аниқ балканинг битта кўндаланг кесимидағи эгувчи момент ўзининг чекли қийматига эришса ҳам, балка меҳанизмга айланади ва юкнинг кейинчалик ўсишнга қаршилик кўрсатиш қобилиягини йўқотади.

Балканинг бирор кўндаланг кесимида тўла оқувчанликнинг пайдо бўлишини шу кесимда шарнир ҳосил бўлишига ўхшатиши мумкин (пластик шарнир ёки оқувчанлик шарнири деб аталади), бу шарнир ёрдамида балканинг иккига бўлинган қисми доимий (чекли) нагрузка таъсирида бир-бираига нисбатан эркин айланади. Пластик шарнир бир томонламадир, яъни у балка қисмларини фақат чекли эгувчи момент йўналишида бир-бираига нисбатан бурилишига йўл қўяди. Балка юксизланганда



18. 13-расм.

(ёки балкага қарама-қарши йұналишда құшимча нағрузка құйылғанда) унинг қисмлари бир-бірнга нисбатан бурилмайды.

Чекли әгувчи моменттің миқдори құйидаги формула бүйінша аниқланады:

$$M_{\text{ок}} = \sigma_{\text{ок}} \cdot W_{\text{ок}},$$

бу ерда  $W_{\text{ок}}$  — балка күндаланг кесимининг пластик қаршилик моменті.

Симметрик күндаланг кесимде (18.14-расм) қаранг):

$$W_{\text{ок}} = 2S_{\text{max}},$$

бу ерда  $S_{\text{max}}$  — нейтрал үққа нисбатан кесим ярмининг статик моменті. Масалан, эни  $b$  ва баландлығы  $h$  бұлған түрін түртбұрчакли кесим учун

$$W_{\text{ок}} = 2 \left( \frac{bh}{2} \cdot \frac{h}{4} \right) = \frac{bh^3}{4}.$$

Симметрик бұлмаган күндаланг кесим бутунлай оқувчанлық ҳолатига үтган бұлса (18.15-расм), нейтрал үк уни иккі тенгдош қисмга ажрагади (эластиклик ва пластиклик босқичларыда ишләтгандан нейтрал үқиннің вазиятлари устма-уст түшмайды). Пластик қаршилик моменті құйидаги формула бүйінша аниқланады:

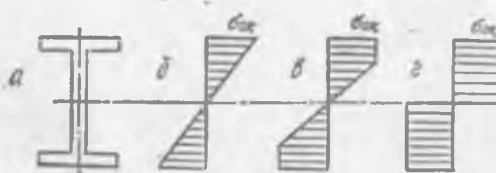
$$W_{\text{ок}} = S_1 + S_2,$$

бу ерда  $S_1$  ва  $S_2$  — ярим кесимларнинг нейтрал үққа нисбатан статик моментлари ( $S_1 \neq S_2$ ).  $S_1$  ва  $S_2$  ләрнің қыйматлары модуль бүйінча (абсолют миқдори) олинади.

Юқорида айтилғанлар балканиң соғ әғилишиға тааллуқпидір, лекин амалда кесувчи (күндаланг) күчнің таъсири жуда кам бұлғаны учун көлтирилған мұносабаттар күндаланғ әғилишда ҳам етарли даражада аниқлік беради.

Күчланиш оқувчанлық чегарасынан тенг бұлғанда хавфі күндаланг кесимнің фақат чекка нұқталарыда әгувчи момент пайдо бўлади (18.14-расм, б) қаранг). Бу момент  $M_{\text{ок}}$  билан белгиланади, унинг миқдори құйидаги ифодадан аниқланади.

$$M_{\text{ок}} = \sigma_{\text{ок}} W.$$

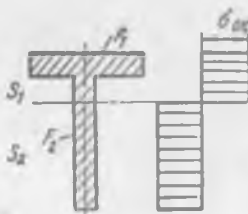


18. 14-расм.

Хавфли нүқта бүйича ҳисоблаш методига асосан  $M_{\text{ок}}$  момент хавфли бўлади. Келтирилган формуладан чекли эгувчи моментнинг  $M_{\text{ок}}$  моментга нисбати пластик қаршилик моментининг эгилишдаги қаршилик моменти нисбатига тенг деган холоса келиб чиқади:

$$\alpha = \frac{M_{\text{чек}}}{M_{\text{ок}}} = \frac{W_{\text{ок}}}{W}.$$

18. 15-расм.



Бу нисбатнинг катталиги, ўз-узидан равшанки, асосан кўндаланг кесим шаклига боғлиқ бўлади. Масалан, тўғри тўртбурчакли кўндаланг кесим учун  $\alpha = 1,5$ ; энг катта бикрлик текислигига эгилиш ишлайдиган қўштавр учун, ўртача ҳисобда  $\alpha = 1,15$ .

Чекли нагрузка бўйича ва хавфли нүқта бўйича ҳисоблаш топилган рухсат этилган эгувчи моментларнинг нисбати  $\alpha$  дан бир қадар кичик бўлади, чунки чекли нагрузка бўйича ҳисоблашда эҳтиёт коэффициенти, одатда, рухсат этилган кучланиш бўйича ҳисоблашга қараганда каттароқ олинади.

18.6-мисол. 18.16-расмда кўрсатилган икки таянчили балка учун рухсат этилган текис тақсимланган нагрузка интенсивлигининг миқдори аниқлансин. Балканинг кўндаланг кесими 18.17-расмда тасвирланган. Балка материалининг оқувчанлик чегараси  $\sigma_{\text{ок}} = 2300 \text{ кГ/см}^2$ , талаб этилган эҳтиёт коэффициенти  $[n] = 1,6$ .

Ечиш. Нейтрал ўқ кўндаланг кесимни икки тенгдош қисмга бўлишлик (чекли ҳолатда) шартидан фойдаланиб, унинг (ўқининг) вазиятини аниқлаймиз. Деворининг юзаси токчасининг юзасидан катта ва демак, нейтрал ўқ деворни кесиб ўтади. Токча ички ёндан нейтрал ўққача бўлган масофани  $y_0$  билан белгилаб ҳамда  $F_1 = F_2$  эканлигини эътиборга олиб, (18.17-расм) қўйидагини топамиз.

$$10 \cdot 1 + 1 \cdot y_0 = 1 \cdot (20 - y_0),$$

бундан

$$y_0 = 5 \text{ см.}$$

Ярим кесимларнинг нейтрал ўққа нисбатан статик моментларини аниқлаймиз.

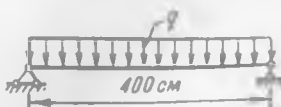
$$S_1 = 1 \cdot 15 \frac{15}{2} = 112,5 \text{ см}^3,$$

$$S_2 = 10 \cdot 1 \cdot 5,5 + 1 \cdot 5 \cdot 2,5 = 67,5 \text{ см}^3.$$

Кўндаланг кесимнинг пластик қаршилик моменти

$$W_{\text{ок}} = S_1 + S_2 = 112,5 + 67,5 = 180 \text{ см}^3.$$

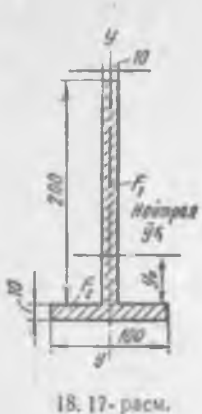
18. 16-расм.



Чекли эгувчи момент .

$$M_{\text{чек}} = \sigma_{\text{ок}} \cdot W_{\text{ок}} = 2300 \cdot 180 = \\ = 414 \cdot 10^3 \text{ кГ} \cdot \text{см.}$$

Рухсат этилган эгувчи момент



18. 17-расм.

$$[M] = \frac{M_{\text{чек}}}{[n]} = \frac{414 \cdot 10^3}{1.6} = 258.8 \cdot 10^3 \text{ кГ} \cdot \text{см.}$$

Энг катта эгувчи момент пролёт ўртасидаги кесимида пайдо бўлади:

$$M_{\max} = \frac{q l^2}{8}.$$

буидан

$$[q] = \frac{8[M]}{l^2} = \frac{8 \cdot 258.8 \cdot 10^3}{400^2} = 12.94 \text{ кГ/см.}$$

**18.7-мисол.** Икки таянчда ётувчи  $l = 8 \text{ м}$  ли балка учун қўштавр профилининг талаб этилган номери чекли нагружка бўйича ҳисоблаш йўли билан аниқлансиз. Унга нитенсивлиги  $q = 800 \text{ кГ/м}$  бўлган доимий нагружка ва пролёт ўртасига қўйилган тупланган куч  $P = 2000 \text{ кГ}$  таъсир этади. Оқувчанлик чегараси  $\sigma_{\text{ок}} = 2400 \text{ кГ/см}^2$ . Мустаҳкамлик эҳтиёт коэффициенти  $[n] = 1.6$ . Агар ҳисоб рухсат этилган кучланиш бўйича олиб борилса, (ўша эҳтиёт коэффициентида) у ҳолда қўштаврнинг кандай номерини олиш керак?

Ечиш. Энг катта эгувчи момент (пролёт ўртасидаги кесимда)

$$M_{\max} = \frac{q l^2}{8} + \frac{P l}{4} = \frac{800 \cdot 8^2}{8} + \frac{2000 \cdot 8}{4} = 10400 \text{ кГ} \cdot \text{м.}$$

Симметрик кесим учун мустаҳкамлик шарти чекли нагружка бўйича қўйидаги формула билан ифодаланади:

$$n = \frac{M_{\text{чек}}}{M_{\max}} = \frac{2S_{\max} \cdot \sigma_{\text{ок}}}{M_{\max}} > [n],$$

бу ерда  $S_{\max}$  — кесим ярмининг нейтрал ўқса нисбатан статик моменти.  $S_{\max}$  нинг талаб этилган миқдори:

$$S_{\max} = \frac{M_{\max}}{2\sigma_{\text{ок}}} [n] = \frac{10400 \cdot 10^3 \cdot 1.6}{2 \cdot 2400} = 347 \text{ см}^3.$$

Сортамент бүйича (ГОСТ 8239 — 56 иловага қаранг)  $S_x = 339 \text{ см}^3$  бүлган 33- номерли құштавр түғри келади (ұтаюқданыш 2,36%).

Рухсат этилган күчланиш бүйича ҳисоблашда

$$W = \frac{M_{\max}}{[\sigma]} = \frac{M_{\max} [n]}{\sigma_{\text{ок}}} = \frac{10400 \cdot 10^6 \cdot 1.6}{2400} = 693 \text{ см}^3,$$

бунга  $W = W_x = 743 \text{ см}^3$  бүлган 36- номерли құштавр түғри келади.

18.8-мисол. Құштавр балқаны әгиш учун ишлатиладиган пресс винтінің ҳисоблаш учун керак бүлган сиқувчи зүриқишининг миқдори аниқлансан (18.18-расм). Энг катта құштавр профилининг номери 22. Прессда әгиладиган балка материалининг максимал оқувланылған чегарасы  $\sigma_{\text{ок}} = 26 \text{ кГ/м.м}^2$ .

Е чи ш. Құштавр ўрта кесимнде пластик шарнир пайдо бўлиши кераклиги шартидан пресс винти учун ҳисоблаш зуриниши аниқланади, яъни бу кесимнде эгувчи момент чекли моментга тенг бўлиши керак. Пролёт ўртасига қўйилган куч гаъсиридаги икки таянчли балка учун

$$M_{\max} = \frac{P l}{4},$$

$M_{\max} = M_{\text{чек}}$  эканлыгини назарга олиб, қўйидагини топамиз:

$$P = \frac{4M_{\text{чек}}}{l}.$$

$M_{\text{чек}}$  ни аниқлаш учун ярим кесимнинг нейтрал үққа нисбатан статик моментини ҳисоблаймиз. Бунинг учун кесимнинг 18.19-расмда көлтирилган соддалаштирилган тасвиридан фойдаланамиз (токчанинг силлиқланган жойлари ва нишаблигини эътиборга олмаймиз).

$$S_{\max} = 2 \cdot 5,5 \cdot 0,86 \cdot \frac{5,5}{2} + (22 - 2 \cdot 0,86) \cdot \frac{0,53}{2} \cdot \frac{0,53}{4} = 26,8 \text{ см}^3.$$

Пластик қаршилик моменти

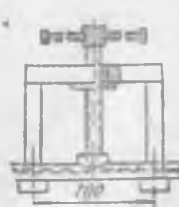
$$W_t = 2S_{\max} = 2 \cdot 26,8 = 53,6 \text{ см}^3.$$

Чекли момент

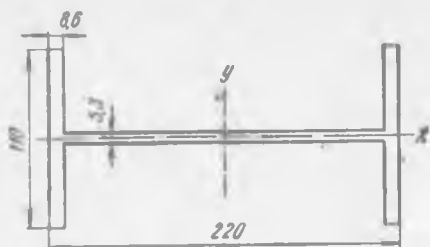
$$\begin{aligned} M_{\text{чек}} &= \sigma_{\text{ок}} W_t = 2600 \cdot 53,6 \approx \\ &\approx 13,9 \cdot 10^4 \text{ кГ·см}. \end{aligned}$$

Ҳисоблаш зўриқиши

$$P = \frac{4M_{\text{чек}}}{l} = \frac{4 \cdot 13,9 \cdot 10^4}{70} = 7950 \text{ кГ}.$$



18. 18-расм.



18. 19- расм.

### Мустақил ечиш учун масалалар

18.5. Узунлиги  $l = 1,2 \text{ м}$  булган балка учлари билан шарнир орқали таянади, унга бутун узунлиги бўйича текис тақсимланган юк таъсир этади. Балканинг кўндаланг кесими 18.20-расмда кўрсатилган. Агар  $\sigma_{\text{ок}} = 250 \text{ Н/мм}^2$  ва  $\{n\} = 1,7$  бўлса, у ҳолда нагрузканинг руҳсат этилган интенсивлиги аниқлансин.

*Жавоби.* 17,85  $\text{кН/м}$ .

18.6. Кўндаланг кесими қўштавр (40- номерли қўшгавр) балка учун чекли эгувчи момент миқдори  $M_{\text{чек}}$  нинг кўндаланг кесимнинг чекка нуқталарида оқувчанликнинг пайдо булишига мос бўлган  $M_{\text{ок}}$  эгувчи момент миқдорига нисбати аниқлансин. Балканинг энг катта ва энг кичик бикрлик текисликларида эгилиш ҳоллари кўриб чиқилсин.

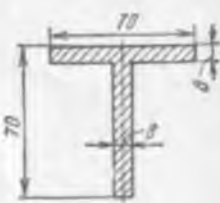
*Жавоби.* а) балка энг катта бикрлик текислигига эгилганида  $\alpha = 1,14$ ; б) энг кичик бикрлик текислигига эгилганида  $\alpha = 1,89$ .

18.7. 18.21- расмда кўрсатилган коробка кесимли балка учун олдинги масаладаги шартлар бажарилсин. Балка энг катта бикрлик текислигига эгилади.

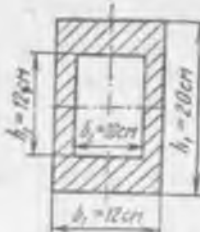
*Жавоби*  $\alpha = 1,28$ .

### 18.5-§. ЭНГ ОДДИЙ СТАТИК АНИҚМАС БАЛКАЛАРНИ ҲИСОБЛАШ

Статик аниқмас балкаларда ягона пластик шарнирнинг ҳосил булиши билан балканинг юк кўтариш қобилияти тугаб қолмайди (камдан-кам учрайдиган баъзи бир ҳоллар бундан мусетсано). Масалан, бир марта статик аниқмас консолсиз балка иккига пластик шарнир пайдо бўлиши билан геометрик шаклини ўзгартирувчи системага айланади (18.9, 18.10- мисолларга қаранг). Икки марга статик аниқмас балканинг юк кўтариш қобилияти, одатда, учта пластик шарнир пайдо бўлиши билан ниҳоясига етиши мумкин. Натижада, статик аниқмас балка-



18. 20-расм.



18. 21-расм.

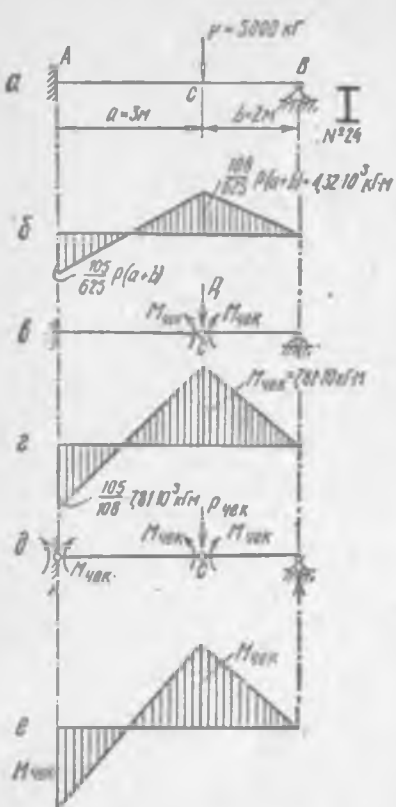
учун фақатгина бигта күндаланг кесимнинг чекка нұқталарида оқувчаникнинг пайдо бўлишига мос бўлган нагруззанинг катталиги ўша шаклдаги күндаланг кесимга эга бўлган статик аниқ балка учун чекли нагруззка катталигидан анча кўп фарқ қиласди.

Балканинг чекли ҳолатга ўтиши (геометрик шаклини ўзгартирувчи системага айланиши) учун зарур бўлган пластик шарнирлар сони балканинг статик аниқмаслик даражасидан бигта ортиқ бўлниши ҳамма вакт шарт эмас. Агар кўп таянчли статик аниқмас балка (туташ балка)нинг пролётларидан ҳеч бўлмаса биттаси геометрик шаклини ўзгартирувчи системага айланиб қолса, у ҳолда балка ўзининг юк кутариш қобилиятини йўқотади.

Чекли нагруззани аниқлаш учун балканинг эластиклик босқичда ишлашини қараш ва балканинг механизмга айланиши учун зарур бўлган пластик шарнирларнинг пайдо бўлишилик тартибини урнатиш мумкин (18.9- мисолга қаранг). Системанинг эластик босқичда ишлашини қарамасдан (статик аниқмасликни очмасдан) балканинг юк кутариш қобилиятини ниҳоясига етказадиган сабабларни урганиш ва аниқлаш ҳамда уларнинг ҳар бири учун чекли нагруззани ҳисоблаш анча осондир. Ҳақиқий чекли нагруззка курсатилган усул билан аниқланган чекли нагруззкалардан кичиги бўлади. Ҳисоблашнинг ушбу усули мазкур параграфнинг 18.9- мисолидан бошқа мисолларида қўлланилган.

18.9- мисол. 18.22-расм, а да тасвиirlанган балка учун хавфли нұқта бўйича ва чекли нагруззка бўйича ҳисоблашлардан фойдаланиб, эҳтиёт коэффициентлари аниқланасин. Балка материяли учун  $\sigma_{\text{н}} = 2400 \text{ кГ/см}^2$ .

**Е ч и ш.** Балка материалининг эластиклик босқичда ишлашини ҳисоблаш учун аввал куриб чиқилган усувлардан бирини қўллаб, статик аниқмасликни очиш керак бўлади. Масалан, куч усулини қўллаш мумкин, бунда асосий система сифатида шарнирли таянчи ташлаб юборилган балкани оламиз. Бу ҳолда ортиқча номаълум ( $X_1$ ), ташлаб юборилган таянч



18. 22-расм.

сатилган. Чекли моментнинг миқдори қуйидаги ифодадан аниқланади:

$$M_{\text{чек}} = 2S_{\max} \sigma_{\text{ок}} = 2 \cdot 163 \cdot 2400 = 7,81 \cdot 10^6 \text{ кГ} \cdot \text{см},$$

бу ерда  $S_{\max} = 163 \text{ см}^3$  (ГОСТ 8239-56 бүйіча) — кесим ярманинг нейтрал үққа нисбатан статик моменти.

Юк миқдори кейинчалық үса борганида балка оралиқ шарнирга құйилған түппланған күч (үсуви күч) ва үзгармас момент  $M_{\text{чек}}$  билан юкландын статик аниқ балка каби ишлайды. Балканинг юк күтариш қобилиятининг қаноатланиши иккінчи пластик шарнирнинг пайдо бўлиши билан ниҳоясига етади. Балка механизмга айланади (18.22-расм,  $\delta$ ). Чекли мувозанаг ҳолатига мос бўлган эгувчи моментнинг эпюраси 18.22-расм,  $e$  да көрсатилган.

реакцияси булади. Каноник тенгламани тузиб, уни ечиш натижасида  $X_1 = \frac{54}{125} P$  ҳосил қилинади. Эгувчи моментнинг мос эпюраси 18.22-расм,  $b$  да күрсатилган. Күч таъсиридан кесимда пайдо буладиган максималь нормал кучланиш:

$$\sigma_{\max} = \frac{M_{\max}}{W_z} = \frac{4,32 \cdot 10^6}{289} = \\ = 1490 \text{ кГ/см}^2,$$

бу ерда  $W_z = 289 \text{ см}^3$  (ГОСТ 8239-56 жадвалида  $W_z$  билан белгиланған).

Кучланиш бүйіча ҳисоблашда әхтиёт коэффициенти

$$n = \frac{\sigma_{\text{ок}}}{\sigma_{\max}} = \frac{2400}{1490} = 1,61.$$

Балкага таъсир этувчи нагрузка  $P$ , катталиқкача үсіб борганды  $C$  кесимда пластик шарнир пайдо булади (18.22-расм,  $\theta$ ). Шундай қилиб балка статик аниқ бўлиб қолади, лекин унинг юк күтариш қобилияты ҳали ниҳоясига етганича йўқ. С кесимда пластик шарнир пайдо бўлишига мос бўлган эгилувчи моментнинг эпюраси 18.22-расм,  $\vartheta$  да кўрсатилган.

С ва А кесимлардаги эгувчи моментлар учун ифодалар тузыб, чекли нагружка катталыктарини аниқтаймиз:

$$M_C = M_{\text{чек}} - R_B b,$$

бундан

$$R_B = \frac{M_{\text{чек}}}{b} +$$

$$M_A = -M_{\text{чек}} = R_B(a+b) - P_{\text{чек}} a = \frac{M_{\text{чек}}}{b}(a+b) - P_{\text{чек}} a,$$

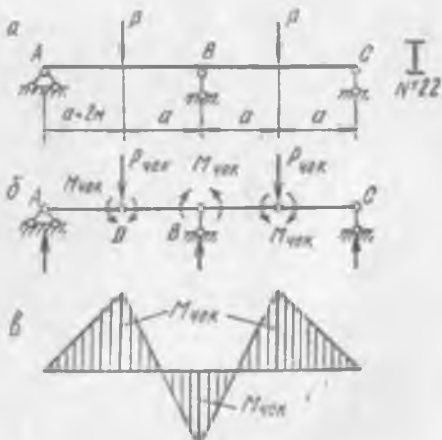
бундан

$$P_{\text{чек}} = \frac{M_{\text{чек}} a + 2M_{\text{чек}} b}{ab} = \frac{M_{\text{чек}}}{b} + \frac{2M_{\text{чек}}}{a} = \frac{7,81 \cdot 10^6}{200} + \frac{2 \cdot 7,81 \cdot 10^6}{300} = \\ = 9110 \text{ кГ.}$$

Чекли нагружка бүйінча ҳисоблашда әхтиёт коэффициенті

$$\alpha' = \frac{P_{\text{чек}}}{P} = \frac{9110}{5000} = 1,82.$$

Шуниси қизиқки, күриб чиқылған мисолда балканиң статик аниқмаслығы иккі усул билан аниқланған әхтиёт коэффициент-ларининг нисбатига деярли таъсир күрсатмади. Ҳақиқатан ҳам, agar балканиң чекли ҳолати биринчи пластик шарнирнинг пайдо булишига мос келади деб шартты равишда қабул қилинса, у ҳолда әхтиёт коэффициенті 1,81 га teng бұлади, яғни иккита пластик шарнирнинг пайдо булишига мос бұлған ҳақи қий чекли ҳолат бүйінча топилған әхтиёт коэффициентидан деярли фарқ қылмайды. Бунинг сабаби иккита пластик шарнирнинг деярли бир вақтда пайдо булишидадыр. Балка эластик-



18. 23- расм.

лик босқичда ишлаганда  $A$  ва  $C$  кесимлардаги әгувчи моментлар абсолют миқдори бүйічі бир-бирига яқиндір (18.22-расм, б) қаранды).

Пластик шарнирлар пайдо булишининг тартиби чекли нағұзканинг қатталиғига таъсир қылмайды. Балканинг эластик-лик босқичда ишлашини қарамасдан балки түғридан-түғри уннинг чекли ҳолатда булишилігини күриб чиқавериш ҳамда  $A$  ва  $C$  кесимлардаги әгувчи моментлар  $M_{\text{чек}}$  га тенглігінни билгап ҳолда (худди көлтирилған ечимнинг охирида бажарылғанидек)  $P_{\text{чек}}$  ни топиш мүмкін еди.

18.10-мисол. 18.23-расм, а да күрсатылған балка учун рухсат этилған нагружка чекли нагружка бүйічі ҳисоблашдан фойдаланыб аниқлансын. Балка материалы учун  $\sigma_{\text{ок}} = 2300 \text{ кГ/см}^2$ . Талаб этилған әхтиёт коэффициенти  $[n] = 1,6$ .

Ечиш Балканинг юк кутариш қобилияты иккита пластик шарнирнинг пайдо булиши билан ниҳоясига етади. Ыз-үзидан равшанки, әңг катта әгувчи моментлар  $P$  күч құйилған жойда ва үрга таянчдаги кесимларда пайдо булади. Чекли нагружка бүйічі ҳисоблаш учун күрсатылған моментлардан қайсы бири катта эканлығы роль үйнамайды. Умумий, ҳолда, агар балка пролёті бүйічі құйилған күчлар миқдори ҳар хил бұлса, у вактда иккита пластик шарнир пайдо булишининг мүмкін бўлған турли вариантын қарашга ва мос чекли нагружкаларни аниқлашга тўғри келади. Пластик шарнирлар үрга таянчда ва ўнг пролётдаги күч құйилған жойда пайдо булади, деб сўнгра пластик шарнирлар үрга таянчда ва чап пролётнинг күч құйилған жойидаги кесимда пайдо булади деб қабул қилиш мүмкін. Берилған балкада пролётлардаги күчлар тенг ва таянчларга нисбатан симметрик равиша жойлашган, демак, пролётлардаги (кучлар құйилған кесимлардаги) әңг катта моментлар миқдәри бир хилдір. Шундай қилиб, балка емирилиш механизмнинг схемасида күрсатылғанидек (18.23-расм, б) чекли ҳолатда бир йўла учта пластик шарнир пайдо булади (қайтарылса ҳам, шуни таъкидлаймиз, чекли ҳолатга утиш учун иккита шарнирнинг ўзи етарли бўлар еди).

Әгувчи моментларнинг мос эпюраси 18.23-расм, в да берилған.

$P$  күчнинг чекли құйматини аниқлаш учун  $D$  ва  $B$  кесимлар учун әгувчи моментларнинг ифодасини тузамиш:

$$M_D = M_{\text{чек}} = R_A a,$$

бундан

$$R_A = \frac{M_{\text{чек}}}{a}.$$

$$M_B = -M_{\text{чек}} = R_A \cdot 2a - P_{\text{чек}} \cdot a = \frac{M_{\text{чек}}}{a} \cdot 2a - P_{\text{чек}} \cdot a,$$

бундан

$$P_{\text{чек}} = \frac{3M_{\text{чек}}}{a}.$$

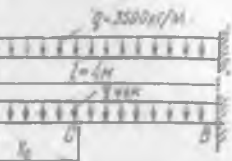
Чекли моменттинг қийматини ҳисоблаймиз:

$$M_{\text{чек}} = 2S_{\max}\sigma_{\text{ок}} = 2 \cdot 130 \cdot 2300 - \\ = 598 \cdot 10^3 \text{ кГ} \cdot \text{см},$$

бу ерда  $S_{\max} = 130 \text{ см}^3$  — ГОСТ 8239-56 бўйича қабул қилинган.

Чекли куч

$$P_{\text{чек}} = \frac{3M_{\text{чек}}}{a} = \\ = \frac{3 \cdot 598 \cdot 10^3}{200} = 8950 \text{ кГ}.$$



18. 24- расм.

Рухсат этилган куч

$$[P] = \frac{P_{\text{чек}}}{[n]} = \frac{8950}{1,6} = 5600 \text{ кГ}.$$

18.11\*-мисол. Чекли нагрузка бўйича ҳисоблашдан фойдаланиб, 18.24- расм, а да кўрсатилган балка учун қўштавр профилининг талаб этилган номери аниқлансан.

$$\sigma_{\text{ок}} = 2400 \text{ кГ}/\text{см}^2; [n] = 1,6.$$

Е ч и ш. Балкага таъсир этувчи нагрузканинг миқдори ортиб бориши билан биринчи пластик шарнир ё қистириб маҳкамланган жойда ёки пролёт оралиғидаги қандайдир кесимда пайдо бўлади; унинг айнан қайси кесимда пайдо бўлишини аниқлашди учун балканинг эластиклик босқичда ишлаши учун ҳисоблаб чиқиш (статик аниқмасликни ечиш) орқали ўрнатиш мумкин, лекин бунинг ҳожати йўқ. Балканинг юқ кутариш қобилияти иккита пластик шарнир маҳкамланган жойда ва пролётда пайдо бўлиши билан ниҳоясига етади. Балканинг бунга мос схемаси 18.24- расм, б да кўрсатилган. 18.24- расм, б да эса эгувичи моментларнинг эпюраси берилган. Пластик шарнир пайдо бўладиган кесимнинг (пролётдаги) вазияти аввалдан маълум

\* С. М. Жданов Расчет конструкций с учётом пластических свойств материала, ўкув қўлланмасининг материаллари бўйича түвилган. Москва, энергетика институти нашриёти, 1952 йил.

эмас; 18 24-расм, б да бу кесимдан чап таянчгача бүлган ма-софа  $x_0$  билан белгиланган. Чекли нагрузка билан чекли мо-мент миқдори орасида муносабат ўрнатиш учун пластик шар-нирлар пайдо бүлган кесимлардаги эгувчи (чекли) моментлар-ни шу кесимлардан чапда қўйилган ташки кучлар орқали г’фодалаймиз, бу эса кейинчалик мустаҳкамлик шартини ту-зишга имконият беради.

$$M_C = M_{\text{вес}} = R_A x_0 - \frac{q_{\text{тек}} x_0^2}{2};$$

$$M_B = -M_{\text{вес}} = R_A l - \frac{q_{\text{тек}} l^2}{2}.$$

$M_{\text{тек}}$  ва  $q_{\text{тек}}$  лар орасида муносабат ўрнатиш учун бу икки тенглама етарли эмас. Момент  $C$  кесимда максимал бўлгани учун бу кесимда кўндаланг куч нолга тенг бўлади. Бу шарт эса, етишмаган тенгламанин беради:

$$Q_C = 0 = R_A - q_{\text{тек}} x_0.$$

Келтирилган тенгламаларни биргаликда ечиб, қўйидагини топамиз:

$$x_0 = (\sqrt{2} - 1)l = 0,414l;$$

$$q_{\text{тек}} = \frac{2M_{\text{вес}}}{l^2} (1 + \sqrt{2})^2 = 11,66 \frac{M_{\text{вес}}}{l^2}.$$

Мустаҳкамлик шарти:

$$n = \frac{q_{\text{тек}}}{q} = 11,66 \frac{M_{\text{вес}}}{l^2 q} > [n]$$

ёки

$$11,66 \frac{W_{\text{ок}} \sigma_{\text{ок}}}{l^2 q} > [n],$$

бундан

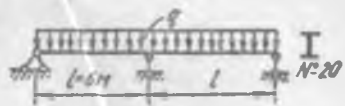
$$W_{\text{ок}} > \frac{l^2 q [n]}{11,66 \sigma_{\text{ок}}} = \frac{400^2 \cdot 35 \cdot 1,6}{11,66 \cdot 2400} = 320 \text{ см}^3,$$

яъни кесим ярмининг нейтрал ўққа нисбатан талаб этилган статик моменти

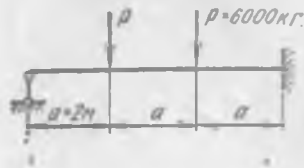
$$S_x = S_{\text{max}} = \frac{W_{\text{ок}}}{2} = \frac{320}{2} = 160 \text{ см}^3.$$

ГОСТ 8239 – 56 бўйича  $S_x = 163 \text{ см}^3$  бўлган 24-номерли қўштаврни оламиз.

Шунни таъкидлаш қизиқки, пролётда пластик шарнир балка эластиклик босқичда ишлаганда эгувчи момент максимал бўлган кесимида пайдо бўл-масдан, балки пролёт ўртасига, бироз яқинроқ жойда пайдо бўлади. Бирин-



18.25- расм.



18.26- расм.

чи пластик шарнир балка қистириб маҳкамалайди жоїда пайдо бўлганлиги учун ана шундай ҳол юз беради (шундай қилиб, пролётдаги максимал момент тўғрисида гапирингланда, пролёт оралиғида қистириб маҳкамаланган кесимдан мустасно кесимлардаги энг катта момент назарда тутилади); юкнинг кейинчалик усишида балка шарнир орқали таянган балка каби ишлайди. Бундан балкада кучнинг кейинчалик ортиши билан боғлиқ бўлган эгувчи момент пролёт ўргасидаги кесимда максимал қийматга эга бўлади. Оқибатда, балка эластик-пластик босқичда ишлайдиганда максимал эгувчи моментни кесим пролёт ўргасига силжипди ва балка юк кўтариш қобилянтигини йўқотганида унинг вазияти юқорида топилган вазиятга тўғри келади.

Агар ҳисоблашни соддалаштириш учун пластик шарнир (иккинчи) пролёт ўргасида ҳосил бўлади дейилса, у вақтда  $q_{\text{чек}}$  күйнадиги ифодадан аниқланади:

$$q_{\text{чек}} = 12 \frac{M_{\text{тек}}}{l^2},$$

яъни бундай тақрибињ ҳисоблашда 2,9% хатолик рўй беради.

### Мустақил ечиш учун масалалар

**18.8.** 18.23-расмда кўрсатилган балка учун чекли нагрузканинг оқувчанлик пайдо қиласидаги  $P_{\text{ок}}$  нагрузкага нисбати то-пилсин.

*Жавоби.* 1,27.

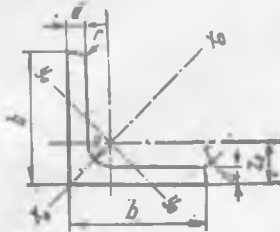
**18.9.** 18.25-расмда кўрсатилган балка учун тақсимланган юк интенсивлигининг рухсат этилган катталиги аниқлансин  $\sigma_{\text{ок}} = 240 \text{ кН/м}^2$ ;  $[n] = 1,7$  деб қабул қилинсин.

*Жавоби.*  $[q] = 9,32 \text{ кН/м}$ .

**18.10.** 18.26-расмда кўрсатилган балка учун қуштаврнинг талаб этилган номери аниқлансин.  $\sigma_{\text{ок}} = 2500 \text{ кГ/см}^2$ ;  $[n] = 1,6$  деб қабул қилинсин.

**Кўрсатма.** Иккита пластик шарнир пайдо бўлишининг мумкин бўлган варианtlарини қаранг; бу варианtlарнинг ҳар бирига мос бўлган  $P$  кучнинг чекли қимматларини топинг.

*Жавоби.* 30 а.



ПҮЛД ПРОКАТЛИ ТЕНГ ЁНЛИ БУРЧАКЛИК  
ГОСТ 8509-57

Белгилашлар:

- $b$  — токчасининг эни;
- $d$  — токчасининг қалинлиги;
- $R$  — ички силлиқлаш радиуси;
- $r$  — токчаларнинг силлиқлаш радиуси;
- $J$  — инерция моменти;
- $I_x, I_{x_0}, I_{y_0}$  — инерция радиуслари;
- $z_0$  — оғирлик марказигача бўлган масофа.

Профиль №	Улчамлари, мм				Кесим юзи, см <sup>2</sup>	1 м узунлигининг оғирлигиги, кг	$z_0$ , см	Үқлар учун справка маълумотларида келтирилган қийматлар					
	$b$	$d$	$R$	$r$				$x - x$		$x_0 - x_0$		$y_0 - y_0$	
					$J_x, \text{см}^4$	$I_x, \text{см}$	$J_{x_0}, \text{см}^4$	$I_{x_0}, \text{см}$	$J_{y_0}, \text{см}^4$	$I_{y_0}, \text{см}$			
2	20	$\frac{3}{4}$	3,5	1,2	1,13	0,89	0,60	0,40	0,59	0,63	0,75	0,17	0,39
					1,46	1,15	0,64	0,50	0,58	0,78	0,73	0,22	0,38
2,5	25	$\frac{3}{4}$	3,5	1,2	1,43	1,12	0,73	0,81	0,75	1,29	0,95	0,34	0,49
					1,86	1,46	0,76	1,03	0,74	1,62	0,93	0,44	0,48
2,8	28	3	4	1,3	1,62	1,27	0,80	1,16	0,85	1,84	1,07	0,48	0,55
					1,86	1,46	0,89	1,77	0,97	2,80	1,23	0,74	0,63
3,2	32	$\frac{3}{4}$	4,5	1,5	2,43	1,91	0,94	2,26	0,96	3,58	1,21	0,94	0,62

3	36	$\frac{3}{4}$	4,5	1,5	2,10	1,65	0,99	2,56	1,10	4,06	1,39	1,06	0,71
					2,75	2,16	1,04	3,29	1,09	5,21	1,38	1,36	0,70
4	40	$\frac{3}{4}$	5	1,7	2,35	1,85	1,09	3,55	1,23	5,63	1,55	1,47	0,79
					3,08	2,42	1,13	4,58	1,22	7,26	1,53	1,90	0,78
4,5	45	$\frac{3}{4}$	5	1,7	2,65	2,08	1,21	5,13	1,39	8,13	1,75	2,12	0,89
					3,48	2,73	1,26	6,63	1,38	10,50	1,74	2,74	0,89
5	50	$\frac{3}{4}$	5,5	1,8	2,96	2,32	1,33	7,11	1,55	11,30	1,95	2,95	1,00
					3,89	3,05	1,38	9,21	1,54	14,60	1,94	3,80	0,99
5,6	56	$\frac{3,5}{4}$	6	2	3,86	3,03	1,50	11,60	1,73	18,40	2,18	4,80	1,12
					4,38	3,44	1,52	13,10	1,73	20,80	2,18	5,41	1,11
6,3	63	$\frac{4}{5}$	7	2,3	4,96	3,90	1,69	18,90	1,95	29,90	2,45	7,81	1,25
					6,13	4,81	1,74	23,10	1,94	36,60	2,44	9,52	1,25
7	70	$\frac{4,5}{5}$	8	2,7	6,20	4,87	1,88	29,00	2,16	46,00	2,72	12,00	1,39
					6,86	5,38	1,90	31,90	2,16	50,70	2,72	13,20	1,39
		$\frac{6}{7}$			8,15	6,39	1,94	37,60	2,15	59,60	2,71	15,50	1,38
					9,42	7,39	1,99	43,00	2,14	68,20	2,69	17,80	1,37
		$\frac{8}{8}$			10,70	8,37	2,02	48,20	2,13	76,40	2,68	20,00	1,37

## I- жадвалнинг давоми

636

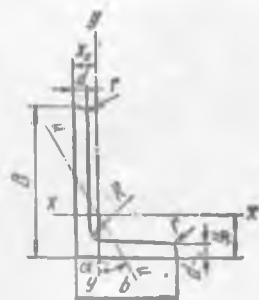
Профильнинг №	Улчамлари, мм				Кесим юзи, см <sup>2</sup>	І.м узуннинг оғирлигти, кг	z <sub>0</sub> , см	Үқлар учун справка маълумотларида келтирилган қийматлар								
	b	d	R	r				x			x <sub>0</sub> —x <sub>0</sub>					
								J <sub>x</sub> , см <sup>4</sup>	I <sub>x</sub> , см <sup>4</sup>	J <sub>x<sub>0</sub></sub> , см <sup>4</sup>	I <sub>x<sub>0</sub></sub> , см <sup>4</sup>	J <sub>y<sub>0</sub></sub> , см <sup>4</sup>	i <sub>y<sub>0</sub></sub> , см			
7,5	75	5			7,39	5,80	2,02	39,50	2,31	62,60	2,91	16,40	1,49			
		6			8,78	6,89	2,06	45,60	2,30	73,90	2,90	19,30	1,48			
		7	9	3	10,10	7,96	2,10	53,30	2,29	84,60	2,89	22,10	1,48			
		8			11,50	9,02	2,15	59,80	2,28	94,90	2,87	24,80	1,47			
		9			12,80	10,10	2,18	66,10	2,27	105,0	2,86	27,50	1,46			
8	80	5,5			8,63	6,78	2,17	52,70	2,47	83,60	3,11	21,80	1,59			
		6			9,38	7,36	2,17	57,00	2,47	93,40	3,11	23,50	1,58			
		7	9	3	10,80	8,51	2,23	65,30	2,45	104,0	3,09	27,00	1,58			
		8			12,30	9,65	2,27	73,40	2,44	116,0	3,08	30,30	1,57			
9	90	6			10,60	8,83	2,43	82,10	2,78	130,0	3,50	34,00	1,79			
		7			12,30	9,64	2,47	94,30	2,77	150,0	3,49	38,90	1,78			
		8	10	3,3	13,90	10,90	2,51	105,0	2,76	168,0	3,48	43,80	1,77			
		9			15,60	12,20	2,55	118,0	2,75	186,0	3,46	48,60	1,77			
10	100	6,5			12,80	10,10	2,68	122,0	3,09	193,0	3,88	50,70	1,99			
		7			13,80	10,80	2,71	131,0	3,08	207,0	3,88	54,20	1,98			
		8			15,60	12,20	2,75	147,0	3,07	233,0	3,87	60,90	1,98			
		10	12	4	19,20	15,10	2,83	179,0	3,05	284,0	3,84	74,10	1,96			
		12			22,80	17,90	2,91	209,0	3,03	331,0	3,81	88,90	1,95			
		14			26,30	20,60	2,99	237,0	3,00	375,0	3,78	99,30	1,94			
		16			29,70	23,30	3,06	264,0	2,98	416,0	3,74	112,0	1,94			
11	110	7 8	12	4	15,20	11,90	2,96	176,0	3,40	279,0	4,29	72,70	2,19			
12,5	125	8			19,70	15,50	3,36	294,0	3,87	467,0	4,87	122,0	2,49			
		9			22,00	17,30	3,40	327,0	3,86	520,0	4,86	135,0	2,48			
		10	14	4,6	24,30	19,10	3,45	360,0	3,85	571,0	4,81	149,0	2,47			
		12			28,90	22,70	3,53	422,0	3,82	670,0	4,82	174,0	2,46			
		14			33,40	26,20	3,61	482,0	3,80	764,0	4,78	200,0	2,45			
		16			37,80	29,60	3,68	539,0	3,78	853,0	4,75	224,0	2,44			
14	140	9	14	4,6	24,70	19,40	3,78	466,0	4,34	739,0	5,47	192,0	2,79			
		10			27,30	21,50	3,82	512,0	4,33	814,0	5,46	211,0	2,78			
		12			32,50	25,50	3,90	602,0	4,31	957,0	5,43	248,0	2,76			
16	160	10			31,40	24,70	4,30	774,0	4,96	1229	6,25	319,0	3,19			
		11			34,40	27,00	4,35	844,0	4,95	1341	6,24	348,0	3,18			
		12			37,40	29,40	4,39	913,0	4,94	1450	6,23	376,0	3,17			
		14	16	5,3	43,30	34,00	4,47	1046	4,92	1662	6,20	431,0	3,16			
		16			49,10	38,50	4,55	1175	4,89	1866	6,17	485,0	3,14			
		18			54,80	43,00	4,63	1299	4,87	2061	6,13	537,0	3,13			
18	180	10	16	5,3	60,40	47,40	4,70	1419	4,85	2248	6,10	589,0	3,12			
		11			38,80	30,50	4,85	1216	5,60	1933	7,06	500,0	3,59			
		12			42,20	33,10	4,89	1317	5,59	2093	7,04	540,0	3,58			

47

## 1- жадзалинг давоми

Профил- нинг №	Үлчамлари, мм				Кесим юзи, см <sup>2</sup>	І м узунли- гининг огирли- ги, кг	$x_0$ , см	Үқлар учун справка маълумотларида келтирилган қийматлар					
	$b$	$d$	$R$	$r$				$x - x$		$x_0 - x_0$		$y_0 - y_0$	
								$J_x$ , см <sup>4</sup>	$I_x$ , см	$J_{x_0}$ , см <sup>4</sup>	$I_{x_0}$ , см	$J_{y_0}$ , см <sup>4</sup>	$I_{y_0}$ , см
20	200	18	6	12	47,10	37,00	5,37	1823	6,22	2896	7,84	749,0	3,99
				13	50,90	39,90	5,42	1961	6,21	3116	7,83	805,0	3,98
				14	54,60	42,80	5,46	2097	6,20	3333	7,81	861,0	3,97
				16	62,00	48,70	5,54	2363	6,17	3755	7,78	970,0	3,96
				20	76,50	60,10	5,70	2871	6,12	4560	7,72	1182	3,93
				25	94,30	74,00	5,89	3466	6,06	5194	7,63	1438	3,91
				30	111,5	87,60	6,07	4020	6,00	6351	7,55	1688	3,89
22	220	14	21	7	60,40	47,40	5,93	2814	6,83	4470	8,60	1159	4,38
		16			68,60	53,80	6,02	3175	6,81	5045	8,58	1306	4,36
25	250	24	8	16	78,40	61,50	6,75	4717	7,76	7492	9,78	1942	4,98
				18	87,70	68,90	6,83	5247	7,73	8337	9,75	2158	4,96
				20	97,00	76,10	6,91	5765	7,71	9160	9,72	2370	4,94
				22	106,1	83,30	7,00	6270	7,69	9961	9,69	2579	4,93
				25	119,7	94,00	7,11	7006	7,65	11125	9,64	2887	4,91
				28	133,1	104,5	7,23	7717	7,61	12244	9,59	3190	4,89
				30	142,0	111,4	7,31	8177	7,59	12965	9,56	3389	4,89

## 2- жадвал

ПУЛАТ ПРОКАТЛИ ТЕНГ ЁНЛИ БЎЛМАГАН БУРЧАКЛИК  
ГОСТ 8510-57

## Белгилашлар:

$B$  — катта токкасининг эни;  
 $b$  — кичик токкасининг эни;  
 $d$  — токкасининг қалинлиги;  
 $R$  — ички силинқлаш радиуси;  
 $r$  — токкани силинқлаш радиуси;  
 $J$  — инерция моменти;  
 $I_x$ ,  $I_y$ ,  $I_u$  — инерция радиуслари;  
 $x_0$ ,  $y_0$  — оғирлик марказига бўлган масофаалар.

Профилнинг №	Үлчамлари, мм					Кесим юзи, см <sup>2</sup>	І м узунлигининг оғирлиги, кг	$y_0$ , см	$x_0$ , м	Үқлар учун справка маълумотларида келтирилган қийматлар						
	$B$	$b$	$d$	$R$	$r$					$x - x$		$y - y$		$u - u$		
						$J_x$ , см <sup>4</sup>	$I_x$ , см	$J_y$ , см <sup>4</sup>	$I_y$ , см	$J_u$ , см <sup>4</sup>	$I_u$ , см	$\operatorname{tg} \alpha$				
2,5/1,6	25	16	3	3,5	1,2	1,16	0,91	0,86	0,42	0,70	0,78	0,22	0,44	0,13	0,34	0,392
3,2/2	32	20	3	3,5	1,2	1,49	1,17	1,08	0,49	1,52	1,01	0,46	0,55	0,28	0,43	0,382
				4		1,94	1,52	1,12	0,53	1,93	1,00	0,57	0,54	0,35	0,43	0,374
4/2,5	40	25	3	4,0	1,3	1,89	1,48	1,32	0,59	3,06	1,27	0,93	0,70	0,56	0,51	0,385
				4		2,47	1,94	1,37	0,63	3,93	1,26	1,18	0,69	0,71	0,51	0,381

## 2-жадвалнинг давоми

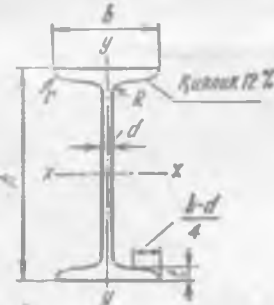
Профильнинг №	Үлчамлари, мм					Кесим юзини см <sup>2</sup>	1 м <sup>2</sup> изунални- нинг оғирини- гүй кг/м <sup>2</sup>	y <sub>0</sub> , см	x <sub>0</sub> , см	Үқлар учун сиравка маълумотларида келтирилган қийматлар						
	B		b	d	R					x - x		y - y		z - z		
										J <sub>x</sub> , см <sup>4</sup>	I <sub>x</sub> , см <sup>3</sup>	J <sub>y</sub> , см <sup>4</sup>	I <sub>y</sub> , см <sup>3</sup>	J <sub>z</sub> , см <sup>4</sup>	I <sub>z</sub> , см <sup>3</sup>	
4,5/2,8	45	28	<u>3</u> <u>4</u>	5	1,7	2,14 2,80	1,68 2,20	1,47 1,51	0,64 0,68	4,41 5,68	1,43 1,42	1,32 1,69	0,79 0,78	0,79 1,02	0,61 0,60	1,382 0,379
5/3,2	50	32	<u>3</u> <u>4</u>	5,5	1,8	2,42 3,17	1,90 2,49	1,60 1,65	0,72 0,76	6,17 7,98	1,60 1,59	1,99 2,55	0,91 0,90	1,18 1,52	0,70 0,69	0,403 0,401
5,6/3,6	56	36	3,5	6,0	2,0	3,16	2,48	1,80	0,82	10,1	1,79	3,30	1,02	1,95	0,79	0,407
			4			3,58	2,81	1,82	0,84	11,4	1,78	3,70	1,02	2,19	0,78	0,406
			5			4,41	3,46	1,86	0,88	13,8	1,77	4,48	1,01	2,66	0,78	0,404
6,3/4	63	40	4	7,0	2,3	4,04	3,17	2,03	0,91	16,3	2,01	5,16	1,13	3,07	0,87	0,397
			5			4,98	3,91	2,08	0,95	19,9	2,00	2,26	1,12	3,73	0,86	0,396
			6			5,90	4,63	2,12	0,99	23,3	1,99	7,28	1,11	4,36	0,86	0,393
			8			7,68	6,03	2,20	1,07	29,6	1,96	9,15	1,09	5,58	0,85	0,386
7/4,5	70	45	<u>4,5</u> <u>5</u>	7,5	2,5	5,07 5,59	3,98 4,39	2,25 2,28	1,03 1,05	25,3 27,8	2,23 2,23	8,25 9,05	1,28 1,27	4,88 5,34	0,98 0,98	0,407 0,406
7,5/5	75	50	5	8	2,7	6,11	4,79	2,39	1,17	34,8	2,30	12,5	1,43	7,24	1,09	0,436
			6			7,25	5,69	2,44	1,21	40,9	2,38	14,6	1,42	8,48	1,08	0,435
			8			9,47	7,43	2,52	1,29	52,4	2,35	18,5	1,40	10,9	1,07	0,430
8/5	80	50	<u>5</u> <u>6</u>	8	2,7	6,36 7,55	4,99 5,92	2,60 2,65	1,13 1,17	41,6 49,0	2,56 2,55	12,7 14,8	1,41 1,40	7,58 8,88	1,09 1,08	0,387 0,386
9/5,6	90	56	5,5	9	3	7,86	6,17	2,92	1,26	65,3	2,88	19,7	1,58	11,8	1,22	0,384
			6			8,54	6,70	2,95	1,28	70,6	2,88	21,2	1,58	12,7	1,22	0,384
			8			11,18	8,77	3,04	1,36	90,9	2,85	27,1	1,56	16,3	1,21	0,380
10/6,3	100	63	6	10	3,3	9,59	7,53	2,23	1,42	98,3	3,20	30,6	1,79	18,2	1,38	0,393
			7			11,10	8,70	2,28	1,46	113	3,19	35,0	1,78	20,8	1,37	0,392
			8			12,60	9,87	3,82	1,50	127	3,18	39,2	1,77	23,4	1,36	0,391
			10			15,50	12,10	3,40	1,58	156	3,15	47,1	1,75	28,3	1,35	0,387
11/7	110	70	6,5	10	3,3	11,4	8,98	3,55	1,58	142	3,53	45,6	2	26,9	1,53	0,402
			7			12,3	9,64	3,57	1,60	152	3,52	48,7	1,99	28,8	1,53	0,402
			8			13,9	10,9	3,61	1,64	172	3,51	54,6	1,98	32,3	1,52	0,400
12,5/8	125	80	7	11	3,7	14,1	11,0	4,01	1,8	227	4,01	73,7	2,29	43,4	1,76	0,407
			8			16,0	12,5	4,05	1,84	256	4,0	83,0	2,28	48,8	1,75	0,406
			10			19,7	15,5	4,14	1,92	312	3,98	100	2,26	50,3	1,74	0,404
			12			23,4	18,3	4,22	2,0	365	3,95	117	2,24	69,5	1,72	0,400

Профилнинг №	Үлчамлари, мм						Кесим юзи, см <sup>2</sup>	I <sub>М</sub> узунлиги- нинг оғирли- ги, кг	y <sub>0</sub> , см	x <sub>0</sub> , см	Үқлар учун справка маълумотларила келтирилган қийматлар					
	B	b	d	R	r	x — x	y — y	u — u	J <sub>x</sub> , см <sup>4</sup>	I <sub>x</sub> , см <sup>4</sup>	J <sub>y</sub> , см <sup>4</sup>	I <sub>y</sub> , см <sup>4</sup>	J <sub>u</sub> , см <sup>4</sup>	I <sub>u</sub> , см <sup>4</sup>	I <sub>g1</sub>	
14/9	140	90	8	12	4	18,0	14,1	4,49	2,03	364	4,49	120	2,58	70,3	1,93	0,411
16/10	160	100	9	13	4,3	22,9	18,0	5,19	2,23	606	5,15	186	2,85	110	2,2	0,391
			10			25,3	19,8	5,23	2,28	667	5,13	204	2,84	121	2,19	0,390
			12			30,0	23,6	5,32	2,36	784	5,11	239	2,82	142	2,18	0,388
			14			34,7	23,7	5,40	2,43	897	5,08	272	2,80	162	2,16	0,385
18/11	180	110	10	14	4,7	28,3	22,2	5,88	2,44	952	5,8	276	3,12	165	2,42	0,375
20/12,5	200	125	11	14	4,7	34,9	27,4	6,5	2,79	1449	6,45	446	3,58	264	2,75	0,392
			12			37,9	29,7	6,54	2,83	1568	6,43	482	3,57	285	2,74	0,392
			14			43,9	34,4	6,62	2,91	1801	6,41	551	3,54	327	2,73	0,390
			16			49,8	39,1	6,71	2,99	2026	6,38	617	3,52	367	2,72	0,388
25/16	250	160	12	18	6	48,3	37,9	7,97	3,53	3147	8,07	1032	4,62	604	3,54	0,410
			16			63,6	49,9	8,14	3,69	4091	8,02	1333	4,58	781	3,50	0,408
			18			71,1	55,8	8,23	3,77	4545	7,99	1475	4,56	866	3,49	0,407
			20			78,5	61,7	8,31	3,85	4987	7,97	1613	4,53	949	3,48	0,405

## 3-жадважа

## ПУЛАТ ПРОКАТЛИ ҚУШТАВРЛИ БАЛКАЛАР

ГОСТ 8239 - 56



## Белгилашлар:

- h — балканинг баландлиги;
- b — токчаснинг эни;
- d — деворининг қалинлиги;
- t — токчаснинг ўртача қалинлиги;
- R — ички силиқлаш радиуси;
- r — токчани силиқлаш радиуси;
- J — инерция моменти;
- W — қаршилик моменти;
- $S_x$  — ярим кесимининг статик моменти;
- $J_x$ ,  $I_x$  — инерция радиуслари.

Профилнинг №	I <sub>М</sub> узунлиги- нинг оғирли- ги, кг	Үлчамлари, мм						Кесим юзи, см <sup>2</sup>	Үқлар учун справка маълумотларида келтирилган қийматлар						
		h	b	d	t	R	r		x — x	y — y	$J_x$ , см <sup>4</sup>	$W_x$ , см <sup>3</sup>	$I_x$ , см <sup>4</sup>	$S_x$ , см <sup>3</sup>	$J_y$ , см <sup>4</sup>
10	11,1	100	70	4,6	7,2	7,0	3,0	14,2	244	48,8	4,15	28,0	35,3	10,1	1,58
12	13,0	120	75	5,0	7,3	7,5	3,0	16,5	403	67,2	4,94	38,5	43,8	11,7	1,63
14	14,8	140	82	5,0	7,5	8,0	3,0	18,9	632	90,3	5,78	51,5	58,2	14,2	1,75
16	16,9	160	90	5,0	7,7	8,5	3,5	21,5	945	118	6,63	67,0	77,6	17,2	1,90
18	18,7	180	95	5,0	8,0	9,0	3,5	23,8	1380	148	7,47	83,7	94,6	19,9	1,99
18a	19,9	180	102	5,0	8,2	9,0	3,5	25,4	1440	160	7,53	90,1	119	23,3	2,17
20	20,7	200	100	5,2	8,2	9,5	4,0	26,4	1810	181	8,27	102	112	22,4	2,06
20a	22,2	200	110	5,2	8,3	9,5	4,0	28,3	1970	197	8,36	111	148	27,0	2,29

16	22	23,7	220	110	5,3	8,6	10,0	4,0	30,2	2530	230	9,14	130	155	28,2	2,26
	22a	25,4	220	120	5,3	8,8	10,0	4,0	32,4	2760	251	9,23	141	203	33,8	2,50
	24	27,3	240	115	5,6	9,5	10,5	4,0	34,8	3460	289	9,97	163	198	34,5	2,37
	24a	29,4	240	125	5,6	9,8	10,5	4,0	37,5	3800	317	10,1	178	260	41,6	2,63
	27	31,5	270	125	6,0	9,8	11,0	4,5	40,2	5010	371	11,2	210	260	41,5	2,54
	27a	33,9	270	135	6,0	10,2	11,0	4,5	43,2	5500	407	11,3	229	337	50,0	2,80
	30	36,5	300	135	6,5	10,2	12,0	5,0	46,5	7080	472	12,3	268	337	49,9	2,69
	30a	39,2	300	145	6,5	10,7	12,0	5,0	49,9	7780	518	12,5	292	436	60,1	2,95
	33	42,2	330	140	7,0	11,2	13,0	5,0	53,8	9840	597	13,5	339	419	59,9	2,79
	36	48,6	360	145	7,5	12,3	14,0	6,0	61,9	13380	743	14,7	423	516	71,1	2,89
	40	56,1	400	155	8,0	13,0	15,0	6,0	71,4	18930	947	16,3	540	666	75,9	3,05
	45	65,2	450	160	8,6	14,2	16,0	7,0	83,0	27450	1220	18,2	699	807	101	3,12
	50	76,1	500	170	9,3	15,2	17,0	7,0	96,9	39120	1560	20,1	899	1040	122	3,28
	55	88,6	550	180	10,0	16,5	18,0	7,0	113	54810	1990	22,0	1150	1350	150	3,46
	60	103	600	190	10,8	17,8	20,0	8,0	131	75010	2500	23,9	1440	1720	181	3,62
	65	119	650	200	11,7	19,2	22,0	9,0	151	100840	3100	25,8	1790	2170	217	3,79
	70	137	700	210	12,7	20,8	24,0	10,0	174	133890	3830	27,7	2220	2730	260	3,96
	70a	158	700	210	15,0	24,0	24,0	10,0	202	152700	4360	27,5	2550	3240	309	4,01
	70b	184	700	210	17,5	28,2	21,0	10,0	234	175350	5010	27,4	2940	3910	373	4,09

ПҮЛАТ ПРОКАТЛИ ШВЕЛЛЕРЛАР  
ГОСГ 8:40 — 56

4- жадвал

Белгилашлар:

- $h$  — швеллернинг баландиги;
- $b$  — токчасининг эни;
- $d$  — деворининг қалинлиги;
- $t$  — токчасининг ўртача қалинлигини;
- $R$  — ички симлиқлаш радиуси;
- $r$  — токчани симлиқлаш радиуси;
- $J_x$  — инерция моменти;
- $W_x$  — қаршилик моменти;
- $I_x$  — инерция радиуслари;
- $S_x$  — ярим кесимнинг статик моменти;
- $\zeta_0$  — у—у ўқдан деворининг ташки ғонгача бўлган масофа.



Профилнинг №	1 м ўзундигининг очар- лариги, кг/м	Ўлчамлари, мм						Кесим юзи с.м. <sup>2</sup>	$\zeta_0$ , см	Ўқлар учун справка маълумотларида келтирилган қийматлар						
		$h$	$b$	$d$	$t$	$R$	$r$			$x = x$	$y = y$	$J_{x,}$ с.м. <sup>4</sup>	$W_{x,}$ с.м. <sup>3</sup>	$I_{x,}$ с.м.	$S_{x,}$ с.м. <sup>3</sup>	$J_{y,}$ с.м. <sup>4</sup>
5	4,80	50	32	4,4	7,0	6,0	2,5	6,16	1,16	22,8	9,10	1,92	5,59	5,61	2,75	0,954
6,5	5,90	65	36	4,4	7,2	6,0	2,5	7,51	1,24	48,6	15,0	2,54	9,0	8,70	3,68	1,08
8	7,05	80	40	4,5	7,1	6,5	2,5	8,98	1,31	89,4	22,4	3,16	13,3	12,8	4,75	1,19
10	8,59	100	46	4,5	7,6	7,0	3,0	10,9	1,41	174	34,8	3,99	20,4	20,4	6,46	1,37
12	10,4	120	52	4,8	7,8	7,5	3,0	13,3	1,51	301	50,6	4,78	29,6	31,2	8,52	1,53
14	12,3	140	58	4,9	8,1	8,0	3,0	15,6	1,67	491	70,2	5,60	40,8	45,4	11,0	1,70

14 <sub>a</sub>	13,3	140	62	4,9	8,7	8,0	3,0	17,0	1,97	545	778	5,66	45,1	57,5	13,3	1,84
16	14,2	160	64	5,0	8,4	8,5	3,5	18,1	1,80	747	13,4	6,42	54,1	63,3	13,8	1,87
16 <sub>a</sub>	15,3	160	68	5,0	9,0	8,5	3,5	19,5	2,00	823	103	6,49	59,4	78,8	16,4	2,01
18	16,3	180	70	5,1	8,7	9,0	3,5	20,7	1,94	1090	121	7,24	69,8	86,0	17,0	2,04
18 <sub>a</sub>	17,4	180	74	5,1	9,3	9,0	3,5	22,2	2,13	1190	132	7,32	76,1	105	20,0	2,18
20	18,4	200	76	5,2	9,0	9,5	4,0	23,4	2,07	1520	152	8,07	87,8	113	20,5	2,20
20 <sub>a</sub>	19,8	200	80	5,2	9,7	9,5	4,0	25,2	2,28	1670	167	8,15	95,9	139	24,2	2,35
22	21,0	220	82	5,4	9,5	10,0	4,0	26,7	2,21	2110	192	8,89	110	151	25,1	2,37
22 <sub>a</sub>	22,6	220	87	5,4	10,2	10,0	4,0	28,8	2,46	2320	212	8,99	121	187	30,0	2,55
24	24,0	240	90	5,6	10,0	10,5	4,0	30,6	2,42	2900	242	9,73	139	208	31,6	2,60
24 <sub>a</sub>	25,8	240	95	5,6	10,7	10,5	4,0	34,9	2,67	3180	265	9,84	151	254	37,2	2,78
27	27,7	270	95	6,0	10,5	11,0	4,5	35,2	2,47	4160	308	10,9	178	262	37,3	2,73
30	31,8	300	100	6,5	11,0	12,0	5,0	40,5	2,52	5810	387	12,0	224	327	43,6	2,84
33	36,5	330	105	7,0	11,7	13,0	5,0	46,5	2,59	7590	484	13,1	281	410	51,8	2,97
36	41,9	360	110	7,5	12,6	14,0	6,0	53,4	2,68	10820	601	14,2	350	513	61,7	3,10
40	48,3	400	115	8,0	13,5	15,0	6,0	61,5	2,75	15220	701	15,7	444	612	73,4	3,23

## Эластиклук модуллари ва Пуассон коэффициентлари

Материалнинг номи	Бўйлама эластиклук модули, $E$ , $\text{kG}/\text{cm}^2$	Силжиш модули, $G$ , $\text{kG}/\text{cm}^2$	Пуассон коэффициенти, $\mu$
Кул ранг, оқ, болғаланувчан чўян . . . . .	$(0,8 \div 1,60) \cdot 10^6$	$4,5 \cdot 10^5$	$0,25 \div 0,27$
Углеродли пӯлат . . . . .	$(2,0 \div 2,1) \cdot 10^6$	$(8,0 \div 8,1) \cdot 10^5$	$0,24 \div 0,28$
Легирланган пӯлат . . . . .	$(2,1 \div 2,2) \cdot 10^6$	$(8,0 \div 8,1) \cdot 10^5$	$0,25 \div 0,30$
Мис . . . . .	$1,1 \cdot 10^6$	$4,0 \cdot 10^5$	$0,31 \div 0,34$
Жўваланган фосфорли бронза . . . . .	$1,15 \cdot 10^6$	$4,2 \cdot 10^5$	$0,32 \div 0,35$
Совуқлайнин жўваланган жез . . . . .	$(0,91 \div 0,99) \cdot 10^6$	$(3,5 \div 3,7) \cdot 10^5$	$0,32 \div 0,42$
Жўваланган марганецли бронза . . . . .	$1,1 \cdot 10^6$	$4,0 \cdot 10^5$	$0,35$
Жўваланган алюминий . . . . .	$0,69 \cdot 10^6$	$(2,6 \div 2,7) \cdot 10^5$	$0,32 \div 0,36$
Жўваланган рух . . . . .	$0,84 \cdot 10^6$	$3,2 \cdot 10^5$	$0,27$
Кўргошин . . . . .	$0,17 \cdot 10^6$	$0,70 \cdot 10^5$	$0,42$
Шиша . . . . .	$0,56 \cdot 10^6$	$2,2 \cdot 10^5$	$0,25$
Гранит . . . . .	$0,49 \cdot 10^6$	—	—
Оҳактош . . . . .	$0,42 \cdot 10^6$	—	—
Мармар . . . . .	$0,56 \cdot 10^6$	—	—
Кумтош . . . . .	$0,18 \cdot 10^6$	—	—
Бетон . . . . .	$(0,15 \div 0,41) \cdot 10^6$	—	$0,08 \div 0,18$
Ероч толалари бўйича . . . . .	$(0,09 \div 0,14) \cdot 10^6$	$(0,45 \div 0,065) \cdot 10^5$	—
Ероч толаларига кўйдаланг . . . . .	$(0,004 \div 0,01) \cdot 10^6$	$(0,045 \div 0,065) \cdot 10^5$	—
Каучук . . . . .	$0,00008 \cdot 10^6$	—	$0,47$
Текстолит . . . . .	$(0,06 \div 0,1) \cdot 10^6$	—	—
Гетинакс . . . . .	$(0,1 \div 0,17) \cdot 10^6$	—	—
Целлулонд . . . . .	$(14,3 \div 27,5) \cdot 10^3$	—	$0,33 \div 0,38$
Бакелит . . . . .	$43 \cdot 10^3$	—	$0,36$
Вискомлит (ИМ-44) . . . . .	$(10 \div 42) \cdot 10^3$	—	$0,37$

## АДАБИЁТ

1. Безухов Н. И. Сборник задач по теории упругости и пластичности. Гостехиздат, 1957.
2. Беляев Н. М. Сопротивление материалов. Физматгиз, 1962.
3. Беляев Н. М. Сборник задач по сопротивлению материалов. Физматгиз, 1962.
4. Бернштейн С. А. Сопротивление материалов. Изд-во „Высшая школа“, 1961.
5. Дарков А. В., Шпирог С. С. Сопротивление материалов. Изд-во „Высшая школа“, 1965.
6. Жданов С. М. Расчет конструкций с учетом пластических свойств материала. Изд. Московского энергетического ин-та, 1952.
7. Иванов Н. И. Сборник задач по сопротивлению материалов. Гостехиздат, 1956.
8. Изюмов С. М., Кудрявцев И. Н., Олисов Б. А. Сборник задач по сопротивлению материалов. Стройиздат, 1940.
9. Ицкович Г. М. Сопротивление материалов. Изд-во „Высшая школа“, 1966.
10. Ицкович Г. М., Винокуров А. И., Барановский Н. В. Сборник задач по сопротивлению материалов. Изд-во „Судостроение“ 1965.
11. Ицкович Г. М., Винокуров А. И., Минин Л. С. Руководство к решению задач по сопротивлению материалов. Россвязиздат, 1963.
12. Кинашвили Р. С. Сопротивление материалов. Физматгиз, 1962.
13. Кравченко П. Е. Усталостная прочность. Изд-во „Высшая школа“, 1960.
14. Крюковский С. С., Никитин С. П., Ойхер А. А., Рабинович С. В. Курс лекций по сопротивлению материалов ч. 1 и 2. Изд-во Московского энергетического ин-та, 1959.
15. Лившиц Я. Д., Скатынский В. О. Сборник задач по сопротивлению материалов. Гостехиздат, 1949.
16. Любощиц М. И. Расчеты на прочность при переменных напряжениях. Изд. Белорусского политехнического института, Минск. 1959.
17. Любощиц М. И., Ицкович Г. М. Справочник по сопротивлению материалов. Изд. „Высшая школа“, Минск, 1965.
18. Методические указания по курсу сопротивления материалов. ч. 1 и 2. Изд. Всесоюзного заочного энергетич. ин-та. М., 1955.
19. Миролюбов И. Н., Енгалычев С. А., Сергиевский Н. Д., Алмаметов Ф. З., Курицын Н. А., Смирнов-Васильев К. Г., Яшина Л. В. Пособие к решению задач по сопротивлению материалов. Изд-во „Высшая школа“, 1967.
20. Ободовский Б. А. Расчет статически неопределеных балок. Изд-во Харьковского университета, 1960.

21. Писаренко Г. С., Агарев В. А., Квитка А. Л., Попков В. Г., Уманский Э. С. Сопротивление материалов. Изд-во „Гехника“. Киев, 1967.
22. Пономарев С. Д., Бидерман В. Л., Лихарев К. К., Макушин В. М., Малинин Н. Н., Феодосьев В. И. Расчеты на прочность в машиностроении. Машгиз, т. 1, 1956; т. 2, 1958; т. 3, 1959.
23. Попов А. А. Сопротивление материалов. Машгиз, 1958.
24. Рабинович С. В. Расчеты на прочность при переменных напряжениях. Изд. Московского энергетического ин-та, 1951.
25. Расчеты на прочность (сб. статей). Машгиз, вып. 2, 1958; вып. 5, 1960.
26. Рубинин М. В. Руководство к практическим занятиям по сопротивлению материалов. Машгиз, 1957, Росвузиздат, 1963.
27. Серенсен С. В., Когаев В. П., Шнейдерович Р. М. Несущая способность и расчеты деталей машин. Машгиз, 1963.
28. Синяговский И. С. Сопротивление материалов. Сельхозгиз, 1958.
29. Смирнов А. Ф. и др. Сопротивление материалов. Всесоюзное издательско-полиграфическое объединение МПС, 1961.
30. Сопротивление материалов, вып. II, метод, указания и задания по курсу; вып III, задания по курсу. Изд-во Харьковского университета, 1961.
31. Справочник машиностроятеля. т. 3. Машгиз, 1962.
32. Тимошенко С. П. Сопротивление материалов. Изд-во „Наука“, т. 1, 2, 1965.
33. Тихомиров Е. Н. Курс сопротивления материалов. Гостехиздат, 1934.
34. Уманский А. А., Вольмир А. С., Коданев А. И. Курс сопротивления материалов, ч. I. Изд. ВВИА им. Н. Е. Жуковского, 1954.
35. Уманский А. А., Афанасьев А. М., Вольмир А. С., Григорьев Ю. П., Коданев А. И., Марьин В. А., Пригородский Н. И. Сборник задач по сопротивлению материалов. Гостехиздат, 1954.
36. Филоненко-Бородич М. М., Изюмов С. М., Олисов Б. А., Кудрявцев И. Н., Мальгинов Л. И. Курс сопротивления материалов. Гостехиздат, ч. 1, 1955 и 1962, ч. 2, 1956.
37. Феодосьев В. И. Избранные вопросы и задачи по сопротивлению материалов. Изд-во „Наука“, 1967.
38. Феодосьев В. И. Сопротивление материалов. Физматгиз, 1963.
39. Ходж Ф. Г. Расчет конструкций с учетом пластических деформаций. Машгиз 1963.
40. Шерман Д. И. Изгиб поперечной силой эллиптического бруса ослабленного продольно-круговой цилиндрической полостью. „Инженерный сборник“, т. XVII. А , 1953.
41. Урозбоев М. Т. Материаллар қаршилиги, I қисм, „Ўрта ва олӣ мактаб“ нашр. Т. , 1960.
42. Урозбоев М. Т. Материаллар қаршилиги, II қисм, „Ўқитувчи“ нашр. Т. , 1965.
43. Мансуров К. М. Материаллар қаршилиги, „Ўқитувчи“ нашр., Т. , 1960.

## МУНДАРИЖА

Русча нашрига сўз боши . . . . .  
Халқаро ўлчов бирлеклар системаси  
ва унинг материаллар қаршилигига  
татбиқи . . . . .

### БИРИНЧИ ҚИСМ

#### I б о б. Чўзилиш ва сиқилиш

- 1.1-ғ. Асосий тушунчадар . . . . .  
1.2-ғ. Чўзилиш-сиқилишнинг статик  
аниқ ҳоллари . . . . .  
1.3-ғ. Чўзилиш-сиқилишнинг статик  
аниқмас ҳоллари . . . . .

#### II б о б. Кучланиш ва деформацияланиш ҳолатининг назариялари

- 2.1-ғ. Назаридан асосий маъдумотлар  
2.2-ғ. Кучланиш ҳолатини аналитик ва  
графоаналитик усулда текшириш . .  
2.3-ғ. Умумлашган Гук қонунини тат-  
биқ этиш . . . . .

#### III б о б. Кесилиш ва эзилишга оид ама- лий ҳисоблашлар

- 3.1-ғ. Асосий тушунчадар ва ҳисоблаш  
формулалари . . . . .  
3.2-ғ. Парчин инхли бирималарни ҳи-  
соблаш . . . . .  
3.3-ғ. Пайванд биримларниң ҳисоби . .

#### IV б о б. Текис кесимларининг геометрик характеристикалари

- 4.1-ғ. Асосий тушунчадар . . . . .  
4.2-ғ. Текис кесимларининг геометрик ха-  
рактеристикаларини ҳисоблаш . . . . .

#### V б о б. Буралиш

- 5.1-ғ. Асосий тушунчадар . . . . .  
5.2-ғ. Доиравий кўндаланг кесими  
брүсли буралишда мустаҳкамликка ва  
бикрликка ҳисоблаш . . . . .  
5.3-ғ. Буралишда статик аниқмас ма-  
салалар . . . . .  
5.4-ғ. Кўндаланг кесими доиравий бўл-  
маган тўғри брусларниң буралиши . .  
5.5-ғ. Уқ бўйлаб юклаган, кичик қа-  
дамили, винтсизон цилиндрик пружи-  
наларни ҳисоблаш . . . . .

#### VI б о б. Балка ва рама учун ички куч факторларининг эпюраларини қуриш

- 6.1-ғ. Умумий тушунчадар. Статик  
аниқ балкалар учун кесувчи куч  $Q$  ва  
эгуви момент  $M$  эпюраларини анали-  
тич усулда қуриш . . . . .  
6.2-ғ. Балка учун  $Q$  ва  $M$  ларнинг эпю-  
раларини характерни нуқталар бўйича  
қуриш . . . . .  
6.3-ғ. Статик аниқ текис рамалар учун  
 $Q$ ,  $M$  ва  $N$  эпюраларини қуриш . .

#### VII б о б. Тўғри ғилишда мустаҳкам- ликка ҳисоблаш

- 7.1-ғ. Нормал кучланиш бўйича мус-  
таҳкамликка ҳисоблаш . . . . .  
7.2-ғ. Уринма кучланиш бўйича мус-  
таҳкамликни текшириш . . . . .

#### VIII б о б. Тўғри ғилишда балкалардаги кўчишларни аниқлаш

- 8.1-ғ. Асосий қондалар . . . . .  
8.2-ғ. Бевосита интеграллаш усули билан  
кўчишни аниқлаш . . . . .  
8.3-ғ. Кўчишларни бошлангич па-  
раметрлар усули билан аниқлаш . .  
8.4-ғ. Кўчишларни энергетик усули билан  
аниқлаш (Мор интегрални ёрдами-  
да) . . . . .

## ИККИНЧИ ҚИСМ

#### IX б о б. Энг оддий статик аниқмас сис- темаларини ҳисоблаш

- 9.1-ғ. Статик аниқмас балкалар. Асо-  
сий тушунчалар . . . . .  
9.2-ғ. Туташ (кўп пролётли) балкалар . .  
9.3-ғ. Статик аниқмас энг оддий текис  
рамалар . . . . .

#### X б о б. Қийшиқ ғилиш

- 10 10.1-ғ. Асосий тушунчалар ва ҳисоблаш  
формулалари . . . . .  
13 10.2-ғ. Қийшиқ ғилишга ҳисоблаш  
учун мисоллар . . . . .

#### XI б о б. Энг ғилиш ва чўзилиш (сиқилиш) нинг бирга таъсири

- 37 11.1-ғ. Чўзилиш (сиқилиш) билан бир-  
га содир бўладиган ғилиш . . . . .  
42 11.2-ғ. Номарказий чўзилиш (сиқилиш)

#### XII б о б. Мустаҳкамлик назариясининг тўғри брусларни ҳисоблаш татбиқи

- 51 12.1-ғ. Мустаҳкамлик назарияси . . . . .  
12.2-ғ. Буралиш ва ғилишнинг бирга-  
ликдаги таъсири. Чўзилиш ёки сиқи-  
лиш билан бирга содир бўладиган бу-  
ралиш . . . . .

- 12.3-ғ. Бруслар таъсирининг  
умумий ҳоли . . . . .

#### XIII б о б. Қалин деворли цилиндрлар ва юпқа деворли идишлар ҳисоби

- 58 13.1-ғ. Ички ва ташқи босимлар таъси-  
рида бўлган қалин деворли цилиндр-  
лар ҳисоби . . . . .

- 59 13.2-ғ. Юпқа деворли идишларнинг ҳи-  
соби . . . . .

#### XIV б о б. Текис эгри бруслар

- 67 14.1-ғ. Ички куч факторларининг эпю-  
раларини қуриш. Эгри брусларда кў-  
чишлар . . . . .

- 71 14.2-ғ. Эгриларни катта бўлган бруслар-  
ни мустаҳкамликка ҳисоблаш . . . . .

#### XV б о б. Бўйлама ва бўйлама-кўндаланг ғилишлар

- 79 15.1-ғ. Сиқилган стерженларни усти-  
ворликка ҳисоблаш . . . . .

- 81 15.2-ғ. Бўйлама-кўндаланг ғилиш . .

#### XVI б о б. Материаллар қаршилигидаги динатика масалалари

- 99 16.1-ғ. Инерция кучини ҳисобга олиш . .

- 106 16.2-ғ. Зарбда кучланиш ва кўчишлар . .

- 106 16.3-ғ. Эркинилк даражаси битта бўл-  
ган системаларнинг тебраниши . . .

#### XVII б о б. Ўзгарувчан кучланишлар

- 119 17.1-ғ. Толиқицидаги мустаҳкамлик тў-  
рисида асосий тушунчалар . . . . .

- 127 17.2-ғ. Ўзгарувчан кучланишларда мус-  
таҳкамликка ҳисоблаш . . . . .

#### XVIII б о б. Конструкция элементларини чекли нагружкалар бўйича ҳисоблаш

- 137 18.1-ғ. Асосий тушунчалар . . . . .

- 137 18.2-ғ. Чўзилиш ёки сиқилишга ишлай-  
диган элементлари бўлган статик  
аниқмас системаларни ҳисоблаш . . .

- 153 18.3-ғ. Кўндаланг кесими доира шак-  
лидаги бруслни буралишга ҳисоблаш .

- 155 18.4-ғ. Статик аниқ балкаларни ҳисоб-  
лаш . . . . .

- 161 18.5-ғ. Энг оддий статик аниқмас бал-  
каларни ҳисоблаш . . . . .

#### И л о в а

- 171 Адабиёт . . . . .